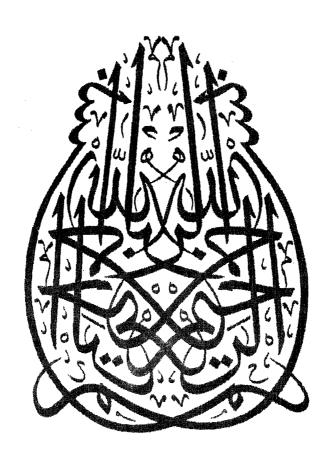




معالجة الصور الرقمية



﴿ قل هل يستوي الذين يعلمون والذين لا يعلمون ﴾

# معالجة الصور الرقمية

تأليف: رافائيل غونزيلز ويول وينتز

ترجمة الدكتور المهندس معن عمار

تدقيق : الأستاذ المهندس أحمد مرسي نفاخ

#### لمحة عن المترجم

معن عمار – ولد عام 1953 وحصل على الاجازة في الهندسة الكهربائية من جامعة دمشق عام 1977. عمل في مركز الدراسات والبحوث العلمية بدمشق حتى 1981. حصل على درجة الماجستير في علم المعلومات وعلى درجة الدكتوراة في هندسة المعلومات من جامعة ناغويا، اليابان في عامي 1986 و 1989 ، على التوالي. طور أول طريقة ناجحة تستخدم الحاسوب لكشف التواقيع متقنة التزوير بكفاءة عالمة عام 1985 ، و أول نظام تفاعلي (تخاطبي) مُحوسب لتحليل التواقيع، يتعامل مع المستثمر باللغة العادية عام 1989. له ما يزيد على 15 بحثاً دولياً منشوراً في مجال التواقيع و معالجتها و كشف المُزور منها بالحاسوب.

عمل حكماً في المؤتمر الدولي التاسع حول التعرف على الأنماط (الأشكال) بالحاسوب و في ثلاث دوريات تابعة لله IEBE ، و هو عضو في جمعية الغرافونوميكس الدولية. تشمل اهتماماته الأساسية معالجة الصورة الرقمية وتعرف الحاسوب على كتابة اليد والأحرف الطباعية والتثبت من الشخصية. و يعمل حالياً مدرساً في كلية الهندسة الميكانيكية والكهربائية بجامعة دمشق.

معالجة الصور الرقمية ـ الطبعة الأولى المركز العربي للتعريب والترجمة والتأليف والنشر دمشق ـ ص. ب 3752ج . ع . س . ع 1. 1. 1992

التنضيد والاخراج: دار الكاتب العربي بدمشق التنفيذ والبلاكات: يوسف ايوبية ـ دمشق 332586

# تصدير

لما كانت مواكبة التطور العلمي للتسارع ومعاصرة التقاتة الحديثة يتطلبان تطويع العلم وذلك بتعليمه وانتاجه باللغة العربية فقد تأسس المركز العربي للتعريب والترجمة والتأليف والتشر بدهشق .

ان أحد أهداف المركز الرئيسة هو المساعدة على تعريب التعليم العالى بفروحه وميادينه المختلفة في أشاء الوطن العربي كاقة، وفي هذا السياق يعمل المركز على تعريب شخبة من الكتب العالمية المعامرة في شتى فروع العلم وأنواحه من قبل متخصصين في هذه المجالات.

مع تطور الحواسيب الرقمية المتسارع دخلت تطبيقاتها محالات الحياة كافة، وأصبيح التطور في محال المواسيب الرقمية وتطبيقاتها المختلفة، التي تتراوح من التطبيقات الصناعية إلى الأبحاث الفضائية، أحد أهم مقابيس تطور الدول في المصر الحديث. ويشهد عال علوم الحلسوب الآن تنافساً حاداً بين الدول المتطورة مثل أمريكا واليابان والدول الأوربية إذ أن الحهة التي ستحرز قصب السبق في هذا المجال ستسيطر على السوق العالمية في عصرنا الحاضر، عصر المعلومات، الذي يبدأ في العرف التقني من التسمينات. وقد كان من أبرز سمات هذا التنافس مشروع الحيل الخاص المعواسيب الذي أطلقته اليابان عام 1982، والذي أثار قلقاً كبيراً في الدول الغربية. لقد خطط لهذا الحيل أن يدخل حيز التطبيق في أوائل التسمينات، وهذا الحيل عبد أن يقدر على التعلمل مع الانسان بالصوت والصورة بالإضافة إلى لوحة المفاتيع. وقد وصلت اليابان مراحل متقدمة جداً في هذا المضار.

وتعتبر معالمة الصور الرقمية أحد أهم مجالات علوم الحاسوب. لقد يرز هذا العلم إلى الوجود عام 1920 ثم تحسن على مدى الحمس والثلاثين سنة التالية. وتطور بشكل متسارع منذ ظهور حواسيب الحيل الثالث الضخمة التي استخدمت في برامج الفضاء.

كما استخدم هذا العلم في معالجة الصور التي أرسلت من القمر عام 1964 بواسطة المركبة الفضائية «رينجر 7» وتحسينها. واستمر بعد ذلك تطوره بوتيرة متسارعة حتى أصبحت تطبيقاته تشمل شتى مناحى الحياة ابتداء من معالجة الصور الطبية لمساحدة الطبيب في تشخيص

الأمراض، مروراً بالتعرف الآبي على النصوص المطبوعة والانسان الآبي وتمييز الأهداف في المعالات العسكرية والمعالحة الآلية لبصات الأصابع وتحليل عينات الدم وتحليل صور السواتل لاستخدامها في تقلير المحاصيل والكشف عن الثروات في باطن الأرض والتنبؤ بالطقس وانتهاءاً بتطبيقاته الكبيرة في بحوث الفضاء والتوجيه الآبي للصواريخ الحديثة. وليس من قبيل المبالغة أن نقول أن تطبيقات معالحة الصور أصبحت غير محدودة.

ونظراً للأهمية التي تتبوؤها معالجة الصورة الرقمية في عصرنا الجليث فقد أوكلت مهمة تعريب كتاب معالجة الصورة الرقمية الصادر عام 1987 عن دار أديسون ويسلي للنشر إلى المدكتور معن عمار الذي أكمل تخصصه العالي في هذا المجال. ولقد وقع اختيارنا على كتاب معالجة الصور الرقمية هذا لأنه أحد الكتب العالمية في هذا المجال ويدرس حالياً في الولايات المتحدة الأمريكية التي تعتبر دولة رائدة في عال معالجة الصور وتطبيقاته. والطبعة المترجة هي الأحدث وتغطي جميع العناصر الأساسية لعلم معالجة الصورة المتمثلة في (1) تعريف بنظام معالجة الصورة الرقمية، (3) تعريف بنظام الصورة (4) تقنيات تحسين الصورة، (5) أساسيات الصورة، (6) ترميز الصورة، (7) تجزيء الصورة و (8) تمثيل الصورة ووصفها بشكل ملائم للحاسوب.

ولقد كلف الأستاذ المهندس أحمد مرسي النفاخ وهو من كبار الخبراء المتخصصين في العلوم الالكترونية والاتصالات بالراجعة والتلقيق. للسيلين المترجم والمراجع شكرنا وتقليرنا.

إن هذا الكتاب، بالإضافة إلى أنه يؤمن أساساً جيداً مقدماً بأسلوب سلس سهل الفهم مقارنة بالكتب الأخرى في هذا المجال، فهو يعطي دليلاً للمراجع الأخرى المتوفرة عالمياً والتي قد تلزم الباحثين اللين يريدون التعمق في هذا المجال وتطبيقاته. أضف إلى ذلك أن الكتاب يحتوي على ملحقين يتضمنان مجموعة من الصور المرمزة وبرامج تمكن من اظهار الصور ذات السويات الرمادية على طابعة الخط العادية الرخيصة الثمن، مما يمكن الطلاب والباحثين من اختبار التقنيات المطروحة في الكتاب دون الحاجة إلى أجهزة طباعة الصور ذات الكلفة العالية. هذا وتخطط لأن يتبع هذا الكتاب كتب أخرى في مجالات الاستشعار عن بعد والرؤية بواسطة الحاسوب والذكاء الصنعى والتعرف على الأنماط.

والله ولى التوفيق.

ال*أسستاذالدكتورالمهندس أحسد عمرلويسف* مندسوللركزالست ربي التعديب والترحمة والتأليف والنسش

# تقديم

### بقلم الدكتور المهندس معـن عمـــار – المترجم

لقد توسع عبال تطبيقات معالجة الصور حتى شمل مختلف أنشطة الحياة. فأصبح يشمل، على سبيل اللكر لا الحصر، الطب والقضاء والاذاعة المرئية واللغاع والبحوث الفضائية والانصالات والتعليم وأبحاث الطاقة النووية. وأصبح الإلمام بمبادئ معالجة الصور ليس أمراً مرغوباً فحسب بل ضرورة في كثير من الحالات. وبحكم مشاركتي المتواصلة في كثير من المؤترات العلمية الدولية في هذا المجال فقد لاحظت غياباً عربياً شبه كامل عن هذا المجال إذ أن عدد المقالات العربية المشاركة لم يتجاوز عدد أصابع البد الواحدة، ولم تظهر إلا مؤخراً وهي تنحصر في معالجة الأحرف الأبجلية والتعرف عليها.

إن مواكبة التطور العلمي في هذا المجال أصبحت ضرورة لأن المتنجات الصناعية التي تعتمد على معالجة الصورة تغزو العالم كله، وحتى استيعاب استعمالها الصحيح يتطلب الإلام إلى حد معين بمفاهيم معالجة الصورة. ولحسن الحظ، فإن التطور التقني المتسارع في صناعة المواسيب الرقمية جعل الحواسيب الشخصية ومرقمنات الصور (الأجهزة التي تحول الصور العادية إلى صور رقمية قابلة للمعالجة بالحاسوب) متوفرة بأسعار معقولة جداً عما يجعلها متوفرة الشريحة غير قليلة من المجتمع. ولذلك، لا نحتاج إلا إلى شحد الحمة والتعرف على هذا الفرع من فروع العلم حتى نستطيع استثهار ما يفيلنا من الخوارزميات المطورة وتطوير الخوارزميات المحامرة بنا والتي يمكن أن تخدم أغراضاً عددة لنا لا تستطيع أن تخدمها الخوارزميات المحاهزة. وهناك نقطة هامة بهذا الخصوص وهي أنه بالإضافة للحاسوب والمرقمن فان كل ما يلزمنا للتطوير هو برامع نكتبها بأنفسنا عما يجعلنا بمناً ي عن آثار الحظر التكنولوجي كالذي يفرض أحياناً من قبل الدول المصنعة على عناصر الكيان الصلب (القطع والدارات الالكترونية).

ونظراً للأهمية المتميزة لهذا المجال فقد وقع الاختيار على هذا الكتاب «معالجة الصورة. الرقمية» الذي يؤمن أساساً كافياً للإلمام بجميع جوانب معالجة الصورة ويعطي دليلاً للمراجع التي يمكن أن تستخدم من أجل دراسات أعمق. في الحقيقة، يرجع الاحتام بتقنيات معالحة الصور الرقمية إلى أوائل العشرينات عنلما أرسلت الصور الرقمية لأنباء الأحداث العالمية لأول مرة بواسطة كابل بحري بين نيويورك ولندن. لكن تطبيقات مفاهيم معالحة الصور الرقمية لم تصبح واسعة الانتشار إلا في أواسط الستينات عنلما بدأت حواسيب الحيل الثالث تقدم امكانات السرعة والتخزين اللازمة للتنفيذ العملي لخوارزميات معالحة الصور. منذ ذلك الوقت شهد هذا المجال نمواً نشطاً لأنه أصبح موضوع بحث ودراسة متصلين بعدة مجالات مثل المندسة وعلوم الحاسوب والمعلومات والاحصاء والفيزياء والكيمياء والبيولوجيا والطب. ان نتائج هذه الحهود أثبتت أهمية تقنيات معالمة الصور في مسائل متنوعة يمتد بجالها من استعادة وتحسين الصور المرسلة من بجسات ومشعرات فضائية إلى معالحة بصبات الأصابع من أجل المعاملات التجارية.

ويسبب التطور السريع المستمر في هذا المجال فقد صدرت الطبعة الثانية هذه لكتاب معالجة الصدورة الرقمية والتي تحتوي على تنقيحات واسعة ومواد جليدة أضيفت إلى الطبعة الأولى لمواكبة التطور الحاصل في هذا المجال.

إن الأهداف الأساسية لهذا الكتاب هي تأمين مقدمة للمفاهيم والتقنيات الأساسية لمعالحة المصور الرقمية وإرساء أساس يمكن استعماله كمبدأ لبحوث ودراسات أبعد في هذا المجال. ولتحقيق هذه الأهداف فقد ركز الكتاب على المواد الأساسية والتي لا ينحصر مجال تطبيقها في مسائل متخصصة.

إن السَّوية الرياضية للكتاب ضمن نطاق فهم طلبة الدراسات العليا في مجال تقني مثل المناسة وعلوم الحاسوب، والتي تتطلب إعداداً تمهيلياً في التحليل الرياضي ونظرية المصفوفات والاحتالات وبرعة الحاسوب.

يتضمن الكتاب ثمانية فصول نلقي فيا يلي نظرة موجزة على محتوياتها: يعرض الفصل الأول مقلمة لعلم معالحة الصورة ويعرف القارى بالعناصر الأساسية لنظام معالحة الصورة. أما الفصل الشائي فيقدم أساسيات الصورة الرقمية بما في ذلك العلاقات بين عناصر الصورة وهنلسة التصوير والفيلم التصويري. الفصل الثالث يعرف بأهم تحويلات الصورة مع التركيز على تحويل فوريه لأهميته المتميزة. الفصل الرابع يقدم الطرائق الأساسية لتحسين الصورة بنوعيها الحيزي والترددي مثل تنعيم الصورة وإزالة الضجيج منها وزيادة حدة تفاصيلها ومعالحتها

بالتلوين. و الفصل الخامس يعالج مسألة استعادة معلومات الصور التي تدنت نوعيتها لأسباب معروفة. يعرض الفصل السادس الطرائق المعروفة لترميز الصورة بغية انقاص الحجم اللازم لتخزينها أو الزمن اللازم لارسافا. أما الفصل السابع فيعرض طرائق تجزيء الصورة إلى الأجزاء و المناطق الأساسية المكونة لها. و أخيرا ، يقدم الفصل الثامن أهم الطرائق المعروفة لتمثيل الصور و وصفها بشكل مناسب للمعالجة بالحاسوب.

و كما هو معروف، فإن إحدى الميزات الرئيسة التي تجتذب الطلاب الى مقرر في معالجة الصورة هي إتاحة الفرصة لتنفيذ واختبار الخوارزميات والمفاهيم المطورة في قاعة المحاضرات باستعمال معلومات حقيقية. يمكن توفير البيئة المثالية لهذا الغرض بواسطة نظام معالجة صور يتضمن مُرَقَّهِنَا و حاسوباً للاغراض العامة و تجهيزات إظهار الصور.

إن الملحقين اللذين يتضمنهما هذا الكتاب يؤمنان اتجاها بديلا للتعليم عندما لايتوفر نظام المائل. فالملحق A يتضمنهما هذا الكتاب يؤمنان اتجاها بديلا للتعليم عندما لايتوفر نظام عائل. فالملحق B يحتوي مجموعة من الصور المرمزة ملائمة لاجراء التجارب عليها باستعمال الطرق التي تمت مناقشتها في الكتاب. ان هذه الصور والبراجج يمكن استخدامهما معا على أي حاسوب للاغراض العامة، وهكذا يمكن للقارىء أن يكتسب الحبرة في تقنيات معالجة الصورة من خلال تنفيذ الحوازميات والاظهار المرئي للنتائج بأجهزة ذات كلفة معقولة في وقتنا الحاضر.

لقد أوردنا في ترجمة هذا الكتاب المصطلع باللغة الإنكليزية بعد رديفه بالعربية سباشرة في متن النص عندما يرد لأول مرة، وفي كل مرة شعرنا أن وضع المصطلح باللغة الإنجليزية يمكن أن يزيل غموضاً محتملاً في المعنى. وقد زود الكتاب أيضاً بملحق للمصطلحات مرتباً حسب الأبجدية الإنجليزية. وبهذا الحصوص أود أن أشكر الأبجدية العربية وملحق آخر مرتب حسب الأبجدية الإنجليزية. وبهذا الحصوص أود أن أشكر الأستاذ المهندس أحمد مرسي نفاخ للجهد الكبير الذي بذله في تدقيق الترجمة وضبط وتنسيق المصطلحات.

وفي النهاية أود أن أتقدم بالشكر والعرفان للأستاذ الدكتور المهندس أحمد عمر يوسف مدير المركز للتسهيلات الكبيرة التي قدمها والتي زادت سرعة إنجاز هذا العمل بشكل كبير. وأيضاً أود أن أشكر زوجتي أحلام لطباعتها المحطوطة الأولى لترجمة الكتاب على الحاسوب باستخدام معالج النصوص، والمحرج على أحمد اسماعيل للعناية التي أولاها للكتاب حتى خرج. بهذا الشكل.

و أخيراً، نأمل أن يقدم تعريب هذا الكتاب خدمة كبيرة للدارسين و الباحثين في هذا المجال في الموطن العربي، و أن نتمكن في المستقبل من تقديم كتب أخرى وثيقة الصلة به و تتعلق بالرؤية بواسطة الحاسوب و الذكاء الصنعي و التعرف على الأنماط، و الله الموفق.

	الفصل الأول	

#### إن صورة واحدة تغني عن أكثر من عشرة آلاف كلمة .

مجهول المصدر

#### 1.1 لمحة تاريخية

ينبع الاهتام بطرق معالجة الصور الرقمية من مجالي تطبيق أساسين: تحسين المعلومات التصويرية من أجل تفسيرها من قبل الانسان، و معالجة بيانات المنظر لادراكه من قبل الآلة بشكل مستقل. ان أحد التطبيقات الأولى لتقنيات معالجة الصور في المجال الاول كان في تحسين صور الصحف المرقمنة والمرسلة بواسطة كابل بحري بين لندن ونيويورك. ان ادخال نظام بارتلين Bartlane لارسال الصور بواسطة الكابل في اوائل العشرينات خفض الزمن اللازم لنقل صورة عبر الأطلسي من أكثر من أسبوع الى أقل من ثلاث ساعات. لقد رمزت الصور من أجل الارسال بواسطة الكابل وبعد ذلك استعيدت في طرف الاستقبال بواسطة اجهزة طباعة متخصصة. الشكل فيعد ذلك استعيدت في طرف الاستقبال بواسطة برقية مزودة بأوجه طباعة تحاكي غط الرماديات المتدرجة halftone pattern.



الشكل 1.1 صورة رقمية أنتجت في عام 1921 من شريط مثقب بواسطة طابعة برقية مزودة بأوجه طباعة خاصة (عن McFarlane 1972). ان بعض المشاكل الأولية في تحسين النوعية المرئية لهذه الصور الرقمية المبكرة كانت تتعلق باختيار اجرءات الطباعة وتوزيع سويات اللمعان brightness. لقد تم التخلي عن طريقة الطباعة التي استخدمت للحصول على الشكل 1.1 في نهاية عام 1921 لصالح تقنية مبنية على استعادة ضوئية (فوتوغرافية) تستخدم أشرطة تثقب عند مطراف الاستقبال البرقي. يبين الشكل 2.1 صورة تم الحصول عليها بهذه الطريقة. ان التحسينات في نوعية التوزع الرمادي و في الدقة واضحة بالمقارنة مع الشكل 1.1.



الشكل 2.1 صورة رقعية أنتجت من شريط مثقب بعد أن عبرت الاشـــارات الاطلسـي مرتين. بعض الأخطاء تظهر للعيان (عن McFarlane 1972)

إن أنظمة بارتلين المبكرة كانت قادرة على ترميز الصور في خمس سويات لمعان هيزة. لقد تمت زيادة هذه الامكانية إلى خمسة عشر سوية في عام 1929 . يعطي الشكل 3.1 دلالة على نوع الصور التي أمكن الحصول عليها باستعمال أجهزة تعطي خمسة عشر نغمة. خلال هذه الفترة، تم تحسين عملية الاستعادة بشكل كبير بادخال نظام لتحميض شريحة الفيلم عن طريق حزم ضوئية مشكلة بشريط الصورة المرمز.

على الرغم من انه قد تمت متابعة تحسين طرق معالجة الصور الرقمية المرسلة على مدى السنوات الخمس والشلائين التالية، فان هذه التحسينات استفادت من ظهور الحواسيب المتطورة و برامج الفضاء في نفس الوقت تقريبا لتبرز الامكانيات الكامنة في مفاهيم معالجة الصور. لقد بدأ العمل باستعمال تقنيات الحاسوب لتحسين الصور التي يحصل عليها من مجس الفضاء في مخبر Jet Propulsion في مدينة Pasadena من ولاية كاليفورنيا عام 1964، عندما عولجت صور القمر المرسلة بواسطة المركبة الفضائية 7 الصورالناتجة عن الكاميرا التلفيزيونية المركبة على سطح المركبة الفضائية. لقد خدمت هذه التقنيات

كاسأس لطرق محسنة استعملت في تحسين واستعادة الصور التي حصل عليها من برامج فضائية مشابهة معروفة مثل بعثات Surveyor إلى القمر وسلسلة طيران Apollo بمهمات الى المريخ، ورحلات Apollo المأهولة الى القمر.



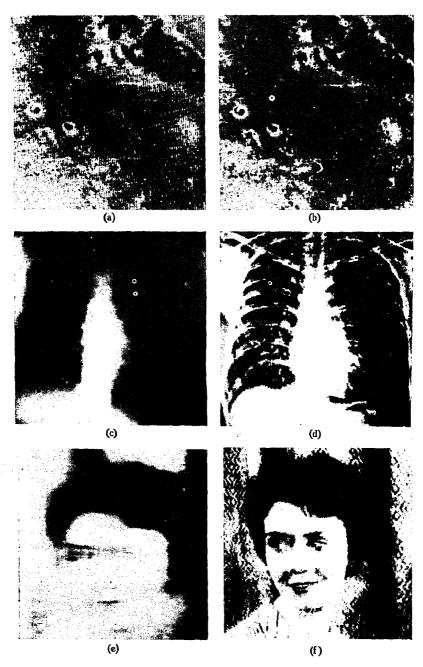
الشكل 3.1 صورة غير معالجة مرسلة بالكابل للجنرالين Pershing و Foch ، أرسلت بأجهزة ذات 15 نغمة من لندن الى نيويورك. (عن McFarlane 1972).

منذ عام 1964 وحتى تاريخ هذه الكتابة، شهد مجال معالجة الصور نموا واسعا. بالاضافة الى التطبيقات في برنامج الفضاء، فان تقنيات معالجة الصور الرقمية تستعمل اليوم في مسائل متنوعة والتي بالرغم من أنها غير متعلقة ببعضها في أكثر الأحيان، فهي جميعها بحاجة لطرق قادرة على تحسين المعلومات التصويرية من اجل تفسيرها وتحليلها من قبل الانسان. في الطب على سبيل المثال، تتم مساعدة الأطباء بواسطة اجراءات الحاسوب التي تحسن التباين أو ترمز سويات شدة الاضاءة على شكل ألوان من أجل تفسير أسهل لصور الأشعة السينية X-ray images وبعض صور الطب الاحيائي الأخرى. إن نفس التقنيات أو تقنيات أخرى مشابهة تستعمل من قبل الحغرافيين في دراسة نماذج التلوث التي يحصل عليها من صور الطائرات و السواتل. لقد استعملت اجراءات تحسين و استعادة الصور لمعالجة صور ذات نوعية رديئة و تحتوي في نفس الوقت أجساما لايمكن تصويرها ثانية، أو نتائج تجريبية باهظة التكاليف اذا ما أعيدت ثانية.

لقد وجدت حالات من هذا القبيل في علم الآثار، فعلى سبيل المثال، كانت هناك صور مغبشة و هي النسخ الوحيدة المتوفرة لتحف أثرية نادرة فقدت أوتلفت بعد تصويرها، وقد تمت استعادة هذه الصور بنجاح باستخدام طرق معالجة الصور. في الفيزياء والمجالات المتعلقة بها مثل بلازما الطاقة العالية والمجهر الألكتروني، يتم تحسين صورالتجارب التي تجرى في هذه المجالات بشكل روتيني باستخدام تقنيات الحاسوب. ويمكن ان نجد تطبيقات ناجحة مشابهة لمفاهيم معالجة الصور بالحاسوب في الفلك و علم الأحياء (البيولوجيا) و الطب النووي والقضاء و الدفاع والتطبيقات الصناعية.

يبين الشكل 4.1 بعض الأمثلة النموذجية للنتائج التي يمكن الحصول عليها باستخدام تقنيات معالجة الصور. الصور الأصلية تظهر الى اليسار والى اليين تظهر الصور ذاتها بعد أن تمت معالجتها بواسطة الحاسوب. الشكل 4.1(a) هو صورة لسطح المريخ والتي كانت قد أفسدت بالتداخل خلال ارسالها الى الأرض بواسطة مجس فضائي. التداخل الذي يظهر في هذه الحالة كمجموعة خطوط ذات بنية عمودية، يمكن أن يزال بشكل كامل تقريبا عن طريق معالجة الصورة بالحاسوب كما يظهر ذلك في الشكل 6.1(1) . يوضح الشكلان 6.1(1) و (b) التحسين الهام الذي يمكن أن يجرى على صورة بالأشعة السينية عن طريق استخدام تحسين الحواف. الصورة التي تظهر في الشكل 6.1(1) كانت قد غبشت جراء حركة منتظمة أثناء التقاط الصورة، والشكل 6.1(1) نتج بعد تطبيق خوارزمية ازالة التغبيش. هذه الأمثلة التوضيحية هي حالات نموذجية من تلك التي تمت مناقشتها بالتفصيل في الفصلين الرابع والحامس.

ان للأمثلة السابقة قاسم مشترك وهو أن نتائج المعالجة قصد منها مساعدة الانسان في تفسير هذه الصور. ان المجال الرئيس الثاني لتطبيق تقنيات معالجة الصور الرقمية والذي ذكر في بداية هذا القسم هو في المسائل التي تتعامل مع ادراك الآلة للأشياء. في هذه الحالة يتم تركيز الاهتام على اجراءات استخلاص معلومات الصور بشكل ملائم من أجل المعالجة بالحاسوب. غالبا ماتحمل هذه المعلومات شبها صغيرا للخصائص المرئية التي تستعمل من قبل البشر في تفسير محتوى الصورة. ان العزوم الاحصائية Fourier transform و معاملات تحويل فورييه Fourier transform



الشكل 4.1 أمثلة لتطبيقات معالحة الصور. العمود الأيسر: صور رقمية أصلية. العمود الأيمن: الصور بعد المعالحة.

coefficients و قياسات المسافات متعددة الأبعاد coefficients هي أمثلة لأنواع المعلومات المستعملة من أجل ادراك الآلة للصور.

من المسائل النموذجية في مجال ادراك الآلة والتي تستخدم عادة تقنيات معالجة الصور، التعرف الآلي على الأحرف الأبجدية و الانسان الآلي robots في مجال الصناعة من أجل التجميع والتفتيش و التمييز في المجال العسكري military recognizance و المعالجة الآلية لبصات الأصابع و مسح عينات الأشعة السينية ونماذج الدم و معالجة الآلة للصور الجوية و لصور السواتل من أجل التنبؤ بالطقس و تقدير المحاصيل.

#### 2.1 تمثيل الصورة الرقمية

monochrome (صورة أحادية اللون) المصطلح (صورة أحادية اللون) mage image أو ببساطة (صورة) لزمز الى دالة شدة اضاءة ثنائية الأبعاد, (x, y) حيث (x, y) تشيران الى الاحداثيات الحيزية spatial coordinates وقيمة (x, y) عند أية نقطة (x, y) تتناسب مع اللمعان (أو السوية الرمادية) للصورة عند تلك النقطة. يبين الشكل 5.1 مثالا يوضح اصطلاح المحاور المستخدم في جميع الفصول التالية. من المفيد في بعض الأحيان اظهار دالة الصورة بشكل منظوري حيث يمثل المحور الثالث اللمعان. اذا أظهر الشكل 5.1 بهذه الطريقة فسيبدو على شكل قمم حادة في المناطق التي يوجد فيها أظهر الشكل 5.1 بهذه الطريقة فسيبدو على شكل قمم حادة في المناطق التي يوجد فيها تغيرات كثيرة في سويات اللمعان ومناطق أكثر استواء أو هضابا في المناطق التي قلما تنوعت فيها سويات اللمعان أو كانت ثابتة. اذا اتبعنا اصطلاح تخصيص القيم الأعلى المساحات الأكثر لمعاناً فإن ارتفاع المركبات في الرسم سيكون متناسباً مع اللمعان الموافق لما في الصورة.

الصورة الرقمية هي صبورة f(x, y) قطعت في كل من الاحداثيات الحيزية واللمعان. يمكن أن تعد الصورة الرقمية مصفوفة يحدد دليلي صفها وعمودها مكان النقطة في الصورة، وقيمة عنصر المصفوفة الموافق يحدد قيمة السوية الرمادية عند تلك النقطة. ان عناصر مصفوفة رقمية كهذه تسمى عناصرالصورة ,picture elements والاسمان الاخيران هما اختصاران يستعملان بشكل شائع للمصطلح (picture elements).



الشكل 5.1 اصطلاح استخدام المحاور لتمثيل الصورة الرقمية.

على الرغم من أن قياس الصورة الرقمية يتنوع تبعا للتطبيق، سيصبح واضحا في الفصول القادمة أن هناك مزايا عديدة لاحتيار المصفوفات المربعة بقياسات وعدد سويات رمادية مساوية لقوى صحيحة للعدد 2 . على سبيل المثال، ان قياساً نموذجياً مماثلاً في النوعية لصورة تلفزيون أبيض وأسود هو مصفوفة أبعادها 512×512 وفيها 128 سوية رمادية.

باستثناء مناقشة تقنيات الألوان الصنعية لتحسين الصور في الفصل الرابع، فان الصور المدروسة في هذا الكتاب هي صور رقمية أحادية اللون من الشكل الموصوف أعلاه. وهكذا فلن نهتم بالمواضيع المتعلقة بتحليل المناظر ثلاثية الأبعاد ولا بالتقنيات البصرية لمعالجة الصور.

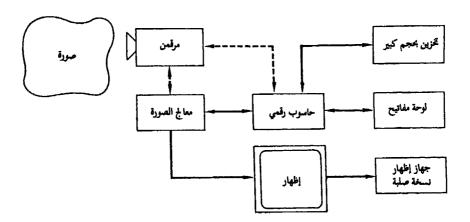
# 3.1 عناصر نظام معالجة الصور الرقمية

يبين الشكل 6.1 مكونات نظام أساسي عام الأغراض لمعالجة الصورالرقمية. ان

عمل كل كتلة في هذا الشكل مشروح أدناه بايجاز.

#### 1.3.1 معالجات الصورة

ان معالج الصورة الرقمية يعد بمثابة القلب لأي نظام لمعالجة الصور. يتألف معالج الصورة من مجموعة وحدات من الكيان الصلب تنجز أربع وظائف أساسية هي: تحصيل الصورة من مجموعة وحدات من الكيان الصلب تنجز أربع وظائف أساسية هي: واسميعة image acquisition و التخزين storage و المعالجة منخفضة السوية (سميعة) ow-level processing و الاظهار display. نموذجيا، يكون دخل كتلة تحصيل الصورة اشارة تلفزيونية (انظر القسم 2.3.1) و ترقمن هذه الاشارة حيزيا واتساعا (انظر القسم 3.2). ان أغلب معالجات الصورة الحديثة تقدر على رقمنة الصورة التلفزيونية في زمن اطار واحد (أي في 1/30 من الثانية). ولهذا السبب غالبا ما يشار الى وحدة تحصيل الصورة بقانص الاطار frame grabber .



الشكل 6.1 عناصر نظام معالجة الصور الرقمية. الخطوط المتقطعة تشير الى أنه في الحالة النموذجية توصل واحدة فقط من التوصيلتين.

ان وحدة التخزين التي غالبا ما تدعى دارىء الاطار frame buffer هي ذاكرة قادرة على تخزين صورة رقمية كاملة. يتم عادة بناء عدة وحدات من هذا النوع في معالج الصورة. ان الخاصة المنفردة التي أكثر ما تميز وحدة التخزين هي أن محتويات الذاكرة يمكن أن تحمل أو تقرأ بمعدل الاطار التلفزيوني (من مرتبة 30 صورة في الثانية). ان

هذه الخاصة تسمح لوحدة تحصيل الصورة بوضع صورة كاملة في التخزين بالسرعة التي يتم بها قنصها. وبشكل معاكس، فان الذاكرة يمكن الوصول اليها بمعدل الاطار التلفزيوني بواسطة وحدة الاظهار التي تخرج الصورة إلى شاشة المراقبة التلفزيونية كا هو مناقش في القسم 5.3.1. ان بعض أساليب عنونة الذاكرة memory كا هو مناقش في القسمح ظاهريا بنزويم zoom (تقريب وتبعيد) آني للصورة بالاضافة الى الازاحات، العمودية scroll والأفقية pan.

ان وحدة المعالجة تنجز وظائف منخفضة السوية مثل العمليات الحسابية والمنطقية. وهكذا فان هذه الوحدة غالبا ما تسمى وحدة الحساب—المنطق (ALU). انها جهاز من الكيان الصلب صمم خصيصا ليؤمن ربحا في السرعة بمعالجة عناصر الصورة بالتوازي. ان وظيفة وحدة الاظهار هي قراءة الصورة من الذاكرة وتحويل المعلومات الرقمية المخزنة إلى اشارة تماثلية مرئية واخراج هذه الاشارة الى شاشة مراقبة تلفزيونية أو الى جهاز مرئي آخر. وتوجد أيضا خيارات اظهار اضافية من الكيان الصلب تشتمل على دوال لتحويل السويات الرمادية والرسم، بالاضافة الى طبقات من المحروف و الأرقام alphanumeric

# 2.3.1 المرقمنات

ان مرقمن الصورة التماثلية digitizer يحول الصورة الى تمثيل عددي ملائم للادخال الى الحاسوب الرقمي. من ضمن أجهزة الادخال الأكثر شيوعا، مقياس الكثافة الضوئية الدقيق microdensitometer و ماسحات النقطة الطائرة flying ومحمد spot scanners ومحللات الصورة image dissectors ومحللات الصورة الصورة المساسة للضوء photosensitive solid – state arrays. الحهازان الأولان يتطلبان أن تكون الصورة التي يراد رقمنتها شفافة (مثل النسخة السالبة للفيلم a film negative ) أو صورة مطبوعة. ان محللات الصورة و كاميرات الفيدكون و مصفوفات أنصاف النواقل الحساسة للضوء يمكن أن تقبل صورا مسجلة بهذه والطريقة ولكن لها ميزة اضافية هامة كونها قادرة على رقمنة صور طبيعية اذا كان لهذه الصور شدة ضوئية كافية لاثارة المكشاف.

في مقياس الكثافة الضوئية الدقيق ، تحمل اللوحة الشفافة أو الصورة على مضجع مسطح أو تلف على اسطوانة. يتم المسح بتبئير حزمة ضوئية على الصور الشفافة متر المضجع أو تدوير الأسطوانة بالنسبة للحزمة الضوئية. في حالة الصور الشفافة تمر الحزمة الضوئية عبر الفيلم وأما في حالة الصور غير الشفافة فانها تنعكس عن سطح الصورة. في كلتا الحالتين تبأر الحزمة الضوئية على مكشاف ضوئي، والسوية الرمادية عند أية نقطة من الصورة تسجل بواسطة المكشاف على أساس شدة الحزمة الضوئية الواردة. يتم الحصول على صورة رقمية بالسهاح لقيم متقطعة لكل من الكثافة والموضع في الحرج. بالرغم من أن مقياس الكثافة الضوئية الدقيق جهاز بطيء فهو قادر على اعطاء درجات عالية من الدقة للموضع وذلك بسبب طبيعة التحريك الميكانيكية المستمرة أساسا و المستخدمة في عملية الرقمنة.

ان ماسحات النقطة الطائرة تعمل أيضا على مبدأ تبير حزمة ضوئية مرسلة أو منعكسة على مكشاف ضوئي. ولكن في هذه الحالة، تكون الصورة ثابتة والمنبع الضوئي هو أنبوبة أشعة مهبطية (CRT) فيها حزمة من الألكترونات تحرف بواسطة مغانط كهربائية، وتصطدم بسطح فوسفوري مضيء. وتنتج الحزمة الألكترونية بقعة ضوئية تتحرك وفق نمط مسحي على وجه الأنبوب. نظرا لكون الحزمة تحرك الكترونيا فانها تسمح بسرعات مسح عالية. ان ماسحات النقطة الطائرة ملائمة بشكل مثالي من أجل التطبيقات التي يرغب فيها التحكم بنمط مسح الحزمة الألكترونية خارجيا مثل حالة تتبع حدود الأجسام في صورة ما. ان هذه المرونة مؤمنة لأن موضع الحزمة الألكترونية يمكن تحديده بسرعة وسهولة باشارات جهد voltage خارجية مطبقة على المغانط الكهربائية.

في محللات الصورة وكاميرات الفيديكون تبار الصورة مباشرة على سطح أنبوب حساس للضوء تتناسب استجابته مع نمط الضوء الوارد. ان عمل محلل الصورة مبني على مبدأ الاصدار الألكتروني حيث أن الصورة الواردة على السطح الحساس للضوء تنتج حزمة من الألكترونات مقطعها العرضي يساوي تقريبا الأبعاد الهندسية لسطح الأنبوب. ان التقاط الصورة يتم باستعمال مغانط كهربائية لحرف كامل الحزمة الضوئية

بعد ثقب دقيق يقع في مؤخرة صهام المحلل. يسمح الثقب بمرور مقطع عرضي صغير فقط من الحزمة الألكترونية وهكذا ينظر الى نقطة واحدة في الصورة في وقت واحد. نظرا لأن كفاءة المواد المصدرة للضوء منخفضة جدا، فان الزمن الذي تستغرقه الحزمة الألكترونية المارة من الثقب لتمسح مصدر النقطة ولتجمع عددا كافيا من الألكترونات يجعل محللات الصورة مرقمنات بطيئة الى حد ما. ان أغلب الأجهزة تكامل اصدار كل نقطة دخل على مدى فترة زمنية محددة قبل اعطاء اشارة متناسبة مع لمعان النقطة. ان امكانية التكامل هذه مفيدة في تخفيض الضجيج، وتجعل محللات الصورة جذابة في التطبيقات التي تتطلب نسبة عالية للاشارة الى الضجيج. وكما في حالة ماسحات النقطة الطائرة، فان التحكم في نمط المسح في محللات الصورة يغير بسهولة بواسطة اشارات حمد خارجية تطبق على المغانط الكهربائية.

ان عمل كاميرات الفيديكون مبني على مبدأ التوصيلية الضوئية. تنتج الصورة المبارة على سطح الصهام نمط توصيلية متغيرة يوائم توزع السطوع في الصورة الضوئية. تقوم حزمة ضوئية مستقلة مبارة بدقة بمسح السطح الخلفي للهدف الموصل ضوئيا، وبتحييد الشحنات تخلق هذه الحزمة الألكترونية فرق جهد ينتج على المجمع اشارة تتناسب مع نمط لمعان الدخل. يتم الحصول على الصورة الرقمية بتكمية هذه الاشارة، بالاضافة الى الموضع الموافق للحزمة الماسحة.

تتألف مصفوفات أنصاف النواقل الحساسة للضوء من عناصر تصوير سيليكونية منفصلة عن بعضها البعض تسمى المواقع الضوئية photosites. هذه المواقع الضوئية لها جهد خرج يتناسب مع شدة الضوء الوارد. تنظم مصفوفات أنصاف النواقل في واحد من ترتيبين هندسيين أساسيين: محاسيس مسح الخط line scan ومحاسيس المساحة area sensors. يتألف محساس مسح الخط من صف من المواقع الضوئية وينتج صورة ثنائية الأبعاد عن طريق الحركة النسبية بين المنظر والمكشاف. أما محساس المساحة فيتألف من مصفوفة من المواقع الضوئية ولذلك فهو قادر على التقاط صورة، لنقل، بنفس طريقة أنبوب الفيديكون.

الفيديكون ومحاسيس المساحة تجمع عادة ككاميرات تلفزيونية. تتم رقمنة

الصورة بتغذية خرج الكاميرا الى وحدة تحصيل الصورة كا تحت مناقشته في قسم سابق. على الرغم من أن الكاميرات التلفزيونية أقل دقة من الأنظمة التي نوقشت أعلاه فان لها مزايا عديدة تغطي في معظم التطبيقات على عيب نقص الدقة النسبي فيها. ان أنظمة الفيديكون، على سبيل المثال، من ضمن أرخص مرقمنات الصورالموجودة في الأسواق. ولهذه الأنظمة أيضا مزية متميزة وهي أن الصورة المرقمنة يمكن أن تظهر بكاملها على شاشة المراقبة التلفزيونية. هذه الامكانية التي لاتتوفر في أي من الأنظمة التي نوقشت أعلاه مثالية من أجل التطبيقات ذات الأغراض العامة.

#### 3.3.1 الحواسيب الرقمية

على الرغم من أن معالج الصورة، وكما ذكرنا في القسم 1.3.1 ، يمكن أن يكون مجهزا بامكانيات معالجة داخلية، فان سوية هذه المعالجة منخفضة الى حد ما من حيث التعقيد. وهكذا فاننا نجد عادة أن معالجات الصورة مربوطة الى حاسوب للأغراض العامة يؤمن التنوع بالاضافة الى سهولة البرمجة. ان أنظمة الحاسوب المستعملة من أجل معالجة الصور تتدرج من أجهزة المعالجات الصغرية إلى أنظمة الحاسوب الضخمة القادرة على انجاز دوال معقدة حسابيا على مصفوفات صور كبيرة. ان المعلمات الأساسية التي تؤثر على بنية الحاسوب المخصص لمعالجة الصور هي التطبيق المقصود وكمية البيانات المراد ادخالها واخراجها. من أجل التطبيقات المكرسة لهدف معين (والتي عادة ما تملي شرط انخفاض الكلفة)، فان حاسوبا صغريا microcomputer أو صغيرا minicomputer مجهزا بشكل جيد سيكون على الأغلب كافيا. اذا كان التطبيق يتضمن تطويرا مكثفا للبرامج أو كان يتميز بكم كبير من بيانات الدخل والخرج فأغلب الاحتال أن حاسوبا كبيرا سيكون مطلوبا. في هذه الحالة سيكون للحاسوب المجهز بامكانية عنونة لذاكرة ظاهرية virtual memory ميزات هامة. ان العنونة الظاهرية تجعل أقراص التخزين المحيطية متوفرة للمبرج وكأنها ذاكرة رئيسة. هذه الميزة الشفافة بالنسبة للمستثمر لها أهمية حاسمة لأن الصور الرقمية تستخدم كمية كبيرة من الذاكرة أثناء المعالجة. ان البديل للعنونة الظاهرية هو مجموعة من البرامج المعقدة يزود بها

المستشمر ويكون عملها نقل أقسام الصورة من و الى وحدات التخزين المحيطية أثناء المعالجة.

# 4.3.1 أجهزة التخزين

ان صورة رقمية تتألف من 512×512 عنصراً، تمت تكمية كل منها بثمان بتات (byte) تتطلب 0.25 ميغا بايت من التخزين. لذلك فان تأمين امكانيات تخزين ضخمة هو واحد من أهم الأوجه في تصميم نظام معالجة صور عام الأغراض أوساط التخزين الرئيسة الثلاثة المستخدمة في هذا النوع من العمل هي الأقراص المغناطيسية والأشرطة المغناطيسية والأقراص البصرية. ان الأقراص المغناطيسية بسعة الاحتفاظ بحوالي 2800 صورة من الحجم المذكور أعلاء. الأشرطة المغناطيسية عالية الكثافة من جهتها (6400 بايت للانش) تستطيع أن تخزن صورة واحدة من تلك المذكورة أعلاه في أربعة أقدام تقريبا من الشريط. أما الأقراص البصرية المبنية على تقنية الليزر في القراءة والكتابة فقد أصبحت متوفرة تجاريا. ان سعة التخزين لقرص كبير منفرد يمكن أن تصل الى 4 جيغا بايت، أي أربعة آلاف مليون بايت، والتي يمكن أن ترجم الى (16000) صورة في القرص الواحد.

# 5.3.1 أجهزة التسجيل والاظهار

ان شاشات المراقبة التلفزيونية أسود و أبيض والملونة هي أجهزة الاظهار الرئيسة المستعملة في أنطمة معالجة الصور الحديثة. ان شاشات المراقبة تساق بخرج أو حروج وحدة اظهار الصورة الموجودة في معالج الصورة كما ذكرنا في القسم 1.3.1 . هذه الاشارات يمكن أن تغذى أيضا جهاز تسجيل الصورة والذي عمله هو انتاج نسخة صلبة hardcopy للصورة المظهرة على شاشة المراقبة مثل، الشرائح slides و الصور ملبة وhardcopy والشفافات transparencies. وهناك بعض أوساط الاظهار الأخرى والثي تشتمل على أنابيب الأشعة المهبطية وأجهزة الطباعة.

في أنظمة أنابيب الأشعة المهبطية، يتم تحويل الموقعين الأفقى والعمودي لكل عنصر في مصفوفة الصورة الى جهود تستعمل لحرف شعاع أنبوبة الأشعة المهبطية

مؤمنة بذلك السوق ثنائي الأبعاد اللازم لانتاج صورة الخرج. عند كل نقطة انحراف، تعدل شدة الحزمة باستعمال جهد متناسب مع قيمة النقطة الموافقة من المصفوفة الرقمية لتتغير من شدة الخرج الصفرية من أجل النقاط التي قيمتها العددية توافق السواد الى الشدة العظمى من أجل النقاط البيضاء. ان غط شدة الاضاءة المتغيرة الناتج يسجل بواسطة كاميرا تصوير مبأرة على وجه أنبوبة الأشعة المهبطية. ان بعض الأنظمة الأخرى تستخدم صهاما فوسفوريا ذي مداومة طويلة والذي يسمح أيضا باظهار كامل الصورة بعد أن تكون عملية المسح قد أكملت.

على الرغم من أن الصور التي تسجل بعملية تصوير يمكن أن تكون بنوعية ممتازة فان نفس الصور تظهر بشكل عام بنوعية رديئة عندما تظهر للمراقب على أنبوب الأشعة المهبطية ذي المداومة الطويلة، بسبب المحدودية في نظام الرؤية البشري عندما يستجيب لهذا النوع من الاظهار.

إن أجهزة أظهار الصورة طباعة، مفيدة بشكل أساسي من أجل الأعمال المتعلقة بمعالجة الصور بدقة منخفضة. ان احدى الطرق البسيطة لتوليد الصورة الرمادية مباشرة على الورق تتم باستعمال امكانية الطباعة المتكررة overstrike لطابعة خط معيارية. ان السوية الرمادية لأية نقطة في الخرج المطبوع يمكن التحكم بها عن طريق عدد و كثافة الأحرف التي تطبع فوق بعضها عند تلك النقطة. باختيار مجموعة الأحرف بشكل صحيح من الممكن الحصول على توزعات رمادية جيدة بشكل معقول، ببرنامج حاسوب بسيط وعدد قليل نسبيا من الأحرف. هناك مثال لهذه الطريقة معطى في الملحق A. وهناك وسائل أخرى شائعة لتسجيل الصورة مباشرة على الورق تتضمن طابعات الليزر وأجهزة الورق الحساس للحرارة، وأجهزة رش الحبر.

# 4.1 تنظم الكتاب

يمكن تقسيم العمليات المستعملة في معالجة الصورة الى أربعة مجالات رئيسة: (1) رقمنة الصورة، (2) تحسين الصورة واستعادتها (3) ترميز الصورة، و (4) تجزئة الصورة و تمثيلها و وصفها. ان المادة المحتواة في الفصول القادمة منظمة بشكل أساسي بنفس ترتيب مجالات هذه المسائل.

كما ناقشنا في الأقسام 2.1 و 3.1 فان مسألة رقمنة الصورة هي عملية تحويل اللمعان المستمر والاحداثيات الحيزية الى مركبات متقطعة. في الفصل الثاني تعطي مناقشة أولية لعملية رقمنة الصورة وأثرها على نوعية الصورة، في حين أن مناقشة نظرية أكثر لعملية الاعتيان sampling مطورة في الفصل الثالث. ان اعتبارات الرقمنة هي توسيع طبيعي للموضوع الرئيس لهذين الفصلين والذي هو تقديم للمفاهيم والأدوات الرياضية المستعملة عبر بقية هذا الكتاب.

تبحث تقنيات التحسين والاستعادة في تحسين صورة معطاة من أجل الادراك من قبل الانسان أو بواسطة الآلة. تحسين الصورة هو موضوع الفصل الرابع في حين أن طرق الاستعادة مغطاة في الفصل الخامس . اجراءات ترميز الصورة المناقشة في الفصل السادس تستعمل لتخفيض عدد البتات bits في الصورة الرقمية.

غالبا ما تلعب عملية الترميز دورا مركزيا في معالجة الصورة من أجل تخفيض متطلبات التخزين و الارسال الى حد أدنى. تقنيات التجزئة مدروسة في الفصل السابع التجزئة هي العملية التي تقسم الصورة الى المناطق والأشياء المكونة لها. الفصل الثامن يبحث في التمثيل والوصف وهما عمليتان مهمتان في تنفيذ أنظمة التحليل والمعالجة الآلية للصورة.

هناك ملحقان تم تضمينهما في نهاية الكتاب. الملحق A يحتوي على مجموعة من برامج فورتران لاظهار الصور على طابعة خط عادية. والملحق B يحتوي على مجموعة من الصور الرقمية المرمزة والتي يمكن استخدامها مع البرامج الموجودة في الملحق A لاختبار الطرق المطورة في الكتاب باستعمال هذه المعطيات التصويرية.

#### مراجع

ان المراجع المدونة أدناه لها طبيعة عامة وتغطي طيف تقنيات معالجة الصورة المتوفرة وتطبيقاتها. المراجع المعطاة في نهاية الفصول الأخيرة مركزة على مواضيع محددة مناقشة في النص. كل المراجع مدونة حسب اسم الكاتب أو الكتاب أو المجلة متبوعا

بسنة النشر. المراجع في نهاية الكتاب منظمة بنفس الطريقة وتحتوي جميع المعلومات البارزة لكل مرجع.

نورد فيا يلي بعض المجلات الرئيسة التي تنشر مقالات في معالجة الصورة والمواضيع المتعلقة بها:

Computer Vision, Graphics, and Image Processing, IEEE Transactions on Systems, Man and Cybernatics, IEEE Transactions on Pattern Analysis and Machine Intelligence, Pattern Recognition, IEEE Transactions on Medical Imaging, Journal of the Optical Society of America, IEEE Transactions on Information Theory, IEEE Transactions on Communications, IEEE Transactions on Acoustics, Speach and Signal Processing, Proceedings of the IEEE, and issues of the IEEE Transactions on Computer prior to 1980.

و هناك كتب أخرى موضع اهتمام تشمل

Andrews [1970], Pratt [1978], Castleman[1979], Hall[1979] and Rosenfeld and Kack [1982].

المنشورات في مجال التعرف على الأشكال غالبا ما تحتوي على مقالات تتعلق بمعالجة الصورة. الكتب التالية تحتوي على دليل للمنشورات في مجال التعرف على الأنماط والمواضيع المتعلقة به:

Duda and Hart [1973], Tou and Gonzalez [1974], Pavlidis [1977] Gonzalez and Thomason [1978], and Fu [1982].

الفصل الثاني

# أساسيات الصورة الرقمية

إِنْ أُولِئكَ اللَّذِينَ يَرْغُبُونَ فِي النجاح، يجب أَن يسأَلُوا الأسئلة التّهيدية الصحيحة

(Aristotle)

ان الهدف من هذا الفصل هو تعريف القارىء بعدد من مفاهيم الصورة و تطوير بعض التعابير الرياضية التي ستستخدم عبر هذا الكتاب. القسم الأول هو ملخص موجز لميكانيكية جهاز الابصار لدى الانسان، بما في ذلك تشكل الصورة في العين ومقدرتها على التكيف مع اللمعان و تمييزه. القسم 2.2 يعرض نموذج صورة مبني على ظاهرة انعكاس الانارة، الذي يعطي معظم الصور التي تدرك في أنشطتنا البصرية العادية.ان مفهومي الاعتيان المنتظم للصورة و تكمية السويات الرمادية يقدمان في القسم 3.2. القسم 4.2 يبحث في العلاقات بين عناصر الصورة، مثل الاتصالية القسم 2.5 يبحث في العلاقات بين عناصر الصورة، مثل الاتصالية مكثف ضمن الكتاب. القسم 5.2 يحتوي مناقشة مفصلة لهندسة التصوير و المواضيع المتعلقة بها. أحيرا ، القسم 6.2 يحتوي تقديما للفيلم التصويري (الضوئي) و بعض أهم خصائصه بدلالة تسجيل نتائج معالجة الصورة.

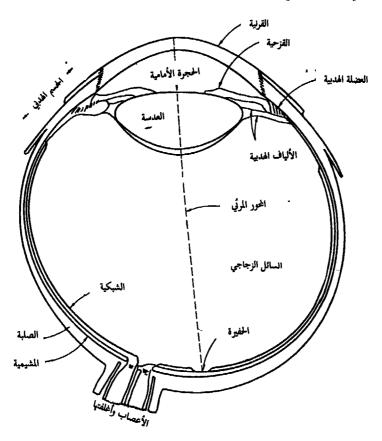
#### 1.2 عناصر الادراك البصري

نظرا لأن الهدف النهائي لكثير من التقنيات المناقشة في الفصول القادمة هو مساعدة المراقب في تفسير محتوى الصورة، من المهم قبل أن نتقدم في هذا الفصل أن نطور فهما أساسيا لعملية الادراك البصري. المناقشة التالية هي وصف موجز لميكانيكية الابصار لدى الانسان بتأكيد خاص على مفاهيم ستخدم كأساس لمواد كثيرة معروضة في الفصول اللاحقة.

#### 1.1.2 بنية العين البشرية

الشكل 1.2 يبين مقطعا أفقيا للعين البشرية. للعين شكل كروي تقريبا بقطر

يقارب 20 مم وسطيا. وهي مغلفة بثلاثة أغشية هي : القرنية cornea و غطاء الصلبة sclera الخارجي و المشيمية choroid و الشبكية retina. القرنية هي نسيج متين شفاف يغطي السطح الأمامي للعين. الصلبة متصلة مع القرنية وهي غشاء غير شفاف يحيط بباقي الكرة البصرية.



الشكل 1.2 رسم تخطيطي مبسط لمقطع للعين البشرية

تقع المشيمية مباشرة تحت الصلبة. هذا الغشاء يحتوي على شبكة من الأوعية الدموية التي تمثل المصدر الرئيس لتغذية العين. إن المشيمية مصبوغة بكثافة وبالتالي فهي تساعد في تخفيض كمية الضوء الخارجي الداخل الى العين والانتثار الخلفي

backscatter ضمن القبة البصرية. في أقصى الداخل، المشيمية مقسمة الى الجسم الهدبي backscatter، و الحجاب القزحي iris diaphram. الحجاب القزحي يتقلص أو يتمدد للتحكم في كمية الضوء التي يسمح لها بدخول العين. الفتحة المركزية للقزحية (الحدقة) the pupil متغيرة في القطر من حوالي 2 مم الى 8 مم . ان واجهة القزحية تحتوي الصباغ المرئي للعين في حين أن قفاها يحتوي الخضاب الأسود.

ان أبعد غشاء في داخل العين هو الشبكية التي تبطن كامل الجزء الخلفي لجدار العين. عندما تكون العين مركزة بشكل صحيح، يتشكل خيال ضوء الجسم الذي يقع خارج العين على الشبكية. ان مستقبلات الضوء المنفصلة المتوزعة على سطح الشبكية تعطي القدرة على رؤية الشكل. هناك نوعان من المستقبلات: المخاريط cones والعصيات rods. يبلغ عدد المخاريط في كل عين بين 6 و 7 ملايين مخروط. تقع هذه المخاريط بشكل أساسي في الجزء المركزي من الشبكية يسمى الحفيرة fovea وهي عالية الحساسية للألوان. يستطيع بنو البشر تمييز تفاصيل دقيقة بواسطة هذه المخاريط لأن كل مخروط موصول الى نهاية العصب الحاص به تقوم العضلات التي تتحكم بالعين بتدوير كرة العين حتى يقع خيال الجسم الذي نريده في الحفيرة. رؤية المخاريط تعرف بالفوتوبيك photopic أو الرؤية النهارية.

ان عدد العصيات أكبر بكثير فهو من مرتبة 75 الى 150 مليون عصية متوزعة على السطح الشبكى. ان المساحة الأكبر لتوزع العصيات وحقيقة أن عدة عصيات موصولة الى نهاية عصب واحد تخفض كمية التفاصيل المكن تمييزها بهذه المستقبلات. تقوم العصيات باعطاء صورة اجمالية عامة لحقل الرؤية. العصيات لاعلاقة لها برؤية الألوان وهي حساسة لسويات الانارة المنخفضة. فعلى سبيل اللئال، الأجسام التي تظهر زاهية الألوان في ضوء النهار، تبدو عديمة الألوان في ضوء القمر لأن العصيات وحدها تتحسس الانارة الضعيفة. هذه الحالة تعرف بالسكوتوبيك ودودونة الليلية.

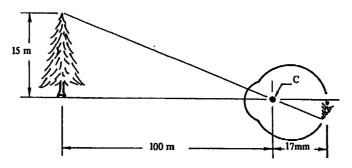
تتكون العدسة من طبقات متحدة المركز من خلايا ليفية معلقة بألياف قوية تربطها بالجسم الهدبي. هذه العدسة تحتوي على 60 الى 70٪ ماء و حوالي 6٪ شحم، وبروتين أكثر من أي جزء آخر من العين. العدسة ملونة بصباغ أصفر فاتح يتزايد مع التقدم في العمر، وهي تمتص 8٪ تقريبا من طيف الضوء المرئي، مع امتصاص أعلى

نسبيا للموجات الأقصر. الأشعة تحت الحمراء وفوق البنفسجية تمتص بشكل كبير من قبل البروتين الموجود في بنية العدسة، و وجوده بكميات زائدة يمكن أن يسبب تلف العين.

# 2.1.2 تشكل الصورة في العين

ان الفرق الرئيس بين عدسة العين والعدسة البصرية العادية هو أن الأولى مرنة. كم هو موضح في الشكل 1.2، فان نصف قطر تقوس السطح الأمامي للعدسة أكبر من نصف قطر سطحها الخلفي. يتم التحكم بشكل العدسة بواسطة الشد (التوتر) في ألياف الجسم البلوري. للتبغير على الأجسام البعيدة تقوم العضلات المتحكمة ببسط العدسة الى حد ما. وبشكل مشابه فان هذه العضلات تسمح للعدسة بأن تصبح أكار ثخانة لكى تركز على الأجسام القريبة من العين.

ان المسافة بين المركز البؤري للعدسة والشبكية تتغير من 17 مم الى 14 مم تقريبا، تبعا لزيادة قدرة العين على كسر الأشعة الضوئية من قيمتها الدنيا الى قيمتها العظمى. عندما تركز العين على جسم أبعد من 3 أمتار تقريبا تبدي العدسة أدنى قدرة على كسرالأشعة الضوئية، وعندما تركز على جسم قريب جدا يكون لها أقصى قدرة على كسر الأشعة الضوئية. مع هذه المعلومات من السهل حساب حجم الصورة الشبكية لأي جسم. في الشكل 2.2 على سبيل المثال، ينظر المراقب الى شجرة بارتفاع 15 م على مسافة 100م. اذا اعتبرنا أن x قياس الصورة الشبكية بالميليمترات، فان الأبعاد الهندسية للشكل 2.2 تعطينا ما يلي 20/10 = 1/x، أو 2.5 = مع. كما أشرنا في القسم الهندسية للشكل 2.2 تعطينا ما يلي 100/15 على القسم

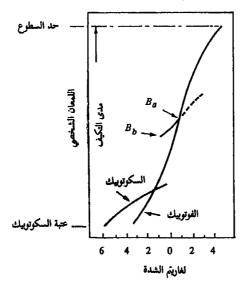


الشكل 2.2 تمثيل بصري لعين تنظر الى شجرة. النقطة C هي المركز البصري للعدسة.

السابق فان الصورة الشبكية تعكس بشكل أولي في مساحة الحفيرة. وعندئذ يحدث الادراك بالتهيج النسبي لمستقبلات الضوء التي تحول الطاقة المشعة الى نبضات كهربائية تكشف في النهاية بواسطة الدماغ.

# 3.1.2 التكيف مع السطوع وتمييزه

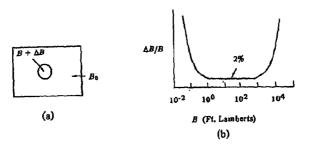
نظرا لأن الصورة الرقمية يتم اظهارها كمجموعة منفصلة من نقاط اللمعان، فان مقدرة العين على التمييز بين سويتي لمعان مختلفتين، اعتبار هام في عرض نتائج معالجة الصورة. ان مدى سويات شدة الضوء الذي يمكن أن يتكيف معه نظام الابصار لدى الانسان واسع جدا، فهو من مرتبة 10 10 من عتبة السكوتوبيك الى حد السطوع (التوهيج). ويوجد أيضا دليل تجريبي هام وهو أن اللمعان المقوم تقويما شخصيا رأي اللمعان كما يتم ادراكه بواسطة جهاز الابصار لدى الانسان) تابع لوغاريتمي لشدة الضوء الوارد إلى العين. هذه الخاصة موضحة في الشكل 3.2 الذي هو منحني شدة الضوء مقابل اللمعان المقوم تقويما شخصيا. الخط المتصل الطويل يمثل مدى الشدات التي يستطيع أن يتكيف معها نظام الابصار. ان المدى في الرؤية النهارية وحدها هو التي يستطيع أن يتكيف معها نظام الابصار. ان المدى في الرؤية النهارية وحدها هو



الشكل 3.2 مدى الاحساس باللمعان المقوم تقويما شخصيا، مظهرا سوية تكيف خاصة.

حوالي 610 . ان الانتقال من رؤية الضوء-العاتم الى رؤية الضوء – الساطع تدريجي على المدى التقريبي من 0.001 الى 0.1 ميلي لامبيرت mL) mililambert - - 1 -- 1 في التدريج اللوغاريتمي)، كما هو موضح بالفرعين المزدوجين لمنحني التكيف في هذا المدى. ان النقطة المركزية في تفسير المدى الديناميكي المؤثر (impressive) المرسوم في الشكل 3.2 هي أن نظام الابصار لايمكن، على الاطلاق، أن يعمل على مدى كهذا في وقت واحد. بدلا من ذلك فهو ينجز هذا التغير الكبير بتغييرات في حساسيته الكلية، وهي ظاهرة تعرف بالتكيف اللمعاني brightness adaptation. ان المدى الاجمالي لسويات الكثافة (الشدة) الذي يستطيع تمييزه في وقت واحد صغير الي حد ما عندما يقارن بمدى التكيف الكامل. ان سوية الحساسية الحالية لنظام الابصار ولأية مجموعة محددة من الشروط تدعى سوية تكيف اللمعان، والتي يمكن أن توافق على سبيل المثال اللمعان  $B_a$  في الشكل 3.2. ان المنحنى القصير المتقاطع يمثل مدى اللمعان المقوم تقويما شخصيا، الذي يمكن ان تدركه العين عندما تنكيف مع هذه السوية. ويلاحظ أن هذا المدى مقيد الى حد ما لوجود سوية , التي عندها وما دون، تدرك جميع المحرضات كسوادات غير مميزة. ان الجزء العلوي (المنقط) من المنحني غير مقبد، ولكن ، اذا مدد الىأبعد من ذلك بكثير يفقد معناه لأن شدات أعلى بكثير سترفع ببساطة سوية التكيف الى قيمة أعلى من 🔏 .

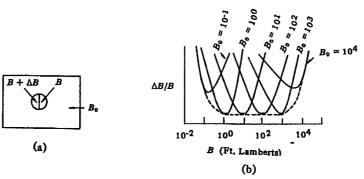
إن حساسية العين للتباين بمكن أن تقاس بتعريض مراقب الى حقل منتظم من الضوء بسطوع قدره B ، مع هدف دائري حاد الحواف في المركز، بسطوع قدره B + B كما هو مبين في الشكل B + B . متم زيادة B



الشكل 4.2 حساسية العين للتباين مع خلفية ثابتة.

تماما. ان الفرق  $\Delta B$  الملحوظ يقاس كتابع لـ B. الكمية  $\Delta B/B$  ، تسمى نسبة ويبر Weber ratio وهي ثابتة عند 2 % تقريبا على مدى عريض جدا من سويات السطوع كما هو مبين في الشكل  $\Delta B/B$ . هذه الظاهرة أدت الى بروز الفكرة القائلة بأن العين البشرية لها مدى ديناميكي أعرض بكثير من أنظمة التصوير المصنعة من قبل الانسان. ولكن هذا لايتطابق مع أي وضع مشاهدة عادية، ويمكن الحصول على نتائج أكثر قابلية للتطبيق باستعمال النمط المبين في الشكل  $\Delta B/B$ .

يتم قياس  $\Delta B/B$  ثانية ولكن  $B_0$  ، اللمعان المحيط (المتكيف)، يعتبر الآن معلمة parameter. النتائج مبينه في الشكل 5.2 (b) . ان المدى الديناميكي هو تقريبا 2.2 وحدات لوغاريتمية متمركزة حول لمعان التكيف، والذي يمكن مقارنته بما يمكن الحصول عليه من أنظمة تصوير الكترونية اذا تم ضبطها بشكل صحيح من أجل لمعان الخلفية المحيطة. ان السهولة والسرعة التي تكيف بها العين نفسها بشكل مختلف على



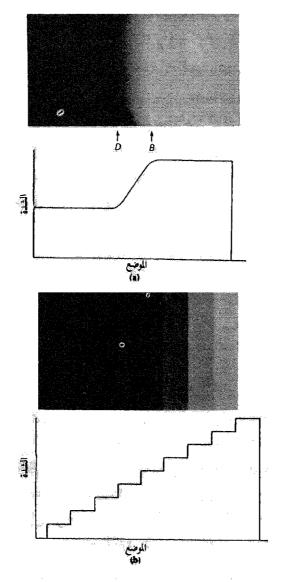
الشكل 5.2 حساسية التباين مع خلفية متغيرة.

أجزاء محتلفة من الشبكية هي في الحقيقة الخاصة المتميزة وليس مداها الديناميكي الكلي. ما قصد بالمدى الديناميكي المساوي 2.2 وحدات لوغاريتمية، هو أن  $\Delta B/B$  تبقى ثابتة نسبيا في هذا المدى. مع تغير B عن لمعان التكيف  $B_0$  أكثر فأكثر ، يتغير المظهر أيضا. وهكذا فإن لمعاناً يساوي تقريباً 1.5 لوغاريتم وحدات أعلى أو أخفض من  $B_0$  يظهر أبيضاً أو أسوداً ، على التوالي. إذا جعل الهدف المركزي عند سوية ثابتة في حين يتم تغيير  $B_0$  على مدى عريض ، يبدو الهدف متغيرا من الأبيض الكامل الى الأسود الكامل.

في حالة صورة معقدة، لا يتكيف نظام الابصار مع سوية شدة وحيدة. بدلا من ذلك، فهو يتكيف مع سوية وسطية تعتمد على خصائص الصورة. عندما تجول العين حول المشهد تتراوح سوية التكيف الآنية حول هذه القيمة الوسطى. من أجل أية نقطة أو مساحة صغيرة في الصورة، تكون نسبة ويبر عادة أكبر بكثير من تلك التي يحصل عليها في بيشة تجريبية بسبب نقص الحواف المحددة بحدة ونغيرات الشدة (الكثافة) في الحلفية المحيطة. وتكون النتيجة أن العين تستطيع أن تكشف فقط في جوار دزينتين أو ثلاث دزينات من سويات الشدة (الكثافة) عند أية نقطة في صورة معقدة. لكن هذا لايعني أن الصورة تحتاج لأن تظهر بدزينتين فقط من سسويات الكثافة للحصول على نتائج مرئية مرضية. ان مدى التمييز الضيق المذكور أعلاه "يلاحق" سوية التكيف عندما يتغير الأخير لكي يتكيف مع سويات كثافة تختلفة الكلي متبعا حركات العين حول المشهد و هذا ما يسمح بأن يكون مدى تمييز الكثافة الكلي أكبر بكثير. ان الحصول على اظهارات تبدو للعين منتظمة بشكل معقول، ولأنواع كثيرة من الصور، يتطلب مدى يتألف من أكنر من 100 سوية كثافة. هذه النقطة كثيرة من الصور، يتطلب مدى يتألف من أكنر من 100 سوية كثافة. هذه النقطة سيتم الاهتهام بها بتفصيل أكبر في القسم 3.2.

ان لمعان منطقة ما ، كما يدرك بالعين، لا يعتمد على الضوء المشع من المنطقة فحسب بل على عوامل أخرى. فيما يتعلق بتطبيقات معالجة الصورة، فان أكثر الظواهر المتعلقة باللمعان أهمية هي أن استجابة نظام الابصار لدى الانسان تميل الى البروز حول حواف المناطق ذات الكثافة المختلفة. ان نتيجة هذا البروز هي جعل المناطق ذات الكثافة الثابتة تبدو وكأن لها لمعانا متغيرا. في الشكل 2.0(a) مثلا، الصورة المبينة كانت قد أنتجت بتغيير الكثافة تبعا لنمط (بروفيل) كثافة مبين تحت الصورة. على الرغم من أن تغير الكثافة منتظم تماما، ترى العين شريطا أكثر لمعانا في المنطقة المعلمة a وشريطا أكثر اظلاما في المنطقة المعلمة a. هذان الشريطان يسميان شريطا ماخ (Mach Bands) وهذه التسمية مأخوذة عن Ernet Mach وهو اول من وصفهما في عام 1865. هناك مثال أكثر لفت للنظر لأثر شريط ماخ مبين في الشكل 2.6(d). كما يتضح من هناك مثال أكثر لفت للنظر في الصورة كان قد أنتج باستعمال كثافة ثابتة. لكن بالنسبة لمعين يبدو نمط اللمعان في الصورة بشكل محار مروحي وبشكل خاص حول الحواف .

2.2 نموذج صورة كما نستعمل في هذا الكتاب، المصطلح "صورة" يرمز إلى دالة ثنائية الأبعاد



الشكل 6.2 أمثلة لأثر وشريط ماخ، (عن Cornsweet 1972).

لكثافة الضوء، يشار إليها بـ f(x, y) حيث ان قيمة أو اتساع f عند احداثيين حيزين f(x, y) تعطى كثافة (لمعان) الصورة عند تلك النقطة. إنظراً لأن الضوء شكل من أشكال الطاقة، فإن f(x, y) يجب أن لاتكون صفرا وآن تكون محدودة، أي،

$$0 < f(x, y) < \infty. \tag{1.2.2}$$

إن الصور التي نراها في أنشطتنا اليومية أتتألف عادة من ضوء منعكس عن الأجسام. يمكن أن تعتبر الطبيعة الأساسية له (x, y) متميزة بمركبتين. الأولى هي كمية الضوء الواردة على المشهد الذي ننظر اليه، في حين أن المركبة الأخرى هي كمية الضوء المنعكسة عن الأجسام الموجودة في المشهد. تسمى هاتان المركبتان الانارة و الانعكاسية ويشار اليهما به (x, y) و (x, y)، على التوالي. تنضم الدالتان (x, y) و (x, y)?

$$f(x, y) = i(x, y)r(x, y)$$
 (2-2.2)

$$0 < i(x, y) < \infty \tag{3-2.2}$$

•

$$0 < r(x, y) < 1$$
 (4-2.2)

إن القيم المعطاة في المعادلة (2.2–3) و (2.2–4) هي حدود نظرية. الأرقام العددية الوسطية التالية توضح بعض الأمداء النموذجية لـ(x, y)i. في يوم صحو، يمكن أن تنتج الشمس ما يزيد على 9000 شمعة—قدم من الانارة على سطح الارض. ينخفض هذا الرقم إلى أقل من 1000 شمعة—قدم في يوم غائم. في مساء صحو، ينتج البدر حوالي 0.01 قدم—شمعة من الانارة. ان سوية الانارة النموذجية في مكتب تجاري هي حوالي 100 شمعة—قدم . بشكل مشابه، القيم التالية هي بعض القيم النموذجية لـ هي حوالي 100 شمعة—قدم . وللفولاذ الذي لايصدأ 0.65 و لدهان جدار أبيض

مسطح 0.80 ، و لمعدن مغطى بالفضة 0.90 وللثلج 0.93 .

خلال هذا الكتاب، سنسمي كثافة الصورة أحادية اللون f عند احداثيين gray level السوية الرمادية الرمادية gray (x, y) السوية الرمادية (x, y) أن قيمة f تقع في المدى

 $L_{\min} \leq l \leq L_{\max} \tag{5-2.2}$ 

نظريا، المتطلب الوحيد من أجل  $L_{\min}$  هو أن تكون موجبة، ومن أجل  $L_{\min}$  أن تكون عدودة. من الناحية العملية،  $L_{\min} = r_{\min} i_{\min}$ . و  $L_{\max} = r_{\max} i_{\max}$  باستعمال القيم المذكورة أعلاه للانارة والانعكاسية كدليل، يمكن أن تتوقع القيم  $L_{\min} \approx 0.005$   $m_{\max}$  100  $m_{\max}$  100

البون gray scale. من المتعارف  $[L_{\min}, L_{\max}]$  interval يدعى السلم الرمادي gray scale. من المتعارف عليه إزاحة هذا البون عددياً إلى البون [0,L]، حيث أن 0=1 يعتبر أسوداً و L=1 يعتبر أبيضاً على هذا السلم. جميع القيم المتوسطة هي ظلال رمادية تتغير بشكل مستمر من الأسود إلى الأبيض .

### 3.2 الاعتيان و التكمية

#### 1.3.2 الاعتيان و التكمية المنتظمين

لكي تكون دالة الصورة f(x, y) في شكل ملائم للمعالجة بالحاسوب، يجب أن ترقمن في كل من الحيز والاتساع. ستدعى رقمنة الاحداثيين الحيزيين (x, y) اعتيان الصورة " image sampling ، في حين أن رقمنة الاتساع ستدعى "تكمية السوية—الرمادية " gray level quantization .

لنفترض أن صورة مستمرة f(x, y) قد قربت بعينات متباعدة بانتظام و مرتبة بشكل مصفوفة مربعة  $N \times N$  كما هو مبين في المعادلة (-3.2) حيث ان كل عنصر من المصفوفة هو كمية منفصلة:

ليس بالضرورة أنْ تقتصر رقمنة صورة ما على المصفوفات المربعة. ولكن، المناقشات القادمة ستبسط غالباً بتبني هذا الاصطلاح.

$$f(x,y) \approx \begin{bmatrix} f(0,0) & f(0,1) & \cdots & f(0,N-1) \\ f(1,0) & f(1,1) & \cdots & f(1,N-1) \\ \vdots & & & & \\ f(N-1,0) & f(N-1,1) & \cdots & f(N-1,N-1) \end{bmatrix}$$
 (1-3.2)

الجانب الأيمن من هذه المعادلة يمثل ما يدعى عادة "الصورة الرقمية" image "عنصر صورة" عنصر صورة" وimage أشرنا إليه بـ "عنصر صورة" element, picture element, pixel و "عناصر صورة" pixels سيستعملان في المناقشات التالية للدلالة على الصورة الرقمية و عناصرها.

إن عملية الرقمنة المذكورة أعلاه تتطلب اتخاذ قرار بخصوص قيمة N بالاضافة المعدد السويات الرمادية المتقطعة المسموح بها لكل عنصر صورة. من المتعارف عليه في معالجة الصورة الرقمية أن تجعل هاتان الكميتان قوى صحيحة للعدد 2 ،أي:

$$N=2^n$$
 (2-3.2)

•

$$G=2^m \qquad (3-3.2)$$

حيث ترمز G الى عدد السويات الرمادية. من المفترض في هذا القسم أن السويات المتقطعة متباعدة بانتظام بين الصفر و L على السلم الرمادي. باستخدام المعادلتين (2.2-2) و (2.3-2) غبد أن عدد البتات b ، اللازم لتخزين صورة مرقمنة بعطى بالعلاقة التالية:

. - حا 128×128 و فيها 64 سوية رمادية تتطلب 98304 بته من التخزين. الجدول 1.2 يلخص قيم b لبعض الأمداء النموذجية لـ N و m . الجدول 2.2 يعطى عدد البايتات (ثمانية بتات) الموافقة.

عموما ، ليس عمليا من وجهة نظر البرمجة ملىء بايت بشكل كامل اذا كان ذلك يقتضي أن يتراكب عنصر صورة بين بايت ما و البايت التي تليها. وهكذا فان

m الجدول 1.2 عدد بتات التخزين من أجل قيم متنوعة لـ N

N	1	2	3	4	5	6	7	8
32	1,024	2,048	3,072	4,096	5,120	6,144	7,168	8,192
64	4,096	8,192	12,288	16,384	20,480	24,576	28,672	32,768
128	16,384	32,768	49,152	65,536	81,920	98,304	114,688	131,072
256	65,536	131,072	196,608	262,144	327,680	393,216	458,752	524,288
512	262,144	524,288	786,432	1,048,576	1,310,720	1,572,864	1,835,008	2,097,152

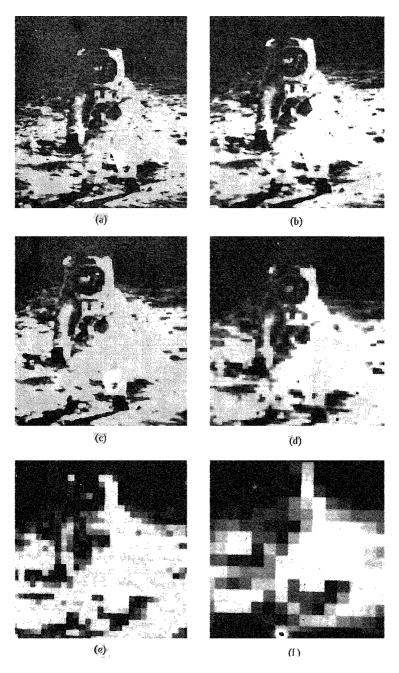
الجدول 2.2 عدد بايتات التخزين (ثمانية بتات) من أجل قيم متنوعة لـ N و m

N <sup>m</sup>	1	2	3	4	5	6	7	8
32	128	256	512	512	1,024	1,024	1,024	1,024
64	512	1,024	2,048	2,048	4,096	4,096	4,096	4,096
128	2,048	4,096	8,192	8,192	16,384	16,384	16,384	16,384
256	8,192	16,384	32,768	32,768	65,536	65,536	65,536	65,536
512	32,768	65,536	131,072	131,072	262,144	262,144	262,144	262,144

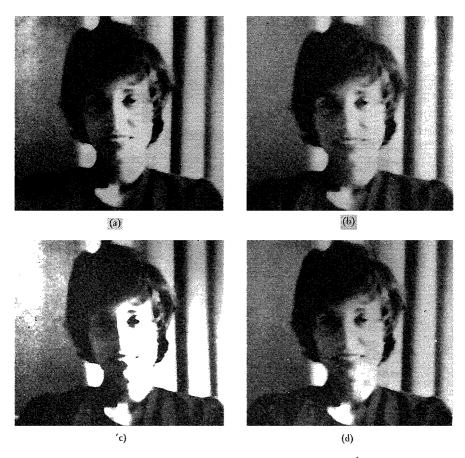
الأرقام في الجدول 2.2 تمثل العدد الأدنى للبايتات اللازمة لكل قيمة لـ N و m عندما لايسمح بالتراكب. مثلا، اذا كانت m m m يفترض أن عنصر صورة واحد فقط يخزن في بايت واحدة، بالرغم من أن هذا يترك ثلاثة بتات غير مستعملة في البايت. نظرا لأن المعادلة (3.2 – 1) تقريب لصورة مستمرة، فهناك سؤال معقول يمكن أن يسأل عند هذه النقطة وهو "كم هو عدد العينات والسويات الرمادية المطلوبة من أجل تقريب جيد؟" إن ميز resolution (أي، درجة التفصيل الممكن تمييزه) صورة ما يعتمد بشكل هام على M و m كلتيهما. كلما زيد هذان المقداران، كلما مثلت المصفوفة المؤسفة وهي أن التخزين و بالتالي متطلبات المعالحة تزداد بسرعة كتابع L M و

في ضوء التعليقات المذكورة أعلاه، من المهم أن نفكر في أثر تغيرات N و M على نوعية الصورة. كما يمكن أن نتوقع، من الصعب تعريف الصورة "الجيدة" اذ أن متطلبات الجودة تختلف تبعا للتطبيق. يبين الشكل 7.2 أثر تخفيض قياس شبكة الإعتيان على الصورة. الشكل 7.2 (a) هو صورة أبعادها 512×512 وفيها 256 سوية رمادية، تظهر رائد الفضاء Buzz Aldrin خلال الهبوط الأول على القمر (لاحظ انعكاس Neil Armstrong على لوحة الوجه). الأشكال 7.2 (b) حتى (f) تظهر نفس الصورة، ولكن مع 16, 258, 64, 64, 32, 16 في جميع الحالات احتفظ بالعدد الأعظمي المسموح به للسويات الرمادية 256. نظراً لأن مساحة الاظهار التي استعملت لكل صورة كانت نفسها (أي 252×512 نقطة اظهار)، فإن عناصر الصورة في الصور ذات الميز الأخفض تمت مضاعفتها لمليء مجال الاظهار الكلي. وهذا ما أنتج ما يعرف بأثر لوحة المربعات checkerboard، الذي يمكن ملاحظته بشكل خاص في الصور ذات الميز المنخفض. يلاحظ أن الصورة ذات الأبعاد 256×256 قريبة بشكل معقول من الشكل 2.7(a) ، ولكن نوعية الصورة تدهورت بسرعة من أجل قيم M الأخرى.

الشكل 8.2 يوضح الآثار الناتجة عن تخفيض عدد البتات المستعملة لتمثيل السويات الرمادية في الصورة. الشكل 8.2(a) هو صورة امرأة رقمنت باستعمال مصفوفة أبعادها 512×512 وفيها 256 سوية رمادية [m=8] في المعادلة (m=3.2)]. الأشكال 8.2(d) حتى (h) تم الحصول عليها بتخفيض عدد البتات من m-1 الى التوالي، مع الاحتفاظ بأبعاد شبكة الاعتيان 512×512. الصور ذات السويات 256 و 128 و 64 هي صور ذات نوعية مقبولة. لكن الصورة التي فيها 32 سوية ظهرت فيها كفافات contours زائفة غير حادة في منطقة الخلفية المتجانسة فوق كتف المرأة الأيمن. هذا الأثر يظهر بشكل أكثر وضوحا في الصورة التي فيها 64 سوية رمادية، ويتزايد بحدة في بقية الصور.



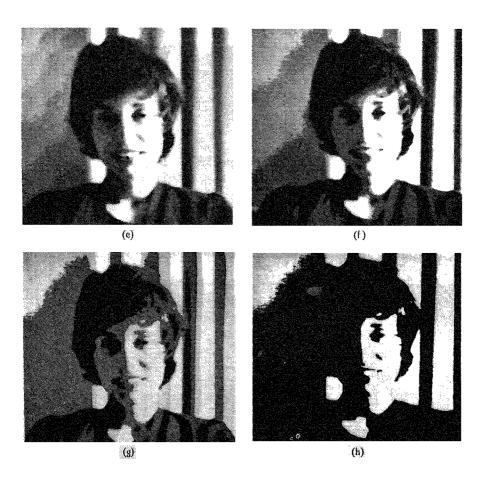
الشكل 7.2 آثار تخفيض قياس شبكة الاعتيان.



الشكل 8.2 صورة بأبعاد 512×512 معروضة بـ 256 و 128 و 64 و 32 و 16، 8 ـ 4 و 2 سوية رمادية.

ان عدد العينات والسويات الرمادية اللازمة للحصوا المستعادة أمينة للصورة الأصلية يعتمد على الصورة ذاتها. وكأساس للمقارنة فان المتطلبات للحصول على نوعية مقاربة لصورة تلفزيون أسود وأبيض على مدى عريض من أنواع الصور هي من مرتبة 512×512 عنصر صورة و بـ 128 سوية رمادية. وكقاعدة عامة، الحد الأدنى لمواصفات نظام لمعالجة الصورة هو أن يكون قادرا على اظهار 256×256 عنصر صورة مع 64 سوية رمادية.

النتائج المبينة أعلاه توضح الآثار الناتجة عن تغيير N و m بشكل مستقل على



تتمة الشكل 8.2

نوعية الصورة. لكن هذه النتائج تجيب بشكل جزئي فقط على السؤال الذي طرح سابقا حيث أنه لم نقل أي شيء بعد حول العلاقة بين هذه المعلمات parameters. اهتم هوانغ Huang عام 1965 بهذه المسألة في محاولة لقياس الآثار الناتجة عن تغيير N و m على نوعية الصورة تجريبيا. لقد تألفت التجربة من مجموعة من الاحتبارات الشخصية subjective tests. يبين الشكل 9.2 ثلاثة من الصور التي استعملت في هذه الاحتبارات. ان وجه المرأة يمثل الصورة التي تحتوي على تفاصيل قليلة، نسبيا وصورة المصور تحتوي كمية متوسطة من التفاصيل، وصورة المحمور تحتوي بالمقارنة مع سابقتها كمية كبيرة من التفاصيل.



الشكل 9.2 صور اختبار استعملت في تقويم نوعية الصورة بشكل شخصي. ( عن 1965 Huang).

لقد تم توليد مجموعات من هذه الصور الثلاثة بتغيير N و m وطلب من مراقبين أن يصنفوها حسب نوعيتها المقومة وفق تقويم شخصي. النتائج ملخصة في الشكل m-N على منحنيات تساوي الأفضلية «isopreference curves» في المستوي m-N كل نقطة في هذا المستوي تمثل صورة بقيم m-N و m مساوية لاحداثي تلك النقطة. ان منحني تساوي الأفضلية هو منحن تمثل النقاط فيه صورا بنفس النوعية، مقومة بشكل شخصي.

إن منحنيات تساوي الأفضلية في الشكل 10.2 مرتبة من اليسار الى اليمين حسب ازدياد النوعية الذاتية. هذه النتائج توحي بعدة استنتاجات تجريبية :(1) كما كان متوقعا فان نوعية هذه الصور تميل نحو الزيادة بازدياد N و m. هناك حالات قليلة تحسنت فيها النوعية بتنقيص m من أجل N ثابتة. وأغلب الاحتمال أن هذا يعود إلى حقيقة أن تنقيص m يزيد بشكل عام التباين الظاهر للصورة. (2) تميل المنحنيات لتكون عمودية أكثر مع ازدياد التفاصيل في الصورة. هذا يوحي بأنه من أجل الصور التي تحتوي على كمية كبيرة من التفاصيل، هناك حاجة لعدد قليل من السويات الرمادية. مثلا، يلاحظ في الشكل (c 10.2) أنه من أجل الشكلين الآخرين. (3) الا منحنيات تساوي الأفضلية تنحرف بشكل ملحوظ عن منحنيات m الثابتة، المبينة بشكل منط في الشكل .

### 2.3.2 الاعتيان والتكمية غير المنتظمين.

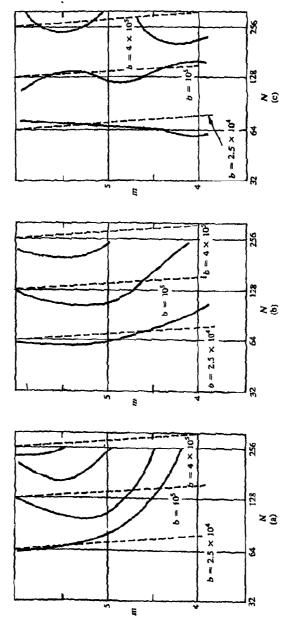
من أجل قيمة ثابتة لـ N ، يمكن في حالات كثيرة تحسين مظهر الصورة باستعمال طريقة متكيفة تعتمد فيها عملية الاعتيان على خصائص الصورة. بشكل عام، ان أخذ عينات متقاربة مطلوب في الجوار الذي توجد فيه انتقالات حادة في السوية الرمادية، في حين أن الاعتيان بشكل متباعد يمكن أن يستخدم في المناطق المنتظمة نسبيا. لنأخذ بعين الاعتبار، على سبيل المثال، صورة بسيطة تتألف من وجه متوضع على خلفية منتظمة. من الواضح أن الخلفية تحمل معلومات قليلة عن التفاصيل، و يمكن تمثيلها بشكل ملائم تماما بأخذ عينات متباعدة.

ان الوجه من جهة أخرى يحتوي تفاصيل أكثر بكثير. اذا استعملت العينات الاضافية التي لم تستعمل في الخلفية في منطقة الصورة فان النتيجة الاجمالية ستميل الى التحسن، و بشكل خاص اذا كانت N صغيرة. عند توزيع العينات، يجب أن يستعمل تركيز أكبر للعينات في مناطق الحدود الفاصلة بين السويات الرمادية المختلفة، مثل الحدود بين الوجه والخلفية في المثال السابق.

من المهم أن نلاحظ أن ضرورة تحديد الحدود حتى و لو بشكل تقريبي هي عائق واضح لاستخدام أسلوب الاعتيان غير المنتظم. يجب أن يبقى في ذهننا أيضا أن هذه الطريقة ليست عملية من أجل الصور التي تحتوي على مناطق متجانسة صغيرة نسبيا. فعلى سبيل المثال، سيكون من الصعب تبرير الاعتيان غير المنتظم لصورة جمهور مكتظ من الناس.

عندما يراد الاحتفاظ بعدد السويات الرمادية صغيرا، من المرغوب عادة استخدام سويات متباعدة بشكل غير منتظم في عملية التكمية. يمكن أن تستعمل طريقة مشابهة لتقنية أخذ العينات غير المنتظم التي نوقشت أعلاه من أجل توزيع السويات الرمادية في الصورة. لكن نظرا لأن مقدرة العين ضعيفة نسبيا عند تقدير الظلال الرمادية قرب التغيرات الحادة للسوية الرمادية، فان الأسلوب في هذه الحالة هو استخدام سويات رمادية قليلة في جوار الحواف. يمكن استعمال السويات المتبقية عندئذ في المناطق التي تكون فيها تغيرات السويات الرمادية صغيرة، متفادين أو مغضين بذلك الكفافات الزائفة التي تظهر عادة في هذه المناطق اذا تمت تكميتها بشكل رديء جدا.

إن هذه الطريقة خاضعة لنفس الملاحظات التي ذكرت أعلاه فيا يتعلق بكشف الحدود ومحتوى التفاصيل. هناك تقنية بديلة جذابة و بشكل خاص من أجل توزيع السويات الرمادية. تتألف الطريقة من حساب تردد حدوث جميع السويات المسموح بها. عندئذ، اذا حدثت سويات رمادية في مدى محدد بشكل متكرر، في حين أن السويات الأخرى نادرا ما تحدث، فإن سويات التكمية تباعد بشكل دقيق في هذا المجال، وبشكل عريض خارجه. هذه الطريقة تدعى أحيانا التكمية المتناقصة تدريجيا tapered quantization.



الشكل 10.2 منحيات تساوي الأنضلية لـ (a) ، وجه، (d) مصور، و (c) جمهور.

### 4.2 بعض العلاقات الأساسية بين عناصر الصورة

نهتم في هذا القسم بعدة علاقات أولية، ولكنها هامة، بين عناصر الصورة الرقمية. كما في الأقسام السابقة، سنرمز للصورة بf(x, y) عند الرجوع الى عنصر صورة محدد ، سنستعمل الأحرف الطباعية الصغيرة مثل p و p. أما بالنسبة لمجموعة جزئية من عناصر الصورة f(x, y) فسنرمز لها بـ S.

### 1.4.2 جيران العنصر

ان لعنصر صورة p عند الاحداثيين (x, y) أربعة جيران أفقية وعمودية، تعطى احداثياتها كما يلي:

$$(x + 1, y), (x - 1, y), (x, y + 1), (x, y - 1).$$

هذه المجموعة من عناصر الصورة والتي تسمى الحيران الأربعة -4 neighbors هذه المعنصر p ، سنرمز لها بـ  $N_4(p)$ . يلاحظ أن كلا من هذه العناصر يبعد مسافة الوحدة عن p ويلاحظ أيضا أن بعض جيران p ستقع خارج الصورة الرقمية اذا كان الاحداثيان p على حدود الصورة.

الجيران الأربعة القطرية لـ p لها الاحداثيات التالية

$$(x+1,y+1),(x+1,y-1),(x-1,y+1),(x-1,y-1)$$

وسنرمز لها لـ  $N_D(p)$ . هذه النقاط مع الجيران الأربعة المعرفة أعلاه تدعى الجيران الثانية  $N_D(p)$  له  $N_B(p)$  وسيرمز لها بـ  $N_B(p)$ . وكما هي الحال بالنسبة للجيران الثانية  $N_B(p)$  للجيران  $N_B(p)$  وسيرمز لها بـ  $N_B(p)$  ستقع خارج الصورة اذا كانت  $N_B(p)$  تقع على حدود الصورة.

#### 2.4.2 الاتصالية 2.4.2

ان الاتصالية بين عناصر الصورة مفهوم هام يستعمل في تعيين حدود الأجسام ومركبات المناطق في الصورة. لكي نحدد فيا اذا كان العنصران متصلين يجب أن نحدد ما اذا كانا متجاورين طبقا لمفهوم محدد (مثلا، اذا كانا متساويين). على سبيل المثال، في صورة ثنائية قيمها "0" أو "1"، يمكن أن يكون العنصران من الجيران الأربعة، ولكن لايقال أنهما متصلان الا اذا كان لهما نفس القيمة.

لتكن V تمثل مجموعة قيم السويات الرمادية المستعملة لتعريف الاتصالية، مثلا، إذا كانت اتصالية العناصر ذات الكثافة 50 و 60 و 61 هي المهمة فقط، تكون عندئذ  $V=\{61,60,59\}$ 

- من q متصلان رباعية q متصلان ما عام q و يعتبر العنصران q و اللذان لهما قيمتان q متصلان رباعيا q متصلان رباعيا q دادا كانت q ضمن q متصلان رباعيا q
- (ب) الاتصالية الثمانية. يعتبر العنصران q و p اللذان لهما قيمتان من v متصلان ثمانيا q و q اذا كانت q اذا كانت q في المجموعة q اذا كانت q اذا كانت q اذا كانت q المحموعة q
- (ج) الاتصالية m (الاتصالية المختلطة). يعتبر العنصران p و p بقيم من V متصلان اتصالا مختلطا m connected اذا كان
  - (i) موجودة في (N<sub>4</sub> (p) أو
- (ii) موجودة في  $N_D\left(p\right)$  و المجموعة  $N_A\left(p\right)\cap N_4\left(p\right)$  خالية. (هذه هي المجموعة من العناصر التي هي الجيران الأربعة لكل من p و p و قيمها من p.)

ان الاتصالية المختلطة هي تعديل للاتصالية الثمانية وطرحت لحذف الوصلات متعددة المسارات (انظر أدناه) التي تنشأ غالبا عندما تستعمل الاتصالية الثمانية. على سبيل المثال، انظر الى ترتيب العناصر المبينة في الشكل 11.2 (a) . بافتراض أن . [1,2]-٧ تكون المسارات بين الجيران الثمانية للعنصر الذي قيمته 2 مبينة بخطوط مشرطة في الشكل 11.2 (b) . من المهم ملاحظة الغموض في الممرات الناتج عن السماح بالاتصالية الثمانية. هذا الغموض تتم ازالته باستخدام الاتصالية المختلطة كما هو مبين في الشكل 11.2)

	(a)			(b)		(c)	
0	0	1	0	0 1	0	0	N
0	2	0	0	2 0	0	2	0
0	1	1	0	11	0		

الشكل 11.2 (a) ترتيب من العناصر. (b) الجيران الثمانية للعنصر المرقم 2 (c) جيران من نوع m لنفس العنصر. الخطوط المشرطة هي ممرات بين ذلك العنصر و جيرانه.

ان العنصر p مجاور للعنصر p إذا كانا متصلين. اعتاداً على الاتصالية المحددة،  $S_2$  و  $S_1$  يكن أن نعرف تجاوراً رباعياً أو ثمانياً، أو مختلطاً. نقول عن مجموعتين جزئيتين  $S_1$  و  $S_2$  في صورة متجاورتين إذا كان عنصر ما في المجموعة الجزئية  $S_1$  مجاور لعنصر ما في المجموعة الجزئية  $S_2$ .

ان الممر من العنصر p الذي له الاحداثيين (x, y) الى العنصر q الذي احداثييه (s,t) هو تتابع عناصر مميزة احداثياتها

$$(x_0, y_0), (x_1, y_1), \ldots, (x_n, y_n),$$

ميث  $(x, y)=(x_0, y_0)=(x, y)=(x, y)$  و (x, y)=(x, y) و  $(x_0, y_0)=(x, y)=(x, y)=$ 

p اذا كان q و p عنصرين في مجموعة جزئية S لصورة ما، نقول عندئذ ان S متصلة S في S اذا كان هناك ممر من S الله S يتألف بشكل كامل من عناصر في S من أجل أي عنصر S في S ، ثدعى مجموعة العناصر في S المتصلة مع S مركبة متصلة من أجل أي عنصر من مركبة متصلة لك عنصرين من مركبة متصلة متصلين مع بعضهما البعض، وأن المركبات المتصلة المميزة منفصلة.

## 3.4.2 قياسات المسافة 3.4.2

ليكن لدينا ثلا ثة عناصر صورة p, q, z التي احداثياتها (x, y), (s, 1), (u, v) على التوالي. نسمى D دالة مسافة distance function اذا كان

$$(y, q) = q$$
 اذا کانت  $D(p, q) = 0$   $D(p, q) \ge 0$ 

$$D(p, q) = D(q, p), \quad (\psi)$$

$$D(p, z) \leq D(p, q) + D(q, z).$$
 (7)

ان المسافة الأكليدية Euclidean distance بين p بين و p تعرف كإيلي:

$$D_r(p,q) = [(x-s)^2 + (y-t)^2]^{1/2}.$$
 (1-4.2)

من أجل قياس المسافة هذا، العناصر التي لها مسافة أقل أو تساوي قيمة ما r

من (x, y) هي النقاط المحتواة في قرص نصف قطره r و مركزه (x, y).

المسافة الرباعية D<sub>4</sub> - distance (تسمى أيضا مسافة ساحة المدينة q و p تعرف كإيلى:

$$D_4(p,q) = |r-s| + |y-t|. \qquad (2-4.2)$$

في هذه الحالة، العناصر التي تبعد عن (x, y) مسافة رباعية أقل أو تساوي قيمة معينة r معينة r معينة r معينة أقل أو تساوي r تشكل مسافة رباعية أقل أو تساوي r تشكل كفافات (contours) المسافة الثالية:

يلاحظ أن العناصر التي تبعد مسافة  $D_{q-1}$  هي الجيران الأربعة لـ (x, y). المسافة الثمانية (تسمى أيضا مسافة رقعة الشطرنج chessboard distance) بين p و p تعرف كايل:

$$D_8(p,q) = \max(|x-s|,|y-t|). \tag{3-4.2}$$

في هذه الحالة، العناصر التي تبعد عن (x, y) مسامه ثمانية أقل أو تساوي قيمة محددة r تشكل مربعا مركزه في (x, y). على سبيل المثال، العناصر التي تبعد عن (x, y) (نقطة المركز) مسافة ثمانية أقل أو تساوي 2 تشكل كفافات المسافة الثابتة التالية:

يلاحظ أن العناصرالتي تبعد مسافة 1 هي الجيران الثمانية لـ (x, y).

من المهم أيضا أن نلاحظ أن المسافة الرباعية بين نقطتين q و p تساوي طول أقصر ممر رباعي shortest 4-pa th بين هاتين النقطتين. هذا وتنطبق تعليقات مماثلة على المسافة النمانية. في الحقيقة، يمكن أن نأخذ بعين الاعتبار كلتا المسافتين الرباعية والنمانية بين نقطتين q و p بغض النظر عما إذا كان هناك ممر موصول بينهما لأن تعريف هاتين المسافتين يتضمن احداثيبهما فقط. لكن عندما نتعامل مع الاتصالية المختلطة، فان المسافة (طول الممر) بين عنصرين تعتمد على قيم العناصر الموجودة على مسار الممر بالاضافة الى قيم جيرانها. على سبيل المثال، لنأخذ بعين الاعتبار ترتيب العناصر التالية، حيث يفترض أن q و p فما القيمة q q و q فما القيمة q q

"1" • P4 :"1" • • 1"0"

ν<sub>1</sub> *Ρ*2

 $p_3$   $p_1$   $p_2$   $p_3$   $p_4$   $p_4$   $p_5$   $p_6$   $p_6$   $p_6$   $p_6$   $p_6$   $p_7$   $p_8$   $p_8$   $p_8$   $p_8$   $p_8$   $p_8$   $p_9$   $p_9$ 

#### 4.4.2 العمليات الحسابية والمنطقية

ان العلاقات الحسابية و المنطقية بين العناصر تستعمل بشكل مكثف في أغلب فروع معالجة الصورة. العمليات الحسابية بين عنصرين p و q يرمز لها كإيلى:

P+q: Itan

الطرح: p-q

الضرب: p\*q (وأيضا، pq و pxq)

القسمة: p÷q

في كثير من الأحيان، يكون أحد العناصر مقدارا ثابتا، كما هي الحال في ضرب الصورة بثابت. ان العمليات المنطقية الرئيسية المستعملة في معالجة الصورة هي "أو " AND و "و OR " و "تتام COMPLEMENT " ، ويشار اليها كمايلي:

AND: pANDq, (p.q)

OR: pORq, (p+q)

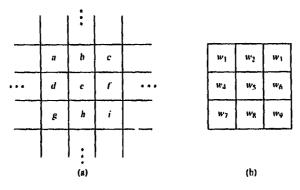
COMPLEMENT: NOTq, (q)

من المعروف جيدا أن هذه العمليات تامة اقترانيا functionally complete، يمعنى أنها يمكن أن تدمج لتشكل عملية منطقية أخرى. وننبه الى أن العمليات المنطقية تطبق فقط على الصور الثنائية، في حين أن العمليات الحسابية تطبق على العناصر متعددة القيم.

ان العمليات الموصوفة أعلاه تستعمل أساسا من أجل معالجة الصورة بطريقتين: على أساس عنصر — فعنصر، أو بعمليات في جوار محدد. على سبيل المثال، يتم جمع صورتين ما على أساس عنصر — فعنصر. تتم صياغة المعالجة في الجوار في سياق ما يسمى عمليات النافذة (المصطلحات طبعة template قناع يسمى عمليات النافذة (المصطلحات طبعة template قناع mask و مرشاح filter تستخدم أيضا للاشارة الى النافذة). الفكرة وراء عمليات النافذة هي أن نجعل القيمة المنسوبة الى عنصر الصورة تابعا للعنصر نفسه والعناصر الأخرى المجاورة له. على سبيل المثال، لنأخذ بعين الاعتبار منطقة الصورة الجزئية المبينة في الشكل 12.2 (a) ولنفترض أننا نرغب في استبدال قيمة ع بالقيمة المتوسطة للعناصر في منطقة مساحتها 3×3 مركزها في e. يستلزم ذلك اجراء عملية حسابية من الشكل

$$p = \frac{1}{9} \left( a + b + c + d + e + f + g + h + i \right)$$

ونسب قيمة p لـ e.



الشكل 12.2 (a) مساحة جزئية من صورة تبين قيم العناصر. (b) نافذة 3×3 بمعاملات عامة.

بالرجوع الى النافذة المبينة في الشكل 12.2 (b) ، يمكن أن نكتب العملية المذكورة أعلاه بعبارات أكثر عمومية بتركيز النافذة في ٥، وضرب كل عنصر تحت

النافذة بالمعامل الموافق، وجمع النتائيج، أي،

 $p = w_1 a + w_2 b + w_3 c + w_4 d + w_5 e + w_6 f + w_7 g + w_8 h + w_9 i. \quad (4-4.2)$ 

اذا جعلنا w<sub>i</sub>=1/9, i=1,2,3,...,9، فان هذه العملية تؤدي الى نفس النتيجة التي أدى اليها اجراء التوسيط الذي ناقشناه.

كا سـزى في الفصول التالية ، المعادلة (4-4.2) تستعمل بشكل واسع في معالجة الصورة. باختيار المعاملات بشكل صحيح وبتطبيق النافذة عند موقع كل عنصر في noise الصورة. يمكن اجراء عمليات مفيدة متنوعة على الصورة مثل تخفيض الضجيج region thinning تنحيف المناطق region thinning، وكشف الخصائص reduction. لكن يلاحظ هنا أن تطبيق النافذة على موقع كل عنصر في الصورة عملية مكلفة حسابيا. فعلى سبيل المثال، ان تطبيق نافذة أبعادها 3×3 على صورة أبعادها مكلفة حسابيا. فعلى سبيل المثال، ان تطبيق نافذة أبعادها كل موقع عنصر ليصل المجموع الى 2,359,296 عملية جمع.

كا أشرنا في القسم 1.3.1 ، أغلب معالجات الصورة الحديثة مجهزة بوحدة الحساب—المنطق (ALU) التي وظيفتها هي اجراء عمليات حسابية ومنطقية على التوازي، وبشكل نموذجي بمعدلات اطار الفيديو video – frame rate. و حسب نظام الفيديو الأمريكي المعياري، تستطيع وحدة الحساب – المنطق اجراء عملية حسابية أو منطقية بين صورتين بأبعاد 512×512 في 1/30 من الثانية. (هذه الفترة الزمنية كثيراً ما تسمى اطاراً واحداً أو "زمن اطار" واحد.) بعد أن عرفنا أهمية عمليات النافذة في معالجة الصورة، من المفيد أن نبحث ببعض التفصيل كيف تستخدم اله LJ لتسريع المعالجة بالنافذة. بغرض التوضيح، سنأخذ بعين الاعتبار النافذة ذات الأبعاد 3×3 المبينة في الشكل 12.2 (b) والتنفيذ المعطى في المعادلة النافذة ذات الأبعاد وعمليات حسابية ومنطقية أخرى.

الخوارزمية المعطاة هنا تتطلب دارئي اطار صورة مع امكانية الحركة العمودية والأفقية بمقدار موقع عنصر واحد (انظر القسم 1.3.1). لنعتبر أن دارىء الاطار A يحتوي الصورة التي ستطبق عليها النافذة. وفي نهاية العملية، سيحتوي B النتيجة. نذكر القارىء هنا أن عمليات الـ ALU تجرى على جميع العناصر بزمن اطار واحد، في حين أن جميع عمليات ازاحة الدارىء تجرى بشكل آني ظاهريا (virtually). يفترض أن جميع الازاحات تتم بمقدار عنصر واحد. بجعل A-B في البداية واستعمال "-" للاشارة إلى عدم إجراء أية عملية، نتقدم أن الشرح كا يلى:

الازاحتان الأخيرتان مطلوبتان لأنه في نهاية العملية الأخيرة على B، ستكون الصور في وضع مكافىء لأن تكون النافذة مع معاملها سي فوق موضع العنصر e. الازاحتان تصححان عدم المطابقة هذا.

ان السبيل لفهم الأجراء السابق هو تفحص ما يحصل لعنصر واحد في B عن طريق الأخذ بعين الاعتبار كيف ستزاح النافذة من أجل الحصول على نتيجة المعادلة

العمليات على A	لعمليات عل B
	Multiply by ws
Shift right	
	Add w <sub>4</sub> *A
Shift down	
	Add w <sub>1</sub> *A
Shift left	·
	Add w <sub>2</sub> *A
Shift left	-
****	Add w <sub>1</sub> *A
Shift up	
	Add No+A
Shift up	-
_	Add wo*A
Shift right	· 
-	Add wg*A
Shift right	
	Add wz*A
Shift left	*
Shift down	*******

خلك الموضع. العملية الأولى على B تنتج  $w_5$  مضروبا بقيمة العنصر في ذلك الموضع. بتسمية ذلك الموضع  $w_5$  لدينا  $w_5$  بعد هذه العملية. الازاحة الاولى الى اليمين تجلب الحار b (انظر الشكل  $w_5$  12.2 ه) إلى ذلك الموضع. العملية التالية تضرب  $w_4$  وتجمع النتيجة الى موضع الخطوة الأولى. وهكذا، عند هذه النقطة يكون لدينا  $w_4$   $w_5$  عند الموضع المذكور. عملية الازاحة التالية على  $w_4$  وعملية الدين يكون لدينا  $w_4$   $w_5$   $w_6$   $w_6$  عند الموضع نفسه، وهكذا. وبما أن العمليات تجرى على التوازي من أجل جميع المواقع في  $w_6$  فان الاجراء الذي تم ذكره يحدث بشكل آني على المواقع الأخرى في الصورة. في جميع وحدات الحساب المنطق، يتم اجراء عملية ضرب الصورة بثابت (أي  $w_6$   $w_6$ ) متبوعة بـ  $w_6$  في زمن اطار واحد. وهكذا فان تنفيذ وحدة الحساب المنطق للمعادلة ( $w_6$ ) متبوعة  $w_6$  كاملة يستغرق زمنا من مرتبة زمن سعة اطارات. ( $w_6$ ) من الثانية). من أجل نافذة بأبعاد  $w_6$  ستستغرق العملية زمنا من مرتبة  $w_6$  المن مرتبة  $w_6$  المار.

#### 5.2 هندسة التصوير

سنتطرق في المناقشة التالية الى عدة تحويلات هامة تستعمل في التصوير ونشتق نموذج كاميرا camera model و نبحث في مسألة التصوير المجسم ببعض التفصيل.

### 1.5.2 بعض التحويلات الأساسية

تبحث المادة المحتواة في هذا القسم في تطوير تمثيل موحد لمسائل مثل تدوير الصورة rotation و تغيير مقياسها scaling، و نقلها translation. جميع هذه التحويلات معبر عنها في نظام الاحداثيات الديكارتية ثلاثي الأبعاد (3D) الذي للنقطة فيه احداثيات يشار اليها بـ (X,Y,Z). في الحالات التي تتضمن صورا ثنائية الأبعاد سنتقيد باصطلاحنا السابق الذي يستعمل تمثيل الأحرف الأبجدية الصغيرة الأبعاد سنتقيد باحداثيي عنصر الصورة. ان الاشارة الى (X,Y,Z) بـ احداثيات العالم world coordinates للنقطة، هو اصطلاح شائع.

#### النقل

لنفترض أننا نرغب في نقل نقطة احداثياتها (X,Y,Z) الى موضع جديد

باستعمال ازاحات (X0,Y0,Z0). يمكن اجراء النقل بسهولة باستعمال المعادلات التالية:

$$X^* = X + X_0$$
  
 $Y^* = Y + Y_0$  (1-5.2)  
 $Z^* = Z + Z_0$ 

حيث (X\*, Y\*, Z\*) هي احداثيات النقطة الجديدة.

يمكن أن نعبر عن المعادلة (5.2 - 1) بشكل مصفوفة بكتابتها بالشكل التالي:

$$\begin{bmatrix} X^* \\ Y^* \\ Z^* \end{bmatrix} = \begin{bmatrix} 1 & 0 & 0 & X_0 \\ 0 & 1 & 0 & Y_0 \\ 0 & 0 & 1 & Z_0 \end{bmatrix} \begin{bmatrix} X \\ Y \\ Z \\ 1 \end{bmatrix}$$
 (2-5.2)

كما هو مشار اليه فيما بعد في هذا القسم، من المفيد في كثير من الأحيان استخدام عدة تحويلات بشكل متعاقب للحصول على نتيجة مركبة مثل النقل متبوعا بتغيير المقياس ومن ثم التدوير. ان التمثيل الاصطلاحي لهذه العملية يبسط الى حد كبير باستعمال المصفوفات المربعة.

مع الاحتفاظ بهذا لأمر في ذهننا يمكن أن نكتب المعادلة (5.2-2) بالشكل التالى :

$$\begin{bmatrix} X^* \\ Y^* \\ Z^* \end{bmatrix} = \begin{bmatrix} 1 & 0 & 0 & X_0 \\ 0 & 1 & 0 & Y_0 \\ 0 & 0 & 1 & Z_0 \\ 0 & 0 & 0 & 1 \end{bmatrix} \begin{bmatrix} X \\ Y \\ Z \end{bmatrix}$$
 (3-5.2)

من حيث قيم X, Y, X، المعــادلتــان (5.2 ــ 2) و (5.2 ــ 3) متكــافتتــان. سنستعمل في هذا القسم تمثيل المصفوفة الموحد التالي:

$$\mathbf{v}^* = \mathbf{A}\mathbf{v}, \qquad (4-5.2)$$

حيث ٨ هي مصفوفة تحويل 4×4 و v هو متجه العمود ويحتوي الاحداثيات الأصلية،

$$\mathbf{v} = \begin{bmatrix} X \\ Y \\ Z \\ 1 \end{bmatrix} \tag{5-5.2}$$

\*٧ هو متجه العمود الذي مركباته هي الاحداثيات المحولة

$$\mathbf{v}^* = \begin{bmatrix} X^* \\ Y^* \\ Z^* \\ 1 \end{bmatrix} \tag{6-5.2}$$

باستعمال هذا الاصطلاح ، يمكن أن تعطى المصفوفة المستخدمة من أجل النقل بالشكل التالي:

$$\mathbf{T} = \begin{bmatrix} 1 & 0 & 0 & X_0 \\ 0 & 1 & 0 & Y_0 \\ 0 & 0 & 1 & Z_0 \\ 0 & 0 & 0 & 1 \end{bmatrix}$$

وعملية النقل تجرى باستعمال المعادلة (5.2 - 4) حيث v\* = Tv.

### تغيير المهياس

يعطى تغيير المقياس بعوامل  $S_x$ ,  $S_y$ ,  $S_z$  على طول المحاور X, Y, Z بمصفوفة التحويل التالية:

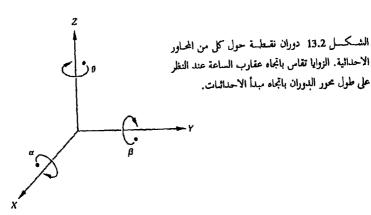
$$\mathbf{S} = \begin{bmatrix} S_x & 0 & 0 & 0 \\ 0 & S_y & 0 & 0 \\ 0 & 0 & S_z & 0 \\ 0 & 0 & 0 & 1 \end{bmatrix}$$
 (8-5.2)

### الدوران

إن التحويلات المستعملة من أجل الدوران ثلاثي الأبعاد هي بطبيعتها أكار تعقيدا من التحويلات التي ناقشناها حتى الآن. ان أبسط شكل لهذه التحويلات هو من أجل دوران نقطة حول محاور الاحداثيات. ان تدوير نقطة ما حول نقطة اختيارية في الفراغ، يتطلب ثلاثة تحويلات: الأول ينقل النقطة الاختيارية الى مبدأ الاحداثيات، والشاني ينجز الدوران، والشالث يعيد نقل النقطة الى موضعها الأصلي. بالرجوع الى الشكل 13.2 ، يتم دوران نقطة حول محور الاحداثيات Z بزاوية 6 باستعمال التحويل التالى:

$$\mathbf{R}_{\theta} = \begin{bmatrix} \cos \theta & \sin \theta & 0 & 0 \\ -\sin \theta & \cos \theta & 0 & 0 \\ 0 & 0 & 1 & 0 \\ 0 & 0 & 0 & 1 \end{bmatrix}$$
 (9-5.2)

تقاس زاوية الدوران 6 باتجاه عقارب الساعة عند النظر الى مبدأ الاحداثيات من نقطة ما على اتجاه محور Z الموجب. يلاحظ أن هذا التحويل يؤثر فقط على قيم احداثيات X و Y.



يتم دوران نقطة حول المحور X بزاوية α باستعمال التحويل التالي:

$$\mathbf{R}_{\alpha} = \begin{bmatrix} 1 & 0 & 0 & 0 \\ 0 & \cos \alpha & \sin \alpha & 0 \\ 0 & -\sin \alpha & \cos \alpha & 0 \\ 0 & 0 & 0 & 1 \end{bmatrix}$$
 (10-5.2)

وأخيراً فإن دوران نقطة حول المحور x بزاوية a يحصل عليه باستعمال التحويل التالي:

$$\mathbf{R}_{\beta} = \begin{bmatrix} \cos \beta & 0 & -\sin \beta & 0 \\ 0 & 1 & 0 & 0 \\ \sin \beta & 0 & \cos \beta & 0 \\ 0 & 0 & 0 & 1 \end{bmatrix}$$
 (11-5.2)

#### التعاقب والتحويلات العكسية

إن تطبيق عدة تحويلات يمكن أن يمثل بمصفوفة تحويل مفردة أبعادها  $4 \times 4$ . على سبيل المثال، ان عمليات دوران و نقل و تغيير مقياس نقطة v حول المحور v تعطى بالعلاقة التالية:

$$v'' = R_{\theta}(S(Tv))$$

$$= Av, \qquad (12-5.2)$$

حيث A هي المصفوفة التي أبعادها  $4\times4$  والمشلة بالعلاقة  $A=R_0$  من المهم أن نلاحظ أن هذه المصفوفات بشكل عام غير قابلة للتبديل و بالتالي فان تسلسل التطبيق مهم.

بالرغم من أن مناقشتنا حتى الآن كانت مقتصرة على تحويلات نقطة منفردة. فان نفس الأفكار تمتد لتحويل مجموعة من m نقطة بآن واحد باستعمال تحويل واحد. بالرجوع إلى المعادلة (5.2–5) ، لتكن المتجهات  $v_1, v_2, ..., v_m$  تقطة. اذا شكلنا مصفوفة  $v_1$  بأبعاد  $v_2$  وأعمدتها متجهات الأعمدة هذه، عندئذ، تعطى التحويلات التي تتم بآن واحد لحميع هذه النقاط ممثلة بمصفوفة تحويل  $v_1$  بالعلاقة التالية:

$$V^* = AV \qquad (13 - 5.2)$$

إن مصفوفة التحويل الناتجة \*٧ هي مصفوفة أبعادها 4×m. عمودها رقم ، ,\*,، يحتوى احداثيات النقطة المحولة الموافقة لـ ,٧.

قبل مغادرة هذا القسم نشير الى أن كثيرا من التحويلات التي ناقشناها أعلاه لها مصفوفات عكسية تنجز التحويلات المعاكسة ويمكن الحصول عليها بالتجريب والملاحظة. مثلا، مصفوفة النقل العكسية هي

$$T^{-1} = \begin{bmatrix} 1 & 0 & 0 & -X_0 \\ 0 & 1 & 0 & -Y_0 \\ 0 & 0 & 1 & -Z_0 \\ 0 & 0 & 0 & 1 \end{bmatrix}$$
 (14- 5.2)

وبشكل مشابه فان مصفوفة الدوران العكسية Ron تعطى كما يلي:

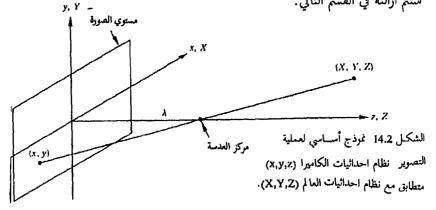
$$\mathbf{R}_{\theta}^{-1} = \begin{bmatrix} \cos(-\theta) & \sin(-\theta) & 0 & 0 \\ -\sin(-\theta) & \cos(-\theta) & 0 & 0 \\ 0 & 0 & 1 & 0 \\ 0 & 0 & 0 & 1 \end{bmatrix}$$
 (15-5.2)

إن المصفوفات العكسية لتحويلات أكثر تعقيدا يحصل عليها عادة باستخدام طرق التحليل العددي.

### 2.5.2 التحويلات المنظورية

التحويل المنظوري (يدعى أيضا التحويل التصويري) يسقط نقاطا ثلاثية الأبعاد على مستو. تلعب التحويلات المنظورية دورا مركزيا في معالجة الصورة لأنها تؤمن طريقة قريبة من تلك التي تشكل فيها الصورة باظهار عالم ثلاثي الأبعاد. هذه التحويلات تختلف بشكل أساسي عن تلك التي نوقشت في القسم السابق لأنها غير خطية كونها تتضمن تقسما على قيم الاحداثيات.

الشكل 14.2 يبين غوذجا لعملية تشكل الصورة. نعرف نظام احداثيات الكاميرا (x, y, z) بأنه نظام يكون فيه مستوي الصورة متطابقا مع المستوي (x, y, z) البصري (مثبت بمركز العدسة) على طول المحور (x, y, z). وهكذا فان مركز مستوي الصورة يقع في مركز الاحداثيات ومركز العدسة يقع عند (x, y, z). إذا كانت الكاميرا مبأرة على الأجسام البعيدة فان (x, y, z) البعد البؤري للعدسة. نفترض في هذا القسم أن نظام احداثيات الكاميرا متطابق مع نظام احداثيات العالم (x, y, z). هذا التقييد ستم ازالته في القسم التالى.



لتكن (X, Y, Z) احداثيات العالم لأية نقطة في منظر ثلاثي الأبعاد، كما هو مبين في الشكل 14.2 . أي أن جميع النقاط في الشكل 14.2 . أي أن جميع النقاط موضع الاهتمام ستقع أمام العدسة. ان ما نرغب أن نفعله أولا هو أن نحصل على علاقة تعطي الاحداثيين (x, y) لمسقط النقطة (X, Y, Z) على مستوي الصورة. يمكن الحصول على هذا بسهولة باستخدام المثلثات المتشابهة. بالرجوع للشكل 14.2 ينتج أن

$$\frac{x}{\lambda} = -\frac{X}{Z - \lambda}$$

$$= \frac{X}{\lambda - Z}$$
(16 - 5.2)

$$\frac{y}{\lambda} = -\frac{y}{Z - \lambda}$$

$$= \frac{y}{\lambda - Z},$$
(17 - 5.2)

حيث إن الاشارات السالبة أمام X و Y تدل على أن نقاط الصورة معكوسة فعليا، كما يمكن رؤية ذلك من هندسة الشكل 14.2

إن احداثيات مستوي الصورة للنقطة ثلاثية الأبعاد المسقطة تنتج مباشرة من المعادلتين (5.2 – 16) و (5.2 – 17):

$$x = \frac{\lambda X}{\lambda - Z} \tag{18-5.2}$$

$$y = \frac{\lambda Y}{\lambda - Z}.$$
 (19 – 5.2)

من المهم أن نلاحظ أن هاتين المعادلتين غير خطيتين لأنهما تتضمنان تقسيا على المتحول Z. بالرغم من أننا نستطيع أن نستعملهما مباشرة كما هما مبينتان أعلاه، من الملائم أحيانا أن نعبر عن هاتين المعادلتين بشكل مصفوفة خطية كما فعلنا في القسم السابق من أجل الدوران و النقل و تغيير المقياس . يمكن الحصول على هذا بسهولة باستعمال احداثيات متجانسة.

ان الاحداثيات المتجانسة لنقطة ما في الاحداثيات الديكارتية (X, Y, Z) تعرف بالشكل (kX, kY, kZ) حيث k هو ثابت اختياري لايساوي الصفر. من

الواضح أن اعادة تحويل الاحداثيات المتجانسة إلى الاحداثيات الديكارتية يتم بتقسيم الاحداثيات المتجانسة الثلاثة الأولى على الاحداثي الرابع. يمكن التعبير عن نقطة ما في نظام احداثيات العالم الديكارتي بشكل متجه من الشكل

$$\mathbf{w} = \begin{bmatrix} X \\ Y \\ Z \end{bmatrix} \tag{20-5.2}$$

ونظيره المتجانس يعطى بالشكل

$$\mathbf{w}_h = \begin{bmatrix} kX \\ kY \\ kZ \\ k \end{bmatrix} \tag{21-5.2}$$

اذا عرفنا مصفوفة التحويل المنظوري بالشكل

$$\mathbf{P} = \begin{bmatrix} 1 & 0 & 0 & 0 \\ 0 & 1 & 0 & 0 \\ 0 & 0 & 1 & 0 \\ 0 & 0 & -1 & 1 \end{bmatrix}$$
 ( 22-5.2)

 $c_h$  يعطى متجها سنسميه  $Pw_h$  فان المضروب

$$\begin{aligned}
E_h &= \mathbf{P} \mathbf{w}_h \\
&= \begin{bmatrix} 1 & 0 & 0 & 0 \\ 0 & 1 & 0 & 0 \\ 0 & 0 & 1 & 0 \\ 0 & 0 & -\frac{1}{\lambda} & 1 \end{bmatrix} \begin{bmatrix} kX \\ kY \\ kZ \\ k \end{bmatrix} \\
&= \begin{bmatrix} kX \\ kY \\ kZ \\ -\frac{kZ}{\lambda} + k \end{bmatrix} \tag{23-5.2}$$

ان عناصر  $c_h$ هي احداثيات الكاميرا بالشكل المتجانس. كما أشرنا أعلاه، يمكن تحويل هذه الاحداثيات الى الشكل الديكارتي بتقسيم كل من المركبات الثلاثة

الأولى لـ  $c_{\rm h}$  على المركبة الرابعة. وهكذا فان الاحداثيات الديكارتية لأية نقطة في نظام احداثيات الكاميرا تعطى بصيغة متجه كما يلى:

$$\mathbf{c} = \begin{bmatrix} x \\ y \\ z \end{bmatrix} = \begin{bmatrix} \frac{\lambda X}{\lambda - Z} \\ \frac{\lambda Y}{\lambda - Z} \\ \frac{\lambda Z}{\lambda - Z} \end{bmatrix} \tag{24-5.2}$$

المركبتان الأوليتان من c هما الاحداثيان (x. y) في مستوي الصورة للنقطة ثلاثية الأبعاد (X. Y Z) المسقطة، كما تم توضيحه سابقا في المعادلتين (5.2-18) و (5.2-19). المركبة الشالشة لاتهمنا فيا يتعلق بالنموذج المبين في الشكل 14.2 . كما سيظهر أدناه، ستعمل هذه المركبة كمتحول حر في التحويلات المنظورية العكسية. إن التحويل المنظوري العكسي يعيد نقل نقطة الصورة إلى الشكل ثلاثي الأبعاد. وهكذا فمن المعادلة (5.2-23)

$$W_h = P^{-1}c_h$$
, (25-5.2)  
حیث یمکن بسہولة ایجاد أن  $P^{-1}$  تأخذ الشكل

$$\mathbf{P}^{-1} = \begin{bmatrix} 1 & 0 & 0 & 0 \\ 0 & 1 & 0 & 0 \\ 0 & 0 & 1 & 0 \\ 0 & 0 & \frac{1}{\lambda} & 1 \end{bmatrix}$$
 \( \tag{26-5.2} \)

z لنفترض أن نقطة صورة لها الاحداثيات (x,y,0) حيث أن الصفر في الموقع z يشير ببساطة إلى حقيقة أن مستوي الصورة يقع عند z يمكن التعبير عن هذه النقطة بشكل متجه متجانس مثل

$$\mathbf{c}_h = \begin{bmatrix} kx_0 \\ ky_0 \\ 0 \\ k \end{bmatrix} \tag{27-5.2}$$

عندئذً، يعطي تطبيق المعادلة (5.2 – 25 ) متجه احداثيات العالم المتجانس

$$\mathbf{w}_{h} = \begin{bmatrix} kx_{0} \\ ky_{0} \\ 0 \\ k \end{bmatrix}$$
 (28 – 5.2)

$$\mathbf{w} = \begin{bmatrix} X \\ Y \\ Z \end{bmatrix} = \begin{bmatrix} x_0 \\ y_0 \\ 0 \end{bmatrix} \tag{29-5.2}$$

من الواضح أن هذا ليس ما نتوقعه لأنه يعطي 0-2 من أجل أية نقطة ثلاثية الأبعاد. المشكلة هنا نتجت عن حقيقة أن رسم منظر ثلاثي الأبعاد على مستوي الصورة هو تحويل كثير—الى—واحد many—to—one transformation. ان نقطة الصورة (x,y) توافق مجموعة النقاط ثلاثية الأبعاد المتسامتة (واقعة على خط واحد) التي تقع على الحط الذي يمر خلال (x,y,0,0) و (x,0,0). يحصل على معادلتي هذا الحط في نظام احداثيات العالم من المعادلتين (x,y) و (x,0,0) و (x,0,0) ، أي،

$$\chi = \frac{x_0}{\lambda} (\lambda - Z) \tag{30-5.2}$$

$$\gamma = \frac{y_0}{\lambda} (\lambda - Z). \tag{31-5.2}$$

تبين هاتان المعادلتان أنه ما لم نعرف بعض الشيء عن النقطة ثلاثية الأبعاد التي ولدت نقطة معينة في الصورة (مثلا، احداثيتها Z) فإننا لن نستطيع أن نسترد النقطة ثلاثية الأبعاد من صورتها بشكل كامل. هذه الملاحظة، والتي هي قطعا ليست غير متوقعة، يمكن أن تستعمل لصياغة التحويل المنظوري العكسي باستعمال المركبة Z التابعة له Z كمتحول حر بدلا من الصفر Z Z وهكذا إذا جعلنا

$$c_h = \begin{bmatrix} kx_0 \\ ky_0 \\ kz \\ k \end{bmatrix}$$
 ( 32-5.2)

يكون لدينا من المعادلة (5.2 ـ 25 )

$$\mathbf{w}_{h} = \begin{bmatrix} kx_{0} \\ ky_{0} \\ kz \\ \frac{kz}{\lambda} + k \end{bmatrix}$$
 (33-5.2)

الذي بتحويله الى الاحداثيات الديكارتية يعطى

$$\mathbf{w} = \begin{bmatrix} X \\ Y \\ Z \end{bmatrix} = \begin{bmatrix} \frac{\lambda x_0}{\lambda + z} \\ \frac{\lambda y_0}{\lambda + z} \\ \frac{\lambda z}{\lambda + z} \end{bmatrix}$$
 (34-5.2)

وبكلمات أخرى فان معاملة z كمتحول حر يعطي المعادلات التالية

$$X = \frac{\lambda x_0}{\lambda + z}$$

$$Y = \frac{\lambda y_0}{\lambda + z}$$

$$Z = \frac{\lambda z}{\lambda + z}$$
(35-5.2)

بحل المعادلة الأخيرة بالنسبة لـ z والتبديل بقيم Z ومن ثم التعويض في العلاقتين

الأوليتين ينتج لدينا

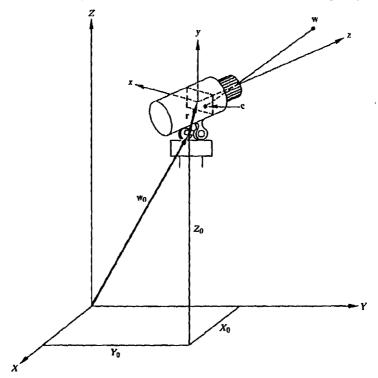
$$X = \frac{x_0}{\lambda} (\lambda - Z) \tag{36 - 5.2}$$

$$Y = \frac{y_0}{\lambda} (\lambda - Z), \qquad (37 - 5.2)$$

وهذا يتفق مع الملاحظة المذكورة أعلاه وهي أن استرداد النقطة ثلاثية الأبعاد من صورتها بواسطة التحويل المنظوري العكسي يتطلب على الأقل معرفة احدى احداثيات عالم النقطة. هذه المسألة سيتم التعرض لها ثانية في القسم (5.2 . 5)

## 3.5.2 نموذج كاميرا

تحدد المعادلتان (5.2-23) و (5.2-24) خواص تشكل الصورة عن طريق اسقاط النقاط ثلاثية الأبعاد على مستوي الصورة. وهكذا تشكل هاتان المعادلتان نموذجاً رياضيا أساسيا لكاميرا تصوير. هذا النموذج مبني على افتراض أن نظامي احداثيات الكاميرا والعالم متطابقان. سندرس في هذا القسم مسألة أكثر عمومية يسمح فيها لنظامي الاحداثيات بأن يكونا منفصلين. لكن، الهدف الأساسي المتمثل في الحصول على احداثيات مستوي الصورة لأية نقطة معينة في عالم ما، يبقى نفسه.



الشكل 15.2 هندسة التصوير بنظامي احداثيات (عن Fu, Gonzalez, and Lee, 1987)

هذا الوضع مرسوم في الشكل (15.2)، الذي يبين نظام احداثيات عالم
(X, Y, Z) يستعمل لايجاد موقع كلاً من الكاميرا و النقاط ثلاثية الأبعاد (مشارا اليها بـ
(w). هذا الشكل يبين أيضا نظام احداثيات الكاميرا (x, y, z) ونقاط الصورة (مشارا

اليها به ع). هنا، يفترض أن الكاميرا محملة على حامل بمحورين يسمح بالحركة الأفقية pan ضمن زاوية  $\theta$  وبالامالة tilt ضمن زاوية  $\alpha$ . في هذه المناقشة، تعرف الحركة الأفقية بالزاوية بين المحورين x و x، و الامالة بالزاوية بين المحورين x و x. ان انزياح مركز الحامل عن مبدأ نظام احداثيات العالم يرمز له بالمتجه x و الزياح مركز مستوي التصوير بالنسبة لمركز الحامل يرمز له بمتجه x بمركبات ثلاثة ( $x_1, x_2, x_3$ ).

ان المفاهيم التي طورت في القسمين الأخيرين تؤمن جميع الأدوات الضرورية لاشتقاق نموذج كاميرا مبني على الترتيب الهندسي للشكل 15.2 . ان الطريقة هي أن ننقل نظامي احداثيات الكاميرا والعالم إلى وضع المطابقة بتطبيق مجموعة من التحويلات. بعد أن يتم انجاز هذا، ببساطة نطبق التحويل المنظوري المعطى بالمعادلة (5.2 – 22) لنحصل على احداثيات مستوي الصورة لأية نقطة معينة في هذا العالم. بكلمات أخرى فإننا نبسط المسألة أولا الى الترتيب الهندسي المبين في الشكل 14.2 قبل تطبيق التحويل المنظوري.

لنفترض في البداية أن الكاميرا كانت في الوضع العادي، بمعنى أن مركز الحامل ومركز احداثيات مستوي الصورة كانا في مركز نظام احداثيات العالم، وأن جميع المحاور كانت متطابقة. بدءاً من الوضع العادي، يمكن الحصول على الترتيب الهندسي للشكل 15.2 بعدد من الطرق. نحن نفترض هذا التتابع من الخطوات:

(1) ازاحة مركز الحامل من مركز الاحداثيات ، (2) تحريك المحور x أفقيا ، (3) امالة المحور z، وأخيرا (4) ازاحة مستوي الصورة بالنسبة لمركز الحامل.

من الواضح أن تسلسل الخطوات الميكانيكية التي نوقشت لاتؤثر على نقاط العالم، ذلك لأن مجموعة النقاط المرئية بواسطة الكاميرا بعد أن كانت قد حركت من الوضع العادي مختلفة تماما. لكن، نستطيع ببساطة الحصول على وضع طبيعي ثانية بتطبيق نفس تتابع العمليات بالضبط على جميع نقاط العالم. نظرا لأن الكاميرا في الوضع الطبيعي تحقق شروط ترتيب الشكل 14.2 من أجل تطبيق التحويل المنظوري، فإن مسألتنا قد بسطت بذلك الى تطبيق مجموعة تحويلات موافقة للخطوات المعطاة أعلاه على كل نقطة من نقاط العالم.

يتم نقل مركز نظام احداثيات العالم الى موضع مركز الحامل باستعمال مصفوفة التحويل المعطاة بالمعادلة التالية:

$$\mathbf{G} = \begin{bmatrix} 1 & 0 & 0 & -X_0 \\ 0 & 1 & 0 & -Y_0 \\ 0 & 0 & 1 & -Z_0 \\ 0 & 0 & 0 & 1 \end{bmatrix}$$
 (38-5.2)

بكلمات أخرى فإن نقطة عالم متجانس  $w_h$  والتي كانت عند الاحداثيات  $(X_0, Y_0, Z_0)$  هي عند مبدأ نظام الاحداثيات الجديد بعد التحويل  $(X_0, Y_0, Z_0)$ 

كما أشرنا سابقاً، ان زاوية التحريك الأفقية تقاس بين المحورين x و X. في الوضع العادي يكون هذان المحوران متطابقين aligned. لكي خوك المحور x بالزاوية المرعوبة ندوره، ببساطة، بزاوية x0. الدوران يكون بالنسبة للمحور x2 ويتم ذلك باستعمال مصفوفة التحويل x4 المعطاة بالمعادلة (x5.2 – x9). بكلمات أخرى، ان تطبيق هده المصفوفة على جميع النقاط (x4 فيها النقطة x6 ) يدور المحور x4 بشكل فعال الى الموقع المرغوب. عند استعمال المعادلة (x5.2 – x9) ، من المهم أن يبقى المصطلح الذي اعتمدناه في الشكل x4 واضحا في ذهننا، أي أن الزوايا تعتبر موجبة عندما تدور النقاط باتجاه عقارب الساعة، مما يقتضي دوران الكاميرا بعكس اتجاه عقارب الساعة حول المحور x5. الوضع (x9) غير المدور يوافق الحالة التي يكون فيها المحوران x9 متطابقين.

عند هذه النقطة من التصوير، ما يزال المحوران z و z متطابقين. نظرا لأن الامالة هي الزاوية بين هذين المحورين، فاننا نميل الكاميرا بزاوية بتدوير المحور z بزاوية z الدوران يكون بالنسبة للمحور z ويتم ذلك بتطبيق مصفوفة التحويل z المعطاة بالمعادلة (z - z على جميع النقاط z النقطة z النقطة z و كا ذكرنا أعلاه فإن دوران الكاميرا بعكس اتجاه عقارب الساعة يعني الدوران بزوايا موجبة، وعلامة (z عندما يكون الحوران z و z متطابقين z.

حسب المناقشة المذكورة في القسم 5.2 – 4، يمكن أن تتعاقب مصفوفتا الدوران

\* توجد طريقة مفيدة لتصور هذه التحويلات وذلك ببناء نظام محاور (مثلا، بمنظفات الأنابيب) وترقيم الحاور × و y و z ، و القيام بالتدوير يدوياً، محوراً واحداً في كل مرة. و تدمجا في مصفوفة واحدة،  $R=R\alpha R\theta$  وينتج بالتـالي من المعـادلتـين (5.2 – 9) و  $\sim 5.2$ 

$$\mathbf{R} = \begin{bmatrix} \cos \theta & \sin \theta & 0 & 0 \\ -\sin \theta \cos \alpha & \cos \theta \cos \alpha & \sin \alpha & 0 \\ \sin \theta \sin \alpha & -\cos \theta \sin \alpha & \cos \alpha & 0 \\ 0 & 0 & 0 & 1 \end{bmatrix}$$

$$(39-5.2)$$

وأخيرا، فان ازاحة مركز مستوي الصورة باستخدام المتجه ٢ تتم باستخدام

$$C = \begin{bmatrix} 1 & 0 & 0 & -r_1 \\ 0 & 1 & 0 & -r_2 \\ 0 & 0 & 1 & -r_3 \\ 0 & 0 & 0 & 1 \end{bmatrix}$$
(40 – 5.2)

وهكذا فبتطبيق سلسلة التحويلات  $W_h$  على  $W_h$  نكون قد نقلنا نظامي احداثيات الكاميرا والعالم إلى وضع التطابق . وفي النهاية يتم الحصول على احداثيات مستوي الصورة لنقطة  $W_h$  باستخدام المعادلة (5.2 – 23). بكلمات أخرى، ان نقطة عالم متجانس مرئية من قبل كاميرا تحقق الترتيب الهندسي المبين في الشكل 15.2 لها التمثيل المتجانس التالى في نظام احداثيات الكاميرا:

$$\mathbf{c}_h = \mathbf{PCRG}\mathbf{w}_h. \tag{41-5.2}$$

هذه المعادلة تمثل تحويلا منظوريا يشتمل على نظامي احداثيات. كما أشرنا في القسم السابق، نحصل على الاحداثيين الديكارتيين (x, y) للنقطة المصورة بتقسيم المركبتين الأولى و الثانية لـ  $c_h$  على المركبة الرابعة.

ان نشر المعادلة (5.2 – 41) والتحويل الى الاحداثيات الديكارتية يعطى

$$x = \lambda \frac{(X - X_0)\cos\theta + (Y - Y_0)\sin\theta - r_1}{-(X - X_0)\sin\theta \sin\alpha + (Y - Y_0)\cos\theta \sin\alpha - (Z - Z_0)\cos\alpha + r_3 + \lambda}$$

$$(42 - 5.2)$$

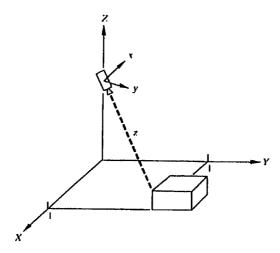
4

$$y = \lambda \frac{-(X - X_0)\sin\theta\cos\alpha + (Y - Y_0)\cos\theta\cos\alpha + (Z - Z_0)\sin\alpha - r_2}{-(X - X_0)\sin\theta\sin\alpha + (Y - Y_0)\cos\theta\sin\alpha - (Z - Z_0)\cos\alpha + r_3 + \lambda}$$

$$(43 - 5.2)$$

اللذين هما احداثيي الصورة لنقطة w التي احداثيات عالمها  $(X,\ Y,\ Z)$  . يلاحظ أن ما احداثين تبسطان إلى المعادلتين (5.2-18) و (5.2-19) عندما يكون ما المعادلتين تبسطان إلى المعادلتين  $\mathbf{x}_0 = \mathbf{x}_0 = \mathbf{x}_0$  و  $\mathbf{x}_0 = \mathbf{x}_0 = \mathbf{x}_0$  .

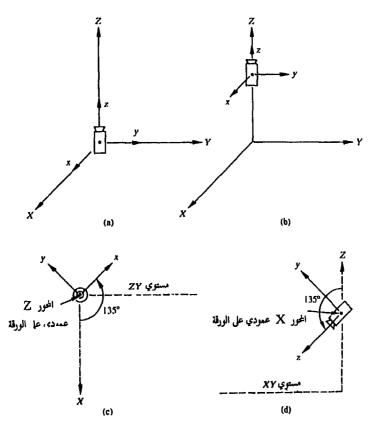
مثال كتوضيح للمفاهيم التي تمت مناقشتها للتو، نفترض أننا نرغب في ايجاد احداثيات الصورة لزاوية الكتلة المبينة في الشكل 16.2. الكاميرا مزاحة عن المبدأ وترى المشهد بزاوية تحريك أفقية °135 وزاوية امالة °135. سنتبع المصطلح الذي اعتمدناه أعلاه وهو أن زوايا التحويل تكون موجبة عندما تدور الكاميرا بطريقة معاكسة لاتجاه دوران عقارب الساعة كما ترى عند النظر الى المبدأ على طول محور الدوران.



الشكل 16.2 كاميرا تصور مشهدا ثلاثي الأبعاد (عن 1987 Fu, Gonzalez, and Lee

لنتفحص بالتفصيل الخطوات اللازمة لتحريك الكاميرا من الوضع العادي إلى الترتيب الهندسي المبين في الشكل 17.2 (a) و مزاحة عن المبدأ في الشكل 17.2 (b) من المهم أن نلاحظ بعد هذه الخطوة أن محاور احداثيات العالم تستعمل فقط لتأسيس مراجع للزوايا. أي أنه بعد ازاحة مبدأ احداثيات العالم، كل الدورانات تحدث حول محاور الكاميرا الجديدة. الشكل 17.2 (c) يبين منظرا على طول محور الكاميرا لتأسيس التحريك الأفقي. في هذه الحالة يكون دوران الكاميرا حول المحور ك بعكس اتجاه عقارب الساعة بحيث أن نقاط العالم تدور حول هذا المحور بالاتجاه المعاكس، مما

يجعل الزاوية  $\theta$  موجبة. الشكل 17.2 (d) يبين منظرا، بعد التحريك الأفقى، على طول محور الكماميرا z لتثبيت الامالة. الدوران حول هذا المحور هو بعكس اتجاه عقارب الساعة، مما يجعل الزاوية  $\alpha$  موجبة. ان محاور احداثيات العالم مبينة بشكل مشرط في الشكلين الأخيرين للتأكيد على حقيقة أن استعمالها هو فقط لتأسيس مرجع صفري لزوايا التحريك الأفقى والامالة. نحن لانبين في هذا الشكل الخطوة الأخيرة لازاحة مستوى الصورة عن مركز الحامل.



الشكل 17.2 (a) كاميرا في وضع طبيعي. (b) الحامل مزاح عن المبدأ. (c) مراقب ينظر للدوران حول المحور z لتحديد زاوية التحريك الأفقية. (d) نظر المراقب للدوران حول المحور x من أجل الامالة. (عن Fu, Gonzalez, and Lee 1987 ).

 $X_0=0$  m منطبق قيم المعلمات التالية على هذه المسألة  $Y_0=0$  m  $Z_0=1$  m  $\alpha=135^\circ$   $\theta=135^\circ$   $r_1=0.03$  m  $r_2=r_3=0.02$  m

إن زاوية الكتلة التي نحن بصددها تقع عند الاحداثيات (1,1,0.2)=(X, Y, Z). لحساب احداثيات الصورة لزاوية الكتلة نقوم ببساطة بتعويض قيم المعلمات المبينة أعلاه في المعادلتين (5.2 – 42) و (5.2 – 43)، أي

 $\lambda = 35 \text{ mm} = 0.035 \text{ m}$ 

$$x = \lambda \frac{-0.03}{-1.53 + \lambda}.$$

$$y = \lambda \frac{-0.42}{-1.53 + \lambda}.$$
approximately approximately

ان تعويض 0.035  $_{\sim}$  يعطي احداثبي الصورة  $_{\sim}$  x= 0.0007 m .

نلاحظ أن هذه الاحداثيات جيدة ضمن مستوي تصوير أبعاده 1×1 إنش (0.025×0.025m). إذا استخدمنا، على سبيل المثال، عدسة ببعد بؤري 200 مم يمكن البرهنة بسهولة من النتائج المذكورة أعلاه أن زاوية الكتلة ستكون قد صورت خدارج حدود مستم بهذه الأبعاد (أي ستكون واقعة خارج حقل الرؤية الفعال للكاميرا).

أخيراً، نشير إلى أن جميع الاحداثيات التي يحصل عليها باستخدام المعادلتين (5.2-42) و (5.2-43) هي بالنسبة لمركز مستوي الصورة. من أجل استخدام الاصطلاح الذي اعتمدناه سابقا وهو أن نقطة مبدأ الصورة تقع في زاويتها العليا اليسرى، يلزمنا اجراء تغيير في الاحداثيات.

#### 4.5.2 معايرة الكاميرا

لقد حصلنا في القسم السابق على معادلتين صريحتين لاحداثي الصورة (x,y) لنقطة عالم ما w. كما هو مبين في المعادلتين (5.2-42) و (2.5-43) ، يتطلب تنفيذهما معرفة البعد البؤري والانزياحات وزوايا التحريك الأفقي والامالة. في حين أنه في كثير من الأحيان يمكن قياس هذه المعلمات مباشرة، الا أنه من الملائم في أكثر الأحيان (مثلا، عندما تتحرك الكاميرا كثيرا) أن نحدد واحدا أو أكثر من هذه المعلمات مستعملين الكاميرا نفسها كجهاز قياس. يتطلب هذا مجموعة من نقاط الصورة تكون احداثياتها على نظام احداثيات العالم معروفة، واجراء الحساب الذي يستعمل للحصول على معلمات الكاميرا باستعمال هذه النقاط غالبا ما يسمى معايرة الكاميرا على معلمات الكاميرا باستعمال هذه النقاط غالبا ما يسمى معايرة الكاميرا

A بالرجوع إلى المعادلة (5.2-41) ، لندع A=PCRG. إن عناصر المصفوفة A تحتوي جميع معلمات الكاميرا، ونحن نعرف من المعادلة (5.2-41-5.2) أن  $(c_h=Aw_h)$  أن نكتب k=1 في التمثيل المتجانس يمكن أن نكتب

$$\begin{bmatrix} c_{h1} \\ c_{h2} \\ c_{h3} \\ c_{h4} \end{bmatrix} = \begin{bmatrix} a_{11} & a_{12} & a_{13} & a_{14} \\ a_{21} & a_{22} & a_{23} & a_{24} \\ a_{31} & a_{32} & a_{33} & a_{34} \\ a_{41} & a_{42} & a_{43} & a_{44} \end{bmatrix} \begin{bmatrix} X \\ Y \\ Z \\ 1 \end{bmatrix}$$

$$(44-5.2)$$

نحن نعرف من المناقشة التي أجريناها في القسمين السابقين أن احداثيي الكاميرا في الشكل الديكارتي يعطيان بالعلاقتين

$$x = c_{h1}/c_{h4}$$
 (45 - 5.2)  
$$y = c_{h2}/c_{h4}.$$
 (46 - 5.2)

بتعويض  $c_{h2}=x_{ch4}$  و  $c_{h2}=x_{ch4}$  في المعادلة  $c_{h2}=y_{ch4}$  و نشر جداء المصفوفتين ينتج  $x_{ch4}=a_{11}X+a_{12}Y+a_{13}Z+a_{14}$  أن

$$yc_{h4} = a_{21}X + a_{22}Y + a_{23}Z + a_{24}$$

$$c_{h4} = a_{41}X + a_{42}Y + a_{43}Z + a_{44},$$
(47 - 5.2)

 $c_{h3}$  قد أهمل لأنه متعلق بـ حيث أن نشر

إن تعويض c<sub>h4</sub> في المعادلتين الأوليتين لـ (5.2 – 47) يعطي معادلتين باثني عشر معامل غير معروف

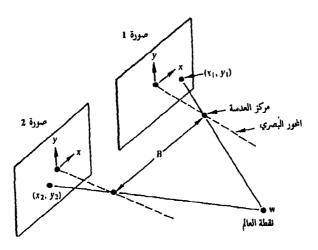
 $a_{11}X + a_{12}Y + a_{13}Z - a_{41}xX - a_{42}xY - a_{43}xZ - a_{44}x + a_{14} = 0$  (48 – 5.2)  $a_{21}X + a_{22}Y + a_{23}Z - a_{41}yX - a_{42}yY - a_{43}yZ - a_{44}y + a_{24} = 0$  (49 – 5.2) وبالتالي، يتكون اجراء المعايرة من (1) الحصول على 6  $\leq$  M من نقاط العالم (يوجد هناك معادلتان) باحداثيات معروفة  $(X_i, Y_i, Z_i)$  (i=1,2,...,m النقاط بالكاميرا بوضع معين للحصول على نقاط الصورة الموافقة لها ( $(x_i, y_i)$ ) ،  $(x_i, y_i)$  المتعمال هذه النتائج في المعادلتين (5.2 – 48) و (5.2 – 49) للحل من أجل المعاملات غير المعروفة. يوجد هناك الكثير من الطرق العددية لايجاد الحل (Noble1969).

### 5.5.2 التصوير ابحسم stereo imaging

لقد نوهنا في القسم 2.5.2 أن رسم مشهد ثلاثي الأبعاد على مستوي صورة هو تحويل كثير - إلى - واحد. أي أن نقطة صورة ما لاتحدد بشكل فريد موقع نقطة العالم الموافقة لها. نبين في هذا القسم أنه يمكن الحصول على معلومات العمق المفقودة باستعمال تقنيات التصوير المجسم (stereoscopic).

كما يبين الشكل 18.2 ، يتضمن التصوير المجسم الحصول على صورتي منظرين منفصلين للجسم الذي يهمنا (نقطة عالم فريدة w في مناقشتنا الحالية).

المسافة بين مركزي العدستين تسمى خط الاساس baseline، والهدف هو ايجاد الاحداثيات  $(x_1, y_1)$  و  $(x_1, y_2)$  و  $(x_1, y_1)$  اليقطة  $(x_1, y_2)$  المنقطة  $(x_1, y_2)$  المنقطة  $(x_1, y_2)$  الميراتين مهاثلتان وأن نظامي الاحداثيات لكلتيهما متراصفان تماما، ومختلفان فقط في موقع مبدئيهما ، وهذا الشرط محقق عادة من الناحية العملية. تذكر اصطلاحنا الذي وضعناه وهو أنه بعد أن يكون نظاما احداثيات الكاميرا والعالم قد جعلا في وضع التطابق، يكون مستوي  $(x_1, y_2)$  للصورة متراصفاً مع مستوي  $(x_2, y_3)$  لنظام احداثيات العالم. عندئذ وتحت هذا الافتراض فإن محور  $(x_1, y_2)$  لهي يكون تماما نفس



الشكل 18.2 نموذج لعملية التصوير المجسم. (عن Fu, Gonzalez, and Lee 1987)

المحور لكلا نظامي احداثيات الكاميرتين. افترض أننا نجعل الكاميرا الأولى في وضع التطابق مع نظام احداثيات العالم ، كما هو مبين في الشكل 19.2. عندئذ ومن المعادلة (5.2 – 30)، تقع w على خط احداثييه (الجزئيين)

$$X_1 = \frac{X_1}{\lambda} (\lambda - Z_1),$$
 (50 – 5.2)

حيث دليلي X و Z يشيران الى أن الكاميرا الأولى كانت قد حركت الى مبدأ نظام احداثيات العالم، وتتبعها الكاميرا الثانية و w، ولكن مع ابقاء الترتيب النسبي المبين في الشكل i . 18. . بدلا من ذلك، اذا كانت الكاميرا الثانية قد حركت الى مبدأ نظام احداثيات العالم، عندئذ سيكون لدينا أن w تقع على خط احداثييه (الجزنيين)

$$\chi_2 = \frac{x_2}{\lambda} (\lambda - Z_2).$$
 (51 – 5.2)

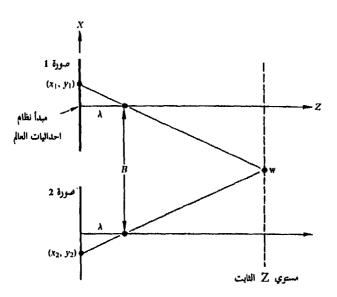
ولكن بسبب الفصل بين الكاميرتين وحقيقة أن الاحداثي z لـ w هو نفسـه لكلا نظامي احداثيات الكاميرتين، ينتج أن

$$X_2 = X_1 + B \tag{52 - 5.2}$$

و

$$Z_2 = Z_1 = Z, (53 - 5.2)$$

حيث، وكما أشرنا أعلاه، B هي مسافة خط الأساس.



الشكل 19.2 منظر علوي للشكل 18.2 مع نقل الكاميرا الثانية الى وضع التطابق مع نظام احداثيات العالم. (Fu, Gonzalez, and Lee, 1987)

إن تعويض المعادلتين (5.2 – 52) و (5.2 – 53) في المعادلتين (5.2 – 50) و (5.2 – 51) يعطى المعادلتين التاليتين

$$X_1 = \frac{x_1}{\lambda} (\lambda - Z) \tag{54-5.2}$$

9

$$X_1 + B = \frac{x_2}{\lambda}(\lambda - Z).$$
 (55-5.2)

إن طرح (5.2 - 54) من (5.2 - 55) والحل بالنسبة لـ 2 يعطى العلاقة

$$Z = \lambda - \frac{\lambda B}{x_2 - x_1},\tag{56-5.2}$$

التي تدل على أنه اذا كان بالامكان تحديد الفرق بين احداثيي الصورة المتعلقين ببعضهما س عروفين، فان حساب الاحداثي z لـ z z لـ zمسألة بسيطة. ان احداثبي العالم X و Y ينتجان عندئذ مباشرة من المعادلتين . (ج.  $y_2$ ) و ( $x_1, y_1$ ) الستعمال اما ( $x_1, y_2$ ) أو ( $x_1, y_2$ ) و (30 – 5.2)

إن أصعب مهمة في استعمال المعادلة (5.2 – 56) للحصول على Z هي ايجاد نقطتين متعلقتين ببعضهما في صور مختلفة لنفس المنظر. نظرا لأن هاتين النقطتين تقعان بشكل عام في نفس الجوار، فإن الطريقة التي كثيرا ما تتبع هي اختيار نقطة في منطقة صغيرة في أحد مناظر الصورة وبعد ذلك محاولة ايجادالمنطقة الأقرب الى التطابق في المنظر الآخر باستخدام تقنيات الترابط correlation كما هو مناقش في الفصل الشامن. عندما يحتوي المنظر خصائص مميزة، مثل زوايا بارزة، فإن طريقة مطابقة الخصائص تعطى عادة حلا أسرع لتأسيس التماثل.

قبل انهاء هذه المناقشة، نشير الى أن اجراء المعايرة الذي طور في القسم السابق يمكن ببساطة تطبيقه مباشرة على التصوير المجسم بمعاملة الكاميرتين بشكل مستقل.

## 6.2 فيلم التصوير photographic film

ان الفيلم الضوئي عنصر هام من عناصر أنظمة معالجة الصورة. انه كثيرا ما يستخدم كوسط تسجل فيه صور الدخل، وهو حتى الآن الوسط الأكثر شيوعا لتسجيل نتائج الخرج. لهذه الأسباب نختتم هذا الفصل بمناقشة بعض الحصائص الأساسية لفيلم التصوير الأسود و الأبيض وعلاقتها بتطبيقات معالجة الصورة.

## 1.6.2 بنية الفيلم و التعرض للضوء

يبين الشكل 20.2 مقطعا لفيلم تصوير نموذجي كما سيبدو تحت التكبير. يتألف الفيلم من الطبقات والمركبات التالية: (1) غطاء علوي من الجلاتين يستعمل للحماية من التآكل والخدش، (2) طبقة حساسة للضوء تتألف من بلورات هاليد الفضة، (3) طبقة تحتية تعزز التصاق الطبقة الحساسة للضوء بقاعدة الفيلم، (4) قاعدة الفيلم مصنونة من ترياسيتيت السيليلوز أو بوليم polymer شبيه به، و (5) طبقة داعمة تمنع التجعد.

عندما يعرض الهيلم للضوء، تمتص حبيبات هاليد الفضة الطاقة الضوئية وتخضع لتغير فيزيائي معقد. ان الحبيبات التي تكون قد امتصت كمية كافية تحتوي رقعا دقيقة من الفضة تسمى مراكز التظهير (development centers). عندما يظهر developed الفيلم المعرض للضوء، فان وجود مركز اظهار وحيد في حبيبة هاليد

غطاء علوي
طبقة حساسة للضوء
طبقة تحتية
قاعدة الفيلم
طبقة داعمة

الشكل 20.2 بنية الفيلم الأسود و الأبيض الحديث.

الفضة يمكن أن يرسب التغير في الحبيبة بكاملها الى معدن الفضة. ان الحبيبات التي لاتحتوي على مراكز اظهار لاتخضع لهذا التغير. بعد الاظهار، يثبت الفيلم بالازالة الكيميائية لحبيبات هاليد الفضة الباقية. كلما كان الضوء الذي يصل منطقة معينة من الفيلم أكبر، كلما كان هاليد الفضة الذي يجعل قابلا للاظهار أكثر وكلما كان راسب الفضة المتشكل هناك أكثف. نظرا لأن حبيبات الفضة داكنة الى حد كبير عند الترددات الضوئية فإن الصورة الرمادية يتم الحصول عليها وقد عكست سوياتها الرمادية، منتجة بذلك الفيلم السالب المألوف.

تتم اعادة العملية للحصول على صورة موجبة. يتم اسقاط السورة السالبة على ورق حساس يحمل طبقة حساسة للضوء من هاليد الفضة مشابهة لتلك التي استعملت في الفيلم. ان التعرض لمصدر ضوئي ينتج صورة مستندة للصورة السالبة. بعد الاظهار يحمل الورق صورة فضية موجبة. ان تكبير الصورة يتم التحكم فيه باختيار مصدر الضوء وحجم الورق الموجب المستعمل.

## 2.6.2 خصائص الفيلم 2.6.2

ان التباين والسرعة وقدرة الاستبانة resolving power هي موضع اهتمام عملي بالنسبة للمصور. ان فهم أثر هذه المعلمات مهم بشكل خاص في التطبيقات المتخصصة مثل تصوير النتائج التي يتم الحصول عليها من نظام ما لمعالجة الصورة.

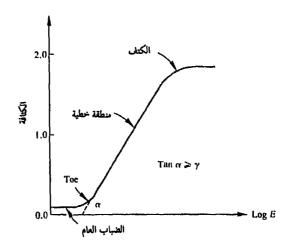
#### التباين contrast

إن الأفلام ذات التباين - العالي تستعيد فروق السويات الرمادية في المشهد كتغيرات كبيرة في الكثافة في الصورة أما الأفلام ذات التباين- المنخفض فتترجم تغيرات السويات الرمادية كفروق صغيرة في الكثافة. ان التعرض E الذي يعرض فيه الفيلم للضوء يعرف (كطاقة في وحدة المساحة) في كل نقطة من المساحة الحساسة للضوء. يعتمد التعرض على الشدة الساقطة I وزمن التعرض T. ترتبط هاتان الكميتان ببعضهما بالعلاقة التالية

E = TT (1-6.2)

إن وصف خصائص الحساسية للضوء الأكثر استعمالاً لفيلم التصوير هو رسم بياني لكثافة راسب الفضة على الفيلم مقابل لغاريتم E. هذه المنحنيات تدعى المنحنيات المصيزة، منحنيات D-log-E (الكثافة مقابل لوغاريتم التعرض)، ومنحنيات Hwnter and Driffield، اللذان طورا الطريقة).

الشكل 21.2 يبين منحني H&D غوذجي لفيلم تصوير سالب. عندما يكون التعرض أقل من سوية معينة، تكون الكثافة مستقلة عن التعرض وتساوي قيمة دنيا تدعى الضباب العام gross fog . في مقدمة المنحني toe تبدأ الكثافة بالزيادة مع زيادة التعرض. يلي ذلك منطقة من المنحني تتناسب الكثافة فيها خطيا مع لغاريتم التعرض. يشار الى ميل هذه المنطقة الخطية به غاما الفيلم (لا) film gamma . وأخيرا، يتشبع المنحني في منطقة تدعى الكتف sholder، وبعدها لاتوجد أية زيادة مع زيادة التعرض. ان قيمة غاما هي قياس لتباين الفيلم: كلما كان الميل أكثر انحدارا، كلما أصبح التباين أكبر. إن الأفلام ذات التباين المعالي لها غاما من مرتبة 1.5 إلى 10. وكقاعدة، فان الأفلام ذات التباين العالي لها غاما من مرتبة 1.5 إلى 10. وكقاعدة، فان الأفلام ذات غاما منخفضة نسبيا تستعمل من أجل استعادة السويات الرمادية المستمرة contineous tone. أما الأفلام ذات التباين العالي فتستعمل في خطوط المستمرة الأصلية، والتطبيقات المتخصصة الأخرى.



الشكل 21.2 منحني H&D نموذجي

#### السرعة

إن سرعة الفيلم تحدد مقدار الضوء اللازم لانتاج كمية محددة من الفضة عند الاظهار development. كلما كانت السرعة منخفضة، كلما كان التعرض اللازم لتسجيل صووة ما أكبر. ان المعيار الأكثر استخداما للسرعة هو معيار ASA.

إن هذا المعيار حسابي حيث يتناسب رقم السرعة بشكل مباشر مع حساسية الفيلم. إن فيلماً حساسيته ASA200 أسرع مرتين (و لغرض معين يحتاج نصف مقدار التعرض) من فيلم ASA100 . ان بعض معايير السرعة مثل الـ DIN المستخدم في أوربا هي معايير لوغاريتمية. ان كل زيادة بمقدار ثلاثة في رقم سرعة الـ DIN تضاعف السرعة الفعلية. فالفيلم من نوع ASA50 مكافى الـ DIN18 و ASA100 و DIN21

إن أفلام التصوير في الهواء الطلق وبعض أفلام التصوير داخل المباني لها سرعات بين ASA80 و ASA160 و أفلام الحبيبات الدقيقة المخصصة من أجل صور بتفاصيل قصوى تقع سرعتها بين ASA20 و ASA60 و أفلام السرعات العالية من أجل الضوء الضعيف والتصوير داخل المباني تقع سرعتها بين ASA200 و ASA500، وأفلام

السرعات فوق العالية من أجل الضوء الضعيف جدا سرعتها تكون من ASA650 فما فوق.

#### التحبحب Graininess

إن الصورة المشتقة من بلورات هاليد الفضة ذات بنية متقطعة. وهذا ما يعطي مظهراً حبيبياً في حال تكبير الصورة بشكل كبير. إن هذا الأثر أكثر بروزا في الأفلام السريعة التي لها بلورات كبيرة نسبياً، أما الأفلام الأبطأ فتكون حبيبات رواسها أكثر انتظاماً وبالتالي فهي مفضلة في التطبيقات التي تكون فيها التفاصيل الدقيقة مرغوبة أو يكون تكبير النسخ السالبة فيها ضروريا.

#### قدرة الاستبانة resolving power

إن دقة التفاصيل التي يستطيع الفيلم تبينها لاتعتمد على تجببه فقط ولكن تعتمد أيضا على خصائص تناثر الضوء للراسب وعلى التباين الذي يستعيد الفيلم فيه التفصيل الدقيق. الأفلام ذات الحبيبات الناعمة براسب قليل الساكة تسمح بقدرة استبانة عالية.

## 3.6.2 اعداد الغشاء الحاجز والمغلاق عداد الغشاء الحاجز والمغلاق

بغض النظر عن الفيلم المستخدم فان الاعداد الصحيح للكاميرا أمر جوهري للحصول على صور مقبولة. ان الاعداد الأساسي للكاميرا يتضمن أمرين أساسين، فتحة الغشاء الحاجز للعدسة وسرعة المغلاق. توجد في الغشاء الحاجز للعدسة سلسلة من الشفرات تنقص أو تزيد قياس الفتحة للتحكم في كمية الضوء المار عبر العدسة إلى الفيلم. ان حلقة التحكم بالغشاء معايرة بقياس ما يسمى أرقام م، أو أرقام الايقاف بشكل متسلسل مثل:

1.4, 2, 2.8, 4, 5.6, 8, 11, 16, 22, 32

إن ارقام ؟ تتناسب عكسيا مع كمية الضوء المسموح لها بالمرور. كل وضع في السلسلة

المذكورة أعلاه، يسمح لكمية من الضوء تساوي ضعف الكمية التي تسمح بها القيمة الأعلى التالية (و هكذا تعطي تعرضا أعلى بمرتين و نصف الكمية التي تسمح بها القيمة الأخفض التالية). إن قيم ضبط سرعة المغلاق في كاميرات هذه الأيام تتبع معيار سلسلة الضعف أو النصف. السرع الغوذجية هي:

1, 112, 114, 118, 1/15, 1/30, 1/60, 1/125, 1/500, 1/1000

ثانية. كلما كبرت سرعة المغلاق كلما قصر التعرض الناتج. الغشاء الحاجز والمغلاق يتحكمان بكمية الضوء الواصلة الى الفيلم بضبط شدة الضوء والوقت الذي يؤثر خلاله. وهكذا فان هناك عدة تركيبات من الفتحة وسرعة المغلاق تعطي نفس التعرض. مثلا، 1/2.8 مع 1/250 ثانية ،و 5/4 مع 1/125 ثانية، و 5/5.6 مع 1/60 ثانية ستعطي نفس التعرض. ولكن مايجب ملاحظته هو أن التركيبات المختلفة التي تم اختيارها للغشاء وسرعة المغلاق غير مستقلة عن الشروط التي تؤخذ عندها الصورة. فعلى سبيل المثال، عندما نصور مشهدا يكون فيه عمق التبئير موضع اهتمامنا فان الـ f-stop يجب أن تختار أعلى ما يمكن لاعطباء العدسة خاصية الفتحة - الدقيقة pin-hole. من أجل فيلم معين، يحد هذا الاعتبار من مدى سرعات المغلاق التي تنتج تعرضا كافيا. في تطبيقات أخرى تكون سرعة المغلاق هي الاعتبار الأساسي. إن مسألة تصوير شاشة التلفزيون هي مثال لاحدى مشاكل معالجة الصور. في هذه الحالة يجب أن تضبط سرعة المغلاق بحيث تكون أقل من معدل تجديد محتوى شاشة التلفزيون (1/30 ثانية للاطار) والا فان معلومات الارتداد الخلفي التي لاتراها العين لسرعتها ستسجل على الفيلم. نموذجيا، 1/8 ثانية يكون كافيا على الرغم من أن سرعات أخفض تستعمل أحيانا. ان كثيرا من الصور الموجودة في هذا الكتاب على سبيل المثال قد تم تصويرها عند 1/4 ثانية باستعمال فيلم كوداك Panatom ic - X ذي الحبيبات الناعمة (ASA32). أما ضبط الغشاء فقد تم تحديده باستعمال قياس التعرض لقياس شدة الضوء لكل صورة.

## 7.2 ملاحظات ختامية

ان المواد الموجودة في هذا الفصــل هي معــلومات تمهيدية عامة من أجل

المناقشات التالية. ان معالجتنا لنظام الابصار لدى الانسان وعلى الرغم من أنه مقتضب، يجب أن يعطي القارىء فكرة أساسية عن امكانيات العين لادراك المعلومات التصويرية. بشكل مشابه فإن نموذج الصورة الذي طور في القسم 2.2 مستخدم في الفصل الرابع كأساس لتقنية تحسين الصورة المساة الترشيح المبني على تماثل الشكل المصل الرابع كأساس لتقنية تحسين العتيان التي قدمت في القسم 3.2 مأخوذة بعين الاعتبار في القسم 3.2 مأخوذة بعين الاعتبار في القسم 9.3.3 بعد تطوير الأدوات الرياضية الضرورية من أجل دراسة تحليلية أعمق لهذه المسالة. ان اعتبارات الاعتبان والتكمية تلعب دورا مركزيا في الفصل السادس في سياق تطبيقات ترميز الصور حيث أن المشكلة هي ضغط كميات ضخمة من المعلومات ناتجة عن رقمنة الصور.

المادة الموجودة في القسم 4.2 أساسية لفهم تقنيات عديدة لمعالجة الصور مدروسة في الفصول اللاحقة. مفاهيم هندسة التصوير التي طورت في القسم 5.2 تلعب دورا هاما في الحالات التي يجب أن نربط فيها بين معلومات المشهد ثلاثية الأبعاد مع صور تم الحصول عليها بالكاميرا، و ستعالج بالتالي بواسطة الحاسوب.

## مراجع

إن المواد التي عرضت في القسمين 1.1.2 و 2.1.2 مبنية بشكل أساسي على كتب Graham [1965]. ويمكن أن توجد قراءات اضافية من أجل القسم 3.1.2 في

stevens [1951] و Sheppard, Stratton and Gazely [1969] و [1968] Sheppard. ان نموذج الصورة الذي عرض في القسم 2.2 ثم بحثه من قِبَل

Oppenheim, Shafer and Stockham [1968]

فيا يتصل بتطبيقات تحسين الصورة. ان المراجع التي استخدمت من أجل قيم الانارة والانعكاسية التي استعملت في ذلك القسم هي

The IES Lighting Handbook [1972] Moon [1961]

ان بعض المواد المدرجة في القسم 3.2 مبنية على عمل هوانغ [1965] Huang ان مقالات Scoville [1965] هي أيضا إن مقالات Scoville [1965] و Gavin, Tavitian, and Harabedian [1970] هي أيضا موضع اهتمام. هذا ويمكن ايجاد مواد اضافية للقراءة من أجل القسم 4.2 في Rosenfeld and Kack[1982] . اور في [1979] . اور في

القسم 5.2 هو من الكتاب الذي ألفه Eu, Gonzales and Lee [1987]. مراجع القسم 6.2 هي Mees [1966] و Perrin [1960] و Nelson [1971] ،

.Kodak plates and films for scientific photography [1973]

#### مسائل

1.2 افترض أن مساحة مستوية مركزها (٢٥، ٥٥) تمت اضاءتها بواسطة منبع ضوئي يعطى توزع شدته بالعلاقة

 $l(x, y) = Ke^{-l(x-x_0)^2 + (y-y_0)^2}.$ 

فإذا كانت الانعكاسية لهذه المساحة تعطى بالعلاقة

 $r(x, y) = 10(x - x_0) + 10(y - y_0) + 20.$ 

ماهي قيمة K التي تنتج كثافة صورة قدرها 100 عند (x0, y0)؟

- 2.2 افترض أن المساحة المذكورة في 1.2 لها الآن انعكاسية ثابتة تساوي 1 ، و لتكن K-255 إذا رقمنت الصورة باستخدام n بتا bits لكثافتها، والعين تستطيع كشف تغير حاد لثمانية ظلال للكثافة بين عناصر الصورة المتجاورة، ماهي قيمة n التي ستسبب كفافات زائفة مرئية؟
  - 3.2 ارسم كيف ستبدو الصورة في المسألة 2.2 من أجل n-2.
- 4.2 ان معدل البود baudrate قياس شائع لارسال المعلومات الرقمية. ويعرف بأنه عدد البتات المرسلة في الثانية. بشكل عام يتم الارسال بشكل رزم تتألف من بت البداية start bit و بايت (bits) من المعلومات وبت الايقاف stop bit باستعمال هذه الطريقة أجب على الأسئلة التالية:

(آ) كم دقيقة سيستغرق ارسال صورة أبعادها 512×512 و فيها 256 سوية رمادية عند سرعة 300 بود؟

(ب) كم سيكون الزمن اللازم عند 9600 بود؟

(ج) أعد (آ) و (ب) من أجل صورة 1024×1024 و 256 سوية رمادية.

ين أن المسافة الرباعية بين النقطتين q و p تساوي أقصر ممر رباعي بين النقطتين.

(ب) هل هذا المر وحيد؟

6.2 ليكن لدينا جزء الصورة المين أدناه

(آ) لنكن {0,1}=V احسب المسافات ،0, , D, بين النقطتين و و ٩-

(ب) أعد (آ) من أجل [1,2] v = {1,2

3 1 2 1(q) 2 2 0 2 1 2 1 1 p)1 0 1 2

 $V=\{1\}$  لتكن لدينا مجموعتي الصورة الجزئيتين  $S_1$  و  $S_2$  المبينتان أدناه. إذا كانت  $S_1$  بشكل حدد ما اذا كانت  $S_1$  و  $S_2$  متصلتان: (آ) رباعيا، (ب) ثمانيا (c) بشكل مختلط.

	$S_{i}$			$S_2$					
0	[ 0 [	0	0	0.	 1 0 1	0	ī	ī	10
ı	10	0	ı	0	10	1	0	0	1 1 1
	)   0 				1				1
0	0	1	1_	1	1 0 L	0	0	0	0
0	0	ı	1	1	0	0	ŧ	1	i

- 8.2 (آ) أعط مصفوفة التحويل التي تستعمل لتدوير الصورة بـ45 باتجاه عقارب الساعة.
  - (ب) كيف سيستعمل هذا التحويل للحصول على الدوران المرغوب؟ (ج) استعمل المصفوفة التي حصلت عليها في (آ) لتدوير نقطة الصورة التالية (x. y) = (1,0)
- 9.2 حدد ما اذا كانت نقطة العالم التي احداثياتها ( 1/2, 1/2, 1/2) على المحور البصري لكاميرا تقع عند (0, 0, 0) و محركة افقيا بزاوية  $135^\circ$  وثمالة بزاوية  $135^\circ$ .  $135^\circ$ 
  - 10.2 ابدأ بالمعادلة (5.2 41) واشتق المعادلتين (5.2 42) و (5.2 43).
- 11.2 عدل اجراء الـ ALU المعطى في القسم 4.4.2 لاستبدال كل عنصر في الصورة بمتوسط جيرانه الأربعة. لاتدخل العنصر نفسه في حساب المتوسط.
- 12.2 ان النافذة 3×3 المبينة أدناه غالبا ما تستخدم لحساب المشتق باتجاه x عند كل نقطة من الصورة

أكتب اجراء ALU لتنفيذ هذه العملية.

الفصل الثالث

# تحويلات الصورة

ولا تكن ملتزما بهذا العالم: ولكن كن متحولاً بتجديد عقلك....

Romans: 12.2

ان المادة الموجودة في هذا الفصل تبحث، في المقام الأول، في تطوير التحويلات ثنائية - الأبعاد وخصائصها . لقد لعبت نظرية التحويل Transform theory .دوراً أساسياً في معالجة الصورة لعدة سنوات، وتتابع كونها نقطة اهتمام في الأعمال النظرية بالاضافة الى التطبيقات العملية في هذا المجال. ان التحويلات ثنائية - الأبعاد مستخدمة في الفصول التالية من أجل تحسين الصورة و استعادتها و ترميزها ووصفها.

على الرغم من أن التحويلات الأخرى مناقشة ببعض التفصيل في هذا الفصل، فقد ركزنا على تحويل فورييه بسبب المدى الواسع لتطبيقاته في مسائل معالجة الصورة. في القسم 1.3 نستعرض تحويل فورييه لمتحول مستمر واحد ولمتحولين مستمرين اثنين. بعد ذلك نعرض الشكل المتقطع discrete لهذه المفاهيم في القسم 2.3. في القسم تطوير نظور عدة خصائص هامة لتحويل فورييه ثنائي الأبعاد ونوضحها. يلي هذا القسم تطوير خوارزمية تحويل فورييه السريع fast Fourier transform algorithm الذي يمكن أن يستخدم لتخفيض عدد العمليات الحسابية الى جزء فقط من تلك اللازمة لتنفيذ تحويل فورييه المتقطع بالطرق المباشرة. القسم 5.3 يبحث في تطوير تحويلات والش Walsh والتجيب المتقطع Discrete Cosine والقسم 6.3 يعرض تحويل هادامارد Hough، والتجيب المتقطع 7.3 يبحث في تطوير تحويل هاف Hough وبعض تطبيقاته.

## 1.3 مدخل إلى تحويل فورپيه

لتكن f(x) دالة مستمرة لمتحول حقيقي x. ان تحويل فورييه لـ f(x)، مشار اليه بـ f(x)، يعرف بالمعادلة التالية:

$$\mathfrak{F}\{f(x)\} = F(u) = \int_{-\infty}^{\infty} f(x) \exp[-j2\pi ux] dx$$
 (1-1.3)

حيث 1 °√- j

إذا أعطينــا(F(u)، فإن f(x) يمكن الحصول عليها باستخدام تحويل فورييه inverse Fourier transform العكسي

$$\mathfrak{F}^{-1}\{F(u)\} = f(x)$$

$$= \int_{-\infty}^{\infty} F(u) \exp[j2\pi ux] du$$
(2-1.3)

يمكن البرهنة على أن المعادلتين (1.3 – 1) و (1.3 – 2)، اللتين تسميان "زوج تحويل فورييه" Fourier transform pair ، موجودتان إذا كانت f(x) مستمرة وقابلة للتكامل و كانت F(u) قابلة للتكامل. ان هذه الشروط، على الأغلب، محققة دائمًا من الناحية العملية. سنهتم في هذا الكتاب بالدوال f(x) الحقيقية. ولكن تحويل فورييه لدالة حقيقية وهذا الخالب عقدى complex، أي:

$$F(u) = R(u) + jI(u)$$
 (3 -- 1.3)

حيث R(u) و R(u) هما المركبتان الحقيقية والتخيلية لـR(u). من الملائم أحيانا التعبير عن المعادلة (1.3 – 3) بالشكل الأسى:

$$F(u) = |F(u)|e^{j\phi(u)}$$
 (4-1.3)

$$|F(u)| = [R^2(u) + I^2(u)]^{1/2}$$
 (5-1.3)

•

$$\phi(u) = \tan^{-1} \left[ \frac{I(u)}{R(u)} \right]$$
 (6-1.3)

إن دالة المطال magnitude (u) تسمي طيف فورييه لر f(x)، و  $\phi(u)$  هي زاوية طورها phase angle. يشار عادة الى مربع الطيف المعطى بما يلي

$$E(u) = |F(u)|^{2}$$

$$= R^{2}(u) + I^{2}(u)$$
(7-1.3)

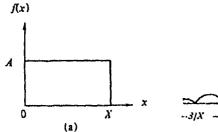
بطيف القدرة power spectrum ل power spectrum . يستخدم المصطلح والكثافة الطيفية والكثافة الطيفية والكثافة الطيف القدرة.

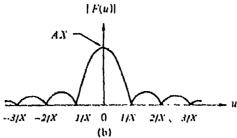
إن المتحول u الذي يظهر في تحويل فوريه يسمى عادة متحول التردد frequency variable. ان هذا الاسم أتى من حقيقة أنه باستعمال صيغة أولر Euler's ، يمكن التعبير عن الحد الأسي exponential term بالشكل التالي :

$$\exp\left[-j2\pi ux\right] = \cos 2\pi ux - j\sin 2\pi ux \qquad (8-1.3)$$

إذا فسرنا التكامل الموجود في المعادلة (1.3-1) بأنه جمع محدود لحدود منفصلة، فانه من الواضح أن (1.4 يتألف من مجموع لانهائي من حدود الجيب والتجيب، وأن كل قيمة لـ 4 تحدد تردد زوج الجيب - تجيب التابع له.

مثال: تأمل الدالة البسيطة المبينة في الشكل 1.3 (a) . يتم الحصول على تحويل فوريبه التابع لها من المعادلة (1.3 - 1) كايلي :





الشكل 1.3 دالة بسيطة وطيف فوربيه التابع لها.

$$F(u) = \int_{-\infty}^{\infty} f(x) \exp[-j2\pi ux] dx$$

$$= \int_{0}^{X} A \exp[-j2\pi ux] dx$$

$$= \frac{-A}{j2\pi u} \left[ e^{-j2\pi ux} \right]_{0}^{X} = \frac{-A}{j2\pi u} \left[ e^{-j2\pi uX} - 1 \right]$$

$$= \frac{A}{j2\pi u} \left[ e^{j\pi uX} - e^{-j\pi uX} \right] e^{-j\pi uX}$$

$$= \frac{A}{\pi u} \sin(\pi uX) e^{-j\pi uX}$$

هذا التحويل هو دالة عقدية. يعطى طيف فورييه لهذه الدالة بالعلاقة:

$$F(u) = \frac{A}{\pi u} \sin(\pi u X) e^{-j\pi u X}$$
$$= AX \frac{\sin(\pi u X)}{(\pi u X)}$$

الشكل 1.3 (b) يبين رسما للطيف | F(u) ] .

f(x, y) يكن توسيع تحويل فورييه بسهولة إلى دالة لمتحولين f(x, y) . إذا  $\delta$ انت مستمرة وقابلة للتكامل ، وكانت (r(u, v) قابلة أيضاً للتكامل، فإن زوج فورييه التالي

$$(9 - 1.3)$$

$$\mathfrak{F}\{f(x,y)\} = F(u,\nu) = \int_{-\infty}^{\infty} f(x,y) \exp\left[-j2\pi(ux+\nu y)\right] dx dy$$

(10-1.3)

$$\mathfrak{F}^{-1}\big\{F(u,\nu)\big\}=f(x,y)=\int_{-\infty}^{\infty}F(u,\nu)\,\exp\big[j2\pi(ux+\nu y)\big]\,\mathrm{d}u\,\mathrm{d}\nu$$

حيث أن يا و ٧ هما متحولا التردد.

كما في الحالة أحادية البعد، يعطى طيف فوريب والطور وطيف القدرة مالعلاقات التالية، على التوالى:

$$|F(u, v)| = [R^{2}(u, v) + I^{2}(u, v)]^{1/2}$$
(11-1.3)

$$\phi(u, v) = \tan^{-1}\left[\frac{I(u, v)}{R(u, v)}\right]$$
 (12-1.3)

$$E(u, v) = R^{2}(u, v) + I^{2}(u, v)$$
 (13-1.3)

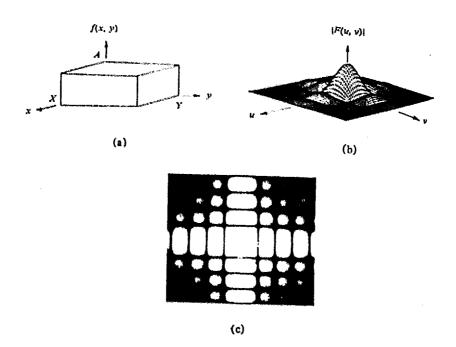
مثال: يعطى تحويل فوربيه للدالة المبينة في الشكل 2.3 (a) كما يلى:

$$F(u, \nu) = \int_{-\infty}^{\infty} \int_{0}^{\infty} f(x, y) \exp\left[-j2\pi(ux + \nu y)\right] dx dy$$
$$= A \int_{0}^{X} \exp\left[-j2\pi ux\right] dx \int_{0}^{Y} \exp\left[-j2\pi \nu y\right] dy$$

$$= A \left[ \begin{array}{c} \frac{e^{-j2\pi ux}}{-j2\pi u} \right]_0^X \left[ \begin{array}{c} e^{-j2\pi vy} \\ -j2\pi v \end{array} \right]_0^Y$$

$$= \frac{A}{j2\pi u} \left[ \begin{array}{c} e^{-j2\pi vX} - 1 \end{array} \right] \frac{1}{-j2\pi v} \left[ e^{-j2\pi vY} - 1 \right]$$

$$= AXY \left[ \begin{array}{c} \sin(\pi uX) e^{-j\pi vX} \\ (\pi uX) \end{array} \right] \left[ \begin{array}{c} \sin(\pi vY) e^{-j\pi vY} \\ (\pi vY) \end{array} \right]$$



الشكل (a) 2.3 (a) دالة ثنائية - الأبعاد، و (b) طيف فوربيه النابح لها، و (c) العليف مبين كدالة كتافة.

$$|F(u, v)| = AXY \left| \frac{\sin(\pi u X)}{(\pi u X)} \right| \left| \frac{\sin(\pi v Y)}{(\pi v Y)} \right|$$

الشكل 2.3 (b) يبين رسماً منظورياً ثلاثي - الأبعاد لهذة الدالة. الشكل 2.3 (c) يبين الشكل 4.3 (c) يبين الطيف كدالة كثافة حيث أن اللمعان يتناسب مع اتساع الج(u, v) الشكل

f(u, v) و f(x, y) و الجالة، f(x, y) و f(x, y) و الجالة، و الجالة، و الجالة، كلاهما مبينان كصور.

## 2.3 تحويل فورييه المتقطع the discrete Fourier transfor

افترض أن دالة مستمرة f(x) قد تم تقطيعها الى تتابع  $\{f(x_0), f(x_0 + \Delta x), f(x_0 + 2\Delta x), ..., f(x_0 + [N-1] \Delta x)\}$ 

بأخذ N عينة متباعدة عن بعضها بوحدات مقدار كل منها  $\Delta x$  ، كما هو مبين في الشكل  $\Delta x$  المسكل  $\Delta x$  الماكم في الاشتقاقات اللاحقة أن نستعمل  $\Delta x$  اما كمتحول مستمر أو كمتحول متقطع، وذلك اعتبادا على محتوى المناقشة. يمكن أن نفعل هذا بتعريف ( $\Delta x$  كما يلى:

$$f(x) = f(x_0 + x \Delta x)$$
 (1-2.3)

حيث تأخذ x الآن القيم المقطعة التالية 1-N, 1, 2, 1, 1, 1, 1, 1 بكلمات أخرى، سنستعمل التتابع 1 (1) 1, 1), 1, 1, 1, 1, 1 عينة متباعدة بانتظام مأخوذة من دالة مستمرة مقابلة.

مع الاحتفاظ بهذه الملاحظة في ذهننا، يكون لدينا أن زوج تحويل فورييه المتقطع الذي يستعمل من أجل الدوال المعتانة sampled functions ، يعطى بالعلاقتين التاليتين:

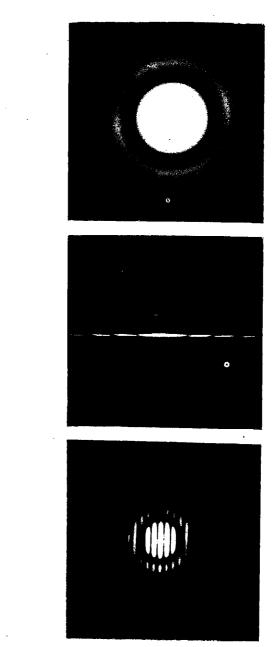
$$F(u) = \frac{1}{N} \sum_{x=0}^{N-1} f(x) \exp[-j2\pi ux/N]$$
 (2-2.3)

من أجل u=0,1,2,...,N-1 ، و

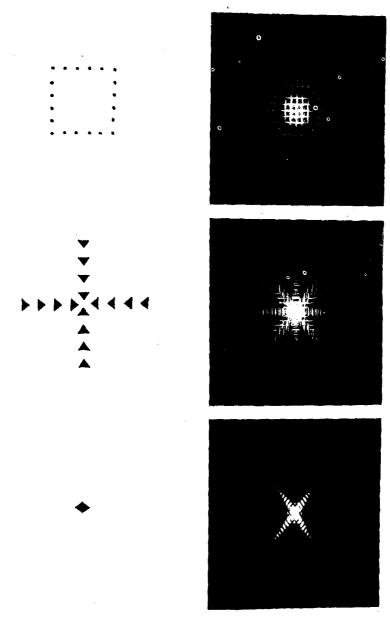
$$f(x) = \sum_{u=0}^{N-1} F(u) \exp[j2\pi ux/N]$$
 (3-2.3)

من أجل x=0,1,2,...,N-1

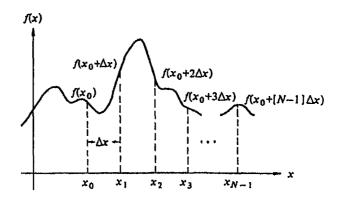
\* إن برهان صحة هذه النتائج يقع خارج نطاق هذه المناقشة. إن البراهين المتعلقة بتحويلي فورييه المستمر والمتقطع يمكن أن توجد في Blackman and Tukey [1958] و Cooley, Lewis, and Welsh [1967] و Brigham [1974].



الشكل 3.3 بعض الدوال ثنائية – الابعاد وطيوف فورييه التابعة لها.



الشكل 3.3 (تنمة)



الشكل 4.3 اعتيان دالة مستمرة

$$\Delta u = \frac{1}{N \Delta x} \tag{4-2.3}$$

في حالة المتحولين، يعطى زوج تحويل فورييه بالمعادلتين التاليتين

$$F(u, v) = \frac{1}{MN} \sum_{x=0}^{M-1} \sum_{y=0}^{N-1} f(x, y) \exp[-j2\pi(ux/M + vy/N)]$$
 (5-2.3)

من أجل v=0,1,2,...,N - 1, u=0,1,2,...,M - 1) و

$$f(x,y) = \sum_{u=0}^{M-1} \sum_{\nu=0}^{N-1} F(u,\nu) \exp[j2\pi(ux/M + \nu y/N)]$$
 (6-2.3)

من أجل x=0,1,2,...,M-1 و y=0,1,2,...,M-1

إن اعتيان دالة مستمرة هو الآن في شبكة ثنائية – الأبعاد بتقسيات  $\Delta x$  و  $\Delta y$  على المحورين الاحداثيين  $\Delta x$  و  $\Delta y$  على التوالي. كما في الحالة أحادية – البعد، تمثل الدالة المتسقطيعية  $\Delta x$  عينات من الدالة ( $\Delta x$  +  $\Delta x$ ) من أجل الدالة المتسقطيعية ( $\Delta x$  =  $\Delta x$ ) عينات من الدالة ( $\Delta x$  +  $\Delta x$ ) و  $\Delta x$  عينات من الدالة ( $\Delta x$  +  $\Delta x$ ) عنات من الدالة ( $\Delta x$  +  $\Delta x$ ) عينات من المحقيان في المجالين الحيزي والترددي ترتبطان ببعضهما بالعلاقتين التاليتين

$$\Delta u = \frac{1}{M\Delta x} \tag{7-2.3}$$

•

$$\Delta \nu = \frac{1}{N \Delta y} \tag{8-2.3}$$

عندما يتم ا شيان الصنور بمصفوفة مربعة يكون لدينا M=N و

$$F(u,\nu) = \frac{1}{N} \sum_{x=0}^{N-1} \sum_{y=0}^{N-1} f(x,y) \exp\left[-j2\pi(ux+\nu y)/N\right] \qquad (9-2.3)$$

من أجل u,v=0,1,2,...,N−1، و

$$f(x,y) = \frac{1}{N} \sum_{u=0}^{N-1} \sum_{\nu=0}^{N-1} F(u,\nu) \exp[j2\pi(ux+\nu y)/N] \qquad (10-2.3)$$

من أجل x,y=0,1,2,...,N-1 . x,y=0,1,2,...,N-1 في المعادلتين كلتيهما. نظرا لأن F(u,v) و F(u,v) هما زوج تحويل فورييه، فان ضم grouping هذه الحدود الجدائية الثابتة أمر اختياري. في الواقع العملي، ترقمن الصور في مصفوفات مربعة وهكذا سنكون مهتمين في المقام الأول بزوج تحويل فورييه المعطى بالمعادلتين (2.3-0) و (2.3-0) . الصيغتان اللتان أعطيتا بالمعادلتين (2.3-0) و

(2.3-6) ستستعملان من حين لآخر في الحالات التي يكون فيها التشديد على عمومية قياس الصورة مهما.

إن طيف فورييه و الطور و طيف القدرة للدوال أحادية -- البعد و ثنائية -- الأبعاد المتقطعة تعطى أيضاً بالمعادلات (1.3-5) إلى (1.3-7) و المعادلات (1.3-1) إلى (1.3-13) ، على التوالي.

خلافا للحالة المستمرة، لاحاجة لأن نهتم بوجود تحويل فورييه المتقطع لأن F(u, v) و F(u, v) كليهما موجودان دائمًا في الحالة المتقطعة. في الحالة أحادية—البعد، على سبيل المثال، يمكن أن نبين هذا بالتعويض المباشر للمعادلة (2.3–3) في المعادلة (2-2.3):

$$F(u) = \frac{1}{N} \sum_{x=0}^{N-1} \left[ \sum_{r=0}^{N-1} F(r) \exp[j2\pi rx/N] \exp[-j2\pi ux/N] \right]$$

$$= \frac{1}{N} \sum_{r=0}^{N-1} F(r) \left[ \sum_{x=0}^{N-1} \exp[j2\pi rx/N] \exp[-j2\pi ux/N] \right]$$

$$= F(u)$$
(11-2.3)

المتطابقة (2.3-11) تأتى من شرط التعامد

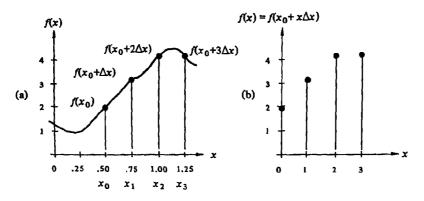
$$\sum_{x=0}^{N-1} \exp[j2\pi rx/N] \exp[-j2\pi ux/N] = \begin{cases} N & \text{if } r = u, \\ 0 & \text{otherwise} \end{cases}$$
 (12-2.3)

V لاحظ أنه تم تغيير المتحول من V الى V في المعادلة (2.2-2) لتوضيح الرموز. ان تعويض المعادلة (2.3-2) في المعادلة (2.3-3) سينتج أيضاً متطابقة لـ V ، مشيراً بهذا إلى أن زوج تحويل فورييه المعطى بهاتين المعادلتين موجود دامًا. و بمناقشة مشابهة، يمكن أن نبين أن زوج تحويل فورييه ثنائي—الأبعاد المتقطع موجود.

مثال : كتوضيح للمعادلتين (2.3 -2) و (2.3 -3) ، تأمل الدالة المبينة في الشكل sampled . إذا اعتينت عند أيم المتغير التالية

$$x_0 = 0.5, x_1 = 0.75, x_2 = 1.0, x_3 = 1.25$$

و إذا أعيد تعريف المتغير كما ناقشنا أعلاه فإننا نحصل على الدالة المتقطعة المبينة في الشكل 5.3 (d).



الشكل 5.3 دالة بسيطة و عينات في المجال x (a) في x (a) هو متحول مستمر، وفي b) هو متحول متقطع.

إن تطبيق المعادلة (2.3-2) على العينات الأربع الناتجة يؤدي الى تتابع الخطوات التالى:

$$F(0) = \frac{1}{4} \sum_{x=0}^{3} f(x) \exp[0]$$

$$= \frac{1}{4} [f(0) + f(1) + f(2) + f(3)]$$

$$= \frac{1}{4} [2 + 3 + 4 + 4]$$

$$= 3.25$$

$$F(1) = \frac{1}{4} \sum_{x=0}^{3} f(x) \exp[-j2\pi x/4]$$

$$= \frac{1}{4} [2e^{0} + 3e^{-j\pi/2} + 4e^{-j\pi} + 4e^{-j3\pi/2}]$$

$$= \frac{1}{4} [-2 + j]$$

حيث أن الخطوة الأخيرة نتجت من استعمال صيغة أولر Euler. بمتابعة هذا الابجراء نحصل على

$$F(2) = \frac{1}{4} \sum_{x=0}^{3} f(x) \exp[-j4\pi x/4]$$
$$= \frac{1}{4} \left[ 2e^{0} + 3e^{-j\pi} + 4e^{-j2\pi} + 4e^{-j3\pi} \right]$$
$$= -\frac{1}{4} \left[ 1 + j0 \right]$$

$$F(3) = \frac{1}{4} \sum_{x=0}^{3} f(x) \exp[-j6\pi x/4]$$

$$= \frac{1}{4} \left[ 2e^{0} + 3e^{-j3\pi/2} + 4e^{-j3\pi} + 4e^{-j9\pi/2} \right]$$

$$= -\frac{1}{4} \left[ 2 + j \right]$$

يلاحظ أن جميع قيم f(x) تشارك في كل حد من حدود تحويل فورييه المتقطع الأربعة. وبالعكس فان جميع حدود التحويل تشارك في تشكيل التحويل العكسي عن طريق المعادلة (2.3 – 3). إن الاجراء المطلوب للحصول على التحويل العكسي مشابه للاجراء الموصوف أعلاه لحساب f(x).

يحصل على طيف فورييه من مطال كل حد من حدود التحويل، أي

$$|F(0)| = 3.25$$

$$|F(1)| = \left[ (2/4)^2 + (1/4)^2 \right]^{1/2} = \sqrt{5} / 4$$

$$|F(2)| = \left[ (1/4)^2 + (0/4)^2 \right]^{1/2} = 1/4$$

$$|F(3)| = \left[ (2/4)^2 + (1/4)^2 \right]^{1/2} = \sqrt{5} / 4$$

# 3.3 بعض خصائص تحويل فوربيه ثنائي - الأبعاد

سنركز عنايتنا في هذا القسم على خصائص تحويل فوريبه التي تكون ذات قيمة في المناقشات التالية. بالرغم من أن اهتمامنا الرئيس يتركز على التحويلات المتقطعة ثنائية الأبعاد، فإن عرض المفاهيم الأساسية لبعض هذه الخصائص بشكلها المستمر أحادي البعد أولا يسهل فهمها كثيرا. نظرا لأن العديد من المواضيع المدروسة في هذا القسم موضحة بصور وطيوف فوريبه تابعة لها، معروضة كدوال كثافة، فاننا سنورد بعض التعليقات حول هذه الصور المعروضة قبل البدء بمناقشة خصائص تحويل فوريبه. ان الكثير من طيوف الصور تتناقص نوعا ما بسرعة كتابع لزيادة التردد، ولذلك فان مركبات التردد العالي لهذه الطيوف غالبا ما تختفي اذا ما أظهرت بشكل صور. هناك أسلوب معالجة مفيد يذلل هذه الصعوبة ويتكون من اظهار الدالة

$$D(u, v) = \log(1 + |F(u, v)|)$$
 (1-3.3)

بدلا من F(u, v). إن استعمال هذه المعادلة يحفظ القيم الصفرية في مستوي التردد لأن D(u, v) = 0 عندما تكون D(u, v) = 0 ويلاحظ أيضا أن D(u, v) دالة غير سالبة.

كتوضيح لحواص التحويل اللوغاريتمي السابق، تأمل طيوف فورييه المبينة في الشكل 6.3 . الجزء (a) من هذا الشكل هو طيف نبضة عرضها وارتفاعها يساويان الوحدة (انظر الشكل 1.3). الشكل 6.3 (b) يبين أثر استعمال المعادلة (3.3 – 1) واعادة تغيير مقياس النتائج إلى بون الاتساع [0.1]. يلاحظ أنه، على الرغم من أن قيمة القمة ماتوال 1 ، فإن ذروة الفصوص الجانبية قد ازدادت بشكل طفيف. إن الأثر أكثر وضوحاً في الشكلين 6.3 (c) و (d) حيث يفترض أن الاتساع الأعظمي له F(u,v) يساوي 20 بدلا من 1 . إن نسبة الذروة المركزية إلى ذروة أي من الفصوص الجانبية في الشكل 6.3 (b) الذي كان قد أعيد تغيير مقياسه بعد أخذ اللوغاريتم أصغر بكثير من النسبة المقابلة لها في الشكل 6.3 (b) . إذا اعتبرنا أن اتساع هذه الدوال متناسب مع

الكثافة، فمن الواضح أن الفصوص الحانبية في الشكل 6.3 (d) ستكون مرئية أكار من تلك الموجودة في الشكل 6.3 (b).

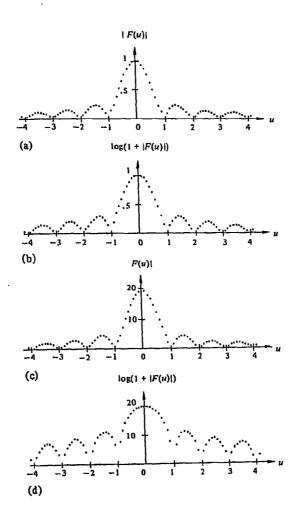
إن درجة تسوية الاتساع التي حصلنا عليها باستخدام المعادلة (3.3 – 1) تعتمد على الاتساع النسبي للدالة  $|F(u, \nu)|$  ، كما هو موضح في كل 6.3 . يمكن اختبار سلوك نسبة القيمة العظمى الى قيمة دنيا ما (غير الصفر) لـ F(u) كتابع للاتساع في الحالة أحادية—البعد، باستعمال العلاقة

$$R = \frac{\log(1 + KF_{\text{max}})}{\log(1 + KF_{\text{min}})}$$
 (2-3.3)

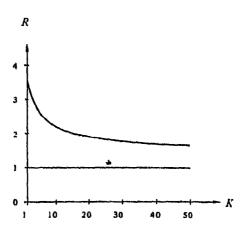
حيث K هو عامل المقياس scale factor.

افترض، على سبيل المثال، أننا ندرس نسبةالـ  $F_{max}$  إلى ذروة الفص الحانبي الأول في الشكل 6.3 (a). في هذه الحالة،  $F_{max}$  0.2  $F_{max}$  و 5.0  $F_{max}$  من جهة الخرى ، فإن استعمال عملية اللوغاريتم يعطي 3.8  $F_{max}$  1.0g(1+ $F_{max}$ )/log(1+ $F_{min}$ ) 3.8 ونفس الشكل 6.3 (a) باستثناء أن جميع القيم قد ضربت بعامل الشكل 6.3 (b) باستثناء أن جميع القيم، فإن النسبة مقياس مقداره 20. نظراً لأن عامل المقياس هو نفسيه لحميع القيم، فإن النسبة  $F_{max}$   $F_{min}$   $F_{max}$   $F_{min}$   $F_{min}$   $F_{max}$   $F_{min}$   $F_{min}$ 

إن استعمال المعادلة (3.3 - 1) في الاظهار ثنائي – الأبعاد للطيف يسهل التفسير المربي لطيف فوريب بشكل كبير. يعطي الشكل 8.3 مثالاً لذلك فهو يبين صورة الكوكب زحل في (a) والطيف الطبيعي لهذه الصورة في (b) و الطيف بعد معالجته باضافة 1 الى F(u, v) وأخذ اللوغاريتم واعادة تغيير مقياس القيم لتقع في مجال



الشكل 6.3 أثر عملية اللوغاريتم على طيف فورييه.



الشكل 7.3 سلوك المعادلة (3.3 -- 2) كتابع لـ K من أجل 0.2 سلوك المعادلة (3.3 -- 2) كتابع لـ K

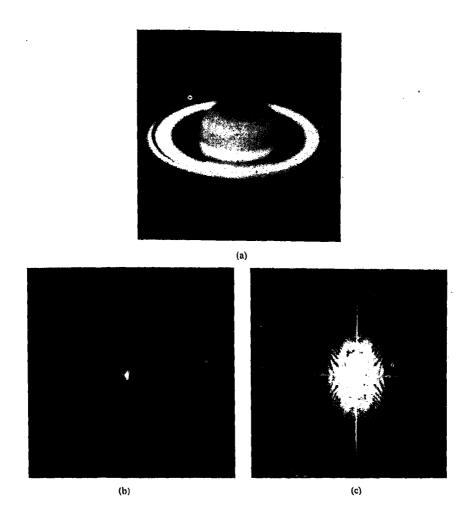
نفس السلم الرمادي الذي استعمل لاظهار |F(u, v)| في (c). بتسوية مدى القيم في الطيف، يظهر ان استعمال عملية اللوغاريتم يظهر بوضوح المعلومات ذات السوية المنخفضة والتي اذا ما أظهرت بشكل بسيط باستعمال |F(u, v)| ، ستكون خارج المدى الديناميكي لنظام الاظهار. لقد عولجت معظم طيوف فورييه المبينة بشكل صور في هذا الكتاب باستخذام المعادلة |F(u, v)|.

## separability قابلية الفصل 1.3.3

إن زوج تحويل فوربيه المتقطع المعطى بالمعادلتين (2.3–9) و (2.3–10) يمكن أن يعبر عنه بشكل قابل للفصل.

$$F(u, v) = \frac{1}{N} \sum_{x=0}^{N-1} \exp[-j2\pi ux/N] \sum_{y=0}^{N-1} f(x, y) \exp[-j2\pi vy/N]$$
 (3-3.3)

من أجل u,v-0, 1,2, ..., N-I ، و



-  $\log(1+|F(u,v)|)$ . مبورة للكوكب زحل. (b) مورة (a)8.3 الشكل (a)8.3 مبورة الكوكب زحل.

$$f(x,y) = \frac{1}{N} \sum_{u=0}^{N-1} \exp[j2\pi ux/N] \sum_{v=0}^{N-1} F(u,v) \exp[j2\pi vy/N]$$
 (4-3.3)

من أجل N-1, 2,...,N-1 من أجل

آن المزية الرئيسة لحاصة قابلية الفصل من أجل أغراضنا هي امكانية الحصول على (r(u, v) أو F(u, v) بخطوتين، بالتطبيق المتنالي لتحويل فورييه أحادي—البعد أو ممكوسه. سيصبح هذا واضحا اذا كتبت المعادلة (3.3-3) بالشكل التالي:

$$F(u, \nu) = \frac{1}{N} \sum_{x=0}^{N-1} F(x, \nu) \exp[-j2\pi ux/N]$$
 (5-3.3)

 $F(x, \nu) = N \left[ \frac{1}{N} \sum_{y=0}^{N-1} f(x, y) \exp[-j2\pi\nu y/N] \right]$  (6-3.3)

لكل قيمة للمتحول x ، التعبير الرياضي الموجود ضمن القوسين المتوسطين يشكل تحويل فورييه أحادي — البعد بقيم تردديه F(x,v) = F(x,v) بالجراء التحويل على المحالة ثنائيسة — الأبعاد F(x,v) بالجراء التحويل على النتيجة بلا كل صف من F(x,v) وضرب النتيجة به F(x,v) بعدئذ، يتم الحصول على النتيجة المرغوبة F(x,v) باجراء تحويل على طول كل عمود من F(x,v) كما أشرنا في المعادلة (3.3-3). ان هذا الاجراء ملخص في الشكل 9.3 . يجب أن نلاحظ أننا سنحصل على نفس النتيجة باجراء التحويلات على طول أعمدة F(x,v) أولا ومن ثم على طول صفوف النتيجة هذا ما يظهر بسهولة بعكس ترتيب الجمع في المعادلة (3.3-3) . إن سفوف النتيجة هذا ما يظهر بسهولة بعكس ترتيب الجمع في المعادلة (3.3-3) . إن

#### 2.3.3 النقل

تعطى خصائص النقل لزوج تحويل فورييه بما يلي

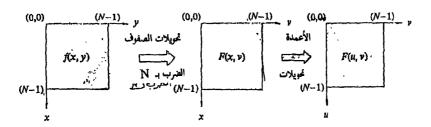
$$f(x, y) \exp[j2\pi(u_0x + v_0y)/N] \Leftrightarrow F(u - u_0, v - v_0)$$
 (a 7-3.3)

و

$$f(x - x_0, y - y_0) \Leftrightarrow F(u, v) \exp[-j2\pi(ux_0 + vy_0)/N]$$
 (b7-3.3)

حيث يستعمل السهم المزدوج ليدل على التطابق بين الدالة وتحويل فوريبه التابع لها (والعكس بالعكس )، كما هو معطى في المعادلتين (1.3-9) و (1.3-10) أو في المعادلتين (2.3-9) و (2.3-10).

المعادلة (3.3 –  $(u_0, v_0)$  تبين أن ضرب  $(x_0, v_0)$  بالحد الأسي المشار اليه وأخذ التحويل للناتج يؤدي الى ازاحة مبدأ المستوي الترددي الى النقطة  $(u_0, v_0)$  . بشكل مشابه ، ان ضرب  $F(u, v_0)$  بالحد الأسي المبين وأخذ التحويل العكسي يحرك مبدأ المستوي الحيزي إلى  $(x_0, y_0)$  .



الشكل 9.3 حساب تحويل فورييه ثنائي – الأبعاد كسلسلة من التحويلات أحادية – البعد.

سنستخدم في هذا الفصل والفصل الذي يليه المعادلة (3.3- a 7) مع - 114

ابكترة. ينتج في هذه الحالة آن.  $u_0 = v_0 = N/2$ 

$$\exp[j2\pi(u_0x + v_0y)/N] = e^{i\pi(x+y)}$$

$$= (-1)^{x+y}$$

$$f(x,y)(-1)^{x+y} \Leftrightarrow F(u-N/2, y-N/2)$$
(8-3.3)

وهكذا يمكن أن يحرك مبدأ تحويل فوربيه له f(x, y) الى مركز مربع التردد  $N \times N$  المطابق له ببساطة و ذلك بضربf(x, y) به f(x, y) بالحد يبسط هذا الى ضربf(x, y) بالحد f(x, y) .

نلاحظ من المعادلة (3.3 - 6 h) أن ازاحة (x) لاتؤثر على اتساع تحويل فورييه التابع له لأن

$$|F(u, v) \exp[-j2\pi(ux_0 + vy_0)/N]| = |F(u, v)|$$
 (9-3.3)

يجب أن يبقى هذا في ذهننا لأن التفحص البصري للتحويل يقتصر عادة على اظهار اتساعه.

periodicity and conjugate symmetry الدورية والتناظر المترافق 3.3.3 الدورية والتناظر المترافق المتقطع ومعكوسه دوريان بدور قدره ١٨، أي

$$F(u, \nu) = F(u + N, \nu) = F(u, \nu + N) = F(u + N, \nu + N)$$
 (10-3.3)

يمكن اثبات صحة هذه الخاصة بالتعويض المباشر للمتحولين (u·N) و (v+N) و المعادلة (3.3 - 10) تشير الى أن  $F(u, \nu)$  يكرر في المعادلة (3.3 - 10) تشير الى أن  $F(u, \nu)$  يكرر نفسه لعدد غير محدود من قيم u و v ، فإننا نحتاج لـ N قيمة فقط لكل متحول في أي دور للحصول على  $f(x, \nu)$  من  $f(x, \nu)$  من التحويل ضروري لتحديد  $F(u, \nu)$  بشكل كامل في الجمال الترددي. و تصح تعليقات

مماثلة على (x, y) في المجال الحيزي.

إذا كان (ع<sub>, x, y</sub> حقيقيا فان تحويل فورييه يبدي أيضا تناظرا مترافقا لأن في هذه الحالة

$$F(u, v) = F^{*}(-u, -v)$$
 (11-3.3)

أو بشكل أكثر لفت للنظر

$$|F(u, \nu)| = |F(-u, -\nu)|$$
 (12-3.3)

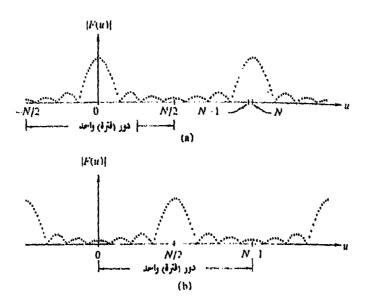
كما ذكرنا سابقا، غالبا ما يهمنا اظهار اتساع تحويل فورييه من أجل تفسير صورة ما. لكي نتفحص المعاني المتضمنة في المعادلتين (3.3–10) و (3.3–12) على صورة لاتساع التحويل، لندرس أولا الحالة أحادية – البعد، حيث

$$F(u) = F(u+N)$$

و

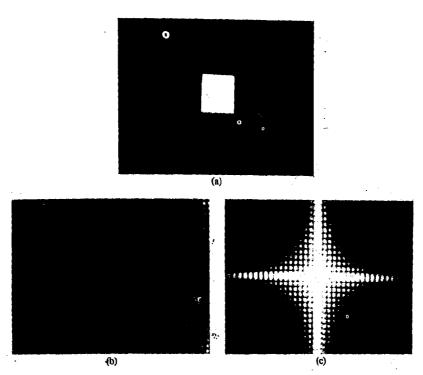
$$|F(u)|=|F(-u)|.$$

إن خاصة الدورية تدل على أن F(u) له دور طوله N، وخاصة التناظر تبين أن اتساع التحويل متمركز حول المبدأ، كما هو مبين في الشكل F(u). يتضح من هذا الشكل والتعليقات التي ذكرناها أعلاه أن مطالات قيم التحويل من F(u) الى المسكل والتعليقات التي ذكرناها أعلاه أن نصف الدور على الجانب الأيسر من المبدأ. نظرا لأن تحويل فورييه المتقطع قد شكل من أجل قيم u في البون F(u) نرى أن نتيجة هذا التشكيل تعطي نصفي دور متجهان ظهرا الى ظهر في هذا البون. لكي نظهر دورا كاملا، لانحتاج الا الى تحريك مبدأ التحويل الى النقطة F(u) هو مبين في الشكل كاملا، لانحتاج الا الى تحريك مبدأ التحويل الى النقطة F(u) كما هو مبين في الشكل التحويل، كما أشرنا سابقا.



الشكل 10.3 توضيع خواص الدورية لتحويل فوربيه. (a) طيف فوربيه ببين نصفي دور ظهراً إلى ظهر في البون [-N-1]. (b) طيف مزاح ببين دوراً كاملاً في مفس الدون.

ان نفس الملاحظات تسري على تحويل فورييه ثنائي - الأبعاد باستثناء أن تفسير النتائج أصعب بكثير اذا لم يزح مبدأ التحويل الى نقطة التردد (N/2,N/2). و هذا ما يظهر في الشكلين 11.3 (b) و (c) حيث أن الشكل الأخير قد نم الحصول عليه باستعمال خاصة المركزة للعبارة الرياضية (3.3-8).



الشكل 11.3(a) صورة بسيطة. (b) طيف فورييه بدون ازاحة. (c) طيف فورييه مزاح إلى مركز مربع التردد.

## 4.3.3 الدوران

إذا استعملنا الاحداثيات القطبية

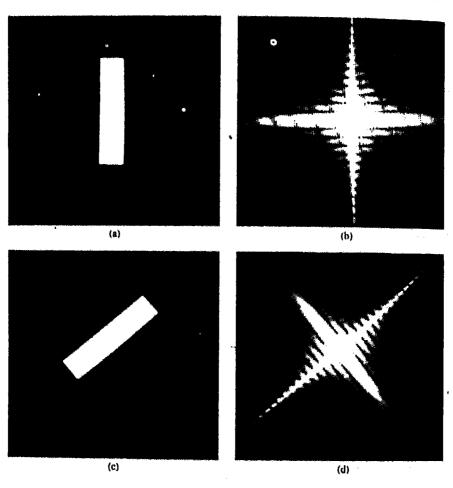
 $x = r \cos \theta$   $y = r \sin \theta$   $u = \omega \cos \phi$   $v = \omega \sin \phi$ 

فإن f(x, y) و f(x, y) على التوالي. يمكن أن فإن f(x, y) على التوالي. يمكن أن

# نبين بالتعويض المباشر في زوج تحويل فورييه المستمر أو المتقطع أن

$$f(r, \theta + \theta_0) \Leftrightarrow F(\omega, \phi + \theta_0)$$
 (13-3.3)

كلمات أخرى، اذا دور f(x,y) بزاوية  $\theta_0$ ، فإن f(x,y) يدور بنفس الزاوية. بشكل مشابه، ان تدوير F(u,v) يؤدي إلى تدوير f(x,y) بنفس الزاوية. هذه الخاصة موضحة في الشكل 12.3.



الشكل 12.3 الحواص الدورانية لتحويل فوربيه. (a) صورة بسيطة. (b) الطيف. (c) الصورة مدورة. (d) الطيف الناتج.

#### 5.3.3 التوزيعية وتغيير المقياس distributivity and scaling

ينتج من تعريف زوج تحويل فورييه المستمر أو المتقطع مباشرة أن

$$\mathfrak{F}\{f_1(x,y)+f_2(x,y)\}=\mathfrak{F}\{f_1(x,y)\}+\mathfrak{F}\{f_2(x,y)\}$$
 (14-3.3)

و، بشكل عام، أن

$$\mathfrak{F}\{f_1(x,y)\cdot f_2(x,y)\} \neq \mathfrak{F}\{f_1(x,y)\}\cdot \mathfrak{F}\{f_2(x,y)\}$$
 (15-3.3)

بكلمات أخرى، إن تحويل فوربيه ومعكوسه توزيعيان في حالة الجمع ولكن ليس في حالة الخمع ولكن ليس في حالة الضه ب.

من السهل أيضاً أن نبين من أجل كميتين عدديتين a و b أن

$$af(x, y) \Leftrightarrow aF(u, v)$$
 (16-3.3)

•

$$f(ax, by) \Leftrightarrow \frac{1}{|ab|} F(u/a, \nu/b)$$
 (17-3.3)

## 6.3.3 القيمة المتوسطة 6.3.3

إن المعادلة (3.3–18) تستعمل بشكل واسع لتعريف القيمة المتوسطة لتحويل فورييه المتقطع ثنائي – الأبعاد

$$\bar{f}(x,y) = \frac{1}{N^2} \sum_{x=0}^{N-1} \sum_{y=0}^{N-1} f(x,y)$$
 (18-3.3)

ان تعويض u-v-0 في المعادلة (2.3\_9) يعطى

$$F(0,0) = \frac{1}{N} \sum_{x=0}^{N-1} \sum_{y=0}^{N-1} f(x,y)$$
 (19-3.3)

ولذلك نجد أن (٣. ١٧) يرتبط بتحويل فوربيه لـ (٣. ١٧) بالمعادلة

$$\bar{f}(x,y) = \frac{1}{N} F(0,0)$$
 (20-3.3)

#### 7.3.3 معامل لابلاس laplacian

إن معامل لابلاس لدالة لمتحولين (١٠٠٠ ايعرف كما يلي

$$\nabla^2 f(x, y) = \frac{\partial^2 f}{\partial x^2} + \frac{\partial^2 f}{\partial y^2}$$
 (21-3.3)

وينتج من تعريف تحويل فوربيه ثنائي - الأبعاد أن

$$\mathfrak{F}(\nabla^2 f(x,y)) \Leftrightarrow -(2\pi)^2 (u^2 + v^2) F(u,v)$$
 (22-3.3)

ان معامل لابلاس مفيد في تحديد الحواف في الصورة.

# convolution and correlation الطي و الترابط 8.3.3

ندرس في هذا القسم علاقتين لتحويل فوربيه تشكلان أداة ربط أساسية بين المجالين الحيزي والترددي. هاتان العلاقتان اللتان تسميان الطي والترابط لهما أهمية أساسية في تطوير فهم راسخ لتقنيات معالجة الصورة المبنية على تحويل فوربيه. لكي نوضح المفاهيم المتضمنة في العلي والترابط، نبدأالمناقشة بدراسة العلي في الحالة أحادية البعد ويمتغيرات arguments مستمرة. بعدئذ نوسع المفاهيم المطورة لتشميل الحالة المتقطعة، وأخيرا لتشميل الحالتين المستمرة والمتقطعة ثنائيتي – الأبعاد.

الطبي

يعرف الطي لتابعين f(x) و g(x) مرموزا إليه بـ g(x) بالتكامل التالي

$$f(x)*g(x) = \int_{-\infty}^{\infty} f(\alpha) g(x - \alpha) d\alpha \qquad (23-3.3)$$

حيث أن  $\alpha$  هي متحول تكامل مزيف. نظرا لصعوبة تصور آلية تكامل الطي، سنوضح بشكل بياني استخدام المعادلة (3.3-23) بيانيا باستعمال مثالين بسيطين.

هشال: المشال الأول يوضح عملية طي الدالتين f(x) و f(x) المبينتين في الشكلين 13.3 (a) و f(x) و f(x) على التوالي. قبل إجراء التكامل، من الضروري تشكيل الدالة  $g(x-\alpha)$  و هذا التشكيل مبين بخطوتين في الشكلين 13.3 (c) و  $g(x-\alpha)$  و هذا التشكيل مبين بخطوتين في الشكلين  $g(x-\alpha)$  ومن ثم إزاحة هذه الدالة العملية هي ببساطة طي g(x) حول المبدأ لاعطاء  $g(x-\alpha)$  ومن ثم الأية قيمة لـ x ، يضرب  $g(x-\alpha)$  بـ  $g(x-\alpha)$  الموافقة لها ونكامل الجداء من  $g(x-\alpha)$  و من ثم، لأية قيمة لـ  $g(x-\alpha)$  و  $g(x-\alpha)$  و  $g(x-\alpha)$  و من أجل المحل المداء المنافقة الشكل صحيح من أجل  $g(x-\alpha)$  و  $g(x-\alpha)$  هو الجزء المظلل من الشكل صحيح من أجل  $g(x-\alpha)$  و  $g(x-\alpha)$  ، الذي هو ببساطة، المنطقة ما التي تقع خارج البون g(x) غيد أن g(x) g(x) ، الذي هو ببساطة، المنطقة المنافقة ألى الشكل و المنافقة المناف

$$f(x)*g(x) = \begin{cases} x/2 & 0 < x < 1 \\ 1 - x/2 & 1 < x < 2 \\ 0 & \text{elsewhere} \end{cases}$$

النتيجة مبينة في الشكل 13.3 (g)

إن احدى سمات المعادلة (3.3–23) التي سيكون لها استعمال فيا بعد، تتضمن طي الدالة f(x) مع دالة النبضة  $\delta(x-x_0)$  ، المعرفة بالعلاقة

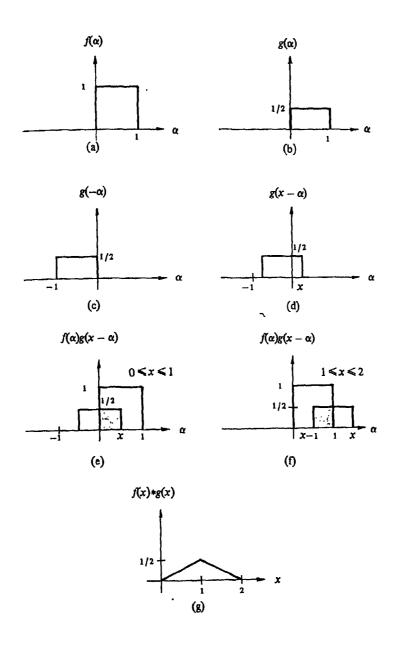
مكن تصور الدالة  $(x - x_0)$  بأن لها مساحة الوحدة في جوار متناه في الصغر حول x وقيمتها صفر في أي مكان آخر، أي،

$$\int_{-\infty}^{\infty} \delta(x - x_0) \, \mathrm{d}x = \int_{x_0}^{x_0^*} \delta(x - x_0) \, \mathrm{d}x = 1$$
 (25-3.3)

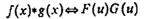
نستطيع من أجل أغلب الأغراض أن نقول أن  $(x-x_0)$  تقع عند  $(x-x_0)$  أن شدة النبضة تحدد بقيمة (x) عند  $(x-x_0)$  نعلى سبيل المثال، إذا كانت  $(x-x_0)$  تكون  $(x-x_0)$  هي نبضة شدتها  $(x-x_0)$  تقع عند  $(x-x_0)$  من الشائع عمليا تمثيل النبضات بيانيا بسهم يقع عند  $(x-x_0)$  يبين هذا التمثيل من أجل  $(x-x_0)$  .  $(x-x_0)$ 

مثال: كتوضيح ثان لاستخدام المعادلة (3.3 – 23)، افترض أن الدالة (f(x) المبينة في  $g(x) - \delta(x+t) + \delta(x) + \delta(x-T)$  مع الدالة ( $f(x) + \delta(x) + \delta(x-T)$  مع الدالة ( $f(x) + \delta(x) + \delta(x) + \delta(x-T)$  المبينة في الشكل (f(x), بثني (f(x)) وزلقه الى ما بعد (f(x))، واستخدام المعادلتين المبينة في الشكل (f(x)). يلاحظ أن الطي لا يؤدي في هذه الحالة إلا إلى نسخ (f(x)) عند موضع كل نبضة.

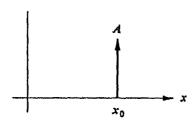
تكمن أهمية العلى في التحليل في الجال الترددي في كون  $f(x) \times g(x)$  و  $f(x) \times g(x)$  مشكلان زوج تحويل فوريه. بكلمات أخرى، إذا كان لـ f(x) تحويل فوريه f(u) وكان لـ g(x) تحويل فوريه g(x) ، يكون لـ g(x) اذن تحويل فوريه g(x) هذه النتيجة المصاغة كما يلى



الشكل 13.3 نوضيح بياني للطي. المساحات للظللة تدل على المناطق التي لايكون الجداء فيها صغرا .



(26-3.3),



الشكل 14.3 مُثيل بياني لراته ١٤٠٠ مُثيل

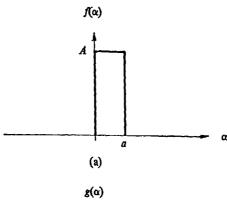
تدل على أن الطي في المجال x يمكن الحصول عليه أيضا بأخذ معكوس تحويل فورييه للجداء (F(u)G(u). هناك نتيجة مشابهة وهي أن الطي في المجال الترددي يبسط الى جداء في المجالx ، أي

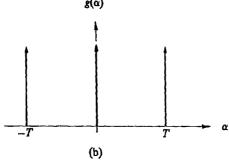
$$f(x)g(x) \Leftrightarrow F(u) * G(u).$$
 (27-3.3)

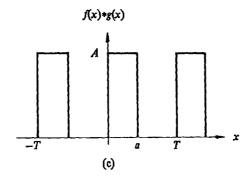
هاتان النتيجتان تعرفان بنظرية الطي convolution theorm.

بدلا من أن يكون (x) و (x) مستمران، لنفترض أنهما قد قطعا إلى صفيفين من العسينات بقياس A و B على التوالي: (1 - N), (1), (2), (3), (1), (3), (1), (3), (1), (3), (1), (3), (1), (3), (1), (3

$$M > A + B - 1$$
 (28-3.3)







الشكل 15.3 طي يتضمن دوال نبضية

فإن الأدوار الفردية للطي ستراكب (Brigham 1974). يطلق على هذا التراكب اسم خطأ التغليف wraparound error. اذا كانت M=A+B-1 ، فان الأدوار ستكون متاخمة لبعضها البعض، أما اذا كانت M=A+B-1 ، فإن الأدوار ستكون متباعدة عن بعضها بدرجة فصل مساوية للفرق بين M و M ، فان طول سلاسل المور المفترض يجب أن يكون اما أكبر من M أو أكبر من M ، فان طول سلاسل العينات يجب أن يزاد بحيث يكون كل من M و M بطول M . يمكن أن نفعل هذا باضافة أصفار الى العينات المتوفرة لتشكيل السلاسل الممددة التالية:

$$f_{\varepsilon}(x) = \begin{cases} f(x) & 0 < x < A - 1 \\ 0 & A < x < M - 1 \end{cases}$$

9

$$g_e(x) = \begin{cases} g(x) & 0 < x < B - 1 \\ 0 & B < x < M - 1 \end{cases}$$

بناء على هذا، نعرف الطي المتقطع لـ و $\mathbf{g}_{\mathrm{e}}\left(\mathbf{x}\right)$  بالعلاقة التالية

$$f_e(x)*g_e(x) = \sum_{m=0}^{M-1} f_e(m) g_e(x-m)$$
 (29-3.3)

من أجل x=1,2,...,M-1 إن دالة الطي هي صفيف x=1,2,...,M-1 من أجل x=1,2,...,M-1 إن آلية الطي x=0,1,2,...,M-1 المتقطع هي بشكل أساسي نفس آلية الطي المستمر. إن الفرقين الوحيدين هما أن الازاحات تحدث بزيادات متقطعة تبعاً للمسافات الفاصلة بين العينات، والتكامل يستبدل بالجمع. بشكل مشابه، المعادلتان (3.3–26) و (3.3–27) صحيحتان في الحالة المتقطعة حيث أننا نستعمل x=1 و x=1 و x=1 المتحولين المتقطعين x=1 و x=1 في المجال x=1 المجالة المتعليف. يفترض أن للمتحولين المتقطعين x=1 و x=1 و x=1 المجال x=1 المجال x=1 المتعليف. و x=1 المجال المتعليف.

مثال: ان الاعتبارات السابقة موضحة بيانيا في الشكل 16.3 للطي المستمر والمتقطع.

ان مخططات الحالة المتقطعة تبين عينات A لكل من f(x) و g(x) في البون g(x) ، الاضافة لدور g(x) يفترض أن له القيمة التالية 1-2A-1-3+B.

لاحظ أن دالة الطي دورية، و أن الأدوار متاخمة لبعضها البعض لأن M-2A-1. ان اختيار M-2A-1 سينتج فواصل أكبر بين هذه الأدوار. من المهم أن نلاحظ أن الدور يوصف بشكل كامل بـ M عينة.

ان الطي ثنائي الأبعاد مماثل في الشكل للمعادلة (3.3–23). لذلك، يكون لدينا من أجل دالتين f(x, y) و g(x, y) أن

$$f(x,y)*g(x,y) = \int_{-\infty}^{\infty} \int_{-\infty}^{\infty} f(\alpha,\beta) g(x-\alpha,y-\beta) d\alpha d\beta \qquad ^{\#} (30-3.3)$$

ونظرية الطي ثنائية-الأبعاد تعطى عندئذ بالعلاقتين

$$f(x, y)*g(x, y) \Leftrightarrow F(u, \nu)G(u, \nu)$$
 (31-3.3)

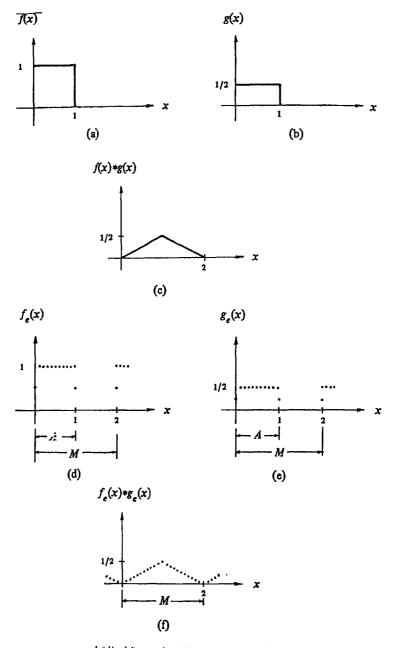
و

$$f(x, y) g(x, y) \Leftrightarrow F(u, \nu) * G(u, \nu)$$
 (32-3.3)

إن توضيح المعادلة (3.3–30) بيانياً أصعب من توضيح المعادلة (3.3–23). الشكل 17.3 يبين عمليات الثني والازاحة والضرب الأساسية المطلوبة من أجل الطي ثنائي – الأبعاد. إن نتيجة تغيير متحولي الازاحة x و y ستكون سطح طي ثنائي الأبعاد ذو شكل يعتمد على طبيعة الدوال التي تشتمل عليها العملية.

يتم تشكيل الطي المتقطع ثنائي – الأبعاد بجعل f(x, y) و g(x, y) مصفوفتين بقياس f(x, y) على التوالي. كما في الحالة أحادية – البعد، يفترض أن تكون هاتان المصفوفتان دوريتان بدور ما f(x, y) في الاتجاهين f(x, y) على التوالي. يتم التغلب على خطأ التغليف في أدوار الطي الفردية باختيار

$$M > A + C - 1$$
 (33-3.3)  
 $N > B + D - 1$  (34-3.3)



الشكل 16.3 مقارنة بين الطي المستمر والطي المتقطع.

ان التتابعات الدورية تشكل بتمديد f(x, y) و g(x, y) كما يلى

$$f_c(x, y) = \begin{cases} f(x, y) & 0 \le x \le A - 1 \\ 0 & A \le x \le M - 1 \end{cases} \quad \text{and} \quad 0 \le y \le B - 1$$

•

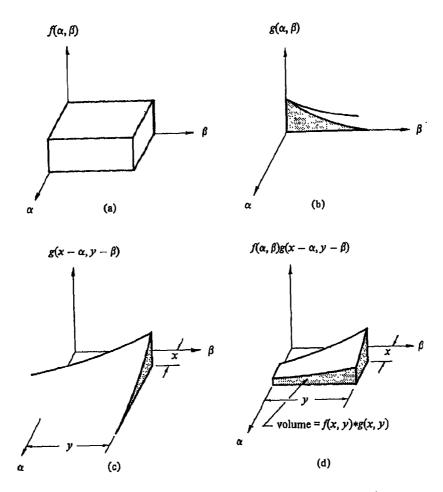
$$g_{\varepsilon}(x, y) = \begin{cases} g(x, y) & 0 \le x \le C - 1 & \text{and} & 0 \le y \le D - 1 \\ 0 & C \le x \le M - 1 & \text{or} & D \le y \le N - 1 \end{cases}$$

إن الطي ثنائي – الأبعاد لـ  $f_e(x, y)$  و  $g_e(x, y)$  يعطى بالعلاقة

$$f_e(x,y)*g_e(x,y) = \sum_{m=0}^{M-1} \sum_{n=0}^{N-1} f_e(m,n) g_e(x-m,y-n)$$
 (35-3.3)

من أجل x=1,2,...,M-1 و x=1,2,...,M-1 إن المصفوفة x=1,2,...,M-1 من أجل x=1,2,...,M-1 و x=1,2,...,M-1 هي دور واحد للطي المتقطع ثنائي—الأبعاد. اذا اختيرت x=1,2,...,M-1 و x=1,2,...,M-1 و x=1,2,...,M-1 و x=1,2,...,M-1 المحادلتين x=1,2,...,M-1 و x=1,2,...,M-1 و x=1,2,...,M-1 المحادثين x=1,2,...,M-1 و x=1,2,...,M-1 المحادثين x=1,2,...,M-1 و x=1,2,...,M-1 المحادثين x=1,2,...,M-1 و x=1,2,...,M-1 المحادثين x=1,2,...,M-1 و x=1,2,...,M-1

إن القدرة النظرية لنظرية الطي ستصبح واضحة في القسم 3.3 وعندما نناقش نظرية الاعتيان. من وجهة نظر عملية، إن حساب الطي المتقطع في مجال التردد أكثر فعالية من حسابه باستعمال المعادلة (3.5–3.5) مباشرة. الاجراء هو أن نحسب تحويل فورييه ل  $f_e(x,y)$  و  $f_e(x,y)$  و باستعمال خوارزمية تحويل فورييه السريع FFT (انظر القسم 3.5). بعدئذ يضرب التحويلان وسيعطى معكوس تحويل فورييه للناتج دالة القسم 3.5). بعدئذ يضرب التحويلان وسيعطى معكوس تحويل فورييه الناتج دالة الطي. تبين مقارنة أجراها 3.5 Brigham 3.5 أسرع في حالة الأصفة 3.5 العاسوب كان عدد النقاط أكبر من 3.5 بالرغم من أن هذا الرقم يعتمد على نوع الحاسوب المستخدم والخوارزميات المستعملة، فهو أصغر بكثير من النقاط الموجودة في صف أو عمود من صورة نموذجية.



الشكل 17.3 توضيح خطوات الثني والإزاحة والضرب الضرورية لإجراء الطي ثنائي ـــ الأبعاد .

### التسرابط

# يعرف ترابط\* دالتين g(x) و g(x) ، مرموزا اليه بـ $f(x)\circ g(x)$ ، بالعلاقة التالية

<sup>\*</sup> إذا كانت f(x) و g(x) نفس الدالة، تدعى المعادلة (3.3–36) عادة دالة الترابط الذاتية g(x) و g(x) و g(x) و g(x) و g(x) و g(x) و أدا كانت g(x) و g(x) منافتين، فيستعمل المصطلح الترابط g(x) المتبادل g(x) عادة.

$$f(x) \circ g(x) = \int_{-\infty}^{\infty} f(\alpha) g(x + \alpha) d\alpha \qquad (36-3.3)$$

حيث ان \* هو المترافق العقدي. ان صيغتي المعادلتين (3.3–36) و (3.8–23) متشابهتان، والفرق الوحيد هو أن الدالة g(x) غير مثنية حول المبدأ. وهكذا، لكي نجري الترابط، نقوم ببساطة بزلق g(x) على f(x) ونكامل الجداء من  $\infty$  إلى حملكل قيمة ازاحة x. هذا الاجراء موضح في الشكل 18.3 الذي يجب أن يقارن مع الشكل 13.3. يعرف المكافىء المتقطع للمعادلة (3.3–36) كما يلي:

$$f_e(x) \circ g_e(x) = \sum_{m=0}^{M-1} f_e(m) g_e(x+m)$$
 (37-3.3)

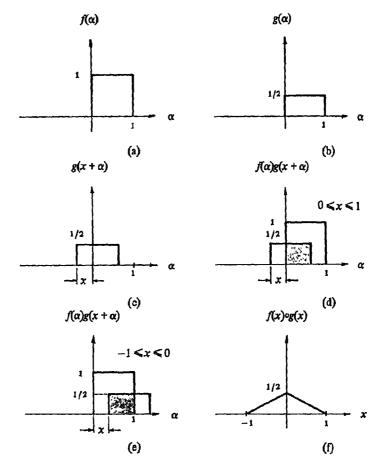
من أجل  $f_e(x)$  و  $f_e(x)$  ان التعليقات التي أوردت سابقا على  $f_e(x)$  و  $g_e(x)$  من أجل  $g_e(x)$  الدورية المفترضة لهاتين الدالتين و اختيار قيم  $g_e(x)$  تنطبق أيضا على المعادلة أي، الدورية المفترضة لهاتين الدالتين و اختيار قيم g(x) و g(x) هذا وتصح صيغ مشابهة لحالة البعدين. وهكذا، فاذا كانت g(x) و g(x) و التين بمتحولات مستمرة، بعرف ترابطهما كما يلي:

$$f(x,y)\circ g(x,y)=\int_{-\infty}^{\infty}\int_{-\infty}^{\infty}f(\alpha,\beta)g(x+\alpha,y+\beta)\,\mathrm{d}\alpha\,\mathrm{d}\beta\qquad(38-3.3)$$

ويكون لدينا من أجل الحالة المتقطعة

$$f_e(x,y) \circ g_e(x,y) = \sum_{m=0}^{M-1} \sum_{n=0}^{N-1} f_e(m,n) g_e(x+m,y+n)$$
 (39-3.3)

من أجل x=0,1,2,...,M-1 و x=0,1,2,...,M-1 هي الحال بالنسبة للطي المتقطع فإن  $g_e(x,y)$  و التمان موسعتان، و  $g_e(x,y)$  و فإن  $g_e(x,y)$ 



الشكل 18.3 توضيح بياني للترابط. المساحات المظللة تدل على المناطن التي لايساوي الجداء فيها صفرا.

(3.3-33) و (3.3-34) لنتـلافى خطـأ التغـليف في أدوار دالة الترابط. في كل من الحالتين المستمرة والمتقطعة، يمكن اثبات أن نظرية الترابط التالية محققة:

$$f(x, y) \circ g(x, y) \Leftrightarrow F(u, v)G^*(u, v)$$
 (40-3.3)

من المفهوم أنه عندما تفسر هذه النظرية على أساس المتحولات المتقطعة، فإن جميع الدوال يفترض أن تكون ممددة دورية.

إن أحد التطبيقات الرئيسة للترابط في معالجة الصورة هو في مجال مطابقة النافذة template matching أو مطابقة النموذج الأصلي template matching، حيث أن المشكلة هي ايجاد أفضل مثيل لصورة معينة غير معروفة بين مجموعة من الصورة معروفة الأصل. إن أحد الأساليب لحل هذه المسألة هو حساب الترابط بين الصورة غير المعروفة وكل من الصور المعروفة. بعد ذلك، يتم ايجاد أفضل مثيل باختيار الصورة التي تعطي أكبر قيمة لدالة الترابط. نظرا لأن الترابطات الناتجة هي دوال ثنائية الأبعاد، فان هذا يتطلب البحث عن أكبر اتساع لكل دالة. كما هي الحال بالنسبة للطي المتقطع، فان حساب  $(x, y)_{og}(x, y)$  في الغالب، أكثر فعالية اذا ما أجرى في المحال الترددي باستخدام خوارزمية FFT لحساب التحويلات الأمامية والعكسية.

عند مقارنة نتائج الطي والترابط المستمرين مع نتائج الطي والترابط المتقطعين، يجب ملاحظة أن الطريقة التي عرفنا فيها الحالات المتقطعة تنتهي إلى تقويم الأشكال المستمرة باستخدام تكاملات مستطيلة. وهكذا، إذا رغب أحدنا بمقارنة النتائج المستمرة والمتقطعة على أساس مطلق فإن المعادلتين (3.3–29) و (3.3–30) و (3.3–33) يجب أن تضربا بـ  $\Delta x \Delta y$  حيث أن  $\Delta x \Delta y$  هما الفواصل بين العينات، كما عرفناهما في القسم 2.3.

في الشكل 16.3 على سبيل المثال، دوال الطي المستمر والمتقطع لهما نفس الاتساع لأن النتيجة المتقطعة ضربت بـ  $\Delta x$  ولكن عندما نحسب ونقوم الصيغ المتقطعة فقط، فإن ادخال عوامل تغيير القياس هذه، مسألة تفضيل لاأكثر. من المهم أيضاً أن نلاحظ أن جميع صيغ الطي والترابط تصح إذا تبادلت f(x) وتحويلاتها و g(x) وتحويلاتها المكان. وهذا صحيح أيضاً إذا كانت الدوال ثنائية الأبعاد .

#### 3.3 , و الاعتيان sampling

لقد قدمنا الفكرة الأساسية لاعتيان الصورة في القسم 3.2 مبنية على أساس بدهي. ان نظريتي تحويل فورييه والطي يؤمنان الأدوات اللازمة لاجراء دراسة تحليلية أعمق لهذه المسألة. اننا نهتم بشكل خاص بالنظر إلى السؤال: كم من العينات يجب أن تؤخذ حتى لاتضيع أية معلومات في عملية الاعتيان. وإذا عبرنا بشكل مختلف نقول: ان المسألة هي تحديد شروط الاعتيان التي يمكن عندها أن تسترجع صورة مستمرة من مجموعة عينات أخدت منها. سنبدأ بتحليل الحالة أحادية \_ البعد.

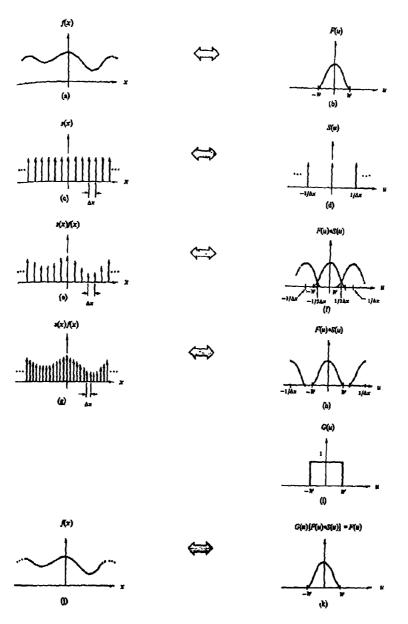
# one-dimensional functions اللوال أحادية \_ البعد

تأمل الدالة المبينة في الشكل 19.3 (a) التي يفترض أنها تمتد من  $-\infty$  إلى  $\infty$  ، وافترض أن تحويل فوريه للدالة f(x) يتلاشى من أجل قيم u الواقعة خارج البون -w, w]. يمكن أن يبدو التحويل كما في الشكل 19.3 (b)\*. إن الدالة التي لتحويلها هذه الخاصة لأية قيمة محددة لـ w تسمى دالة محدودة النطاق band—limited .

للحصول على (x) إعلى شكل عينات، نضرب ببساطة هذه الدالة بدالة اعتيان (x) اتتألف من قطار من نبضات بحيث يفصل بين كل نبضة و النبضة التي تليها مسافة قدرها x ، كا هو مبين في الشكل (x) (e). نظراً لأن الضرب في المجال x ، حسب نظرية الطي، مكافىء للطي في المجال الترددي، نحصل على تحويل فورييه المبين في الشكل (x) المجداء (x) (x) يلاحظ أن التحويل دوري بدور (x) و أن أن التكرارات الفردية لـ (x) يكن أن تتراكب. في الدور الأول، وعلى سبيل المثال، سيقع مركز المنطقة المتداخلة عند (x) عند الفاصل (x) بحيث يكون (x) أو من (x) المناف المشكلة نختار الفاصل (x) بحيث يكون (x)

$$\Delta x < \frac{1}{2W} \tag{42-3.3}$$

<sup>\*</sup> تذكر ان تحويل فورييه هو دالة عقدية. وللتبسيط، نبين في هذه الأشكال التوضيحية اسماع التحويل فقط. ولكن المحور الاحداثي الرأسي سيرقم به (F(u),G(u) ، الخ.. للاشارة إلى أن المفاهيم المتضمنة صحيحة من أجل التحويل بشكل كامل، وليس بالنسبة لمطاله فقط.



الشكل 19.3 تطوير بياني لمفاهيم الاعتيان.

إن نتيجة انقاص  $\Delta x$  مبينة في الأشكال 19.3 (g) و (h). إن الأثر الصافي هو فصل الأدوار بحيث لايحدث أي تراكب. إن أهمية هذه العملية تكمن في حقيقة أنه إذا ضربنا التحويل المبين في الشكل 19.3 (h) بالدالة

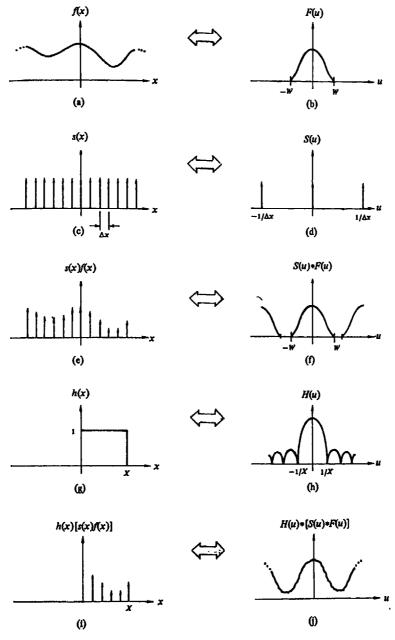
$$G(u) = \begin{cases} 1 & -W < u < W \\ 0 & \text{elsewhere} \end{cases}$$
 (43-3.3)

يصبح بالأمكان عزل F(u) بشكل كامل كم هو مبين في الشكل 19.3 وبالتالي فإن تحويل فوريه العكسي يعطي الدالة الأصلية المستمرة f(x). إن حقيقة أن دالة محدودة ـــ النطاق يمكن أن تستعاد من عيناتها التي تحقق الفواصل بينها المعادلة (3.3-42)، تعرف بنظرية ويتاكر ــ شانون للاعتيان Whittaker-Shannon .

من المهم أن يبقى في ذهننا أن جميع معلومات المجال الترددي لدالة محدودة النطاق، محتواة في البون [W,W]. ولكن إذا لم تكن المعادلة (3.3-42) محققة، يفسد التحويل في هذا البون بسبب مشاركات الأدوار المجاورة. هذه الظاهرة، وتعرف غالبا بالد وألياسينغ، aliasing ، تحول دون استعادة كاملة للدالة التي تم اعتيانها بشكل غير كاف.

إن النتائج السابقة تنطبق على الدوال غير محدودة الأمد في الجال x. ونظراً لأن هذا يقتضي استعمال فاصل اعتيان غير محدد، فإنه يهمنا أن نتفحص الحالة العملية التي تعتان الدالة فيها في منطقة محددة. إن هذا الوضع مبين في الشكل (3 . 20). الأشكال (a) حتى (f) هي نفس الأشكال الموجودة في الشكل (19.3) باستثناء أن الفواصل بين العينات يفترض أنها تحقق نظرية الاعتيان بحيث لايوجد أي تراكب. يمكن تمثيل فاصل أخذ عينات محدود [0,x] رياضيا بضرب نتيجة الاعتيان المبينة في الشكل [0,x] والدالة

$$h(x) = \begin{cases} 1 & 0 < x < X \\ 0 & \text{eisewhere} \end{cases}$$
 (44 – 3.3)



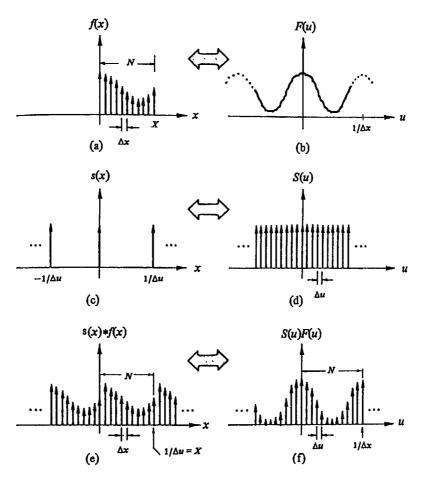
الشكل 3 • 20 توضيح بياني لمفاهيم الاعتيان ـــ المحدود finite-sampling •

هذه الدالة، التي كثيراً ماتدعى نافذة، وتحويل فورييه التابع لها مبينان في الشكل 20.3 (g) و (h) على التوالي. ان نتائج الضرب موضحة في الشكل 20.3 (i). من المهم أن نشير إلى أنه يتم الحصول على نتيجة المجال الترددي النهائية بطي الدالة  $H(u) \times S(u) \times F(u)$  ، الذي هو تحويل فورييه لدالة النافذة h(x) . نظراً لأن ( $H(u) \times F(u) \times F(u)$  ، الذي هو تحويل فورييه لدالة النافذة ( $h(x) \times F(u) \times F(u)$  ) من له مركبات ترددية تمتد إلى اللانهاية، فإن طي هذه الدوال ينتج تشوها في تمثيل المجال الترددي للدالة التي اعتينت وحددت بمنطقة محددة بواسطة ( $h(x) \times F(u) \times F(u)$  ) كما هو مبين في الشكل 3 . 20 (i). وهكذا، حتى إذا كانت الفواصل بين العينات تحقق شروط نظرية الاعتيان، فإنه بشكل عام، يستحيل استعادة دالة بشكل كامل إذا كانت قد اعتينت في منطقة محددة فقط من المجال x . x يمكن تقدير هذه الحقيقية بملاحظة أنه يصبح تكون (f(x) محدودة النطاق ودورية بدور يساوي x . x كن البرهنة في هذه الحالة أن التراكبات الناتجة عن (f(x) تلغي بعضها يعضاً متيحة بهذا امكانية الاستعادة الكاملة المذالة (f(x) إذا كانت نظرية الاعتيان محققة . من المهم أن نلاحظ أن الدالة المستعادة ماتزال تمتد من f(x) معرود فيه (f(x) ماتزال تمتد من f(x) مي وهي ليست صفراً خارج المدى الذي تكون فيه (f(x) ماتزال تمتد من f(x) معرود فيه f(x) ماتزال تمتد من f(x) معرود فيه f(x) معرود أن الدالة المستعادة المرا

إن هذه الاعتبارات تقودنا إلى الاستنتاج الهام وهو أنه لايمكن لأية دالة ذات أمد محدود أن تكون محدودة النطاق. وبشكل معاكس، فإن الدالة المحدودة النطاق يجب أن تمتد من  $-\infty$  إلى  $\infty$  في المجال x. ان هذا الاستنتاج نتيجة عملية مهمة لأنها تؤسس حداً آساسياً في معالحتنا للدوال الرقمية .

قبل الانتقال من مناقشة الدوال أحادية — البعد ، يهمنا استعمال النتائج المدونة أعلاه لاعطاء سبب بديل لدورية تحويل فورييه المتقطع. سنبدأ بملاحظة أنه حتى الآن، جميع النتائج في المجال الترددي كانت ذات طبيعة مستمرة. للحصول على تحويل فورييه المتقطع، نقوم ببساطة باعتيان التحويل المستمر بقطار من نبضات متباعدة عن بعضها بمقدار  $\omega$ . هذا الوضع مرسوم في الشكل 21.3 ، حيث استعمل الشكلان 20.3 (i) و (j). الرمزان  $\gamma$ 0 و  $\gamma$ 1 قد استعملا في الشكل 21.3 لتسهيل المقارنة مع المناقشة التي

وردت في القسم 2.3. ولكن يجب أن يبقى في ذهننا أن الشكلين (a)21.3 و (b) و يفترض أن يكونا نتيجة سلسلة العمليات المبينة في الشكل 20.3.



الشكل 21.3 توضيح بيالي لتحويل فورييه المتقطع .

كما أشرنا سابقا، يمكن تمثيل الاعتيان بضرب قطار النبضات بالدالة التي يراد اعتيانها. في هذه الحالة، نضرب F(u) ب F(u) ونحصل على النتيجة المبينة في الشكل اعتيانها. إن العملية المكافئة في المجال x هي الطبي الذي يعطى الدالة المبينة في الشكل

F(u) و f(x) عينة من f(x) هذه الدالة دورية بدور قدره f(x) اإذا أخذت f(x) عينة من f(x) و f(x) واختيرت الفواصل بين العينات بحيث يغطى دور في كل مجال به f(x) عينة متباعدة بانتظام، يكون لدينا f(x) في المجال f(x) و f(x) في المجال الترددي. المعادلة الأخيرة تنتج من كون تحويل فورييه لدالة معتانة يكون دوريا بدور قدره f(x) كا بينا مابقاً. ينتج من هذه المعادلة أن

$$\Delta u = \frac{1}{N\Delta x} \tag{45-3.3}$$

وهو مايتفق مع المعادلة (2.3–4). إن اختيار هذا التباعد يعطي الدالة المبينة في الشكل 21.3 (e) التي هي دورية بدور قدره  $1/\Delta x$ . لدينا من المعادلة (3.3–45) أن  $1/\Delta u$ -N $\Delta x$ -X الذي هو منطقة الاعتيان الاجمالية في الشكل 21.3(a).

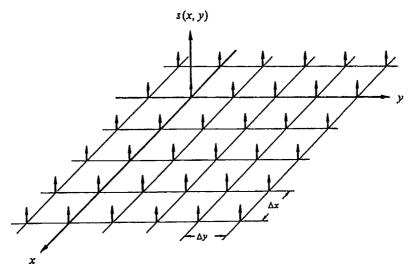
### الدوال ثنائية ــ الأبعاد

إن مفاهيم الاعتيان التي طورت أعلاه قابلة بعد بعض التعديل في الرموز للتطبيق مباشرة على الدوال ثنائية ـــ الأبعاد. إن عملية الاعتيان لهذه الدوال يمكن أن تشكل رياضيا باستعمال الدالة النبضية ثنائية ـــ الأبعاد (κ, γ) التي نعرفها كما يلي

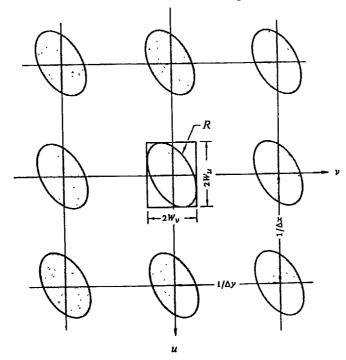
$$\int_{-\infty}^{\infty} \int_{-\infty}^{\infty} f(x, y) \delta(x - x_0, y - y_0) \, dx \, dy = f(x_0, y_0)$$
 (46-3.3)

إن تفسير المعادلة (3.3-46) مشابه للتفسير الذي أعطي للمعادلتين (نفسير الذي أعطي المعادلتين (23.3-25) و (23-3.3) و (23-3.3) و (23-3.3) و الشكل (23.3 يبين دالة اعتيان ثنائية x الشكل (23.3 يبين دالة اعتيان ثنائية x الشجاء x و x في الاتجاء x و من نبضات تبتعد عن بعضها بمقدار x في الاتجاء x و x في الاتجاء x

إذا كان لدينا دالة f(x, y) ، حيث x و y مستمران، فإننا نحصل على الدالة المعتانة بتشكيل الجداء (x, y)f(x, y)f(x, y)، إن الد. لية المكافئة في المجال الترددي هي طي S(u, v) ، حيث أن S(u, v) قطار من نبضات منفصلة عن بعضها بمقدار S(u, v) عدودة (x, y) و (x, y) عدودة (x, y)



الشكل 22 . دالة اعتيان ثنائية ـــ الأبعاد .



الشكل 23.3 تمثيل دالة معتانة محمدودة ـــ النطاق ثنائية ــ الأبعاد، في المجال ـــ الترددي .

النطاق (أي أن طيف فوربيه التابع لها يتلاشى خارج منطقة ما R) فإن نتيجة طي S(u,v) و F(u,v) يمكن أن تبدو كالحالة المبينة في الشكل 3.23. ويلاحظ أن الدالة دورية في بعدين .

ليكن المقداران  $2W_{\rm u}$  و  $2W_{\rm v}$  يمثلان بعدي أصغر مستطيل يحصر المنطقة R. في الاتجاهين u و v ، على التوالي. عندئذ، ومن الشكل u ، أذا كانت u ، على التوالي. عندئذ، ومن الشكل u ، أن يستعاد بشكل كامل u ،

ان معكوس تحويل فورييه لـ  $G(u, v) \cdot S(u, v) \cdot F(u, v)$  يعطي  $G(u, v) \cdot F(u, v)$ . تقودنا لاعتبارات السابقة إلى شكل من أشكال نظرية الاعتبان ثنائية ـــ الأبعاد التي تنص على أنه يمكن استعادة دالة محدودة النطاق بشكل كامل من عينات تعطي الفواصل بينها كما يلي:

$$\Delta x < \frac{1}{2W_u}$$

$$\Delta y < \frac{1}{2W_v}$$

$$(648-3.3)$$

h(x) عندما تكون f(x, y) مشابهة للدالة h(x, y) عندما تكون (باستعمال نافذة h(x, y) مشابهة للدالة (التي استعملت في الشكل 20.3 ، يكون لدينا مشكلة أن تحويل الدالة المعتانة sampled تتسوه بسبب طي H(u, v) و H(u, v) . هذا التشوه، الذي هو نتيجة للطبيعة المحدودة حيزيا للصور الرقمية، يعيق الاستعادة الكاملة لـ f(x, y) من عيناتها.

كما في الحالة أحادية-البعد، فالدوال الدورية هي استثناء، ولكن الصور التي تحقق هذا الشرط نادرا ما توجد في الواقع العملي.

يمكن اجراء مناقشة مشابهة لتلك التي طورت من أجل الحالة أحادية - البعد لتوضيح كيفية ظهور الدورية في تحويل فورييه المتقطع ثنائي-الأبعاد. فمن أجل صورة أبعادها N X ، سيعطى هذا التحليل النتائج التالية

$$\Delta u = \frac{1}{N\Delta x} \tag{a49-3.3}$$

$$\Delta \nu = \frac{1}{N\Delta \nu} \tag{b49-3.3b}$$

إن هاتين العلاقتين بين قواصل العينات تكفل أن دورا (ثنائي – الأبعاد) كاملا سيعطى بـ N × N قيمة متباعدة بانتظام في كل من المجالين الحيزي والترددي.

## 4.3 تحويل فورييه السريع FFT

إن عدد عمليات الضرب والجمع المطلوبة لتنفيذ المعادلة (2-2) يتناسب مع N. يمكن أن يظهر هذا بسهولة بملاحظة أنه من أجل كل من الـ N قيمة لـ N. يتطلب نشر اشارة الجمع N عملية ضرب عقدية لـ N بـ N بـ N و N و N و N عملية جمع للنتائج. يمكن أن تحسب حدود N و N مرة واحدة وتخزن في عملية جمع للنتائج. يمكن أن تحسب حدود N السبب لا يعد عادة ضرب N بـ N في هذه الحدود جزءاً مباشراً من التنفيذ.

نبين في هذا القسم أنه بتفكيك المعادلة (2-23) بشكل صحيح يمكن جعل عدد عمليات الضرب والجمع متناسبا مع  $Nlog_2N$ . ان اجراء التفكيك يسمي خوارزمية تحويل فورييه السريع (Fast Fourier Transform (FFT). ان تخفيض التناسب من  $Nlog_2$  الى  $Nlog_2$  عملية جمع  $log_2$  عملية جمع  $log_2$  عملية جمع  $log_2$  هم المنابق المحدول أن أسلوب تحويل فورييه السريع مين بالأرقام في الجدول 1.3. يتضح من هذا المجدول أن أسلوب تحويل فورييه، وبشكل خاص يقدم مزية حسابية هامة بالمقارنة مع التنفيذ المباشر لتحويل فورييه، وبشكل خاص

عندما تكون N كبيرة نسبيا. فعلى سبيل المثال، ان تنفيذا مباشرا للتحويل من أجل N-8192 يتطلب حوالي ثلاثة أرباع الساعة على حاسوب مثل IBM 7094. بينا يمكن انجاز نفس العمل على هذه الآلة في حوالي خمس ثوان باستعمال FFT.

نركز عنايتنا أدناه على تطوير خوارزمية FFT لمتحول وحيد. وكما أشرنا في القسم 3.3 فان تحويل فورييه ثنائي الأبعاد يمكن أن يحسب بسهولة بالتطبيق المتتالي للتحويل أحادى البعد.

N مقارنة لـ  $N^2$  مقارنة لـ  $N^2$  مقابل Niog, N من أجل قيم مختلفة ا

N	80 € 1 الثقليدي FT الثقليدي	N log <sub>2</sub> N (FFT)	الزية الحسابية ( الزية الحسابية ( N/log <sub>2</sub> N)		
2	4	2	2.00		
4	16	8	2.00		
8	64	24	2.67		
16	256	64	4.00		
32	1,024	160	6.40		
64	4,096	384	10.67		
128	16,384	896	18.29		
256	65,536	2,048	32.00		
512	262,144	4,608	56.89		
1024	1,048,576	10,240	102.40		
2048	4,194,304	22,528	186.18		
4096	16,777,216	49,152	341.33		
8192	67,108,864	106,496	630.15		

#### 1.4.3 خوارزمية FFT

ان خوارزمية تحويل فورييه السريع FFT المطورة في هذا القسم مبنية على أساس مايسمي بطريقة المضاعفة المتتالية successive doubling. سيكون من الملائم في المناقشة التالية أن نعبر عن المعادلة (2.3-2) بالشكل التالي

$$F(u) = \frac{1}{N} \sum_{x=0}^{N-1} f(x) W_N^{ux}$$
 (1-4.3)

$$W_N = \exp[-j2\pi/N] \tag{2-4.3}$$

و يفترض أن تأخذ N الشكل التالي

$$N=2^n (3-4.3$$

حيث ان n هي عدد صحيح موجب. وبناءا على هذا، يمكن التعبير عن N كما يلي

$$N = 2M \tag{4-4.3}$$

حيث ان M هي أيضا عدد صحيح موجب. إن تعويض المعادلة (4.3-4) في المعادلة (4.3-1) يعطي (4.3-1) يعطي

$$F(u) = \frac{1}{2M} \sum_{x=0}^{2M-1} f(x) W_{2M}^{ux}$$

$$= \frac{1}{2} \left\{ \frac{1}{M} \sum_{x=0}^{M-1} f(2x) W_{2M}^{u(2x)} + \frac{1}{M} \sum_{x=0}^{M-1} f(2x+1) W_{2M}^{u(2x+1)} \right\}$$
(5-4.3)

ونظراً لأنه من المعادلة (4.3)،  $W_{2m}^{2ux} = W_{m}^{ux}$ ، يمكن التعبير عن المعادلة (4.3–5) بالشكل التالى:

$$F(u) = \frac{1}{2} \left\{ \frac{1}{M} \sum_{x=0}^{M-1} f(2x) W_M^{ux} + \frac{1}{M} \sum_{x=0}^{M-1} f(2x+1) W_M^{ux} W_{2M}^{u} \right\}$$
 (6-4.3)

إذا عرفنا

$$F_{\text{even}}(u) = \frac{1}{M} \sum_{x=0}^{M-1} f(2x) W_M^{ux}$$
 (7-4.3)

من أجل u=0,1,2,...,M−1 ، و

$$F_{\text{odd}}(u) = \frac{1}{M} \sum_{x=0}^{M-1} f(2x+1) W_M^{ux}$$
 (8-4.3)

من أجل u=0,1,2,...,M-1 ، فإن المعادلة (4.3) تصبح كايلي

$$F(u) = \frac{1}{2} \left\{ F_{\text{even}}(u) + F_{\text{odd}}(u) W_{2M}^{u} \right\}$$
 (9-4.3)

وأيضا، نظراً لأن  $W_M^{u+M} = W_M^u$  and  $W_{2M}^{u+M} = -W_{2M}^u$  ، ينتج من المعادلات وأيضا، نظراً لأن (9-4.3)

$$F(u+M) = \frac{1}{2} \left\{ F_{\text{even}}(u) - F_{\text{odd}}(u) W_{2M}^{u} \right\}$$
 (10-4.3)

إن التحليل الدقيق للمعادلات (4.3) حتى (4.3) يظهر بعض -N المنعقة للنظر لهذه الصيغ الرياضية. يلاحظ أنه يمكن حساب تحويل الد -N نقطة بتقسيم الصيغة الأصلية الى جزئين، كما أشرنا في المعادلتين (8-4) و -(N/2). ان حساب النصف الأول من F(u) يتطلب حساب تحويلي الد F(u) نقطة المعبر عنهما بالمعادلتين (4.3-7) و (8-4.3). بعد ذلك، تعوض قيم  $F_{\text{evn}}(n)$  نقطة المعبر عنهما بالمعادلة (4.3-7) و (4.3-8). بعد ذلك، تعوض تم المعادلة (4.3-9) للحصول على F(u) من أجل  $F_{\text{odd}}(n)$  بدون حسابات بعد ذلك ينتج النصف الثاني مباشرة من المعادلة (4.3-10) بدون حسابات تحويل اضافية.

 المطلوبة لحساب تحويل نقطتين يتألف من m(1)=1 عملية ضرب و a(1)=2 عملية جمع.

إن القيمة التالية المسموح بها لـ n هي 2 . وحسب التطوير المذكور أعلاه، فإن تحويل أربع – نقاط يمكن أن يقسم الى جزئين. النصف الأول لـ F(u) يتطلب حساب تحويلي نقطتين، كما هو معطى في المعادلتين (4.3 - 7) و (4.3 - 8) من أجل 4.5. ونظراً لأن تحويل نقطتين يتطلب (1) عملية ضرب و (1) عملية جمع، فمن الواضح أن حساب هاتين المعادلتين يتطلب ما مجموعه (1) عملية ضرب و (1) عملية خرب و (1) عملية (1) جمع. وهناك عمليتي ضرب وعمليتي جمع أخرى مطلوبة للحصول على (1) و (1) و (1) بن المعادلة (1) و (1) و (1) المناقلة أن عمليتي جمع اضافيتين تعطيان (1) و (1) و (1) و (1) و (1) و (1) أن غد أن عمليتي جمع اضافيتين تعطيان (1) و (1) و

$$m(n) = 2m(n-1) + 2^{n-1}$$
  $n \ge 1$  (13-4.3)

•

$$a(n) = 2a(n-1) + 2^n$$
  $n > 1$  (14-4.3)

حيث 0=(0) و 0=(0) لأن تحويل نقطة واحدة لايتطلب أية عملية ضرب أو جمع. إن تنفيذ المعادلات (4.3 - 7) حتى (4.3 - 10) يشكل خوارزمية FFT ذات المضاعفة المتتالية. إن هذا الاسم يأتي من حقيقة أن تحويل نقطتين يحسب من تحويل نقطة واحدة، وتحويل أربع – نقاط يحسب من تحويل نقطتين، وهكذا، من أجل أية N مساوية لقوة صحيحة للعدد 2.

## 2.4.3 عدد العمليات

سنبين في هذا القسم بالاستقراء induction أن عدد عمليات الضرب والجمع العقدية المطلوبة لتنفيذ خوارزمية الـ FFT المذكورة أعلاه يعطى بالعلاقة التالية

على التوالي .

من الضروري أولا أن نبرهن أن المعادلتين (4.3 – 13) و (4.3 – 14) صحيحتان من أجل n=1. لقد سبق وبينا أن

$$m(1) = \frac{1}{2}(2)(1) = 1$$

$$a(1) = (2)(1) = 2$$

بعد ذلك، يفترض أن المعادلتين محققتان من أجل n. عندئذ يجب أن نبرهن أنهما معققتان أيضا من أجل n+1.

$$m(n+1) = 2m(n) + 2^n$$

بتعويض المعادلة (4.3 – 13)، التي يفترض أنها محققة من أجل n، ينتج

$$m(n+1) = 2(\frac{1}{2}Nn) + 2^{n}$$

$$= 2(\frac{1}{2}2^{n}n) + 2^{n}$$

$$= 2^{n}(n+1)$$

$$= \frac{1}{2}2^{n+1}(n+1)$$

ولذلك فان المعادلة (4.3 – 13) محققة من أجل جميع قيم 
$$n$$
 الصحيحة الموجبة. لدينا من المعادلة (4.3 – 12)

$$a(n+1) = 2a(n) + 2^{n+1}$$
 يعطي  $a(n)$  من أجل  $a(n+1) = 2Nn + 2^{n+1}$   $= 2(2^n n) + 2^{n+1}$   $= 2^{n+1}(n+1)$ 

وهذا ما يكمل البرهان.

# 3.4.3 تحويل فورييه السريع FFT العكسي

حتى الآن، لقد قلنا القليل حول تحويل فورييه العكسي. ان أية خوارزمية لتنفيذ تحويل فورييه المباشر يمكن أن تستخدم (مع تعديل ثانوي في الدخل) لحساب التحويل العكسي. ولنرى هذا، دعنا نتأمل المعادلتين (2.3-2) و (2.3-2) اللتين نعيد كتابتهما أدناه

$$F(u) = \frac{1}{N} \sum_{x=0}^{N-1} f(x) \exp[-j2\pi ux/N]$$
 (15-4.3)

$$f(x) = \sum_{u=0}^{N-1} F(u) \exp[j2\pi ux/N]$$
 (16-4.3)

بأخذ المترافق العقدي للمعادلة (4.3 – 16) وتقسيم طرفي المعادلة على N ينتج

$$\frac{1}{N} f^*(x) = \frac{1}{N} \sum_{u=0}^{N-1} F^*(u) \exp[-j2\pi ux/N]$$
 (17-4.3)

بمقارنة هذه النتيجة مع المعادلة (4.3-15) نرى أن الجانب الأيمن من المعادلة (4.3-15) له شكل تحويل فورييه المباشر. وهكذا، اذا أدخلنا (+10) الى خوارزمية مصممة لحساب التحويل المباشر ستكون النتيجة هي المقدار +1. ان أخذ المترافق العقدي والضرب +1 سيعطي (+1) العكسية المرغوبة.

من أجل المصفوفات المربعـة ثنائية - الأبعاد نآخذ المترافق العقدي للمعادلة (10-2.3) ، أي،

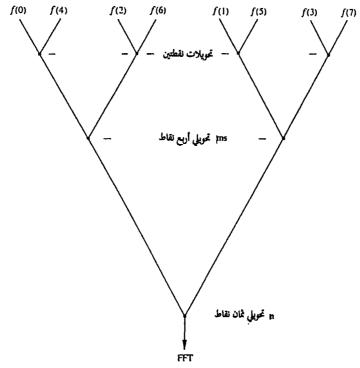
$$f^*(x,y) = \frac{1}{N} \sum_{u=0}^{N-1} \sum_{\nu=0}^{N-1} F^*(u,\nu) \exp\left[-j2\pi(ux+\nu y)/N\right]$$
 (18-4.3)

الذي نرى أنه بشكل التحويل المباشر ثنائي – الأبعاد المعطى بالمعادلة (2.3–9). ولذلك ينتج أنه اذا أدخلنا ( $F^*(u, v)$  الى خوارزمية مصممة لحساب التحويل المباشر ستكون النتيجة (x, y). بأخذ المترافق العقدي لهذه النتيجة نحصل على (f(x, y). ولله كون f(x, y) أو f(x, y) حقيقية، تكون عملية المترافق العقدي غير ضرورية لأن حالة كون f(x, y) أو f(x, y) عملية المترافق الحقيقية.

إن حساب التحويل ثنائي – الأبعاد عن طريق تطبيق متنال للتحويل أحادي – البعد كثيرا ما يكون مصدر ارباك عند استعمال الطريقة المذكورة أعلاه لحساب المعكوس. يجب أن يحتفظ القارىء بذهنه بالاجراء الملخص في القسم 1.3.3 ويتجنب أن يضلل بالمعادلة (4.3 – 17). بكلمات أخرى، عند استعمال خوارزمية أحادية البعد لحساب المعكوس ثنائي – الأبعاد، لاتقوم الطريقة على حساب المترافق العقدي بعد معالجة كل سطر أو عمود. بدلا من ذلك ، تعامل الدالة  $F^*(u, v)$  كما لو كانت  $F^*(u, v)$  في التحويل المباشر. إن اجراء التحويل ثنائي – الأبعاد ملخص في الشكل 9.3 . المترافق العقدي للنتيجة (اذا كان ضروريا) سيعطي المعكوس الصحيح F(x, v).

#### 4.4.3 التنفيذ

1.4.3 النقطة الحاسوب لتحويل فوربيه السريع FFT الذي طورناه في القسم 1.4.3 هو تنفيذ مباشر. ان النقطة الرئيسة التي يجب أن تبقى في الذهن هي أن معطيات الدخل يجب أن تكون مرتبة بالترتيب المطلوب من أجل التطبيقات المتتالية للمعادلات (4.3 – 7) و (4.3 – 8). إن إجراء الترتيب يمكن أن يوضح بمثال بسيط. لنفترض أننا نرغب في استعمال خوارزمية المضاعفة المتتالية لحساب FFT لدالة بثمان – نقاط f(0), f(1), ..., f(7). المعادلة (4.3 – 7) تستعمل عينات بمتغيرات arguments زوجية وجية f(0), f(2), f(4), f(6). ولكان كل تحويال أربع – نقاط يحسب كتحسويالي f(1), f(3), f(5), f(7).



الشكل 24.3 صفيف الدخل المرتب و استعماله في طريقة المضاعفة المتتالية.

لحسن الحظ، ان الاجراء العام لاعادة ترتيب صفيف دخل، يتبع قاعدة عكس—البتة bit—reversal rule البسيطة. اذا جعلنا x مثل أية قيمة ممكنة للمتغير في الصفيف المعاد ترتيبه بالتعبير عن x بالصيغة الثنائية وعكس بتاتها. مثلا، إذا كانت x الصفيف المعاد ترتيبه بالتعبير عن x بالصفيف الأصلي (6) وعكس بتاتها. مثلا، إذا كانت x الصفيف المعاد ترتيبه، لأن x الصفيف الأصلي x عندما يصبح العنصر الرابع في الصفيف المعاد ترتيبه، لأن x المنائي ويجب تعكس البتات. يلاحظ أن العكس هو عكس من اليسار إلى اليين للرقم الثنائي ويجب ألا يخلط بينه وبين المتمم الثنائي .

إن الاجراء ملخص في الجدول 2.3 من أجل 8-N. إذا استعمل الصفيف المعاد ترتيبه في حساب FFT فسيكون الجواب هو عناصر تحويل فورييه في الترتيب الصحيح. وبشكل معاكس، يمكن أن نبين أنه اذا استعمل الصفيف بترتيبه الطبيعي، سيكون الجواب معكوس البتات. هذا وتصح تعليقات مماثلة على حساب التحويل العكسي. يبين الشكل 25.3 برنامجاً فرعياً مكتوباً بلغة الفورتران FORTRAN لحساب تحويل فورييه السريع FFT بطريقة المضاعفة - المتتالية. ان المعلمات في متغيرات البرنامج الفرعي هي كايلي. في الدخل: F هي صفيف يرغب تحويله و N تساوي n. و في الخرج: الصفيف عمدي بحيث أنه اذا الحرج: الصفيف عمدي بحيث أنه اذا المنامج كان الدخل دالة حقيقية، يجب تصفير الجزء التخيلي من F قبل استدعاء البرنامج الفرعي.

الجزء الأول من البرنام، بما فيه الحلقة "DO3" يقوم باعادة ترتيب معطيات المدخل. الجزء الثاني بما فيه الحلقة "DO6" يقوم بالحسابات المتتالية. الحلقة "DO6" تقسيم النتائج على N. وحسب التقديرات، تبين أن هذا البرنامج البسيط، من أجل N-1024، أقل كفاءة بمقدار 12٪ فقط من برنامج فورتران كتب بشكيل أفضيل و يستخدم جدولا لحزن قيم N-1024.

المعادلات (3.3-3) حتى (3.3-6)، مع الأشكال 9.3 و 25.3 ، تؤمن المعلومات الضرورية لتنفيذ تحويل فورييه المباشر، ثنائي – الأبعاد. إن نفس المفاهيم قابلة للتطبيق على التحويل العكسي باستعمال المترافق العقدي لتحويل فورييه كدخل لبرنامج الفرعى كما أشرنا في القسم 3.4.3 .

يجب أن نشير قبل الانتهاء من هذا القسم إلى أنه بالامكان تشكيل تحويل فورييه السريع باستعمال أسس صحيحة أخرى أكبر من اثنين. في الحقيقة، إن تشكيل Cooley, Lewis, على أساس – ثلاثة يتطلب عمليات أقل بقليل من أي أساس آخر (and Welch 1969)، ولكن سيئته من وجهة نظر البرمجة تجعله خيار غير جذاب. الأساس – أربعة يساوي الأساس – اثنان من حيث العمليات المطلوبة. وجميع الأسس الأخرى أقل كفاءة، وتتطلب بشكل تصاعدي عددا أكبر من العمليات. ان خوارزميات تحويل فوريه السريع تشكل عادة بصيغة الأساس – اثنان لأنها أسهل للتنفيذ بلغة التجميع (لغة الآلة) assembly language.

الجدول 2.3 مثال لعكس البت واعادة ترتيب الصفيف للادخال الى خوارزمية FFT

المتغير الأصلي		<b>z</b> /1	الصفيف الأصلي	-البتات	،كوس -	لصفيف معاد الترتيب	
0	0	0	f(0)	0	0	0	f(0)
0	0	1	f(1)	1	0	0	f(4)
0	1	0	f(2)	0	1	0	f(2)
0	1	1	f(3)	1	1	0	f(6)
1	0	0	f(4)	0	0	1	f(1)
1	0	1	f(5)	1	0	1	f(5)
1	1	0	f(6)	0	1	1	f(3)
1	1	1	f(7)	1	1	1	f(7)

```
SUBROUTINE FFT(F, LN)
  COMPLEX F(1024), U. W. T. CMPLX
  PI=3, 141593
  N=2サルにN
  NV2=N/2
  NM1=N-1
  J≔1
  DO 3 1=1, NM1
  1F(I, GE, J) GO TO 1
  ኘ≔۴′(ህ)
  F(J)=F(1)
  F(I)=T
1 K≈NV2
2 1F(K.GE.J) GO TO 3
  J=#J~K
  K=K/2
  GO TO 2
3 J=J+K
  DO 5 L=1,LN
  LE=2**L
  LE1=LE/2
  U=(1, 0, 0, 0)
  W≔CMPLX(COS(PI/LE1), -SIN(PI/LE1))
  DO 5 J=1, LE1
  DO 4 1=J, N. LE
  IP=1+LE1
  ] =F(IF)*U
  F(1P)=F(1)-7
4 f (1)=F(1)+T
5 U=U*W
  DO 6 I=1.N
6 F(I)=F(1)/FLOAT(N)
  RETURN
  END
```

الشكل 25.3 تنفيذ لحوارزمية FFT بطريقة المضاعفة المتتالية بلغة الفورتران (1969).

# 5.3 تحويلات صورة أخرى قابلة للفصل

إن تحويل فورييه المتقطع أحادي – البعد هو واحد من مجموعة من التحويلات الهامة التي يمكن التعبير عنها بصيغة العلاقة العامة التالية

$$T(u) = \sum_{x=0}^{N-1} f(x) g(x, u)$$
 (1-5.3)

حيث ان T(u) هو تحويل f(x), g(x,u) هي نواة التحويل المباشر و g(x,u) تأخذ قيا في المدى g(x,u) هو تحويل العكسي بالعلاقة المدى g(x,u) و بشكل مشابه، يعطى التحويل العكسي بالعلاقة

$$f(x) = \sum_{u=0}^{N-1} T(u)h(x, u)$$
 (2-5.3)

حيث ان h(x, u) هي نواة التحويل العكسي inverse transform kernel و x تأخذ قيما في المدى  $0.1, \dots, N-1$ . إن طبيعة تحويل ما تتحدد بخصائص نواة تحويله.

من أجل المصفوفات المربعة ثنائية – الأبعاد يعطى التحويلان المباشر والعكسي بالمعادلتين

$$T(u, \nu) = \sum_{x=0}^{N-1} \sum_{y=0}^{N-1} f(x, y) g(x, y, u, \nu)$$
 (3-5.3)

و

$$f(x,y) = \sum_{u=0}^{N-1} \sum_{v=0}^{N-1} T(u,v)h(x,y,u,v)$$
 (4-5.3)

حيث، وكما هي الحال أعلاه، (g(x,y,u,v) و h(x,y,u,v) تسميان نواتي التحويلين المباشر والعكسي، على التوالي.

يفال إن النواة المباشرة قابلة للفصل اذا كان

$$g(x, y, u, \nu) = g_1(x, u) g_2(y, \nu)$$
 (5-5.3)

بالاضافة الى ذلك، فان النواة تكون متناظرة اذا كانت  ${\sf g}_1$  تساوي  ${\sf g}_2$  وظيفيا. في هذه الحالة، يمكن أن تصاغ المعادلة (5.3 – 5) بالشكل

$$g(x, y, u, \nu) = g_1(x, u)g_1(y, \nu)$$
 (6-5.3)

h(x,y,u,v) = g(x,y,u,v) ب g(x,y,u,v) = 1 النواة العكسية اذا استبدلت g(x,y,u,v) = 0 ب g(x,y,u,v) = 0 . (5.3 – 5.3) في المعادلتين (5.3 – 5) و (5.3 – 6).

ان تحويل فورييه ثنائي – الأبعاد حالة خاصة للمعادلة (3-5.3). ان له النواة 
$$g(x,y,u,\nu)=\frac{1}{N}\,\exp\bigl[-j2\pi(ux+\nu y)/N\bigr]$$

التي هي قابلة للفصل ومتناظرة لأن

$$g(x, y, u, v) = g_1(x, u) g_1(y, v)$$

$$= \frac{1}{\sqrt{N}} \exp[-j2\pi ux/N] \frac{1}{\sqrt{N}} \exp[-j2\pi vy/N]$$
(7-5.3)

يظهر بسهولة أن نواة التحويل العكسي قابلة للفصل و متناظرة أيضا.

يمكن حساب تحويل بنواة قابلة للفصل بخطوتين، كل منهما تتطلب تحويلا أحادي-البعد. أولا، يجرى تحويل فورييه على طول كل صف من f(x, y)، معطيا

$$T(x, \nu) = \sum_{\nu=0}^{N-1} f(x, \nu) g_2(y, \nu)$$
 (8-5.3)

من أجل x,v=0.1,...,N-1 ثانيا، يجرى التحويل أحادي — البعد على طول كل عمود من T(x,v) وهذا يعطى العبارة الرياضية التالية

$$T(u, v) = \sum_{x=0}^{N-1} T(x, v) g_1(x, u)$$
 (9-5.3)

من أجل 1.3.3...,N-0.1,...,N-0.1. يلاحظ أن هذا الاجراء يتفق مع الطريقة التي أعطيت في القسم 1.3.3 من أجل تحويل فوريبه. يتم الحصول على نفس النتائج النهائية اذا أجرى التحويل على طول كل عمود من f(x, y) أولا للحصول على T(y, u) وبعد ذلك على طول كل صف من الدالة الأخيرة للحصول على T(u, v). وتصح تعليقات مشابهة من أجل التحويل العكسي اذا كانت h(x,y,u,v) قابلة للفصل. إذا كانت النواة أجل التعبير عن المعادلة g(x,y,u,v) أيضا بصيغة المصفوفة التالية

$$T = AFA \qquad (10 - 5.3)$$

 $N \times N$  و A هي مصفوفة تحويل متناظرة  $N \times N$  و A هي مصفوفة تحويل متناظرة u المدى عناصرها u و u هو التحويل الناتج u من أجل u و u في المدى عناصرها u و

للحصول على التحويل العكسي نضرب المعادلة (5.3–10) بمصفوفة تحويل عكسي  $\mathbf{B}$  مرتين بحيث يكون موقع  $\mathbf{B}$  في المرة الأولى في بداية كل حد وفي المرة الثانية في نهاية كل حد.

$$BTB = BAFAB (11-5.3)$$

إذا كانت B=A-1 ، ينتج عندئذ

$$\mathbf{F} = \mathbf{B}\mathbf{T}\mathbf{B} \tag{12-5.3}$$

ما يدل على أن الصورة الرقمية  $\mathbf{F}$  يمكن أن تستعاد بشكل كامل من تحويلها. اذا لم تكن  $\mathbf{B}$  تكن  $\mathbf{B}$  تساوي  $\mathbf{A}$  عندئذ تعطى المعادلة (5.3 – 11) تقريبا لـ  $\mathbf{F}$  يعطى بالعلاقة

$$\hat{\mathbf{F}} = \mathbf{BAFAB} \tag{13-5.3}$$

إن عدداً من التحويلات، بما فيها تحويل فوربيه وتحويل والش Walsh وتحويل هادامارد المعاهلة وتحويل التجيب المتقطع Discrete Cosine بمكن التعبير عنها بصيغتي المعادلتين (5.3–10) و (5.3–12). لمصفوفات التحويل الناتجة خاصة هامة وهي أنها عكن أن تفكك الى جداءات مصفوفات بمداخل غير صفرية nonzero entries أقل من تلك الموجودة في المصفوفة الأصلية. هذه النتيجة التي أول ما صيغت من قبل  $10^{-1}$  (1958] redundancy و بالتالي عدد العمليات اللازمة لتنفيذ تحويل فوربيه، تخفض المعطيات الزائدة التخفيض تعادل تلك عدد العمليات اللازمة لتنفيذ تحويل ثنائي — الأبعاد. ان درجة التخفيض تعادل تلك التي حصلنا عليها بواسطة FFT إذ أنها من مرتبة Niog<sub>2</sub>N عملية ضرب/جمع لكل سطر أو عمود لصورة  $10^{-1}$  بالرغم من أننا نركز عنايتنا في هذا الكتاب على اجراءات حسابية مبنية على تطبيقات متتابعة لخوارزميات أحادية — البعد للحصول على التحويلين المباشر والعكسي لصورة ما، يجب أن يبقى في ذهننا أن نتائج حسابية مكافئة التحويلين المباشر والعكسي لصورة ما، يجب أن يبقى في ذهننا أن نتائج حسابية مكافئة النقطة يجب أن يعود إلى كتاب أندروس [1970] Andraws من أجل تفاصيل إضافية .

#### 3.3- 1 تحويل والش Walsh transform

عندما تكون  $N=2^n$  ، فإن تحويل والش المتقطع لدالة f(x) ، المشار إليه بـ w(u) ، يحصل عليه بتعويض النواة

$$g(x, u) = \frac{1}{N} \prod_{i=0}^{n-1} (-1)^{b_i(x)b_{n-1-i}(u)}$$
 (14-5.3)

في المعادلة (5.3-1) . بكلمات أخرى،

$$W(u) = \frac{1}{N} \sum_{x=0}^{N-1} f(x) \prod_{i=0}^{N-1} (-1)^{b_i(x)b_{n-1-i}(u)}$$
 (15-5.3)

 $_{\rm m=3}$  حيث  $b_{\rm k}(z)$  هو البت رقم  $_{\rm k}$  في التمثيل الثنائي لـ  $_{\rm c}$  على سبيل المثال، إذا كانت  $_{\rm b_0}$  و  $_{\rm b_0}$  و  $_{\rm b_0}$  و  $_{\rm b_0}$  .

إن قيم g(x, u)، باستثناء الحد الثابت g(x, u)، مدونة في الجدول 3.3 من أجل N=8.

إن المصفوفة المشكلة بواسطة نواة تحويل والش مصفوفة متناظرة صفوفها وأعمدتها متعامدة. هذه الخصائص التي تصح بشكل عام، تؤدي إلى نواة عكسية مماثلة للنواة المباشرة، باستثناء عامل جدائي ثابت 1/N، أي

$$h(x, u) = \prod_{i=0}^{n-1} (-1)^{b_i(x)b_{n-1-i}(u)}$$
 (16-5.3)

الجدول 3.3 قيم نواة تحويل والش من أجل N-8

u\.r	0	1	2	3	4	5	٠ 6	7
0	+	+	+	+	+	+	+	+
1	+	+	+	+	_	_	_	_
2	+	+		-	+	+	_	_
3	+	+			_		+	+
4	+	_	+	_	+	_	+	_
5	+	-	+	-	_	+		+
6	+	_	_	+	+	-		+
7	+	-		+	-	+	+	_

يعطى تحويل والش العكسي بالمعادلة التالية

$$f(x) = \sum_{u=0}^{N-1} W(u) \prod_{i=0}^{n-1} (-1)^{b_i(x)b_{n-1-i}(u)}$$
 (17-5.3)

يلاحظ أنه، بشكل مغاير لتحويل فورييه، المبني على حدود مثلثية، يتالف تحويل والش من نشر متوال لدوال اساسية قيمها 1+ أو 1-.

إن صحة المعادلة (5.3–17) يمكن أن تثبت ببساطة باستبدال W(u) بالمعادلة (5.3–15) واستخدام شرط التعامد المذكور أعلاه. من المهم أيضاً أن نلاحظ من المعادلتين (5.3–15) و (5.3–17) أن تحويلي والش المباشر والعكسي يختلفان فقط بالحد 1/N. وهكذا فإن أية خوارزمية لحساب تحويل والش المباشر يمكن أن تستخدم مباشرة للحصول على التحويل العكسي ببساطة بضرب نتيجة الخوارزمية بـ N.

ان نواتي تحويلي والش المباشر والعكسي ثنائيي - الأبعاد تعطيان بالعلاقتين

$$g(x, y, u, \nu) = \frac{1}{N} \prod_{i=0}^{n-1} (-1)^{[b_i(x)b_{n-1-i}(u)+b_i(y)b_{n-1-i}(\nu)]}$$
 (18-5.3)

9

$$h(x, y, u, v) = \frac{1}{N} \prod_{i=0}^{n-1} (-1)^{[b_i(x)b_{n-1-i}(u)+b_i(y)b_{n-1-i}(v)]}$$
 (19-5.3)

بالرغم من أنه صحيح أن نضع الحد 1/N قبل g(x,y,u,v) أو قبل h(x,y,u,v) فإن الصيغتين المعطاتين في المعادلتين (5.3-18) و (5.3-19) مفضلتان في تطبيقات معالجة الصورة حيث أن هناك اهتمام متساو في اجراء التحويلين المباشر والعكسي. نظرا لأن التشكيل المعطى في هاتين المعادلتين يؤدي الى نواتين متاثلتين، ينتج من المعادلتين (5.3-18) و (5.3-18) أن تحويلي والش المباشر والعكسي متساويان في الشكل أيضا، أى

$$W(u, v) = \frac{1}{N} \sum_{x=0}^{N-1} \sum_{y=0}^{N-1} f(x, y) \prod_{i=0}^{n-1} (-1)^{[b_i(x)b_{n-1-i}(u)+b_i(y)b_{n-1-i}(v)]}$$
(20-5.3)

$$f(x,y) = \frac{1}{N} \sum_{u=0}^{N-1} \sum_{r=0}^{N-1} W(u,r) \prod_{i=0}^{n-1} (-1)^{[b_i(x)b_{n-1-i}(u)+b_i(y)b_{n-1-i}(r)]}$$
(21-5.3)

وهكذا فان أية خوارزمية تستخدم لحساب تحويل والش المباشر ثنائي - الأبعاد يمكن أن تستخدم بدون تعديل لحساب التحويل العكسي. ان نواتي تحويل والش قابلتان للفصل ومتناظرتان لأن

$$g(x,y,u,v) = g_1(x,u) g_1(y,v)$$
  
=  $h_1(x,u) h_1(y,v)$  (22-5.3)

$$g(x,y,u,v) = \left[\frac{1}{\sqrt{N}} \prod_{i=0}^{n-1} (-1)^{b_i(x)b_{n-1-i}(u)} \right] \left[\frac{1}{\sqrt{N}} \prod_{i=0}^{n-1} (-1)^{b_i(y)b_{n-1-i}(v)} \right]$$

وينتج بالتالي أن W(u, v) ومعكوسه يمكن أن يحسبا بالتطبيقات المتتالية لتحويل والش أحادي — البعد المعطى بالمعادلة (5.3 – 15). إن الاجراء المتبع في الحساب هو نفسه الذي أعطى في القسم 1.3.3 وفي الشكل 9.3 من أجل تحويل فورييه.

يمكن حساب تحويل والش بخوارزمية سريعة مماثلة بالشكل لطريقة المضاعفة المتتالية التي أعطيت في القسم 1.4.3 من أجل FFT. الفرق الوحيد هو أن الحدود الأسية  $W_N$  تجعل مساوية للواحد في حالة تحويل والش السريع (FWT). المعادلتان (4.3 - 9) و (4.3 - 10) اللتان هما العلاقتان الأساسيتان المؤديتان لـ FFT، تصبحان عندان.

$$W(u) = \frac{1}{2} \left\{ W_{\text{even}}(u) + W_{\text{odd}}(u) \right\}$$
 (23-5.3)

و

$$W(u+M) = \frac{1}{2} \{ W_{\text{even}}(u) - W_{\text{odd}}(u) \}$$
 (24-5.3)

حيث M=N/2 و u=0,1,2,...,N-1 و u=0,1,2,...,N-1 و حيث M=N/2 و دعنا عوضاً عن إعطاء برهان عام لهذه النتيجة، نوضح استعمال المعادلة (5.3 – 15) و ان استعمال w في هذا القسم للاشارة إلى تحويل والش يجب آلا يؤدي إلى النباس مع نفس الرمز، المستعمل في القسم 13.4.3 للإشارة إلى الحدود الأسية.

وصحة المعادلتين (5.3 – 23) و (5.3 – 24) بمثال بسيط. يمكن ايجاد تفاصيل أكثر عن هذا الموضوع في [1969]Shanks.

مثال: إذا كانت N-4، يعطى استعمال المعادلة (5.3 - 15) تتابع الخطوات التالية:

$$W(0) = \frac{1}{4} \sum_{x=0}^{3} \left[ f(x) \prod_{i=0}^{1} (-1)^{b_{i}(x)b_{1-i}(0)} \right]$$

$$= \frac{1}{4} \left[ f(0) + f(1) + f(2) + f(3) \right]$$

$$W(1) = \frac{1}{4} \sum_{x=0}^{3} \left[ f(x) \prod_{i=0}^{1} (-1)^{b_{i}(x)b_{1-i}(1)} \right]$$

$$= \frac{1}{4} \left[ f(0) + f(1) - f(2) - f(3) \right]$$

$$W(2) = \frac{1}{4} \sum_{x=0}^{3} \left[ f(x) \prod_{j=0}^{1} (-1)^{b_{j}(x)b_{1-j}(2)} \right]$$

$$= \frac{1}{4} \left[ f(0) - f(1) + f(2) - f(3) \right]$$

$$W(3) = \frac{1}{4} \sum_{x=0}^{3} \left[ f(x) \prod_{i=0}^{1} (-1)^{b_{i}(x)b_{1-i}(3)} \right]$$

$$= \frac{1}{4} \left[ f(0) - f(1) - f(2) + f(3) \right]$$

لكي نبين صحة المعادلتين (5.3–23) و (5.3–24) نقسم هذه النتائج الى زمرتين فرعيتين، أي

$$W_{\text{even}}(0) = \frac{1}{2} [f(0) + f(2)]$$
  $W_{\text{odd}}(0) = \frac{1}{2} [f(1) + f(3)]$ 

$$W_{\text{even}}(1) = \frac{1}{2} [f(0) - f(2)]$$
  $W_{\text{odd}}(1) = \frac{1}{2} [f(1) - f(3)]$ 

لدينا من المعادلة (5.3 – 23) أن (0.1 × 144 (0.1

$$W(0) = \frac{1}{2} \left[ W_{\text{even}}(0) + W_{\text{odd}}(0) \right]$$

$$= \frac{1}{4} [f(0) + f(1) + f(2) + f(3)]$$

```
W(1) = \frac{1}{2} [W_{\text{even}}(1) + W_{\text{odd}}(1)]
                                                                   •
        = \frac{1}{4} [f(0) + f(1) - f(2) - f(3)]
الحدان التاليان يحسبان من هاتين المعادلتين باستعمال المعادلة (5.3-24):
 W(2) = \frac{1}{2} [W_{\text{even}}(0) - W_{\text{odd}}(0)]
       =\frac{1}{4}[f(0)-f(1)+f(2)-f(3)]
                                                                  و
 W(3) = \frac{1}{2} \left[ W_{\text{even}}(1) - W_{\text{odd}}(1) \right]
       =\frac{1}{4}[f(0)-f(1)-f(2)+f(3)]
                 SUBROUTINE FUT(F+LN)
                 REAL F(1024),T
                 N=2**LN
                 NV2-N/2
                 NM1=N-1
                 J-1
                 DO 3 I-1:NM1
                      JF(1.6F.J) 60 TD 1
                      T=F(J)
                      F(J)-F(I)
                      F(I)=T
                      K=NV2
                      IF(K.GF.J) GO TO 3
                      J=J-K
                      K=K/2
                      GO TO 2
            3
                      1+L=£
                 DO 5 L=1,LN
                      LE-2**L
                      LE1=LE/2
                      DO 5 J-1+1E1
                          DO 4 1-J.N.LE
                              IF-I+1.F1
                              T=F(JF)
                              F(IP)-F(I)-T
            -1
                              F(I)-F(I)+T
            5
                          CONTINUE
                  DO 6 I=1,N
                      F(I)-F(J)/FLOAT(N)
            ó
                  RETURN
                  END
```

الشكل 26.3 تعديل خوارزمية FFT بطريقة المضاعفة المتتالية لحساب تحويل والش السريع.

وهكذا فإن حساب W(u) باستخدام المعادلة (5.3-10) أو باستخدام المعادلتين W(u) و (5.3-20) و (23-5.3) يعطي نتائج متاثلة. كما أشرنا أعلاه، يمكن ببساطة تعديل خوارزمية تستعمل لحساب FFT بطريقة المضاعفة المتالية، لحساب تحويل والش بجعل جميع الحدود المثلثية مساوية 1 . الشكل 26.3 يوضح التعديلات المطلوبة على برنامج FFT المعطى في الشكل 25.3 . يلاحظ أن تحويل والش حقيقي وهكذا فهو يتطلب من أجل مسألة ما، كما أقل من التخزين في الحاسوب من تحويل فورييه الذي هو عقدى عموما.

### 2-5.3 تعويل هادامارد Hadamard transform

إن أحد التشكيلات العديدة المعروفة لنواة تحويل هادامارد المباشر أحادي - البعد يعطى بالعلاقة التالية

$$g(x, u) = \frac{1}{N} (-1)_{i=0}^{n-1} b_i(x)b_i(u)$$
 (25-5.3)

حيث أن الجمع في الأس يجرى بطريقة (أخذ الباقي) modulo 2 arithmetic التي  $b_k(z)$  (14–5.3) و كما فيها العدد الصحيح بباقي القسمة على N، و كما في المعادلة (5.3–13)، و المعادلة k هي البت رقم k في التمثيل الثنائي لـ k. إن تعويض المعادلة (5.3–23) في المعادلة (5.3–13) يعطى الصيغة التالية لتحويل هادامارد أحادي k البعد.

$$H(u) = \frac{1}{N} \sum_{x=0}^{N-1} f(x)(-1) \sum_{i=0}^{n-1} b_i(x)b_i(u)$$
 (26-5.3)

حيث ان N=2<sup>n</sup> ، و n تأخذ قيا في المدى N=2<sup>n</sup> ، (N,1,2,...,N – 1

كما في حالة تحويل والش، تشكل نواة هادامارد مصفوفة أسطرها وأعمدتها متعامدة. هذا الشرط يؤدي ثانية الى نواة عكسية تساوي نواة هادامارد المباشرة، باستثناء الحد 1/N ، أي

$$h(x, u) = (-1)^{\sum_{i=0}^{n-1} b_i(x)b_i(u)}$$
 (27-5.3)

إن تعويض هذه النواة في المعادلة (5.3-2) يعطي الصيغة التالية لتحويل هادامارد العكسى:

$$f(x) = \sum_{u=0}^{N-1} H(u)(-1) \sum_{i=0}^{n-1} b_i(x)b_i(u)$$
 (28-5.3)

من أجل x=0,1,2,...,N-1.

ان النواتين ثنائيتي - الأبعاد تعطيان بشكل مشابه بالعلاقتين

$$g(x, y, u, v) = \frac{1}{N} (-1)^{\sum_{i=0}^{n-1} [b_i(x)b_i(u) + b_i(y)b_i(v)]}$$
(29-5.3)

$$h(x, y, u, \nu) = \frac{1}{N} (-1)^{\sum_{i=0}^{n-1} [b_i(x)b_i(u) + b_i(y)b_i(\nu)]}$$
(30-5.3)

حيث ان الجمع في الأس يتم ثانية بطريقة (أخذ الباقي). كما في حال تحويل والش، يلاحظ أن نواتي هادامارد ثنائيتي – الأبعاد متاثلتان. ان تعويض المعادلتين (5.3-29) و (5.3-30) في المعادلتين (5.3-3) و (5.3-4) يعطي زوج تحويل هادامارد ثنائي – الأبعاد التالى:

$$H(u, \nu) = \frac{1}{N} \sum_{x=0}^{N-1} \sum_{y=0}^{N-1} f(x, y) (-1) \sum_{i=0}^{n-1} [b_i(x)b_i(u) + b_i(y)b_i(\nu)]$$
(31-5.3)

$$f(x,y) = \frac{1}{N} \sum_{u=0}^{N-1} \sum_{v=0}^{N-1} F(u,v) (-1)_{i=0}^{n-1} [b_i(x)b_i(u) + b_i(y)b_i(v)]$$
(32-5.3)

نظراً لأن تحويلي هادامارد المباشر والعكسي متاثلان، يمكن استعمال الخوارزمية التي تستخدم لحساب ( f(x, y) ، والعكس بالعكس. و يمكن أن نبين أيضا مع ابقاء عملية الجمع modulo 2 ، في ذهننا أن نواتي هادامارد قابلتان للفصل ومتناظرتان. ولذلك ينتج أن

$$g(x,y,u,v) = g_{1}(x,u) g_{1}(y,v)$$

$$= h_{1}(x,u) h_{1}(y,v)$$

$$= \left[\frac{1}{\sqrt{N}} (-1)^{\sum_{i=0}^{N-1} b_{i}(x)b_{i}(u)}\right] \left[\frac{1}{\sqrt{N}} (-1)^{\sum_{i=0}^{N-1} b_{i}(y)b_{i}(v)}\right]$$
(33-5.3)

باستثناء الحد  $1/\sqrt{N}$  ، تكون  $g_i$  و  $h_i$  عماثلتين للمعادلة (5.3 – 25). ويلاحظ أيضا أنه نظراً لأن نواتي هادامارد ثنائيتي – الأبعاد قابلتان للفصل، يمكن الحصول على التحويل ثنائي – الأبعاد بالتطبيقات المتتالية لأية خوارزمية لتحويل هادامارد أحادي – البعد.

إن قيم المصفوفة المنتجة بواسطة نواة تحويل هادامارد أحادي - البعد المعطاة في المعادلية (5.3-25) مبينة في الجدول 4.3 من أجل N-8، حيث أن الحد الثابت 1/N قد أهمل من أجل التبسيط. ويلاحظ أنه بالرغم من أن المداخل في هذا الجدول

الجدول 4.3 قيم نواة تحويل هادامارد من أجل N-8

u x	0	1	2	3	4	5	6	7
0	+	+	+	+	+	+	+	+
1	+	_	+	-	+	-	+	-
2	+	+	-	_	+	+	_	-
3	+		_	+	+	-	-	+
4	+	+	+	+	-	-	_	_
5	+	-	+	-	-	+	-	+
6	+	+	-	-	_	-	+	+
7	+	-		+	-	+	+	

هي نفس المداخل entries من أجل تحويل والش، فإن ترتيب الأسطر والأعمدة ختسلف. في الحقيقة، الفرق الوحيد بين التحويلين هو عندما تكون  $^{\rm N-2n}$  عندما لاتساوي N قوى صحيحة لـ  $^{\rm n}$ ، يكون الفرق أكثر أهمية. في حين أن تحويل والش يمكن تشكيله لأية قيمة صحيحة موجبة لـ  $^{\rm N}$ ، فإن وجود تحويل هادامارد من أجل قيم N التي تختلف عن القوى الصحيحة لـ 2 قد تم إثباته حتى  $^{\rm N-200}$  فقط.

نظراً لأن أغلب تطبيقات التحويلات في معالجة الصورة مبنية على N-2n عينة في كل سطر أو عمود من الصورة، فان استعمال (ومصطلحات) تحويلي والش وهادامارد مختلطة في مقالات معالجة الصور، حيث أن تحويل والش – هادامارد يستعمل عادة للاشارة الى أي من التحويلين. توجد خاصبتان هامتان يمكن أن تؤثرا على اختيار أحد هذين التحويلين بدلا من الآخر، تستحقان الاشارة اليهما. كما أشرنا في القسم 2.5.3 ، الصياغة المعطاة في المعادلة (5.3 – 15) لها ميزة أنها يمكن أن تصاغ مباشرة بصيغة المضاعفة المتتالية. هذا يسمح بحساب FWT بتعديلات مباشرة لخوارزمية ستكون مطلوبة طورت في القسم 1.4.3 . ان تعديلات أخرى على هذه الخوارزمية ستكون مطلوبة لحساب تحويل هادامارد السريع (FWT) للأخذ بالحسبان الفرق في الترتيب. يوجد أسلوب بديل للحصول على تحويل هادامارد وهو استعمال خوارزمية FWT المبينة في الشكل 24.3 وبعدئذ يعاد ترتيب النتائج.

بالرغم من أن ترتيب هادامارد له سيئات عند تنفيذ طريقة المضاعفة المتتالية، فهو يؤدي الى علاقة تكرارية بسيطة لتوليد مصفوقات التحويل التي نحتاجها لتنفيذ المعادلتين (5.3 – 10) و (5.3 – 12) . ان مصفوفة هادامارد للمرتبة الأدنى (أي N-2) تعطى بالعلاقة التالية

$$\mathbf{H}_2 = \begin{bmatrix} 1 & 1 \\ 1 & -1 \end{bmatrix} \tag{34-5.3}$$

عندئذ، و بجعل H<sub>N</sub> تمثل المصفوفة من مرتبة N، تعطى العلاقة التكرارية بالعبارة التالية

$$\mathbf{H}_{2N} = \begin{bmatrix} \mathbf{H}_N & \mathbf{H}_N \\ \mathbf{H}_N & -\mathbf{H}_N \end{bmatrix} \tag{35-5.3}$$

 $N-2^n$  المرتبة N ويفترض أن  $N-2^n$  هي مصفوفة هادامارد من المرتبة N ويفترض أن

غصل على مصفوفة التحويل التي ستستعمل في المعادلة (5.3–10) بتقييس مصفوفة هادامارد الموافقة باستخدام الجذر التربيعي لمرتبة المصفوفة. وهكذا ففي حالة  $N \times N$  ، ترتبط هاتان المصفوفتان بالمعادلة التالية

$$A = \frac{1}{\sqrt{N}} H_N \tag{36-5.3}$$

إن الصيغ من أجل مصفوفة هادامارد العكسية مماثلة للمعادلات (5.3-34) حتى (5.3-36).

مثال: ان استعمال المعادلتين (5.3 – 34) و (5.3 – 35) يؤدي إلى مصفوفات هادامارد التالية من مرتبة أربعة وثمانية:

$$H_{4} = \begin{bmatrix} H_{2} & H_{2} \\ H_{2} & -H_{2} \end{bmatrix}$$

$$= \begin{bmatrix} +++++ \\ +-+- \\ ++--+ \\ ++--+ \end{bmatrix}$$

$$H_{8} = \begin{bmatrix} H_{4} & H_{4} \\ H_{4} & -H_{4} \end{bmatrix}$$

$$= \begin{bmatrix} ++++++++ \\ +-+-+-+ \\ ++---++ \\ +++---+ \\ +++---+ \\ ++---+++ \\ +---+++ \end{bmatrix}$$

حيث ان + و - تشيران الى 1+ و 1- ، على التوالى.

 $g_1(x, u)_i$  g(x, u) ، (33-5.3) و (25-5.3) و g(x, u) ، g(x, u) هو مبين في المعادلتين (25-5.3) و  $g_{ij}=g_{i}(i,j)$  نظراً لأن  $g_{ij}=g_{i}(i,j)$  يكون للمداخل في المصفوفة  $g_{ij}=g_{i}(i,j)$  نفس شكل منشور g(x, u). ويمكن أن يبدو هذا بسهولة بمقارنة الجدول g(x, u) مع العبارة الناتجة عن g(x, u).

إن عدد تغيرات الاشارة في عمود مصفوفة هادامارد غال الم يدعى تتابع ون عدد تغيرات الاشارة في عمود مصفوفة مشتقة من قيم النواة، فإن sequency ذلك العمود.\* نظرا لأن عناصر هذه المصفوفة مشتقة من قيم النواة، فإن مفهوم التتابع ينطبق على نشر  $g_1(x,u)$  مثلاء ان مفهوم التابعات الأعمدة الثانية لـ  $H_8$  و الحدول 4.3 هي 5,2,6,1,4,3,7,0.

غالباً ما يهمنا التعبير عن نواتي هادامارد بحيث يزداد التتابع كتابع لزيادة u. هذا التشكيل مشابه لتحويل فورييه حيث يزداد التردد كتابع لزيادة u أيضاً. ان نواة هادامارد التي تحقق هذا الترتيب الحاص تعطى بالعلاقة

$$g(x, u) = \frac{1}{N} (-1)^{\sum_{i=0}^{n-1} b_i(x)p_i(u)}$$
(37-5.3)

$$p_{0}(u) = b_{n-1}(u)$$

$$p_{1}(u) = b_{n-1}(u) + b_{n-2}(u)$$

$$p_{2}(u) = b_{n-2}(u) + b_{n-3}(u)$$
(38-5.3)

 $p_{n-1}(u) = b_1(u) + b_0(u)$ 

كما فعلنا سابقا، يتم الجمع في المعادلتين (5.3–33) و (5.3–38) بطريقة أخذ الباقي. ان نشر المعادلة (5.3–37) مبين في الجدول 5.3 من أجل N-8 حيث أن الحد الجدائي الثابت قد أهمل من أجل التبسيط ومداخل الـ + والـ N-8 من مرتبة التتابع على التوالي. يلاحظ أن الأعمدة، وبالتناظر، الأسطر لهذا الجدول هي من مرتبة التتابع المذالد.

 <sup>♦</sup> كا في حالة تحويل فوربيه، حيث u هو متحول تردد، فإن مفهوم التتابع يقتصر عادة على هذا المتحول. وهكذا فإن ترابط، التتابع مع أعمدة مصفوفة هادامارد مبنية على افتراض أن الأعمدة تتغير كتابع لـ u والأسطر تتغير كتابع لـ x. هذا الاصطلاح مستحمل في الجدول 4.3.

تعطى نواة هادامارد العكسية بالعبارة الرياضية التالية

$$h(x, u) = (-1)_{i=0}^{n-1} \sum_{j=0}^{b_i(x)} b_j(u)$$
 (39-5.3)

حيث تحسب  $p_i(u)$  باستعمال المعادلة (5.3–38). إن تعويض النواتين العكسية والمباشرة في المعادلتين (5.3–1) و (5.3–2) يعطي زوج تحويل هادامارد المرتب التالي

$$H(u) = \frac{1}{N} \sum_{x=0}^{N-1} f(x)(-1)^{\sum_{i=0}^{n-1} b_i(x)p_i(u)}$$
 (40-5.3)

و

$$f(x) = \sum_{u=0}^{N-1} H(u)(-1)^{\sum_{i=0}^{N-1} b_i(x)p_i(u)}$$
 (41-5.3)

كما في الحالة غير المرتبة، النواتان ثنائيتا – الأبعاد قابلتان للفصل ومتماثلتان، وتعطيان بالعلاقتين التاليتين

$$g(x, y, u, \nu) = h(x, y, u, \nu)$$

$$= \frac{1}{N} (-1)^{\sum_{i=0}^{n-1} [b_i(x)p_i(u) + b_i(y)p_i(\nu)]}$$
(42-5.3)

إن تعويض هـاتين النواتين في المعـادلتـين (5.3 ــ 3) و (5.3 ــ 4) يعطي زوج تحويل هادامارد المرتب ثنائي – الأبعاد التالي:

$$H(u, v) = \frac{1}{N} \sum_{x=0}^{N-1} \sum_{y=0}^{N-1} f(x, y) (-1) \sum_{i=0}^{n-1} [b_i(x)p_i(u) + b_i(y)p_i(v)]$$
(43-5.3)

$$f(x,y) = \frac{1}{N} \sum_{u=0}^{N-1} \sum_{\nu=0}^{N-1} H(u,\nu)(-1)_{i=0}^{n-1} [b_i(x)p_i(u) + b_i(y)p_i(\nu)]$$
(44-5.3)

الجدول 5.3 قيم نواة هادامارد المرتبة من أجل N=8

<u>u</u> x	0	1	2	3	4	5	6	7
0	+	+	+	+	+	+	+	+
1	+	+	+	+	_	_	_	-
2	+	+	_		_	_	+	+
3	+	+	~	_	+	+		_
4	+	_	_	+	+		_	+
5	+		_	+		+	+	
6	+		+		_	+		+
7	+	_	+	_	+	_	+	_

## 3.5.3 تحويل التجيب المتقطع (DCT)

تعطى النواة المباشرة لتحويل التجيب المتقطع أحادي - البعد بالعلاقتين

$$g(x, 0) = \frac{1}{\sqrt{N}}$$
 (a45 – 5.3)

$$g(x, u) = \sqrt{\frac{2}{N}} \cos \frac{(2x+1)u\pi}{2N}$$
 (645-5.3)

، من أجل x=0,1,2,...,N−1 و u=1,2,...,N−1. ان تعويض هاتين العبارتين في المعادلة . (1-5.3) يعطى

$$C(0) = \frac{1}{\sqrt{N}} \sum_{x=0}^{N-1} f(x)$$
 (a46-5.3)

$$C(u) = \sqrt{\frac{2}{N}} \sum_{x=0}^{N-1} f(x) \cos \frac{(2x+1)u\pi}{2N}$$
 (b46-5.3)

حيث G(u), u=0,1,2,...,N-1، هو تحويل التجيب المتقطع DCT لـ DCT . إن للنواة العكسية نفس الشكل المبين في المعادلة (5.3–45)، و DCT العكسي <sub>.</sub> يعرف بالمعادلة

$$f(x) = \frac{1}{\sqrt{N}} C(0) + \sqrt{\frac{2}{N}} \sum_{u=1}^{N-1} C(u) \cos \frac{(2x+1)u\pi}{2N}$$
 (47-5.3)

من أجل x=0,1,...,N-1 من

تعرف نواة DCT المباشرة ثنائية الأبعاد كما يلي

$$g(x, y, 0, 0) = \frac{1}{N}$$
 (a48-5.3)

$$g(x, y, u, \nu) = \frac{1}{2N^3} \left[ \cos(2x+1)u\pi \right] \left[ \cos(2y+1)\nu\pi \right]$$
 (b48.5.3)

من أجل x,y=0,1,2,...,N-1 و x,y=0,1,2,...,N-1. ان للنواة العكسية نفس هذا الشكل أيضا. وهكذا ينتج من المعادلتين  $x_1,y=0,1,2,...,N-1$  أن زوج تحويل التجيب المتقطع ثنائي y=1 الأبعاد يعطى بالعبارتين

(a49 - 5.3)

$$C(0, 0) = \frac{1}{N} \sum_{x=0}^{N-1} \sum_{y=0}^{N-1} f(x, y)$$
(b49-5.3)

 $C(u, \nu) = \frac{1}{2N^3} \sum_{x=0}^{N-1} \sum_{y=0}^{N-1} f(x, y) \left[\cos(2x+1)u\pi\right] \left[\cos(2y+1)\nu\pi\right]$ 

$$f(x,y) = \frac{1}{N} C(0,0)$$

$$+ \frac{1}{2N^3} \sum_{u=1}^{N-1} \sum_{\nu=1}^{N-1} C(u,\nu) [\cos(2x+1)u\pi] [\cos(2y+1)\nu\pi]$$

من أجل x,y=0,1,2,...,N - 1.

بمقارنة المعادلتين (5.3-48) و (5.3-48) نلاحظ أن نواتي تحويل التجيب المتقطع قابلتان للفصل بحيث أن التحويلين المباشر والعكسي ثنائبي – الأبعاد يمكن أن يحسبا بالتطبيقات المتتالية لخوارزمية DCT أحادية – البعد.

في الحقيقة، توجد خاصة هامة لـ DCT وهي أنه يمكن الحصول عليه مباشرة من خوارزمية FFT. يمكن أن يظهر هذا بالتعبير عن المعادلة(5.3 - 46) بالشكل المكافيء

$$C(0) = \frac{1}{\sqrt{N}} \sum_{x=0}^{N-1} f(x)$$
 (a51-5.3)

•

$$C(u) = \sqrt{\frac{2}{N}} \operatorname{Re} \left\{ \left[ \exp\left(\frac{-j2\pi}{2N}\right) \right] \sum_{x=0}^{2N-1} f(x) \exp\left(\frac{-j2\pi ux}{N}\right) \right\}$$
 (b51-5.3)

حيث u=1,2,...,N-1 ، و 0 = f(x) = 0 من أجل x=N,N+1,...,2N-1 ، و u=1,2,...,N-1 يشير إلى الجزء الحقيقي للحد المحتوى. يعرف حد الجمع كتحويل فورييه متقطع بـ N=N نقطة. بشكل مشابه فان تحويل FFT عكسي بـ N=N نقطة يمكن أن يستعمل للحصول على C(u) .

## 6.3 تحويل هوتيللينغ the Hotelling transform

خلافا للتحويلات المناقشة سابقا، فان تحويل هوتيللينغ\* المطور في هذا القسم مبني على خصائص احصائية للصورة. ان الاستعمالات الرئيسية لهذا التحويل هي في

<sup>\*</sup> هذا النحويل يشـــار إليـه بشكــل شـــائع متجــه القيم المميزة eigenvector ، أو المركبة الرئيســة principal component أو تحويل كارونين - لوني المتقطع.

ضغط المعطيات وتطبيقات التدوير.

M أبعادها f(x, y) قد أرسلت f(x, y) أبعادها f(x, y) قد أرسلت f(x, y) مرة على قناة اتصال ما. ولأن أية قناة فيزيائية معرضة لاضطرابات عشوائيه فان مجموعة الصور المستقبلة  $\{f_1(x, y), f_2(x, y), ..., f_M(x, y)\}$  تمثل مجموعة احصائية تتحدد خواصها بخصائص القناة وطبيعة الاضطراب.

ان مجموعة الصور المرسلة لنفس المشهد عن طريق مجس فضائي تعطى مثالا لهذه المجموعة. في هذه الحالة تفسد الصور بواسطة الاضطرابات الجوية والضجيج الكهربائي في المرسل والمستقبل.

# 1.6.3 التشكيل 1.6.3

یکن التعبیر عن کل عینة صورةا  $x_i$  بعدا  $x_i$  بعدا  $x_i$  بعدا  $x_i$  کایل:  $x_i$  کایل:  $x_i$  کایل:

$$\mathbf{x}_{i} = \begin{bmatrix} x_{i1} \\ x_{i2} \\ \vdots \\ x_{ij} \\ \vdots \\ x_{iN^{2}} \end{bmatrix}$$
 (1-6.3)

حيث تشير  $x_{i,j}$  الى المركبة رقم i للمتجه i . إن إحدى الطرق لبناء هذا المتجه هي أن نشكل الـ i مركبة الأولى من i من الصف الأولى من ألم من أل

[  $x_{i1} = f(0, 0), x_{i2} = f(0, 1), \ldots, x_{iN} = f(0, N - 1)$  ]

والمجموعة الثانية من الـ N مركبة من الصف الثاني، وهكذا. هناك طريقة أخرى وهي أن نستعمل أعمدة f(x, y) بدلا من الصفوف. طبعا، هناك تمثيلات أخرى ممكنة ولكن هاتين الطريقتين هما الأكثر استعمالا.

تعرف مصفوفة التفاوت المتبادل covariance matrix للمتجهات x كإيلي

$$C_x = E\{(x-m)(x-m)'\}$$
 (2-6.3)

$$\mathbf{m}_{\mathbf{x}} = E\left\{\mathbf{x}\right\} \tag{3-6.3}$$

هو المتجه الوسطى، و E هي القيمة المتوقعة و الرمز ( ′) يشير إلى الانتقال (منقول مصفوفة). يمكن أن تعطى المعادلتان (6.3–2) و (6.3–3) الشكل التقريبي باستخدام العينات، باستعمال العلاقتين

$$\mathbf{m}_{\mathbf{x}} \simeq \frac{1}{M} \sum_{i=1}^{M} \mathbf{x}_{i} \tag{4-6.3}$$

•

$$C_x \simeq \frac{1}{M} \sum_{i=1}^{M} (x_i - m_x)(x_i - m_x)'$$
 (a5-6.3)

أو بشكل مكافىء

$$C_{x} \approx \frac{1}{M} \left[ \sum_{i=1}^{M} x_{i} x_{i}^{\prime} \right] - m_{x} m_{x}^{\prime}$$
 (b5 - 6.3)

 $_{\rm N}^2 \times N^2$  مصفوفة  $_{\rm C_{\rm x}}$  بعدا و مصفوفة  $_{\rm N}^2 \times N^2$  .

لتكن  $e_i$  و  $e_i$  ، حيث  $e_i$   $i=1,2,...,N_2$  المتجهات المميزة eigenvectors والقيم المميزة  $C_x$  اeigenvalues المميزة  $C_x$  و eigenvalues متناقص بجيث تكوِن  $e_i$   $e_i$   $e_i$   $e_i$  لأن ذلك ملامًا من أجل التعابير الرياضية. إن مصفوفة تحويل صفوفها هي المتجهات المميزة لـ  $e_i$  تعطى بالشكل التاليم الرياضية.

$$\mathbf{A} = \begin{bmatrix} e_{11} & e_{12} \cdot \cdot \cdot \cdot e_{1N^2} \\ e_{21} & e_{22} \cdot \cdot \cdot \cdot e_{2N^2} \\ \vdots & \vdots & \vdots \\ e_{N^21} & e_{N^22} \cdot \cdot \cdot \cdot e_{N^2N^2} \end{bmatrix}$$
 (6-6.3)

حيث  $e_{ij}$  هي المركبة رقم i للمتجه المميز رقم i عندئذ يتألف تحويل هوتيللينغ ببساطة من ضرب متجه صورة ممركز،  $(X-m_\chi)$  ، بـ A للحصول على متجه صورة جديد v ، أي

$$y = A(x - m_x) \tag{7-6.3}$$

للمعادلة (6.3-7) عدة خواص مهمة. لنتفحص أولا مصفوفة التفاوت المتبادل للمتجهات y. تعطى هذه المصفوفة بالعلاقة التالية

$$C_y = E\{(y - m_y)(y - m_y)'\}$$
 (8-6.3)

حيث  $m_y$  يساوي متجه الصفر 0 كما يمكن أن نبين مباشرة من المعادلتين (6.3 – 3) و  $m_y$  (7-6.3):

$$m_{y} = E \{y\}$$

$$= E \{A(x - m_{x})\}$$

$$= AE \{x\} - Am_{x}$$

$$= 0$$

$$(9-6.3)$$

إن تعويض المعادلتين (6.3 – 7) و (6.3 – 9) في المعادلة (6.3 – 8) يعطي الصيغ التالية لـ  $_{\rm C_v}$  بدلالة  $_{\rm C_v}$ :

$$C_{y} = E\{(Ax - Am_{x})(Ax - Am_{x})'\}$$

$$= E\{A(x - m_{x})(x - m_{x})'A'\}$$

$$= AE\{(x - m_{x})(x - m_{x})'\}A'$$

$$= AC_{x}A'$$
(10-6.3)

حيث أن الخطوة الأخيرة تأتي من تعريف  $C_{\rm x}$  المعطى في المعادلة (6.3–2). يمكن اثبات [Lawley and Maxwel 1963] أن  $C_{\rm y}$  هي مصفوفة قطرية عناصرها هي القيم الميزة لـ  $C_{\rm x}$  ، أي

$$\mathbf{C}_{\mathbf{y}} = \begin{bmatrix} \lambda_1 & & & \\ \lambda_2 & & & \\ & \ddots & & \\ 0 & & \lambda_{N^2} \end{bmatrix}$$
 (11-6.3)

$$x = A'y + m_x \tag{12-6.3}$$

ولكن، افترض أننا بدلا من استعمال جميع المتجهات المميزة لـ  $C_x$ ، نشكل A من الـ K متجها مميزاً المتعلقة بالقيمة المميزة الكبرى. سيكون المتجه E عندئذ بـ E بعدا وإعادة البناء التى أعطيت بالمعادلة (E0.3) سوف لن تكون دقيقة. لتكن

$$\hat{\mathbf{x}} = \mathbf{A}_{K}'\mathbf{y} + \mathbf{m}_{\mathbf{x}} \tag{13-6.3}$$

مثل التقریب له x الذي حصلنا علیه بمصفوفة التحویل AK المؤلفة من أول x متجها بين x و x بيزا من x . x يعطى بالصيغة التالية

$$R = \sum_{j=1}^{N^2} \lambda_j - \sum_{j=1}^{K} \lambda_j$$
 (a14-6.3)

$$= \sum_{j=K+1}^{N^2} \lambda_j$$
 (b14-6.3)

من المعادلة (6.3-214) نرى أن الخطأ يساوي الصفر إذا كانت K=N<sup>2</sup> (أي، اذا كانت جميع المتجهات المميزة و تتناقص تدريجيا (بشكل رتيب)، فإن كلاً من شكلي المعادلة (6.3-14) يبين أن الخطأ يخفض إلى حده الأدنى باختيار متجهات عميزة متعلقة بالقيم المميزة الكبرى. وهكذا فإن تحويل هوتيللينغ تحويل أمثل بمعيار تربيع الأخطاء الأصغري least square – error.

إن تطوير تحويل هوتي للينغ الذي أعطي أعلاه يختلف الى حد كبير عن الأسلوب العام الذي عرضناه في القسم 5.3. إن السبب في هذا هو أن مصفوفة تحويل هوتيللينغ غير قابلة للفصل، مما يعيق استعمال المعادلة (5.3–10). ولكن، بالرغم من أن هذه المصفوفة غير قابلة للفصل، فقد تم تطوير خوارزمية سريعة مبنية على استعمال FFTs للحصول على تحويل هوتيللينغ من قبل جين [1975] .

# 2.6.3 تطبيق تحويل هوتيللينغ على تدوير الصورة

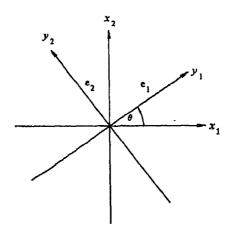
إن أحد المفاهيم الأساسية المتضمنة في اشتقاق تحويل هوتيللينغ هو أن اختيار المتجهات الأساس (أي صفوف A) يعمل بحيث تشير هذه المتجهات باتجاه التفاوت الأعظمي maximum variance للمعطيات، خاضعا لشرط أن تكون جميع المتجهات متعامدة فيا بينها وأن تكون المركبات المحولة غير مترابطة. إن هذه المتطلبات تؤدي إلى الحل المذكور أعلاه وهو أن الأسس هي المتجهات المميزة لمصفوفة التفاوت المتبادل Covariance matrix. إن التوجيه المطلوب للمتجهات المميزة يؤدي إلى الحواص المثلى لتحويل هوتيللينغ لأنه عندما تستعمل متجهات في A أقل من  $N^2$  ، فان المتجهات الأساس المختارة تتطابق مع اتجاه أكبر تفاوت في المعطيات.

هذه الخصائص يمكن الافادة منها في تدوير الصورة. لنعتبر المسألة التي تم فيها استخلاص الجسم من الصورة ويرغب في تدويره بحيث يكون متراصفا مع اتجاه معياري أو ثابت invariant. كثير من الأشياء objects التي تهمنا في تطبيقات معالجة الصورة

(خصيصا الأشياء المصنوعة من قبل الانسان) يمكن أن تقيَّس بسهولة باجراء تدوير يراصف محاور الاحداثيات مع التفاوت الأعظمي لعناصر الصورة في الجسم.

تأمل نظام الاحداثيات المبين في الشكل 27.3 والذي محورا احداثياته هما  $x_1$  و  $x_2$  و إذا اختيرت احداثيات جديدة. بتوجيه مختلف ولكن له نفس مبدأ النظام الأصلي، عندئذ سنقول ان دورانا للاحداثيات قد حصل في المستوي. لتكن  $\theta$  زاوية الدوران من النصف الموجب للمحور  $x_1$  ينتج عندئذ من القوانين الأولية في علم المشلثات أن المحورين الجديدين يرتبطان بالمحورين القديمين بالمعادلتين التاليتين

$$y_1 = x_1 \cos \theta + x_2 \sin \theta$$
 (15-6.3)  
$$y_2 = -x_1 \sin \theta + x_2 \cos \theta$$



الشكل 27.3 تدوير نظام احداثيات م

$$\begin{bmatrix} y_1 \\ y_2 \end{bmatrix} = \begin{bmatrix} \cos \theta & \sin \theta \\ -\sin \theta & \cos \theta \end{bmatrix} \begin{bmatrix} x_1 \\ x_2 \end{bmatrix}$$
 (16-6.3)

ان الاحداثيات الأصلية لكل عنصر صورة في الجسم object يمكن أن تفسير كمتحولات عشوائية ثنائية – الأبعاد بوسطى

$$\mathbf{m}_{\mathbf{x}} \cong \frac{1}{P} \sum_{i=1}^{P} \mathbf{x}_{i} \tag{17-6.3}$$

ومصفوفة تفاوت متبادل covariance matrix

$$\mathbf{C}_{\mathbf{x}} \approx \frac{1}{P} \left[ \sum_{i=1}^{P} \mathbf{x}_{i} \mathbf{x}_{i}' \right] - \mathbf{m}_{\mathbf{x}} \mathbf{m}_{\mathbf{x}}'$$
 (18-6.3)

حيث P هي عدد عناصر الصورة في الجسم الذي يراد تدويره و  $x_i$  هو المتجه المركب من احداثيات العنصر رقم i. يلاحظ أن  $m_x$  هو متجه ثنائي i الأبعاد و i هي مصفوفه أبعادها i .

لأن المتجهات المميزة لـ  $C_x$  تشير باتجاه التفاوت الأعظمي (خاضعا للتقييد الذي يقتضي أن تكون المتجهات متعامدة)، فإن إنتقاء نظام الاحداثيات الجديد بحيث يكون متراصفا مع هذه المتجهات هو خيار منطقي. إذا جعلنا المحورين  $y_1$  و  $y_2$  متراصفين مع المتجهين المميزين المقيسين  $y_3$  و  $y_4$  و  $y_5$  من الشكل 27.3 أن  $y_5$  أن  $y_6$  و  $y_6$  متراصفين مع المتجهين المميزين المقيسين  $y_6$  و  $y_6$  من الشكل 27.3 أن  $y_6$  و  $y_6$  حيث  $y_6$  و  $y_6$  هما مسقطا  $y_6$  و  $y_6$  هما مسقطا هذين المتجهين على المحور  $y_6$  عندئذ يعطى الدوران من نظام الاحداثيات الأصلى إلى النظام الجديد بالعلاقة التالية

$$\begin{bmatrix} y_1 \\ y_2 \end{bmatrix} = \begin{bmatrix} e_{11} & e_{12} \\ e_{21} & e_{22} \end{bmatrix} \begin{bmatrix} x_1 \\ x_2 \end{bmatrix}$$
 (19-6.3)

الذي يبدو في الصيغة المعروفة جيدا y=Ax ، حيث

$$\mathbf{A} = \begin{bmatrix} e_{11} & e_{12} \\ e_{21} & e_{22} \end{bmatrix}$$
 (a20-6.3)

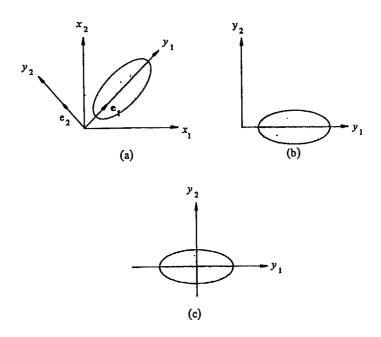
$$= \begin{bmatrix} \cos \theta & \sin \theta \\ -\sin \theta & \cos \theta \end{bmatrix}$$
 (b20-6.3)

بلاحظ أن المعادلة (6.3–19) مماثلة لتحويل هوتيللينغ ثنائي – الأبعاد حيث أن المتوسط لم يطرح من المتجهات الأصلية. ان طرح المتجه المتوسط ببساطة يمركز الجسم بحيث يقع مركز ثقله في مبدأ نظام الاحداثيات الجديد. في هذه الحالة، يأخذ التحويل الشكل التالى y = A(x-mx).

إن تفسير المعادلة (6.3-19) مختلف في وجه آخر عن مناقشاتنا السابقة لتحويل هوتيللينغ، حيث أن كل متجه كان قد شكل من جميع عناصر صورة ما.

في التطبيق الحالي، نحن مهتمون باحداثيات عناصر في صورة مفردة وطاقم المتجهات المستعمل للوصول إلى مصفوفة التحويل مشتق من الجسم الموجود في الصورة.

إن إجراء التدوير – النقل ملخص في الشكل 28.3 . الجزء (a) من هذا الشكل يبين شكلا بسيطا والمحوران  $_{1}$  و  $_{2}$  و مختاران في اتجاه متجهاتهما المقيسة . الشكل 28.3 (b) 28.3 الشكل في نظام الاحداثيات الجديد . أخيرا ، الشكل 28.3 (c) يبين نتيجة الدوران بعد طرح المتوسط من المعطيات . من المهم أن نلاحظ أنه إذا كان  $_{1}$  و و  $_{2}$  متجهان مميزان صحيحان valid فإن الأزواج ( $_{2}$  -  $_{2}$  ) و ( $_{2}$  -  $_{3}$  ) و ( $_{2}$  -  $_{3}$  ) و ( $_{2}$  -  $_{3}$  ) و المنابق ميزان صحيحة . لأن إجراء التدوير السابق مبني على نظام احداثيات يميني ، فإن اختيار اتجاه المتجهات المميزة يجب أن يؤخذ بالحسبان . ان الفشل في عمل هذا ، يمكن أن يعطي نتائج مدورة معكوسة حول المبدأ في اتجاه أحد المحورين الجديدين أو كلمهما . الشكل 29.3 يوضح نتائج التدوير لجميع الاتجاهات المميزة " الممكنة للمتجهات المميزة " الألوران في كل حالة كان قد حصل عليه بمراصفة المحور الامع المالذي الدوران في كل حالة كان قد حصل عليه بمراصفة المحور الامع المالذي الشارة .



الشكل 28.3 تدوير جسم ثنائي -الأبعاد. (a) انتثار scattering المعطيات الأصلية مبينا اتجاه متجهات الوحدة المميزة (b) unit eigenvectors المميزة المعطيات مدورة وممركزة y = Ax. باستعمال التحويل y = A(x - mx).

هو المتجه المميز مترافقا مع التفاوت الأكبر. لاحظ أن الشكل 29.3 (a) يبين النتائج المتوقعة. الشكل 29.3 (b) مبني على نظام احداثيات يساري left - handed ويعطي معطيات معكوسة حول المبدأ باتجاه المحور y. الشكل 29.3 (c) مبني على نظام احداثيات بميني (right - handed) ، ولكنه يبين أيضا عكسا حول المحورين كليهما. هذه النتيجة فعليا غير صحيحة؛ انها تشير فقط الى حقيقة أنه ليس غير شائع عمليا الحصول على المتجهات المميزة المتوقعة بقيمة سالبة من خوارزمية حسابية. ان عكس اتجاه المتجهين كليهما سيعطي نفس النتيجة كما في الشكل 29.3 (a) . أخيرا، الشكل اتجاه المتجهين ثانية الانعكاس بسبب نظام احداثيات غير صحيح. يلاحظ أن نظاما يمينيا يمكن أن يعطي أو لايعطي نتائج معكوسة، ولكن النظام اليساري سيترافق دائمًا مع هذه المشكلة. في الواقع العملي، ان أكثر الأساليب شيوعا هو استعمال نظام يميني

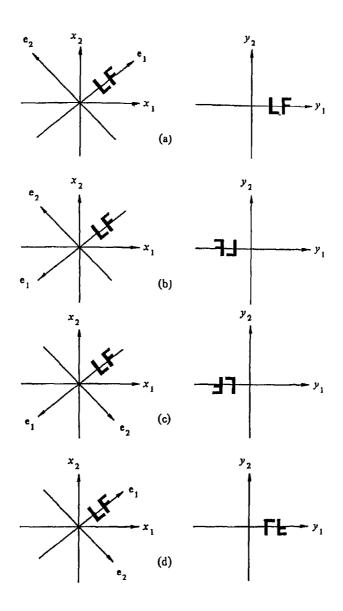
وعمل الاحتياطات للتعامل مع التوجيهين المكنين لـ و و و في هذا النظام.

#### 7.3 تحويل هاف The Hugh transform

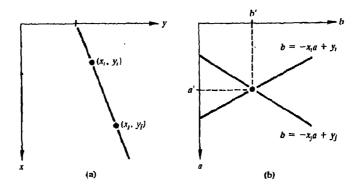
خلافا للتحويلات التي نوقشت حتى الآن، تبحث المفاهيم المعروضة في هذا القسم في كشف علاقات بنيوية محددة بين عناصر الصورة. كمدخل لهذه المسألة، افترض أن لدينا n نقطة في صورة ما ونرغب في ايجاد مجموعات فرعية من هذه النقاط تقع على خطوط مستقيمة. ان أحد الحلول الممكنة هو أن نوجد أولا جميع الخطوط المحددة بكل زوج من النقاط، وعندئذ نوجد جميع المجموعات الفرعية من النقاط القريبة الى خطوط محددة. ان المشكلة في هذا الاجراء هي أنه يتضمن ايجاد  $n(2n-1)2 \sim n^2$  مع جميع الخطوط. ان هذا الأمر غير ممكن حسابيا في جميع التطبيقات باستثناء أتفهها (السخيف منها).

يمكن النظر إلى المسألة بطريقة مختلفة باستعمال الأسلوب الذي طرح من قبل هاف يمكن النظر إلى المسألة بطريقة مختلفة باستعمال الأسلوب الذي طرح من قبل Hough 1962 ويشار اليه بشكل شائع "تحويل هاف". لنأخذ بالحسبان نقطة  $(x_i, y_i)$  والمعادلة العامة لخط مستقيم مائل بشكل معترض،  $y_i=ax_i+b$  هناك عدد لامتناه من الخطوط التي تمر عبر النقطة  $(x_i, y_i)$  ولكن جميعها تحقق المعادلة  $y_i=ax_i+b$  من أجل قيم  $y_i=ax_i+b$  متغيرة. ولكن، إذا كتبنا هذه المعادلة بالشكل التالي  $y_i=ax_i+y_i$  وتأملنا المستوي  $y_i=ax_i+y_i$  ولكن، إذا كتبنا هذه المعادلة بالشكل التالي  $y_i=ax_i+y_i$  المستوي  $y_i=ax_i+y_i$  المستوي  $y_i=ax_i+y_i$  المستوي  $y_i=ax_i+y_i$  المستوي  $y_i=ax_i+y_i$  المعلمات، وهذا الخط سيكون لنقطة ثانية  $(y_i,y_i)$  أيضا خطا مرافقا لها في حيث  $y_i=ax_i+y_i$  المستوي  $y_i=ax_i+y_i$  و  $(x_i,y_i)$  كليهما في المستوي  $y_i=ax_i+y_i$  في الحقيقة، كل النقاط الواقعة على هذا الخط سيكون لها خطوط في حيز المعلمات، تتقاطع عند  $(x_i,y_i)$  هذه المفاهيم موضحة في الشكل (30.3).

<sup>\*</sup> نموذجياً، لقد حددت هوية النقاط التي هي موضع بحث كنقاط فريدة، بطريقة ما، مثل كونها نقاط حواف ولها شدة زادت على عتبة محددة.



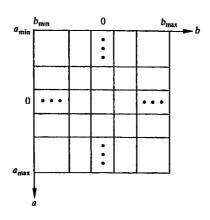
الشكل 29.3 مثال للاتجاهات الممكنة للمتجهات الميزة و نتائج الدوران المقابلة.



الشكل 30.3 (a) مستوي xy. (b) حيز المعلمات.

ان ما يجعل تحويل هاف جذابا حسابيا، يأتي من تقسيم حيز المعلمات فرعيا الى مايسمى خلايا – المركم accomulator – cells ، حيث مايسمى خلايا – المركم (accomulator – cells ، حيث ان ( $a_{max}, a_{min}$ ) هو المدى المتوقع لقيم الميل و ( $b_{max}, b_{min}$ ) هو المدى المتوقع لقيم الميل و ( $a_{max}, a_{min}$ ) هو المدى المتوقع لقيم الميل و المتقاطع. ان الحلية الموجودة عند الاحداثين ((i, i)) ، بقيمة مركم ((i, i)) تقابل المربع المترافق مع احداثي حيز المعلمات ( $(a_i, b_i)$ ). في البداية، تعطى هذه الحلايا قيمة الصفر بعدئذ، من أجل كل نقطة ( $(x_i, y_i)$ ) في مستوي الصورة، نجعل المعلمة a تساوي كل قيمة من قيم التقسيات الفرعية المسموح بها على المحور a ونحل بالنسبة له و المقابلة مستعملين المعادلة  $(a_i, y_i)$  بعدئذ تدور قيم و الناتجة الى أقرب قيمة مسموح بها على المحور و اذا أعطى خيار له  $(a_i, y_i)$  نقطة في مستوي  $(a_i, i)$  في نهاية هذا الاجراء، تقابل قيمة ما له  $(a_i, i)$  انقطة في مستوي  $(a_i, i)$  متوضعة على الحط  $(a_i, i)$ 

على على المستوي ab تتحدد دقة تسامت هذه النقاط بعدد التقسيات الفرعية في المستوي ab. يلاحظ أنه اذا قسمنا المحور a فرعيا الى K تزايدا، نحصل على K قيمة لـ a تقابل K قيمة مكنة لـ a. لأنه يوجد a نقطة صورة، يتضمن هذا الاجراء a عملية حساب. وهكذا



الشكل 31.3 تكمية مستوي المعلمات لاستعماله في تحويل هاف.

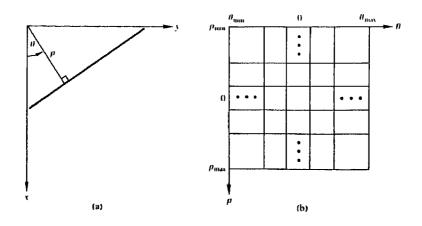
فالاجراء الذي ناقشناه للتو خطي مع n، والجداء nk لايقترب من عدد العمليات الحسابية التي بوقشت في بداية هذا القسم إلا إذا اقتربت K من n أو زادت عليها.

هناك مشكلة في استعمال المعادلة y-ax+b لتمثيل خط ما وهي أن الميل والتقاطع كليهما يقتربان من اللانهاية مع اقتراب الخط من الوضع العمودي. توجد طريقة لتذليل هذه الصعوبة وهي استعمال تمثيل عادي للخط، يعطى بالعلاقة التالية

$$x\cos\theta + y\sin\theta = \rho \tag{1-7.3}$$

ان معنى المعلمات المستعملة في المعادلة (7.3) موضح في الشكل 32.3 (a) . ان استعمال هذا التمثيل في تشكيل جدول مركات مماثل للطريقة التي نوقشت أعلاه لتمثيل التقاطع — الميل. ولكن، بدلا من الخطوط المستقيمة لدينا الآن منحنيات جيبية كمحلات هندسية في مستوى. كما من قبل، فان M نقطة متسامتة تقع على خط كمحلات هندسية في مستوى. كما من قبل، فان M نقطة متسامته تقع على خط خط  $x\cos\theta_j + y\sin\theta_j = \rho_i$  منحنيا جيبيا تتقاطع في حيز المعلمات. عندما نستعمل طريقة زيادة  $\theta$  والحل من أجل  $\eta$  المقابل، سيعطي الاجراء M مدخلا في المراكم (i)

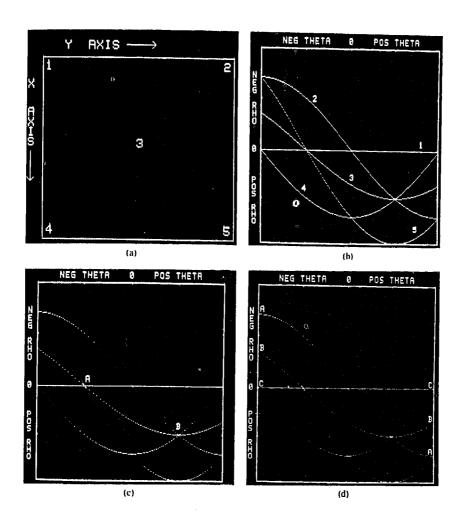
مصاحبة بالخلية المحددة بـ( $\rho_1$ ,  $\theta_2$ ). ان التقسيم الفرعي لحيز المعلمات موضح في الشكل 32.3 (d) .ان مدى الزاوية هو  $\pm$ °90 ، مقاسة بالنسبة للمحور x. وهكذا، بالرجوع الى الشكل 32.3 (a) ، فان للخط الأفقي  $\theta = \theta$  ( $\theta$  يساوي التقاطع الموجب مع  $\theta$  مشابه، للخط العمودي °90 =  $\theta$  و ( $\theta$  يساوي التقاطع الموجب مع المحور  $\theta$  ، أو  $\theta$  و ( $\theta$  يساوي التقاطع السالب مع المحور  $\theta$ .



الشكل 32.3(a) تمثيل عادي لحط (b) تكمية المستوي pb في خلايا.

مثال: يبين الشكل 33.3 توضيحا لتحويل هاف مبنياً على المعادلة (7.3-1). الجزء (a) من هذا الشكل يبين صورة مع خمسة نقاط معلمة (مرقمة). ان رسم كل نقطة من هذه النقاط في المستوي 11 مبين في الشكل 33.3 الشكل 33.3 (b)

ان مدى قيم  $\theta$  هو  $\pm$ °90 ومدى محور  $\rho$  هو D+، حيث D هي المسافة بين الزوايا في الصورة. خلافا للتحويل المبني على استعمال التقاطع – الميل، فان لكل من هذه المنحنيات شكل جيبي مختلف (الخط الأفقي الناتج عن رسم النقطة 1 هو حالة خاصة والمنحنيات شكل جيبي مختلف المنحنيات المنحنيات



( . D. R. Cate, Texas Instruments, Inc توضيح تحويل هاف (باذن من 33.3 للشكل 33.3 توضيح

لمنحن جيبي مطاله صفر). يلاحظ أنه نظرا لآن نقطة عند كل نهاية للصورة قد رسمت (mapped فإن تحويل هاف لأية نقطة أخرى في الصورة سيقع بين الحدود المبينة في الشكل 33.3(b).

ان خاصية كشف التسامت لتحويل هاف موضحة في الشكل 33.3 (c).  $\times$  النقطة A تشير إلى تقاطع المنحنيات المقابلة للنقاط 1 و 3 و 5 في مستوي الصورة  $\times$  ان موضع النقطة A يدل على أن هذه النقاط الثلاثة تقع على خط مستقيم يمر عبر المبدأ  $\times$  0 وموجه بزاوية  $\times$  45 . بشكل مشابه، تدل المنحنيات المتقاطعة عند النقطة  $\times$  في حيز المعلمات على أن النقاط 2 و 3 و 4 تقع على خط مستقيم موجه بزاوية  $\times$  45 ويبعد عن المبدأ نصف المسافة القطرية من مبدأ الصورة إلى الزاوية المقابلة. أخيراً، يشير وليمكل 33.3 (d) إلى حقيقة أن تحويل هاف يبدي علاقة تجاور انعكاسية عند الحواف المسارية واليمينية لحيز المعلمات. هذه الخاصية المبينة بالنقاط A و B و C في الشكل 33.3 (d) هي بسبب الطريقة التي تغير فيها  $\times$  و  $\times$  10 شارتيهما عند حدود  $\times$  90 .

بالرغم من أننا ركزنا عنايتنا حتى الآن على الخطوط المستقيمة، فإن تحويل هاف c قابل للتطبيق على أية دالة من الشكل g(x,c)=0، حيث ان x هو متجه معاملات. فعلى سبيل المثال، النقاط التي تقع على دائرة

$$(x-c_1)^2+(y-c_2)^2=c_3^{\frac{1}{2}}$$
 (2-7.3)

#### 8.3 ملاحظات ختامية

لقد كان الهدف الرئيس من هذا الفصل عرض أساس نظري لتحويلات الصورة وخصائصها. فضمن هذا الاطار، تم تطوير وتوضيح النقاط الأساسية الضرورية لفهم أساسي لهذه المفاهيم.

إن التأكيد الذي وضع على تحويل فورييه يعكس مدى تطبيقه الواسع في مسائل معالجة الصورة. ان المادة المتعلقة بتحويل فورييه السريع لها أهمية خاصة بسبب مضامينها الحسابية. ان خصائص قابلية الفصل والمركزة centralization والطي لتحويل فورييه ستستعمل أيضاً بشكل مكثف في الفصول القادمة.

لقد لعبت نظرية التحويل دوراً مركزياً في تطوير معالجة الصورة كفرع أساسي من فروع المعرفة، كما سيتضح في المناقشات اللاحقة. في الفصول القادمة، سنهتم ببعض استعمالات تحويل فوربيه من أجل تحسين الصورة واستعادتها. هذا وسنؤجل مناقشات أخرى تتعلق بتحويلات والش – هادامارد و التجيب المتقطع وهوتيللينغ، حتى الفصل السادس حيث ستستخدم في ترميز الصورة. لقد أصبح تحويل هاف رائجاً بشكل متزايد في السنوات القليلة الماضية كأداة تستعمل من أجل معالجة الصورة والرؤية بواسطة الحاسوب scene understanding وفهم المناظر scene understanding. سيستعمل هذا التحويل في الفصل السابع ضمن تقنيات التجزيء التي تعتمد على الحدود boundery oriented.

#### المراجع

ان معالجتنا لتحويل فورييه هي معالجة ذات طبيعة تمهيدية. إن الكتب التقليدية لد [1948] Tetchmarsh و [1948] Papoulis تقدم معالجة نظرية شاملة لتحويل فورييه المستمر وخصائصه. سيجد القارىء قليلا من الصعوبة في ايجاد مراجع اضافية في هذا المجال. ان أغلب كتب الاتصالات والدارات الهندسية تقدم تطويرات وايضاحات متنوعة لتحويل فورييه. ان كتب [1955] Van Valkenburg و [1968] و Thomas [1969]

ان اشتقاق تحويل فوربيه المتقطع من شكله المستمر مغطى بشكل مكثف في المنشورات. يوجد ثلاثة مراجع جيدة في هذا الموضوع هي Blackman and Tukey المنشورات. يوجد ثلاثة مراجع جيدة في هذا الموضوع هي Brigham [1974] و [1974] Brigham . المرجعان الأول والأخير ملائمان خصيصا من أجل قراءة تمهيدية.

ان تشكيل تحويل فوربيه السريع غالبا ما ينسب لـ [1965] Cooley and Tukey ولكن FFT له تاريخ ممتع يستحق الذكر هنا. استجابة لمقالة FFT ولكن FFT أعلن [1966] Rudnick اله كان يستخدم تقنية مشابهة يتناسب فيها عدد العمليات مع N log<sub>2</sub> N أيضا وهي مبنية على طريقة نشرت من قبل N log<sub>2</sub> N العمليات مع Lanczos [1942] ورجع هذان الكاتبان (الباحثان) بدورهما الى [1903] Konig [1939] على أنه المصدر لتقنيتهما. المقالتان الأخيرتان مع نصوص المحاضرات لـ [1939] Konig [1939] على أنه المصدر لتقنيتهما. المقالتان الأخيرتان مع نصوص المحاضرات لـ [1939] Thomas و Good [1958] و Stumpff [1939] و Thomas و Good [1958] هناك مقالة لـ [1967] Rudnith و Cooley, Lewis and Welsh [1967a] مقارنة شيقة للنتائج التي سبقت مقالة [1965] معاض موجزا تاريخيا و مقارنة شيقة للنتائج التي سبقت مقالة [1965]

ان خوارزمية FFT التي عرضت في هذا الفصل ليست بأية حال تشكيلا فريدا، Sande—Tukey (Gentelman and Sande فعلى سبيل المثال، ما يسمى خوارزمية Brigham (1974) بديل لمعلومات الدخل. يحتوي كتاب [1974] Brigham على مناقشة شاملة لهذه الخوارزمية بالاضافة الى العديد من التشكيلات الأخرى له FFT، بما فيها الاجراءات من أجل الأسس المختلفة عن 2. بالرغم من أن عنايتنا قد تركزت حصرا على التقنيات الرقمية، يجب أن يعي القارىء أن تحويلات فورييه ثنائية — الأبعاد يمكن الحصول عليها بطرق بصرية أيضا. ان كتب [1968] و Papoulis [1968] و Hech and Zajac [1975] والتحويلات البصرية بسوبة تمهيدية. يمكن الجاد مطالعات اضافية في التشكيل والتحويلات البصرية بسوبة تمهيدية. يمكن الجاد مطالعات اضافية في التشكيل المصفوفي لتحويلات الصورة في كتاب (1978] Andrews أن يطور أيضا مفهوم تفكيك المصفوفة ويناقش تحويلات صورة أخرى بالاضافة الى تلك التي غطيت في هذا

الفصل. ان مقالات [1958] Good و [1968] Gentelman و [1970] هي أيضا موضع اهتمام في هذا المجال.

ان المقالة الأصلية في تحويل والش ([1923] Walsh وجهة الأصلية في تحويل والش ([1923] Fine و نظر تاريخية. توجد مراجع اضافية تتعلق في هذا التحويل هي [1969] Shanks و (1969] و Shanks [1969] و [1964] Andrews [1970]

يمكن ايجاد مواد أخرى للقراءة في موضوع تحويل هادامارد في مقالة هادامارد الأصلية عام 1893 ، وفي Williamsón [1944] و Whelchel [1968] و

[1970] Andrews. هناك مقالتان قصيرتان تبحثان في البحث عن مصفوفات هادامارد المبنية على غير القوى الصحيحة لـ 2 ، هما [1962] Baumert و [1963] Golomb. ان مفهوم التتابع يبدو أنه قد قدم من قبل [1968] Harmuth. هناك مرجعان عن تحويل التجيب المتقطع هما [1974] Ahmed and Rao و [1975] Ahmed et al. المرجع الأخير يحتوي أيضا على مناقشة مكثفة لتحويلات متعامدة أخرى.

كان هوتيللينغ 1933 أول من استنتج ونشر التحويل الذي يحول المتحولات المتقطعة الى معاملات غير مترابطة. لقد سمى هذه التقنية طريقة المركبات الرئيسة المتقطعة الى معاملات غير مترابطة. تعطي مقالته تبصرا هاماً في الطريقة وهي جديرة بالقراءة، تحويل هوتيللينغ كان قد أعيد اكتشافه من قبل [1956] Lawley and Maxwell من أجل و [1963] Lawley and Maxwell من أجل مناقشة عامة لهذا الموضوع.

ان التحويل المشابه لتحويل معطيات مستمرة الى مجموعة من المعاملات غير المترابطة كان قد اكتشف من قبل [1947] Karhunen و [1947] ويسمى نشر كارونين – لوفي المساقشة ممتازة انظر كارونين – لوفي يخفض إلى حد أدنى الـ Selin [1965] Koschman كانت أول ما نشرت من قبل [1954] Brown [1960].

تحويل هاف كان قد اقترح لأول مرة من قبل هاف 1962 ، في براءة اختراع أمريكية وفيا بعد جعل في متناول الناس من قبل [1972] Dauda and Hart. ان تعميم تحويل هاف لكشف أشكال اختيارية طرح من قبل [1981] Ballard. لقد وجد تحويل هاف الكشف أشكال اختيارية طرح من قبل [1981] Ballard. لقد وجد تحويل هاف المكانية التطبيق في مجالات مثل معالجة الصور الطبية , [1975] Gorman and Clowes و المحانية الاحداث (1977] و تفحص الأشياء (1977] Palconer و تفحص الأشياء (1977] و التعرف على الأحرف الأبجدية [1985] Merlin and Farber في الأحرف الأبجدية (1985] Merlin and Farber المحاني من قبل Davis (1982)

مسائل

a 1.3) بدءا بالمعادلة (1.3 - 9) بين أن تحويل فورييه للدالة الجيبية ثنائية -الأبعاد

function  $n(x, y) = A \sin(u_0 x + v_0 y)$  is  $N(u, v) = -jA/2[\delta(u - u_0/2\pi, v - v_0/2\pi) - \delta(u + u_0/2\pi, v + v_0/2\pi)].$ 

b) اوجد طيف (۸(u, v)

- 2.3 الدالة الحقيقية (x) يمكن أن تفكك إلى مجموع دالة فردية و دالة زوجية.  $f_{\text{even}}(x) = \frac{1}{2} [f(x) + f(-x)]$  and  $f_{\text{odd}}(x) = \frac{1}{2} [f(x) f(-x)]$ .
  - $\Re [f_{\text{even}}(x)] = \text{Re}\{\Re [f(x)]\} \text{ and } \Re [f_{\text{odd}}(x)] = j \text{Im } \{\Re [f(x)]\}.$  نُن أَن (b
- 3.3 بين أن تحويل فورييه لدالة الترابط الذاتي له ( هر هو طيف القدرة للطيف ( الكثافة الطيفية ) (۱۴(۵)
  - 4.3 بين صحة المعادلتين (3.3-a7) و (5.3-b7).
  - $|\partial_f(x, y)/\partial x + \partial_f(x, y)/\partial y|$  (b) و  $df(x)/\partial x$ , (a) اوجد تحویل فوربیه ل (c) و  $df(x, y)/\partial x + \partial_f(x, y)/\partial y|$  (c) و  $df(x, y)/\partial y + \partial_f(x, y)/\partial y|$

- ا ق. 6.3 بين أن تحويل فوربيه المتقطع و معكوسة دالتان دوريتان. للتبسيط، افترض دالات أحادية البعد.
- 7.3 بين أن تحويل فورييه لطي دالتين هو جداء تحويلي فورييه التابعين لهما. للتبسيط، افترض دوال لمتحول واحد.
- $^{\prime}$  N  $\log_2$  N القسم 2.4.3 ، فإن حساب FFT لـ N  $\log_2$  N القسم 2.4.3 ، فإن حساب 1/2 N $\log_2$ N عملية جمع و 1/2N $\log_2$ N عملية ضرب. كم هو عدد عمليات الجمع والضرب المطلوبة لحساب FFT ثنائي الأبعاد لصورة أبعادها  $N \times N$ 
  - 9.3 بالرجوع الى المناقشة الواردة في القسم 1.4.3 بين أن
    - $W_{2M}^{2nt} = W_M^{nt}. (a$
    - $W_M^{u+M} = W_{M'}^u \qquad \text{(b)}$
    - $W_{2u}^{u+M} = -W_{2u}^{u}$ . (C)
- 10.3 ان العديد من برامج الحاسوب المتوفرة لحساب FFT تقتصر على معطيات دخل حقيقية أحادية البعد. (a) بين كيف يمكن تحويل خوارزمية كهذه لحساب FFT لمعطيات عقدية أحادية البعد. (b) ماذا سيكون الاجراء لاستعمال خوارزمية كهذه لحساب FFT ثنائي الأبعاد لصورة عناصرها أعداد حقيقية؟
  - 11.3 بالرجوع الى الجدول 2.3 كيف سترتب صفيفا من 16 نقطة للاستعمال مع خوارزمية FFT ذات المضاعفة المتتالية؟
  - 12.3 بين أن المعادلتين (5.3 15) و (5.3 17) تشكلان زوج تحويل (أي، أن كل منهما عكس الأخرى).
  - covariance بجموعة من الصور بقياس  $64\times64$  ، افترض أن مصفوفة الـ identity matrix المعطاة في المعادلة (6.3-11) تنقلب الى مصفوفة الواحدية mean square error ماذا سيكون متوسط تربيع الأخطاء mean square error بين الصور الأصلية والصور التي أعيد بناؤها باستخدام المعادلة (6.3-13) و بنصف المتجهات الميزة فقط؟

- a 14.3 اشرح لماذا يكون تحويل هاف للنقطمة 1 (في الشكل 33.3(d) خط مستقيم؟
  - b) هل هذه هي النقطة الوحيدة التي تعطى هذه النتيجة؟
  - c) اشرح علاقة التجاور الانعكاسي الموضحة في الشكل 33.3(d).
- a 15.3 طور اجراء عاما للحصول على تمثيل عادي لخط أعطيت معادلة الميل التقاطع التابعة له y=ax+b.
  - b) أوجد التمثيل الطبيعي للخط y--2x+1.

•	الفصل الرابع	

# تحسين الصورة

هناك اختلاف كلي بين أن نرى الظلمة من خلال الضوء أو نرى اللمعان من خلال الظلال David Lindsay.

إن الهدف الرئيس من تقنيات التحسين هو معالجة صورة معينة بحيث تكون النتيجة أكثر ملاءمة من الصورة الأصلية لتطبيق محدد. ان كلمة «محدد» مهمة لأنها تؤكد منذ البداية على أن التقنيات المناقشة في هذا الفصل تعتمد الى حد كبير جدا على المسألة التي نعالج الصورة من أجلها. وهكذا، فان طريقة مفيدة جدا لتحسين صور الأشعة السينية ليست بالضرورة أفضل أسلوب لتحسين صور المريخ المرسلة بواسطة مجس فضائي.

يمكن تقسيم الأساليب المناقشة في هذا الفصل الى صنفين categories رئيسين: طرق الجال – الترددي وطرق المجال – الحيزي. ان الأساليب التي يتضمنها الصنف الأول مبنية على تعديل تحويل فورييه للصورة المطلوب معالجتها. المجال الحيزي، من جهة أخرى، يعود الى مستوي الصورة نفسه، وأساليب هذا الصنف تعتمد على معالجة مباشرة لعناصر الصورة.

ان المنهاج الأساسي للمواد المطورة في هذا الفصل، معروض في القسم 1.4 . يبحث القسم 2.4 في تحسين الصورة باستخدام تقنيات تعديل الهيستوغرام modification. يحتوي القسمان 3.4 و 4.4 عددا من الأساليب التي يستخدم بعضها لتنعيم smoothing الصورة ويستخدم بعضها الآخر لزيادة تباينها. يلي هذه المناقشة في القسم 5.4 تقنية تحسين مبنية على نموذج انعكاسية – الانارة الذي عرض في القسم 2.2.

في القسم 6.4 نطور تقنية لتوليد نوافذ حيزية صغيرة من دالة مرشاح محددة في المجال الترددي. أخيرا، القسم 7.4 يتضمن مدخلا الى أساسيات الألوان، بالاضافة الى عدة تطبيقات لمفاهيم الألوان الصنعية psaudo - colors في تحسين الصورة.

#### 1.4 خلفية Background

ان طرق تحسين-الصورة المعروضة في هذا الفصل مبنية اما على تقنيات المجال - الحيزي أو على تقنيات المجال - الترددي. ان الغرض من هذا الفصل هو تطوير أفكار أولية تقع ضمن هذين الأسلوبين وتتعلق بهما.

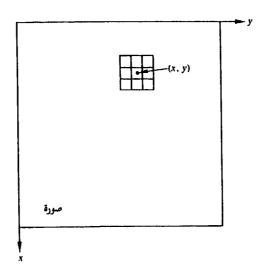
#### 1.1.4 طرق المجال - الحيزي

ان المصطلح "المجال الحيزي" يرجع الى تجمعات العناصر التي تشكل صورة ما، وطرق المجال - الحيزي هي اجراءات تعمل مباشرة على هذه العناصر. يمكن التعبير عن دوال معالجة الصورة في المجال الحيزي بالصيغة التالية

$$g(x, y) = T[f(x, y)],$$
 (1-1.4)

حيث ان f(x, y) هي صورة الدخل و g(x, y) هي الصورة المعالجة و T هو عامل مؤثر يؤثر على f(x, y)، ومعرف في جوار ما لـ f(x, y). ومن الممكن أيضا أن نجعل T يؤثر على مجموعة من صور الدخل كما في حال اجراء جمع عناصر f(x, y) صورة عنصرا فعنصرا من أجل تخفيض الضجيج، كما هو مناقش في القسم f(x, y).

ان الأسلوب الرئيس المستخدم لتعريف جوار ما حول (x, y) هو استعمال منطقة صورة فرعية مربعة أو مستطيلة مركزها (x, y) كما هو مبين في الشكل 1.4 . يحرك مركز الصورة الفرعية من عنصر لآخر بدءا من، لنقل، الزاوية العليا اليسرى، ويطبق المؤثر في كل موضع (x, y) لاعطاء النتيجة g عند ذلك الموضع. بالرغم من أن أشكال جوار أخرى، مثل دائرة، تستعمل أحيانا فان المصفوفات المربعة هي الأكثر استعمالا بسبب سهولة تنفيذها.



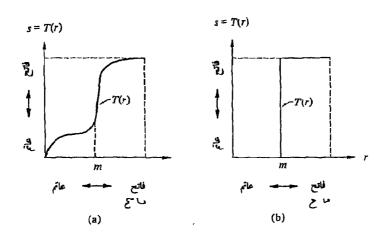
الشكل 1.4 جوار 3×3 حول نقطة (x,y) في صورة.

ان أبسط شكل لـ T هو عندما تكون أبعاد الجوار  $1 \times 1$ . في هذه الحالة، تعتمد gray level على قيمة f عند f على قيمة f عند f نقط وتصبح f دالة f دالة نقل f transformation function (و تدعى أيضًا "دالة نقل" transformation (الشكل التالي

$$s = T(r), (2-1.4)$$

حيث نستعمل لتبسيط الرموز، r و s كمتحولين يشيران الى السوية الرمادية L(x, y) و g(x, y) عند النقطة (x, y). كتوضيح، اذا كان L(r) الشكل المبين في الشكل المورة (a)2.4)، فإن أثر هذا التحويل هو انتاج صورة ذات تباين أعلى من تباين الصورة الأصلية وذلك بتعتيم السويات الأقل من سوية ما m و زيادة لمعان السويات الأعلى من m في طيف العنصر الأصلي. في هذه التقنية، المعروفة بـ "مد التباين" contrast m في طيف العنصر الأصلي . الأخفض من m بواسطة دالة التحويل الى مدى ضيق من s باتجاه النهاية المعتمة من الطيف. ان الأثر المعاكس يحدث من أجل قيم s الأعلى من s حالة التحديد المبينة في الشكل s (b)2.4 من s حالة التحديد المبينة في الشكل s (b)2.4 من s

(أي ثنائية). كما سنبين في الأقسام التالية، يمكن باستعمال تحويلات السوية-الرمادية تشكيل بعض أساليب المعالجة التي مع أنها بسيطة، فهي فعالة.



الشكل 2.4 دالتي تحويل سوية - رمادية من أجل تحسين التباين.

ان الجوارات الأكبر تسمح باستعمال دوال معالجة متنوعة تذهب إلى أبعد من عرد تحسين الصورة، كما سنرى في الفصول التالية. بغض النظر عن التطبيق المحدد، فان الأسلوب العام هو أن ندع قيمة آرافي الجوار المحدد له (x, y) يحدد قيمة و عند هذين الاحداثيين. ان أحد الأساليب الرئيسة في هذا التشكيل يبنى على ما يسمى "النوافذ" (يسمى أيضا مراشيح أو طبعات أو أقنعة). النافذة هي أساسا، مصفوفة صغيرة ثنائية الأبعاد (مثلا 3×3) كتلك المبينة في الشكل 1.4، والتي تختار معاملاتها لكشف خاصة محددة في الصورة. وكمدخل الى هذا المفهوم. افترض أن لدينا صورة ذات شدة ثابتة وتحتوي نقاطا معزولة بشكل متباعد وشدتها تختلف عن شدة الخلفية المحيطة. يمكن كشف هذه النقاط باستعمال النافذة المبينة في الشكل 3.4. ان اجراء الكشف هو كالتالي: يحرك مركز النافذة (المرقم به 8) على الصورة، كما أشرنا في الشكل 1.4. هو كالتالي: يحرك مركز النافذة (المرقم به 8) على الصورة، كما أشرنا في الشكل 1.4.

بعامل النافذة المقابل، أي: العنصر الموجود في مركز النافذة يضرب بـ 8 في حين أن جيرانه الثمانية تضرب بـ 1 - . بعد ذلك تجمع نتائج عمليات الجداء التسعة هذه. اذا كانت لجميع العناصر الواقعة ضمن مساحة النافذة نفس القيمة (خلفية ثابتة)، فسيكون المجموع صفرا، و من جهة أخرى، اذا كان مركز النافذة واقعا على احدى النقاط المعزولة فسيكون المجموع مختلفا عن الصفر. اذا كانت النقطة المعزولة في موقع غير مركز النافذة سيكون المجموع مختلفا عن الصفر أيضا، ولكن مطال الاستجابة سيكون أضعف. هذه الاستجابات الأضعف يمكن حذفها بمقارنة المجموع مع عتبة سيكون أضعف. هذه الاستجابات الأضعف يمكن حذفها بمقارنة المجموع مع عتبة محددة.

-1	~1	1
-1	8	-1
-1	-1	-1

الشكل 3.4 نافذة لكشف نقاط معزولة تختلف عن خلفية ثابتة.

كما هو مبين في الشكل 4.4 ، اذا جعلنا  $w_1,...,w_p$  تمثل معاملات النافذة وأخذنا بعين الاعتبار الجيران الثمانية لـ (x, y) ، يمكن أن نعمم المناقشة السابقة بانجاز العملية التالية

$$T[f(x, y)] = w_1 f(x - 1, y - 1) + w_2 f(x - 1, y) + w_3 f(x - 1, y + 1) + w_4 f(x, y - 1) + w_5 f(x, y) + w_6 f(x, y + 1) + w_7 f(x + 1, y - 1) + w_8 f(x + 1, y) + w_9 f(x + 1, y + 1)$$
(3-1.4)

على جوار لـ (x, y) أبعاده  $3 \times 3$ . ان النوافذ الأكبر تشكل بطريقة مشابهة. يلاحظ في المعادلة (x, y) أن تغيير المعاملات يغير وظيفة النافذة. مثلاً اذا اخترنا (x, y) من أجل (x, y) وجعلنا (x, y) T[f(x, y)] ستكون قيم y عند (x, y) هي متوسط السويات الرمادية للعنصر الواقع في النقطة (x, y) وجيرانه الثمانية، و كما أشرنا أعلاه، للنوافذ عدد من الاستعمالات بالاضافة الى تحسين الصورة، بعض هذه الاستعمالات يتضمن استعادة الصورة و تجزىء الأشكال، وحساب هيكل منطقة ثنائية.

(x-1,y-1)	$w_2 = (x - 1, y)$	(x-1,y+1)
w <sub>4</sub> (x, y - 1)	w <sub>5</sub> (x, y)	Ψ <sub>6</sub> (x, y + 1)
(x+1,y-1)	$w_{\rm g}$ $(x + 1, y)$	(x+1,y+1)

الشكل 4.4 نافذة عامة أبعادها 3×3 تبين معاملات ومواقع عناصر صورة مقابلة.

### 2.1.4 طرق المجال - الترددي

إن أساس تقنيات المجال – الترددي هو نظرية الطي. لتكن g(x, y) صورة g(x, y) و مؤثر h(x, y) غير تابع للموضع f(x, y) و مؤثر أي

$$g(x, y) = h(x, y) * f(x, y)$$
 (4-1.4)

<sup>\*</sup> إن المؤثر الثابت بالنسبة للموضع position invariant هو مؤثر تعتمد نتيجته على قيمة (f(k,y) في نقطة محددة من الصورة وليس على موضع النقطة. ان الثبات بالنسبة للموضع متطلب ضمني في تعريف تكاملات العلي المعطاة في المعادلتين (3.3-23) و (3.3-20).

عندئذ، ومن نظرية الطي (القسم 8.3.3)، فإن علاقة المجال - الترددي التالية صحيحة

$$G(u, \nu) = H(u, \nu)F(u, \nu)$$
 (5-1.4)

حيث ان G و H و G هي تحويلات فورييه لـ g و h و g على التوالي. ان التحويل H(u, v) يدعى عادة دالة التحويل transfer function للعملية.

سنبين لاحقا في هذا الفصل أن العديد من مسائل تحسين الصورة يمكن أن يعبر عنها بصيغة المعادلة (1.4 – 5). في تطبيق تحسين – صورة نموذجي، تعطى f(x, y) و يتم بعد حساب F(u, v) اختيار H(u, v) بحيث تبرز الصورة المرغوبة و المعطاة بالعلاقة التالية

$$g(x,y) = \mathcal{F}^{-1}\{H(u,\nu)F(u,\nu)\}$$
 (6-1.4)

f(x, y) خاصة ما للصورة f(x, y). فعلى سبيل المثال، يمكن أن تبرز الحواف في F(u, y) باستعمال دالة F(u, y) تؤكد على الترددات العالية لتحويل فورييه F(u, y).

وجدير بالملاحظة أن المعادلة (4-1.4) تصف عملية حيزية شبيهة باستعمال النوافذ الذي ناقشناه في القسم السابق. في الحقيقة، ان طبيعة الطي المتقطع المعطاة بالمعادلة (3.5-3.5) هي في الأساس تمثيل للميكانيكية المتضمنة في تنفيذ عملية ازاحة النافذة التي شرحت في الشكل 1.4. لهذا السبب، تسمى النوافذ الحيزية التي نوقشت في القسم السابق غالبا نوافذ الطي. ولكن النقطة المركزية التي يجب أن تبقى في الذهن هي أن نظرية الطي تتطلب أن يكون (u, v) H(u, v) من نفس القياس. وهكذا، إذا كان (u, v) ، على سبيل المثال، (u, v) نفس القياس. كما أشرنا في وهكذا، إذا كان (u, v) ، على سبيل المثال، (u, v) نفس القياس. كما أشرنا في القسم 3.3.8 ، يتم الطي المتقطع باستخدام مصفوفات كبيرة بشكل أكثر كفاءة في القسم 3.3.8 ، يتم الطي المتقطع باستخدام مصفوفات كبيرة بشكل أكثر كفاءة في الجال الترددي عن طريق استخدام تحويل فورييه السريع FFT. في القسم 3.4 نطور طريقة للحصول على نوافد طي حيزية صغيرة تقرب (u, v) معين، بمعيار تربيع الأخطاء الأصغري Least-square-error و بذلك يمكن أن تستخدم للمعالحة الأخطاء الأصغري Least-square-error و بذلك يمكن أن تستخدم للمعالجة

الحيزية. أخيرا، نبين هنا كما أشرنا في القسم 8.3.3 ، أن الطي المتقطع يتميز بخطأ التغليف إلا إذا افترضنا أن اللوال دورية بأدوار مختارة طبقا للمعادلتين (3.3-33) و (3.5-34). في صورة ما، يظهر خطأ التغليف نفسه كتشوه حول الحواف. لكن في الواقع العملي، غالبا لايثير هذا الخطأ اعتراضا حتى عندما لاتمدد الصور باستخدام الاجراء الذي أعطي في القسم 8.3.3 . لقد تم الحصول على الصور التي سنعرضها لاحقا في هذا الفصل، على سبيل المثال، بالحساب المباشر لـ FFT على الصور المعطاة بدون عمدد.

على الرغم من أنه ربما يكون قد أصبح واضحا، لنؤكد قبل مغادرة هذا القسم على أنه لاتوجد نظرية عامة لتحسين الصورة. عندما تعالج صورة ما من أجل التفسير البصري، فان الناظر هو الحكم النهائي على مقدار جودة أداء طريقة المعالجة. ان التقويم البصري لنوعية الصورة عملية شخصية الى حد كبير. وهذا ما يجعل التعريف "صورة جيدة" معيار محير لتقويم أداء خوارزمية ما. عندما تكون المسألة مسألة معالجة صور من أجل الادراك بواسطة الآلة، تكون مهمة التقويم أسهل نوعا ما. اذا كان أحدنا، على سبيل المثال، يتعامل مع تطبيق التعرف على الأحرف الأبجدية، فان أفضل طريقة لمعالجة الصورة هي تلك التي تعطي أفضل نتائج تعرف من قبل الآلة. ولكن تجدر الملاحظة أنه الصورة هي تلك التي يمكن فيها فرض معيار واضح للأداء في المسألة، فان المرء يبقى عادة مواجها بقدر معين من التجربة والخطأ قبل أن يكون قادرا على الاستقرار على أسلوب معالجة صورة محدد.

## 2.4 تحسين الصورة باستخدام تقنيات تعديل الهيستوغرام Image Enhancement by Histogram Modification Techniques

يزودنا هيستوغرام histogram لمحتوى السويات الرمادية بوصف اجمالي لصورة ما. ان الطرق المناقشة في هذا القسم تنجز التحسين بتعديل هيستوغرام صورة معينة، بطريقة محددة. ان نوع ودرجة التحسين اللذين نحصل عليهما يعتمدان على طبيعة الهيستوغرام الذي نتعامل معه.

#### 1.2.4 أساسيات

ليكن المتحول r يمثل السوية الرمادية للعناصر الموجودة في الصورة والتي نريد تحسيما. وللتبسيط، سنفترض في المناقشة التالية أن قيم العناصر قد قيست بحيث تقع جميعها في المدى

$$0 \le r \le 1, \tag{1-2.4}$$

حيث ان r=0 تمثل الأسود و r=1 تمثل الأبيض على السلم الرمادي. من أجل أية r في البون [0,1] ، سنركز عنايتنا على التحويلات التي لها الشكل التالي

$$s = T(r) \tag{2-2.4}$$

والتي تنتج سوية  $_{\rm S}$  لكل قيمة عنصر  $_{\rm T}$  في الصورة الأصلية. يفترض أن دالة التحويل المعطاة بالمعادلة ( $_{\rm C}$  2.4) تحقق الشرطين التاليين

 $0 \le r \le 1$  في البون monotonically في البون على وتيرة واحدة T(r) (a)  $0 \le T(r) \le 1$  for  $0 \le r \le 1$  (b)

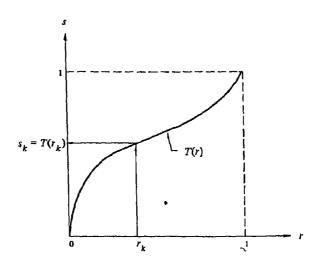
يحفظ الشرط (a) الترتيب من الأسود الى الأبيض على السلم الرمادي، في حين يضمن الشرط (b) رسما mapping منسجما مع المدى المسموح به لقيم عناصر الصورة. الشكل 5.4 يوضح دالة تحويل تحقق هذين الشرطين.

سنعبر عن التحويل العكسي من s رجوعا الى r بالشكل التالي

$$r = T^{-1}(s)$$
  $0 < s < 1$   $(3-2.4)$ 

حيث نفترض أن  $T^{-1}(s)$  يحقق أيضا الشرطين (a) و (b) بالنسبة للمتحول s.

ان السويات الرمادية في صورة ما هي كميات عشوائية في البون [0,1]. فبافتراض أنها متحولات مستمرة، يمكن أن توصف السويات الرمادية الأصلية والمحولة، بدالتي كثافة احتالها  $p_{\rm r}\left({\bf r}\right)$  و  $p_{\rm r}\left({\bf r}\right)$  على التوالي. يمكن أن يقال الكثير حول



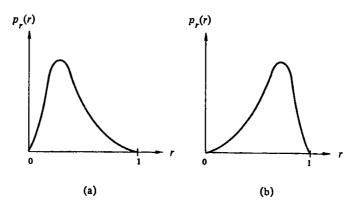
الشكل 5.4 دالة تحويل سويات – رمادية

الخصائص العامة لصورة ما، من دالة الكثافة لسوياتها الرمادية. على سبيل المثال، ان صورة لسوياتها الرمادية دالة كثافة كتلك المبينة في 6.4(a)، لها خصائص معتمة، نوعا ما، لأن معظم سوياتها تتركز في المنطقة العاتمة من السلم الرمادي. ومن جهة أخرى، فان صورة لسوياتها الرمادية دالة كثافة كتلك المبينة في الشكل 6.4(d)، ستسود فيها مناطق مضيئة (فاتحة) لأن غالبية عناصرها رمادية فاتحة.

 $T^{-1}$  و معروفتان و  $D_r(r)$  و  $D_r(r)$  و الأولية، اذا كانت  $D_r(r)$  معروفتان و  $D_r(r)$  معروفتان و ( $D_r(r)$  معروفتان و ( $D_r(r)$  معروفتان و العلاقة الأحتال للسويات الرمادية المحولة تعطى بالعلاقة التالية

$$p_s(s) = \left[ p_r(r) \frac{dr}{ds} \right]_{r=T^{-1}(s)}$$
 (4-2.4)

ان تقنيات التحسين التالية تقوم على تعديل مظهر صورة ما بالتحكم بدالة كثافة الحتال سوياتها الرمادية عن طريق دالة التحويل (T(r).



الشكل 6.4 دالة كثافة احتمال السويات - الرمادية لـ (a) صورة "عاتمة"، و (b) صورة "فاتحة".

## 2.2.4 تسوية الهيستوغرام Histogram Equalization

لنأخذ دالة التحويل التالية

$$s = T(r) = \int_0^r p_r(w) dw$$
  $0 < r < 1$  (5-2.4)

حيث ان w متحول تكامل زائف. ان أقصى الطرف الأيمن من المعادلة (-2.4) يعرف بدالة التسوزيع التراكمي (Comulative Distribution Function (CDF) ل x. ان الشرطين اللذين بيناهما في القسم السابق محققان بدالة التحويل هذه، لأن الـ CDF تتزايد على وتيرة واحدة من 0 الى 1 كدالة ل x.

من المعادلة (2.4 – 5)، ان مشتق s بالنسبة لـ r يعطى بالشكل التالي

$$\frac{\mathrm{d}s}{\mathrm{d}r} = p_r(r) \tag{6-2.4}$$

ان تعويض dr/ds في المعادلة (2.4-4) يعطى

$$p_{s}(s) = \left[ p_{r}(r) \frac{1}{p_{r}(r)} \right]_{r=T^{-1}(s)}$$

$$= \left[ 1 \right]_{r=T^{-1}(s)}$$

$$= 1 \quad 0 < s < 1$$
(7-2.4)

الذي هو كثافة منتظمة في بون التعريف للمتحول المحول . يلاحظ أن هذه النتيجة مستقلة عن دالة التحويل العكسي. ان هذا مهم لأنه ليس من السهل دائما الحصول على  $T^{-1}$  (s)

ان الاشتقاقات الرياضية السابقة تشير الى أن استعمال دالة تحويل تساوي التوزيع التراكمي له r ينتج صورة ذات سويات رمادية منتظمة الكثافة، وبمفهوم التحسين، فان هذا يعني زيادة في المدى الديناميكي لعناصر الصورة، والذي، كما سيظهر أدناه، يمكن أن يكون له أثر مهم على مظهر الصورة.

مثال: قبل أن نفابع مناقشة المتحولات المتقطعة، لنتأمل توضيحا بسيطا للمعادلتين -4-2.4 و (2.4–5). لنفترض أن السويات -4-2.4 ها دالة كثافة الاحتمال المبين في الشكل -2.4 هذه الحالة تعطى -2.4 كايل:

$$p_r(r) = \begin{cases} -2r+2 & 0 < r < 1 \\ 0 & \text{elsewhere} \end{cases}$$

ان تعويض هذه العبارة الرياضية في المعادلة (2.4-5) يعطي دالة التحويل التالية

$$s = T(r) = \int_0^r (-2w + 2) dw$$
$$= -r^2 + 2r$$

على الرغم من أننا نحتاج T(r) فقط لتسوية الهيستوغرام، سنتنور بأن نثبت أن الكثافة الناتجة  $p_s(s)$  هي في الحقيقة منتظمة لأن هذا يتطلب الحصول على  $T^{-1}(s)$ . في الواقع العملي، هذه الخطوة غير مطلوبة لأن المعادلة  $T^{-1}(s)$  مستقلة عن دالة التحويل العكسى. ان الحل من أجل  $T^{-1}(s)$  بدلالة  $T^{-1}(s)$ 

$$r = T^{-1}(s) = 1 \pm \sqrt{1-s}$$
 : خان الحل التالي فقط صحيح ولأن  $r = T^{-1}(s) = 1 - \sqrt{1-s}$ 

يحصــل على دالة كثـافة الاحتمال لـ  $_{\rm S}$  بتعويض النتائج التي وردت أعلاه في المعادلة ( $_{\rm C}$   $_{\rm C}$  ):

$$p_s(s) = \left[ p_r(r) \frac{dr}{ds} \right]_{r=T^{-1}(s)}$$

$$= \left[ (-2r+2) \frac{dr}{ds} \right]_{r=1-\sqrt{1-s}}$$

$$= \left[ (-2\sqrt{1-s}) \frac{d}{ds} (\sqrt{1-s}) \right]$$

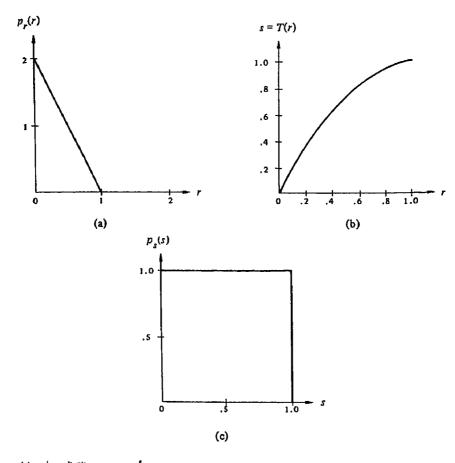
$$= 1 \quad 0 \le s \le 1$$

التي هي كثافة منتظمة في البون المرغوب.

ان دالة التحويل T(r) هذه مبينة في الشكل  $p_s(s)$  و (b)7.4 هذه مبينة في الشكل

لكي تكون المفاهيم التي طورناها أعلاه مفيدة في معالجة الصورة الرقمية. يجب أن تصاغ بالشكل المتقطع. من أجل السويات الرمادية التي تأخذ قيا متقطعة، نتعامل مع احتالات تعطى بالعلاقة التالية

$$p_r(r_k) = \frac{n_k}{n}$$
  $0 < r_k < 1$   
  $k = 0, 1, ..., L - 1$   $(8-2.4)$ 



الشكل 7.4 توضيح طريقة تحويل الكثافة المنتظمة. (a) دالة كثافة الاحتمال الأصلي. (b) دالة التحويل. (c) الكثافة المنتظمة الناتجة.

حيث ان L هي عدد السويات و  $p_r(r_k)$  هي احتال السوية الرمادية رقم k و  $p_r(r_k)$  عدد المرات التي تظهر فيها هذه السوية في الصورة و n هي العدد الاجمالي للعناصر في الصورة. ان الرسم البياني لـ  $p_r(r_k)$  مقابل  $p_r(r_k)$  مقابل  $p_r(r_k)$  مقابل والتقنيسة المستخدمة للحصول على هيستوغرام منتظم تدعى تسوية الهيستوغرام histogram equalization أو histogram linearization.

$$s_k = T(r_k) = \sum_{j=0}^k \frac{n_j}{n}$$

$$= \sum_{j=0}^k p_r(r_j) \qquad 0 < r_k < 1$$

$$k = 0, 1, \dots, L-1$$
(9-2.4)

ويشار الى التحويل العكسي كإيلي

$$r_k = T^{-1}(s_k) \qquad 0 < s_k \ge 1$$

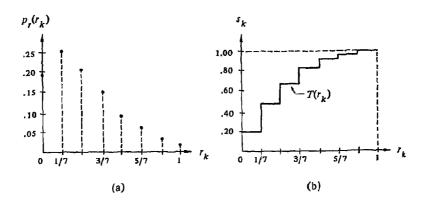
حيث يفترض أن كلا من  $T(r_k)$  و  $T^{-1}(s_k)$  تحقق الشرطين (a) و (b) المحددين في القسم السابق. يلاحظ أن دالة التحويل  $T(r_k)$  يمكن أن تحسب مباشرة من الصورة التي نعالجها باستعمال المعادلة (2.4-9).

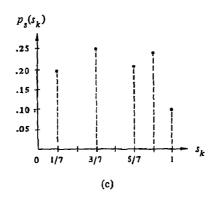
ان التحويل العكسي  $T^{-1}(s_k)$  يلعب دورا مركزيا في الطريقة المناقشة في القسم التالي على الرغم من أنه لايدخل في تسوية الهيستوغرام.

مثال: افترض أن صورة أبعادها 64×64 وفيها 8 سويات رمادية، لها توزيع السويات - الرمادية المبين في الحدول 1.4 . ان هيستوغرام هذه السويات مبين في الشكل 2.8 (a).

الجدول 1.4

r <sub>k</sub>	$n_{k}$	$p_r(r_k) = n_k/n$
r <sub>0</sub> = 0	790	0.19
$r_1 = 1/7$	1023	0.25
$r_2 = 2/7$	850	0.21
$r_3 = 3/7$	656	0.16
$r_4 = 4/7$	329	0.08
$r_{5} = 5/7$	245	0.06
$r_6 = 6/7$	122	0.03
$r_{7} = 1$	81	0.02





الشكل 8.4 توضيح طريقة تسوية - الهيستوغرام. (a) الهيستوغرام الأصلي. (b) دالة التحويل. (c) الهيستوغرام المسوى.

يحصل على دالة التحويل باستعمال المعادلة (9-2.4). على سبيل المثال،  $s_0 = T(r_0) = \sum_{j=0}^0 p_r(r_j)$   $= p_r(r_0)$  = 0.19

$$s_1 = T(r_1) = \sum_{j=0}^{1} p_r(r_j)$$

$$= p_r(r_0) + p_r(r_1)$$

$$= 0.44$$

$$s_2 = 0.65 \qquad s_5 = 0.95$$

$$s_3 = 0.81 \qquad s_6 = 0.98$$

$$s_4 = 0.89 \qquad s_7 = 1.00$$

إن لدالة التحويل الشكل المبين في الرسم التوضيحي 8.4(d). نظرا لأنه يسمح في هذه الحالة الثمان سويات رمادية فقط، يجب أن تنسب كل قيمة من القيم المحولة لأقرب سوية صحيحة. وهكذا، لدينا

$$s_0 \approx 1/7$$
  $s_4 \approx 6/7$   
 $s_1 \approx 3/7$   $s_5 \approx 1$   
 $s_2 \approx 5/7$   $s_6 \approx 1$   
 $s_3 \approx 6/7$   $s_7 \approx 1$ 

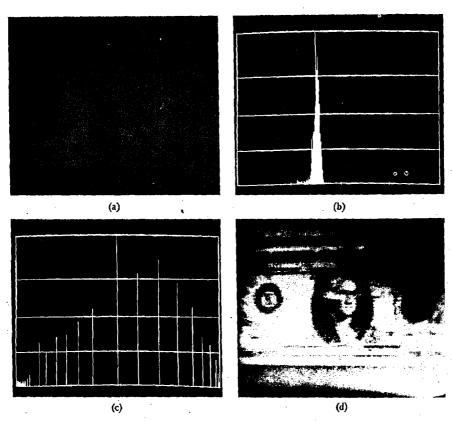
يلاحظ أنه يوجد خمس سويات هيستوغرام – مسوى رمادية مميزة فقط. و باعادة تعريف التعابير الرياضية لتأخذ هذا الأمر بالحسبان، تنتج السويات التالية

$$s_0 = 1/7$$
  $s_3 = 6/7$   
 $s_1 = 3/7$   $s_4 = 1$   
 $s_2 = 5/7$ 

ولأن  $r_0$  كانت قد حولت (mapped) الى  $s_0$  ، يوجد 790 عنصرا محولا بهذه القيمة الجديدة. ويوجد أيضا 1023 عنصرا بالقيمة  $s_1$  و 850 عنصرا بالقيمة

 $s_2=5/7$  ولكن، لأن كلاً من السويتين  $s_1$  و  $s_2$  كانت قد حولت الى  $s_3=6/7$  يوجد  $s_2=5/7$  448-81+122+245 عنصرا بهذه القيمة الجديدة. بشكل مشابه، يوجد 985=329+556 عنصرا بالقيمة  $s_4=8$ . ان تقسيم هذه الأعداد على 4096 يعطي الهيستوغرام المبين في الشكل  $s_4=8$ . و لأن الهيستوغرام تقريب لدالة كثافة الاحتمال، يندر الحصول على انتائج مسطحة تماما عند التعامل مع السويات المتقطعة.

مثال: كتوضيح عملي لتسوية الهيستوغرام، تأمل الصورة المبينة في الشكل 9.4(a) و التي تحتوي صورة دولار أمريكي، الذي بالكاد يرى بسبب الظلال الكثيفة. ان مدى القيم الضيق المشغول بعناصر هذه الصورة، واضح من الهيستوغرام المبين في الشكل



الشكل 9.4 توضيح أسلوب تسوية الهيستوغرام. (a) صورة أصلية. (b) هيستوغرام أصلي. (c) هيستوغرام مسوى. (d) صورة محسنة -215

b)9.4). الهيستوغرام المسوى مبين في الشكل c)9.4) و الصورة المعالجة في الشكل d)9.4).

في حين أن الهيستوغرام المسوى، وكما توقعنا، ليس مستوياً تماماً على المدى الكامل للسويات الرمادية، فقد تم الحصول على تحسين هام بالمقارنة مع الصورة الأصلية عن طريق أثر النشر spread effect لتقنية تسوية الهيستوغرام. ان النتيجة النهائية ليست صورة مثالية ولكن يجب ألا يغيب عن ذهننا أن نوعية الصورة الأصلية رديئة.

### 3.2.4 التوصيف المباشر للهيستوغرام Direct Histogram Specification

مع أن الطريقة التي نوقشت في القسم السابق مفيدة جدا، فهي ليست ملائمة من أجل تطبيقات تحسين الصور التفاعلي interacti ve image enhancement لأن المكانات هذه الطريقة محدودة بتوليد نتيجة واحدة فقط، تقريب لهيستوغرام منتظم.

من المرغوب أحيانا أن نكون قادرين، تفاعليا، على تحديد هيستوغرامات خاصة قادرة على تسليط الضوء على أمداء سويات رمادية معينة في صورة ما. لكي نرى كيف يمكن أن نحقق هذا، دعنا نرجع للحظة الى السويات الرمادية المستمرة، ولتكن  $p_r(r)$  و والمرغوب، على التوالي. لنفترض أن صورة معينة قد سوى هيستوغرامها أولا باستعمال المعادلة  $p_z(z)$ ، أي

$$s = T(r) = \int_0^r p_r(w) dw$$
 (10-2.4)

إذا كانت الصورة المرغوبة متوفرة، فإن سوياتها الرمادية يمكن أن تسوى باستعمال دالة التحويل التالية.

$$v = G(z) = \int_0^z p_z(w) dw$$
 (11-2.4)

ان العملية العكسية،  $(v)^{1-G-1}$ ، ستعيد عندئذ السويات المرغوبة. وهذا، طبعا، تشكيل افتراضي لأن سويات z هي بالضبط مانجرب الحصول عليه. ولكن، يلاحظ أذ  $p_v(v)$  و  $p_s(s)$  أن  $p_s(s)$  ستكونان كثافتين منتظمتين متاثلتين لأن النتيجة النهائية للمعادلة  $p_v(v)$  مستقلة عن الكثافة داخل التكامل. وهكذا، اذا استعملنا السويات  $p_s(s)$  المنتظمة التي حصلنا عليها من الصورة الأصلية، بدلا من  $p_s(s)$  العملية العكسية، سيكون للسويات الناتجة  $p_s(s)$  دالة الكثافة المرغوبة. بافتراض أن  $p_s(s)$  وحيد القيمة، يمكن تلخيص الاجراء كايلي:

1 - سو سويات الصورة الأصلية مستعملا المعادلة (2.4 - 5).

المعادلة G(z) مستعملا المعادلة G(z) على دالة التحويل مستعملا المعادلة -2

 $z=G^{-1}$  (s) على السويات التي حصلت عليها في -3 الخطوة 1.

هذا الاجراء يعطي النسخة المعالجة للصورة الأصلية، حيث ان السويات الرمادية الجديدة مميزة بالكثافة المجددة  $p_{\perp}(z)$ .

 $G^{-1}(s)$  مع أن طريقة تحديد الهيستوغرام تستخدم دالتي تحويل T(r) متبوعةً بـ ( $G^{-1}(s)$  فهي مسألة بسيطة أن ندمج كلا من خطوتي التحسين في دالة واحدة تعطي السويات المرغوبة بدءا من عناصر الصورة الأصلية. لدينا من المناقشة المذكورة أعلاه أن

$$z = G^{-1}(s) (12-2.4)$$

ان تعويض المعادلة (2.4 - 5) في المعادلة (2.4 - 12) يعطى دالة التحويل المدموج

$$z = G^{-1}[T(r)] (13-2.4)$$

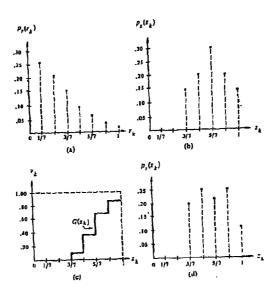
الذي يربط z بـ z يلاحظ أنه عندما تكون T(r)-T(r) ، تختصر هذه الصيغة إلى تسوية الهيستوغرام.

ان المعنى المتضمن في المعادلة (2.4–13) هو ، ببساطة، لاحاجة لأن تكون الصورة قد سوى هيستوغرامها صراحة. كل ماهو مطلوب أن تحدد T(r) وتدمج مع دالة التحويل العكسي  $G^{-1}$ . ان المشكلة الحقيقية في استعمال الطريقة السابقة من أجل المتحولات المستمرة تكمن في الحصول على الدالة العكسية تحليليا. في الحالة المتقطعة يمكن التغلب على هذه المشكلة مستفيدين من حقيقة أن عدد السويات الرمادية المميزة صغير نسبيا عادة، ويصبح بالتالي حساب وتخزين تحويل mapping لكل قيمة عنصر ممكنة، أمرا معقولا. ان تشكيل تقنية تحديد — الهيستوغرام يشابه للعادلتين (2.4–8) و (2.4–9)، كما هو موضح في المثال التالي.

مثال: تأمل قيم الصورة التي فيها 8 - سويات رمادية وأبعادها 64×64 التي استعملت في المثال الثاني في القسم 2.2.4 . ان هيستوغرام هذه الصورة مبين ثانية في الشكل (a)10.4 لتسهيل الرجوع إليه. يرغب في تحويل هذا الهيستوغرام بجيث يصبح له الشكل المبين في الرسم التوضيحي 10.4(b). ان قيم الهيستوغرام المحدد مسجلة في الجدول 2.4

الجدول 2.4

z <sub>k</sub>	$p_z(z_k)$
$z_0 = 0$	0.00
$z_1 = 1/7$	0.00
$z_2 = 2/7$	0.00
$z_3 \approx 3/7$	0.15
$z_A = 4/7$	0.20
$z_{5} = 5/7$	0.30
$z_{5} = 6/7$	0.20
$z_{j} = 1 +$	0.15



الشكل 10.4 توضيح طريقة توصيف-الهيستوغرام. (a) هيستوغرام أصلي. (b) هيستوغرام موصّف. (c) دالة تحويل. (d) الهيستوغرام الناتج.

ان الخطوة الاولى في الاجراء هي الحصوصول على تحويلات عملي على الحدول 3.4. تسوية الهيستوغرام. هذا ماكان قد تم في القسم 2.2.4 والنتائج مبينة في الحدول 3.4. بعد ذلك نحسب دالة التحويل باستعمال المعادلة (2.4-9):

$$\nu_k = G(z_k) = \sum_{j=0}^k p_z(z_j)$$

## وهذا يعطي القيم التالية

$$\nu_0 = G(z_0) = 0.00$$
 $\nu_4 = G(z_4) = 0.35$ 
 $\nu_1 = G(z_1) = 0.00$ 
 $\nu_5 = G(z_5) = 0.65$ 
 $\nu_2 = G(z_2) = 0.00$ 
 $\nu_6 = G(z_6) = 0.85$ 
 $\nu_3 = G(z_3) = 0.15$ 
 $\nu_7 = G(z_7) = 1.00$ 

الجدول 3.4

$r_f \rightarrow s_k$	$n_{k}$	$p_s(s_k)$
$r_0 \rightarrow s_0 = 1/7$	790	0.19
$r_1 \rightarrow s_1 = 3/7$	1023	0,25
$r_2 \rightarrow s_2 = 5/7$	850	0.21
$r_3, r_4 \rightarrow r_3 = 6/7$	985	0.24
$r_5, r_6, r_7 \rightarrow s_4 = 1$	448	0.11

# ان دالة التحويل مبينة في الشكل 10.4 (c).

للحصول على قيم z نطبق معكوس التحويل G الذي حصلنا عليه أعلاه على السويات  $s_k$  المسواة بطريقة تسوية—الهيستوغرام. ولأننا نتعامل مع قيم منفصلة، يجب عادة أن نجري تقريبا في التحويل mapping العكسي. مثلا، ان أقرب نظير ل  $G(z_0)=0.15$  هو  $G(z_0)=0.15$  أو باستعمال التحويل العكسي  $g_0=0.15=0.15$ . وهكذا فان  $g_0=0.15=0.15$  السوية  $g_0=0.15=0.15$  التحويلات التحويلات التالية:

$$s_0 = 1/7 \rightarrow z_3 = 3/7$$

$$s_1 = 3/7 \rightarrow z_4 = 4/7$$

$$s_2 = 5/7 \rightarrow z_5 = 5/7$$

$$s_3 = 6/7 \rightarrow z_6 = 6/7$$

$$s_4 = 1 \rightarrow z_7 = 1$$

كم أشرنا في المعادلة (2.4-13). يمكن دمج هذه النتائج مع نتائج تسوية الهيستوغرام لاعطاء التحويلات mappings المباشرة التالية:

$$r_0 = 0$$
  $\to z_3 = 3/7$   $r_4 = 4/7 \to z_6 = 6/7$   
 $r_1 = 1/7 \to z_4 = 4/7$   $r_5 = 5/7 \to z_7 = 1$   
 $r_2 = 2/7 \to z_5 = 5/7$   $r_6 = 6/7 \to z_7 = 1$   
 $r_3 = 3/7 \to z_6 = 6/7$   $r_7 = 1$   $\to z_7 = 1$ 

ان اعادة توزيع عناصر الصورة وفقا لهذه التحويلات والتقسيم على n-4096 يعطي الهيستوغرام المبين في الشكل 10.4. القيم مدونة في الجدول 4.4.

الجدول 4.4

z <sub>k</sub>	$n_{k}$	$p_z(z_k)$
$z_0 = 0$	0	0.00
$z_1 = 1/7$	0	0.00
$z_2 = 2/7$	. 0	0.00
$z_3 = 3/7$	790	0.19
$z_4 = 4/7$	1023	0.25
$z_5 = 5/7$	850	0.21
$z_6 = 6/7$	985	0.24
<b>2</b> <sub>7</sub> = 1	448	0.11

لاحظ أن الهيستوغرام الناتج ليس مشابها تماما للشكل المرغوب، على الرغم من أن كلا من القيم المحددة كانت قد ملئت. كما في حالة تسوية الهيستوغرام، نتج الحطأ لأن التحويل مضمون أن يعطي نتائج دقيقة في الحالة المستمرة فقط. ومع نقصان عدد السويات يميل الخطأ بين الهيستوغرامات المحددة والناتجة الى الزيادة. ولكن، كما سنرى

أدناه، يمكن الحصول على نتائج تحسين مفيدة جدا حتى بالتقريب الى الهيستوغرام المزغوب.

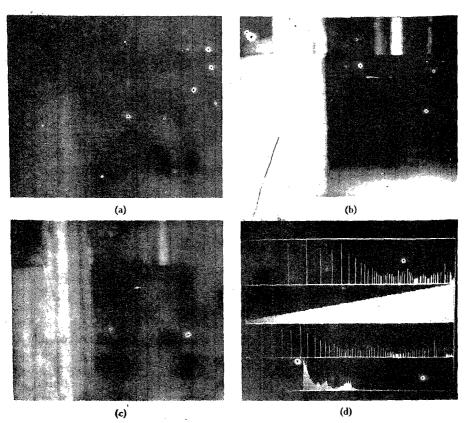
في الواقع العملي، التحويل العكسي من z الى z ليس غالبا وحيد—القيمة. ينشأ هذا الوضع عندما توجد سويات غير مملوءة في الهيستوغرام المحدد (مما يبقي دالة التوزيع التراكمي CDF ثابتة على طول الفواصل غير المملوءة)، أو في عملية تدوير  $G^{-1}(s)$  الى السوية الأقرب المسموح بها، كما فعلنا في المثال المشروح أعلاه. بشكل عام، ان أبسط حل لهذه المشكلة هو أن ننسب السويات بطريقة تجعلها تماثل سويات الهيستوغرام المعطى قدر الامكان.

ان الصعوبة الرئيسة في تطبيق طريقة تحديد الهيستوغرام على تحسين الصورة تكمن في أن نكون قادرين على بناء هيستوغرام ذي معنى. نورد فيا يلي حلين لهذه المشكلة: الأول أن نحدد دالة كثافة احتال معينة، أي (غوصي Gausian أو Rayleigh أو log-normal إلح...)، وبعدئذ نشكل هيستوغراما برقمنة الدالة المعطاة. الحل الثاني يتألف من تحديد شكل الهيستوغرام بواسطة جهاز رسم (مثل الشاشة النفاعلية أو لوحة رسم) يغذي خرجه المعالج الذي يقوم بتنفيذ خوارزمية تحديد الهيستوغرام.

مثال: كتوضيح عملي لأسلوب التحديد المباشر للهيستوغرام، تأمل الشكل 11.4(a) يبين الذي يبين غرفة شبه مظلمة منظورا اليها من جهة الباب. الشكل 6)11.4 يبين الصورة التي سوي هيستوغرامها، والشكل 6)11.4 هو نتيجة طريقة التوصيف المباشر للهيستوغرام التفاعلية.

الهيستوغرامات مبينة في الشكل 11.4(d) الذي يحتوي، من الأعلى إلى الأسفل، الهيستوغرام الأصلي فالمسوى فالمحدد فالناتج.

لاحظ أن تسوية الهيستوغرام قد انتجت صورة كان تباينها عاليا نوعا ما، في حين أن النتيجة المبينة في الشكل 11.4(c) لها مظهر أكثر توازنا.



الشكل 11.4 توضيع طريقة التوصيف المباشر للهيستوغرام . (a) صورة أصلية. (b) صورة سوي هيستوغرامها. (c) صورة حسنت بتوصيف الهيستوغرام . (b) الهيستوغرامات.

ان طريقة التوصيف المباشر للهيستوغرام يمكن أن تعطي نتائج أفضل من طريقة تسوية الهيستوغرام، و ذلك بسبب مرونتها.

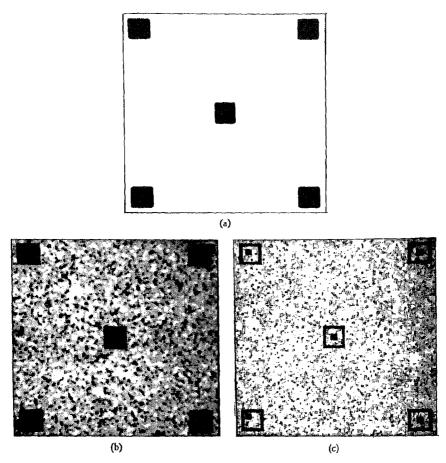
# 4.2.4 التحسين الموضعي 4.2.4

ان الطرائق التي نوقشت في القسمين السابقين هي طرائق اجمالية global ، بمعنى أن عناصر الصورة تعدل بواسطة دالة تحويل مبنية على توزيع السويات الرمادية في الصورة بأكملها. في حين أن هذا الأسلوب الاجمالي ملائم من أجل تحسين اجمالي،

من الضروري غالبا تحسين التفاصيل ضمن مناطق صغيرة. ولأن عدد العناصر في هذه المناطق يمكن أن يكون له تأثير مهمل على حساب تحويل شامل، فان استعمال هذا النوع من التحويل لايضمن بالضرورة التحسين الموضعي المرغوب. الحل هو أن نستنبط دوال تحويل مبنية على توزيع السويات—الرمادية، أو خصائص أخرى، في جوار كل عنصر صورة في الصورة المعطاة.

ان تقنيات معالجة - الهيستوغرام التي طورت في القسمين السابقين قابلة للتكيف مع التحسين الموضعي. الاجراء هو أن نعرف جوارا أبعاده mxm ونحرك مركز هذه المساحة من عنصر صورة لآخر. في كل موضع، نحسب الهيستوغرام لله mx نقطة في الجوار ونحصل اما على دالة تحويل تسوية الهيستوغرام أو على دالة تحويل توصيف الهيستوغرام . هذه الدالة تستعمل في النهاية لتحويل map سوية عنصر صورة الصورة الواقع في مركز الجوار. يحرك مركز المنطقة عندئذ الى موقع عنصر صورة مجاور ويعاد الاجراء. نظرا لأن عمودا واحد أو صفا واحدا فقط من الجوار يتغير خلال نقل المنطقة من عنصر لآخر، يمكن أن يحدث علما عليه من الموقع السيابق بالمعطيات الجديدة التي تظهر عند كل خطوة حركة. ان لهذا الأسلوب مزايا واضحة على طريقة الحساب المتكرر للهيستوغرام لجميع اله mxn المنصر كل مرة تحرك فيها المنطقة بمقدار عنصر واحد. يوجد أسلوب آخر يستخدم غالبا لتخفيض زمن الحساب وهو استخدام مناطق غير متراكبة، ولكن هذا سينتج أثر وقعة الداما تحذيك، ولكن هذا سينتج أثر

مثال: الشكل 12.4 يبين توضيحا لتسوية الهيستوغرام الموضعي مع تحريك الجوار من عنصر الى عنصر الجزء (a) من هذا الشكل يبين صورة قد غبشت قليلا لتخفيض محتواها من الضحيج (انظر القسم 13.4). الشكل 12.4(d) يبين نتيجة تسوية الهيستوغرام الاجمالي global. كما هي الحالة غالبا عندما تطبق هذه التقنية لتنعيم مناطق مشوبة بالضجيج، يبين الشكل 12.4(d) تحسينا هاما للضجيج، مع ازدياد بسيط في التباين. لكن لاحظ أنه لايوجد أية تفاصيل بنيوية أظهرت بهذه الطريقة. من جهة



الشكل 4.12٪ (a) صورة أصلية. (b) نتيجة تسوية الهيستوغرام الإجمالي. (c) نتيجة تسوية الهيستوغرام الموضعي باستعمال جوار أبعاده 7×7 حول كل عنصر (عن Fu, Gonzalez and Lee 1987).

أخرى، أظهر تحسين الهيستوغرام الموضعي باستعمال جوار قياسه 7×7 وجود المربعات الصغيرة داخل المربعات الأكبر العاتمة, لقد كانت المربعات الصغيرة قريبة جدا في سويتها الرمادية وصغيرة جدا بحيث لاتؤثر على تسوية الهيستوغرام الكلي بشكل هام. ومهم أن نلاحظ أيضا بنية الضجيج الأدق في الشكل 1.2.4(٥)، نتيجة للمعالجة الموضعية في جوارات صغيرة نسبيا.

قبل الانتقال من هذا القسم نشير الى أنه يمكن أن نبني تحسينا موضعيا على خصائص أخرى لشدات العناصر في جوار ما، بدلا من استعمال الهيستوغرامات. ان وسطي mean الشدة و تفاوتها variance (أو انحرافها المعياري standard deviation ) هما خاصتان من هذه الخصائص التي تستعمل كثيرا بسبب صلتها الوثيقة مع مظهر الصورة. أي، الوسطى هو قياس لمتوسط اللمعان والتفاوت هو مقياس للتباين.

يوجد تحويل موضعي نموذجي مبني على هذه المفاهيم يحيل maps شدة صورة دخل (f(x,y) الى صورة جديدة (g(x,y) باجراء التحويل التالي عند موقع كل عنصر (f(x,y):

$$g(x, y) = A(x, y) \cdot |f(x, y) - m(x, y)| + m(x, y), \qquad (14-2.4)$$

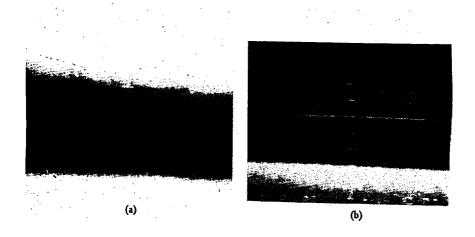
حىث

$$A(x, y) = k \frac{M}{\sigma(x, y)}$$
  $0 < k < 1$ . (15-2.4)

و  $\sigma(x, y)$  هما الوسطي و الانحراف المعياري للسوية الرمادية محسوبان في جوار مركزه في  $\sigma(x, y)$  و M هي الوسطي الاجمالي لـ f(x, y) و M هي المدى المشار إليه أعلاه.

من المهم أن نلاحظ أن A و m و  $\alpha$  هي كميات متحولة تعتمد على جوار له f(x, y) على الفرق بين f(x, y) و الوسطي الموضعي النصعي local mean يضخم التغيرات الموضعية. ولأن A(x, y) تتناسب عكسا مع الانحراف المعياري للشدة، فان المناطق ذات التباين المنخفض تتلقى ربحا أكبر. لقد أعيدت اضافة الوسطي الى المعادلة (2.4-1) لاستعادة متوسط سوية شدة الصورة في المنطقة الموضعية. في الواقع العملي، يرغب غالبا باضافة جزء من الوسطي الموضعي وحصر تغيرات A(x, y) بين الحدين A(x, y) لموازنة انحرافات الشدة المحكيرة في المناطق المعزولة.

مثال: لقد تم تنفيذ أسلوب التحسين السابق بالكيان الصلب hardware من قبل ناريندرا وفيتش Narendra and Fetch 1981 وكانت له المقدرة على معالجة الصور في الزمن الحقيقي (أي 30 اطار صورة/ثانية). الشكل 13.4 يبين مثالا لمقدرة هذه التقنية باستعمال منطقة موضعية من مرتبة 15×15 عنصر صورة.



الشكل 13.4 صبورة قبل وبعد التحسين الموضعي (عن Narendra and Fetch 1981 )

# 3.4 تنعيم الصورة Image Smoothing

ستعمل عمليات التنعيم في الأصل الاضعاف الآثار الزائفة التي يمكن أن تكون موجودة في الصورة الرقمية كنتيجة لنظام اعتيان رديء أو قناة اتصال رديئة. نهتم في هذا القسم بتقنيات التنعيم في كلا المجالين الحيزي والترددي.

### Neighborhood Averaging توسيط الجوار 1.3.4

ان توسيط الجوار تقنية مجال – حيزي مباشرة لتنعيم الصورة. فاذا كان لدينا صورة (x, y) أبعادها x, فان اجراء التوسيط هو توليد صورة منعمة (x, y) يتم الحصول على سويتها الرمادية عند كل نقطة (x, y) بأخذ متوسط قيم السويات الرمادية ألعناصر x المحتواة في جوار لـ (x, y) محدد مسبقا. بكلمات أخرى، يتم الحصول على الصورة المنعمة باستعمال العلاقة

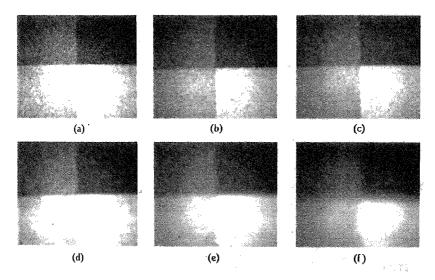
$$g(x,y) = \frac{1}{M} \sum_{(n,m) \in S} f(n,m)$$
 (1-3.4)

مثال: الشكل 14.4 يوضح أثر التنعيم الناتج عن توسيط الجوار. الشكل 14.4(a) حتى صورة بسيطة فيها أربع سويات رمادية أفسدت بالضجيج. الأشكال 14.4(d) حتى (f) هي نتائج معالجة الصورة المشوبة بالضجيج بجوارات قياسها nxn ، و n تساوي 3 و 5 و 9 و 15 ، على التوالي. يلاحظ أن درجة التغبيش تتناسب بشكل مطرد مع قياس الجوار المستعمل.

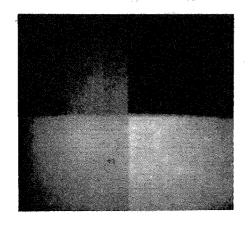
من أجل جوار معين، يمكن تخفيض أثر التغبيش الناتج عن توسيط الجوار و ذلك باجراء تعتيب thresholding، أي، بدلا من استعمال المعادلة g(x,y) وفق المعيار التالى:

$$g(x,y) = \begin{cases} \frac{1}{M} \sum_{(m,n) \in S} f(m,n) & \text{if } \left| f(x,y) - \frac{1}{M} \sum_{(m,n) \in S} f(m,n) \right| > T \\ f(x,y) & \text{otherwise} \end{cases}$$
 (2-3.4)

حبث ان T هي عتبة محددة غير سالبة. ان الدافع لهذا الأسلوب هو تخفيض التغبيش بترك مناطق الصورة ذات الاختلافات الكبيرة (مقارنة مع T) في السوية الرمادية بدون تغيير. عموما، نتوقع أن تقابل هذه الاختلافات الحواف، ولذلك فان استعمال المعادلة (-3.4) سيخفض درجة تغبيش الحواف. أما المناطق الأخرى من الصورة فتعالج كاشرحنا في السابق.



مثال: الشكل 15.4 يبين نتيجة معالجة صورة الشكل 14.4 (a) بالمعادلة (2-3.4). لقد استعمل في هذه الحالة جوار قياسه  $9 \times 9$  و عتبة T=10. نلاحظ بمقارنة هذه النتيجة مع الشكل 15.4) أن الحدود بين المربعات الأربعة أكثر حدة في الشكل 15.4 ، على الرغم من أن تنعيا مكافئا قد تم الحصول عليه باستعمال عتبة.



الشكل 15.4 صورة منعمة تم الحصول عليها بمعالحة الشكل 4.1(d) بالمعادلة (3.4-2) باستعمال جوار 9×9 و عتبة 10-7. قارن مع الشكل 4.1(d)).

# 2.3.4 الترشيح الأوسطي Median Filtering

إن إحدى الصعوبات الرئيسة للطريقة التي نوقشت في القسم السابق هي أنها تغبش الحواف والتفاصيل الحادة الأخرى. على الرغم من أنه يمكن التغلب على هذه المشكلة باستعمال عتبة، فان اختيار هذه العتبة يعتمد الى حد كبير على التجربة والخطأ. ان استعمال المراشيح الأوسطية median filters هو أحد الأساليب البديلة التي نستبدل فيها السوية الرمادية لكل عنصر صورة بالقيمة الأوسطية للسويات الرمادية في جوار ذلك العنصر، بدلا من المتوسط. ان هذه الطريقة فعالة خصيصا عندما يتألف نمط الضجيج من مركبات قوية ذات نتوءات مدببة وحيث تكون الحواص التي يتألف نما ظعلها هي حدة الحواف.

تذكر أن أوسطي مجموعة قيم m يكون في وسطها، أي ان نصف هذه القيم أصغر من m والنصف الآخر أكبر من m، و لكي نجري الترشيح الأوسطي في جوار عنصر، نقوم أولا بفرز قيم العنصر وجيرانه، ونحدد أوسطيها و ننسب هذه القيمة الى العنصر. فعلى سبيل المثال، الأوسط في جوار أبعاده 3×3 هو خامس أكبر قيمة، وفي جوار أبعاده 5×5 ، هو القيمة الثالثة عشرة الأكبر، وهكذا. عندما تتساوى عدة قيم في نفس الجوار، نجمع جميع القيم المتساوية كايلي: افترض أن جوارا أبعاده 3×3 فيه القيم التالية

(10, 20, 20, 20, 15, 20, 20, 20, 10). تفرز هذه القيم كإيلي:

(10, 15, 20, 20, 20, 20, 20, 20) ، مما يعطي حدا أوسطا مقداره 20. ان القليل من التفكير يظهر أن الوظيفة الرئيسة للترشيح الأوسطي هي اجبار النقاط التي لها شدات مميزة جدا، أن تكون أكثر شها بجيرانها، وهكذا نحذف فعليا الشدات الحادة (الناتئة) التي تظهر معزولة في منطقة نافذة المرشاح.

مثال: الشكل 16.4 (a) يبين صورة أصلية، والشكل 1604 (b) يبين نفس الصورة ولكن 20٪ من العناصر قد أنسدت بضجيج "نبضي". ان نتيجة توسيط الجوار ضمن منطقة أبعادها 5×5 مبينة في الشكل 16.4 (c) ونتيجة مرشاح أوسطي أبعاده 5×5 مبينة في الشكل 16.4 (d). ان تفوق المرشاح الأوسطي على توسيط الجوار لايحتاج الى

شرح. ان النقاط اللامعة الباقية في الشكل 16.4 (d) نتجت عن التركيز الكبير للصحيح عند تلك النقاط ممايؤدي إلى انحياز حساب الأوسط. ان المرور على الصورة مرتين أو ثلاثة بمرشاح أوسطى سيؤدي الى حذف هذه النقاط.



الشكل 16.4 (a) صورة أصلية. (b) الصورة وقد أفسدت بضجيج نبضي. (c) نتيجة توسيط الجوار ضمن نافذة 5x5 نافذة 5x5 (d) . 5x5 (e) نتيجة الترشيح الأوسطي ضمن نافذة 5x5 (e) نتيجة الترشيح الأوسطي ضمن نافذة (e) (باذن من Martin Connor, Texas Instruments Inc., Lewisville, Txt ).

#### 3.3.4 ترشيح التمرير المنخفض Lawpass Filtering

ان الحواف والانتقالات الحادة الأخرى (مثل الضجيج) في السويات الرمادية لصورة ما تشارك بشكل كبير في محتوى التردد العالي لتحويل فورييه لها. وينتج بالتالي أن التغييش يمكن الحصول عليه عن طريق المجال الترددي بتخميد مدى محدد من مركبات التردد العالى في تحويل صورة ما.

من المعادلة (5-1.4) لدينا العلاقة 
$$G(u,v)=H(u,v)F(u,v) \eqno(3-3.4)$$

حيث ان F(u, v) هو تحويل الصحورة التي نريد تنعيمها. المشكلة هي اختيار دالة F(u, v) نعطي F(u, v) بتخميد مركبات التردد العالي لا F(u, v) التحويل العكسي لا F(u, v) سيعطي عندئذ الصورة المنعمة المرغوبة F(x, v) ولأن مركبات التردد العالي قد رشحت والمعلومات في مدى التردد المنخفض قد مررت بدون تخميد، فان هذه الطريقة تعرف بشكل شائع بترشيح التمرير المنخفض lawpass filtering. يشار الى النالة تعرف بشكل شائع بترشيح التمرير المنخفض بلاشاح filter transfer function. سنناقش عدة أساليب لترشيح التمرير المنخفض في الفقرات التالية. في جميع الحالات، المراشيح هي دوال تؤثر على المركبات الحقيقية والتخيلية لتحويل فوربيه للصورة بنفس الطريقة تماما. يشار الى هذا النبوع من المراشيح بد المراشيح عديمة انزياح الطسور يشرب الى هذا النبوع من المراشيح بد المراشيح عديمة انزياح الطسور يشرب لا هذا النبوع من المراشيح بد المراشيح عديمة انزياح الطسور

## المرشاح المثالي Ideal Filter

إن مرشاح التمرير المنخفض المثالي ثنائي—الأبعاد (ILPF) هو مرشاح تحقق دالة تحويله العلاقة

$$H(u, v) = \begin{cases} 1 & \text{if } D(u, v) < D_0 \\ 0 & \text{if } D(u, v) > D_0 \end{cases}$$
 (4-3.4)

حيث ان  $D_0$  كمية محددة غير سالبة و D(u,v) هي المسافة من النقطة (u,v) الى مبدأ المستوي الترددي، أي

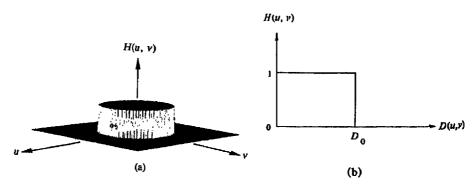
$$D(u, v) = \{u^2 + v^2\}^{1/2}$$
 (5-3.4)

الشكل 17.4 (a) يبين رسما منظوريا ثلاثي— الأبعاد له H(u,v) مقابل v و v. ان الاسم مثالي v يأتي من حقيقة أن جميع الترددات داخل دائرة نصف قطرها v عرر بدون تخميد، في حين أن جميع الترددات خارج هذه الدائرة تخمد تماما.

ان مراشيح الترير المنخفض المدروسة في هذا الفصل متناظرة نصف قطريا حول المبدأ. يكفي لهذا النوع من المراشيح تحديد مقطع عرضي يمتد كدالة للمسافة من المبدأ على طول خط نصف قطري، كما هو مبين في الشكل 17.4(d). بعدئذ، يمكن توليد دالة لتحويل المرشاح بتدوير المقطع العرضي 360 درجة حول المبدأ. ويجب أن يلاحظ أيضا أن مواصفات specification المراشيح المتناظرة نصف قطريا المركزة على مربع تردد أبعاده N×N مبنية على افتراض أن مبدأ تحويل فورييه قد مُركز على المربع، كما ناقشنا في القسم 2.3.3.

من أجل مرشاح التمرير المنخفض المثالي، تدعى غالبا نقطة الانتقال بين من أجل مرشاح التمرير المنخفض المثالي، تدعى غالبا نقطة الانتقال بين H(u,v)-0 و H(u,v)-1 و H(u,v)-0 و H(u,v)-1 و H(u,v)-0 و H(u,v)-1 و H(u,v)-1 المثال، تردد القطع هو H(u,v)-1 مع دوران المقطع العرضي حول المبدأ، ترسم النقطة H(u,v)-1 ونحصل على المحل الهندسي لترددات القطع التي تقع جميعها على مسافة H(u,v)-1 من المبدأ. كما سنرى أدناه، ان مفهوم تردد القطع مفيد جدا في تحديد خواص مرشاح معين ويخدم أيضا كقاعدة عامة لمقارنة سلوك أنواع مختلفة من المراشيح.

لايمكن عمليا تحقيق ترددات القطع الحادة لمرشاح التمرير المنخفض المثالي بواسطة العناصر الألكترونية، على الرغم من أنه يمكن بالطبع محاكاتها في الحاسوب. سنناقش أثر استعمال هذه المراشيح غير الفيزيائية على الصورة الرقمية بعد هذا المثال.



الشكل 17.4 (a) رسم منظوري لدالة تحويل مرشاح ترددات منخفضة. (b) مقطع عرضمي للمرشاح.

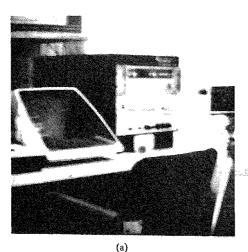
مثال: ستستعمل الصورة التي أبعادها 256×256 والمبينة في الشكل 18.4(a) لتوضيح جميع مراشيح التمرير المنخفض المناقشة في هذا القسم. ستتم مقارنة أداء هذه المراشيح باستخدام نفس المحلات الهندسية لترددالقطع. إن إحدى الطرق لتأسيس مجموعة من المحلات الهندسية المعيارية هي الدوائر التي تحصر كميات متنوعة من قدرة الاشارة الكلية  $P_T$ . يتم الحصول على هذه الكمية بجمع القدرة عند كل نقطة (u,v) من أجل (u,v) من أجل (u,v) أي

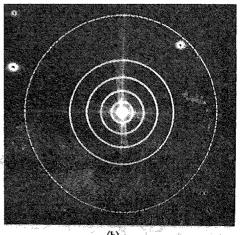
$$P_T = \sum_{u=0}^{N-1} \sum_{v=0}^{N-1} P(u, v),$$

حيث ان P(u, v) تعطى بالمعادلة (1.3-13). بافتراض أن التحويل قد تمت مركزته، فان دائرة بنصف قطر r ومبدؤها في مركز مربع التردد تحصر ho بالمائة من القدرة أي

$$\beta = 100 \left[ \sum_{u} \sum_{v} P(u, v) / P_{T} \right]$$

والجمع يجرى على قيم (u. v) التي تقع داخل الدائرة أو على حدودها.

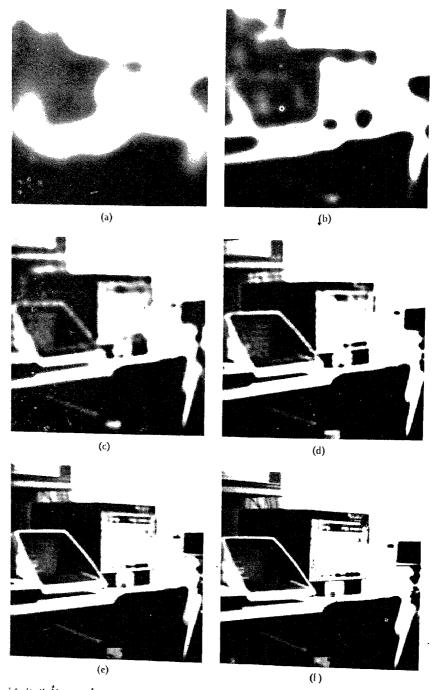




الشكل 18.4 (a) صسورة أبعادها 256×256 ، و (b) طيف فورييه لها. إن الدوائر المتراكبة (الموضعة فوق بعضها) والتي أنصاف أقطارها تساوي 5 و 11 و 22 و 36 و 53 و 98 تحصر على التوالي، 90 و 95 و 98 و 99 و 9.99 بالمائة من قادرة الصورة.

الشكل 18.4(d) يسين تحويل فوريسه للشكل 18.4(a). ان الدوائر المتراكبة والتي أنصاف أقطارها 5 و 11 و 22 و 36 و 53 و 98 ، تحصر  $\alpha$  بالمئة من القدرة من أجل  $\alpha$  تساوي 90 و 95 و 98 و 99 و 99.5 و 99 و 99.5 على التوالي. يلاحظ أن طيف القدرة يتناقص نوعا ما بسرعة، و أن 90% من الطاقة الكلية محصورة بدائرة ذات نصف قطر صغير نسبيا يساوي 5. ولأننا نتعامل مع صورة أبعادها 256×256 وتحويل فورييه لها قد تمت مركزته، فان دائرة نصف قطرها (128)  $\alpha$ 0 ستحصر 100% من الطاقة.

الذكورة أعلاه، مبينة في الشكل 19.4. الجزء (a) من هذا الشكل عديم الفائدة من المذكورة أعلاه، مبينة في الشكل 19.4. الجزء (a) من هذا الشكل عديم الفائدة من أجل جميع التطبيقات العملية. ان التغبيش الحاد في هذه الصورة دلالة واضحة عل أن معظم معلومات الحواف في الصورة محتواة ضمن العشرة بالمائة من الطاقة المزالة بواسطة المرشاح. بزيادة نصف قطر المرشاح، تنقص، طبعا، درجة التغبيش. ولكن من المهم أن نلاحظ أن جميع الصور المرشحة تتصف بذبذبات طفيلية متخامدة "ringing" كثيرة. هذه الظاهرة المشروحة أدناه بادية للعيان حتى في الشكل 19.4(f)



الشكل 19.4 نتائج تطبيق مراشيح التمرير المنخفض على الشكل 18.4(a). لقد استعملت أنصاف الأنطار المبينة في الشكل 19.4 نتائج

يمكن أن تشرح خاصتا الذبذبات الطفيلية المتخامدة والتغبيش لمرشاح التمرير المنخفض المشالي ILPF ببساطة با للجوء الى نظرية الطي. نظراً لأن تحويلي فورييه للصورة الأصلية والمغبشة يرتبطان ببعضهما في المجال الترددي بالعلاقة

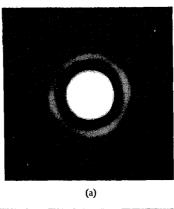
$$G(u, v) = H(u, v)F(u, v)$$

ينتج من هذه النظرية أن العلاقة التالية تصح في المجال الحيزي g(x,y) = h(x,y) \* f(x,y)

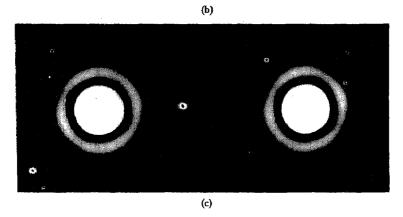
حيث ان h(x, y) هي تحويل فورييه العكسي لدالة تحويل المرشاح h(x, y). ان المفتاح لفهم التغبيش كعملية طي في المجال الحيزي يكمن في طبيعة h(x, y) ان h(x, y) ان h(x, y) المشكل العام المبين في الشكل\* h(x, y). افترض أن h(x, y) أجل مرشاح مثالي ILPF الشكل العام المبين في الشكل على خلفية سوداء، كما هو مبين في الشكل h(x, y). يمكن أن ننظر الى النقطتين اللامعتين كتقريب لنبضتين تعتمد الشكل h(x, y) هو ببساطة عملية شدتهما على لمعان هاتين النقطتين. عندئذ، طي h(x, y) و h(x, y) هو ببساطة عملية نسخ "copying" h(x, y) عند موضع كل نبضة، كما هو مبين في الشكل h(x, y)، نسخ "h(x, y) عند موضع كل نبضة، كما هو مبين في الشكل h(x, y)، توسع كيف تغبش النقطتان الأصليتان كنتيجة لطي h(x, y) مع دالة التغبيش h(x, y). توسع هذه المفاهيم الى صور أكثر تعقيدا وذلك باعتبار كل عنصر صورة نبضة تتناسب هذه المفاهيم الى صور أكثر تعقيدا وذلك باعتبار كل عنصر صورة نبضة تتناسب شدتها مع السوية الرمادية لعنصر الصورة.

يعتمد شكل h(x, y)على نصف قطر دالة المرشاح في المجال الترددي. ويمكن بحساب التحويل العكسي لـ H(u, v) من أجل مرشاح تمرير منخفض مثالي تبيان أن أنصاف أقطار الحلقات المتحدة المركز في h(x, y) تتناسب عكسا مع قيمة  $D_0$  في المحادلة (4-3.4). وهكذا يُنتج الترشيح الحاد في المجال الترددي (أي، اختيار  $D_0$  صغيرة) عدداً صغيراً نسبياً من الحلقات الواسعة في المنطقة التي أبعادها  $D_0$  من

<sup>\*</sup> يمكن أن يتحقق القارىء من هذا بأخذ تحويل فوربيه العكسي للمعادلة (3.4-4).







الشكل 20.4 توضيح عملية التغبيش في المجال الحيزي. (a) دالة التغبيش (h(x,y) لمرشاح تمرير منخفض مثالي. (b)صورة بسيطة مكونة من نقطتين لامعتين. (c) طي (h(x,y) و (x,y).

ومع زيادة  $D_0$  فإن عدد الحلقات في B(x, y) ومع زيادة  $D_0$  فإن عدد الحلقات في منطقة معينة يزداد، منتجا حلقات أقل تباعداً وبالتالي تغبيشا أقل. يمكن أن يلاحظ هذا الأثر بمقارنة الأشكال 19.4 (d) و (e). إذا كانت  $D_0$  خارج مجال الـ  $D_0$  لتعريف F(u, v) فان  $D_0$  فان  $D_0$  يصبح لها قيمة الوحدة  $D_0$  بالنطقة الحيزية  $D_0$  التابعة لها ويكون طي  $D_0$  في  $D_0$  ببساطة  $D_0$  ببساطة  $D_0$  هذا الوضع يقابل بالطبع، عدم الترشيح اطلاقا. ان الأثر الحيزي للمراشيح المناقشة أدناه يمكن أن يشرح بطريقة مشابهة لتلك التي شرحنا بها المرشاح المثالي.

## مرشاح بتروورث Betterworth Filter

تعرف دالة التحويل لمرشاح الترددات المنخفضة نوع بتروورث (BLPF) من المدرجة n و بمحل هندسي لترددات القطع على مسافة  $D_0$  من المبدأ بالعلاقة التالية .  $D_0$ 

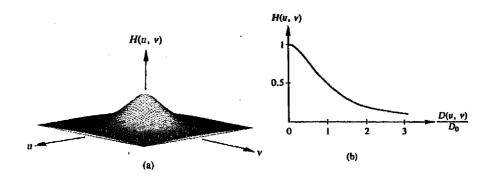
$$H(u, v) = \frac{1}{1 + \left[D(u, v)/D_0\right]^{2n}}$$
 (6-3.4)

حيث ان (u, v) تعطى بالمعادلة (3.4-5). يبين الشكل 21.4 رسما منظوريا ومقطعا عرضيا لدالة BLPF.

على خلاف ILPF، ليس لدالة تحويل مرشاح الترددات المنخفضة نوع بتروورث BLPF انقطاع حاد يشكل حدا فاصلا بين ترددات التمرير والقطع. من المعتاد من أجل مراشيح ذات توابع تحويل تدريجية smooth، أن نعرف محلا هندسيا لترددات القطع عند نقاط ينخفض عندها H(u,v) الى جزء من قيمته العظمى. نجد في حالة المعادلة (-3.4) أن -3.5 +3.5 (منخفضا -3.5 من قيمته العظمى) عندما تكون -3.5 -3.5 وهناك نقطة أخرى تستعمل بشكل شائع وهي -3.5 من القيمة المغطمى له -3.5 القيمة المرغوبة عندما تكون -3.5 القيمة المرغوبة عندما تكون -3.5

$$H(u, v) = \frac{1}{1 + [\sqrt{2} - 1][D(u, v)/D_0]^{2n}}$$

$$= \frac{1}{1 + 0.414[D(u, v)/D_0]^{2n}}$$
(7-3.4)

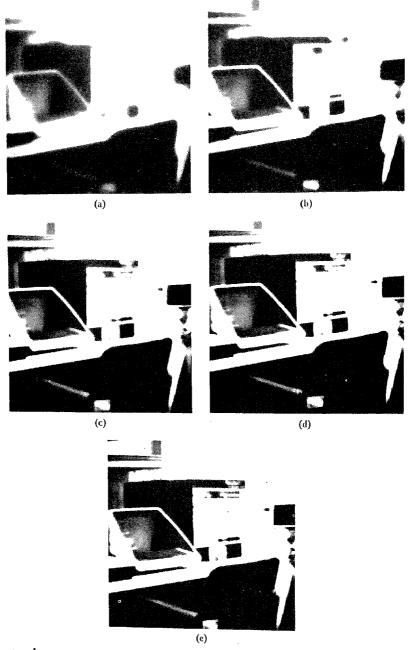


الشكل 21.4 مرشاح الترددات المنخفضة نوع بتروورث. (b) مقاطع عرضية نصف قطرية من أجل n-1.

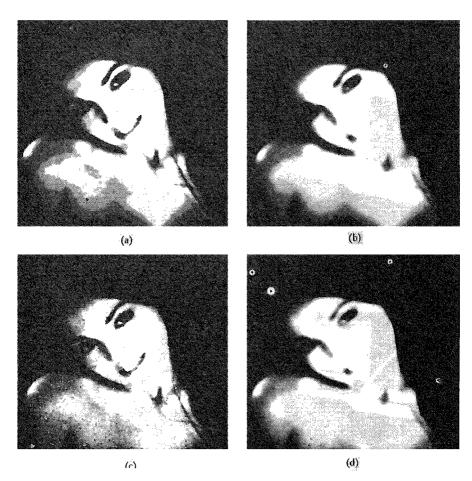
مثال: يبين الشكل 22.4 نتائج تطبيق مراشيح تمرير منخفض نوع بتروورث (المعادلة  $D_0$   $D_0$  على الشكل 18.4 (a) في حالة  $D_0$   $D_0$  تساوي أنصاف الأقطار الحمسة الأولى في الشكل 18.4 (b). لاحظ أن هذه الأشكال أقل تغبيشا من النتائج المقابلة والتي حصل عليها بتطبيق مرشاح التمرير المنخفض المثالي بشكل واضح. السبب هو أن الذيل "tail" في الـ BLPF يمرر كمية عالية الى حد ما من معلومات التردد العالي حافظا بهذا كمَّا أكبر من محتوى الحواف في الصورة. ومن المهم أيضا أن نلاحظ أنه لاتوجد ذبذبات طفيلية متخامدة  $D_0$  الانتقال التدريجي (الناعم) للمرشاح بين الترددات العالية والمنخفضة.

كا أشرنا في القسم 1.4 ، لقد تم الحصول على جميع نتائج الترشيح المعروضة في هذا القسم بالحساب المباشر له FFT بدون توسيع الصور لتجنب خطأ التغليف wraparound . كا هو مبين في الشكل 22.4 (e) ، هذا الخطأ ليس ملفتا للانتباه لأن الصورة أساسا بنفس نوعية الصورة الأصلية ، على الرغم من حقيقة أن الطبي قد تم مع مرشاح عريض. ان سبب هذا هو أن طيف f(x, y) ينخفض بسرعة ، و 90% من اطاقة الاشارة محتواة في دائرة نصف قطرها 5. لذلك فان مطال f(x, y) صغير نسبيا على جزء كبير من مستوي التردد ، وهذه القيم الصغيرة تخمد خطأ التغليف الذي يسببه التراكب في أدوار الطي. ان هذا السلوك نموذجي في الواقع العملي وغالبا ما يسمح لنا باهمال الخطأ الناتج في الطبي المتقطع عندما لاتتحقق قيود الدورية المفروضة بالمعادلتين باهمال الخطأ الناتج في الطبي المتقطع عندما لاتتحقق قيود الدورية المفروضة بالمعادلتين (3.3 – 33) .

مثال: ان نتائج ترشيح التريرالمنخفض التي أوردناها كانت حتى الآن لصور ذات نوعية جيدة لتوضيح ومقارنة أثر المراشيح المناقشة في هذا القسم. الشكل 23.4 يبين تطبيقين عمليين لترشيح التمرير المنخفض لتنعيم الصورة. لقد رقمنت الصورةالمبينة في الشكل 23.4(a) بست عشرة سوية رمادية فقط، ونتيجة لذلك، تظهر فيها كمية هامة من الكفافات contours الزائفة. الشكل 33.4(d) هو نتيجة تنعيم هذه الصور بمرشح بتروورث للتمرير منخفض من الدرجة 1. بشكل مشابه، يبين الشكل 23.4(d) أثر تطبيق مرشاح BLPF على الصورة المشوبة بالضجيج في الشكل 23.4(c). يلاحظ من هذه الأمثلة أن الترشيح المنخفض عملية تجميلية تخفض الآثار الزائفة على حساب حدة تفاصيل الصورة.



الشكل 22.4 نتائج تطبيق مراشيح بتروورث للترددات المنخفضة على الشكل 18.4(b). لقد استعملت أنصاف الأقطار الخمسة الأولى المبينة في الشكل 18.4(d).



الشكل 23.4 مثالان لتنعيم الصورة باستخدام ترشيح الترددات المنخفضة (انظر النص)

## 4.3.4 توسيط صور متعددة Averaging of Multiple Images

خذ بالاعتبار صورة مشوبة بالضجيج g(x, y) مشكلة باضافة ضجيج مشورة الأصلية f(x, y)، أي  $\eta(x, y)$ 

$$g(x,y) = f(x,y) + \eta(x,y)$$
 (8-3.4)

حيث يفترض أن الضيجيج عند كل زوج من الاحداثيات (x, y) غير مترابط وأن له قيمة متوسطة تساوي الصفر. ان الهدف من الاجراء التالي هو الحصول على نتيجة منعمة بجمع مجموعة محددة من الصور المشوبة بالضجيج.  $\{g_i(x, y)\}$ .

اذا حقق الضبحيج الشرطين اللذين وضعناهما للتو، تكون مسألة بسيطة  $\overline{g}(x, y)$  انظر Papoulis 1965) أن نبين أنه اذا شكلت الصورة ( $\overline{g}(x, y)$  بتوسيط M صورة مختلفة مشوبة بالضجيج،

$$\bar{g}(x,y) = \frac{1}{M} \sum_{j=1}^{M} g_j(x,y)$$
 (9-3.4)

ينتج عندئذ أن

$$E\{\bar{g}(x,y)\} = f(x,y)$$
 (10-3.4)

. 9

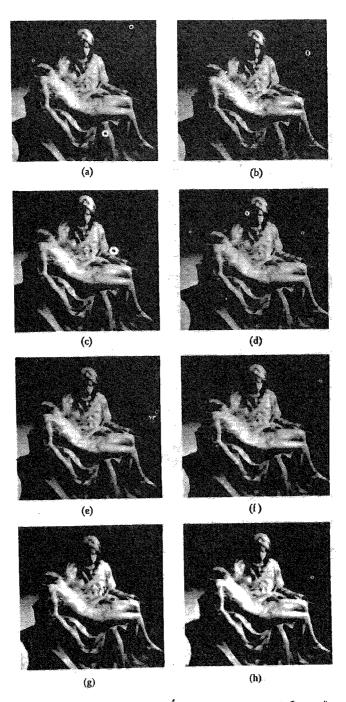
$$\sigma_{\bar{g}}^{2}(x,y) = \frac{1}{M} \sigma_{\eta}^{2}(x,y)$$
 (11-3.4)

 $\sigma_{\eta(x,y)}^2$  و  $\sigma_{\overline{g}(x,y)}^2$  و القيمسة المتسوقعسة ل  $\overline{g}$  و  $E\{\overline{g}(x,y)\}$  نا هما اختلافات g variances و g و المحميع عند الاحداثيات g variances المعياري عند أية نقطة من الصورة المتوسطة average image بالعلاقة

$$\sigma_{\tilde{g}(x,y)} = \frac{1}{\sqrt{M}} \sigma_{\eta(x,y)}$$
 (12-3.4)

تدل المعادلتان (3.4-11) و (3.4-12) على أن تغير قيم عنصر الصورة يتناقص مع زيادة M. ولأن f(x, y) = f(x, y)، ستقارب g(x, y) الصورة g(x, y) = f(x, y) مع زيادة عدد الصور المشوبة بالضجيج المستعملة في عملية التوسيط. في الواقع العملي، تكمن الصعوبة الرئيسة في استعمال هذه الطريقة في المقدرة على تسجيل الصور بحيث تتوضع عناصر الصور المتماثلة فوق بعضها تماما.

مثال: كتوضيح مطريقة التوسيط، تأمل الصور المبينة في الشكل 24.4. الجزء (a) من هذا الشكل يبين صورة أصلية، والجزء (b) هو نفس الصورة بعد أن أفسد كل عنصر بضجيج غوصي جمعي additive Gausian noise بوسطي يساوي الصفر وانحراف معياري يساوي 20. نظراً لأن القيم السالبة للعنصر غير مسموح بها فان أية سالبة بنتيجة اضافة الضجيج قد استبدلت ب $\bar{g}(x, y)$ . بهذا المعنى، يمكن



الشكل 24.4 التنعيم بمراكبة صور متعددة. (a) صورة أصلية. (b) صورة مشوبة بالضحيح، (c) حتى (h) نتائج حصل عليها بتوسيط 2 و 5 و 10 و 25 و 50 و 100 نسخة، على التوالي.

أن يعد الضجيج غوصيا بشكل تقريبي فقط. لم يكن التسجيل مشكلة في هذه الحالة لأن جميع الصور المشوبة بالضجيج كانت قد ولدت من نفس المصدر.

### 4.4 زيادة حدة تفاصيل الصورة Image Sharpening

ان تقنيات زيادة حدة التفاصيل مفيدة في الأصل كأدوات لابراز الحواف في الصورة. باتباع نفس الشكل العام الذي اتبعناه في القسم 3.4. سنعرض أدناه طرق زيادة حدة تفاصيل الصورة في كل من الجالين الحيزي والترددي.

# 1.4.4 زيادة حدة التفاصيل بالتفاضل

### Sharpening by Differentiation

لقد نوهنا في القسم 3.4 الى أن توسيط عناصر الصورة ضمن منطقة ما يؤدي الى تغبيش التفاصيل في الصورة المعالجة. ولأن التوسيط شبيه بالتكامل، فمن الطبيعي أن نتوقع أن يكون للتفاضل الأثر المعاكس وبالتالي سيزيد حدة تفاصيل الصورة المعالجة.

ان أكثر طرق التفاضل شيوعا في تطبيقات معالجة الصورة هي التدرج والمرق الدينا دالة f(x, y) بالمتجه واذا كان لدينا دالة f(x, y) يعرف تدرج f(x, y) عند الاحداثين والمتجه

$$\mathbf{G}[f(x,y)] = \begin{bmatrix} \frac{\partial f}{\partial x} \\ \frac{\partial f}{\partial y} \end{bmatrix}$$
 (1-4.4)

توجد خاصـــتـان هامتـان للتدرج هما: 1- يشـير المتجه| $G[f(x, y)] \in G[f(x, y)]$  باتجاه المعدل الأعظمي لتزايد الدالة  $(f(x, y)) \in G[f(x, y)]$  مطلى بالعلاقة التالية

$$G[f(x,y)] = \max[G] = \left[ \left( \frac{\partial f}{\partial x} \right)^2 + \left( \frac{\partial f}{\partial y} \right)^2 \right]^{1/2}$$
 (2-4.4)

يساوي المعدل الأعظمي لتزايدf(x, y) بوحدة المسافة في اتجاه G.

ان المعادلة (4.4 – 2) هي الأساس لعدد من أساليب مفاضلة الصورة. يلاحظ أن هذه الصيغة في شكل دالة اشتقاق ثنائية – الأبعاد وهي دوما موجبة. في الواقع العملي، يشار الى الدالة اللااتجاهية G[f(x,y)] بتدرج f. سيستعمل هذا الاصطلاح خلال المناقشة التالية لنتجنب الاشارة بشكل مستمر الى G[f(x,y)] بـ "مطال التدرج". ولكن يجب أن لايغيب عن ذهن القارىء الفرق الأساس بين المعادلتين المعادلتين (2-4.4)

من أجل الصورة الرقمية، تقرب المشتقات في المعادلة (4.4–2) الى الفروق. ويعطى أحد التقريبات النموذجية بالعلاقة

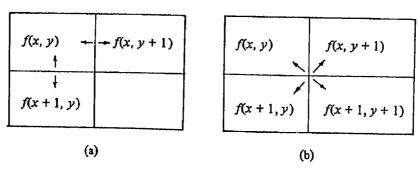
$$G[f(x,y)] \simeq [[f(x,y) - f(x+1,y)]^{2} + [f(x,y) - f(x,y+1)]^{2}]^{1/2}$$
(3-4.4)

يتم الحصول على نتائج مشابهة باستعمال القيم المطلقة، كايلي:

$$G[f(x,y)] \cong |f(x,y) - f(x+1,y)| + |f(x,y) - f(x,y+1)|$$
(4-4.4)

ان هذا التشكيل مرغوب أكثر من أجل تنفيذ حساب التدرج بواسطة الحاسوب. وهو أسهل أيضا للبرمجة بلغة التجميع assembly language اذا كانت سرعة الحساب مطلب أساسي.

إن العلاقة بين عناصر الصورة في المعادلتين (4.4-8) و (4.4-4) مبينة في الشكل 25.4 (a) 25.4 أخذ تدرج عناصر الصورة في الصورة في الصف الأخير (4.4) أو في العمود الأخير (4.4). اذا كانت صورة تدرج قياسها 4.4 مطلوبة، فان أحد الاجراءات الذي يمكن أن تتبع من أجل هذه المناطق هو تكرار التدرجات التي نحصل عليها في السطر السابق عندما تكون 4.4 و في العمود السابق عندما تكون 4.4



الشكل 25.4 اجراءان لحساب تدرج متقطع ثنائي-الأبعاد.

ان الترتيب المذكور أعلاه لتقريب التدرج ليس فريدا باي شكل من الأشكال. الله أحد التقريبات الأخرى المفيدة، والذي يدعى أحيانا تدرج روبرت Robert's ان أحد التقريبات الفروق المتصالبة المبينة في الشكل 25.4(٥). يعطى هذا التقريب

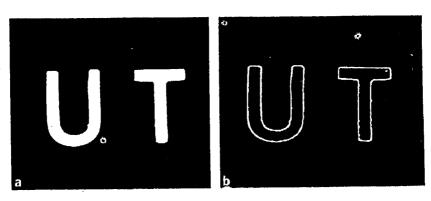
بالعلاقة التالية

$$G[f(x,y)] = [[f(x,y) - f(x+1,y+1)]^{2} + [f(x+1,y) - f(x,y+1)]^{2}]^{1/2}$$
(5-4.4)

أو، باستعمال القيم المطلقة،

$$G[f(x,y)] \simeq |f(x,y) - f(x+1,y+1)| + |f(x+1,y) - f(x,y+1)|$$
(6-4.4)

لاحظ أن التدرج يتناسب في جميع التقريبات المعطاة أعلاه مع الفرق في السوية الرمادية بين العناصر المتجاورة. وهكذا، كما توقعنا، يأخذ قيا عالية من أجل الحواف في الصورة، وقيا صغيرة نسبيا في المناطق المتجانسة smooth نسبيا، و لا يأخذ قيمة الصفر الا في المناطق التي لها سوية رمادية ثابتة. ان خصائص التدرج هذه موضحة في الشكل 26.4 مكونة من سويتين. كما هو في الشكل 26.4 (عيث استعملت المعادلة (4.4 مبين في الشكل 26.4 (عيث استعملت المعادلة (4.4 مبين في الشكل 26.4 الثابتة الى الصفر (الأسود) تاركة النقاط المصاحبة لتغيرات حادة في السوية الرمادية فقط (في هذه الحالة، حدود الحواف والبقعة الصغيرة في القسم اليميني العلوي من الحرف T).



الشكل 26.4(a) صورة ثنائية. (b) نتيجة حساب التدرج.

بعد أن يتم اختيار طريقة لتقريب التدرج، توجد طرق عديدة لاستعمال النتائج. لتوليد صورة التدرج (x, y)وان أبسط أسلوب هو أن نجعل قيمة g عند الاحداثيين (x, y) تساوي تدرج f عند تلك النقطة أي،

$$g(x, y) = G[f(x, y)]$$
 (7-4.4)

ان السيئة الرئيسة لهذه الطريقة هي أن جميع المناطق المتجانسة smooth في f(x,y) تظهر عاتمة في g(x,y) بسبب قيم التدرج الصغيرة نسبيا في هذه المناطق. ال أحد الحلول لهذه المسألة يكون بتشكيل g(x,y) كايل:

$$g(x,y) = \begin{cases} G[f(x,y)] & \text{if } G[f(x,y)] \ge T \\ f(x,y) & \text{otherwise} \end{cases}$$
 (8-4.4)

حيث ان T عتبة غير سالبة. باختيار T بشكل صحيح، يمكن التأكيد على الحواف الهامة بدون اتلاف خواص الخلفيات المتجانسة smooth. نعطي فيما يلي تغييرا لهذا الأسلوب باعطاء الحواف سوية رمادية محددة:

$$g(x,y) = \begin{cases} L_G & \text{if } G[f(x,y)] > T \\ f(x,y) & \text{otherwise} \end{cases}$$
 (9-4.4)

يرغب أحيانا بدراسة تغير السوية الرمادية للحواف بدون التداخل مع الخلفية. يمكن أن ينجز هذا بتشكيل تدرج الصورة كإيلي:

$$g(x,y) = \begin{cases} G[f(x,y)] & \text{if } G[f(x,y)] \ge T \\ L_B & \text{otherwise} \end{cases}$$
 (10-4.4)

حيث ان  $L_{
m B}$  هي سوية محددة للخلفية background. أخيرا، اذا كان يهمنا موضع الحواف فقط، فان العلاقة التالية

$$g(x,y) = \begin{cases} L_G & \text{if } G[f(x,y)] > T \\ L_B & \text{otherwise} \end{cases}$$
 (11-4.4)

تعطى صمورة تدرج ثنائية حيث تبين فيها الحواف والخلفية بأية سويتين رماديتين عددتين.

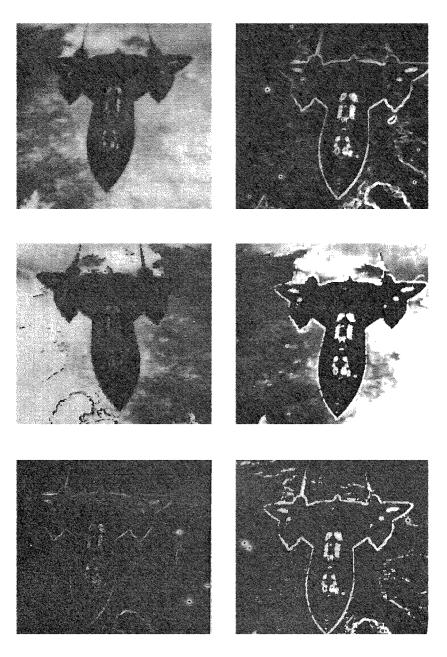
مثال: ان أنواع تحسين الحواف التي يمكن الحصول عليه باستعمال المعادلة (4.4-4) والمعادلات (4.4-7) حتى (4.4-11)، موضحة في الشكل 27.4. يبين الجزء (a) من الشكل صورة أصلية بتعقيد معتدل. الشكل 27.4(b) هو نتيجة استعمال برنامج التدرج المعطى بالمعادلة (4.4-7). لاحظ أن كمية هامة من الأجزاء الصغيرة ظهرت في الصورة الناتجة، وأن أقوى الشدات intensites تحدث حول حدود الطائرة. هذه نتيجة متوقعة لأن اتساع التدرج يتناسب مع التغيرات في السويات الرمادية ويجب أن يكون أكثر بروزا في مناطق الصورة التي تحتوي على حواف مميزة.

لقد تم الحصول على الشكل 27.4 (c) باستعمال المعادلة (4.4 - 8) مع قيمة العتبة 25 - T ، التي هي 10% من قيمة السويةالرمادية العظمى في الصورة الأصلية تقريبا. تظهر قيم التدرج ظلالا رمادية عاتمة لأنها أظهرت على خلفية الصورة الفاتحة نسبيا. ان النقاط الهامة التي يجب أن نلاحظها على هذا الشكل هي أن الحواف البارزة فقط قد حددت outlined بنتيجة استخدام العتبة، وأن الخلفية أيضا لم تمح بشكل كامل.

الشكل 27.4 هو نتيجة استعمال المعادلة 4.4 و 4.4 مع العتبة 4.2 و 1 هي السوية الأكثر لمعانا الممكنة في النظام الذي استعمل 1 لاظهار النتائج. يلاحظ أن الشكلين 1 و 1 هما نفس الشيء، باستثناء أن نقاط التدرج التي تزيد على العتبة هي أكثر وضوحا بكثير في الصورة الثانية.

الشكل (e)27 مع نفس قيمة العتبة المذكورة أعلاه وسوية الحلفية (E)4.4 ، الذي هو أعتم سوية ممكنة الاظهار. ان الاستعمال الرئيس لهذا الأسلوب الحاص هو تفحص الشدة النسبية لنقاط التدرج التي تزيد عن عتبة محددة. في هذه الحالة، نرى أن معالم outline الطائرة والسحابة قرب أسفل الصورة بارزين تماما بالسبة للأقسام الأخرى في الصورة.

أخيرا، تم الحصول على الشكل  $L_{\rm C}$ ) باستخدام المعادلة (4.4 – 11) مع قيمة العتبة T و  $L_{\rm G}$  و  $L_{\rm G}$  هذه المعادلة مفيدة في اظهار نقاط التدرج فوق عتبة محددة، فقط.



الشكل 27.4 توضيح لتحسين الحواف بتقنيات التدرج.

#### 2.4.4 ترشيح الترددات العالية Highpass Filtering

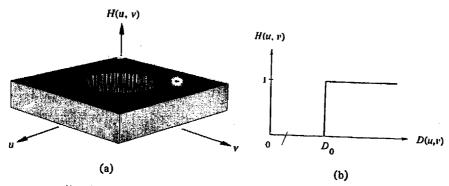
لقد بينا في القسم 3.3.4 أن الصورة يمكن أن تغبش بتخميد مركبات التردد العالي في تحويل فورييه لها. ونظرا لأن الحواف والتغيرات الحادة في السويات الرمادية مصاحبة لمركبات التردد العالي، يمكن الحصول على زيادة حدة تفاصيل الصورة في المجال الترددي بعملية ترشيح التمرير العالي highpass filtering التي تخمد مركبات التردد المناخفض دون ارباك معلومات التردد العالي في تحويل فورييه. نهتم فيا يلي بمراشيح تمرير التردد العالي المتممة لتلك التي طورت في القسم 3.3.4. كا في السابق، سنهتم بالمراشيح عديمة انزياح – الطور المتناظرة نصف – قطريا و التي يمكن أن تحدد بشكل كامل بمقطع عرضي يمتد كدالة للمسافة من مبدأ تحويل فورييه.

# المرشاح المثالي

ان مرشاح الترددات العالية ثنائي – الأبعاد المثالي (IHPF) هو مرشاح تحقق دالة تحويله العلاقة التالية

$$H(u, v) = \begin{cases} 0 & \text{if } D(u, v) < D_0 \\ 1 & \text{if } D(u, v) > D_0 \end{cases}$$
 (12-4.4)

حيث ان  $D_0$  هي مسافة القطع مقيسة من مبدأ مستوي التردد، و  $D_0$  تعطى بالعلاقة ( $D_0$ ). يبين الشكل  $D_0$ 28.4 رسما منظوريا ومقطعا عرضيا لدالة تحويل هذا المرشاح. يلاحظ أن هذا المرشاح هو تماما عكس مرشاح التمرير المنخفض المثالي الذي ناقشناه في القسم  $D_0$ 3.4.4 لأنه يخمد تماما جميع الترددات الواقعة داخل دائرة نصف قطرها  $D_0$  في حين يمرر بدون تخميد جميع الترددات الواقعة خارج الدائرة. كما في حالة مرشاح الترددات المنخفضة المثالي، الـ  $D_0$ 1 غير قابل للتحقيق فيزيائيا.



الشكل 28.4 رسم منظوري ومقطع عرضي نصف قطري لمرشاح ترددات عالية مثالي.

#### مرشاح بتروورث

تعرف دالة التحويل لمرشاح الترددات العالية نوع بتروورث (BHPF) من الدرجة n وبمحل هندسي لترددات القطع على مسافة D من المبدأ، بالعلاقة

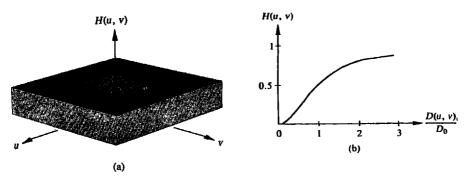
$$H(u, \nu) = \frac{1}{1 + \left[D_0/D(u, \nu)\right]^{2n}}$$
 (13-4.4)

حيث ان D(u, v) تعطى بالعلاقة (3.4-5). يبين الشكل 29.4 رسما منظوريا ومقطعا عرضيا لدالة تحويل الـ BHPF.

لاحظ أن H(u, v) ينخفض الى نصيف قيمته العظمى عندما تكون H(u, v) في حالة مرشاح التمرير المنخفض نوع بتروورث، من الشائع عمليا اختيار المحل الهندسي لترددات القطع عند النقاط التي ينخفض عندها H(u, v) الى القيمة  $1/\sqrt{2}$  من قيمته العظمى. تعدل المعادلة (4.4 – 13) ببساطة لتحقق هذا الشرط باستعمال تغيير المقياس التالى:

$$H(u, v) = \frac{1}{1 + [\sqrt{2} - 1][D_0/D(u, v)]^{2n}}$$

$$= \frac{1}{1 + 0.414[D_0/D(u, v)]^{2n}}$$
(14-4.4)



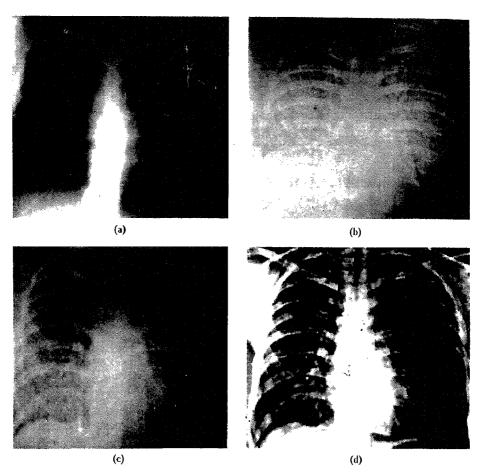
الشكل 29.4 رسم منظوري ومقطع عرضي نصف قطري لمرشاح ترددات عالية نوع بتروورث من الدرجة n-1.

مثال: يبين الشكل 30.4 (a) صورة صدر مأخوذة بالأشعة السينية (أشعة X) وهذه الصور قد أظهرت a) وهذا الصورة بعد أن الصور قد أظهرت developed بشكل رديء، ويبين الشكل 30.4 (b) الصورة بعد أن عولجت بمرشاح تمرير عال نوع بتروورث من الدرجة 1. الحواف هي البارزة فقط لأن مركبات التردد المنخفض خمدت بشكل حاد، وهذا ما يجعل المناطق ذات السوية الرمادية المختلفة (ولكن ناعمة) تبدو متماثلة جوهريا.

توجد تقنية تستعمل عادة لتخفيف هذه المشكلة، تتكون من اضافة ثابت لدالة تحويل مرشاح التمرير العالي للحفاظ على مركبات التردد المنخفض وهذه الاضافة تضخم طبعا مركبات التردد – العالي الى قيم أعلى منها في الصورة الأصلية. هذه التقنية التي تدعى "التأكيد على التردد العالي " high frequency emphasis موضحة في الشكل 30.4 (c) لاحظ أن للصورة في هذه الحالة تناسق سويات رمادية أفضل بقليل، وبشكل خاص في الجزء الأيسر الأسفل من الصورة.

على الرغم من أن التأكيد على التردد-العالي يحفظ مركبات التردد المنخفض، تميل مركبات terms التردد العالي، الأكبر تناسبيا الى حجب النتيجة، كما هو مبين في الرئج البسيط في النوعية من الشكل 30.4 (b) الى الشكل 30.4 (c). ان احدى التقنيات للتعويض عن هذه المشكلة هي اجراء بعض المعالجة بالترشيح اللاحق للتعويض عن هذه المشكلة وزيع السويات الرمادية. ان تسوية الهيستوغرام ملائمة

بشكل مثالي لهذا الغرض بسبب بساطتها. يبين الشكل 30.4 (d) التحسن الهام الذي يكن الحصول عليه بتسوية هيستوغرام صورة عولجت بالتأكيد على التردد العالي.



الشكل 30.4 مثال لترشيح التمرير العالي. (a) صورة أصلية. (b) صورة عولجت بمرشاح ترددات عالية نوع بتروورث. (c) نتيجة التأكيد على الترددات العالية وتسوية الهيستوغرام (عن (Hall et al. 1971)

### 5.4 تحسين مبنى على نموذج صورة

يمكن أن يستعمل نموذج انعكاسية - الانارة الذي قدمناه في القسم 2.2 كأساس لاجراء في المجال - الترددي مفيد في تحسين مظهر صورة ما بضغط مدى اللمعان وتحسين التباين بآن واحد. لدينا من المناقشة المعروضة في القسم 2.2 أنه يمكن التعبير عن صورة (عربه) برلالة مركبات اضاءتها وانعكاسيتها بالعلاقة التالية

$$f(x, y) = i(x, y)r(x, y)$$
 (1-5.4)

لايمكن استخدام المعادلة (5.4-1) للعمل مباشرة على مركبات الاضاءة والانعكاسية الترددية لأن تحويل فورييه لجداء دالتين غير قابل للفصل، بكلمات أخرى،

$$\mathfrak{F}{f(x,y)}\neq\mathfrak{F}{i(x,y)}\mathfrak{F}{r(x,y)}$$

ولكن افترض أننا نجعل

$$z(x, y) = \ln f(x, y)$$
  
= \ln i(x, y) + \ln r(x, y)

عندئذ ينتج أن

$$\mathcal{F}\lbrace z(x,y)\rbrace = \mathcal{F}\lbrace \ln f(x,y)\rbrace$$
$$= \mathcal{F}\lbrace \ln i(x,y)\rbrace + \mathcal{F}\lbrace \ln r(x,y)\rbrace$$

أو

$$Z(u, \nu) = I(u, \nu) + R(u, \nu)$$
 (4-5.4)

حیث ان I(u, v) و I(u, v) هما تحویلی فوربیسه له I(u, v) و I(u, v) علی التوالی.

اذا عالجنا (
$$u, v$$
) بواسطة دالة مرشاح ( $u, v$ ) ينتج من المعادلة ( $u, v$ ) أن (2-1.4)

$$S(u, v) = H(u, v)Z(u, v)$$
  
=  $H(u, v)I(u, v) + H(u, v)R(u, v)$  (5-5.4)

حيث ان (u,v) هو تحويل فورييه للنتيجة. في المجال الحيزي، لدينا العلاقة التالية

$$s(x, y) = \mathcal{F}^{-1}\{S(u, \nu)\}$$

$$= \mathcal{F}^{-1}\{H(u, \nu)I(u, \nu)\} + \mathcal{F}^{-1}\{H(u, \nu)R(u, \nu)\}$$
(6-5.4)

بجعل

$$i'(x, y) = \mathcal{F}^{-1}\{H(u, v)I(u, v)\}$$
 (7-5.4)

9

$$r'(x, y) = \mathcal{F}^{-1}\{H(u, v)R(u, v)\}$$
 (8-5.4)

يمكن أن نعبر عن المعادلة (5.4 - 6) بالشكل التالي

$$s(x, y) = i'(x, y) + r'(x, y)$$
 (9-5.4)

أخيرا، لأن z(x, y) شكلت بأخذ لغاريتم الصورة الأصلية f(x, y)، نجري الآن العملية المعاكسة للحصول على الصورة المحسنة المطلوبة g(x, y)، أي،

$$g(x, y) = \exp\{s(x, y)\}\$$

$$= \exp\{i'(x, y)\} \cdot \exp\{r'(x, y)\}\$$

$$= i_0(x, y)r_0(x, y)$$
(10-5.4)

حيث إن

$$i_0(x, y) = \exp\{i'(x, y)\}\$$
 (11-5.4)

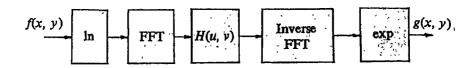
و

$$r_0(x, y) = \exp\{r'(x, y)\}$$
 (12-5.4)

هما مركبتي الانارة والانعكاسية لصورة الخرج.

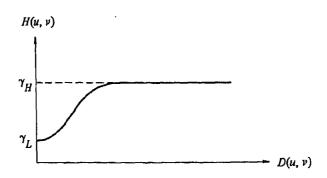
ان أسلوب التحسين الذي يستعمل المفاهيم السابقة ملخص في الشكل 31.4. هذه الطريقة مبنية على حالة خاصة لصنف من الأنظمة المعروفة به "الأنظمة الممومورفية" (المومومورفية هي دالة بين نظامين جبريين من نفس النوع الذي يحفظ العمليات الحبرية). ان المفتاح لهذه الطريقة في هذا التطبيق الخاص هو حقيقة أن الفصل مركبتي الاضاءة والانعكاسية يتم بالشكل المبين في المعادلة (5.4-4). يمكن عندئذ لدالة مرشاح همومورفي (u, v) أشرنا في المعادلة (v).

تتميز مركبة الانارة لصورة ما بتغيرات حيزية بطيئة. أما مركبة الانعكاسية، من جهة أخرى، فتميل الى التغير بشكل حاد، خصيصا على ملتقى أشكال مختلفة كثيرا. هذه الخواص تقودنا الى ربط الترددات المنخفضة لتحويل فورييه للوغاريتم صورة ما بالانارة، والترددات العالية بالانعكاسية. يمكن أن يستفاد من هذا الأمر في تحسين الصورة، على الرغم من أنه تقريب أولى.



الشكل 31.4 أسلوب الترشيح الهمومورفي لتحسين الصورة.

المرشاح المبينة في الشكل 32.4 ستميل الى تنقيص الترددات المنخفضة وتضخيم الترددات العالية. ان النتيجة الصافية هي ضغط المدى الديناميكي وتحسين التباين في آن واحد.



الشكل 32.4 مقطع عرضي لدالة مرشاح متناظر دائريا للاستعمال في الترشيح الهمومورفي. (D(u,v) هي المسافة من المبدأ.

مثال: الشكل 33.4 هو مثال نموذجي للنتائج التي يمكن الحصول عليها بدالة المرشاح الهمومورفي المبينة في الشكل 32.4. نلاحظ في الصورة الأصلية المبينة في الشكل 33.4 (a) أن التفاصيل داخل الغرفة محجوبة من قبل التألق الناتج عن الجدران الخارجية. يبين الشكل 33.4 (b) نتيجة معالجة هذه الصورة بترشيح همومورفي حيث ان الحارجية. يبين الشكل 33.4 (b) نتيجة معالجة علمه الصورة بترشيح همومورفي حيث ان  $\gamma_{L} = 0.5$  و 2.0 =  $\gamma_{L}$  في دالة المرشاح المبينة أعلاه. ان تخفيض المدى الديناميكي للمعان مع ازدياد في التباين أظهرا تفاصيل الأشياء الموجودة داخل الغرفة ووازن سويات الجدار الخارجي.

#### 6.4 توليد نوافد حيزية من مواصفات الجمال الترددي

Generation of Spatial Windows from Frequency Domain Specifications

كما أشرنا في القسم 1.4، السرعة وبساطة التنفيذ خاصتان هامتان للنوافذ الحيزية من أجل معالجة الصورة. ومن جهة أخرى، فان دوال ترشيح معينة (مثل ترشيح التمرير

المنخفض) توصف بشكل أكثر ملاءمة في المجال الترددي. نطور في هذا القسم طريقة لتوليد نوافذ حيزية تقرّب (بمفهوم تربيع الأخطاء الأصلعوبي (least - square - error) مرشاح مجال ترددي معين.

كما ناقشنا في القسم 1.4 ، تبنى عملية الترشيح في المجال الترددي على المعادلة التالية

$$G(u, v) = H(u, v)F(u, v),$$
 (1-6.4)

حيث ان F(u, v) و G(u, v) هما تحويلي فوربيه لصورتي الدخل والخرج، على التوالي، و H(u, v) هي دالة تحويل المرشاح. نحن نعرف من نظرية الطي (القسم8.3.3) أن المعادلة H(u, v) يمكن أن تنفذ في المجال الحيزي بالعبارة الرياضية التالية

$$g(x, y) = \sum_{i=0}^{N-1} \sum_{k=0}^{N-1} h(x-i, y-k) f(i, k)$$
 (2-6.4)

حيث تأخذ x و y القيم التالية x =0,1,2,...,x و x =0,1,2,...,x من أجل تبسيط التعايير الرياضية، يفترض أننا نتعامل مع مصفوفات صور مربعة. ويفهم ا أيضا أن الدوال قد وسعت بشكل صحيح كما ناقشنا في القسم 8.3.3 ، تحت عنوان الطمى.

في المعادلة (6.4 – 2)، h هي التمثيل الحيزي للمرشاح (أي تحويل فورييه العكسي h له به و f هي صورة الدخل و g هي الصورة المرشحة. نشير أحيانا له f انافذة الطي الحيزي " spatial convolution window. اذا كانت هذه النافذة بقياس المختلف المعادلة المعطاة في المعادلة (6.4 – 2) مماثلة لأخذ تحويل فوربيه العكسي له G(u, v).

لأن H هي تحويل فوربيه لـ h.، ينتج من المعادلة (2.3–9) أن

$$H(u, v) = \frac{1}{N} \sum_{x=0}^{N-1} \sum_{y=0}^{N-1} h(x, y) \exp[-j2\pi(ux + vy)/N]$$
 (3-6.4)

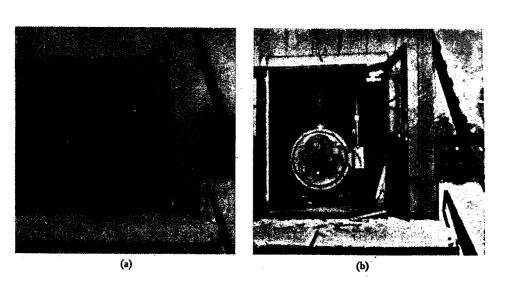
من أجل h(x, y) باعطائها القيمة صفر u,v=0,1,2,...,N-1 باعطائها القيمة صفر من أجل القيم x>n و x>n من أجل القيم x>n و x>n مع x>n ان أثر هذا هو انشاء نافذة طي x>n أبعادها x>n ها تحويل فورييه التالي

$$\hat{H}(u, v) = \frac{1}{N} \sum_{x=0}^{n-1} \sum_{y=0}^{n-1} \hat{h}(x, y) \exp[-j2\pi(ux + vy)/N]$$
 (4-6.4)

 $\hat{h}(x, y)$ . ان الهدف في المناقشة التالية هو ايجاد معاملات u,v=0,1,2,...,N-1 بحدث ان كمية الخطأ

$$e^{2} = \sum_{u=0}^{N-1} \sum_{v=0}^{N-1} |\hat{H}(u, v) - H(u, v)|^{2}$$
 (5-6.4)

تخفض إلى الحد الأدنى، حيث ان ١.١ تشير إلى المطال العقدي.



الشكل 33.4(a) صورة أصلية. (b) صورة عولحت بالترشيح الهومومورفي للحصول على ضغط المجال الدياميكي وتحسين التباين، في آن واحد. (عن Stockham 1972).

يمكن التعبير عن المعادلة (6.4 – 4) بالصيغة المصفوفية التالية.

$$\hat{\mathbf{H}} = \mathbf{C}\hat{\mathbf{h}},\tag{6-6.4}$$

حيث ان  $\hat{\mathbf{h}}$  هو متجه عمود من الدرجة  $N^2$  يحتوي حدود  $\hat{\mathbf{h}}(u, v)$  بترتيب ما، و  $\hat{\mathbf{h}}$  هو متجه عمود من الدرجة  $n^2$  يحتوي عناصر  $\hat{\mathbf{h}}(x, v)$  بترتيب ما، و  $n^2$  هي مصفوفة أبعادها  $n^2 \times N^2$  بحدود أسية مواقعها محددة بالترتيب في  $\hat{\mathbf{h}}$  و  $\hat{\mathbf{h}}$ . ان الاجراء التالي هو اجراء بسيط لتوليد العناصر  $\hat{\mathbf{h}}(u, v)$   $\hat{\mathbf{h}}$  المتجه  $\hat{\mathbf{h}}$  من  $\hat{\mathbf{h}}(u, v)$ :

$$\hat{H}(u, v) \Rightarrow \hat{H}(i)$$
 (7-6.4)

من أجل H(u, v) و i=uN+v يلاحظ أن التنقل بين صفوف u=u, v=0,1,2,...,N-1 و i=uN+v من أجل u=0, v=0,1,2,...,N-1 و u=0, v=0,1,2,...,N-1 وهكذا، يقابل تشكيل الد u=0, v=0,1,2,...,N-1 عنصر الأوائل من u=0, v=0,1,2,...,N-1 عنصر التالية من الصف الأوائل من u=0, v=0,1,2,... والد u=0, v=0,1,2,... الصف الثاني، وهكذا. تشكل عناصر u=0, v=0,1,2,... u=0,0,1,2,...

$$\hat{h}(x, y) \Rightarrow \hat{h}(k)$$
 (8-6.4)

من أجل $\kappa = \kappa + \gamma$ . أخيرا، تولد العناصر المقابلة من المصفوفة  $\kappa$ . من أجل  $\kappa = \kappa + \gamma$ . من الحدود الأسية

$$\frac{1}{N}\exp[-j2\pi(ux+vy)/N] \Rightarrow C(i,k)$$
 (9-6.4)

من أجل i=uN+v و k=xn+y ، حيث ان u,v=0,1,2,...,N−1 و u,v=0,1,2,...,N−1 . باستعمال رموز المصفوفات، يمكن كتابة المعادلة (5.4 – 6) بالشكل التالي

$$e^{2} = (\hat{\mathbf{H}} - \mathbf{H})^{*}(\hat{\mathbf{H}} - \mathbf{H})$$
  
=  $\|\hat{\mathbf{H}} - \mathbf{H}\|^{2}$   
=  $\|\mathbf{C}\hat{\mathbf{h}} - \mathbf{H}\|^{2}$ , (10-6.4)

حيث ان \* هو منقول المترافق transpose و اا. اا هي المقدار الأوكليدي العقدي complex Euclidean norm و H(u, v) بالطريقة المذكورة أعلاه. نوجد القيمة الدنيا لـ  $e^2$  بالنسبة لـ h بأخذ المشتق الجزئي ومساواته بمتجه الصفر:

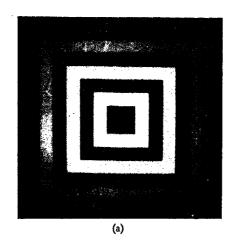
$$\frac{\partial e^2}{\partial \hat{\mathbf{h}}} = 2\mathbf{C}^*(\mathbf{C}\hat{\mathbf{h}} - \mathbf{H}) = \mathbf{0}$$
 (11-6.4)

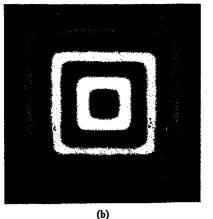
$$\hat{\mathbf{h}} = (\mathbf{C}^*\mathbf{C})^{-1}\mathbf{C}^*\mathbf{H}$$
  
=  $\mathbf{C}^*\mathbf{H}$  (12-6.4)

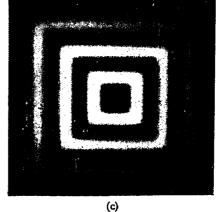
حيث ان المصفوفة  $C^* = (C^*C)^{-1}$  تدعى غالبا معكوس مور بنروز المعمم . Moore – Penrose generalized inverse [Noble 1969]

minimum – error – الأصغري المعادلة (6.4–12) معاملات الخطأ الأصغري من دالة مرشاح (i(x, y)) الضرورية لبناء نافذة طي i(x, y) أبعادها i(x, y) من دالة مرشاح (i(x, y)) موصوف في المجال الترددي وأبعاده i(x, y). بشكل عام، عناصر i(x, y) هي كميات عقدية. ولكن، يمكن بسهولة تبيان أنه اذا كانت دالة المرشاح في المجال الترددي حقيقية ومتناظرة (كالمراشيح المناقشة في هذا الفصل) ستكون i(x, y) عندئذ حقيقية ومتناظرة أيضا.

مثال: كتوضيح للطريقة التي طورناها للتو، تم ترشيح نمط الاختبار المبين في الشكل (a)34.4 باستعمال مرشاح تمرير منخفض من نوع بتروورث لانتاج الصورة المغبشة المبينة في الشكل 34.4(d). لقد تم توليد نافذة طي أبعادها (9×9 باستعمال المعادلة (6.4–12) وطبقت على الصورة الأصلية. ان النتيجة المبينة في الشكل (34.3 أقل تغبيشا بقليل من تلك التي حصلنا عليها باستخدام المرشاح الكامل في المجال الترددي. هذا شيء متوقع لأن عملية المجال الحيزي في حال m<N هي تقريب فقط بمفهوم تربيع الأخطاء الأصغري.







الشكل 34.4(a) صورة أصلية. (b) صورة مغبشة تم الحصول عليها باستخدام مرشاح ترددات منخفضة نوع بتروورث من الدرجة 1 في المجال الترددي. (c) صورة غبشت حيزيا باستخدام نافذة طي أبعادها 9×9 تم الحصول عليها باستعمال المعادلة (6.4-12). (عن Meyer and Gonzalez 1983).

#### 7.4 معالجة الصور بالتلوين Psaudo - color Image processing

لقد ركزنا عنايتنا حتى الآن على تقنيات معالجة الصور أحادية اللون .monochrome images ان استعمال التلوين لاظهار الصور وتحسينها هو مجال ذو امكانية ضخمة وحديث نسبيا، لمعالجة الصورة الرقمية. ان الحافز لاستعمال الألوان

في معالجة الصورة نابع من حقيقة أن العين البشرية تستطيع أن تميز آلاف ظلال وشدات الألوان. ان هذا يتباين بشكل حاد مع أداء العين الضعيف نسبيا مع السويات الرمادية حيث، وكما أشرنا في القسم 1.2، يمكن اكتشاف دزينة أو دزينتين فقط من الظلال الرمادية في أية نقطة واحدة من الصورة من قبل الملاحظ المتوسط average observer. لا يحتاج القارىء الا الى اطفاء اللون بعد أن يكون قد شاهد جهاز تلفزيون ملون ليتأكد من أداء العين المتفوق عندما تفسر معلومات ملونة مقابل تفسيرها لمعلومات سوداء وبيضاء.

يجب أن تميز الفكرة الأساسية وراء استعمال التلوين عن التقنيات المعروفة به المعالجة بالألوان—الزائفة " false—color processing. ان تقنيات المعالجة بالألوان الزائفة مشابهة للتصوير الضوئي بالألوان الحقيقية، باستثناء أنها يمكن أن تتعامل مع نطاقات ضوئية تقع خارج الطيف المرئي. ان التصوير بالأشعة تحت الحمراء مثال لهذه التقنيات حيث لايقع الاهتمام على نقاوة الألوان الحقيقية. ولكن فضلا عن ذلك يقع الاهتمام على المعلومات التي أكثر ماتكون واضحة في طيف الأشعة تحت الحمراء . في التلوين، الوضع مختلف أساسا في أن المعالجة تبدأ بالصورة السوداء والبيضاء. الهدف عندئذ هو نسب لون لكل عنصر على أساس شدته. ان المدى لتقنيات نسب الألوان عدود بامكانات نظام الاظهار وبراعة المستخدم فقط. وكما سنرى في هذه المناقشة، حتى بعض التقنيات المباشرة لترميز الألوان يمكن أن تبرز في بعض الأحيان معلومات من الصعب، غالبا، كشفها وتفسيرها في صورة سوداء وبيضاء.

# 1.7.4 أساسيات الألوان Color Fundamentals

على الرغم من أن العملية المتبعة من قبل دماغ الانسان في ادراك الألوان عملية فيزيائية نفسية لم تفهم بشكل كامل حتى الآن، يمكن أن يعبر عن طبيعة الألوان على أساس اصطلاحى مدعم بالنتائج النظرية والتجريبية.

في عام 1666، اكتشف اسحاق نيوتن Sir Issac Newton أنه عندما تمرز حزمة من ضوء الشمس عبر موشور زجاجي لا تكون حزمة الصوء المنبثقة منه بيضاء، ولكنها بدلا من ذلك تتكون من طيف مستمر من الألوان يمتد من البنفسجي في احدى النهايات الى الأحمر في النهاية الأخرى. كما هو مبين في اللوحة ١، يمكن تقسيم الطيف اللوفي الى ست مناطق عريضة: البنفسجي و الأزرق والأخضر والأصفر والأرتقالي والأحمر. عندما يتم اظهار الطيف بألوان كاملة (اللوحة ١١) لاينتهي أي لون بشكل حاد (فجائي) ولكن فضلا عن ذلك يكون لدينا وضع يمتزج فيه كل لون في اللون التالي تدريجيا والمنهن الألوان التي ندركها في شيء (جسم) ما تتحدد أساسا بطبيعة الضوء المنعكس عن هذا الشيء. كما هو موضح في اللوحة ١، يتكون الضوء المرئي من نطاق ضيق نسبيا من الترددات في طيف القدرة الكهرومغناطيسي. الضوء المرئي من نطاق ضيق نسبيا من الترددات في طيف القدرة الكهرومغناطيسي. الفهر للملاحظ أبيضا. ومن جهة أخرى، سيبدي الجسم الذي يساعد على الانعكاس في مدى محدد من الطيف المرئي بعض الظلال اللونية. على سبيل المثال، الأجسام في مدى محدد من الطيف المرئي بعض الظلال اللونية. على سبيل المثال، الأجسام الخضروء تعكس الضورة عن يمتص معظم القدرة عند أطوال الموجات الأخرى.

بسبب بنية العين البشرية، ترى جميع الألوان كتركيبات متغيرة ثما يدعى الألوان الثلاثة الأولية: الأحمر (R) والأخضر (G) والأزرق (B). من أجل المعيارية الألوان الثلاثة الأولية: الأحمر (R) والأخضر (Commission Internationale de CIE). في عام 1931 قيم 1931 أطوال الموجات المحددة التالية للألوان الأولية الثلاثة: الأزرق 435.8 nm في الموجد و الأخضر أطوال الموجد والأحمر – 700 nm. ولكن نلاحظ من اللوحة المأنه لا يوجد لون وحيد يمكن أن يسمى أحمرا أو أخضرا أو أزرقا. وهكذا، اذا ما استقرينا على أطوال موجات ثلاثة الوان محددة من أجل المعيارية standardization فنحن بحاجة لأن ندرك أن هذه المركبات الثلاثة الثابتة RGB، مؤثرة بمفردها، لا تستطيع توليد جميع ألوان الطيف. ان هذا مهم لأن استعمال الكلمة "أولي " pimary ، قد أسيء تفسيره بشكل واسع ليعني

أن الأوليات الثلاثة المعيارية تستطيع توليد جميع الألوان المرئية عندما تمزج بنسب شدة متنوعة. هذا ليس صحيحا، الا اذا سمح لطول الموجة أن يتغير.

يمكن أن تجمع الألوان الأولية لتنتج الألوان الثانوية light magneta (أحمر تكن أن تجمع الألوان الأولية لتنتج الألوان الثانوية الخضر). ان مزج الزرق الداكن (أخضر أخضر). ان مزج الأوليات الثلاثة أو لونا ثانويا مع لونه الأولي المقابل بالشدات الصحيحة يعطي اللون الأبيض. هذا الشيء مبين في اللوحة (a) التي توضح أيضا الألوان الأولية الثلاثة وتركيباتها لانتاج الألوان الثانوية.

من المهم أن نفرق بين الألوان الأولية للضوء والألوان الأولية للأصبغة أو الـ colorants. في الأخيرة، يعرف اللون الأولي بأنه اللون الذي يطرح أو يمتص لونا أوليا للضوء ويعكس أويرسل اللونين الآخرين. لذلك، فإن الألوان الأولية للأصبغة هي magneta والأزرق الداكن والأصفر في حين أن الألوان الثانوية هي الأحمر والأخضر والأزرق. هذه الألوان مبينة في اللوحة (للاحظ أن التركيب الصحيح لأوليات الأصبغة الثلاثة، أو لثانوي مع الأولي المقابل له ينتج الأسود.

ان الاستقبال التلفزيوني الملون مثال للطبيعة الجمعية لألوان الضوء. ان الجزء الداخلي لكثير من صحامات التلفزيون الملون مكون من مصفوفة كبيرة من أنماط نقطية مثلثية من فوسفور حساس للألكترونات. عندما تثار هذه الأنماط، كل نقطة من الثلاثي قادرة على انتاج ضوء بأحد من الألوان الأولية. تعدل شدة النقاط الفوسفورية المصدرة للأحمر بمدفع الكتروني داخل الصحام يولد نبضات مقابلة للقدرة الحمراء المرئية من قبل الكاميرا التلفزيونية. تعدل نقاط الفوسفور الخضراء والزرقاء في كل ثلاثي بنفس الطريقة. ان الأثر منظورا اليه على المستقبل التلفزيوني هو أن الألوان الأولية الثلاثة من كل ثلاثي فوسفوري تجمع معا وتستقبل بواسطة المخاريط الحساسة للضوء في العين، وتدرك صورة ملونة كاملة. ان تغيرات ثلاثين صورة متتالية بالثانية بالألوان الثلاثة.

ان الخواص المستخدمة عموما لتمييز لون من آخر هي اللمعان brightness النقبة (اللون) hue، والتشبع saturation. اللمعان يشير الى الشدة. النقبة هي صفة

تربط بطول الموجة الغالب dominant في مزيج من موجات الضوء. وهكذا فان النقبة ممثل اللون الغالب كما يدرك من قبل الناظر. عندما نسمي جسما ما أحمر أو أخضر أو أصفر فاننا نحدد نقبته. يشير التشبع الى النقاوة النسبية أو الى كمية الضوء الأبيض الممتزجة بالنقبة. ان ألوان الطيف الصافية متشبعة كليا. أما الألوان مثل القرنفلي (أحمر و أبيض) ولون الخزامي (بنفسجي و أبيض) فهي أقل تشبعا، ودرجة التشبع تتناسب عكسا مع كمية الضوء الأبيض المضافة.

النقبة والتشبع مأخوذان معا يشكلان اللونية chromaticity ولذلك فان لونا ما يمكن أن يميز بلمعانه ولونيته. ان الكميات اللازمة من الأحمر والأخضر والأزرق لتشكيل أي لون معين تسمى قيم الحافز (المثير) الشلائي tristimulus ويشار اليها، بالترتيب، X و Y و Z. عندئذ يحدد اللون بمعاملاته اللونية الشلائة trichromatic كا يلي دو coefficients

$$x = \frac{X}{X + Y + Z} \tag{1-7.4}$$

$$y = \frac{Y}{X + Y + Z} \tag{2-7.4}$$

و

$$z = \frac{Z}{X + Y + Z}.\tag{3-7.4}$$

انه لواضح من هذه المعادلات أن

$$x + y + z = 1.$$
 (4-7.4)

اذا أعطى أي طول موجة من الطيف المرئي، فانه يمكن الحصول على قيم الحافز الثلاثي اللازمة لانتاج اللون المقابل لطول الموجة هذا مباشرة من منحنيات وجداول جمعت من نتائج تجريبية مكثفة (Walsh 1958, Kiver 1965).

ان مخطط اللونية chromaticity diagram (اللوحة IV) هو أسلوب آخر لتحديد الألوان. يبين هذا المخطط تركيب الألوان كدالة لـ x (أحمر) و y (أخضر). يتم الحصول على قيمة z (الأزرق) المقابلة لأية قيمة لـ x و y من المعادلة (7.4–4) بملاحظة أن z=1 ان النقطة المعلمة marked "أخضر" في اللوحة IV على سبيل المثال، تحتوي 62% أخضر و 25% أحمر. وينتج بالتالي من المعادلة (4-7.4) أن تركيب الأزرق هو 13% تقريباً.

ان مواضع ألوان الطيف المختلفة، من البنفسجي عند 380 الى الأحمر عند 780 nm 780 مشار اليها حول حدود مخطط اللونية الذي له شكل اللسان. هذه هي الألوان الصرفة (النقية) المبينة في الطيف في اللوحة II. ان أية نقطة لاتقع فعليا على احدود المخطط ولكن داخله تمثل مزيجا ما من الوان الطيف. ان نقطة الطاقة المتساوية وساعا المبينة في اللوحة IV تقابل أجزاء متساوية من الألوان الأولية الثلاثة. انها تمثل معيار الـ CIE للون الأبيض. يقال عن أية نقطة تقع على حدود مخطط اللونية أنها مشبعة تماما CIE عندما تبتعد النقطة عن الحدود وتقترب من نقطة الطاقة المتساوية يضاف لون أبيض الى اللون بشكل أكثر ويصبح أقل تشبعا. ان التشبع عند نقطة الطاقة المتساوية يساوي الصفر.

ان مخطط اللونية مفيد من أجل مزج الألوان لأن جزء خط مستقيم يصل أي نقطتين في المخطط يحدد جميع تغيرات اللون المختلفة التي يمكن الحصول عليها بدم هذين اللونين جمعيا additively. تأمل، على سبيل المثال، خطا مستقيا مرسوما من نقطة الأحمر الى نقطة الأخضر والمبين في اللوحة IV. اذا كان يوجد ضوء أحمر أكار من الضوء الأخضر فان النقطة الدقيقة التي تمثل لوناً جديداً ستكون على جزء الخط هذا، ولكنها ستكون اقرب الى النقطة الحمراء منها الى النقطة الخضراء. بشكل مشابه، فان خطا مرسوما من نقطة الطاقة المتساوية الى أية نقطة على حدود المخطط سيحدد جميع ظلال لون الطيف المحدد.

ان توسيع الاجراء المذكور أعلاه الى الألوان الثلاثه هو توسيع مباشر. لتحديد مدى الألوان التي يمكن الحصول عليها من أي ثلاثة ألوان معينة في مخطط اللونية، نرسم ببساطة خطوطا واصلة بين نقاط الألوان الثلاثة. النتيجة هي مثلث، و أي لون داخل

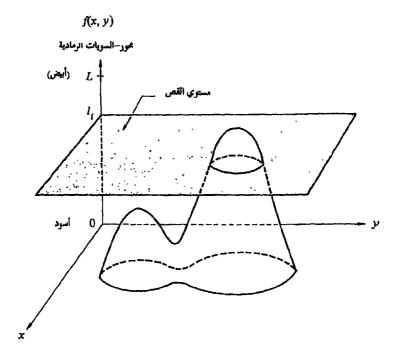
المثلث يمكن انتاجه بتركيبات متنوعة من الألوان الأولية الثلاثة. يلاحظ أن مثلثا تقع رؤوسه الثلاثة عند أي ثلاثة ألوان ثابتة، لايحيط بكامل منطقة اللون في اللوحة IV. هذا ما يدعم تخطيطيا الملاحظة التي أوردنا سابقا وهي أنه لايمكن الحصول على جميع الألوان من ثلاثة ألوان أولية منفردة.

في المناقشة التالية، سنشير الى شدة الألوان الأولية الثلاثة عند احداثيين  $I_{B}(x,y)$  الصورة ما بـ $I_{R}(x,y)$  و $I_{G}(x,y)$  و $I_{B}(x,y)$ . وهكذا سيعتبر كل عنصر صورة في صورة ملونة كتركيب جمعي لقيم الشدة الثلاثة هذه عند احداثيي العنصر.

# 2.7.4 تقسيم الكثافة الى شرائح Density Slicing

ان تقنية تقسيم الكثافة (أو الشدة) إلى شرائح وترميزها بالألوان هو واحد من أبسط الأمثلة على معالجة الصورة بالتلوين. إذا نظرنا إلى الصورة كدالة كثافة ثنائية الأبعاد (انظر القسم 2.1)، يمكن أن نفسر الطريقة بأنها طريقة توضع فيها مستويات موازية لمستوي احداثيات الصورة، بهذا الشكل، يقطع كل مستو دالة الصورة في منطقة التقاطع. يبين الشكل 35.4 مثالا بسيطا لهذه الطريقة حيث ان مستويا عند f(x,y)-1 استعمل لقطع دالة الصورة الى مستويين. يأتي مصطلح تقسيم الكثافة الى شرائح density slicing من تسمية السويات الرمادية كثافات، وهذه اللغة الاصطلاحية تتصاحب بشكل شائع مع هذه الطريقة الخاصة.

من الواضع أنه اذا خصص لون مختلف لكل جهة من المستوي المبين في الشكل 35.4 ، فان أي عنصر سويته الرمادية فوق المستوي سيرمز بأحد اللونين، في حين أن أي عنصر تحت المستوي سيرمز باللون الآخر. أما العناصر الواقعة على المستوي نفسه فيمكن أن ينسب لها أحد اللونين بشكل اختياري. ان نتيجة هذه الطريقة ستنتج صورة بلونين يمكن التحكم بمظهرها النسبي بتحريك المستوي القاطع الى الأسفل على محور السويات الرمادية.



الشكل 35.4 التفسير الهندسي لتقنية تقسيم الكثافة.

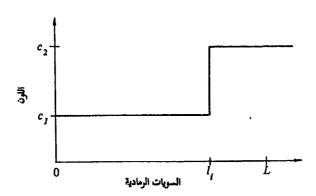
عموما، يمكن أن نلخص التقنية كإيلي. افترض أن M مستويا حددت عند السويات  $1_L$   $1_L$ 

$$f(x, y) = c_k$$
 if  $f(x, y) \in R_k$  (5-7.4)

حيث ان  $c_k$  هو اللون المرافق للمنطقة  $R_k$  المحددة بمستويات التجزيء. من المهم أن نلاحظ أن فكرة المستويات مفيدة في الأصل من أجل التفسير الهندسي لتقنية تقسيم الكثافة الى شرائح. يبين الشكل 36.4 تمثيلا بديلا يعرف نفس عملية الرسم كما في

الشكل 35.4. تبعا لدالة الرسم المبينة في الشكل 36.4 ، ينسب لأية سوية رمادية أحد لونين، حسبا تكون هذه السوية فوق أو تحت القيمة  $\mathbf{i}_1$ . عندما تستعمل سويات أكثر يأخذ دالة الرسم شكل درج. هذا النوع من الرسم هو حالة خاصة من الأسلوب المناقش في القسم التالى.

مشال: ان أحد الأمثلة لتقسيم الكثافة الى شرائح مبين في اللوحة ٧. الجزء (a) هو صحورة سوداء وبيضاء لشبح لاقط الغدة الدرقية Picker Thyroid Phantom (غط اختبار اشعاعي) والجزء (b) هو نتيجة تقسيم كثافة هذه الصورة الى ثمان شرائح بألوان مختلفة. يلاحظ أن المناطق التي تبدو ذات كثافة ثابتة في الصورة السوداء والبيضاء هي في الحقيقة متغيرة تماما، كما هو مبين في الألوان المتنوعة في الصورة المقطعة الى شرائح. الفص اليساري، على سبيل المثال، هو رمادي باهت في الصورة السوداء والبيضاء ومن الصعب التعرف على اختلافات في الكثافة. على النقيض من ذلك، فان الصورة الملونة تبين بوضوح ثماني مناطق مختلفة ذوات كثافة ثابتة، منطقة لكل لون من الألوان المستعملة.

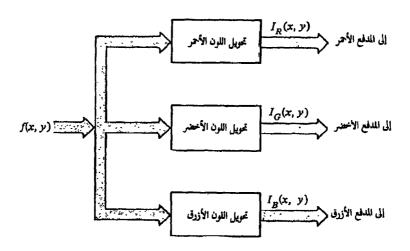


الشكل 36.4 تمثيل بديل لتقسيم الكثافة .

# 3.7.4 التحويلات من سويات - رمادية - الى - ألوان

#### Gray - level - to color - transformations

من الممكن تحديد أنواع أخرى من التحويلات الأكثر عمومية و بالتالي الأكثر قدرة على انجاز مدى أوسع من نتائج التحسين بالتلوين من تقنية تقسيم الكثافة الى شرائح البسيطة التي نوقشت في القسم السابق. الشكل 37.4 يبين أسلوبا جذابا بشكل خاص. جوهريا، الفكرة الأساسية في هذا الأسلوب هي اجراء ثلاثة تحويلات مستقلة على السويات الرمادية لأي عنصر دخل. بعدئذ تغذى النتائج الثلاثة بشكل منفصل الى مدافع شاشة التلفزيون الملون الأحمر والأخضر والأزرق. وهذا ما ينتج صورة مركبة يعدل محتواها اللوني بطبيعة دالة التحويل. يجب ألا يغيب عن الذهن أن هذه هي تحويلات على قيم السويات الرمادية للصورة و ليست تابعة للموضع.



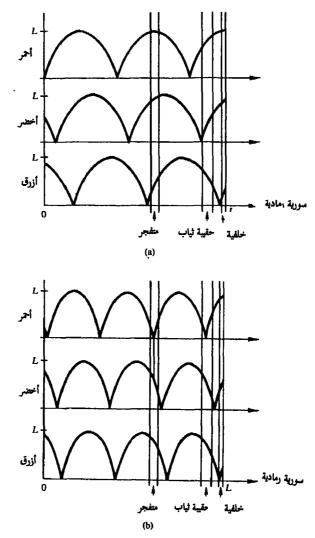
الشكل 37.4 مخطط وظيفي لمعالجة الصورة بالتلوين.

كما أشرنا في القسم السابق، الطريقة المبينة في الشكل 36.4 هي حالة خاصة من التقنية التي وصفت للتو. يتم توليد الألوان في الشكل 36.4 بدوال تحويل خطية لكل جزء من السويات الرمادية. من جهة أخرى، يمكن أن نبني الطريقة المناقشة في هذا القسم على دوال غير خطية متجانسة smooth التي، كما يمكن أن نتوقع، تعطي التقنية مرونة أكبر. هذا الأمر موضح بالمثال التالي.

مثال: اللوحة VI تبين صورة أحادية اللون مركبة تتألف من صورتين للأمتعة تم الحصول عليهما من نظام مسح بالأشعة السينية لأحد المطارات. الصورة اليسرى تحتوي على أدوات عادية. والصورة اليني تحتوي نفس الأدوات بالاضافة الى صندوق عاكى simulated من المتفجرات البلاستيكية. ان الغرض من هذا المثال هو توضيح استعمال تحويلات السويات – الرمادية – الى – ألوان للقيام بدرجات مختلفة من التحسين.

إن دوال التحويل المستعملة مبينة في الشكل 38.4. هذه الدوال الجيبية تحتوي على مناطق ذات قيم ثابتة نسبيا حول الذرى (القمم) بالاضافة الى مناطق تتغير بسرعة قرب الوديان. يمكن بتغيير تردد وطور كل دالة جيبي أن نؤكد (بالألوان) أمداء على السلم الرمادي. على سبيل المثال، اذا كان لجميع التحويلات الثلاثة نفس الطور والتردد، ستكون صورة الخرج أحادية اللون. ان تغيرا طفيفا في الطور بين التحويلات الثلاثة سينتج تغيرا صغيرا في العناصر التي تقابل سوياتها الرمادية ذرى التوابع الجيبية، وبشكل خاص اذا كان للدوال الجيبية نموذج عريض (أي، ترددات منخفضة). سينسب محتوى لونيا أقوى للعناصر التي لها سويات رمادية في القسم المنحدر من الدوال الجيبية كنتيجة للفروق الهامة بين مطالات الدوال الجيبية الثلاثة الناتجة عن الازاحة في الطور بينها.

لقد تم الحصول على الصورة المبينة في اللوحة (VI(b) باستخدام دوال التحويل المبينة في الشكل 38.4(a)، الذي يبين نطاقات السويات - الرمادية التابعة للمتفجرات وحقيبة الثياب والخلفية، على التوالي. لاحظ أن للمتفجرات والخلفية سويات رمادية مختلفة تماما، ولكنها رمزتا بنفس اللون تقريبا كنتيجة لدورية الموجات الجيبية. لقد تم



الشكل 38.4 دوال تحويل استعملت للحصول على الصور المبينة في اللوحة VI

الحصول على الصورة المبينة في اللوحة (VI(c) باستخدام دوال التحويل المبينة في الشكل b)38.4). في هذه الحالة حولت نطاقات كثافة المتفجرات وحقيبة الثياب

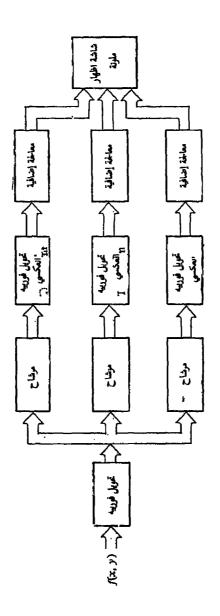
باستخدام تحويلات مشابهة ولذلك فقد تلقت أساسا نفس نسب الألوان. لاحظ أن هذا سمح لنا بالرؤية داخل المتفجرات. ان تحويلات الخلفية كانت تقريبا نفس تلك التي استعملت للوحة (VI(b) منتجة بالتالى ألوانا منسوبة مماثلة.

# A Filtering Approach مسلوب للترشيح 4.7.4

يبين الشكل 39.4 مخططا لترميز الألوان مبني على عمليات المجال الترددي. ان الفكرة الموصوفة في هذا الشكل هي نفس أسلوب الترشيح الأساسي الذي نوقش سابقا في هذا الفصل، باستثناء أن تحويل فورييه للصورة معدل بثلاثة دوال ترشيح بشكل مستقل لينتج ثلاث صور يمكن أن تغذى الى مداخل الأحمر والأخضر والأزرق لشاشة ملونة. تأمل، على سبيل المثال، تسلسل الخطوات المتبع للحصول على الصورة من أجل القناة الحمراء. ويغير تحويل فورييه لصورة الدخل باستعمال دالة مرشاح معينة. يتم الحصول على الصورة المعالجة بعدئذ باستعمال تحويل فورييه العكسي. يمكن أن يتبع بمعالجة اضافية (مثل تسوية الهيستوغرام) قبل أن تغذى الصورة الل المدخل الأحمر للشاشة. هذا وتسري تعليقات مشابهة على المرين الآخرين في الشكل 39.4.

ان الهدف من تقنية المعالجة بالألوان هذه هو ترميز مناطق لصورة ما بالألوان على أساس المحتوى الترددي لها. ان استعمال مراشيح التمرير المنخفض وتمرير النطاق (أو ايقاف النطاق) والتمرير العالي للحصول على ثلاثة مجالات من المركبات الترددية، أسلوب نموذجي للترشيح. لقد سبق وناقشنا مراشيح التمرير العالي والمنخفض. ان مراشيح ايقاف - النطاق وتمرير - النطاق هي امتداد لهذه المفاهيم.

إن أحد الأساليب لتوليد مراشيح ترفض أو تخمد ترددات حول جوار دائري لنقطة ( $u_0$ ,  $v_0$ ) هو أن نقوم بنقل للاحداثيات لمرشاح التمرير العالي المناقش في القسم 2.4.4. نوضــح الاجراء الآن من أجل المرشاح المثالي. يعطى مرشاح ايقاف النطاق المثالي (IBRF) الذي يخمد جميع الترددات في جوار نصـف قطره  $D_0$  حول نقطة



الشكل 39.4 غوذج ترشيح لتحسين الصورة بالتلوين.

بالعلاقة التالبة

$$H(u, \nu) = \begin{cases} 0 & \text{if } D(u, \nu) < D_0 \\ 1 & \text{if } D(u, \nu) > D_0 \end{cases}$$
 (6-7.4)

$$D(u, v) = \left\{ (u - u_0)^2 + (v - v_0)^2 \right\}^{1/2}$$
 (7-7.4)

لاحظ أن المعادلة (7.4-6) مماثلة في الشكل للمعادلة (4.4-12) ولكن دالة المسافة قريبه، فان النقطة ( $u_0, v_0$ ) بدلا من المبدأ. بسبب تناظر تحويل فوريبه، فان D(u, v)إيقاف - النطاق الذي لايتم حول المبدأ يجب أن يتم في زوجين متناظرين symmytric pairs لكي نحصل على نتائج ذات معنى. نعدل المعادلة (7.4-6) في حالة المرشاح المثالي كإيلي

$$D_{1}(u, v) = \begin{cases} 0 & \text{if } D_{1}(u, v) < D_{0} \text{ or } D_{2}(u, v) < D_{0} \\ 1 & \text{otherwise} \end{cases}$$
(8-7.4)

(9-7.4) $D_1(u, \nu) = \left\{ (u - u_0)^2 + (\nu - \nu_0)^2 \right\}^{1/2}$ 

$$D_2(u, \nu) = \left\{ (u + u_0)^2 + (\nu + \nu_0)^2 \right\}^{1/2}$$
 (10-7.4)

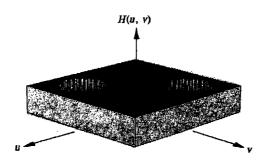
يمكن أن يوسع الاجراء بطريقة مشابهة الى أربع مناطق أو أكثر.

يمكن أن يطبق مرشاح بتروورث المعطى في القسم 2.4.4 أيضا مباشرة على رفض النطاق باتباع التقنية التي شرحت للتو من أجل المرشاح المثالي. الشكل 4..4 يبين رسما منظوريا لدالة تحويل مرشاح IBRF مثالي. ان المرشاح المناقش أعلاه موضَّع حول نقطة ما بعيدة عن مبدأ تحويل فورييه. اذا رغبنا في ازالة نطاق من الترددات مركزه في المبدأ، يمكن أن نأخذ بعين الاعتبار مراشيح متناظرة مشابهة لمراشيح التمرير المنخفضة والعالية التي نوقشت سابقا.

يعطى مرشاح رفض نطاق مثالي متناظر نصف قطرياً يزيل نطاقا من الترددات حول المبدأ بالعلاقة التالية

$$H(u, v) = \begin{cases} 1 & \text{if } D(u, v) < D_0 - \frac{W}{2} \\ 0 & \text{if } D_0 - \frac{W}{2} \le D(u, v) \le D_0 + \frac{W}{2} \end{cases}$$
 (11-7.4)
$$1 & \text{if } D(u, v) > D_0 + \frac{W}{2}$$

حيث ان w هي عرض النطاق و  $D_0$  هي مركزه نصف القطري. كما هي الحال مع جميع المراشيح المتناظرة نصف قطريا، يمكن أن يحدد هذا المرشاح بشكل كامل بمقطع عرضي.



الشكل 40.4 مرشاح رفض نطاق مثالي.

ان مرشاح رفض حزمة نوع بتروورث متناظر نصف قطريا (BBRF) من الدرجة n له دالة التحويل التالية:

$$H(u, \nu) = \frac{1}{1 + \left[\frac{D(u, \nu)W}{D^2(u, \nu) - D_0^2}\right]^{2n}}$$
(12-7.4)

حيث ان w معرفة بأنها "عرض" النطاق و  $D_0$  مركزه.

 $\ddot{x}$  مراشيح  $\ddot{x}$  مراشيح  $\ddot{x}$  النطاق الترددات في منطقة أو نطاق محددين، في حين يضعف، أو يخمد كليا جميع الترددات الأخرى. ولذلك فهي عكس مراشيح رفض النطاق  $\ddot{x}$  من مراشيح رفض النطاق  $\ddot{x}$  من مراشيح رفض النطاق التي ناقشناها للتو،  $\ddot{x}$  كن الحصول على دالة  $\ddot{x}$  دالة  $\ddot{x}$  النطاق المقابل  $\ddot{x}$   $\ddot{x}$  بساطة بقلب  $\ddot{x}$   $\ddot{x}$  أي

$$H(u, \nu) = -[H_R(u, \nu) - 1]$$
 (13-7.4)

مثال: تبين اللوحة (a) VII( صورة أحادية اللون و اللوحتان (d) VII( و (c)) هما نتائج استعمال مراشيح بتروورث. اللوحة (VII(c) تبين (في المدفع الأحمر للشاشة الملونة) نتيجة تطبيق مرشاح تمرير عال بنقطة تردد قطع على الدائرة التي تحصر 90% من قدرة الصورة (انظر القسم 3.3.4). تبين اللوحة (VII(c) الصورة المرشحة بالتمرير العالي على المدفع الأحمر، بالاضافة الى النسخة المرشحة بالتمرير منخفض (مدفع أزرق) و تمرير النطاق (مدفع أخضر) للوحة (A) VII(c). لقد تم الحصول على الصورة المرشحة بالتمرير المنخفض بنقطة القطع على الدائرة التي تحصر 98% من طاقة الصورة، وكان مدى تمرير النطاق بين الدائرتين اللتين تحصران 20% و 98% من القدرة. لقد كان التحسين الرئيس الناتج عن هذه العملية هو زيادة الوضوح للحلقة الخارجية، غير المئية غالبا في الصورة الأصلية.

#### 8.4 ملاحظات ختامية

ان المادة المعروضة في هذا الفصل تمثل التقنيات المستعملة في الواقع العملي بشكل شائع لتحسين الصورة الرقمية. ولكن يجب ألا يغيب عن الذهن أن هذا المجال من معالجة الصورة مجال ديناميكي حيث ان تقارير التقنيات والتطبيقات الجديدة شائعة في المنشورات. لهذا السبب، اختيرت معظم المواضيع المحتواة في هذا الفصل لقيمتها كادة أساسية ستخدم كأساس لدراسات أبعد في هذا المجال.

# المراجع

يمكن ايجاد مواد اضافية للقراءة من أجل المادة المعروضة في القسم 1.4 في المحكن ايجاد مواد اضافية للقراءة من أجل المادة المعروضة في القسم 1.4 في Gonzalez [1986]. Hummel [1974] و Hall et al. [1971] و Harris و Ketcham [1976] و Woods and Gonzalez [1981] و [1971] و Narendra and Fitch [1981] و 1977] الموضعي.

ان أسلوب توسيط الجوار المعروض في القسم 1.3.4 مبني على مناقشة مشابهة من Wolfe and و Huang et al. [1979] انظر Rosenfeld and Kack [1982] و Pannos [1979] انظر و المعروب المنطقة المراشيح المعروب المنطقة المراشيح المعروب المنطقة المراشيح المعروب المنطقة المراشيح أحادية المعد حيث استعمال المسافة من مبدأ تحويل فورييه بدلا من استعمال متحول وحيد لكي نحصل على دوال مراشيح متناظرة دائريا. وهذا الأمر حقيقة أيضا من أجل المراشيح المراشيح المناقشة في هذا الفصل. أنظر، على سبيل المثال، كتب [1962] Weinberg و المراشيح أحادية المناقشة المراشيع المناقشة المراشيع أحادية المناقشة المراشيع أحديث المناقشة المراشيع المناقشة المراشيع المراشيع أحديث المناقشة المراشيع أحديث المناقشة المراشيع أحديث المناقشة المراشيع أحديث المناقشة المراشيع الم

البعد. ان طريقة التنعيم بتوسيط الصورة كانت أول ما اقترحت من قبل Kohler and. Howell [1963]

ان [1951] Goldmard and Hollywood [1951] و Goldmard and Hollywood [1951] مرجعين مبكرين (قديمين) في زيادة حدة تفاصيل الصورة بالتفاضل. 

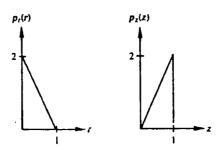
Davis مصحت طريقة تدرج روبرت من قبل [1965] Roberts. وتعطي مقالة Davis وتعطي مقالة [1965] مسحا للتقنيات المستعملة في هذا المجال بعد عقد من الزمان.

ان مقالات [1970] Prewitt و Frei and Chin [1977] هي أيضا موضع المتام. ان [1983] Lee [1983] يعطيان مثلاً على البحوث الأكثر حداثة في هذا المجال والتي تؤكد على سرعة الحساب. لقد أُخذت مناقشتنا في التأكيد على التردد العالمي من [1981] .Hall et al.

ان المادة الموجودة في القسم 5.4 مبنية على مقالة لـ [1972] Stockham. أنظر أيضا كتاب [1972] Oppenheim and Schafer. ان المادة الموجودة في القسم 6.4 هي أيضا كتاب [1973] Vermeij. و [1983] Meyer and Gonzalez. يمكن ايجاد مواد أولية عن أوليات الألوان في كتب [1958] Walsh و [1965] Kiver (1965]. ان التقنيات التي نوقشت في ألقسم 2.6.4 وحتى 4.6.4 مبنية على مقالات [1963] Smith و [1968] و [1968] Billingsley et al. [1970]. يمكن ايجاد مواد اضافية للقراءة في [1970].

# مسائل

- 1.4 اشرح لماذا لا تؤدي تقنية تسوية الهيستوغرام المتقطع الى هيستوغرام مسطح بشكل عام.
- 2.4 افترض أن صورة رقمية قد سوي هيستوغرامها. بين أن تسوية الهيستوغرام للمرة الثانية ستعطي نفس النتائج التي حصل عليها في المرة الأولى تماما.
- للسويات الرمادية المبينة  $p_{r}(r)$  PDF للسويات الرمادية المبينة أدناه.



يراد تحويل السويات الرمادية لهذه الصورة بحيث يكون لها  $p_z(z)$  المحددة المبينة أدناه. بافتراض كميات مستمرة، أوجد التحويل (بدلالة z و z) الذي سيؤ دي هذا الغرض.

- 4.4 اقترح طريقة لتحديث updating الهيستوغرام الموضعي للاستعمال في تقنية التحسين الموضعي المناقشة في القسم 4.2.4.
- 5.4 تأمل صيغة توسيط الجوار المعطاة بالمعادلة (3.4 1) وافترض أن M=4 ، الأمر الذي يعني تشكيل متوسط الجيران الأربعة المباشرة لـ (x. y) ، و لكن باستثناء (x. y) نفسه.

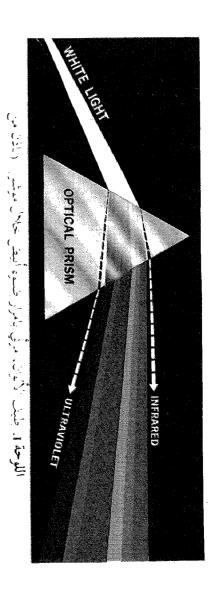
- a) أوجد المرشاح المكافء (H(u, v في المجال الترددي.
  - b) بين أن هذاالمرشاح مرشاح تمرير منخفض.
- a 6.4 عور مرشاحا لحساب الحد الأوسط median لجوار n×n.
- اقترح تقنیة لتحدیث الحد الأوسط عندما یزاح مرکز الجوار من عنصـر
   لآخر .
- 7.4 تحت أي شرط يصبح مرشاح التمرير المنخفض نوع بتروورث المعطى في المعادلة (3.4 6) مرشاحا مثاليا؟
- في أحد التطبيقات الصناعية، يرغب في استعمال التصوير بواسطة أشعة X لفحص داخل مصبوبات حديدية معينة. الهدف هو البحث عن الفراغات في المصبوبات، التي تظهر عادة كفقاعات في الصورة. ولكن المحتوى العالي من الضجيج غالبا ما يجعل الفحص صعبا، ولذلك فقد تقرر استعمال توسيط الصورة لتخفيض الضجيج، وبالتالي تحسين التباين المرئي. الهدف هو أن تحتفظ بالتوسيط في الحد الأدنى لتخفيض الزمن الذي يجب أن تبقى فيه الأجزاء ثابتة أثناء التصوير. لقد تم الاستنتاج بعد العديد من التجارب أن تنقيص الاختلاف عمار التصوير يستطيع انتاج 03 اطار/ثانية كم من الزمن يجب أن تبقى المصبوبات ثابتة أثناء التصوير للحصول على التنقيص المطلوب في الاختلاف؟ المصبوبات ثابتة أثناء التصوير للحصول على التنقيص المطلوب في الاختلاف؟
- 9.4 يتضمن الأسلوب الأساسي لحساب التدرج الرقمي (انظر القسم 1.4.4) أخذ الفروق من الشكل f(x, y) f(x + 1, y).
- a) أوجد دالة تحويل المرشاح (H(u, v) لللازم للحصول على العملية المكافئة في المجال الترددي.

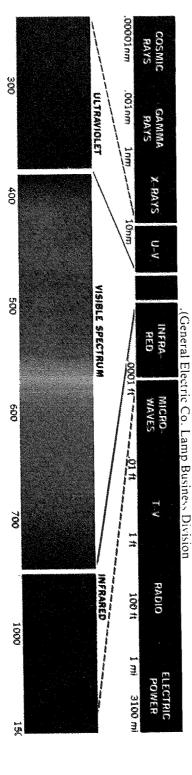
- b) بین أن هذا هو مرشاح تمریر عال.
- 10.4 ان الاجراء الذي يضم التأكيد على التردد العالي وتسوية الهيستوغرام للحصول على زيادة حدة الحواف وتحسين التباين، اجراء شائع لتحسين الصورة.
  - a) برهن ان كان هناك فرق في أن تجرى عملية قبل الأخرى.
- اذا كان هناك فرق، أعط السبب (أو الأسباب) المنطقي لاستخدام عملية قبل
   الأخرى.
- 11.4 افترض أننا قد أعطينا مجموعة من الصسور تم توليدها بتجربة تتعامل مع الأحداث النجمية (الفلكية). تحتوي كل صورة على مجموعة من النقاط اللامعة المتناثرة بشكل متباعد تابعة لنجوم في أقسام متفرقة من الكون. المسألة هي أن النجوم بالكاد يمكن أن ترى،بسبب الانارة المتراكبة الناتجة عن التشتت الأيونوسفيري. اذ نمذجنا هذه الصور كجداء لمركبة انارة ثابتة مع مجموعة من النبضات، أعط اجراء تحسين مبني على الترشيح الهومومورفي مصمما لاظهار مركبات الصورة الناتجة عن النجوم نفسها.
- 12.4 بالرجوع الى المناقشة في القسم 6.4، بين أنه اذا كان (u. v) حقيقيا ومتناظرا فان (h(x. y) يجب أن يكون حقيقياً ومتناظراً أيضاً.
- 13.4 في تطبيق تجميع آلي، يرغب في ترميز ثلاثة أصناف بالألوان لتبسيط الكشف. ولكن، هناك كاميرا تلفزيونية واحدة متوفرة. اقترح تقنية لاستعمال هذه الكاميرا لكشف الألوان الثلاثة.
- 14.4 تم تكليف عامل تقني طبي بعمل تفحص صنف معين من الصور المولدة بواسطة المجهر الالكتروني. بغرض تسهيل عملية الفحص، قرر هذا التقني أن يستعمل تحسين الصورة الرقمية. عند تفحص مجموعة من الصور المُثّلة

representative وجدت المشاكل التالية: (1) نقاط لامعة معزولة ليست موضع اهتمام و (2) نقص في حدة تفاصيل الصورة و (3) تباين غير كاف في بعض الصور و (4) انزياح في قيمة متوسط السوية الرمادية، عندما يجب أن تكون هذه القيمة للقيام بقياسات كثافة معينة بشكل صحيح.

يرغب التقني في أن يحل هذه المشاكل و يلون بالأحمر جميع السويات الرمادية في النطاق بين  $1_1$  و  $1_2$  ، افي حين يحتفظ بصبغية (نسق لوني) عادية في السويات الرمادية الباقية. اقترح تسلسلا من خطوات المعالجة التي يمكن أن يتبعها التقني لتحقيق هدفه المنشود.

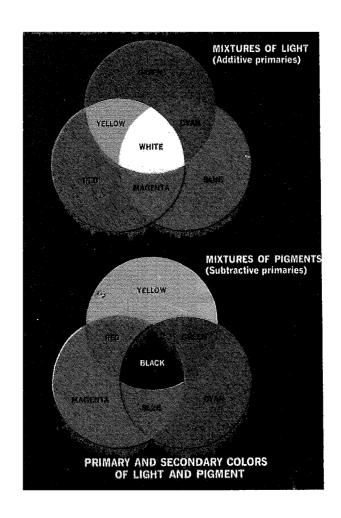
# معالجة الصور الرقمية اللوحات VII-I



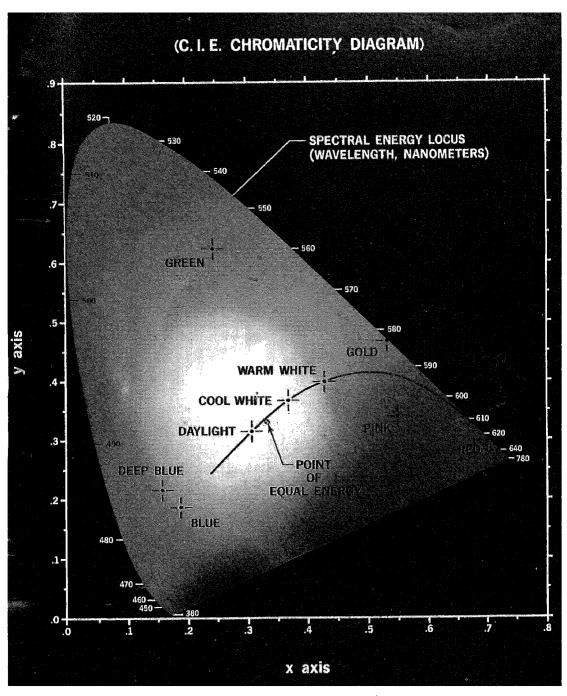


WAYELENGTH (Nanometers)

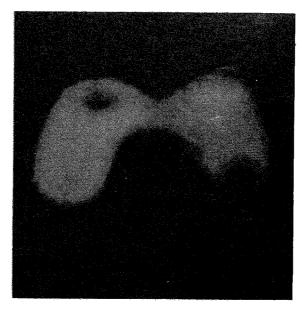
اللوحمة II. قِسم من طيف القدرة الكهرمغناطيسية يبين مدى الأمواج المكونة للطيف المرئي. (باذن من General Electric Co. Lamp Business Division).



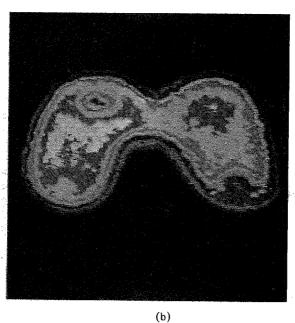
اللوحة III. الألوان الأولية والثانوية للضبوء و الأصبعة. (باذن من General Electric Co. Lamp Business Division).



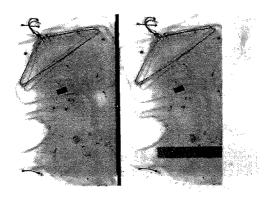
اللوحة 'IV. مخطط اللونية. (باذن من General Electric Co. Lamp Business Division).



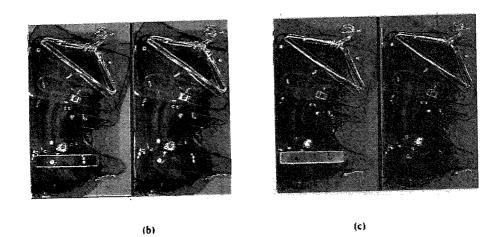
(a)



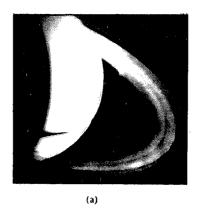
اللوحة (a) V. صورة أحادية اللون له شبح لاقط الغدة الدرقية Picker Thyroid b) .Phantom (b) نتيجة تقسيم الكثافة إلى شرائح، إلى ثمان مناطق ملونة. Dr. J. L. Blankenship, Instrumentation and Control Division, Oak (باذن من .(Ridge National Laboratory

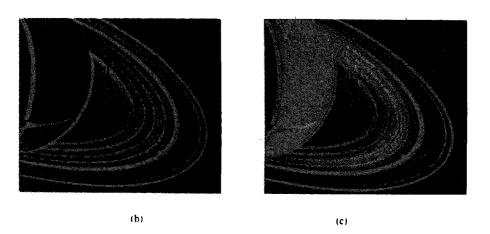


(a)



اللوحة VI. التحسين بالتلوين، باستعمال تحويلات السوية الرمادية إلى ألوان في الشكل Dr. Mike Hurwitz, Reaserch and Development . 38.4 . (الصورة الأصلية باذن من Center, Westinghouse Electric Corporation .)





اللوحة (a) VII. صورة أحادية اللون. (b) نتيجة مرشاح الترددات العالية نوع بتروورث مبينا على المدفع الأحمر للشاشة الملونة. (c) صورة مركبة من صور مرشحة بالتمرير العالي وتمرير الحزمة والتمرير المنخفض، مبينة على المدفع الأزرق والأخضر والأحمر، على التوالي.

الفصل الخامس

## استعادة الصورة

ان الأشياء التي نراها ليست في حقيقتها ما نرى...يقى مجهولا لدينا ما هي حقيقة الأشياء بحد ذاتها فباستثناء ما تستقبله حواسنا لا نعلم شيئا سوى كيفية ادراكنا لها...

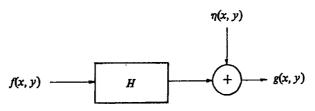
امانویل کانت Immanuel Kant

كا في تحسين الصور، فان الهدف النهائي من تقنيات الاستعادة هو تحسين صورة معينة بمفهوم ما. و بغرض التفريق، نعتبر أن الاستعادة هي عملية تحاول اعادة بناء أو استرجاع صورة تدنت نوعيتها degraded نتيجة تأثير معين، باستخدام معرفة مسبقة بالأثر الذي أدى الى تدني الصورة. وهكذا فان تقنيات الاستعادة موجهة باتجاه نمذجة التدني المولوة وهكذا فان تقنيات الاستعادة موجهة باتجاه نمذجة التدني modelling of degredation وتطبيق العملية المعاكسة لاسترجاع الصورة الأصلية. يتضمن هذا الأمر عادة صياغة معيار للجودة يؤدي استخدامه الى تقدير أمثل للنتيجة المرغوبة. ومن جهة أخرى، فان تقنيات التحسين هي اجراءات استكشافية تستفيد من الله السبكشافية تستفيد من السبك السيكوفيزيائية peusitic procedures النظام الابصار لدى الانسان. فعلى سبيل المثال، يعتبر تمديد التباين psychophysical تقنية تحسين لأنه مبني قبل كل شيء على المظاهر المحببة عديد التباين pleasing aspects التي يمكن أن تظهر للناظر، في حين أن ازالة تغبيش مسألة استعادة.

لقد اشتقت التقنيات الأولى لاستعادة الصورة الرقمية في الغالب من مفاهيم المجال الترددي. ولكننا نركز عنايتنا في هذا الفصل على أسلوب جبري أكثر حداثة

لمعالجة هذه المسألة. ان لهذا الأسلوب مزية هامة اذ أنه يسمح باشتقاق العديد من تقنيات الاستعادة بدءا من نفس المبادىء الأساسية. على الرغم من أن حلا مباشرا بالطرائق الجبرية يشتمل عادة على معالجة أنظمة كبيرة من المعادلات الآنية، فإننا نبين في الأقسام التالية أنه من الممكن، ضمن شروط معينة، تخفيض التعقيد الحسابي الى نفس السوية المطلوبة عند استخدام تقنيات الاستعادة التقليدية في المجال الترددي.

إن المادة المطورة في الأقسام التالية لاتخرج عن النطاق التمهيدي. نحن نهتم بمسألة الاستعادة بدءا من اعطاء (استلام) صورة رقمية تدنت نوعيتها فقط، ولذلك فان المواضيع التي تتعلق بالمحساس والمرقمن والتدني بالاظهار هي أمور غير مدروسة في هذا الفصل. هذه المواضيع، على الرغم من أنها مهمة في المعالجة الاجمالية لتطبيقات النصرة الصورة، فانها خارج المنحى الرئيس للمناقشة الحالية. ان المراجع المذكورة في نهاية الفصل تؤمن نقطة انطلاق للتعريف بالمنشورات الوفيرة حول هذه المواضيع و الأمور المتعلقة بها.



الشكل 1.5 نموذج لعملية التدني.

### degredation model غوذج تدن

كا هو مبين في الشكل 1.5 ، ستنمذج عملية التدني في هذا الفصل كعامل مؤثر operator (أو كنظام) H ، الذي يعمل مع حد (a(x, y) ضجيج جمعي f(x, y) ، الذي يعمل مع حد g(x, y) على التأثير على صورة دخل f(x, y) لينتج صورة متدنية f(x, y) . يمكن أن ينظر الى مسألة استعادة الصورة الرقمية على أنها مسألة الحصول على تقريب للصورة g(x, y) اذا أعطيت الصورة g(x, y) ومعرفة بالتدني ممثلة بالعامل المؤثر g(x, y) . يفترض أن معرفتنا حول g(x, y) تقتصر على معلومات ذات طبيعة احصائية g(x, y)

#### 1.1.5 بعض التعاريف

تعطى علاقة الخرج بالدخل في الشكل 1.5 بالمعادلة

$$g(x, y) = Hf(x, y) + \eta(x, y)$$
 (1-1.5)

دعنا نفترض مؤقتا أن g(x,y)=0 بحيث يكون g(x,y)=Hf(x,y) . نعرف Iinear بأنه خطى الماثنه خطى

 $H[k_1f_1(x,y)+k_2f_2(x,y)]=k_1Hf_1(x,y)+k_2Hf_2(x,y) \quad (2-1.5)$  حيث  $k_2$  مقداران ثابتان و $f_1(x,y)$  و $f_1(x,y)$  هما أية صورتي دخل. اذا جعلنا  $k_1-k_2$  فان المعادلة  $k_2-k_1$  تصبح

$$H[f_1(x,y)+f_2(x,y)] = Hf_1(x,y)+Hf_2(x,y)$$
 (3-1.5)

التي تدعى خاصة الجمعية additivity. هذه الخاصة تقول، ببساطة، اذا كان H عاملا مؤثرا خطيا، فان الاستجابة لمجموع دخلين تساوي مجموع الاستجابتين.

اذا جعلت 
$$(2-1.5)$$
 أفان المعادلة  $|f_2(x, y)| = 0$  اذا جعلت

$$H[k_1 f_1(x, y)] = k_1 H f_1(x, y)$$
 (4-1.5)

وهذا مايسمى خاصة التجانس homogeneity التي تقول: ان الاستجابة لمضاعف ثابت multiple constant لأي دخل يساوي الاستجابة لذلك الدخل مضروبا بنفس الثابت. وهكذا نرى أن للعامل المؤثر الخطي خاصتي الجمعية و التجانس.

يقال عن عامل مؤثر ذي علاقة دخل g(x,y)=Hf(x,y) أنه غير متعلق بالموضع (أو الحيز) space—invariant اذا كان

$$Hf(x-\alpha,y-\beta)=g(x-\alpha,y-\beta) \hspace{1cm} (5-1.5)$$

من أجل أية صورة (x, y)وأية  $\alpha$  أو  $\beta$ . ان هذا التعريف يدل على أن الاستجابة في أية نقطة من الصورة تعتمد على قيمة الدخل في تلك النقطة فقط، وليس على موضع النقطة.

#### 2.1.5 غوذج تدن للدوال المستمرة

#### degredation model for continuous functions

f(x, y) من تعريف الدالة النبضية المعطى بالمعادلة (3.3–46)، نستطيع أن نعبر عن f(x, y) بالشكل

$$f(x,y) = \int_{-\infty}^{\infty} \int_{-\infty}^{\infty} f(\alpha,\beta) \delta(x-\alpha,y-\beta) d\alpha d\beta \qquad (6-1.5)$$

عندئذ، اذا كانت 0=(x,y)=0 في المعادلة (1.5–1)، يكون

$$g(x,y) = Hf(x,y) = H \int_{-\infty}^{\infty} \int_{-\infty}^{\infty} f(\alpha,\beta) \delta(x-\alpha,y-\beta) d\alpha d\beta \qquad (7-1.5)$$

اذا كان H عاملا مؤثرا، ونحن نفترض أن خاصــة الجمعية صحيحة من أجل التكاملات، يكون عندئذ

$$g(x,y) = \int_{-\infty}^{\infty} H[f(\alpha,\beta)\delta(x-\alpha,y-\beta)] d\alpha d\beta \qquad (8-1.5)$$

نظراً لأن  $f(\alpha, \beta)$  مستقلة عن x و y ، ينتج من خاصة التجانس أن

$$g(x,y) = \int_{-\infty}^{\infty} \int_{-\infty}^{\infty} f(\alpha,\beta)H\delta(x-\alpha,y-\beta) d\alpha d\beta \qquad (9-1.5)$$

$$h(x, \alpha, y, \beta) = H\delta(x - \alpha, y - \beta)$$
 (10-1.5)

يدعى الاستجابة النبضية لـ H. بكلمات أخرى، اذا كانت n(x, y) = 0 في المعادلة ( $\alpha, \beta$ )، نرى أن  $h(x, \alpha, y, \beta)$  هي استجابة H لنبضة عند الاحداثيين ( $\alpha, \beta$ ). في البصريات، تصبح النبضة نقطة ضوء ويشار عادة لـ $\alpha, \gamma, \beta$  في هذه الحالة بـ cpoint spread function (PSF).

ان تعويض المعادلة (1.5-10) في المعادلة (1.5-9) يعطي العلاقة

$$g(x,y) = \int_{-\infty}^{\infty} \int_{-\infty}^{\infty} f(\alpha,\beta)h(x,\alpha,y,\beta) d\alpha d\beta \qquad (11-1.5)$$

التي تسسمى تكسامل التراكب (أو فريدهولم Fredholm) من النوع الأول superposition integral. ان هذه العبارة ذات أهمية أساسية في نظرية النظام الخطي. انها تنص على أنه اذا كانت استجابة H لنبضة ما معروفة، يمكن عندئذ حساب الاستجابة لأي دخل  $f(\alpha,\beta)$  بالمعادلة (1.5–11). بكلمات أخرى، يوص. أن نظام خطي H position وصفا تاما باستجابته النبضية. اذا كان H غير متغير بالنسبة للموضع invariant

$$H\delta(x-\alpha,y-\beta) = h(x-\alpha,y-\beta)$$
 (12–1.5) تبسط المعادلة (11–1.5) في هذه الحالة الى

$$g(x,y) = \int_{-\infty}^{\infty} \int_{-\infty}^{\infty} f(\alpha,\beta)h(x-\alpha,y-\beta) d\alpha d\beta \qquad (13-1.5)$$

الذي يعرف به "تكامل الطي" المعرف بالمعادلة (3.3-30).

inear بوجود الضبحيج الجمعي، المعادلة التي تصف نموذج تدن خطي degredation model

$$g(x,y) = \int_{-\infty}^{\infty} \int_{-\infty}^{\infty} f(\alpha,\beta)h(x,\alpha,y,\beta) d\alpha d\beta + \eta(x,y)$$
 (14-1.5)

اذا كان H غير متغير بالنسبة للموضع، تصبح هذه المعادلة

$$g(x,y) = \int_{-\infty}^{\infty} \int_{-\infty}^{\infty} f(\alpha,\beta)h(x-\alpha,y-\beta) d\alpha d\beta + \eta(x,y) \quad (15-1.5)$$

طبعا، يفترض أن الضجيج في كلتا الحالتين مستقل عن الموضع في الصورة.

يمكن تقريب أنواع كثيرة من "التدنيات" degredations بعمليات خطية غير متغيرة بالنسبة للموضع position invariant. ان مزية هذه الطريقة هي أن الأدوات الشاملة لنظرية النظام الخطي تصبح عندئذ متوفرة لحل مسائل استعادة الصورة. ان التقنيات غير الخطية والمتغيرة بالنسبة للحيز space variant تقدم صعوبات ذات حل غير معروف غالبا، أو صحعبة الحل جدا حسابيا، على الرغم من أنها أكثر عمومية أو أكثر دقة عادة). تركز العناية في هذا الفصل على تقنيات الاستعادة الخطية غير

المتغيرة بالنسبة للموضع. ولكن، كما سنرى في المناقشة التالية، حتى هذا التبسيط، يمكن أن ينتج مشاكل حسابية والتي اذا عولجت مباشرة، فانها ستكون خارج امكانات معظم حواسيب الوقت الحاضر.

## 3.1.5 التشكيل المتقطع 3.1.5

يبسط تطوير نموذج التدني المتقطع، غير المتغير بالنسبة للحيز بالبدء بالحالة أحادية—البعد واهمال حد الضجيج مؤقتا. افترض أن دالتين h(x) و f(x) قد اعتينتا بانتظام لتشكيل صفيفين بعديهما A و B، على التوالي. في هذه الحالة، نفسر B-1,...,2,1,0 من أجل f(x) و aboveneque A-1,...,2,1,0 من أجل aboveneque A-1,...,2,1,0 من أجل aboveneque A-1,...,2,1,0 ان تشكيل الطي المتقطع المعطى في القسم aboveneque A-1,...,2,1,0 ان تشكيل الطي المتقطع المعطى في القسم aboveneque A-1,...,2,1,0 الدوال المعتانة دورية بدور قدره aboveneque A-1,...,2,1,0 المحددة، ينتج من المعادلة (aboveneque A-1,...,2,1,0 أن طي هذه الدوال يعطى بالمعادلة المعادلة

$$g_e(x) = \sum_{m=0}^{M-1} f_e(m) h_e(x-m)$$
 (16-1.5)

من أجل  $f_e(x)$  و  $g_e(x)$ . لأننا افترضنا أن كلا من  $f_e(x)$  و أدات دور  $g_e(x)$  خات دور إيساوي  $g_e(x)$  خان  $g_e(x)$  لها هذا الدور أيضا.

يمكن التحقق بسهولة بمعالجة المصفوفات أن المعادلة (1.5-16) يمكن أن يعبر عنها بالشكل

$$g = Hf$$
 (17-1.5).

M – dimensional column vectors بعدا M – بعدا g g g و g ما متجها عمود به M – بعدا M

$$\mathbf{f} = \begin{bmatrix} f_e(0) \\ f_e(1) \\ \vdots \\ f_e(M-1) \end{bmatrix}$$
 (18-1.5)

,

$$\mathbf{g} = \begin{bmatrix} g_e(0) \\ g_e(1) \\ \vdots \\ g_e(M-1) \end{bmatrix}$$
 (19-1.5)

H هي المصفوفة التي أبعادها M × M

$$\mathbf{H} = \begin{bmatrix} h_{e}(0) & h_{e}(-1) & h_{e}(-2) & \cdots & h_{e}(-M+1) \\ h_{e}(1) & h_{e}(0) & h_{e}(-1) & \cdots & h_{e}(-M+2) \\ h_{e}(2) & h_{e}(1) & h_{e}(0) & \cdots & h_{e}(-M+3) \\ \vdots & & & & \\ h_{e}(M-1) & h_{e}(M-2) & h_{e}(M-3) & \cdots & h_{e}(0) \end{bmatrix}$$
(20-1.5)

لأننا افترضنا أن  $h_e(x) = h_e(x) + h_e(x) + h_e(x)$ . باستعمال هذه الخاصة، يمكن كتابة المعادلة (1.5 – 20) بالشكل

$$\mathbf{H} = \begin{bmatrix} h_{\epsilon}(0) & h_{\epsilon}(M-1) & h_{\epsilon}(M-2) & \cdots & h_{\epsilon}(1) \\ h_{\epsilon}(1) & h_{\epsilon}(0) & h_{\epsilon}(M-1) & \cdots & h_{\epsilon}(2) \\ h_{\epsilon}(2) & h_{\epsilon}(1) & h_{\epsilon}(0) & \cdots & h_{\epsilon}(3) \\ \vdots & & & & \\ h_{\epsilon}(M-1) & h_{\epsilon}(M-2) & h_{\epsilon}(M-3) & \cdots & h_{\epsilon}(0) \end{bmatrix}$$
(21-1.5)

تلعب بنية هذه المصفوفة دورا أساسيا عبر بقية هذا الفصل. من المعادلة (1.5 – 12) نرى أن صفوف H ترتبط فيا بينها بانتقال دائري circular shift اليمين، أي أن عنصر أقصى اليمين في صف ما يساوي عنصرا أقصى اليسار في الصف الذي يقع تحته مباشرة. يسمى الانتقال دائريا لأن العنصر المنتقل من النهاية اليمنى لصف ما يظهر في النهاية اليسرى. ويلاحظ أيضا في المعادلة (1.5 – 21) أن الدائرية كاملة، بمعنى أنها تمتد من الصف الأخير رجوعا الى الصف الأول. ان المصفوفة المربعة التي يكون فيها كل صف انتقال دائري للصف السابق، والصف الأول هو انتقال دائري للصف الأخير، تسمى "المصفوفة الدوارة" circulant matrix. من المهم ألا يغيب عن الذهن أن السلوك الدائري له هو نتيجة مباشرة للدورية المفروضة في المربع.

مثال: افترض أن A=4 و B=3 يمكن أن نفترض أن M=6 وعندئذ نضيف صفرين الى عينات (f(x) وثلاثة أصفار لعينات (h(x) في هذه الحالة، f و g هما متجهان سداسيا الأبعاد و f هي المصفوفة ذات الأبعاد f(x).

$$\mathbf{H} = \begin{bmatrix} h_{e}(0) & h_{e}(5) & h_{e}(4) & \cdots & h_{e}(1) \\ h_{e}(1) & h_{e}(0) & h_{e}(5) & \cdots & h_{e}(2) \\ h_{e}(2) & h_{e}(1) & h_{e}(0) & \cdots & h_{e}(3) \\ \vdots & & & & \\ h_{e}(5) & h_{e}(4) & h_{e}(3) & \cdots & h_{e}(0) \end{bmatrix}$$

ولكن، لأن  $h_e(x)=0,1,2$  من أجل  $h_e(x)=h(x)$ ، و  $h_e(x)=0,1,2$  من أجل  $h_e(x)=0$  يكون لدينا

$$\mathbf{H} = \begin{bmatrix} h(0) & & h(2) & h(1) \\ h(1) & h(0) & & h(2) \\ h(2) & h(1) & h(0) & & \\ & h(2) & h(1) & h(0) & \\ & & h(2) & h(1) & h(0) \\ & & & h(2) & h(1) & h(0) \end{bmatrix}$$

حيث ان جميع العناصر التي لم يشر اليها في المصفوفة هي أصفار.

ان تمدید المناقشة السابقة الی نموذج تدن متقطع ثنائي – الأبعاد two – demensional discrete degredation model x کن أن يتم مباشرة. اذا کان لدينا صورتان x y و x y مرقمنتان بقياسين x y و x y مرقمنتان بقياسين x y و x y مرقمنتان بقياسين المدكورتين أعلاه بأصفار. x أشرنا في القسم x y فإن أحد الاجراءات لعمل ذلك هو أن نجعل

$$f_{e}(x,y) = \begin{cases} f(x,y) & 0 < x < A - 1 & \text{and} & 0 < y < B - 1 \\ 0 & A < x < M - 1 & \text{or} & B < y < N - 1 \end{cases}$$

 $h_e(x, y) = \begin{cases} h(x, y) & 0 \le x \le C - 1 \text{ and } 0 \le y \le D - 1\\ 0 & C \le x \le M - 1 \text{ or } D \le y \le N - 1 \end{cases}$ 

اذا عاملنا الدالتين الممددتين  $h_e(x,y)_g f_e(x,y)$  على أنهما دوريتان في بعدين، بدورين M و M في الاتجاهين M و M على التوالي، ينتج عندئذ من المعادلة (3.3–35) أن طي هاتين الدالتين يعطى بالعلاقة

$$g_e(x,y) = \sum_{m=0}^{M-1} \sum_{n=0}^{N-1} f_e(m,n) h_e(x-m,y-n)$$
 (22-1.5)

و

 $g_e(x, y)$  و y=0,1,2,...,N-1 و x=0,1,2,...,M-1 ان دالة الطي x=0,1,2,...,M-1 دورية بنفس دور  $f_e(x, y)$  و  $f_e(x, y)$  يتم تجنب تراكب أدوار الطي الفردية باختيار M>0 و M>0 و M>0 و M>0 أبعاده  $M \times N$  الى المعادلة (22-1.5) بيث يكون

$$g_e(x,y) = \sum_{m=0}^{M-1} \sum_{n=0}^{N-1} f_e(m,n) h_e(x-m,y-n) + \eta_e(x,y)$$
 (23-1.5)

y=0,1,2,...,N-1 و x=0,1,2,...,M-1

$$\mathbf{g} = \mathbf{H}\mathbf{f} + \mathbf{n} \tag{24 - 1.5}$$

حيث ان f و g و n هي بأبعاد  $I \times (MN)$  و H بأبعاد  $MN \times MN$  . تتكون هذه المصفوفة من  $M \times N$  جزء بأبعاد  $M \times N$  و مرتب طبقا لما يلي

$$\mathbf{H} = \begin{bmatrix} \mathbf{H}_{0} & \mathbf{H}_{M-1} & \mathbf{H}_{M-2} & \cdots & \mathbf{H}_{1} \\ \mathbf{H}_{1} & \mathbf{H}_{0} & \mathbf{H}_{M-1} & \cdots & \mathbf{H}_{2} \\ \mathbf{H}_{2} & \mathbf{H}_{1} & \mathbf{H}_{0} & \cdots & \mathbf{H}_{3} \\ \vdots & & & & & \\ \mathbf{H}_{M-1} & \mathbf{H}_{M-2} & \mathbf{H}_{M-3} & \cdots & \mathbf{H}_{0} \end{bmatrix}$$
(25-1.5)

يلي: يبنى كل جزء  $H_{\rm i}$  من الصف رقم  $H_{\rm i}$  من الدالة الممددة  $H_{\rm i}$  يلي:

$$\mathbf{H}_{j} = \begin{bmatrix} h_{e}(j,0) & h_{e}(j,N-1) & h_{e}(j,N-2) & \cdots & h_{e}(j,1) \\ h_{e}(j,1) & h_{e}(j,0) & h_{e}(j,N-1) & \cdots & h_{e}(j,2) \\ h_{e}(j,2) & h_{e}(j,1) & h_{e}(j,0) & \cdots & h_{e}(j,3) \\ \vdots & & & & & \\ h_{e}(j,N-1) & h_{e}(j,N-2) & h_{e}(j,N-3) & \cdots & h_{e}(j,0) \end{bmatrix}$$

$$(26-1.5)$$

حيث، كما في المعادلة (1.5 – 21)، تم استخدام دورية  $h_{a}(x, y)$ يلاحظ أن  $H_{b}(x, y)$ مصفوفة دوارة، وأن الرموز الدليلية subscripts لكتل H قد كتبت بطريقة دوارة. لهذه الأسباب، غالبا ما تدعى المصفوفة المعطاة بالمعادلة (1.5 – 25) مصفوفة الكتل الدوارة  $h_{a}(x, y)$ . block – circulant – matrix

ان معظم المناقشة في القسم التالي مركزة حول نموذج التدني المتقطع المعطى بالمعادلة (24-1.5). من المهم ألا يغيب عن الذهن أن هذه المعادلة اشتقت بافتراض عملية

تدن خطية غير متغيرة بالنسبة للموضع. كما أشير سابقاً، الغرض هو تقدير الصورة المثالية f(x, y)، اذا أعطيت g(x, y) ومعرفة g(x, y) و h(x, y). و بدلالة المعادلة (1.5–24)، هذا يعني أننا مهتمون بتقدير g(x, y) اذا أعطينا g(x, y) بعض المعرفة حول g(x, y) هذا يعني أننا مهتمون بتقدير g(x, y) بناه و بعض المعرفة حول g(x, y) بالمراق المعادلة (1.5–24) تبدو، بشكل مضلل، بسيطة فإن حلاً مباشراً هذه المعادلة للحصول على عناصر g(x, y) عناصر g(x, y) بين عناصر g(x, y) بين عناصر g(x, y) بين المعادلة المعادلة عناه مكون من g(x, y) معادلة وهكذا، فإن الحصول على g(x, y) مباشرة سيتطلب حل نظام مكون من 142040 معادلة وهكذا، فإن الحصول على g(x, y) مباشرة سيتطلب حل نظام مكون من 14واص خطية آنية. لحسن الحظ، يمكن تخفيض تعقيد هذه المسألة بالاستفادة من الخواص الدوارة له g(x, y) هو مبين في القسم التالي.

#### 2.5 جعل المصفوفات الدوارة ومصفوفات الكتل – الدوارة قطرية

#### diagonalization of circulant and block - circulant matrices

نبين في هذا القسم أن الحلول المعقولة حسابياً يمكن الحصول عليها من النموذج المعطى بالمعادلة (1.5–24) بجعل المصفوفة H قطرية. لتبسيط الشرح نبدأ المناقشة بدراسة المصفوفات الدوارة. بعدئذ يمدد الاجراء الى مصفوفات الكتل الدوارة .block – circulant matrices

#### 1.2.5 المصفوفات الدوارة 1.2.5

لنأخذ مصفوفة دوارة أبعادها M×M من الشكل

$$\mathbf{H} = \begin{bmatrix} h_{c}(0) & h_{c}(M-1) & h_{c}(M-2) & \cdots & h_{c}(1) \\ h_{c}(1) & h_{c}(0) & h_{c}(M-1) & \cdots & h_{c}(2) \\ h_{c}(2) & h_{c}(1) & h_{c}(0) & \cdots & h_{c}(3) \\ \vdots & & & & & \\ h_{c}(M-1) & h_{c}(M-2) & h_{c}(M-3) & \cdots & h_{c}(0) \end{bmatrix}$$

$$(1-2.5)$$

لنعرف دالة لا اتجاهية (λ(k و متجها (w(k كما يلي:

$$\lambda(k) = h_e(0) + h_e(M-1) \exp\left[j\frac{2\pi}{M}k\right] + h_e(M-2) \exp\left[j\frac{2\pi}{M}2k\right] + \cdots + h_e(1) \exp\left[j\frac{2\pi}{M}(M-1)k\right]$$
 (2-2.5)

حيث ان 1− √=j ، و

$$\mathbf{w}(k) = \begin{bmatrix} 1 \\ \exp\left[j\frac{2\pi}{M}k\right] \\ \exp\left[j\frac{2\pi}{M}2k\right] \\ \vdots \\ \exp\left[j\frac{2\pi}{M}(M-1)k\right] \end{bmatrix}$$
(3-2.5)

matrix من أجل k=0,1,2,...,M-1 يكن أن نبين بضـــرب المـــفوفات multiplication

$$\mathbf{Hw}(k) = \lambda(k)\mathbf{w}(k) \tag{4-2.5}$$

تدل هذه المصفوفة على أن (w(k) هو متجه مميز eigenvector للمصفوفة الدوارة H و (k) هي قيمتها الميزة المقابلة.

افترض أننا نشكل مصفوفة W أبعادها M×M باستعمال الـ M متجها مميزا لـ H كأعمدة، أي

 $\mathbf{W} = \begin{bmatrix} \mathbf{w}(0) & \mathbf{w}(1) & \mathbf{w}(2) & \cdots & \mathbf{w}(M-1) \end{bmatrix}$  (5-2.5) يعطى عنصر  $\mathbf{W}$  رقم ki مشارا اليه بـ  $\mathbf{W}(\mathbf{k},\mathbf{i})$  بالمعادلة

$$W(k,i) = \exp\left[j\frac{2\pi}{M}ki\right] \qquad (6-2.5)$$

من أنجــل M-1. k,i=0,1,2,... بسبب خصــــــائص التعــامد للأس العقــدي k,i=0,1,2,... معكـوس orthogonality properties of the complex exponential  $W^{-1}(k,i)$  , بالمعاينة inspection. ان عنصـرها رقم ki مرموزا له بــ  $W^{-1}(k,i)$ 

يعطى بالمعادلة 
$$W^{-1}(k,i) = \frac{1}{M} \exp\left[-j\frac{2\pi}{M}ki\right]$$
 (7-2.5)

يمكن باستعمال المعادلتين (2.5-6) و (2.5-7) التحقق أن

$$WW^{-1} = W^{-1}W = I (8-2.5)$$

حيث ان I هي المصفوفة الواحدية identity matrix دات الأبعاد M×M.

ان أهمية وجود معكوس المصفوفة،  $W^{-1}$ ، تكمن في أنه يضمن أن تكون أعمدة  $W^{-1}$  (أي المتجهات الميزة لـ  $W^{-1}$ ) مستقلة خطيا Linearly independent. ينتج عندئذ من نظرية المصفهفات الأولية (Nobel 1969) أنه يمكن التعبير عن  $W^{-1}$  بالشكل

$$\mathbf{H} = \mathbf{W}\mathbf{D}\mathbf{W}^{-1} \tag{9-2.5}$$

أو، باستعمال المعادلة (2.5–8)

$$D = W^{-1}HW (10-2.5)$$

eigenvalues هي القيم المميزة و عناصره D(k, k) هي القيم المميزة و عناصره D(k, k) هي القيم المميزة D(k, k)

$$D(k, k) = \lambda(k) \qquad (11-2.5)$$

تدل المعادلة (2.5–10) على أن H تُجعل قطرية باستعمال  $W^{-1}$  و W بالترتيب المشار اليه.

#### 2.2.5 مصفوفات الكتل-الدوارة block - circulant matrices

ان مصفوفة التحويل لجعل الكتل الدوارة block circulants قطرية تبني كإيلي:

دع

$$w_M(i, m) = \exp\left[j\frac{2\pi}{M}im\right]$$
 (12-2.5)

و

$$w_N(k, n) = \exp\left[j\frac{2\pi}{N}kn\right]$$
 (13-2.5)

 $M^2$  وتحتوي  $M^2$  بناءا على هذه الملاحظة، نعرف مصفوفة  $M^2$  قياسها  $M^2$  ومحتوي  $M^2$  بناءا على  $M^2$  يعرف الجزء رقم  $M^2$  من  $M^2$  بالمعادلة

$$W(i, m) = w_M(i, m)W_N$$
 (14-2.5)

من أجل  $N \times N$  وعناصرها .i,m=0,1,2,...,M-1 من أجل  $N \times N$  وعناصرها

$$W_N(k, n) = w_N(k, n)$$
 (15-2.5)

من أجل N-1, N-1, ان معكوس المصفوفة،  $W^{-1}$  هي أيضا مصفوفة im من بقياس  $N\times N$ . يعرف الجزء رقم im من المصفوفة  $W^{-1}$  ، مرموزا اليه بـ  $W^{-1}$  ، كما يلى

$$W^{-1}(i, m) = \frac{1}{M} w_M^{-1}(i, m) W_N^{-1}$$
 (16-2.5)

حيث ان  $w^{-1}(i,m)$  تعطى بالمعادلة

$$w_M^{-1}(i, m) = \exp\left[-j\frac{2\pi}{M}im\right]$$
 (17-2.5)

من أجل i,m=0,1,2,...,M-1. للمصفوفة  $\mathbf{W}^{-1}$  عناصر

$$W_N^{-1}(k, n) = \frac{1}{N} w_N^{-1}(k, n)$$
 (18-2.5)

حيث

$$w_N^{-1}(k, n) = \exp\left[-j\frac{2\pi}{N}kn\right]$$
 (19-2.5)

من أجل N-1,..., k,n=0,1,2. يمكن التحقق بالتعويض المباشر لعناصـر W و  $W^{-1}$  المذكورة أعلاه أن

$$WW^{-1} = W^{-1}W = 1$$
 (20-2.5)

حيث ان I هي المصفوفة الواحدية ذات الأبعاد MN×MN.

باستخدام النتائج الواردة في القسم السابق، يمكن أن نبين (Hunt 1973) أنه اذا كانت H مصفوفة كتل دوارة، يمكن أن تكتب كما يلي

$$H = WDW^{-1}$$
 (21 - 2.5)

$$D = W^{-1}HW (22 - 2.5)$$

حيث ان D هي مصفوفة قطرية تتعلق عناصره D(k, k) بتحويل فورييه المتقطع للدالة الممددة  $h_e(x, y)$  المعطاة في القسم 3.1.5. و يمكن أن نبين أيضا أن منقول المصفوفة  $h_e(x, y)$  مرموزا اليه بـ H ، يعطى بالمعادلة

$$H' = WD^*W^{-1}$$
 (23 – 2.5)

حيث ان \*D هو الترافق العقدي complex conjugate لـ D.

## 3.2.5 آثار جعل المصفوفات قطرية على نموذج التدني.

#### effects of diagonalization on the degredation model

نظرا لأ المصفوفة H في النموذج الأحادي-البعد المتقطع للمعادلة (1.5-17) هي مصفوفة دوارة، يمكن أن يعبر عنها بشكل المعادلة (2.5-9). تصبح المعادلة (1.5-17) عندئذ

$$g = WDW^{-1}f$$
 (24-2.5)

باعادة ترتيب هذه المعادلة يصبح لدينا

$$W^{-1}g = DW^{-1}f$$
 (25-2.5)

ان الجداء  $W^{-1}f$  هو متجه عمود بـ M – بعدا. من المعادلة ( $V^{-1}f$ ) و تعریف  $W^{-1}f$  المعطى في القسم 3.1.5 ، يعطى العنصر رقم  $W^{-1}f$  من لجداء  $W^{-1}f$  و الذي نرمز له بـ  $W^{-1}f$  ، بالمعادلة

$$F(k) = \frac{1}{M} \sum_{i=0}^{M-1} f_{\epsilon}(i) \exp\left[-j\frac{2\pi}{M}ki\right]$$
 (26-2.5)

من أجل M-1, M-1, K=0,1,2,..., M-1 به المتقطع للتتابع المحدد M-1, بكلمات أخرى، ان ضرب M-1 بالمحدد M-1, بكلمات أخرى، ان ضرب M-1 بالمحدد ويعطي متجها عناصر ويعلم تحويلات فورييه لعناصر M-1, بشكل مشابه، M-1 يعطي تحويل فورييه لعناصر ومروزا اليها بالمحل M-1, M-1.

بعد ذلك نتفحص المصفوفة D في المعادلة (2.5 – 25). نحن نعرف من المناقشة الواردة في القسم D أن عناصر القطر الرئيسي D main – diagonal هي القيم المميزة eigenvalues للمصفوفة الدوارة D. ان القيم المميزة معطاة في المعادلة (2.5 – 2) التي، باستعمال الحقيقة المجسدة في المعادلة التالية

$$\exp\left[j\frac{2\pi}{M}(M-i)k\right] = \exp\left[-j\frac{2\pi}{M}ik\right]$$
 (27-2.5)

يمكن أن تكتب بالشكل

$$\lambda(k) = h_{e}(0) + h_{e}(1) \exp\left[-j\frac{2\pi}{M}k\right] + h_{e}(2) \exp\left[-j\frac{2\pi}{M}2k\right] + \cdots + h_{e}(M-1) \exp\left[-j\frac{2\pi}{M}(M-1)\right]$$
(28-2.5)

من المعادلتين (2.5–11) و (2.5–28) لدينا

$$D(k, k) = \lambda(k) = \sum_{i=0}^{M-1} h_e(i) \exp\left(-j\frac{2\pi}{M}ki\right)$$
 (29-2.5)

من أجل MH(k), يعرف الطرف الأيمن من هذه المعادلة بـ MH(k)، حيث ان  $h_e(x)$  هو تحويل فورييه المتقطع للتتابع الممدد  $h_e(x)$ . وهكذا

$$D(k, k) = MH(k).$$
 (30-2.5)

نستطيع دمج هذه التحويلات في نتيجة واحدة. نظرا لأن D مصفوفة قطرية، فان جداء D مع أي متجه يضرب كل عنصر من ذلك المتجه بعنصر قطري وحيد من D وبالتالي فإن صيغة المصفوفة المعطاة بالمعادلة (2.5 – 25) يمكن أن تخفض الى جداء حد بخد term - by - term لتتابعات تحويل فورييه أحادي البعد. بكلمات أخرى،

$$G(k) = MH(k)F(k)$$
 (31-2.5)

من أجل  $W^{-1}$  و عنداصر المتجه G(k) هي عنداصر المتجه K=0,1,2,...,M-1 من أجل K=0,1,2,...,M-1 هي عناصر المتجه E=0,1,2,...,M-1 المعادلة E=0,1,2,...,M-1 هي عناصر المتجه E=0,1,2,...,M-1 هي المجال الترددي (انظر القسم E=0,1,2,...,M-1 من E=0,1,2,...,M-1 هي المجال الترددي (انظر القسم E=0,1,2,...,M-1 من E=0,1,2,...,M-1 هي المحل حسابية، تتضمن هذه النتيجة تبسيطا هاماً لأن E=0,1,2,...,M-1 هي قويلات متقطعة بـ E=0,1,2,...,M-1 عينة، والتي يمكن الحصول عليهما باستخدام خوارزمية تحويل فورييه السريع E=0,1,2,...,M-1

يوجد اجراء مشابه لذلك الذي طورناه أعلاه، يعطي من أجل نموذج التدني ثنائي—الأبعاد نتائج مكافئة. ان ضرب طرفي المعادلة (1.5 – 24) بـ  $W^{-1}$ ، واستعمال المعادلتين (2.5 – 20) و (2.5 – 21)، يعطي

$$W^{-1}g = DW^{-1}f + W^{-1}n \qquad (32-2.5)$$

حيث ان  $W^{-1}$  هي مصفوفة أبعادها MN × MN و عناصرها معطاة بالمعادلة (2.5–16) و D هي مصفوفة قطرية أبعادها MN × MN و H هي مصفوفة الكتل الدوارة block – circulant matrix التي أبعادها MN × MN المعرفة بالمعادلة (2.5–25) و و و هما متجهان بأبعاد MN مشكلان بتكديس صفوف الصور الممددة  $f_e(x,y)$  و و  $g_o(x,y)$ 

ان الطرف الأيسر من المعادلة (2.5–32) هو متجه أبعاده 1 × MN دعنا نرمز لعناصره بـ

G(0,0), G(0,1),...,  $G(0 \neq N-1)$ ; G(1,0), G(1,1),..., G(1,N-1),...; G(M-1,0), G(M-1,1),..., G(M-1,N-1).

يمكن اثبات (Hunt 1973) أن

$$G(u, v) = \frac{1}{MN} \sum_{x=0}^{M-1} \sum_{y=0}^{N-1} g_e(x, y) \exp\left[-j2\pi(ux/M + vy/N)\right] (33-2.5)$$

من أجل u=0,1,2,...,M-1 و u=0,1,2,...,M-1 تعرف هذه الصيغة بـ "تحويل فورييه ثنائي الأبعاد لـ  $g_{e}(x,y)$  بكلمات أخرى، ان عناصر  $w^{-1}g$  تقابل

الصفوف المكدسة لمصفوفة محويل فورييه بعناصر  $G(u, \nu)$  من أجل  $W^{-1}f$  و u=0,1,2,...,M-1 و w=0,1,2,...,M-1 و w=0,1,2,...,M-1 و w=0,1,2,...,M-1 ابعادهما w=0,1,2,... و w=0,1,2,... و w=0,1,2,...

$$F(u, v) = \frac{1}{MN} \sum_{x=0}^{M-1} \sum_{y=0}^{N-1} f_{\epsilon}(x, y) \exp[-j2\pi(ux/M + vy/N)] (34-2.5)$$

$$N(u, v) = \frac{1}{MN} \sum_{x=0}^{M-1} \sum_{y=0}^{N-1} \eta_{\epsilon}(x, y) \exp[-j2\pi(ux/M + vy/N)] (35-2.5)$$

من أجل u=0,1,2,...,M-1 و v=0,1,2,...,M-1.

أخيراً، إن عناصر المصفوفة القطرية D تتعلق بتحويل فورييه لدالة استجابة النبضة الممددة ( $h_e(x,y)$ ، أي

$$H(u, v) = \frac{1}{MN} \sum_{x=0}^{M-1} \sum_{y=0}^{N-1} h_e(x, y) \exp \left[ -j2\pi (ux/M + vy/N) \right] (36-2.5)$$

من أجل I-MN,...,M-1 و I-N,...,M-1 من أجل I-N,...,M-1 و I-N,...,M-1 من أجل I-N عنصرا الأولى هي I-N,...,I-N,I-N, والـ I-N عنصرا التالية هي I-N,...,I-N, I-N, I-N

$$D(k, i) = \begin{cases} MNH\left(\left[\frac{k}{n}\right], k \mod N\right) & \text{if } i = k \\ 0 & \text{if } i \neq k \end{cases}$$
(37-2.5)

حيث تستعمل [p] للاشارة الى العدد الصحيح الأكبر الذي لايزيد على p، و k mod N هو الباقي الذي يحصل عليه بقسمة k على N.

باستعمال المعادلات (2.5-33) حتى (2.5-36)، ليس صعبا أن نبين أن العناصر الافرادية للمعادلة (2.5-33) تتعلق ببعضها طبقا للمعادلة

$$G(u, v) = MNH(u, v)F(u, v) + N(u, v)$$
 (38-2.5)

من أجل u-0,1,2,...,M-1 و v-0,1,2,...,M-1 من أجل الحد u-0,1,2,...,M-1 من أجل الأغراض الاصطلاحية أن يمتص في ببساطة عامل مقياس، سيكون ملائمًا من أجل الأغراض الاصطلاحية أن يمتص في  $H(u_r, v)$ . بهذا الافتراض، يمكن التعبير عن المعادلتين (2.5–38) و (2.5–38) كما يلي:

$$D(k, i) = \begin{cases} H\left(\left[\frac{k}{N}\right], k \mod N\right) & \text{if } i = k \\ 0 & \text{if } i \neq k \end{cases}$$
 (39-2.5)

 $G(u, \nu) = H(u, \nu)F(u, \nu) + N(u, \nu)$  (40-2.5)

من أجل u=0,1,2,...,M-1 و v=0,1,2,...,N-1 ، حيث يفهــم الآن أن (u, v ) أ مقيس بعامل MN.

ان أهمية المعادلة (2.5–38) أو (2.5–40) تكمن في أن النظام الكبير من المعادلات المتضمن في النموذج المعطى بالمعادلة (1.5–24) يمكن أن يخفض الى حساب تحويلات فوريه متقطعة قليلة بقياس  $M \times M$ . فعلى سبيل المثال، من أجل M=N=512 مشألة بسيطة اذا استعملنا تحويل فوريه السريع FFT. و لكن كما ذكرنا سابقا، تصبح المسألة مهمة حسابية غير معقولة على الأغلب، اذا تعاملنا معها عن طريق النموذج المعطى بالمعادلة (1.5–24).

ان النموذج المعطى بالمعادلة (1.5-24) سيستعمل في الأقسام التالية كأساس الشّقاق عدة طرق لاستعادة الصورة. بعدئذ، ستبسط النتائج المعطاة بشكل مصفوفة، باستخدام مفاهيم مشتقة في هذا القسم. يجب ألا يغيب عن ذهن القارىء أن التبسيطات التي حصلنا عليها أعلاه هي نتيجة افتراض أن (1) التدني هو عملية خطية غير متغيرة بالنسبة للموضع، و (2) جميع الصور تعامل كدوال دورية ممددة.

قبل الانتقال من هذا القسم، من المهم أن نلاحظ أن المعادلة (2.5-40) كان بالامكان كتابتها من المعادلة (1.5 - 15) مباشرة عن طريق نظرية الطي. ولكن، كان غرضنا أن نبين أنه يمكن الحصول على النتيجة نفسها بتشكيل مصفوفي matrix formulation. لقد أسسنا بعملنا هذا عددا من خصائص المصفوفات الهامة المستعملة في القسم التالي لتطوير طريقة موحدة لاستعادة الصورة.

## 3.5 طريقة جبرية للاستعادة algabraic approach to restoration

كما أشرنا في القسم 3.1.5 ، فإن الهدف من استعادة الصورة هو تقدير صورة أصلية f، اذا أعطيت صورة متدنية g و بعض المعرفة أو الافتراض حول H و n. بافتراض أن هذه الكميات تتعلق ببعضها طبقا للنموذج المعطى بالمعادلة (1.5-24)، يمكن تشكيل صنف من مسائل استعادة الصورة في اطار عمل جبري خطى موحد. ان مفهوم البحث عن تقدير لـ f، مرموزا له بـf، الذي يخفض الى الحد الأدنى معيارا محددا مسبقا للأداء، أمر مركزي بالنسبة للطريقة الجبرية. نركز العناية في هذا الفصل على دوال معيار التربيعات الصغرى least – squares criterion functions بسبب بساطتها. كما سنرى في الأقسام القادمة، لهذا الخيار مزية اضافية و هي اعطاء أسلوب مركزي لاشتقاق عدة طرق استعادة معروفة جيدا. هذه الطرق هي النتيجة لاعتماد أسلوب مقيد (مشروط) أو غير مقيد لمسألة الاستعادة بطريقة التربيعات الصغري.

## unconstrained restoration غير المقيدة 1.3.5

في المعادلة (1.5 - 24)، أعطى حد الضجيج في نموذج التدني بالعلاقة n = g - Hf

في غياب أية معرفة حول n، تكون f دالة معيار ذات معنى اذا بحثنا عن f بحيث أن Hf تقرب g بمفهوم التربيعات الصغرى بافتراض أن معيار norm حد الضجيج صغير قدر الامكان. بكلمات أخرى، نرغب في ايجاد أ بحيث تكون

$$\|\mathbf{n}\|^2 = \|\mathbf{g} - \mathbf{H}\mathbf{\hat{f}}\|^2$$
 (2-3.5)

ذات قيمة صغرى. حيث، وبالتعريف،

 $\|g - H\hat{f}\|^2 = (g - H\hat{f})' (g - H\hat{f}) \int \|n\|^2 = n'n$ 

هما المعياران المربعان squared norms لـ n و  $(g-H\hat{f})$  ، على التوالي. من المعادلة (2-3.5) يمكن بشكل مكافىء أن ننظر الى هذه المسألة تحفيض دالة المعيار criterion function

$$J(\hat{\mathbf{f}}) = \|\mathbf{g} - \mathbf{H}\hat{\mathbf{f}}\|^2$$
 (3-3.5)

الى الحد الأدنى بالنسبة لـ  $\hat{\mathbf{f}}$ . بعيدا عن مطلب تخفيض المعادلة (3.5–3) الى الحد الأدنى، فإن  $\hat{\mathbf{f}}$  غير مقيدة بأي شكل من الأشكال.

يمكن أن نخفض المعادلة (3.5-3) إلى الحد الأدنى مباشرة. بكل بساطة، نفاضل بر بالنسبة لـ f ونجعل النتيجة مساوية لمتجه الصفر، أي،

$$\frac{\partial J(\hat{\mathbf{f}})}{\partial \hat{\mathbf{f}}} = 0 = -2\mathbf{H}'(\mathbf{g} - \mathbf{H}\hat{\mathbf{f}}) \tag{4-3.5}$$

ان حل المعادلة (3.5-4) بالنسبة لـ £ يعطى

$$\hat{\mathbf{f}} = (\mathbf{H}'\mathbf{H})^{-1}\mathbf{H}'\mathbf{g}$$
 (5-3.5)

بجعل M=N لتصبح H مصفوفة مربعة، وبافتراض أن  $H^{-1}$  موجودة، تبسط المعادلة (3.5 – 5) إلى

$$\hat{\mathbf{f}} = \mathbf{H}^{-1}(\mathbf{H}')^{-1}\mathbf{H}'\mathbf{g}$$
  
=  $\mathbf{H}^{-1}\mathbf{g}$  (6-3.5)

#### 2-3.5 الاستعادة المقيدة 2-3.5

ليكن Q عاملا خطيا مؤثرا على £. في هذا القسم، نحن نعتبر مسألة الاستعادة التي تعتمد التربيعات الصغرى كمسألة تخفيض دوال من الشكل  $\|Q\hat{f}\|^2$  الى الحد الأدنى، خاضعة الى التقييد  $\|m\|^2 = \|m\|^2$ . يقدم هذا الأسلوب مرونة هامة في عملية الاستعادة لأنه يؤدي الى حلول مختلفة من أجل خيارات مختلفة لـ Q. يلاحظ

$$J(\hat{\mathbf{f}}) = \|\mathbf{Q}\hat{\mathbf{f}}\|^2 + \alpha(\|\mathbf{g} - \mathbf{H}\hat{\mathbf{f}}\|^2 - \|\mathbf{n}\|^2)$$
 (7-3.5)

حيث ان α هي ثابت يدعى مضاعف لاغرانج Lagrange multiplier. بمجرد أن أضيف التقييد، يتم اجراء التخفيض إلى الحد الأدنى minimization بالطريقة المألوفة.

ان مفاضلة المعادلة (3.5 – 7) بالنسبة لـ  $\hat{f}$  و مساواة النتيجة بمتجه الصفر تعطى

$$\frac{\partial J(\hat{\mathbf{f}})}{\partial \hat{\mathbf{f}}} = 0 = 2Q'Q\hat{\mathbf{f}} - 2\alpha H'(\mathbf{g} - H\hat{\mathbf{f}}) \qquad (8-3.5)$$

يتم الحصول على الحل بحل المعادلة (3.5-8) بالنسبة لـ  $\hat{\mathbf{f}}$  ، أي  $\hat{\mathbf{f}} = (\mathbf{H}'\mathbf{H} + \gamma \mathbf{Q}'\mathbf{Q})^{-1}\mathbf{H}'\mathbf{g}$ 

حيث  $\alpha = 1/\alpha$ . يجب أن تضبط هذه الكمية بحيث يتم تحقيق التقييد، وهي المسألة التي نهتم بها لاحقا في هذا الفصل. ان المعادلتين (3.5–6) و (3.5–9) هما الأساس لاجراءات الاستعادة المناقشة في الفصول التالية. فعلى سبيل المثال، نبين في القسم 4.5 أن المعادلة (3.5–6) تؤدي الى طريقة الاستعادة ذات المرشاح—العكسي التقليدي لتعمال traditional inverse filter restortation. بشكل مشابه، يمكن ببساطة استعمال التشكيل العام المعطى في المعادلة (3.5–9) لاشتقاق نتائج مشل مرشاح فينز الكلاسيكي classical Wiener filter ، بالاضافة إلى تقنيات استعادة أخرى، باختيار مصفوفة تحويل ملائمة Q واستعمال التبسيطات التي اشتقت في القسم 2.5.

## 4.5 الترشيح العكسي inverse filtering

## 1.4.5 التشكيل 1.4.5

سنبدأ اشتقاق تقنيات استعادة الصورة بأخذ النتيجة غير المقيدة المعطاة بالمعادلة (2.5 – 21) ، يكن المعادلة (2.5 – 21) ، يكن كتابتها بالشكل التالي

$$\hat{\mathbf{f}} = \mathbf{H}^{-1}\mathbf{g}$$
  
=  $(\mathbf{W}\mathbf{D}\mathbf{W}^{-1})^{-1}\mathbf{g}$   
=  $\mathbf{W}\mathbf{D}^{-1}\mathbf{W}^{-1}\mathbf{g}$  (1-4.5)

ان ضرب طرفي المعادلة (4.5-1) بـ  $W^{-1}$  مسبقا، يعطى

$$\mathbf{W}^{-1}\hat{\mathbf{f}} = \mathbf{D}^{-1}\mathbf{W}^{-1}\mathbf{g} \tag{2-4.5}$$

ينتج عندئذ من المناقشة الواردة في القسم (3.5-2) أن العناصر التي تؤلف المعادلة (4.5-2) يمكن أن تكتب بالشكل

$$\hat{F}(u,\nu) = \frac{G(u,\nu)}{H(u,\nu)} \tag{3-4.5}$$

من أجل H(u, v). u,v=0,1,2,...,N-1. وبحسب المعادلة (2.5–39) ، يفترض أن H(u, v) قد قيّس scaled و أنه قد تم استخدام حقيقة كون D مصفوفة قطرية ، مما يسمح باجراء مباشر للحصول على  $D^{-1}$ .

إن أسلوب استعادة الصورة المعطى بالمعادلة (4.5-3) يعرف عادة بـ طريقة المرشاح العكسي inverse filter method. يأتي هذا الاصطلاح من اعتبار H(u, v) لتعطي تحويل الصورة المتدنية  $g_{\epsilon}(x, y)$  ان تقسيم دالة "مرشاح" تضرب F(u, v) لتعطي تحويل الصورة المتدنية G(u, v) على F(u, v) المشار إليه في المعادلة G(u, v) يشكل عندئذ عملية الترشيح العكسي في هذا السياق. يتم، بالطبع، الحصول على الصورة المستعادة باستعمال المعلاقة

$$\hat{f}(x,y) = \mathcal{F}^{-1}[\hat{F}(u,\nu)]$$

$$= \mathcal{F}^{-1}[G(u,\nu)/H(u,\nu)]$$
(4-4.5)

من أجل x,y=0,1,2,...,N-1. يتم تنفيذ هذا الاجراء عادة بواسطة تحويل فورييه السريع FFT.

تدل المعادلة (4.4.5) على أنه ستواجه صعوبات حسابية في عملية الاستعادة اذا تلاشي H(u, v) أو أصبح صغيرا جدا في أية منطقة موضع اهتمام في المستوي u,v إذا وقعت أصفار H(u, v) افي نقاط قليلة معروفة في المستوى u,v يمكن اهمالها عادة عند حساب  $\hat{F}(u, v)$  دون التأثير على النتيجة المستعادة بشكل ملحوظ.

وتظهر صعوبة أكثر خطورة بوجود الضجيج. ان تعويض المعادلة (2.5–40) في المعادلة (4.5–3) يعطى

$$\hat{F}(u, \nu) = F(u, \nu) + \frac{N(u, \nu)}{H(u, \nu)}$$
 (5-4.5)

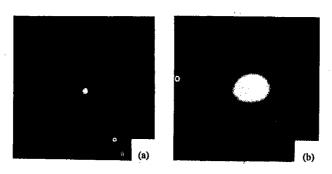
تشير هذه المعادلة بوضوح الى أنه اذا كانت H(u, v) صفرا أو أصبحت صغيرة جدا، فان الحد N(u, v)/H(u, v) يمكن أن يهيمن على نتيجة الاستعادة N(u, v)/H(u, v) فان الحد الواقع العملي ، غالبا مانجد أن H(u, v) تنحدر بسرعة كدالة للمسافة من مبدأ المستوي U(u, v) من جهة أخرى، فان حد الضجيج يتناقص عادة بمعدل أبطأ بكثير. في حالات كهذه، يمكن غالبا الحصول على نتائج معقولة باجراء الاسترجاع في جوار محدود حول المبدأ لتجنب القيم الصغيرة لـ H(u, v). نعطى أدناه مثالا على هذه الطريقة.

مثال: يبين الشكل 2.5 (a) صورة نقطة (f(x, y)، و الشكل 2.5 (b) هو صورة متدنية g(x, y) تم الحصول عليها بتغبيش (f(x, y) إذا اعتبرنا مصدر النقطة تقريبا لدالة نبضة الوحدة unit impulse function ينتج عندئذ أن

$$G(u, \nu) = H(u, \nu)F(u, \nu)$$

$$\approx H(u, \nu)$$

تدل هذه العبارة الرياضية على أن دالة التحويل H(u, v) يمكن أن تقرب بتحويل فورييه للصورة المتدنية. ان اجراء تغبيش دالة معروفة للحصول على تقريب لH(u, v) هو اجراء مفيد في الواقع العملي لأنه يمكن أن يستخدم غالبا في أسلوب التجربة والخطأ trial and error mode لاستعادة صور لاتعرف دالة تغبيشها H(u, v) مسبقا.

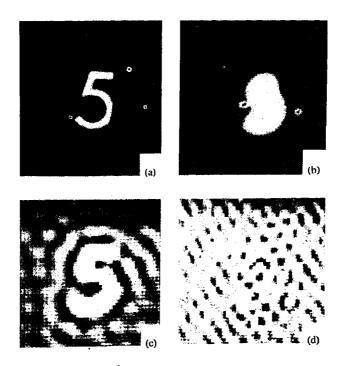


الشكل 2.5 تغبيش منبع نقطة للحصول على H(u,v).

ان نتيجة تطبيق نفس دالة التغبيش كما في الحالة المذكورة أعلاه على الصورة الأصلية المبينة في الشكل (a)3.5 مبينة في الشكل (a)3.5 لقد تم الحصول على الصورة المستعادة المبينة في الشكل (a)3.5 باستعمال المعادلة (a)4-4.5 من أجل قيم لا (a)4-4.5 و (a)4-4.5 من أجل قيم الصغر. (a)4-4.5 المفرطة في الصغر. (a)4-4.5 المفرطة في الصغر. (a)4-4.5 المفرطة في الصغر. (a)4-4.5 المفرطة في الصغر. النتائج بوضوح الى الصعوبات التي تسبها الدوال المتلاشية (a)4-4.5 المناقع بوضوح الى الصعوبات التي تسبها الدوال المتلاشية (a)4-4.5

قبل الانتقال من هذا القسم، من الجدير بالاهتمام أن نلاحظ أنه اذا كانت H(u, v) و G(u, v) و G(u, v) مجيعها معروفة، فانه يمكن الحصول مباشرة من المعادلة G(u, v) على عبارة دقيقة للترشيح العكسي، أي،

$$F(u, \nu) = \frac{G(u, \nu)}{H(u, \nu)} - \frac{N(u, \nu)}{H(u, \nu)}$$
(6-4.5)



الشكل 3.5 مثال لاستعادة الصورة بالترشيح العكسي. (a) صورة أصلية (b).f(x,y) صورة متدنية (مغبشة) (c) و و الستعادة بأخذ جوار حول مبدأ المستوي uv بحيث لايحتوي هذا الجوار على قيم لـ (H(u,v) مفرطة في الصغر. (b) نتيجة استخدام جوار أكبر لايتحقق فيه هذا الشرط (عن 1973 Mcglamery).

بالطبع، المشكلة في هذا التشكيل هي أن الصجيج نادرا ما يكون معروفا بما فيه الكفاية للساح بحساب N(u, v).

## 2-4.5 ازالة التغبيش الذي تسببه حركة خطية منتظمة

#### removal of blur caused by uniform linear motion

توجد تطبيقات عملية يمكن فيها الحصول على H(u, v) تحليليا، لكن للحل قيما صفرية في المدى الترددي موضع الاهتام. لقد تم اعطاء مثال عن الصعوبات التي تسببها في المدى الترددي في القسم السابق. سنهتم في المناقشة التالية بمسألة استعادة صورة H(u, v)

غبشت بحركة خطية منتظمة. لقد انتقينا هذه المسألة بسبب تطبيقاتها العملية، بالاضافة لكونها ملائمة جدا لتشكيل تحليلي. ان حل حالة التغبيش المنتظم يعرض أيضا كيف يمكن التعامل مع أصفار H(u, v) حسابيا. هذه الاعتبارات مهمة عمليا لأنها تبرز غالبا في الواقع العملي في سياقات أخرى لاستعادة الصورة بالترشيح العكسي.

افترض أن صورة f(x, y) تخضع لحركة مستوية، ولتكن  $x_0(t)$  و  $x_0(t)$  مركبتي الحركة المتغيرتين زمنيا في الاتجاهين x و y على التوالي. يتم الحصول على زمن التعرض الكلي عند أية نقطة من وسط التسجيل (فيلم، مثلا) في هذه الحالة بمكاملة التعرض الآني خلال الفترة الزمنية التي يكون خلالها المغلاق مفتوحا. ولعزل أثر حركة الصورة، يفترض أن يتم فتح المغلاق و اغلاقه آنيا، وأن تكون عملية التصوير البصري (الضوئي) تامة perfect. عندئذ، اذا كانت t هي مدة التعرض، يكون

$$g(x,y) = \int_0^T f[x - x_0(t), y - y_0(t)] dt$$
 (7-4.5)

حيث ان (g(x, y) هي الصورة المغبشة.

من المعادلة (1.3 -9)، يعطى تحويل فورييه للمعادلة (4.5 -7) بما يلي

$$G(u, v) = \int_{-\infty}^{\infty} g(x, y) \exp\left[-j2\pi(ux + vy)\right] dx dy$$
 (8-4.5)

$$= \int_{-\infty}^{\infty} \left[ \int_{0}^{T} f[x - x_{0}(t), y - y_{0}(t)] dt \right] \exp\left[ -j2\pi(ux + vy) \right] dx dy$$

$$G(u, \nu) = \int_0^T \left[ \int_{-\infty}^{\infty} f[x - x_0(t), y - y_0(t)] \exp[-j2\pi(ux + \nu y)] dx dy \right] dt$$
(9-4.5)

يعرف الحد الموجود داخل القوسين الخارجيين بـ "تحويل فورييـه للدالة المزاحة  $f[x-x_0(t),\,y-y_0(t)]$ 

$$G(u, v) = \int_0^T F(u, v) \exp\left[-j2\pi \left(ux_0(t) + vy_0(t)\right)\right] dt$$

$$= F(u, v) \int_0^T \exp\left[-j2\pi \left(ux_0(t) + vy_0(t)\right)\right] dt$$
(10-4.5)

د. الخطوة الأخيرة من حقيقة كون F(u, v) مستقلا عن F(u, v) بتعريف

$$H(u, \nu) = \int_0^T \exp[-j2\pi(ux_0(t) + \nu y_0(t))] dt \qquad (11-4.5)$$

G(u, v) = H(u, v)F(u, v) الشكل المألوف G(u, v) = H(u, v)F(u, v)

اذا كانت طبيعة متحولي الحركة x(t) و y(t) معروفة، يمكن الحصول على دالة التحويل H(u, v) من المعادلة (4.5-11) مباشرة. كتوضيح، افترض أن الصورة المعنية تخضع لحركة خطية منتظمة في الاتجاه x فقط، بمعدل يعطى بالعلاقة  $x_0(t) = at/T$  عندما تكون t=T ، نرى أن الصورتين قد انزاحتا بمسافة اجمالية  $x_0(t) = 0$  من أجل  $x_0(t) = 0$  المعادلة  $x_0(t) = 0$  تعطى

$$H(u, v) = \int_0^T \exp[-j2\pi u x_0(t)] dt$$

$$= \int_0^T \exp[-j2\pi u a t/T] dt \qquad (13-4.5)$$

$$= \frac{T}{\pi u a} \sin(\pi u a) e^{-j\pi u a}$$

من الواضح أن H تتلاشى من أجل قيم u المعطاة بـ u عدد صحيح. عندما تكون f(x,y) صفرا (أو معروفة) خارج مسافة 0 > x > 0 ، من الممكن تجنب المشكلة التي عرضت بالمعادلة (4.5 x > 0) و اعادة بناء الصورة بشكل كامل

من معرفة g(x, y) في هذا البون interval. نظراً لأن y غير متغيرة بالنسبة للزمن، دعنا نخمد هذا المتحول مؤقتا ونكتب المعادلة

(7-4.5) كايلي

$$g(x) = \int_0^T f[x - x_0(t)] dt$$

$$= \int_0^T f(x - at/T) dt \qquad 0 \le x \le L$$
(14-4.5)

بتعويض au=x-at/T في هذه المعادلة واهمال عامل المقياس scale factor بتعويض

$$g(x) = \int_{x-a}^{x} f(\tau) d\tau$$
  $0 \le x \le L$  (15-4.5)

بعدئذ، وبالمفاضلة

$$g'(x) = f(x) - f(x - a)$$
  $0 \le x \le L$  (16-4.5)

$$f(x) = g'(x) + f(x - a)$$
  $0 \le x \le L$  (17-4.5)

سيكون ملائمًا في التطوير التالي أن نفترض أن L-Ka حيث ان K هو عدد صحيح integer. عندئذ يمكن كتابة x بالشكل التالي

$$x = z + ma \tag{18-4.5}$$

حيث تأخذ z قيما في البون [0,a] ، و m هو الجزء المتمم من (x/a). على سبيل المثال، اذا كانت z=a و z=a ، تكون z=a (الجزء المتمم من z=a) ، و z=a. من الواضح أن z=a ، z=a أن z=a ، z=a أن z=a ، يمكن أن يأخذ الدليل z=a أية قيمة من القيم التالية الصحيحة z=a ، z=a ، مثلا، عندما الدليل z=a

تكون x=L ، تكون z=a و m=K – 1.

ان تعويض المعادلة (4.5–18) في المعادلة (4.5–17) يعطى

$$f(z + ma) = g'(z + ma) + f[z + (m-1)a]$$
 (19-4.5)

بعد ذلك، دعنا نرمز بـ  $\phi(z)$  للجزء من المنظر الذي يتحرك في المدى z < a خلال التعرض، أي

$$\phi(z) = f(z - a)$$
  $0 \le z < a$  (20 – 4.5)

يمكن أن تحل المعادلة (4.5 – 19) بشكل متكرر recursively بدلالة ( $\phi(z)$ , وهكذا، فمن أجل  $\phi(z)$  ، يكون

$$f(z) = g'(z) + f(z - a)$$
 (21 – 4.5)

$$= g'(z) + \phi(z)$$

من أجل m=1 ، تصبح المعادلة (m-1.5)

$$f(z+a) = g'(z+a) + f(z)$$
 (22-4.5)

ان تعويض المعادلة (4.5- 21) في المعادلة (4.5- 22) يعطى

$$f(z+a) = g'(z+a) + g'(z) + \phi(z)$$
 (23-4.5)

في الخطوة التالية نجعل m=2 فتنتج المعادلة التالية

$$f(z+2a) = g'(z+2a) + f(z+a)$$
 (24-4.5)

f(z + a) من أجل (23 – 4.5) أو، بتعويض المعادلة

$$f(z+2a) = g'(z+2a) + g'(z+a) + g'(z) + \phi(z) \quad (25-4.5)$$

من الواضح أن متابعة هذا الاجراء ستعطى النتيجة التالية

$$f(z + ma) = \sum_{k=0}^{m} g'(z + ka) + \phi(z)$$
 (26-4.5)

ولكن، نظرا لأن x=z+ma ، يمكن كتابة المعادلة (4.5-26) بالشكل

$$f(x) = \sum_{k=0}^{m} g'(x - ka) + \phi(x - ma) \qquad 0 \le x \le L \quad (27 - 4.5)$$

نظرا لأن g(x) معروفة، تبسط المسألة الى تقدير  $\phi(x)$ .

ان احدى الطرق لتقدير هذه الدالة من الصورة المغبشة مباشرة، هي كايلي. K-1 نلاحظ أولا أنه مع تغير x من x الله x من x الذي من x من x الذي هو x الذي هو دامًا في المدى x

مرة خلال حساب f(x) من أجل  $x \leqslant L$  من أجل عبد ذلك، نعرف

$$\tilde{f}(x) = \sum_{k=0}^{m} g'(x - ka)$$
 (28 – 4.5)

ونعيد كتابة المعادلة (4.5-27) كإيلي

$$\phi(x - ma) = f(x) - \tilde{f}(x)$$
 (29 – 4.5)

اذا حسبنا طرفي المعادلة (4.5-29) الأيسر و الأيمن من أجل

ka < x < (k + 1)a ، وجمعنا النتائج من أجل k = 0, 1, ..., K−1 نحصل على

$$K\phi(x) = \sum_{k=0}^{K-1} f(x+ka) - \sum_{k=0}^{K-1} \tilde{f}(x+ka) \qquad 0 \le x < a \quad (30-4.5)$$

$$\phi(x) = \frac{1}{K} \sum_{k=0}^{K-1} f(x+ka) - \frac{1}{K} \sum_{k=0}^{K-1} \tilde{f}(x+ka)$$
 (31-4.5)

ان المجموع الأول في الطرف الأيمن من هذه المعادلة هو، بالطبع، غير معروف ولكن ، من الواضح أنه من أجل قيم كبيرة لـ K فهو يقارب القيمة المتوسطة لـ f. وهكذا يمكن اعتبار هذا المجموع ثابتا A وبالتالي يصبح لدينا التقريب التالي

$$\phi(x) \approx A - \frac{1}{K} \sum_{k=0}^{K-1} \tilde{f}(x + ka) \qquad 0 \le x < a$$
 (32-4.5)

$$\phi(x - ma) \approx A - \frac{1}{K} \sum_{k=0}^{K-1} f[x + (k - m)a] \qquad 0 \le x \le L \quad (33 - 4.5)$$

ان تعویض المعادلة (4.5–28) من أجل  $\tilde{f}$  ، يعطى\*

$$\phi(x - ma) \approx A - \frac{1}{K} \sum_{k=0}^{K-1} \sum_{k=0}^{m} g'(x - ma)$$

$$\approx A - mg'(x - ma) \tag{34-4.5}$$

\* لاحظ أن الحد الأقصى لإشارة الجمع ( $\Sigma$ ) الثانية هو k بدلاً من m. فلو بدأنا من المعادلة (-18-4.5) بـ x+ka-ma بدلاً من x لأصبح الحد الأقصى لإشارة الجمع في المعادلة (-18-4.5) k الأنه من المعادلة (-18-4.5) لدينا -18-4.5 بدلاً من -18-4.5 بدلاً من -18-4.5 الدينا -18-4.5 بدلاً من المعادلة (-18-4.5 بدلاً معادلة (-

بعدئذ، نحصل من المعادلة (4.5-29) على النتيجة النهائية

$$f(x) \approx A - mg'(x - ma) + \sum_{k=0}^{m} g'(x - ka)$$
  $0 \le x \le L$  (35-4.5)

من أجل 0≤x≥1. باعادة ادخال المتحول المخمد y ، ينتج

$$f(x,y) \approx A - mg'(x - ma, y) + \sum_{k=0}^{m} g'(x - ka, y)$$
  $0 \le x, y \le L$  (36-4.5)

من أجل  $x = 1.2 \times 1.2$ 

مثال: لقد غبشت الصورة المبينة في الشكل (a)4.5 عركة خطية منتظمة في اتجاه واحد خلال التعرض بحيث أن المسافة الاجمالية التي تحركت فيها الكاميرا تساوي 0,125 من عرض الصورة تقريبا. الصورة (a)4.5 هي نتيجة ازالة التغبيش التي تم الحصول عليها باستعمال المعادلة (a)4.5 مع تبديل (a)4.5 ب (a)4.5 ب (a)4.5 المعادلة (a)4.5 مع تبديل (a)4.5 ب (a)4.5 ب (a)4.5 ب (a)4.5 المعادلة (a)4.5 مع تبديل (a)4.5 بهذه المعادلة هو بالتأكيد خطأ مقبول.



الشكل a)4.5) صورة غبشت بحركة خطية منتظمة. (b) صورة استعيدت باستعمال المعادلة (4.5–36). (عن Sondhi 1977).

# 5.5 مرشاح متوسط التربيعات الصغرى (فينر)

least - mean - square (Wiener) filter

لتكن  $R_{\rm f}$  و  $R_{\rm n}$  مصفوفتي الترابط لـ  $R_{\rm f}$  و  $R_{\rm n}$  ، معرفتين على التوالي بالمعادلتين

$$\mathbf{R}_{\mathbf{f}} = E\left\{\mathbf{f}\mathbf{f}'\right\} \tag{1-5.5}$$

•

$$\mathbf{R}_{\mathbf{n}} = E\{\mathbf{n}\mathbf{n}\} \tag{2-5.5}$$

$$R_f = WAW^{-1}$$
 (3-5.5)

و

$$\mathbf{R}_{\mathbf{n}} = \mathbf{W}\mathbf{B}\mathbf{W}^{-1} \tag{4-5.5}$$

تماماً، وكما بينا أن عناصر المصفوفة القطرية D في العلاقة  $H = HDW^{-1}$  تقابل تحويل فورييه لعناصر كتل H ، يمكن أن نبين أن عناصر A و B هي تحويلات عناصر الترابط في  $R_f$  ، على التوالي. كما أشرنا في المسألة  $R_s$  ، يسمى تحويل فورييه لهذين الترابط في  $R_s$  ، على التوالي ، والكثافة الطيفية) لـ  $\eta_s(x,y)$  و  $\eta_s(x,y)$  ، على التوالي ،

 $S_{\eta}(u, v)$ وسيرمز لهما في المناقشة التالية بـ $S_{r}(u, v)$ و و

بتعريف

$$Q'Q = R_f^{-1}R_n (5-5.5)$$

و بتعويض هذه المعادلة في المعادلة (3.5–9) نحصل على

$$\hat{f} = (H'H + \gamma R_f^{-1} R_n)^{-1} H'g$$
 (6-5.5)

باستعمال المعادلات (2.5-21) و (2.5-23) و (5.5-3) و (5.5-4) ينتج

$$\hat{\mathbf{f}} = (\mathbf{W}\mathbf{D}^*\mathbf{D}\mathbf{W}^{-1} + \gamma \mathbf{W}\mathbf{A}^{-1}\mathbf{B}\mathbf{W}^{-1})^{-1}\mathbf{W}\mathbf{D}^*\mathbf{W}^{-1}\mathbf{g}$$
 (7-5.5)

بعد ضرب كلا الطرفين بـ  $W^{-1}$  واجراء بعض المعالجة للمصفوفات تبسط هذه المعادلة إلى الشكل

$$\mathbf{W}^{-1}\hat{\mathbf{f}} = (\mathbf{D}^*\mathbf{D} + \gamma \mathbf{A}^{-1}\mathbf{B})^{-1}\mathbf{D}^*\mathbf{W}^{-1}\mathbf{g}$$
 (8-5.5)

ان تذكر معنى عناصر A و B و ادراك أن المصفوفات داخل الأقواس قطرية و استخدام المفاهيم المطورة في المسم 2.5-3، يسمح لنا بكتابة عناصر المعادلة 8-5.5) بالشكل التالي

$$\hat{F}(u, \nu) = \left[ \frac{H^*(u, \nu)}{|H(u, \nu)|^2 + \gamma \left[ S_{\eta}(u, \nu) / S_f(u, \nu) \right]} \right] G(u, \nu)$$

$$= \left[ \frac{1}{H(u, \nu)} \frac{|H(u, \nu)|^2}{|H(u, \nu)|^2 + \gamma \left[ S_{\eta}(u, \nu) / S_f(u, \nu) \right]} \right] G(u, \nu)$$

من أجـــل  $H(u, v)|^2 = H^*(u, v) H(u, v)$  حيث u,v=0,1,2,...,N-1 و قـــل افترضنا أن M=N

عندما تكون  $1-\gamma$  يبسط الحد الموجود داخل القوسين الخارجيين في المعادلة (5.5-9) الى مايسمى مرشاح فينر Wiener. اذا كانت  $\gamma$  متغيرة، نسمي هذه المعادلة مرشاح فينر المعلمي parameteric Wiener filter. بغياب الضجيج، 0-(u, v)=0ويبسط أي من شكلي مرشاح فينر الى المرشاح العكسي المثالي المناقش في الفصل السابق. من المهم أن نلاحظ أنه بجعل  $1-\gamma$ ، لا يعود باستطاعتنا أن نقول بشكل عام أن استعمال المعادلة

(9-5.5) يؤدي إلى حل أمثل بالمفهوم الذي عرف في القسم 2.3.5 لأنه، كما أشرنا في ذلك القسم، يجب أن تضبط  $\gamma$  لتحقق التقيد  $\|\mathbf{n}\|^2 = \|\mathbf{n}\|^2$  و لكن، يمكن أن نبين أن الحل الذي نحصل عليه من أجل  $\gamma = 1$  هو حل أمثل بمعنى أنه يخفض الكمية  $\mathbf{n}$  إلى الحد الأدنى. من الواضح أن هذا المعيار معيار احصائي يتم فيه معاملة  $\gamma = 1$  كمتحولين عشوائيين.

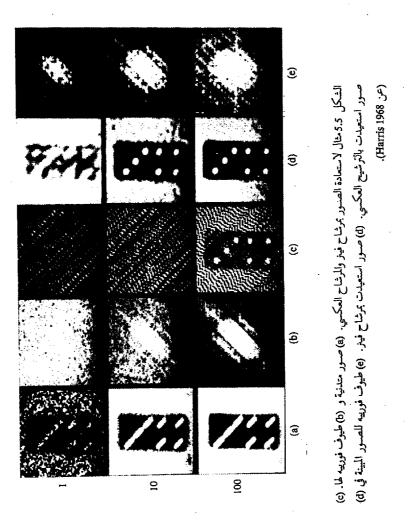
عندما تكون  $S_{\eta}(u, v)$  و  $S_{\eta}(u, v)$  غير معروفتين (مسألة غالبا ماتواجه في الواقع العملي)، من المفيد أحياناً تقريب المعادلة (5.5–9) بالعلاقة

$$\hat{F}(u, \nu) \approx \left[ \frac{1}{H(u, \nu)} \frac{|H(u, \nu)|^2}{|H(u, \nu)|^2 + K} \right] G(u, \nu)$$
 (10-5.5)

حيث K هو ثابت. نعطي فيما يلي مثالا للنتائج التي حصل عليها بهذه المعادلة. ان مسألة اختيار  $\gamma$  المثلى من أجل استعادة الصورة مناقشة بشيء من التفصيل في القسم التالى.

مثال: يبين العمود الأول في الشكل 5.5 ثلاث صور لحجر دومينو domino أفسدت محركة خطية (بزاوية  $^{\circ}4$  بالنسبة للاتجاه الأفقي) وبضجيج يتناسب تفاوته variance في أية نقطة في الصورة مع لمعان تلك النقطة. لقد تم توليد الصور الثلاث بتغيير ثابت التناسب، بحيث أن نسبة اللمعان الأعظمي الى مطال الضجيج كانت 1 و 10 و 100 على التوالي، كما هو مبين في الجانب الأيسر من الشكل 5.5. ان طيوف فوربيه للصور المتدنية مبينة في الشكل 5.5(6). نظراً لأن آثار الحركة الخطية المنتظمة يمكن أن يعبر عنها تحليليا، يمكن الحصول على معادلة تصف (u, u) بدون صعوبة، كما بينا في الشكل 5.5.2. لقد تم الحصول على الشكل 5.5(6) بالترشيح العكسي المباشر direct الشكل 5.5.5. نلاحظ أن الضجيج المتعلى على النتائج، ولكن كما نرى في الصورة الثالثة، فقد نجح المرشاح العكسي في ازالة يطغى على النتائج، ولكن كما نرى في الصورة الثالثة، فقد نجح المرشاح العكسي في ازالة التدني رأي التغبيش) بسبب الحركة. يبين الشكل 5.5(6) النتائج التي حصل عليها التدني رأي التغبيش) بسبب الحركة. يبين الشكل 5.5(6) النتائج التي حصل عليها

باستخدام المعادلة (5.5 – 10) مع  $K=2\sigma^2$ ، حيث ان  $\sigma^2$  هي تفاوت الضجيج. ان التحسينات بالنسبة للترشيح العكسي المباشر واضحة وخصوصاً في الصورة الثالثة. ان طيوف فورييه للصور المستعادة مبينة في الشكل (e)5.5).



# 6.5 الاستعادة بمعيار التربيعات الصغرى، المقيدة

#### constrained least - squares restoration

ان أسلوب متوسط التربيعات الصغرى least - mean - squares المشتق في القسيم السابق هو اجراء احصائي لأن معيار الحالة المثلى optimality مبني على مصفوفات الترابط للصورة وعلى دوال الضجيج. وهذا يعني أن النتائج التي تم الحصول عليها باستعمال مرشاح فيز هي نتائج مثلى بمفهوم المتوسط. من جهة أخرى، فان اجراء الاستعادة المطور في هذا القسم هو اجراء أمثل لكل صورة معطاة، ويتطلب معرفة متوسط mean وتفاوت variance الضجيج فقط. سندرس أيضا في مجرى التطوير التالي مسألة ضبط ٢ بحيث يكون التقييد الذي أدى الى المعادلة (3.5-٥) محققاً.

كما أشرنا في القسم 2.3.5 ، يعتمد حل الاستعادة الذي حصلنا عليه باستعمال المعادلة (2.5-9) على اختيار المصفوفة Q. بسبب ضعف الاشراط والمعادلة (2.5-9) على اختيار المصفوفة Q. بسبب ضعف الاشراط مهتزة كبيرة. لذلك من المهم تفحص معقولية اختيار Q بحيث يمكن تخفيض هذه الآثار غير المرغوبة الى الحد الأدنى. إن إحدى الامكانيات، المقترحة من قبل Phillips الآثار غير المرغوبة الى الحد الأدنى. إن إحدى الامكانيات، المقترحة من قبل measure of مي تشكيل معيار الحالة المثلى optimality مبني على قياس النعومه smoothness كتخفيض بعض دوال المشتق الثاني الى الحد الأدنى مثلا. لكي نرى كيف يمكن التعبير عن هذا المعيار بشكل متوافق مع المعادلة (3.5-9)، لنأخذ أولا الحالة أحادية المعد.

يمكن أن نقرب المشتق الثاني لدالة متقطعة .... f(x),x=0,1,2... عند نقطة ما x العبارة التالية

$$\frac{\partial^2 f(x)}{\partial x^2} \approx f(x+1) - 2f(x) + f(x-1)$$
 (1-6.5)

عندئذ، يمكن أن يكون هنداك معيار مبني على هذه العبارة لتخفيض  $(x - 1)^2$  ضمن مجال  $(x - 1)^2$ 

minimize 
$$\left\{ \sum_{x} \left[ f(x+1) - 2f(x) + f(x-1) \right]^2 \right\}$$
 (2-6.5)

أو بمصطلحات المصفوفات

هي مصفوفة تنعيم و f هو متجه عناصره هي عينات f(x).

في الحالة ثنائية الأبعاد، نقوم باجراء تمديد مباشر للمعادلة (6.5 - 1). في هذه الحالة، يصبح المعيار

minimize 
$$\left[\frac{\partial^2 f(x,y)}{\partial x^2} + \frac{\partial^2 f(x,y)}{\partial y^2}\right]^2$$
 (5-6.5)

حيث تقرب الدالة المشتقة بالشكل التالي

$$\frac{\partial^2 f}{\partial x^2} + \frac{\partial^2 f}{\partial y^2} \approx f(x+1,y) - 2f(x,y) + f(x-1,y)$$

$$+ f(x,y+1) - 2f(x,y) + f(x,y-1)$$

$$\approx f(x+1,y) + f(x-1,y) + f(x,y+1) + f(x,y-1)$$

$$-4f(x,y)$$
(6-6.5)

تعرف الدالة المشتقة المعطاة في المعادلة (6.5-5) بـ "معامل لابلاس" الذي نوقش في القسم 7.3.3.

يمكن تنفيذ المعادلة (6.5 – 6) في الحاسوب مباشرة و يمكن انجاز نفس العملية أيضا بطي f(x, y) مع العامل المؤثر التالي

$$p(x,y) = \begin{bmatrix} 0 & 1 & 0 \\ 1 & -4 & 1 \\ 0 & 1 & 0 \end{bmatrix}$$
 (7-6.5)

كما أشرنا في القسم 1.3.5 ، يتم تجنب خطأ التغليف في عملية الطي المتقطعة بتمديد  $p_e(x,y)$  و  $p_e(x,y)$  لقد درسنا تشكيل  $f_e(x,y)$  . نشكل p(x,y) بنفس الطريقة ، أي

$$p_{\epsilon}(x,y) = \begin{cases} p(x,y) & 0 < x < 2 \text{ and } 0 < y < 2\\ 0 & 3 < x < M-1 \text{ or } 3 < y < N-1 \end{cases}$$

إذا كان قياس (A × B هو A × B، نختار A + 3 − 1 م M و A + 3 − 1، لأن قياس (A × B) هو A × 3 م و N = 8 + 3 − 1، لأن قياس (x, y) هو 3×3 .

يكون طي الدالتين الممددتين عندئذ

$$g_e(x,y) = \sum_{m=0}^{M-1} \sum_{n=0}^{N-1} f_e(m,n) p_e(x-m,y-n)$$
 (8-6.5)

والذي يتفق مع المعادلة (1.5–23).

باتباع مناقشة مشابهة لتلك التي أعطيت في القسم (1.5-3)، يمكن أن نعبر عن معيار النعومة smoothness بالشكل المصفوفي. نكون أولا مصفوفة كتل-دوارة من الشكل

$$\mathbf{C} = \begin{bmatrix} \mathbf{C}_0 & \mathbf{C}_{M-1} & \mathbf{C}_{M-2} & \cdots & \mathbf{C}_1 \\ \mathbf{C}_1 & \mathbf{C}_0 & \mathbf{C}_{M-1} & \cdots & \mathbf{C}_2 \\ \mathbf{C}_2 & \mathbf{C}_1 & \mathbf{C}_0 & \cdots & \mathbf{C}_3 \\ \vdots & & & & & \\ \mathbf{C}_{M-1} & \mathbf{C}_{M-2} & \mathbf{C}_{M-3} & \cdots & \mathbf{C}_0 \end{bmatrix}$$
(9-6.5)

حيث ان كل مصفوفة فرعية Ci هي مصفوفة دوارة أبعادها N×N مبنية من الصف رقم زلـ( $p_{\alpha}(x,y)$ ، أي

$$C_{j} = \begin{bmatrix} p_{e}(j,0) & p_{e}(j,N-1) & \cdots & p_{e}(j,1) \\ p_{e}(j,1) & p_{e}(j,0) & \cdots & p_{e}(j,2) \\ \vdots & & & & \\ p_{e}(j,N-1) & p_{e}(j,N-2) & \cdots & p_{e}(j,0) \end{bmatrix}$$
(10-6.5)

نظراً لأن C كتلة دوارة، فهي تحول الى مصفوفة قطرية بواسطة المصفوفة W المعرفة في القسم 2.2.5 . بكلمات أخرى،  $E = W^{-1}CW$  (11 – 6.5)

$$E = W^{-1}CW (11 - 6.5)$$

حيث ان E هي مصفوفة قطرية تعطى عناصرها بالعلاقة

$$E(k, i) = \begin{cases} p\left[\frac{k}{n}\right], k \mod N & \text{if } i = k\\ 0 & \text{if } i \neq k \end{cases}$$
 (12-6.5)

 $\gamma$  في المعادلة (2.5-29). في هذه الحالة (P(u, v) هو تحويل فورييه ثنائي الأبعاد لـ المعادلة يفترض أن المعادلة (2.5 - 32) و (3.2 – 33) أشرنا بخصوص المعادلتين (2.5 – 33) أشرنا بخصوص المعادلة الم (12-6.5) قد قيست scaled بالعامل MN

نظراً لأن عملية الطي الموصوفة أعلاه مكافئة لتنفيذ المعادلة (6.5-6)، يمكن أن نعبر عن معيار النعومة للمعادلة (6.5 – 5) بنفس الشكل المبين في المعادلة (6.5 – 3)، أي أن

minimize 
$$\{f'C'Cf\}$$
 (13-6.5)

حيث ان f هو متجه ذو MN - بعدا و C ذات قياس MN×MN. بجعل Q-C ، يمكن التعبير عن هذا المعيار بالشكل

minimize 
$$||Qf||^2$$
 (14-6.5)

الذي هو نفس الشكل الذي استعمل في القسم 2.3.5. في الحقيقة، إذا طلبنا أن يكون Q=C مع Q=C مع Q=0 أي التقييد  $||n||^2=||n||^2$  مع التقييد أا التقييد والتقييد ألت الحل الأمثل يعطى بالمعادلة

$$\hat{\mathbf{f}} = (\mathbf{H}'\mathbf{H} + \gamma \mathbf{C}'\mathbf{C})^{-1}\mathbf{H}'\mathbf{g}$$
 (15 – 6.5)

باستعمال المعادلات (2.5 - 21) و (2.5 - 23) و (6.5 - 11)، يمكن أن تكتب المعادلة (6.5 - 11) بالشكل (6.5 - 15)

$$\hat{\mathbf{f}} = (\mathbf{WD^*DW^{-1}} + \gamma \mathbf{WE^*EW^{-1}})^{-1} \mathbf{WD^*W^{-1}g}$$
 (16-6.5)

بعد ضرب كلا الطرفين بـ  $W^{-1}$  واجراء بعض المعالجة للمصفوفات، تبسط هذه المعادلة إلى

$$\mathbf{W}^{-1}\hat{\mathbf{f}} = (\mathbf{D}^*\mathbf{D} + \gamma \mathbf{E}^*\mathbf{E})^{-1}\mathbf{D}^*\mathbf{W}^{-1}\mathbf{g}$$
 (17-6.5)

بتذكر أن العناصر داخل الأقواس قطرية، واستخدام المفاهيم التي طورت في القسم 2.5 - 3 ، يمكن أن نعبر عن عناصر المعادلة (6.5 - 17) بالشكل

$$\hat{F}(u, \nu) = \left[ \frac{H^*(u, \nu)}{|H(u, \nu)|^2 + \gamma |p(u, \nu)|^2} \right] G(u, \nu) \qquad (18 - 6.5)$$

من أجـــل  $|H(u, v)|^2 = H^*(u, v)H(u, v)$  حيت (u,v=0,1,2,...,N-1) ، وإذا افترضنا أن M=N نلاحظ أن المعادلة (6.5-18) تشبه مرشاح فينز المعلمي المشتق في القسم السابق. ان الفرق الرئيس بين المعادلتين (-6.5-18) هو أن الأخيرة لا تتطلب معرفة صريحة بالمعلمات الاحصائية غير تقدير متوسط mean الضجيج وتفاوته variance ، كما سنرى أدناه.

عرف متجه البواقي r كما يلي

$$\mathbf{r} = \mathbf{g} - \mathbf{H}\hat{\mathbf{f}} \tag{19-6.5}$$

بتعویض المعادلة (6.5–15) من اجل  $\hat{f}$  ينتج

$$r = g - H(H''H + \gamma C'C)^{-1}H'g$$
 (20-6.5)

تدل هذه المعادلة على أن r هو دالة لـ ٢٠ . في الحقيقة، يمكن اثبات (Hunt 1973) أن

$$\phi(\gamma) = \mathbf{r}'\mathbf{r}$$

$$= \|\mathbf{r}\|^2$$
(21 - 6.5)

هي دالة لـ  $\gamma$  تتزايد على وتيرة واحدة monotonic. ان ما نرغب أن نفعله هو ضبط  $\gamma$  بحث

$$\|\mathbf{r}\|^2 = \|\mathbf{n}\|^2 + a$$
 (22 – 6.5)

 $||r||^2 = ||n||^2$ فان الدقة accuracy factor من الواضح أنه اذا كان a a ميث ان a الدقة a الدقة a فان التقييدa الدقة a الدق a الدقة الدقة a الدقة الدقة

نظراً لأن  $\phi(\gamma)$  تتزايد على وتيرة واحدة monotonic نظراً لأن  $\phi(\gamma)$  تتزايد على وتيرة واحدة المعادلة (6.5–17) ليست مسألة صعبة. ان أحد الأساليب البسيطة لتحقيق ذلك هو (1) حدد قيمة بدائية ل $\gamma$ 

 $||r||^2 \int_{\mathbb{R}^2} |r||^2 dr$ 

(3) توقف اذا كانت المعادلة (6.5 – 22) محققة، وإلا عد إلى الخطوة (2) بعد زيادة  $\|\mathbf{r}\|^2 > \|\mathbf{n}\|^2 + a$  اذا كانت  $\|\mathbf{r}\|^2 < \|\mathbf{n}\|^2 - a$ 

يكن استعمال اجراءات أخرى مثل خوارزمية نيوتن - رافسون - Newton ميكن استعمال اجراءات أخرى مثل خوارزمية نيوتن - رافسون - Raphson algorithm

يتطلب تنفيذ المفاهيم المذكورة أعلاه بعض المعرفة حول  $\|\mathbf{n}\|^2$  . يعطى تفاوت  $\eta_{a}(x,y)$ 

$$\sigma_{\eta}^{2} = E\left\{ \left[ \eta_{e}(x, y) - \bar{\eta}_{e} \right]^{2} \right\}$$

$$= E\left\{ \eta_{e}^{2}(x, y) - \bar{\eta}_{e}^{2} \right\}$$

$$\sim 23 - 6.5$$

$$\bar{\eta}_e = \frac{1}{(M-1)(N-1)} \sum_x \sum_y \eta_e(x, y)$$
 (24-6.5)

هي القيمة الوسطى لـ  $\eta_e(x, y)$  اذا قربنا القيمة المتوقعة لـ  $\eta_e(x, y)$  • بمتوسط العينات، فان المعادلة (6.5 – 23) تصبح

$$\sigma_{\eta}^{2} = \frac{1}{(M-1)(N-1)} \sum_{x} \sum_{y} \eta_{e}^{2}(x,y) - \bar{\eta}_{e}^{2}$$
 (25-6.5)

يشير حد الجمع ببساطة الى تربيع وجمع جميع القيم في المصفوفة n'n ، الذي y=0,1,2,...,N-1 ، الذي y=0,1,2,...,N-1 ، الذي بالتعريف، يساوي ||n|| . وهكذا تبسط المعادلة

(23-6.5) الى

$$\sigma_{\eta}^{2} = \frac{\|\mathbf{n}\|^{2}}{(M-1)(N-1)} - \overline{\eta}_{e}^{2}$$
 (26-6.5)

$$\|\mathbf{n}\|^2 = (M-1)(N-1)\left[\sigma_n^2 + \bar{\eta}_e^2\right]$$
 (27-6.5)

ان أهمية هذه المعادلة هي أنها تسمح بتأسيس قيمة للتقييد بدلالة وسطي mean الضجيج وتفاوته variance ، وهي قيم ان لم تكن معروفة، يمكن على الأغلب قياسها أو تقريبها في الواقع العملي.

يمكن تلخيص اجراء الاستعادة بمعيار التربيعات الصغرى المقيد constrained يمكن تلخيص اجراء الاستعادة بمعيار التربيعات الصغرى المقيد least – squares restoration

الحطوة الأولى. اختر قيمة بدائية لـ  $\gamma$  ، و احصل على تقدير لـ ||n|| مستعملا المعادلة (6.5 – 27).

الحطوة الثانية . احسب  $\hat{F}(u, v)$  مستعملا المعادلة (6.5–18). احصل على  $\hat{f}$  بأخذ معكوس تحويل فورييه لـF(u, v).

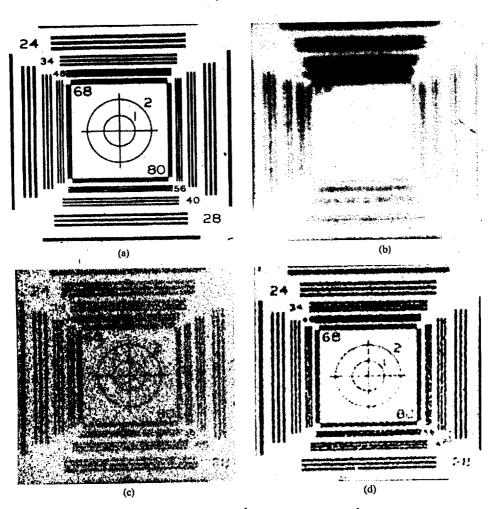
الحطوة الثالثة. شكل متجه البواقي r وفقا للمعادلة (6.5 – 19)، واحسب r المعادلة (6.5 – 19)، واحسب r الحطوة الرابعة. زد أو انقص r .

- ية أعلاه أو وفقاً لأية  $\phi(\gamma)<\|\mathbf{n}\|^2-a$  . زد  $\gamma$  وفقاً للخوارزمية المعطاة أعلاه أو وفقاً لأية طريقة أخرى ملائمة (مثل اجراء نيوتن رافسون).
  - لفص  $\gamma$  وفقا لخوارزمية ملائمة.  $\phi(\gamma) > ||\mathbf{n}||^2 + a$  (b) انقص  $\gamma$  وفقا لخوارزمية ملائمة. الخطوة الحامسة. عد الى الخطوة 2 وتابع الا اذا كانت الخطوة 6 حقيقة. الخطوة السادسة  $||\mathbf{n}||^2 \pm a$  الدقة التي يتم

تحقيق التقييد بها. أوقف اجراء التقدير بحيث تكون  $\hat{f}$  من أجل القيمة الحالية لـ  $\gamma$  هي الصورة المخزنة.

مثال: لقد تم الحصول على الشكل 6.6(b) بطي دالة منشور النقطة المشكلة غوصيا Gausian – shaped point – spread function

$$h(x,y) = \exp\left[-\left(\frac{x^2 + y^2}{2400}\right)^2\right]$$



الشكل a)6.5) صورة أصلية. (b) صورة غبشت وأفسدت بضجيج جمعي. (c) صوره استعيدت بالترشيح الشكل aast – squares). العكسي. (d) صورة استعيدت بطريقة التربيعات الصغرى least – squares للقيدة. (عن Hunt 1973).

مع الصورة الأصلية المبينة في الشكل 6.5(a)، وجمع ضجيج مأخوذ من توزيع منتظم uniform distribution في البون [0.0, 0]. الشكل 6.5(c) هو نتيجة استعمال الخوارزمية المذكورة أعلاه مع  $0=\gamma$  (المرشاح العكسي). ان طبيعة الاشراط الضعيف ill—conditioned للحل واضحة من هيمنة الضجيج في الصورة المستعادة. لقد تم الحصول على الشكل 6.5(b) بالسماح للخوارزمية بالبحث عن  $\gamma$  التي ستحقق التقييد. لقد تم استعمال تفاوت ووسطي الكثافة المنتظمة في البون [0.0, 0] لتقدير ||n|| و تم اختيار عامل الدقة a بحيث يكون ||n|| ||n|| ||n|| و التحسين الذي يقدمه الخراطيح العكسي المباشر جلى تماما.

#### interactive restoration الاستعادة التفاعلية

لقد ركزنا عنايتنا حتى الآن على طريقة تحليلية بحتة للاستعادة. في كثير من الأحيان، يكون عمليا أن نستفيد من حدس الانسان و من الحواسيب الرقمية متعددة الأغراض معا، لاستعادة الصور بأسلوب تفاعلي. في هذه الحالة، يملك المراقب امكانية التحكم بعملية الاستعادة، وبضبط المعلمات المتوفرة، يكون قادرا على الحصول على نتيجة نهائية يمكن أن تكون ملائمة لغرض معين. نعطي فيا يلي مثالين لهذا الأسلوب. ان أحد أبسط حالات فساد الصورة الملائمة كثيراً للاستعادة التفاعلية هي حصول نمط تداخل جيبي ثنائي الأبعاد (يدعى أحيانا الضجيج المتاسك coherent noise) متراكبا على الصورة. دع n(x, y) ترمز الى نمط تداخل جيبي اتساعه A، ومركبتي تردده ثنائيتي الأبعاد هما  $(u_0, v_0)$ أي

$$\eta(x, y) = A \sin(u_0 x + \nu_0 y)$$
 (1-7.5)

يمكن أن نبين بالتعويض المباشر للمعادلة (7.5 – 1) في المعادلة (1.3 – 9) أن تحويل فورييه ل $\eta(x,y)$  يعطى بالعلاقة

$$N(u, \nu) = \frac{-jA}{2} \left[ \delta(u - u_0/2\pi, \nu - \nu_0/2\pi) - \delta(u + u_0/2\pi, \nu + \nu_0/2\pi) \right]$$
(2-7.5)

بكلمات أخرى، ان تحويل فورييه لدالة جيبية ثنائية-الأبعاد هو زوج من النبضات

شدتهما A/2 و A/2 متوضعتان عند احداثيين  $(u_0/2\pi, v_0/2\pi)$  و  $u_0/2\pi, -v_0/2\pi)$  على التوالي في مستوى التردد. ويلاحظ أيضاً أن للتردد في هذه الحالة مركبتين تخيليتين فقط. ولأن التدني الوحيد المأخوذ بالحسبان هنا هو الضجيج الجمعي، يكون لدينا من المعادلة (2.5-40)

$$G(u, v) = F(u, v) + N(u, v)$$
 (3-7.5)

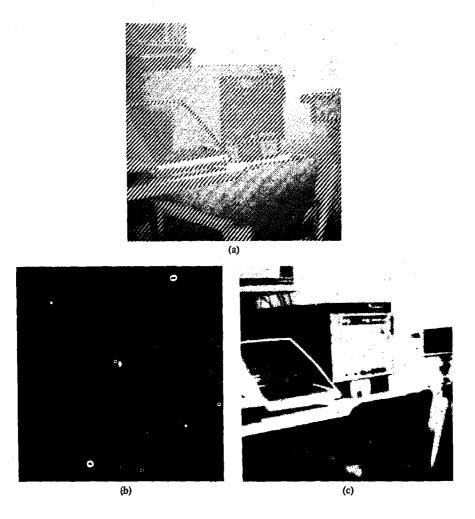
ان رسم مطال G(u, v) سيحتوي مطال مجموع F(u, v) و F(u, v). فاذا كان A كبيرا بما فيه الكفاية، ستظهر نبضتا N(u, v) كنقطتين لامعتين على الرسم (الشاشة) وخاصة اذا وقعتا بعيدا عن المبدأ حيث تكون مشاركة مركبات F(u, v) صغيرة.

اذا كانت  $\eta(x, y)$  معروفة تماماً، فإن الصورة الأصلية يمكن، بالطبع، أن تستعاد بطرح التداخل من g(x, y). ولأن هذه نادراً ماتكون الحالة، فإن إحدى الطرق العملية هي أن نحدد بصرياً موضع المركبات النبضية في المجال الترددي ونستخدم مرشاح رفض نطاق bandreject filter (انظر القسم 4.7.4) عند هذه المواضع.

مثال: لقد أفسدت الصورة المبينة في الشكل 2.7(a) بنمط جيبي من الشكل المبين في المعادلة (7.5-1). يظهر طيف فورييه لهذه الصورة والمبين في الشكل 7.5(b)، بوضوح زوجا من النبضات المتناظرة، بسبب التداخل الجيبي. لقد تم الحصول على الشكل 7.5(c) بوضع مرشاحي رفض نطاق، يدويا عن طريق الحاسوب، بقطر قدره 1 عند موضع النبضتين ومن ثم أخذ معكوس تحويل فورييه للنتيجة. من أجل جميع التطبيقات العملية، تبدو الصورة خالية من التداخل.

ان وجود نمط تداخل وحيد محدد بوضوح مثل ذلك الذي وضحناه للتو، نادراً مايحدث في الواقع العملي. إنَّ مثالاً جديراً بالملاحظة موجود في الصور التي تم الحصول عليها من مواسح (مرقمنات) كهرميكانيكية، كتلك التي تستعمل بشكل شائع في بعثات الفضاء. إن التداخل الناتج عن الاقتران coupling و تكبير الاشارات

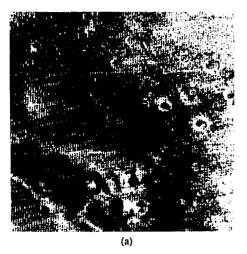
منخفضة السوية في الدارات الألكترونية هو مشكلة شائعة. ان النتيجة هي أن الصور المعاد بناؤها من خرج الماسح (المرقمن) تميل الى أن تشتمل على بنية دورية ثنائية الأبعاد بارزة متراكبة على معطيات المشهد.

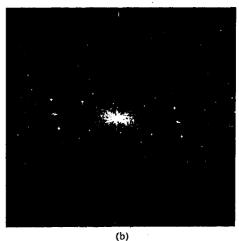


الشكل 7.5 مثال لازالة تداخل جيبي. (a) صورة مفسدة (مشوشة). (b) طيف فورييه بيين نبضتين ناتجتين عن الشكل 7.5 مثال لازالة تداخل جيبي. (c) صورة استعيات باستعمال مرشاح ايقاف نطاق بنصف قطر قدره 1.

إن أحد الأمثلة لهذا النوع من تدني الصورة الدوري مبين في الشكل 8.5(a)، الذي هو صورة للمنطقة المريخية المأخوذة بواسطة المركبة الفضائية مارينر mariner 6. وان نمط التداخل مشابه إلى حد بعيد لذلك المبين في الشكل 3.7.5(a) ولكن النمط السابق أكثر دقة، وبالتالي، أكثر صعوبة للكشف في المستوي الترددي.

يبين الشكل 8.5(d) طيف فورييه لهذه الصورة. إن المركبات الشبهة بالنجوم نتجت عن التداخل، ويلاحظ وجود عدة أزواج من المركبات، ثما يدل على أن النمط قد نتج عن أكثر من مركبة جيبية واحدة فقط. عندما تكون عدة مركبات تداخل موجودة، لاتكون الطريقة المناقشة أعلاه دائما مقبولة لأنها يمكن أن تزيل كثيراً من معلومات الصورة في عملية الترشيح. بالاضافة إلى ذلك، فإن هذه المركبات ليست عادة رشقات bursts تردد—وحيد. بل تميل لأن يكون لها حواف skirts عريضة تحمل معلومات حول نمط التداخل. هذه الحواف ليست دائما قابلة للكشف بسهولة من أرضية التحويل العادية.





الشكل a)8.5) صورة لمنطقة مريخية مأخوذة بواسطة المركبة الفضائية مارينر b). mariner 6) طيف فوربيه. لاحظ التداخل الدوري في الصمورة والنتوءات spikes المقابلة في الطيف. (باذن من NASA ، مخبر Jet بهر Propulsion).

لاقى الاجراء الموصوف فيا يلي قبولا في معالجة المشاهد المتعلقة بالفضاء و يتكون من عزل المشاركات الرئيسة لمركبات نمط الضجيج أولا، ثم طرح جزء موزن weighted متغير من النمط من الصورة المفسدة (المتدنية). على الرغم من أن الاجراء مطور أدناه في سياق تطبيق محدد، فان الطريقة الأساسية عامة الى حد بعيد ويمكن تطبيقها في مهمات تحسين أخرى حيث يسبب التداخل الدوري المتعدد مشكلة.

الخطوة الأولى هي استخلاص المركبات الترددية الرئيسة لخمط التداخل. يمكن أن يتم هذا بوضع مرشاح تمرير نطاق H(u, v) في موضع كل نتوء (بروز) spike (انظر القسم 4.7.4). اذا صمم H(u, v) لتمرير المركبات المصاحبة لخمط التداخل فقط، ينتج عن ذلك أن يعطى تحويل فورييه للنمط بالعلاقة

$$P(u, v) = H(u, v)G(u, v)$$
 (4-7.5)

حيث ان  $g(x, \nu)$  هو تحويل فورييه للصورة المفسدة (المتدنية)  $g(x, \nu)$  ومن أجل رقمنة في مصفوفة أبعادها  $g(x, \nu)$  ، تأخذ  $g(x, \nu)$  في المدى  $g(x, \nu)$  . من المهم أن نلاحظ أن تشكيل  $g(x, \nu)$  يتطلب درجة أكبر من المحاكمة لتقرير ماهو نتوء spike تداخل وماهو غير ذلك. لهذا السبب يصمم مرشاح تمرير النطاق عادة بشكل متفاعل interactively بملاحظة الطيف  $g(x, \nu)$  على شاشة الاظهار display. بعد أن يتم اختيار مرشاح معين، يتم الحصول على النمط المقابل في المجال الحيزي domain

$$p(x,y) = \mathcal{F}^{-1}\{H(u,\nu)G(u,\nu)\}$$
 (5-7.5)

نظرا لأن الصورة المفسدة تشكل بجمع p(x, y) و التداخل، واذا كانت p(x, y) معروفة تماماً، فإن طرح النمط من p(x, y) للحصول على p(x, y) سيكون مسألة بسيطة. المسألة هي، بالطبع، أن اجراء الترشيح المذكور أعلاه يعطي عادة تقريبا فقط للنمط الحقيقي true pattern. لكي نخفض إلى الحد الأدنى آثار المركبات غير الموجودة في تقدير p(x, y)، فإننا بدلاً من ذلك نطرح جزءاً موزناً من p(x, y) للحصول على تقدير Jestimate

$$\hat{f}(x,y) = g(x,y) - w(x,y)p(x,y)$$
 (6-7.5)

حيث ان (x, y) هو تقدير f(x, y)، و w(x, y) بجب تحديدها. تسمى الدالة w(x, y) و دالة تشكيل أو توزين weighting or modulationg function ، والهدف من الاجراء هو اختيار هذه الدالة بحيث تكون النتيجة أقرب ماتكون الى الحالة المثلى بطريقة ما ذات معنى meaningful. ان أحد الأساليب هو اختيار w(x, y) بحيث تخفض تفاوت f(x, y) الحد الأدنى ضمن مجال محدد لكل نقطة w(x, y).

خد جواراً قياسه (2x+1) × (2x+1) حول نقطة (x, y). ان التفاوت "الموضعي" لـ (x, y) عند الاحداثيين (x, y) يعطى بالعلاقة

$$\sigma^{2}(x,y) = \frac{1}{(2X+1)(2Y+1)} \sum_{m=-X}^{X} \sum_{n=-Y}^{Y} \left\{ \hat{f}(x+m,y+n) - \hat{f}(x,y) \right\}$$
(7-7.5)

حيث ان  $\hat{f}(x,y)$  هي القيمة المتوسطة لـ  $\hat{f}(x,y)$  في الجوار، أي،

$$\bar{f}(x,y) = \frac{1}{(2X+1)(2Y+1)} \sum_{m=-X}^{X} \sum_{n=-Y}^{Y} \hat{f}(x+m,y+n) \quad (8-7.5)$$

يمكن معالجة النقاط الموجودة على أو قرب حافة الصورة باستخدام جوارات جزئية.

ان تعويض المعادلة(7.5-6) في المعادلة (7.5-7) يعظى

$$\sigma^{2}(x,y) = \frac{1}{(2X+1)(2Y+1)} \sum_{m=-X}^{X} \sum_{n=-Y}^{Y} \left\{ \left[ \bar{g}(x+m,y+n) \right] \right\}$$
 (9-7.5)

$$-w(x+m,y+n)p(x+m,y+n)]-\left[\bar{g}(x,y)-\overline{w(x,y)p(x,y)}\right]^{2}$$

بافتراض أن (x, y) تبقى ثابتة أساساً في الجوار، نحصل علىالتقريب

$$w(x + m, y + n) = w(x, y)$$
 (10-7.5)

من أجل  $X \le m \le X$  and  $-Y \le n \le Y$  ، أيضاً

$$\overline{w(x,y)p(x,y)} = w(x,y)\bar{p}(x,y)$$
 (11-7.5)

في الجوار. بهذه التقريبات، تصبح المعادلة (7.5-9)

$$\sigma^{2}(x,y) = \frac{1}{(2X+1)(2Y+1)} \sum_{m=-X}^{X} \sum_{n=-Y}^{Y} \left\{ \left[ g(x+m,y+n) - w(x,y) p(x+m,y+n) \right] - \left[ \bar{g}(x,y) - w(x,y) \bar{p}(x,y) \right] \right\}^{2}$$

لتخفيض  $\sigma^2(x, y)$  نحل

$$\frac{\partial \sigma^2(x, y)}{\partial w(x, y)} = 0 \tag{13-7.5}$$

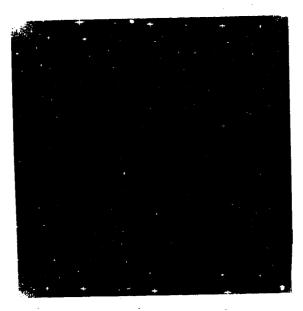
من أجل (w(x, y). فتكون النتيجة

$$w(x,y) = \frac{\overline{g(x,y)p(x,y)} - \overline{g}(x,y)\overline{p}(x,y)}{\overline{p^2}(x,y) - \overline{p^2}(x,y)}$$
(14-7.5)

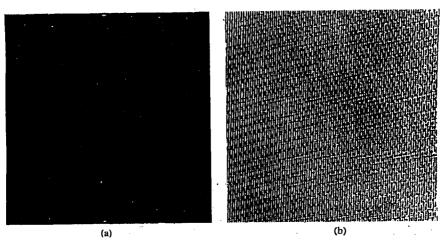
للحصول على الصورة المستعادة (x, y) نحسب (x, y) من المعادلة (x, y) ونستخدم بعدئذ المعادلة (x, y). من المهم أن نلاحظ أنه نظراً لأن (x, y) يفترض أن تكون ثابتة في جوار ما، ليس ضروريا أن نحسب هذه الدالة لكل قيمة لـ x و y في الصورة. بدلا من ذلك، تحسب (x, y) من أجل نقطة واحدة في كل جوار غير متراكب (يفضل أن تكون نقطة المركز) وبعدئذ تستعمل لمعالجة جميع نقاط الصورة الموجودة في ذلك الجوار.

مثال: تبين الأشكال 9.5 حتى 11.5 نتيجة تطبيق التقنية المذكورة أعلاه على الصورة المبينة في الشكل 9.5 (a) . في هذه الحالة N=512 وقد تم اختيار جوار أبعاده المبينة في الشكل 9.5 هو طيف فورييه للصورة المفسدة corrupted ولكن المبدأ لم يزح الى مركز مستوي التردد. يبين الشكل 5 . 10 (a) طيف (P(u, v) حيث توجد نتوءات spikes الضجيج فقط، والشكل 5 . 10 (b) هو نمط التداخل (P(x, v) الذي تم الحصول عليه بأخذ معكوس تحويل فورييه له (P(u, v) . لاحظ التشابه بين هذا النمط وبنية الضحيج الموجودة في الشكل 8.5 (a) . أخيراً، يبين الشكل 11.5 الصورة المعالجة التي تم الحصيول عليها باستخدام المعادلة (P(u, v)). من أجل الأغراض

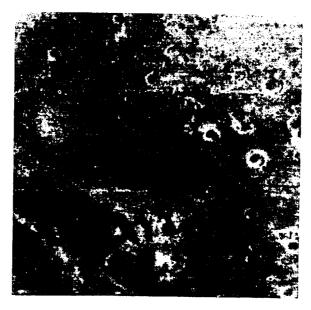
العملية، لقد أزيل الضبحيج الدوري تاركا ضبحيجا نقطيا (متقطعا) غير دوري. يمكن معالجة هذا الضبحيج بطرق أحرى مثل توسيط الجوار وترشيح الترددات المنخفضة.



الشكــل 9.5 طيف فوربيــه (بدون ازاحـة) للصــــورة المبينـة في الشكــل a)8.5 (باذن من NASA ، خمبر Jet Propulsion).



الشكــل 10.5 (a) طيف فورييــه لـ P(u, v) فط التـداخل المقــابل (p(x,y) (باذن من NASA ، مخبر (Jet Propulsion).



الشكل 11.5 الصورة المعالجة (باذن من NASA ، مخبر

### 8.5 الاستعادة في المجال الحيزي

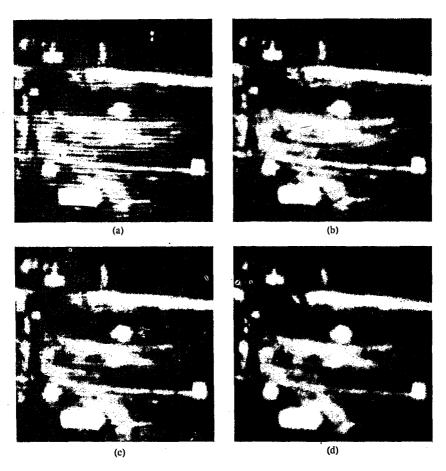
#### restoration in the spatial domain

بعد أن يتم الحصول على مرشاح استعادة مناسب في المجال الترددي بأية طريقة من الطرق التي نوقشت في القسم السابق، غالبا ما يكون مرغوبا تطبيق الحل في المجال الحيزي عن طريق نافذة و ذلك لتسريع المعالجة (انظر القسم 1.4). كما أشرنا في القسم 6.4 ، يمكن الحصول مباشرة على معاملات coefficients نافذة الطي من دالة مرشاح معين عن طريق المعادلة (6.4 – 12). على الرغم من أن المناقشة الواردة في القسم 6.4 تتعامل مع التحسين enhancement فان المفاهيم المطورة في ذلك القسم قابلة للتطبيق على الاستعادة كذلك، اذ يكمن الفرق في طبيعة المرشاح. ان استخدام هذه المفاهيم من أجل تحسين الصورة موضح في المثال التالي:

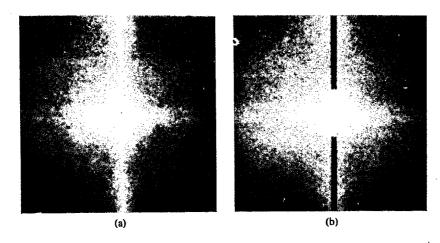
مثال: يبين الشكل 12.5 (a) صورة بالأشعة تحت الحمراء لمجموعة أهداف عسكرية في حقل. لقد أفسدت الصورة بتداخل دوري تقريبا ناتج عن الماسح ripple ، يمكن رؤيته كأثر تموج ripple في الاتجاه العمودي. ينتج التداخل، بسبب طبيعته الدورية، رشقات bursts قدرة مركزة في المحور الاحداثي الشاقولي لطيف فورييه للصورة، كما هو مبين في الشكل 13.5 (a).

ان احدى الطرق البسيطة لتخفيض أثر التداخل هو استعمال مرشاح ذي قطع حاد notch filter ، دالة تحويله (H (u, v) ، يخمد قيم تحويل فورييه في المحور الاحداثي العمودي ويضرب جميع قيم التحويل الأخرى بـ 1 ، بطريقة مشابهة للاجراء المناقش في القسم 7.5 . ان مثل هذا المرشاح مبين في الشكل 13.5 (b) متراكبا على الطيف. حيث ان الشريطين السوداويين هما المنطقتان المخمدتان.

ان نتيجة استخدام مرشاح ذي قطع حاد notch filter وأخذ معكوس تحويل فورييه، مبينة في الشكل 12.5 (d). لاحظ أنه، من أجل جميع الأغراض، قد تم حذف الضحيج من الصورة. لقد تم الحصول على الصورة المبينة في الشكل 12.5 (c) بتطبيق نافذة طي (انظر القسم 1.4) على الصورة الأصلية المفسدة. لقد تم توليد معاملات هذه النافذة من مرشاح ذي قطع حاد باستعمال المعادلة (6.4-12). ولأن هذه النافذة الصغيرة هي تقريب لعملية الترشيح باستخدام تحويل فورييه، فان بعض الخطوط العمودية ماتزال ملحوظة في الصورة المعالجة. ان تمرير النافذة مرة ثانية على الصورة قد خفض التداخل أكثر (على حساب بعض التغبيش الملحوظ)، كما هو مبين في الشكل 12.5 (d).



الشكل 12.5 (a) اصورة بالأشعة تحت الحمراء تبين تداخلا. (b) صورة استعيدت باستعمال مرشاح ذي قطع حاد في المجال الترددي. (c) صورة استعيدت باستخدام نافذة طي أبعادها 9×9. (d) نتيجة تطبيق النافذة مرة ثانية (عن Meyer and Gonzalez 1983).



ألبشكل 13.5 (a) طيف فورييه للصورة المبينة في الشكل 12.5 (a) مرشاح ذو قطع حاد متراكب على الطيف (عن Meyer and Gonzalez 1983).

## 9.5 التحويلات الهندسية geometric transformation

نحتم هذا الفصل بمناقشة تمهيدية لاستعمال التحويلات الهندسية لاستعادة الصورة. خلافا للتقنيات التي نوقشت حتى الآن، تعدل التحويلات الهندسية عادة العلاقات الحيزية بين العناصر pixels في الصورة. لهذا السبب، غالبا ماتسمى التحويلات الهندسية "تحويلات الصفيحة المطاطية" rubber sheet transforms لأنه يمكن أن ينظر اليها كعملية طباعة صورة على صفيحة من المطاط وبعد ذلك تمديد هذه الصفيحة تبعا لمجموعة من القوانين محددة مسبقا.

بمفاهيم معالجة الصورة، يتألف التحويل الهندسي من عمليتين أساسيتين: (1) تحويل حيزي spatial transformation يحدد اعادة ترتيب العناصر في مستوي الصورة، و (2) استكمال سويات—رمادية الصورة المحولة حيزيا. ان الأفكار يتعامل مع نسب سويات رمادية للعناصر في الصورة المحولة حيزيا. ان الأفكار الأساسية التي تتضمنها هذه المفاهيم، واستعمالها في سياق استعادة الصورة، مناقشة في الأقسام التالية.

#### 1.9.5 التحويلات الحيزية 1.9.5

افترض أن صــورة f باحداثيي عنصــر (x, y) تخضـع لتشويه هندسي لانتاج صـورة g باحداثيين ( و , و ) . يمكن التعبير عن هذا التبحويل كما يلي

$$\hat{x} = r(x, y) \tag{1-9.5}$$

•

$$\hat{y} = s(x, y), \qquad (2-9.5)$$

حيث تمثل g(x, y) و g(x, y) التحويلين الحيزيين اللذين أنتجا الصورة g(x, y) المشوهة هندسيا. مثلا، اذا كانت x(x, y) = x/2 و x(x, y) = y/2 و التشويه " التشويه " x(x, y) = x/2 من الاتجاهين الحيزيين.

اذا كانت (x, y) و (x, y) معروفتان تحليليا، فانه من الممكن من حيث المبدأ استعادة (x, y) من الصورة المشوهة (x, y) بتطبيق التحويلين بشكل معكوس. ولكن في الواقع العملي، ليس من الممكن عادة تشكيل مجموعة وحيدة من الدالتين ولار x, y) و (x, y) تحليليا بحيث تصف هذه المجموعة عملية تشويه في كامل مستوي الصورة. ان الطريقة التي تستخدم في معظم الأحيان للتغلب على هذه الصعوبة هي تشكيل اعادة التوضيع relocation الحيزية لعناصر الصورة عبر استعمال نقاط ربط مصورة الدخل (المشوهة) وصورة الخرج (المصححة) بدقة. تأمل الشكل 14.5 الذي يبين منطقتين رباعيتي الأضلاع في صورة مشوهة وصورة مصححة مقابلة. ان قمم (رؤوس) الشكلين الرباعيين هي نقاط الربط tiepoints المقابلة. افترض أن عملية التشويه الهندسي ضمن المنطقتين الرباعيتن قد نمذجت بزوج من المعادلات ثنائيتي والخطة bilinear بحيث

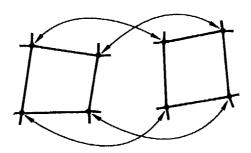
$$r(x, y) = c_1 x + c_2 y + c_3 x y + c_4$$
 (3-9.5)

$$s(x, y) = c_5 x + c_6 y + c_7 x y + c_8.$$
 (4-9.5)

عندئذ، ينتج من المعادلتين (1-9.5) و (2-9.5) أن 
$$\hat{x} = c_1 x + c_2 y + c_3 x y + c_4$$
 (5-9.5)

$$\hat{y} = c_5 x + c_6 y + c_7 x y + c_8. \tag{6-9.5}$$

نظرا لأنه يوجد ما مجموعه ثمان نقاط ربط معروفة، فان هاتين المعادلتين يمكن أن تحلا بسهولة من أجل المعاملات الثمانية c<sub>i</sub>, i=1,2,...,8. عندما تصبح المعاملات معروفة، تؤلف النموذج المستعمل لتحويل جميع عناصسر الصورة ضمن المنطقة الرباعية، الموصوفة بنقاط الربط المستعملة للحصول على المعاملات. عموما، نحتاج لنقاط ربط كافية لتوليد مجموعة من المناطق الرباعية التي تغطي كامل الصورة، بحيث يكون لكل منطقة رباعية مجموعتها الخاصة من المعاملات. ان توليد نقاط الربط مناقش في القسم التالى.



الشكل 14.5 نقاط الربط المتقابلة في جزأي صورة.

ان الأجراء المستعمل لتوليد الصورة المصححة هو اجراء مباشر. فمثلاء لتوليد f(0,0) نعوض f(0,0)=(x, y)=(0,0) في المعادلتين f(0,0)=(x, y)=(0,0) ونحصل على زوج من الأحداثيات f(0,0)=(x, y) من هاتين المعادلتين. بعدئذ نجعل f(0,0)=(x, y)=(0,0) من الأحداثيين اللذين حصلنا عليهما للتو. بعد ذلك نعوض f(0,0)=(x, y)=(0,0) في المعادلتين f(0,0)=(x, y)=(0,0) للحصول على زوج آخر من القيم f(0,0)=(x, y)=(0,0) لقيمتي الأحداثيين تلك. تتم متابعة الأجراء عنصرا فعنصرا حتى f(0,0)=(x, y)=(x, y)

مسح على مصفوفة لايتجاوز حجمها حجم الصورة g. يمكن أن نبين أن مسح عمود (بدلا من صف) سيعطي نتائج مماثلة. ومن المهم أن يبقى في ذهننا أيضا، أننا بحاجة الى اجراء حفظ السجلات bookkeeping procedure لحفظ تسلسل المناطق الرباعية التي يمكن تطبيقها على موضع عنصر صورة معين، لكي تستعمل المعاملات الصحيحة.

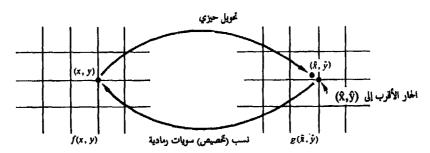
## 2.9.5 استكمال السويات الرمادية gray - level interpolation

على الرغم من أن الاستكمال بطريقة الجار الاقرب هو بالتأكيد سهل التنفيذ، غالبا مايكون لهذه الطريقة نتائج سلبية اذ تؤدي الى آثار مصطنعة artifacts غير مرغوبة، مثل تشويه الحواف المستقيمة في الصور ذات الميز resolution الدقيق. يمكن

الحصول على نتائج أدق (أنعم) smoother باستعمال تقنيات أكثر تطورا مثل تقنية الاستكمال بالطي الحجمي (girs)/x و العيمال بالطي الحجمي (sinx)/x التي توائم سطحا من نوع (16) على سبيل المثال) للحصول على تقدير أكثر دقة للسويات الرمادية عند أية نقطة مرغوبة. ولكن، هذه التقنية مكلفة من وجهة نظر حسابية، وكحل وسط معقول، تستعمل طريقة الاستكمال ثنائي الخطية bilinear interpolation التي تستعمل السويات الرمادية للجيران الأربعة الأقرب. بكلمات أخرى، الفكرة هي أننا نعرف السوية الرمادية لكل من الجيران الأربعة المتكاملة الأقرب لزوج احداثيات ((2,3)) غير متكامل المدوية الممادية لكن بعدئذ استكمال قيمة السوية الرمادية لـ (2,3)0 مرموزا اليها بـ (2,3)10 من قيم جيراننا باستعمال العلاقة

$$v(\hat{x}, \hat{y}) = a\hat{x} + b\hat{y} + c\hat{x}\hat{y} + d, \qquad (7 - 9.5)$$

حيث يمكن تحديد المعاملات الأربعة بسهولة من المعادلات الأربعة بأربعة متحولات، والتي يمكن أن تكتب باستعمال جيران (f(x, x)) الأربعة المعروفة. بعد أن يتم تحديد هذه المعاملات، نحسب (f(x, x)) وننسب هذه القيمة الى الموضع في (f(x, x))، الذي أعطى النقل الحيزي الى الموضع (f(x, x)). يمكن تصور هذا الاجراء بسهولة بمساعدة الشكل 15.5. الاستثناء هو أنه بدلا من استعمال قيمة السوية الرمادية للجار الأقرب الى (f(x, x))، نستكمل فعليا قيمته عند الموضع (f(x, x)) ونستعمل هذه القيمة لنسب السوية الرمادية عند الاحداثين (f(x, x)).



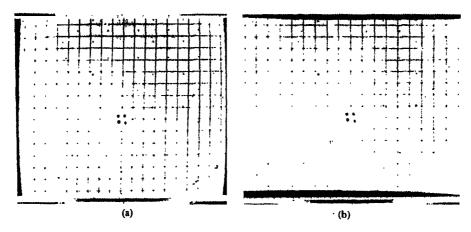
الشكل 15.5 استكمال السوية الرمادية مبني على مفهوم الجار الاقرب nearest - neighbor.

مثال: يمكن توضيح الطرق المطورة في هذا القسم والقسم السابق بتطبيق هذه التقنيات على مسألة تصحيح صورة شوهت هندسيا. الصورة المعنية مبنية في الشكل (a)16.5. تظهر هذه الصورة تشويه البرميل "barrel" الذي يوجد في كثير من كاميرات التصوير التي تعتمد مبدأ الفيديكون. ان الشبكة المربعة الخطية في الشكل (a)16.5 (a)مشوهة بشكل حاد، وبشكل خاص قرب حواف الصورة. لاحظ أيضا أن التشوه غير منتظم وأن درجة التشوه ازدادت بشكل غير خطي كدالة للمسافة من مركز الصورة.

كا أشرنا في القسم 1.5 ، يتطلب استعمال المعادلتين (9.5–5) و (9.5–6) معرفة نقاط الربط في كل من الصورة المشوهة والمصححة. في هذه الحالة الحاصة، نقاط الربط هي علامات الشبكة reseau marks الظاهرة في الشكل 16.5 (a) كنقاط داكنة صغيرة متناثرة ضمن الصورة. (علامات الشبكة reseau marks هي مربعات معدنية صغيرة تغمر مباشرة في سطح صمام التصوير). نظرا لأن مواضع هذه العلامات معروفة بدقة، يمكن أن تؤدي وظيفة نقاط ربط مثالية. ان نتيجة استعمال المحادلتين (9.5–5) و (9.5–6) من أجل الانتقالات الحيزية spatial mappings والمعادلة (9.5–7) من أجل استكمال السويات الرمادية، مبينة في الشكل والمعادلة (9.5–7) من أجل استكمال السويات الرمادية، مبينة في الشكل باستعمال هذه المعادلات.

ان المثال السابق هو واحد من أمثلة كثيرة ممكنة لاستعمال التحويلات الهندسية في استعادة الصورة. ان أحد التطبيقات المهمة الأخرى هو تسجيل الصورة image – registeration حيث نرغب في ايجاد التطابق بين صورتين. ان اجراء تسجيل الصورة هو مثل الطريقة التي وضحناها للتو من أجل التصحيح الهندسي correction ، ولكن التأكيد يكون على تحويل صورة ما بحيث تتطابق مع صورة أخرى لنفس المنظر، ولكن ربما كان منظورا اليها من زاوية أخرى. تشمل تطبيقات أخرى للتقنيات التي نوقشت في هذا القسم، تقويم تشوهات الاظهار ولاهامان

distortions واسقاط الخرائط وعرض الرسوم المتحركة distortions و صحتوي كتب Green 1983 و Castleman 1979 و Green 1983 أمثلة عديدة على هذه التطبيقات. قبل الانتقال من هذا القسم، نذكر أن تأسيس نقاط ربط متقابلة في صورتين، يمكن أن يكون في حالات كثيرة مهمة صعبة نوعا ما. ليس كل وضع قابل للتوصيف بتوفر علامات مصطنعة مثل علامات الشبكة. عندما لاتكون نقاط الربط معروفة سلفا، تؤسس نقاط الربط عادة باستخدام تقنيات الترابط (انظر الفصل الثامن) لا يجاد خصائص متطابقة corresponding features في صورتين. ولكن قياسات الترابط تأثر بعوامل مثل الضجيج ودوران الصورة وهكذا فانها تعطي عادة تطابقات حيزية spatial correspondences أقل دقة بين نقاط الربط.



الشكل 16.5 (a) صورة مشوهة. (b) صورة بعد التصحيح الهندسي (عن 1972 O' Handly and Green).

#### 10.5 ملاحظات ختامية

ان المفاهيم الرئيسة التي طورت في هذا الفصل هي تشكيل formulation المسألة استعادة الصورة في اطار الجبر الخطي linear algebra ، والتبسيطات اللاحقة للحلول الجبرية المبنية على خصصائص المصفوفات الدوارة block – circulant matrices.

ان تقنيات استعادة الصورة التي اشتقت في الأقسام السابقة مبنية جميعها على معيار التربيعات الصغرى least-squares للتقريب الأمشل optimality. نذكر القارىء بأن استعمال كلمة "أمثل" optimal في هذا السياق يرجع الى المفهوم الرياضي تحديدا و ليس الى الاستجابة المثلى لنظام الابصار لدى الانسان. في الحقيقة، ان نقص معرفتنا حول الادراك البصري visual perception يعيق الوصول الى تشكيل عام لمسألة استعادة الصورة يأخذ بالحسبان ما يفضله المراقب observer و ما هي امكاناته. في ضوء هذه التقييدات، ان مزية الأجراء الذي اتبعناه في هذا الفصل هي تطوير أسلوب أساسي يمكن من خلاله اشتقاق مجموعة من النتائج المعروفة سابقا (ولكن غير موحدة). وهكذا فان قدرة الأسلوب الجبري واضحة في البساطة التي يمكن فيها الحصول على طرائق مثل مراشيح فينر والتربيعات الصغرى المقيدة بدءا من نفس المبادىء الأساسية. ان النقاط المركزية المؤدية الى النتائج الواردة في الأقسام الثمانية الأولى من هذا الفصل مبنية على افتراض أن التدنيات degredations هي خطية وغير متغيرة حيزيا space invariant. هذا الافتراض يؤدي مباشرة الى تكامل الطي convolution integral الذي يمكن أن يعبر عن تشكيله المتقطع بدلالة نموذج التدني الأساسي المعطى في المعادلة (1.5-24). ان دورية دوال الدخل المفترضة قد سهلت المسألة أكثر بانتاج مصفوفات دوارة ومصفوفات كتل دوارة. بلغة التنفيذ، تسمح هذه المصفوفات باجراء جميع تقنيات الاستعادة التي وصلنا اليها في المجال الترددي بواسطة خوارزمية تحويل فورييه السريع ثنائي الأبعاد، مخفضة بذلك التعقيد الحسابي المفروض بالتشكيل المصفوفي matrix formulation الأصلى لعملية التدني. تؤمن المادة المعروضة في القسم 8.5 طريقة ملائمة لتنفيذ تقريب للنتائج الواردة في الأقسام 2.5

حتى 7.5 في المجال الحيزي. أخيرا، تعطي المناقشة الواردة في القسم 9.5 مدخلا لمسألة استعادة الصور المشوهة هندسيا.

# المراجع

لقد أخذت التعريفات التي أعطيت في القسم 1.5 من Schwarz and Friedland في 1965، ويمكن ايجاد خلفية لمعظم عمليات المصفوفات الأساسية في هذا الفصل في Deutsch 1965 و Nobel 1969 و Bellman 1970. ان تطوير نموذج التدني المتقطع بدلالة المصفوفات الدوارة ومصفوفات الكتل الدوارة مبني على مقالتين لـ

Bellman 1970 وكتاب المقالتان وكتاب Hunt [1971,1973] يدرسون أيضا خصائص عملية جعل المصفوفات قطرية diagonalization المناقشة في القسم 2.5. يمكن ايجاد معلومات اضافية حول المادة المعروضة في القسم 3.5 بالاضافة إلى الاشتقاق الجبري لتقنيات استعادة متنوعة مستعملة في هذا الفصل في Andrews and Hunt 1977. ذلك الكتاب المكرس بشكل كامل لموضوع استعادة الصورة، يعالج بالتفصيل تقنيات استعادة أخرى بالاضافة للتقنيات التي طورت هنا.

لقد درس أسلوب الترشيح العكسي من قبل باحثين عديدين. المراجع للمادة المعروضة في القسم 4.5 هي McGlamery 1967 و McGlamery 1967 و Hall 1968 و Slepian 1967. المراجع الاضافية لأسلوب الاستعادة بمعيار التربيعات المصغرى Helstrom 1967 و Rimo 1969 و Rimo 1969 و Rimo 1969 و Slepian 1967 و Slepian 1967 و Rosenfeld and و Horner 1969 و Rimo 1969 و Harris 1968 و Rack 1982. وجدير بالاهتام مقارنة الاشتقاقات الكلاسيكية في هذه المراجع مع الأسلوب الجبري المعطى في القسم 5.5. ان المادة المعروضة في القسم 6.5 مبنية على الأسلوب الجبري المعطى في القسم 15.5. ان المادة المعروضة في القسم 1963 مبنية على مقالة 1973 المناقشة في الأقسام مقالة 1962 و Phillips 1962 و Slepian and Pollak 1961 و Shack 1964 و Shack 1964 و Shack 1964

1967 و 1968 Blackman و 1968 و 1968 Huang 1968 و 1972, 1974 و 1972 Habib و 1972, 1974 و 1972, 1974 و 1972 Habib و 1972, 1974 و 1972 Andrews 1974 و 1972 Robbins and Huang 1972 و 1974 Anderson and Netravaly 1976 و 1974 Anderson and Netravaly 1976

ان المادة المعروضة في القسم 8.5 هي من Meyer and Gonzalez 1982. يمكن المادة المعروضة في القسم 9.5 في O'Handly and المجاد مواد للقراءة الاضافية من أجل المواضيع الواردة في القسم 9.5 في Green 1982.

## مسائل

- 1.5 ليكن لدينا نظام تدني صورة خطي وغير متغير بالنسبة للموضع باستجابة نبضية لدينا نظام تدني صورة خطي وغير متغير بالنسبة للموضع باستجابة نبضية البضية الاستخراء والاستخراص النظام من خط ذي عرض متناه في الصغر يقع عند x-a وقد نمذج بصورة تتألف من خط ذي عرض متناه في الصغر يقع عند x-a وقد نمذج بافتراض عدم وجود ضحيج، ماهي صورة الحرج x-a وقد نصحيج، ماهي صورة الحرج x-a وقد نصحيج، ماهي ص
  - ر 2.5 بين صحة المعادلة (2.5–8).
- 3.5 اشتق معادلة شبيهة بالمعادلة (4.5-13)، ولكن من أجل سرعة منتظمة اختيارية في كل من الاتجاهين <math>x و y.
- 4.5 لتكن لدينا مسألة تغبيش الصورة الناتج عن تسارع منتظم في الاتجاه x. اذا كانت الصورة في حالة راحة (سكون) في الزمن t=0 وتتسارع بتسارع منتظم كانت الصورة في حالة راحة (سكون) في الزمن t=0 . t=0
- 5.5 افترض أن صورة قد غبشت بعملية يمكن نمذجتها كمرشاح ترددات منخفضة نوع بتروورث من الدرجة 1. في غياب الضجيج، ماهي معادلة مرشاح فينز الذي ستستعمله لاستعادة هذه الصورة؟

- (a) بين كيف تنتج المعادلة (5.5-8) من المعادلة (5.5-7).
- (b) بين كيف تنتج المعادلة (5.5 9) من المعادلة (5.5 8).
- 7.5 بافتراض أن النموذج المبين في الشكل 1.5 خطي وغير متغير بالنسبة للموضع ، بين أن طيف القدرة للخرج يعطى بـ

 $|G(u, v)|^2 = |H(u, v)|^2 |F(u, v)|^2 + |N(u, v)|^2$ 

ارجع الى المعادلة (2.5-40).

8.5 اقترح P(u, v) مرشاح استعادة (u, v) يحقق الشرط

 $|\vec{F}(u, v)|^2 = |R(u, v)|^2 |G(u, v)|^2$ 

و مبني على المقدمة المنطقية لاجبار طيف القدرة للصورة المستعادة  $|\hat{F}(u, v)|^2$  على مساواة طيف القدرة للصورة الأصلية  $|F(u, v)|^2$ .

 $|N(u, v)|^2$  و  $|H(u, v)|^2$  و  $|F(u, v)|^2$  و R(u, v) و (a) اوجد (۲.5 ميح: ارجع للشكل 1.5 و المعادلة (2.5 – 4.5) و المسألة (7.5 )

(b) استعمل نتيجتك في (a) لتصيغ نتيجة بشكل المعادلة (5.5-9).

9.5 ابدأ بالمعادلة (7.5 – 12) واشتق المعادلة (7.5 – 14).

10.5 افترض أنه بدلا من استعمال المناطق الرباعية كان علينا استعمال مناطق ثلاثية في القسم 9.5 لتأسيس تحويل حيزي واستكمال سويات رمادية. ماذا ستكون المعادلات المشابهة للمعادلات (9.5-5) و (9.5-6) و (9.5-7)

اذا استعملت مناطق مثلثية ؟

الفصل السادس

# ترميز الصورة

ولكن اذا رضيت بالقليل، فالقليل الكافي يبدو كوليمة. اسحاق بايكرستاف Issac Bickerstaffe

كا ناقشنا في القسم 3.2، فان التمثيل الرقمي للصور يتطلب عادة عددا كبيرا جدا من البتات bits. من المهم في كثير من التطبيقات أن نفكر في تقنيات لتمثيل الصلوحة، أو المعلومات المحتواة فيها، ببتات أقل. في اللغة الاصطلاحية لنظرية المعلومات، يشار الى هذا الأمر بـ "ترميز المصدر " sourse encoding. ان تطبيقات ترميز المصدر في مجال معالجة الصورة تقع عادة في أحد أصناف ثلاثة: (1) ضغط معطيات الصورة و (2) ارسال الصورة و (3) استخلاص الخصائص. ان الطرائق المناقشة في هذا الفصل قابلة للتطبيق في أي من هذه الأصناف الثلاثة. ولكن، من المهم أن نلاحظ أن هذه التقنيات تعتمد الى حد كبير على نوع المسألة، ولكن، من من من نلاحظ أن هذه التقنيات تعتمد الى حد كبير على نوع المسألة، التي نتعامل معها. المعطيات فان تفضيل تقنية ترميز معينة على تقنية أخرى تمليه المسألة التي نتعامل معها. فعلى سبيل المثال، ان تطبيقات ضغط المعطيات المعطيات من المهم عادة استخدام تقنيات ترميز تسمح باعادة بناء تامة (بواسطة مفكك ترميز الحماء من المعطيات من شكلها المرميز ان وحدات الترميز – فك الترميز التي لا تنتج أخطاء zero error يشار اليها بـ الموافظة المعلومات " zero error الترميز التي لا تنتج أخطاء zero error يشار اليها بـ الموافظة المعلومات " zero error يشار اليها بـ الموافظة المعلومات " information preserving.

في تطبيقات ارسال الصورة، مثل ارسال صور مجس فضائي space probe في تطبيقات الرسال الصورة، مثل ارسال صور مجس فضائي pictures pictures للتفسير من قبل الانسان، يتركز الاهتام على التقنيات التي تؤمن تخفيضا أعظميا في كمية المعطيات المراد ارسالها، بشرط أن يتم ذلك بقدر معقول من الأمانة fidelity. في هذه الحالة، يتم التأكيد على تخفيض كمية المعلومات التي يجب أن ترسل، وليست هناك حاجة لأن تكون تقنية الترميز حافظة للمعلومات، مادامت الصور الناتجة مقبولة من أجل التحليل المرئي أو التحليل بواسطة الآلة.

ان تطبيقات استخلاص الخصائص pattern recognition بواسطة الحاسوب. ان الاعتبار من أجل التعرف على الأنماط pattern recognition بواسطة الحاسوب. ان الاعتبار الأكثر أهمية في هذه الحالة، هو اختيار تقنيات ترميز تخفض المعطيات مع حفظ معلومات كافية للسهاح للآلة بالتفريق بين البنود موضع الاهتمام في الصورة. لنأخذ على سبيل المثال، مسالة تصنيف محاصيل زراعية مختلفة في صورة التقطت بالساتل سبيل المثال، مسالة تصنيف محاصيل زراعية مختلفة في صورة التقطت بالساتل satellite. يوجد نوعان هامان من الخصائص في هذه الحالة: الخصائص التي تفرق بين المزروعات وغير المزروعات، والخصائص التي يمكن أن تستعمل للتفريق بين أنواع المزروعات. أما الخواص الأخرى كتلك المتعلقة بالفرق بين طريق ونهر، فلا حاجة لأن تؤخذ بالحسبان في اختيار اجراء ترميز لهذه المسألة الخاصة.

## 1.6 معيار الأمانة fidelity criteria

# objective fidelity criteria معيار الأمانة الموضوعي 1.1.6

في بعض أنظمة ارسال الصور، يمكن التسامح ببعض الأخطاء في الصورة التي أعيد بناؤها reconstructed. في هذه الحالة، يمكن استعمال معيار الأمانة كقياس لحودة النظام. ان بعض أمثلة معايير الأمانة الموضوعية هي جذر – متوسط – تربيع الأخطاء root – mean – square (rms) error بين صورة الدخل وصورة الخرج، وجذر متوسط تربيع ( $r_{1,13}$ ) نسبة الأشارة الى الضجيج signal – to – noise ratio لصورة الخرج. افترض أن صورة الدخل تتألف من مصفوفة العناصر f(x, y) حيث،

pixel كل عنصر 3.2 ، كل عنصر  $N \times N$  التي أبعادها x, y-0,1,2,...,N-1هو كلمة ثنائية من m - بت (m - bits) تقابل أحد قيم السويات الرمادية المكنة الم 2m. يخفض المرمز encoder حجم المعطيات من N×N×m بت الى عدد أقل من البتات. ويقوم مفكك الترميز بمعالجة هذه البتات لاعادة بناء صورة الخرج التي تتألف من المصفوفة N×N من عناصر الصورة (g(x, y) حيث N×N من عناصر الصورة (x, y=0,1,2,...,N−1 عنصر هو أيضا كلمة ثنائية من m-بت تقابل واحدا من قيم السويات الرمادية المكنة الہ 2m

ان الحطأ بين عنصر دخل ما input pixel وعنصر الخرج out put pixel المقابل له من أجل أية قيمة لـ x و y في المدى N - 1 (0,1,2,..., N هو

$$e(x, y) = g(x, y) - f(x, y)$$
 (1-1.6)

ان مربع الخطأ squared error موسطا ضمن مصفوفة الصورة هو

$$\overline{e^2} = \frac{1}{N^2} \sum_{x=0}^{N-1} \sum_{y=0}^{N-1} e^2(x,y)$$

$$= \frac{1}{N^2} \sum_{x=0}^{N-1} \sum_{y=0}^{N-1} \left[ g(x,y) - f(x,y) \right]^2$$
(2-1.6)

ويعرف خطأ الـ rms كما يلي 
$$e_{\rm rms} = \left[ \overline{e^2} \, \right]^{1/2}$$
 (3-1.6)

يمكن أن نعتبر أيضا أن الفرق بين صور الدخل وصور الخرج هو ضجيج noise بحيث ان كل اشارة (عنصر pixel) خرج تتألف من اشارة دخل (عنصر الدخل المقابل) بالاضافة الى ضجيج (حطأ)، أي

$$g(x, y) = f(x, y) + e(x, y)$$
 (4-1.6)

ان متوسط - تربيع - نسبة - الاشارة - الى - الضجيج لصورة الخرج يعرف كمتوسط  $g^2(x, y)$  مقسوما على متوسط  $e^2(x, y)$  ضمن مصفوفة الصورة. بعبارة أخرى،

$$(SNR)_{ms} = \sum_{x=0}^{N-1} \sum_{y=0}^{N-1} g^2(x,y) / \sum_{x=0}^{N-1} \sum_{y=0}^{N-1} e^2(x,y)$$
 (5-1.6)

تعطى قيمة الـ rms لنسبة الاشارة الى الضجيج (SNR) عندئذ بالعلاقة

$$(SNR)_{rms} = \left[ \sum_{x=0}^{N-1} \sum_{y=0}^{N-1} g^2(x,y) / \sum_{x=0}^{N-1} \sum_{y=0}^{N-1} \left[ g(x,y) - f(x,y) \right]^2 \right]^{1/2}$$
(6-1.6)

حيث ان الحد المتغير في المخرج هو الضجيج معبر عنه بدلالة صورتي الدخل والخرج. يوجد تعريف بديل لنسبة الاشارة – الل – الضجيج وهو الحذر التربيعي لقيمة الذروة peak value في g(x, y) مربعة (بافتراض أن القيمة الدنيا صفرا) و مقسومة على rms الضجيج، أي

 $(SNR)_p = \{ [peak value of g(x, y)]^2 / e_{rms} \}^{1/2}$  (7-1.6)

حيث تعطى  $e_{rms}$  بالمعادلة g(x, y). ان قيمة الذروة peak value في g(x, y) هي المدى الديناميكي الكلي لصورة الخرج. لذا، فان g(x, y) و g(x, y) تختلفان بشابت مقياس scale constant يساوي نسبة السوية العظمى للاشارة الى السوية المتوسطة للاشارة.

# subject ive fidelity criteria معيار الأمانة الشخصي 1.6

عندما يكون الغرض هو رؤية صور الخرج من قبل الناس، كما هي الحال في البث التلفزيوني، يكون من الملائم أكثر استعمال معيار الأمانة الشخصي subjective البث التلفزيوني، يكون من الملائم أكثر استعمال المساهدون. ان لجهاز الابصار لدى الانسان خواص مميزة بحيث يمكن ان تبدو صورتان، لهما نفس جذر متوسط تربيع الانسان خواص مميزة بحيث يمكن ان تبدو صورتان، لهما نفس جذر متوسط تربيع rms الأخطاء، مختلفتان جذريا من حيث النوعية المرئية. كما أشرنا في القسم 1.2، فإن احدى الخواص الهامة لجهاز الابصار لدى الانسان هي حساسيته اللوغاريتمية لشدة الضوء بحيث أن الأخطاء في المناطق العاتمة dark في الصورة تكون ملحوظة أكثر من

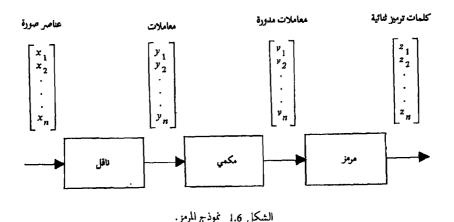
الأخطاء في المناطق الفاتحة light. ان جهاز الابصار لدى الانسان حساس أيضا للتغيرات الحيزية الحادة في السوية الرمادية بحيث أن الأخطاء على الحواف أو بقربها تكون أكثر ازعاجا منها في تركيب الخلفية background texture. يمكن أن تقوَّم النوعية الشخصية subjective quality بعرض الصورة على عدد من المراقبين وتوسيط تقويماتهم. ان احدى الامكانيات هي استعمال السلم المطلق absolute scale مثل الذي يستعمل من قبل اللجنة رقم panel 6 لنظمة دراسة التقسيات التلفزيونية (Telivision Allocations Study Organization (Frendendall and Behrend 1960)

- (1) ممتاز excellent صورة بنوعية عالية للغاية، بالقدر الذي ترغبه.
- (2) جيد fine صورة بنوعية عالية، تؤمن مشاهدة ممتعة. التداخل غير مزعج.
  - (3) مقبول passable صورة بنوعية مقبولة. التداخل غير مزعج.
- (4) بالكاد مقبول marginal صورة بنوعية رديئة بحيث ترغب أن تستطيع تحسينها. التداخل مزعج نوعا ما.
- (5) رديء inferior صورة سيئة جدا ولكنك يمكن أن تشاهدها. بالتأكيد يوجد تداخل مزعج.
- (6) غير قابل للاستعمال unusable صورة سيئة جدا لدرجة أنك لاتستطيع مشاهدتها.

توجد طريقة أخرى وهي طريقة مقارنة الزوج pair-comparison-method ، حيث تعرض على المراقبين صورتان في كل مرة ويسألون التعبير عن الأفضلية (أيهما أفضل). ولكل من الطريقتين مزاياها ومساوئها. بتوسيط النتائج لكثير من المراقبين (عشرون مراقبا هو عدد كاف عادة)، تعطي الطريقة الأولى رقما مطلقا بين 1 و 6 لكل صورة، ولكن بعض المراقبين يمكن أن يسمحوا للسلم بالانزياح خلال مشاهدة سلسلة من الصور. تتفادى الطريقة الثانية هذه الصعوبة ولكنها تعطى الصور ترتيبا نسبيا فقط.

#### 2.6 عملية الترميز the encoding process

يمكن نمذجة المرمزات بثلاث عمليات متتابعة، كما هو موضح في الشكل 1.6 حيث تم التعبير عن الصور بشكل اتجاهي vector form (انظر القسم 6.3). ان عملية النقل mapping تنقل معطيات الدخل من مجال العناصر pixel domain الى مجال آخر يمكن من استعمال المكمي quantizer و المرمز coder بكفاءة أكبر، بمعنى أن عدد البتات الذي يلزم لترميز المعطيات المنقولة mapped data سيكون أقل من عدد البتات اللازم لترميز معطيات الدخل الأصلية. يقوم المكمي بتدوير المعلومة الأصلية المنقولة الترميز بعدد أقل من القيم المكنة بحيث يلزم عدد أقل من كلمات الترميز بعدد أقل من البتات لكل كلمة. أما المرمز coder فيخصص كلمة ترميز لكل خرج مكمي.



# 1.2.6 النقل 1.2.6

تقوم عملية النقل بنقل (تحويل) مجموعة أرقام (عناصر) الدخل الى مجموعة أرقام أخرى. ان أفضل طريقة لشرح الاجراء الأساسي هي استعمال بعض الأمثلة البسيطة. في طريقة ترميز طول - الاستمرار run-length ، يتم نقل سلسلة عناصر الصورة على طول خط مسح (صف)  $x_1, x_2, ..., x_N$  الى تتابع (سلسلة) من الأزواج  $g_i$  على sequence of pairs من الشكل  $(g_1, l_1), (g_2, l_2), ..., (g_k, l_k)$  على السوية الرمادية و i على طول الاستمرار run رقم i كما هو موضح في الشكل 2.6. من أجل صور مثل صور الخرائط الجوية، يمكن أن يلزم عدد من البتات لترميز تتابع طول – الاستمرار أقل بكثير مما يلزم لترميز تتابع عناصر الصورة. ان هذا النقل طول – الاستمرار أقل بكثير مما يلزم لترميز تتابع عناصر الصورة بناء تتابع عناصر الصورة من تتابع الاستمرارات sequence of runs أي أنه يمكن اعادة بناء تتابع عناصر الصورة من تتابع الاستمرارات sequence of runs.

يوجد نقل mapping آخر يمكن استخدامه في ترميز الصورة هو التحويل الخطي linear transformation الموضح بالمعادلة التالية:

$$\begin{bmatrix} y_1 \\ y_2 \\ \vdots \\ y_n \end{bmatrix} = \begin{bmatrix} a_{11} & a_{12} & \cdots & a_{1n} \\ a_{21} & a_{22} & \cdots & a_{2n} \\ \vdots & \vdots & \ddots & \vdots \\ a_{n1} & a_{n2} & \cdots & a_{nn} \end{bmatrix} \begin{bmatrix} x_1 \\ x_2 \\ \vdots \\ x_n \end{bmatrix}$$

$$(1-2.6)$$

$$y = Ax (2-2.6)$$

يمكن أن يكون هذا التحويل عكيسا أو غير عكيس، وذلك حسب اختيار A. في هذه الحالة، يحول متجه العناصر x الى متجه معاملات y. بالنسبة لبعض مجموعات المتجهات x و بعض التحويلات A ، يلزم بتات  $x_1$  الحرميز معاملات y الد  $x_1$  أقل مما يلزم لترميز عناصر  $x_1$  الد  $x_2$  وجه الخصوص، اذا كانت العناصر  $x_1$ ,  $x_2$ , ...  $x_2$  عالية الترابط highly correlated وتم اختيار التحويل  $x_1$  بحيث تكون المعاملات  $x_1$  أقل ترابطا، يمكن عبد ثذ ترميز المعاملات  $x_2$ ,  $x_3$  افراديا بشكل أكثر كفاءة من ترميز العناصر  $x_3$ ,  $x_3$ .

- 366 -

يتم الحصول على نقل الفرق difference mapping باستعمال المصفوفة التالية:

$$\mathbf{A} = \begin{bmatrix} 1 & 0 & 0 & 0 & 0 & 0 \\ 1 & -1 & 0 & 0 & 0 & 0 \\ 0 & 1 & -1 & 0 & 0 & 0 \\ 0 & 0 & 1 & -1 & 0 & 0 \\ 0 & 0 & 0 & 1 & -1 & 0 \\ 0 & 0 & 0 & 0 & 1 & -1 \end{bmatrix}$$
 (3-2.6)

في المعادلة (2-2.6). ان العنصر element الأول من  $y_1 = x_1$  هو  $y_1 = x_1$  لكن جميع المعاملات التالية تعطى  $y_i = x_{i-1} - x_i$ . فاذا كانت السويات الرمادية للعناصر pixels المتجاورة متشابهة، ستكون الفروق  $y_i = x_{i-1} - x_i$  أصغر في المتوسط من السويات الرمادية وبذلك سيلزم بتات bits أقل لترميزها. وهذا النقل عكيس أيضا.

ان الأمثلة المذكورة أعلاه هي أمثلة نموذجية لاجراءات النقل المستعملة في ترميز الصورة. وسنطور تقنيات اضافية لاحقا في هذا الفصل في سياق تطبيقات معينة للترميز.

## 2.2.6 الكمي quantizer

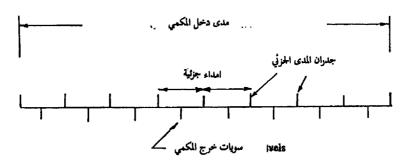
خذ عدد القيم المكنة لكل معامل  $y_i$  ناتج عن التحويل الخطي المعطى بالمعادلة (2.6-1). ان كل معامل هو تركيب خطي linear combination من n عنصر pixels ، أي

$$y_i = a_{i1}x_1 + a_{i2}x_2 + \cdots + a_{in}x_n$$
 (4-2.6)

اذا كان كل عنصر  $x_i$  في المجموع يمكن أن يأخذ أية قيمة من  $x_i$  قيمة مختلفة فإن كل حد  $x_i$  يمكن أن يملك أيضاً أية قيمة من  $x_i$  قيمه مختلفة. ان مجموع  $x_i$  حدا من هذا النوع من الحدود يمكن أن يكون له أية قيمة من  $x_i$   $x_i$  قيمة من  $x_i$  المختلفة. وبالتالي، فان التمثيل الثنائي الطبيعي natural binary representation سيتطلب كلمات ترميز من  $x_i$  من السلط عيمة فريدة لكل قيمة ممكنة له  $x_i$  من السلط كلمات ترميز من  $x_i$ 

قيمة. ونظراً لأنه يلزمنا كلمات من -m بت لترميز أية  $x_i$  ، وهدفنا هو استعمال عدد أقل من البتات لترميز  $y_i$  ، يجب أن ندوّر  $y_i$  إلى عدد أقل من السويات المسموح بها.

إن المكمي هو جهاز device لخرجه عدد محدود فقط من القيم الممكنة. يتم اجبار كل دخل على أن يأخذ احدى هذه القيم. ان احدى الطرق للحصول على ذلك هي تقسيم مدى الدخل الى عدد من الأمداء الجزئية bins ، كما هو موضح في الشكل 3.6. اذا وقع الدخل في المدى الجزئي رقم k ، يكون الخرج هو القيمة k المصاحبة لذلك المدى الجزئي. ان احدى الامكانيات هي جعل k تقابل مركز المدى الجزئي. لذلك المدى الجزئي الذي يقع فيه. ان المكمي المنتظم رقم k بحيث يدوّر كل دخل الى مركز المدى الجزئي الذي يقع فيه. ان المكمي المنتظم uniform quantizer هو مكم ذو أمداء جزئية متساوية العرض. والمكمي غير المنتظم nonuniform quantizer



الشكل 3.6 علاقة الخرج بالدخل.

إن عملية المكمي ليست عكيسة (لاتعكس) لأنه لايمكن، بشكل عام، تحديد قيمة الدخل من قيمة الخرج المقابلة لها . دع وتمثل أية قيمة دخل من المتجه و المبين في الشكل 1.6 ، ولتكن و خرج المكمي المقابل. ان خطأ المكمي هو الفرق بين الخرج والدخل، أي

$$e_{\mathbf{q}} = \mathbf{v} - \mathbf{y} \tag{5-2.6}$$

من الواضح أن الخطأ الأدنى هو الصفر، الذي يحصل عندما يساوي الدخل احدى قيم الخرج المسموح بها. ان الخطأ الأعظمي لمكم منتظم عرض مداه الجزئي  $\triangle$  هو نصف عرض هذا المدى، أي  $2\triangle$  =  $e_{qmax}$  =  $2\triangle$ 

ان خطا الـ rms هو الجذر التربيعي لمتوسط - تربيع الأخطاء لجميع القيم المكنة للدخل y. اذا كانت y يمكن أن تأخذ أية قيمة ضمن المدى الجزئي باحتمالات متساوية، يكون متوسط تربيعات الخطأ هو

$$e_{\text{qrms}} = \int_{\nu - \Delta/2}^{\nu + \Delta/2} (\nu - y)^2 \, dy$$
 (6-2.6)

اذا كان لجميع أمداء المكمي نفس العرض ، واذا كانت قيم y متساوية احتمال الحدوث ضمن المدى الجزئي، يكون الخطأ  $e_{qrms}$  عندئذ هو نفسه لجميع الأمداء الجزئية بحيث يعطى خطأ اله rms للمكمي بالجذر التربيعي للمعادلة (2.6–6)، وحتى من أجل الدخول التي يكون احتمال حدوثها ضمن بعض الأمداء الجزئية أكثر من احتمال حدوثها ضمن الأمداء الأخرى.

إذا كانت قيمة الـ rms للدخل تعطى بالعلاقة

$$y_{\rm rms} = \sqrt{\int y^2 \, \mathrm{d}y} \qquad (7 - 2.6)$$

فان نسبة الاشارة – الى – تشوه التكمية (الاشارة الى ضجيج التكمية) تعطى بالعلاقة  $Q_{\rm SNR} = y_{\rm rms}/e_{\rm qrms}$  (8-2.6)

اذا لم تكن جميع قيم y متساوية احتمال الحدوث ضمن الأمداء الجزئية، يجب عندئذ توزين الخطأ المربع  $(v-y)^2$  بدالة كثافة الأحتمال p(y):

$$e_{\text{qrms}} = \int_{\nu - \Delta/2}^{\nu + \Delta/2} (\nu - y)^2 p(y) \, dy$$
 (9-2.6)

ويكون خطأ التكمية الاجمالي هو متوسط موزّن لهذه الحدود. بعبارة أخرى، يجب أن يوزن حد الخطأ لكل مدى جزئي بالاحتمال probability التالي

# $\int_{\nu-\Delta/2}^{\nu+\Delta/2} p(y) \mathrm{d}y$

بحيث تقع y ضمن ذلك المدى الجزئي.

من أجل بعض عمليات النقل mappings ، يمكن الحصول على فعالية أكبر باستعمال مكم مختلف و/أو مرمز مختلف لكل من المعاملات coeff icients المختلفة الناتجة عن عملية النقل mapping. مثلا، ينتج التحويل الخطي المعرف بالمعادلة الناتجة عن عمليات بتفاوتات variances مختلفة. نظراً لأن الأمداء الديناميكية dynamic ranges للمعاملات يمكن أن تختلف بشكل كبير، نستطيع أن نستعمل مكمياً quantizer بأمداء جزئية أكثر وبالتالي بتات أقل لترميز المعاملات ذات التفاوتات الأكبر، وأمداء جزئية أقل وبالتالي بتات أقل لترميز المعاملات ذات التفاوتات الأصغر. يمكن أن تكون المكميات منتظمة أو غير منتظمة، ويمكن أن تكون أنظمة الترميز codes بأطوال متساوية أو غير متساوية. هذا المفهوم مناقش بتفصيل أكبر في القسم 2.4.6.

#### 3.2.6 المرمز the coder

ان دخول المرمز هي الـ n عنصراً للمتجه v المبين في الشكل 1.6. افترض أن  $w_1, w_2, \ldots, w_M$  كل عنصر v يمكن أن يأخذ احدى القيم (السويات) v التالية v يعطي المرمز على خرجه كلمة ثنائية تعتمد قيمتها على قيمة المدخل v . v يعطي المرمز بدخله input — relationship هي علاقة واحد — لواحد والتي يتم فيها تخصيص كلمة ترميز فريدة v لكل قيمة دخل ممكنة v . لذا، فان العملية عكيسة لأننا نعرف v المقابلة لأية كلمة ترميز معينة v . ان المرمز لايقدم أي خطأ في عملية الترميز . اذا كان يجب على المرمز أن يتقبل v قيمة دخل ممكنة ، فان تصميم المرمز يؤدي الى اختيار v كلمة ترميز ثنائية فريدة و قيميس كل كلمة منها لكل دخل.

ان نظام الترميز المتساوي الطول equal – length – code هو مجموعة من كلمات الترميز لكل منها نفس عدد البتات، مع قانون لتخصيص كلمات الترميز لسويات خرج المكمي. ان نظام الترميز الثنائي الطبيعي هو أحد الأمثلة على الترميز المتساوي الطول. ان أحد قوانين التخصيص assignment rules الممكنة للترميز الطبيعي هو ترتيب كلمات الترميز حسب قيمتها الثنائية. على سبيل المثال، افترض أنه يوجد ثمان قيم دخل مرمز ممكنة (سويات خرج المكمي) مرتبة  $w_1, w_2, ..., w_8, ..., w_8$  فيكون الترميز الطبيعي عندئذ  $w_1, w_2, ..., w_8$  هو موضح في الجدول 1.6 الترميز الطبيعي عندئذ المحكمي مكنة لكلمات الترميز الثانية للدخول الثمانية. ان نظام توجد ثمان عمليات تخصيص ممكنة لكلمات الترميز الثمانية للدخول الممانية. ان نظام الترميز الثنائي المنعكس gray code أو نظام ترميز غري eray code الموضح أيضاً في الجدول 3.1 له خاصة أن كل كلمتي ترميز متجاورتين في المجموعة تختلفان بموضع بت واحد فقط.

الدشحل	الترميز الطبيعي	ترميز غړي	قوميز - B <sub>1</sub>	в <sub>2</sub>	s <sub>2</sub> -
w <sub>1</sub>	000	111	C0	C00	00
- w2	001	110	C1	C01	01
w <sub>3</sub>	010	100	C0C0	C10	10
w4	011	101	COC1	C11	1100
w <sub>5</sub>	100	001	C1C0	C00C00	1101
w <sub>6</sub>	101	000	CICI	C00C01	1110
w <sub>7</sub>	110	010	C0C0C0	C00C10	111100
w <sub>8</sub>	111	011	C0C0C1	C00C11	111101

الجدول 1.6 بعض أنظمة الترميز النموذجية .

نظام الترميز القابل للفك بشكل فريد uniquely decodable code ترميز له خاصة أن جميع كلمات الترميز يمكن أن تفك بطريقة واحدة فقط. ان نظام الترميز له خاصة أن جميع كلمات الترميز  $c_1=0,\,c_2=1,\,c_3=01,\,c_4=10$  الترميز فريد لأن تتابع البتات  $c_1=0,\,c_2=1,\,c_3=01,\,c_4=10$  يمكن أن يفك كـ  $c_1\,c_1\,c_2\,c_2$  أو كـ  $c_1\,c_1\,c_3\,c_2$  ان جميع أنظمة الترميز المبينة في الجدول محدول أنظمة ترميز قابلة للفك بشكل فريد.

نظام الترميز الآني instantaneous code هو نظام ترميز يمكن فكه بشكل آني. أي، اذا نظرنا الى تتابع البتات bits القادمة واحدا في كل مرة، نعرف قيمة الدخل عندما نصل الى نهاية كلمة الترميز. ولانحتاج الى النظر الى أي بت قادم مستقبلا لكي نفكك سيل البتات bit stream. ان جميع أنظمة الترميز المبينة في الجدول 1.6 هي أنظمة ترميز آنية باستثناء أنظمة ترميز B التي تتطلب أن ننظر الى بت لاحق (قادم) كي نفكك الترميز. ان أنظمة ترميز B مناقشة أدناه.

إذا أعطيت احتمالات الدخل للمرمز، يكون مهما تحديد العدد الأدنى من البتات اللازم لترميز هذه المداخل وتوليد نظام ترميز يحقق هذا العدد الأدنى. ولكي صل الى هذا الهدف، يجب أن ندرك مفهوم الانتروبيا entropy.

#### entropy الانتروبيا

افــــترض أن لدينــــا مجمـــوعـــة M من المتحـــولات العشـــوائيـــة  $p_1=p(\alpha_1),\, p_2=p(\alpha_2),\,...,\, p_M=p(\alpha_M)$  احتمالاتها هي  $\alpha_1,\, \alpha_2,\,...,\, \alpha_M$  نعرف عندئذ الانتروبيا بالبتات كما يلي

$$H = -\sum_{k=1}^{M} p_k \log_2 p_k \tag{10-2.6}$$

افترض أنه يوجد ثمانية متحولات عشوائية، M=8 ، وأنها جميعها متساوية الاحتمال، أي،  $p_1=p_2=...=p_8=1/8$ 

$$H = -\sum_{k=1}^{8} \frac{1}{8} \log_2 \frac{1}{8}$$

من جهة أخرى، اذا كان  $p_1=p_3=\dots=p_8=0$  ، تكون الانتروبيا عندئذ H=0

بشكل عام، يمكن لانتروبيا M متحولا عشوائيا أن تتراوح في المدى من 0 الى  $log_2M$ 

ان الانتروبيا هي قياس لدرجة عشوائية randomness مجموعة متحولات عشوائية. تحصل حالة العشوائية الأدنى عندما يكون احتال أحد المتحولات العشوائية الأعظم 1 حيث تكون النتيجة معروفة سلفا وتكون H=0. و تحصل حالة العشوائية الأعظم عندما تكون جميع الحوادث events متساوية الاحتال. في هذه الحالة تكون  $p_1=p_2=p_3$ . ان هذا المفهوم مشابه لمفهوم الانتروبيا في الترموديناميك.  $p_M=1/M$ 

به تطبيقات الترميز التي نتعامل معها، تمثل الانتروبيا كمية المعلومات المصاحبة في تطبيقات الترميز التي نتعامل معها، تمثل الانتروبيا كمية المعلومات المصاحبة المجموعة قيم دخل المرمز وتعطي حدا أدنى لمتوسط عدد البتات اللازم لترميز هذه الدخول. اذا كانت مجموعة سويات دخل المرمز هي  $w_1, w_2, \dots, w_M$  واحتمالاتها هي  $p_1, p_2, \dots, p_M$  ميكون مؤكدا عندئذ أنه لايمكن ترميزها باستعمال أقل من

$$H = -\sum_{k=1}^{M} p_k \log_2 p_k$$

بت في المتوسط. ولذلك فان الانتروبيا توفر معيار أداء يمكن أن نقيس به أداء أي ترميز معين. أي، اذا صممنا نظام ترميز بكلمات ترميز أطوافا  $c_1, c_2, ..., c_M$  ، يكون متوسط عدد البتات اللازم للمرمز

$$R = \sum_{k=1}^{M} \beta_k p_k \tag{11-2.6}$$

اذا كانت R قريبة من H ، يكون المرمز قريبا من الدرجة المثلى، أما اذا كانت R بعيدة عن H بشكل كبير فان المرمز لايكون كذلك.

ان الانتروبيا المعرفة بالمعادلة (2.6–10) هي الانتروبيا من المرتبة الأولى first-order entropy. انها تأخذ بالحسبان الاحتالات النسبية لله M قيمة دخل الممكنة  $w_1, w_2, ..., w_M$  فقط. اذا كانت الدخول المتتابعة مستقلة، تكون الانتروبيا من المرتبة الأولى عندئذ هي أيضا قيد bound لمتوسط عدد البتات للدخل الواحد اللازم لترميز تتابع الدخول. اذا كانت الدخول المتتابعة غير مستقلة، تكون الانتروبيا المصاحبة لتتابع دخول، أقل للدخل الواحد منها لدخل مستقل. تعرف الانتروبيا من المرتبة الثانية بالمعادلة التالية

$$H_2 = -\sum_{i=1}^{M} \sum_{j=1}^{M} p(w_i, w_j) \log_2 p(w_i, w_j)$$
 (12-2.6)

joint probability density المشترك و  $p(w_i, w_j)$  هي دالة كثافة الاحتال المشترك  $p(w_i, w_j)$  المتحولين العشوائيين  $w_i$  و  $w_i$  و  $w_i$  و أدنى lower bound لعدد البتات اللازمة لترميز تتابع دخول معين اذا رمزنا دخلين معا في كل مرة (مثلا، ندخل سويتي مكم متتاليتين ونخرج كلمة ترميز واحدة). نستطيع أن نعرف انتروبيا من المرتبة الثالثة third order entrop y بالمعادلة التالية

$$H_3 = -\sum_{i=1}^{M} \sum_{j=1}^{M} \sum_{k=1}^{M} p(w_i, w_j, w_k) \log_2 p(w_i, w_j, w_k)$$
 (13-2.6)

التي هي قيد bound لعدد البتات اللازمة لترميز الدخول، ثلاثة في كل مرة. يمكن البرهان ان ...  $H_1 \geq H_2 \leq H_1$  بنحن لانواصل (نتابع) هذه الانتروبيات ذات المرتبة – الأعلى لسببين. السبب الأول هو أن كمية الحساب اللازمة للحصول على الانتروبيات ذات المرتبة – الأعلى غير ممكنة عمليا، والسبب الثاني هو أن الغرض من عملية النقل mapping operation في المرمز هو تحويل عناصر صورة الدخل التي تكون في العادة

معتمدة على بعضها لدرجة كبيرة highly dependent الى مجموعة من المعاملات أقل اعتادا على بعضها بكثير بحيث يمكن ترميزها بفعالية أكبر، عنصراً في كل مرة.

#### ترميز هافمان Huffman code

ان الترميز المكثف compact code هو ترميز متوسط طول كلمته أقل أو يساوي متوسط أطوال كلمات جميع أنظمة الترميز الأخرى القابلة للفك بشكل فريد و لنفس مجموعة احتالات الدخل، أي أنه ترميز بطول أصغري minimum length code. اذا كان لدينا مجموعة من احتالات الدخل، نستطيع أن نولد ترميزا مكثفاً باستعمال خوارزمية هافمان Huffman 1952. يمكن بناء ترميز هافمان بترتيب احتمالات الدخل حسب مطالاتها أولا، كا هو موضح في الشكل 4.6 من أجل ست قيم دخل. يدمج الاحتالان الأصغر بالجمع لتشكيل مجموعة جديدة من الاحتالات. ويتم ترتيب مجموعة الاحتمالات الجديدة، التي تنقص عن المجموعة الأصلية باحتمال واحد، ثانية حسب مطالات احتالاتها. يمكن ترتيب الاحتالات المتساوية بأية طريقة (مثلا، يمكن وضع الـ 0,1 الذي حصلنا عليه بدمج احتمالي الدخل 0,06 و 0,04 في أي من المداخل الثلاثة للخطوة الأولى في الأسفل). عندما نصل إلى احتالين، نقف كما في الخطوة 4، تولد كلمات الترميز بالبدء عند الخطوة الأخيرة والعمل باتجاه عكسي backward. نبدأ بتخصيص 0 إلى أحد الاحتالين الأخيرين المدمجين، و 1 إلى الآخر، كما هو موضح في الشكل 5.6 ، حيث وضعنا 0 إلى اليسار من الـ 0,06 في الخطوة الرابعة و 1 الى اليسار من الـ 0,04. نتقدم الآن عكسيا الى الخطوة 3 مفككين الاحتمالات ومولدين كلمات الترميز مع مرورنا. فعلى سبيل المثال اله 0,6 في الخطوة 4 تفكك الى الاحتمالين 0.3 في الخطوة 3. الـ 0 المصاحب للـ 0,6 يبقى البت الأول لله 0,4 في الخطوة 3. يضاف بت ثان 0 و 1 على التوالى، لكل من كلمات الترميز المصاحبة لاحتالاتها التي أعيد بناؤها reconstructed للخصول على كلمات الترميز في الخطوة 3. يعاد نفس الاجراء للرجوع الى الخطوة 2، ومرة ثانية الى

الخطوة 1، وأخيراً إلى احتالات الدخل، النقطة التي نكون قد خصصنا فيها كلمه ترميز الكل سوية دخل wi. يمكن البرهنة على أن الاجراء الملخص أعلاه يولد ترميزا مكثفاً.

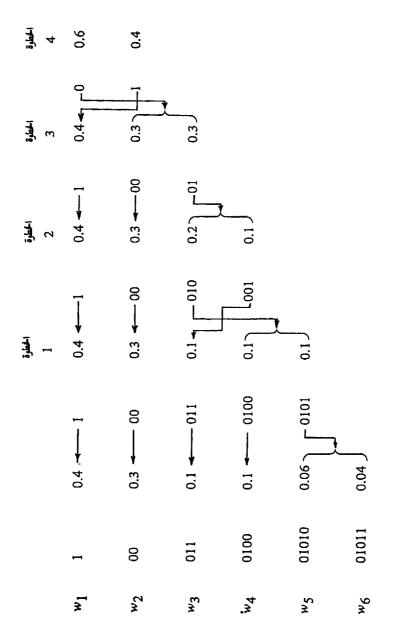
$$H = (-.4) \log(.4) - (.3) \log(.3) - (.1) \log(.1) - (.1) \log (.1)$$
$$- (.06) \log(.06) - (.04) \log(.04)$$
$$= 2.14 \text{ bits}$$

ان متوسط طول الكلمة لنظام ترميز هافمان لهذا المثال هو 
$$R = 1(.4) + 2(.3) + 3(.1) + 4(.1) + 5(.06) + 5(.04)$$

$$= 2.20 \text{ bits}$$

سويات الدخل	احتمالات الدخل	الخطوة 1	الخطوة 2	ا <del>ق</del> طوة 3	ا- <del>ل</del> طوة 4
w <sub>1</sub>	0.4	0.4	0.4	0.4	0.6
w <sub>2</sub>	0.3	0.3	0.3	0.3}_	0.4
w <sub>3</sub>	0.1	0.1	[→0.2]_	0.3 <sup>)</sup>	
w <sub>4</sub>	0.1	0.1	0.1		
w <sub>5</sub>	0.06	0.1			
w <sub>6</sub>	0.04				

الشكل 4.6 بناء نظام ترميز هافمان.



## أنظمة ترميز B

في بعض التطبيقات، تتبع احتمالات دخول المرمز قانون قوة power law ، أي أن احتمالات الـ M دخلا هي من الشكل

 $p_k = k^{-\gamma} \tag{14-2.6}$ 

من أجل k = 1,2,...,M ، وثابت ما موجب  $\gamma$  . مثلاً، ان توزيع أطوال الاستمرارات run – lengths لأنواع كثيرة من الرسوم (مثل النص المطبوع) هو توزيع أسى تقريبا. ان أنظمة ترميز -B مثلى optimal تقريبا للمعطيات التي تمتثل لـ (تطيع) المعادلة (2.6 – 14). ان نظام الترميز  $B_1$  مبين في الشكل 1.6. ان نصف البتات في كل كلمة ترميز هي بتات "استمرار " continuation مرقمة C والنصف الآخر هو بتات "معلومات" information. تستعمل بتات المعلومات نظام ترميز طبيعي يزداد في الطول، كما هو موضح في الشكل 1.6. ان بت الاستمرار هو، بالطبع، 0 أو 1، ولكنه يمكن أن يحدد بأحد قانونين. من أجل المعطيات ثنائية السوية 2-level data ، حيث ان كل عنصر pixel أسود أو أبيض، يمكن اعطاء بت الاستمرار قيمة السوية الرمادية، لنَقُل، 0 من أجل الأسود، و 1 من أجل الأبيض. ان الامكانية الأخرى هي أن نجعله يتناوب مع كل كلمة ترميز لأن الغرض منه هو تحديد طول كلمة الترميز فقط. مثلا، ان تتابع كلمات الترميز من أجل تتابع الدخول سير به ، يكن أن يكون 00 10 11 10 10 أو 10 11 10 00 00 10 ، حيث قمنا بوضع خط تحت بتات الاستمرار. يدل تغير بت الاستمرار على بداية كلمة ترميز جديدة. لاحظ ان نظام الترميز غير آني لأن مفكك الترميز يجب أن ينظر الى بت الاستمرار التالي لكي يحدد ما إذا كانت كلمة الترميز الحالية قد انتهت أم لا.

ان تنفيذ نظام الترميز – B1 أسهل بكثير من تنفيذ نظام ترميز هافمان. فعلى سبيل المثال، في ترميز أطوال – الاستمرارات run-lengths يكون مرمز بتات المعلومات، ببساطة عداد – صاعد up-counter يعد تصاعدياً بمقدار 1 لكل معلومة جديدة حتى يتم الوصول الى نهاية الاستمرار. في نهاية كل استمرار، يتم تصفير العداد وقلب بت الاستمرار. بشكل مشابه، يتم فك الترميز بتزويد عداد هابط ببتات

المعلومات وتركه يعد تنازليا الى أن يغير بت الاستمرار حالته. يمكن بناء أنظمة ترميز من مرتبة أعلى أيضا. ان نظام الترميز  $B_n$  (من المرتبة n) يستعمل n —بت — معلومات لكل بت استمرار، كما هو موضح في الشكل 1.6 من أجل n=2. ان متوسط الطول لنظام الترميز n=3 من أجل احتمالات الدخل المدونة في الشكل 4.6 هو

= 3.3

$$R = 2(.4) + 2(.3) + 4(.1) + 4(.1) + 4(.06) + 4(.04)$$

$$= 2.6$$

$$= B_2 - B_2 - B_2$$

$$= 3(.4) + 3(.3) + 3(.1) + 3(.1) + 6(.06) + 6(.04)$$

### أنظمة ترميز الازاحة shift codes

إن أحد أنظمة الترميز ذات الطول غير المتساوي والتي يمكن أن تنفذ ببساطة وهي فعيالة نسبيا من أجل دخول ذوات احتالات تتنياقص على وتيرة واحدة وهي فعيالة نسبيا من أجل دخول ذوات احتالات تتنياقص على وتيرة واحدة monotonically هو نظام الترميز  $-S_n$ . على سبيل المثال، يستعمل نظام الترميز  $-S_n$  كلمتي ترميز ببتين  $-S_n$  كلمت الترميز ببتين  $-S_n$  كيث يكون لدينا ما مجموعه أربع كلمات ترميز  $-S_n$  مميزة ببتين،  $-S_n$  تخصص ثلاث من كلمات الترميز الرابعة لتدل على أن الدخل اللاثة الأولى  $-S_n$  وتستعمل كلمة الترميز الرابعة لتدل على أن الدخل خارج هذا المدى. عندما يحدث هذا الأمر، نزاح كلمات الترميز الثلاثة بـ 3 وتخصص للدخول  $-S_n$  واذا كان الدخل مايزال خارج هذا المدى، تستعمل وتخصص للدخول  $-S_n$  واذا كان الدخل مايزال خارج هذا المدى، تستعمل كلمة ترميز الازاحة shift code word ثانية وتزاح كلمات الترميز الثلاثة الى  $-S_n$  فتظهر على خرج المرمز كلمة الترميز  $-S_n$  فترض أن الدخل  $-S_n$  سيعطي المرمز في هذه الحالة على خرج المرمز كلمة الترميز  $-S_n$  في المكلمة  $-S_n$  من أجل الدخل  $-S_n$  مستعمل كلمة ترميز الازاحة مرتين متبوعة بكلمة الترميز  $-S_n$  ان نظام الترميز هذا موضع في كلمة ترميز الازاحة مرتين متبوعة بكلمة الترميز  $-S_n$  ان نظام الترميز هذا موضع في كلمة ترميز الازاحة مرتين متبوعة بكلمة الترميز  $-S_n$  ان نظام الترميز هذا موضع في

الجدول 1.6 ، حيث 1.1 ،  $c_1$  = 00,  $c_2$  = 01,  $c_3$  = 10,  $c_4$  = 11 الترميز - 1.6 من أجل احتمالات الدخل المدونة في الشكل 4.6 هو

$$R = 2(.4) + 2(.3) + 2(.1) + 4(.1) + 4(.06) + 4(.04)$$
$$= 2.4$$

هذه النتائج ملخصة في الجدول 2.6 بجانب نتائج الأمثلة السابقة. ان عملية الترميز العامة التي وصفت في الأقسام 1.2.6 حتى 3.2.6 موضحة في سياق معالجة الصورة في الأقسام 3.6 و 4.6 حيث تعطى أمثلة عديدة للترميز الخالي من الخطأ error – free والترميز تبعا لمعيار أمانة معين. على الرغم من أن هذه التقنيات قد طورت في سياق تطبيقات محددة لتوضيح العرض، فان الأساليب المبينة عامة الى حد بعيد ويمكن أن تطبق على صنف من المسائل أكبر بكثير من تلك المدروسة في المناقشة التالية.

الجدول 2.6

المداخل	الاحتإلات	بهنام ترمیر هافمان	B 1 نظام ترمیز	B <sub>2</sub> نظام ترميز	8 <sub>2</sub> نظام ترمنز	نظام الترميز الطبيعي
w <sub>1</sub>	.4	1	C0	C00	00	000
w <sub>2</sub>	.3	00	C1	C01	01	001
w <sub>3</sub>	,1	011	C0C0	C10	10	010
w <sub>4</sub>	.1	0100	C0C1	C11	1100	011
w <sub>5</sub>	.06	01010	C1C0	C00C00	1101	100
w <sub>6</sub>	.04	01011	C1C1	C00C01	1110	101
الالتروبيا	2.14					
، كلمة الترميز	متوسط طول	2.2	2.6	3.3	2.4	3.0

### 3.6 الترميز الخالي من الخطأ error - free encoding

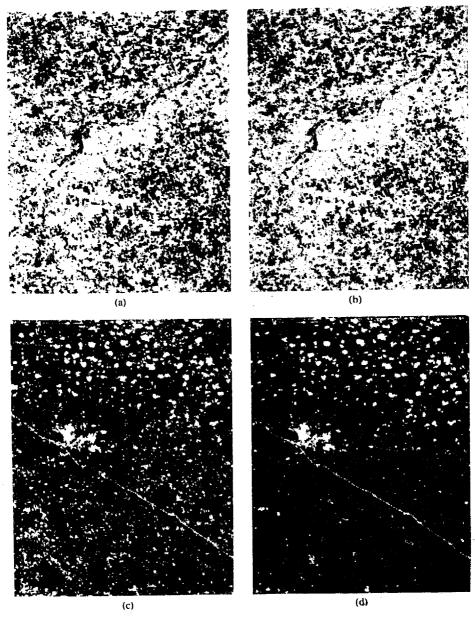
كما أشرنا في بداية هذا الفصل، من المهم في بعض التطبيقات ضغط كمية المعطيات في صورة ما بشرط أن تكون عملية الترميز عكيسة بمعنى أنه يجب أن يكون بالامكان اعادة بناء نسخة طبق الأصل عن المعلومات الأصلية من الصيغة المرمزة. فدا القسم ثلاثة أمثلة عن الترميز الخالى من الخطأ error – free encoding.

# 1.3.6 الثال 1. الترميز التفاضلي لتخزين صور لاندسات LANDSAT differential encoding for storage of LANDSAT imagery

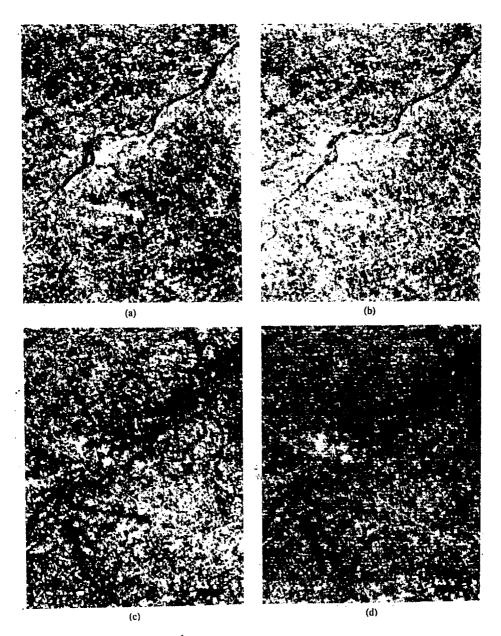
يتألف الاطار الواحد من صور لاندسات LANDSAT من أربع صور رقمية. كل صورة منها مأخوذة لنفس المنظر، ولكن من خلال نافذة طيفية مختلفة. تقع اثنتان من النوافذ الطيفية في المنطقة المرئية من الطيف (تقابل تقريبا المنطقتين الحمراء والخضراء من الطيف المرئي) وتقع اثنتان في منطقة الأشعة تحت الحمراء. ان أحد الأمثلة لاطار لاندسات مبين في الشكل 6.6. الخط الأبيض الذي ينحدر مائلا الى الهين في الصورتين السفليتين هو طريق عام يصل بين ولايتين أمريكيتين. الشكل 7.6 هو المصورتين السفليتين هو طريق عام يصل بين ولايتين أمريكيتين. الشكل 6.5 هو طريق المناظر هي 100 × 100 ميلاً بحرياً. كل صورة ممثلة بمصقوفة أبعادها 2340 × 3234. كل صورة ممثلة بمصقوفة أبعادها واحدة من 128 عنصر صورة العدارة، حيث يقابل الـ 0 الأسود ويقابل الـ 1 الأبيض.

تخزن صور لاندسات LANDSAT على أشرطة مغناطسية. ان عدد البتات اللازم لتخزين اطار واحد هو (2340)(3234)(7)(4)=211000000. تجمع لاندسات 30 اطارا كل يوم وبذلك يكون عدد البتات التي تؤرشف كل يوم هو 6000,000,000 أو  $2.5\times10^{11}$  بت تقريبا كل عام. فإذا أمكن تخفيض حجم المعطيات (عدد البتات) بعامل 2 فان عدد أشرطة المعطيات (وعدد المستودعات اللازمة لتخزينها) يمكن أن يخفض بنفس العامل. ولكي نتجنب امكانية اتلاف المعلومات التي يمكن أن تكون

مفيدة لمستخدمي المعطيات في المستقبل، يجب أن تخزن بصيغة تسمح باعادة بناء الصور الرقمية الأصلية بدقة.

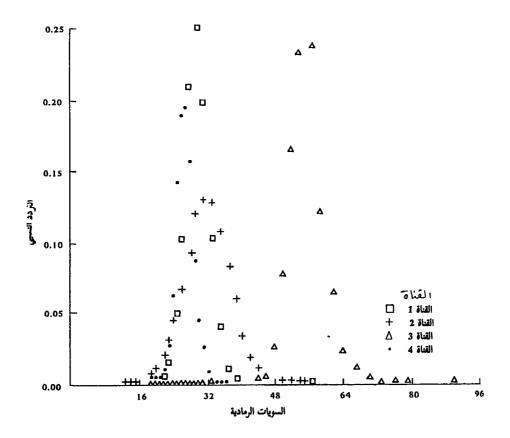


الشكل 6.6 اطار لاندسات.



الشكل 7.6 نفس اطار لاندسات المبين في الشكل 6.6 ولكن مأخوذ في يوم مختلف.

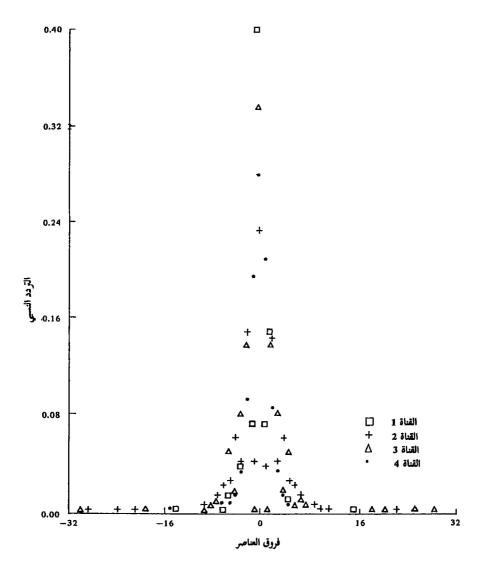
ان هيستوغرامات قيم السويات الرمادية للعناصر لكل صورة من الصور الأربع المعروضة في الشكل 6.6 مبينة في الشكل 8.6. يلاحظ أن معظم قيم السويات الرمادية الد 128 لا تتكرر. تقع معظم السويات الرمادية في ثلاث من الصور في المدى 16-48. ان احدى الصور فاتحة أكثر lighter بحيث تقع معظم سوياة بين 48 و 64. ولصور لاندسات أحرى خواص أحرى. فعلى سبيل المثال، ان قمم الجليد القطبي أفتح lighter والمحيط أعتم darker.



الشكل 8.6 هيستوغرامات السويات الرمادية للصور المبينة في الشكل 6.6.

دعنا ننظر الى الفروق في السويات الرمادية لعناصر الصورة المتجاورة في كل خط مسح. أي، اذا أعطيت عناصر الصورة من اليسار الى اليمين على طول الصف رقم خط مسح) بـ  $x_1, x_2, ..., x_{3234}$  نستطيع عندئذ أن ننقل هذه المجموعة من الـ  $x_1, x_2 - x_1$ , أن عندأ صحيحاً الى المجموعة المحديدة من الـ 3234 عدداً صحيحاً الى المجموعة المحديدة من الـ 3234 عدداً صحيحاً  $x_1, x_2 - x_1$ . ان هذه العملية هي نقل الفرق  $x_3 - x_2, ..., x_{3234} - x_{3233}$  المعرف بالمعادلة (3-2.6).

ان كل واحد من عناصر الصورة الأصلية  $x_i$  هو واحد من الأعداد الصحيحة. 0,1,2,..., 127  $x_i$  فان كل فرق  $x_i - x_{i-1}$  هو عدد صحيح بقيمة بين  $x_i - x_{i-1}$  و 127. لكي نخصص كلمة ترميز ثنائية فريدة متساوية الطول لكل عنصر صورة  $x_i$  يلزمنا كلمات ترميز بسبعة بتات  $x_i$  bit code words ولكي نخصص كلمة ترميز ثنائية فريدة متساوية الطول لكل فرق عنصر صورة  $x_i - x_{i-1}$  يلزمنا كلمات ترميز بثانية بتات 8-bit code words مفترضين أن المكمي يعطي قيمة منفصلة لكل من الفروق الـ 255 المذكورة أعلاه. ان هيستوغرامات الفروق  $x_i - x_{i-1}$  لكل صورة من الصور الأربعة المبينة في الشكل 6.6 مبينة في الشكل 9.6. يلاحظ أن لجميع الهيستوغرامات الأربعة ذروة حول الصفر (بما في ذلك صورة القناة 3 التي كان الهيستوغرامات الأربعة ألمادية مختلفا عن هيستوغرامات القنوات 1 و 2 و 4). ان معظم الفروق تقع في المدى  $x_i - x_i$  لقد نقلت عملية الفرق مجموعة قيم عناصر الدخل المحموعة أعداد أخرى لها بنية أكثر وضوحا (أقل عشوائية).



الشكل 9.6 هيستوغرامات فروق العناصر للصور المبينة في الشكل 6.6.

افترض آننا نبني نظام ترميز يتألف من 16 كلمة ترميز  $c_1$ ,  $c_2$ , ...,  $c_1$ , ...,  $c_2$ , ...,  $c_1$ , ...,  $c_1$ , ...,  $c_1$ , ...,  $c_2$ , ...,  $c_3$ , ...,  $c_4$ , ...

								روق								
9 -8	-7	-6	-5	-4	-3	-2	-1	0	+1	+2	+3	+4	+5	+6	+7 +8	•••
c1	c,	¢3	Cų	c <sub>5</sub>	ce	c7	c <sub>a</sub>	eo	C10	c <sub>11</sub>	c15	c <sub>13</sub>	c <sub>l</sub> ,	c <sub>15</sub>	c16	
								، ال	كلمات	_						

الشكل 10.6 توضيح لتخصيص assignment كلمات الترميز.

يمكن بعدئذ ترميز فرق أي عنصر من -127 الى +127 بواحدة أو أكثر من كلمات الترميز الد 16 اذا استعملنا القانون التالي: اذا وقع الفرق،  $-x_i - x_{i-1}$  في المدى -7 الى +6 استعمل كلمة الترميز المقابلة لقيمة الفرق. فعلى سبيل المثال، المدى -7 بي من المقابلة للفرق -7 بي -7 بي من المنافع المنافع

الازاحة الى أعلى ثانية وثالثة و هكذا حتى يقع الفرق  $\Delta_i$  في المدى المسموح بـــه بكلمات الترميز الـ  $C_2, C_3, ..., C_{15}$  14.

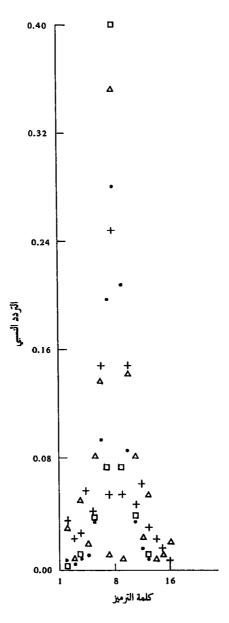
							•	الفروق							
+5 +6	+7	+8	+9	+10	411	+12	+13	+14	+15	+16	417	+18	+19	+20	+21 +22
<u> </u>	¢2	c3	c,	e <sub>5</sub>	c <sub>6</sub>	¢7	c <sub>a</sub>	Cg	c10	c11	داء	c13	214	¢15	C1E
							مير	مات التم	کلم						

الشكل 11.6 توضيح تخصيص كلمات الترميز بعد الازاحة

من أجل فروق أقل من -7 نستعمل نفس الاجراء باستثناء أننا نستعمل بدلا من كلمة ترميز الازاحة الى أعلى كلمة ترميز الازاحة الى أسفل  $c_1$  من كلمة ترميز الازاحة الى أعلى كلمات الترميز  $c_2$ ,  $c_3$ ,...,  $c_{15}$  مشيرين الى المدى الذي يقع فيه الفرق. مثلا، سترمز  $c_3$  بالتتابع  $c_4$ ,  $c_3$ ,  $c_4$  بالتتابع  $c_5$ ,  $c_5$ , بالتتابع  $c_6$ ,  $c_6$ ,  $c_6$ , بالتتابع ويتم فيه الفرق. مثلا، سترمز  $c_6$  بالتتابع ويتم فيه الفرق.

يمكن أن ترمز أية قيمة فرق من - 127 الى + 127 باستخدام تتابع من كلمة واحدة أو أكثر من كلمات الترميز  $c_1, c_2, ..., c_{15}$ . اذا استعملنا نظام الترميز الطبيعي  $c_1, c_2, ..., c_{15}$  يمكن عندئذ ترميز معظم الفروق بـ 4 بتات لأن معظمها يقع في المدى - 7 الى + 6. يلزم أحيانا استعمال كلمتي ترميز كل منهما بـ 4 بتات، أي، 8 بت. وفي أحيان نادرة يلزم 12 بت أو أكثر. في المتوسط، يلزم حوالي 4.3 بتا لعنصر الصورة من أجل الصور المبينة في الشكلين 6.6 و 7.6.

ان التردد النسبي لاستعمال كل من كلمات الترميز الـ 16 لصور الشكل 6.6 معروض في الشكل 12.6. ان كلمات الترميز المقابلة للفروق القريبة من الصفر مستعملة أكثر بكثير من تلك المقابلة للفروق الأبعد عن الصفر. وبالتالي فان نظام ترميز بطول غير متساو سيكون أكثر فعالية من نظام ترميز ذي طول متساو مثل نظام الترميز العادي الذي استعمل أعلاه. لقد وجد أن نظام الترميز المبين في الشكل 13.6 فعال لعدد كبير من اطارات لاندسات. لقد كان متوسط عدد البتات لكل عنصر صورة للقنوات الأربعة لعدد كبير من اطارات لاندسات هو 3.5 بتا لكل عنصر صورة للقنوات الأربعة لعدد كبير من اطارات لاندسات هو 3.5 بتا لكل عنصر صورة، كما هو موضح في الجدول 3.6. وهذا يقابل نسبة ضغط 2 بالنسبة لعناصر



الشكل 12.6 الترددات النسبية لاستعمال كل كلمة ترميز.

صورة الدخل ذات الـ 7- بتات. يبين الجدول 3.6 أيضا متوسط عدد البتات اللازم لترميز المعطيات المبينة في الشكل 6.6 باستعمال نظام ترميز هافمان. انه يتطلب أجزاء من البت أقل من نظام الترميز المبين في الشكل 13.6.

الجدول 3.6 متوسط عدد البتات للعنصر الواحد اللازمة لترميز بعض اطارات لاندسات

	<del></del>	<del></del>	<del></del>	
	القناة 1	القناة 2	القناة 3	القناة 4
ترميز الازاحة	3.0865	3.8466	3.5894	3.3685
ترميز هافمان	2.75175	3.5893	3.2900	2.8101

¢ <sub>1</sub>	1010
c <sub>2</sub>	111 1111
<b>c</b> <sub>3</sub>	11 1110
c <sub>4</sub>	1 1110
c <sub>5</sub>	1101
<sup>c</sup> 6	100
c <sub>7</sub>	1100
c <sub>8</sub>	00
c <sub>9</sub>	0110
<sup>c</sup> 10	0111
c <sub>11</sub>	0100
<sup>c</sup> 12	0101
c <sub>13</sub>	1 1100
c <sub>14</sub>	1 1101
<sup>c</sup> 15	111 1110
c <sub>16</sub>	1101

الشكل 13.6 نظام ترميز ذو فعالية تقارب فعالية نظام ترميز هافمان.

ان عدد كلمات الترميز اللازمة لترميز اطار لاندسات باستعمال أي من نظامي الترميز اللذين نوقشا في الفقرة السابقة (متساوي الطول وغير متساوي الطول) يعتمد على خواص المعطيات لأن عدد المرات التي تستعمل فيها كلمات الازاحة يعتمد الى درجة كبيرة على التغيرات في المشهد. ان لنظام الترميز ذي الطول المتساوي ميزة هي

أن جميع كلمات الترميز ذات طول 4- بتات وباالتالي يمكن أن تكتب على الأشرطة المغناطيسية كلمتان لكل بايت - 8 بت، على الرغم من أن طول السجل record مختلف لاطارات مختلفة من المعطيات.

## 2.3.6 المثال 2. ترميز الكفافات 2.3.6

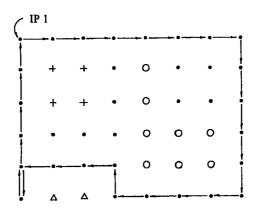
يمكن أن ينظر الى الصورة الرقمية كدالة بمتحولين. المتحولان هما الاحداثيان الحيزيان، و قيمة الدالة عند كل احداثي هي السوية الرمادية للصورة عند تلك النقطة. نظرا لأن عدد السويات الرمادية المنفصلة محدد، نستطيع أن نتصور الدالة كعدد من الهضاب plateaus بحيث يساوي ارتفاع الهضبة السوية الرمادية. تقابل القيم العاتمة dark الهضاب المنخفضة وتقابل القيم الفاتحة light الهضاب المرتفعة. تنتج مساحة كبيرة من عناصر الصورة بنفس السوية الرمادية هضبة كبيرة، بينا ينتج عنصر صورة وحيد محاط بعناصر لها سويات رمادية مختلفة هضبة صغيرة. ان معرفة الارتفاع والموضع وشكل الهضبة مكافىء لمعرفة الصورة.

إن خوارزمية ترميز الكفافات المعروضة في هذا القسم تختصر الصورة الى قائمة انعذ الكفافات أو الهضاب. يحدد كل كفاف بشكل فريد بتحديد: (1) سويته الرمادية و (2) موضع (الصف والعمود) عنصر pixel واحد على حدوده (IP) يسمى نقطة ابتدائية initial point و (3) تتابع اتجاهيات تعطي اتجاه التحرك عندما نتتبع الطرف الخارجي للكفاف. تتألف الخوارزمية من خوارزميتين فرعيتين – خوارزمية IP لايجاد نقطة ابتدائية جديدة (كفاف جديد)، وخوارزمية T لتتبع الكفافات بعد تحديد موضعها. تستخدم الخوارزميتان الفرعيتان بشكل تتابعي. تستخدم الخوارزمية IP لتحديد موضع النقطة الابتدائية الأولى على الكفاف الأول وبعدئذ، تستخدم الخوارزمية IP لتتبعها، وبعد ذلك تستخدم الخوارزمية IP لتحديد موضع نقطة ابتدائية ثانية على الكفاف الثاني وتستخدم الخوارزمية IP لتتبعها وهكذا. تحدد الخوارزمية IP الحدود مواضع جميع الكفاف الثاني وتستخدم موضع أي منها مرتين. تتبع الخوارزمية T الحدود الخارجية لأكبر مجموعة متصلة من العناصر التي لها نفس السوية الرمادية للنقطة

الابتدائية، وهي تتوقف دائما بالرجوع الى النقطة الابتدائية. ولكل كفاف، تعطي الخوارزمية قيمة (السوية الرمادية) وموضع النقطة الابتدائية واتجاه التحرك حول الحدود وتهمل جميع العناصر المحاطة بالكفاف ولها نفس قيمتها (سويتها الرمادية).

### الخوارزمية T

تستخدم الخوارزمية T القانون التقليدي لا يجاد طريق الخروج من متاهة "در ذائما الى اليسار". كما هو موضح في الشكل 14.6، يتضمن تتبع الكفاف تحديد اتجاه التحرك بين العناصر المتجاورة بحيث لا يكون لأي عنصر خارج الكفاف أو مجاور له نفس السوية الرمادية للعناصر الواقعة على الكفاف. تعطى قاعدة تحديد اتجاه التحرك من كل عنصر بالنسبة لا تجاه الدخول اليه بقاعدة "النظر الى أقصى اليسار" (cleft – most – looking LML).



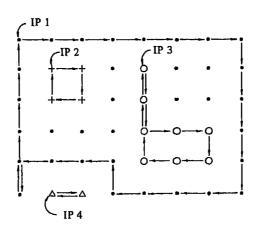
الشكل 14.6 الكفاف رقم 1 لمصفوفة بأربعة سويات رمادية.

#### قاعدة TMT

انظر الى العنصر الموجود الى اليسار (بالنسبة الى اتجاه الدخول)، اذا كان لهذا العنصر نفس القيمة، تحرك اليه، والا، انظر الى العنصر الموجود الى الأمام مباشرة، اذا كان لهذا العنصر نفس القيمة، تحرك اليه، والا، انظر الى اليمين، اذا كان لهذا العنصر نفس القيمة، تحرك نفس القيمة تحرك اليه والا فليس لأي من هذه العناصر نفس القيمة وبالتالي يتألف الكفاف من نقطة وحيدة فقط.

لقد تم تتبع الكفاف المبين في الشكل 14.6 بالتطبيقات المتكررة لهذا القانون بدءا من النقطة الابتدائية IP المشار اليها. يفترض أن يكون اتجاه التحرك الى النقطة الابتدائية الأولى من الجهة اليسرى للصورة دائما بحيث يكون "اليسار بالنسبة لاتجاه الدخول الى IP" هو "الأعلى" ولكن، لانستطيع التحرك فوق النقطة IP وبذلك ننظر الى الأمام مباشرة. ان لهذا العنصر نفس قيمة IP وبالتالي نتحرك اليه ونطبق قانون ننظر الى الأمام مباشرة. ان لهذا العنصر نفس قيمة IP وبالتالي المكل 15.6 الكفافات الأربعة بالرجوع الى IP. يوضح الشكل 15.6 الكفافات الأربعة بالتطبيقات الأربعة للخوارزمية T. يبدأ كل منها من النقطة IP المبينة في الشكل.

تقوم الخوارزمية T أيضا بتخصيص أحد المؤشرات الأربعة لكل عنصر من المصفوفة ثنائية الأبعاد. هذه المؤشرات مطلوبة في الخوارزمية IP المشروحة في القسم التالي. من هنا، عندما تخزن المصفوفة ثنائية الأبعاد في الذاكرة، يجب أن يخصص بتان اضافيان لكل عنصر لكي يتم تخزين المؤشر الصحيح. نرمز للمؤشرات الأربعة بالضافيان لكل عنصر لكي عندما تقرأ المصفوفة ثنائية الأبعاد وتدخل الى الذاكرة يخصص لكل عنصر المؤشر I. ومع تحرك الخوارزمية T من عنصر لآخر وهي تتبع كفاف ما، تقوم باستبدال مؤشر كل عنصر بالمؤشر D, A, or R ، حسب قاعدة تخصيص المؤشر indicator assignment (IA) rule



الشكل 15.6 أربعة نقاط ابتدائية والكفافات المقابلة لها.

#### القاعدة IA

يعتمد المؤشر المخصص لكل عنصر كفاف على اتجاه التحرك الى العنصر واتجاه التحرك منه، كما هو مبين في الشكل 16.6. يتم المرور ببعض العناصر مرتين. عندما نمر بعنصر مرة ثانية (يمكن تحديد ذلك بتفحص مؤشره فاذا لم يكن آ فاننا نمر به للمرة الشانية). نحدد أولا مؤشرا لهذا الممر من الشكل 16.6 ، ولكن نستعمل بعد ذلك الشكل 17.6 لتحديد المؤشر الذي سيخصص في النهاية لهذا العنصر (لايتم المرور خلال أي عنصر أكثر من مرتين). الاستثناء الوحيد لهذه القاعدة هو النقطة الابتدائية الموارية تحتفظ دامًا بالمؤشر I.

اتجاه الخروج من العنصر

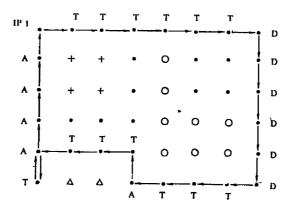
<del>a</del> .		† or →	↓ or ←
اعجاد الدعو	† or ←	A	R
ان من	↓ or →	R	D

الشكل 16.6 مؤشرات لجميع الثركيبات الممكنة للتحرك الى و من عنصر ما.

	(D,A)	(D,R)	(A,R)
المؤشر الخصص ١٫١٤٠١٠٠	(A,D)	(R,D)	(R,A)
(المرور الاول والمرور الثاني)	(R,R)	(D,D)	(A,A)
التخصيص النهاني للمؤشر	R	D	A

الشكل 17.6 تخصيص المؤشرات النهائية لكل زوج من المؤشرات المحددة في المرورين الأول والثاني.

كمثال، نأخذ ثانية الكفاف الموضح في الشكل 14.6. تطبق الخوارزمية T القاعدة LMLعند كل عنصر لتحديد الاتجاه الثاني للتحرك ومن ثم تطبق القاعدة IA لتحديث مؤشر ذلك العنصر. ان المؤشر المخزن في الذاكرة لكل عنصر على الكفاف المبينة في الشكل 15.6 موضَّع labeled بجانب ذلك العنصر في الشكل 18.6. في هذه المرحلة، جميع العناصر التي لاتقع على الكفاف مايزال مؤشرها I. ولكن، لأن الكفافات 2 و 3 اجميع العناصر التي لاتقع على الكفاف مايزال مؤشرها الكفافات (باستثناء النقاط IP)، سيخصص لها المؤشر A أو R أو C. النقاط الابتدائية IPs وجميع العناصر التي لاتقع على الكفاف تحتفظ بالمؤشر I.



الشكل 18.6 مثال لتخصيص المؤشرات.

### الحوارزمية 🏗

تستخدم الخوارزمية IP اجراء بحث منهجي IPs بالعنصر الموجود في لتحديد النقاط الابتدائية IPs بالعنصر الموجود في الزاوية العليا اليسرى (عنصر الصف الأول، العمود الأول) ويتقدم الى اليمين عبر الصف الأول حتى يصل الى نهايته. بعد ذلك، يبحث في الصف الثاني من اليسار الى اليمين ، وبعد ذلك في الصف الثالث وهكذا، حتى يصل الى العنصر الموجود في الزاوية اليمنى السفلى من مصفوفة المعطيات السفلى من مصفوفة المعطيات. لذلك، يتم فحص كل عنصر من مصفوفة المعطيات ثنائية الأبعاد لتحديد ما اذا كان نقطة ابتدائية IP أم لا. ومع تحركنا من عنصر الى عنصر عبر كل صف في المعطيات باحثين عن النقاط الابتدائية IPs يجب أن نجمع عنصر عبر كل صف في المعطيات باحثين عن النقاط الابتدائية IPs يجب أن نجمع بنفس الوقت قامة نقاط مقارنة (CPL).

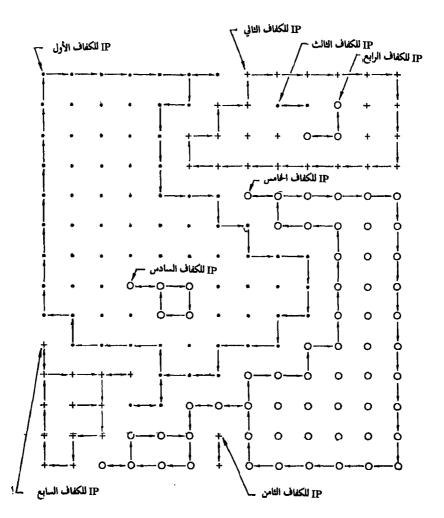
#### قاعدة لبناء CPL

عندما نبدأ عبر كل صف تكون القائمة فارغة. ومع تحركنا عبر الصف نتفحص مؤشر كل عنصر نواجهه. اذا كان المؤشر A (من أجل أضف add) نضيف ذلك العنصر (سويته الرمادية) الى أسفل القائمة واذا كان المؤشر P أو I فنترك القائمة بدون تغيير. نحذف الدخل الأخير في القائمة، أما اذا كان المؤشر P أو I فنترك القائمة بدون تغيير. في نهاية الصف، ستكون قائمة نقاط المقارنة فارغة لأن عدد الاضافات يساوي عدد مرات الحذف. نحن الآن جاهزون لتوصيف الاختبار الذي يجب أن يجرى على كل عنصر لتحديد ما اذا كان نقطة ابتدائية IP أم لا.

#### القاعدة ПР

يكون العنصر موضع الاختبار نقطة ابتدائية IP اذا حقق الشرطين التاليين (1) أن يكون مؤشره 1 و (2) ألا تساوي قيمته (سويته الرمادية) قيمة الادخال الأخير في قائمة نقاط المقارنة (CPL).

تلخص المصفوفة ذات الأبعاد 14×13 وبثلاث سويات رمادية، المبينة في الشكل 19.6 المفاهيم التي نوقشت للتو. في هذه الحالة، اختصرت خوارزمية تتبع كفافات. الصورة الى تمثيل يتطلب ثمانية كفافات.



الشكل 19.6 مثال لعملية متتبع الكفافات.

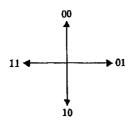
#### طريقة ترميز encoding approach

ان التطبيقات التتابعية للخوارزميتين IP و T تشكل قسم النقل section section لعملية الترميز الموضحة في الشكل 1.6. يتم البدء بالخوارزمية عند عنصر الصف الأول والعمود الأول. هذا العنصر هو دائما نقطة ابتدائية IP ، لنقل IP رقم 1. بعدئذ نستعمل الخوارزمية T لتبع الكفاف الأول وتخصيص مؤشرات العناصر بنفس الوقت. بعد أن نعود الى النقطة الابتدائية IP رقم 1 ، نستدعي الخوارزمية IP لتبحث عن IP جديدة. وعندما يتم ايجاد نقطة IP جديدة، لنقل IP رقم 2 ، ندعو ثانية الخوارزمية T لتبع هذا الكفاف وتخصيص المؤشرات الصحيحة للعناصر. بعد ذلك نستعمل الخوارزمية IP للبحث عن IP رقم 3 ، و هكذا. يتألف كل كفاف ناتج من (1) سويته الرمادية و (2) رقم صف نقطته IP و (3) رقم عمود نقطته IP و (4) تتابع الاتجاهيات التحرك) حول عيطه.

ان احدى امكانيات ترميز الكفافات هي استعمال نظام الترميز الطبيعي من أجل السويات الرمادية و صفوف و أعمدة النقاط الابتدائية، و سلسلة رموز فريمان أجل السويات الرمادية و صفوف و أعمدة النقاط الابتدائية، و سلسلة رموز فريمان (Freeman 1961) .من أجل الاتجاهيات.تستخدم سلسلة الرموز هذه والموضحة في الشكل 20.6 كلمة الترميز 00 لترمز الل "الأعلى" به الكفاف الى اليمين و 10 الى الأسفل، و 11 الى اليسار. مثلا، ان سلسلة الاتجاهات للكفاف الثالث في الشكل 15.6 هي 10,10,01,01,10,11,11,00,00,00 يبين الشكل 21.6 الرموز التي استعملت لترميز رقم الكفاف وسويته الرمادية وصف وعمود نقطته الابتدائية والاتجاهيات، على التوالي. يبين الشكل 21.6 (6) خرج المرمز الذي يستخدم هذه الرموز لترميز الكفافات الأربعة في الشكل 15.6)

من أجل الفك decoding ، من المهم أن نعرف متى نصل الى نهاية كل مجموعة من الاتجاهيات ومتى يجب أن يبدأ كفاف جديد. يمكن الحصول على ذلك بدون بتات اضافية لأن جميع الكفافات (تتابعات اتجاهات) يجب أن تنتهى بالرجوع الى النقطة الابتدائية. نحن بحاجة لأن نعرف عدد الاتجاهيات من اليسار الى اليمين Left-right ومن الأعلى – الل – الأسفل top-down عندما يكون كلاهما صفرا، نكون قد

رجعنا الى النقطة الابتدائية IP والمعلومة التالية يجب ان تتبع كفافا جديدا. وتسري هذه القاعدة على جميع الكفافات التي طولها 1 أو أكثر. من أجل الكفافات التي طولها 1 (نقاط وحيدة) نستعمل الزوج الثنائي 11. لا يمكن أن يكون هذا الترميز هو الاتجاهية الأولى لأن العنصر لا يمكن أن يكون نقطة ابتدائية IP اذا كان له نفس السوية الرمادية للعنصر الموجود على يساره.

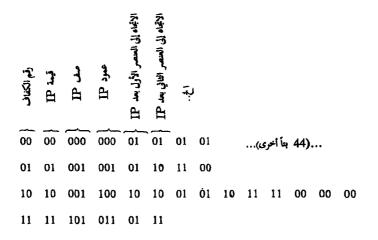


الشكل 20.6 الترميز الثنائي للاتجاهيات

يمكن استعمال أنظمة ترميز أكثر تعقيدا لترميز الكفافات ببتات أقل فعلى سبيل المثال، نظرا لأن السويات الرمادية المتتابعة عالية الترابط عادة ، فان انتروبيا فروق السويات الرمادية هي عادة أقل من انتروبيا السويات الرمادية بكثير. وبالتالي فانه من الممكن ترميز الفروق بعدد بتات أقل من العدد اللازم لترميز السويات الرمادية مباشرة. ان نفس الشيء صحيح بالنسبة لأرقام أعمدة و صفوف النقاط الابتدائية. ان ترميز الفروق بين أرقام صفوف الكفافات المتتابعة سيتطلب بتات أقل من ترميز تتابعات أرقام الصفوف عندما، في المتوسط، تسمي هذه التتابعات نقاطا ابتدائية الاجدادة على كل صف، عندما، في المتوسط، تسمي هذه التتابعات نقاطا ابتدائية الاجدادة على كل صف، كا هي الحال في كثير من أنواع الصور، وتسري ملاحظات مشابهة على أرقام الأعمدة. كا أشرنا أعلاه، فإن استعمال سلسلة رموز فريمان Freeman chain code هو طريقــة مبــاشـرة لترميز الاتجاهيات مناواعيات. من الواضح أن جميع تتابعات طريقــة مبــاشـرة لترميز الاتجاهيات المكنة ليست متساوية الاحتال. في الواقع، ان معظم التتابعات مستحيلة الاتجاهيات الممكنة ليست متساوية الاحتال. في الواقع، ان معظم التتابعات مستحيلة بسبب شرط (تقييد) انتهاء الكفاف بالرجوع الى النقطة الابتدائية. ولكن، من الصعب أخذ هذه البنية بالحسبان. فمثلا، تتطلب تقنية نظام ترميز هافمان منال، نظام ترميز هافمان ختلف لكل تتابع مختلف الطول (مثال، نظام ترميز معين الخدومات مين الحورة معين الخدومات المنارة المهارة المهرز معين الخدومات المهرز هافمان عتلف لكل تتابع مختلف الطول (مثال، نظام ترميز معين الخدوم المينات المهرز هافمان عنطاء الكفاف كل تتابع مختلف الطول (مثال، نظام ترميز معين المعرفة المهرز المعرفة المهرز المعرفة المعرفة المهرز المعرفة المهرز المعرفة المعرفة

رقم الكفاف	كلمة الترميز	السوية الرمادية	كلمة الترميز	الصف او العمود	كلمة الترميز	اتجاه التحرك	كلمة الترميز
1	00	•	00	1	000	t	00
2	01	Х	01	2	001	<b>→</b>	01
3	10	0	10	3	010	ţ	10
4	11	Δ	11	4	011	<b>←</b>	11
				5	100		
				6	101		
				7	110		
				8	111		

(a)



الشكل a)21.6) مجموعة رموز لرقم الكفاف والسوية الرمادية و الصف والعمود واتجاه التحرك. (b) خرج المرمز للمثال المبين في الشكل 15.6.

(b)

للتتابعات ذات الطول 0 ونظام ترميز آخر للتتابعات الأخرى بطول 2، وهكذا.). وأكثر من ذلك، حتى تعداد التتابعات الممكنة، تحديد احتمالاتها بدرجة أقل بكثير، يصبح غير ممكن مع تزايد طول التتابع.

لايعتمد عدد البتات اللازمة لترميز صورة معينة على مجموعة أنظمة الترميز المستخدمة فقط، بل يعتمد أيضا على عدد الكفافات، التي تعتمد بدورها على كمية التفاصيل في الصورة وعلى عدد السويات الرمادية. نعرض في الشكل 22.6(d) بعض النتائج للصور الثلاثة المبينة في الشكل 22.6(a) حتى (c). ان مجموعة أنظمة الترميز التي استخدمت هي:

السويات الرمادية: لقد تم ترميز الفروق بين السويات الرمادية المتتابعة باستخدام نظام ترميز هافمان.

أرقام صفوف IPs: لقد تم ترميز الفروق بين أرقام الصفوف المتتابعة (أطوال-الاستمرارات) باستعمال نظام الترميز الطبيعي.

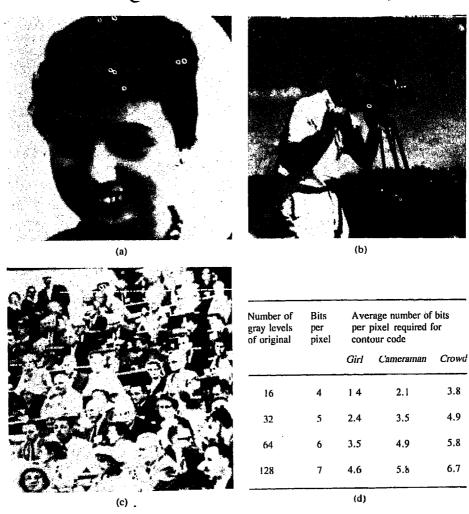
أرقام أعمدة IPs: لقد تم ترميز الفروق بين أرقام الأعمدة المتتابعة باستخدام نظام ترميز هافمان.

الاتجاهيات directionals: لقد تم ترميز الاتجاهيات باستخدام سلسلة رموز فريان.

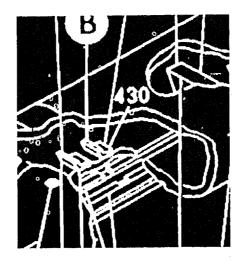
لقد بنيت جميع أنظمة ترميز هافمان على احصاءات فروق السويات الرمادية موسطة ضمن الصور الثلاثة المبينة في الشكل 22.6. يلاحظ أن فعالية الكفافات تعتمد على كمية التفاصيل في الصور وأيضا على عدد سويات التكمية للعناصر. بعبارة أخرى، ان الطريقة غير فعالة جدا من أجل الصور التي تحتوي عددا كبيرا من الكفافات الصغيرة، وتتحسن فعالية الطريقة من أجل الصور التي تحتوي عدداً قليلاً من الكفافات الأكبر.

تظهر هذه الحقائق بوضوح أكثر في التجارب التي أجريت على الصور الثنائية المبينة في الشكل 23.6. لقد استعمل جاتي و وينتز Gatti and Wintz 1971 اجراءا

مشابها للاجراء الذي شرحناه للتو لترميز كفافات هذه الصور. لقد كان متوسط عدد البتات اللازمة لترميز كفافات الرسم والنص المطبوع وبصمة الاصبع 0.15,0.5 و 0.15 ، على التوالي. كما توقعنا، لقد كان متوسط عدد البتات متناسبا مع تعقيد الصورة.



الشكل a)22.6) بنت. (b) مصور. (c) جمهور. (c) نتائج ترميز الكفافات.



(a)

ite (RRWW) sest word times do is case, the halfn in Fig. 7. If the he result must be th the first write

(b)



الشكل 23.6 نتائج ترميز أتكفافات. (a) قسم من رسم لمركبة فضائية، 0.15 بت للعنصر. (b) عينة من نص مطبوع، 0.15 بت للعنصر. (c) قسم من بصمة اصبع، 0.50 بت للعنصر.

#### نقل اعادة البناء reconstruction mapping

ان اعادة بناء صورة ما من ترميز كفافاتها هو اجراء مباشر اذا فهمنا استراتيجية النقل mapping strategy. يستخدم اجراء اعادة بناء الصورة القواعد الأساسية التي استعملت في الخوارزمية T والخوارزمية IP. تبني خوارزمية البناء كل عنصر في مصفوفة المعطيات مبتدئة بعنصر الصف الأول والعمود الأول. نظرا لأن هذا العنصر هو IP رقم افان قيمته معروفة. وأكثر من ذلك، يمكن اعادة بناء عناصر مصفوفة المعطيات المقابلة للكفاف رقم 1 بالتوازي مع مؤشراته باستعمال خرج النظام والقاعدة IA. بعد اعادة بناء هذا الكفاف والعودة الى النقطة الابتداية IP رقم 1 ، ننتقل عنصرا فعنصرا عبر الصف الأول وبعد ذلك عبر الصف الثاني، وهكذا. ومع تحركنا عبر كل صف نجمع أيضا قائمة نقاط المقارنة CPL طبقا للقاعدة اعادة البناء هي ابتدائية أو عنصر لايتبع لكفاف. ان قاعدة اعادة البناء هي

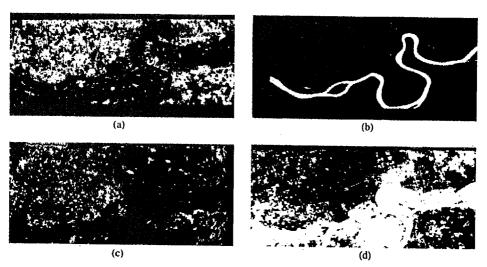
- (1) اذا كان العنصر IP ، ابن الكفاف وعين المؤشرات.
- (2) اذا لم يكن مؤشر العنصر هو I، فانه يكون قد بني، و لذلك تحرك الى السنصر التالى.
- (3) اذا لم يكن العنصر نقطة بداية وكان مؤشره I، فان قيمته هي آخر دخل في قائمة نقاط المقارنة CPL.

## المثال 3. ترميز طول-الاستمرار لحرائط الفيضان

#### run - length encoding for flood maps

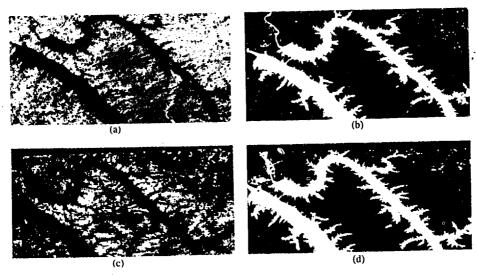
ان التحكم في فيضان الأنهار في الولايات المتحدة الأمريكية هو مسؤولية فيالق المهندسين في الجيش الأمريكي (USACE). تراقب هذه الوكالة الجداول وسويات الخزانات والمطر الخ..، للتنبؤ بحالات الفيضان الممكنة ولتخفيض الخراب الناتج عن الفيضان الى الحد الأدنى بفتح أو اغلاق فتحات الفيضان، ورفع أو خفض سويات الخزانات. ان جمع معطيات الدخل هذه لكامل حوض مائي مثل وادي نهر المسيسيبي هو مشكلة كبيرة. يبين الشكل 24.6(ه) صورة بالأشعة تحت الحمراء من اطار

لاندسات LANDSAT الذي يحتوي جزءا من بهر أوهايو Ohio river. يظهر الماء عامًا بسبب امتصاصه للأشعاعات الكهرمغناطيسية في نطاق الأشعة تحت الحمراء. لهذا السبب، من السهل تصنيف كل عنصر على أنه "ماء" أو "غير ماء" بدقة عالية، باستعمال تقنيات تحليل السبحمال تقنيات تحليل التواقيع متعددة النطاقات الطيفية multispectral باستعمال تقنيات تحليل الله . signature analysis techniques. ان نتيجة هذا التحليل مبينة في الشكل 6)24.6 بشكل صورة، حيث ان جميع عناصر الميز "غير الماء" قد أعطيت سوية رمادية سوداء، وجميع عناصر الميز "غير الماء" قد أعطيت سوية رمادية بيضاء الفدتم أخذ هذه الصورة بوقت كان فيه النهر قرب الوضع الطبيعي. يبين الشكل 6)24.6 صورة لهذا النهر ولكنها أخذت عندما كان النهر في حالة فيضان. ان نتائج التصنيف مبينة في الشكل 6)24.6 بشكل مشابه يبين الشكل 25.6 خزانا في نتائج التصنيف مبينة في الشكل 6)24.6 و (b) والشكلين 6)25.6 و (b) قيمة بالنسبة للمروضة في الشكلين 10)24.6 و (b) والشكلين 6)25.6 و النسال هذه الصور بكلفة المعقولة الى حاسوب الـ USACE من محقولة الى حاسوب الـ USACE من محقولة الى حاسوب الـ USACE من محطة استقبال يمكن أن تكون على بعد مئات الأميال.



الشكل 24.6 جزآن من اطار لاندسات (a,c) وخرائط التصنيف المقابلة (b,d).

<sup>\*</sup> في تطبيقات مصادر الأرض (الغروات الباطنية)، تدعى عناصر الصورة أحياناً عناصر الميز resolution.



الشكل 25.6 نفس المناطق المبينة في الشكل 24.6 ولكن في حالات الفيضان.

## ترميز طول – الاستمرار أحادي – البعد

## one - dimensional run - lemgth encoding (RLC)

يت ألف خط مسح العناصر بشكل عام من تتابع أعداد صحيحة (سويات رمادية)  $x_1, x_2, \dots, x_N$  في ترميز طول الاستمرار، ننقل تتابع الأعداد الصحيحة هذا الى تتابع أزواج  $(g_k, l_k)$  حيث ترمز  $g_k$  الى السويات الرمادية وترمز  $g_k$  الى أطوال الاستمرارات. ان طول الاستمرار هو عدد عناصر الصور المتجاورة juxtaposed ذات نفس السوية الرمادية.

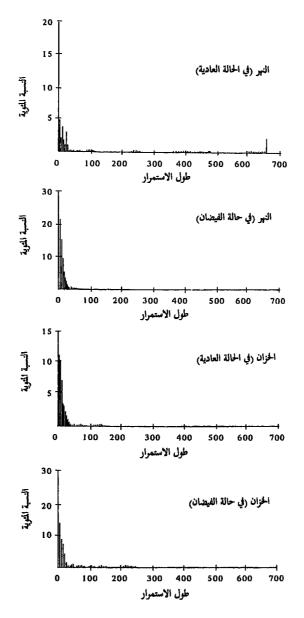
كم وضحنا في الشكل 3.6 ، نبدأ بالعنصر pixel الموجود في أقصى اليسار ونجعل  $g_1$  تساوي  $x_1$  و  $g_1$  يساوي طول استمرار العناصر ذات السوية الرمادية الرمادية  $g_1$  انتقال في السوية الرمادية ، نجعل  $g_2$  مساوية للسوية الرمادية للاستمرار الثاني و  $g_1$  مساويا لما هذا الاستمرار . يعاد هذا الاجراء حتى نصل الى نهاية خط المسح . يمكن أن يتغير عدد الاستمرارات من 1 (لكل عنصر على خط المسح نفس السوية الرمادية)

الى N (لايوجد عنصران متجاوران لهما نفس السوية الرمادية). يمكن أن يتغير طول الاستمرار المقابل  $_k$  من N الى 1. كي نتمكن من ترميز أطول استمرار ممكن، سيتطلب الترميز الطبيعي  $_k$   $_k$  ادا كانت معظم أطوال الاستمرارات أقصر بكثير من N فان هذا الترميز ليس فعالا جدا لأن كثيرا من كلمات الترميز لاتستعمل أو تستعمل بشكل غير متكرر. بافتراض أن المكمي يعطي قيمة خرج فريدة لكل زوج منقول  $_k$  ، تكون المسألة التالية هي اختيار نظام ترميز لأطوال الاستمرارات والسويات الرمادية.

ان احصائیات طول الاستمرار لنتائج التصنیف للأشكال 24.6 و 25.6 مبینة في الشكل 26.6. لاحظ أن أطوال الاستمرارات قریبة بشكل معقول من قانون قوة power law و كما ناقشنا أعلاه، فان نظام ترمیز  $B_1 = B_1$  هو تقریب جید لنظام ترمیز هافمان الأمثل لمعطیات بسویتین level تحقق هذا الشرط. نظرا لأن بت الاستمرار continuation - bit الثنائیة continuation عکن أن یستخدم لترمیز السویات الرمادیة في حالة المعطیات الثنائیة binary data ، سنفترض أن C=0 تستعمل للاستمرارات السوداء و C=1 تستعمل للاستمرارات البیضاء.

ان نظام الترميز  $B_1$  لأطوال استمرارات منوعة مبين في العمود الأخير من الجدول 4.6 (العمود المتوسط مناقش في القسم التالي). ان نسب ضغط المعطيات بالنسبة لبت واحد للعنصر الواحد الذي سيلزم في حال الترميز المباشر لكل عنصر، مبينة في العمود الأول من الجدول 5.6 لكل من صور الشكلين 24.6 و 25.6 المصنفة. العمودان الثاني والثالث مناقشان في القسم التالي.

ان مخطط ترميز طول الاستمرار الموصوف في الفقرات السابقة يأخذ بالحسبان بنية المعطيات في كل خط مسح ولكن لايأخذ بالحسبان البنية بين خطوط المسح بصياغة أخرى نقول، انه يأخذ بالحسبان الترابطات بين عناصر الميز العمودية.

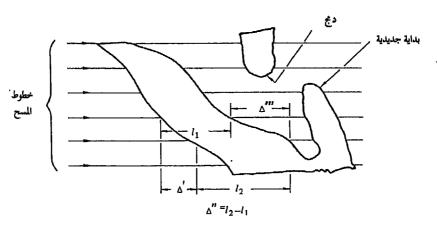


الشكل 26.6 احصائيات طول الاستمرار لنتائج التصنيف في الشكلين 24.6 و 25.6.

## ترميز طول - الاستمرار ثنائي - الأبعاد (PDQ وDDC)

#### two - dimensional run - length encoding

يوضح الشكل 27.6 تقنية ترميز ثنائية—الأبعاد تدعى "المكمي التفاضلي التنبؤي" (PDQ الموب النقل الـ predictive differential quantizer (PDQ) من التنبؤي أن ننقل مصفوقة عناصر الميز الى تتابع أزواج صحيحة integer pairs و " $\Delta$  هي الفرق بين نقاط البداية للاستمرارات على الخطوط المتتابعة، و " $\Delta$  هي الفرق بين أطوال الاستمرارات على الخطوط المتتابعة مع مؤشري بداية جديدة "new "delb الاستمرارات على الخطوط المتتابعة مع مؤشري بداية جديدة "merge" تستعمل للاشارة الى بداية ونهاية كل منطقة سوداء hark ودمج "merge" تستعمل للاشارة الى بداية ونهاية كل منطقة سوداء المعاد تتتبع حواف الكفاف الأمامية والخلفية معا بدلا من أن تتبع الى الأسفل الجانب الخلفي أولا وبعد ذلك تتبع الى الأعلى الجانب الأمامي. ان لهذه الطريقة مزية الحاجة الى تخزين خطين من العناصر فقط، في حين أن خوارزمية الكفافات تتطلب تخزين كامل الصورة. من جهـة أخرى، تنتج خوارزمية والشكل 27.6 ، حيث أنه، بخوارزمية الكفافات، من جهـة أخرى، تنتج خوارزمية (الموسومة) بداية جديدة "new start" في نفس خوارزمية الكفافات، المنطقة السوداء المرقومة (الموسومة) بداية جديدة "new start" في نفس الكفاف مثل المنطقة السوداء المرقومة (الموسومة) بداية جديدة "new start" في نفس الكفاف مثل المنطقة السوداء المرقومة (الموسومة) بداية جديدة "new start" في نفس



الشكل 27.6 توضيح خوارزمية PDQ.

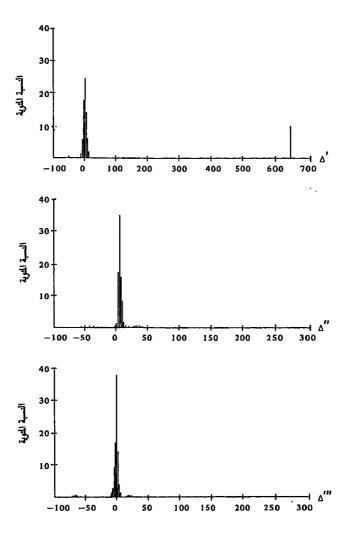
بافتراض أن المكمي quantizer يعطي في خرجة قيمة مختلفة لكل خرج من الناقل mapper ، تكون المسألة الباقية هي ترميز خروج الناقل  $\Delta$ و "  $\Delta$  وبداية 24.6 دمج mapper. ان هيستوغرامات الكميتين  $\Delta$ و "  $\Delta$  للصور المصنفة في الشكلين 24.6 و 25.6 مبينة في الأشكال 28.6 حتى 31.6 لقد أعطى استعمال نظام ترميز  $B_1$  من أجل  $\Delta$ و "  $\Delta$  (انظر الجدول 4.6) و لأرقام الأعمدة والبدايات الجديدة والدمج أيضا، نسب ضغط المعطيات المبينة في العمود الثاني من الجدول 5.6. ان نظام ترميز  $B_1$  غير فعال لترميز أرقام أعمدة الـ "بداية جديدة" والـ "دمج" الموزعة بانتظام تقريبا، ولكنها لاتحدث بشكل متكرر بالنسبة لـ  $\Delta$ و "  $\Delta$  (يرمز في المتوسط كثير من  $\Delta$ و "  $\Delta$  من أجل كل بداية جديدة new start ورحج mapper واحد فقط لمخارج النواقل الأربعة.

كلمة الترميز	Δ', Δ'', Δ'''	طول الاستمرار
C0	0	1
C1	+1	2
C0C0	-1	3
COC1	+2	4
C1C0	-2	5
C1C1	+3	6
C0C0C0	-3	7
C0C0C1	+4	8
C0C1C0	<b>-4</b>	9
C0C1C1	+5	10
C1C0C0	<b>5</b>	11
C1C0C1	+6	12
C1C1C0	6	13
C1C1C1	+7	14
COCOCOCO	<b>-7</b>	15
COCOCOC1	+8	16
•	•	•
•	•	•
•	•	•

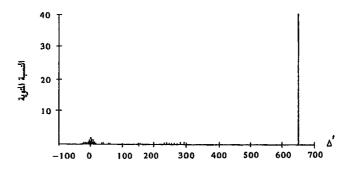
الجدول 5.6 نسب ضغط المعطيات بالسبة الى بت واحد للعنصر المطلوب في حالة الصورة الرقمية الأصلية

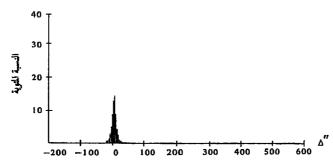
	RLC	PDQ	DDC
النير عادي	9.6	13.0	14.7
النهر في حالة فيضان	2.9	1.2	1.4
الخزان عادي	6.7	5.3	6.2
الحزان في حالة فيضان	6.3	4.5	5.6

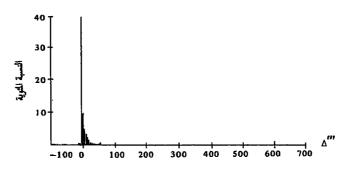
توجد امكانية أخرى وهي ترميز  $\triangle$  و " (التغيرات في الحواف الأمامية والخلفية للمناطق السوداء) بدلا من  $\triangle$  و "  $\triangle$  . و يدعى هذا الترميز "ترميز دلتا المضاعف" (double delta coding (DDC). ان الخوارزميات من أجل " مبينة أيضا في الأشكال 28.6 حتى 31.6. باستعمال نظام ترميز  $B_1$  ثانية نحصل على نسب الضغط المدونة في الجدول 5.6 تحت DDC. نستخلص من هذه النتائج أنه عندما توجد مناطق سوداء صغيرة قليلة يكون ترميز طول الاستمرار ثنائي الأبعاد أكثر فعالية. أما من أجل مناطق سوداء صغيرة كثيرة ، فان ترميز طول A



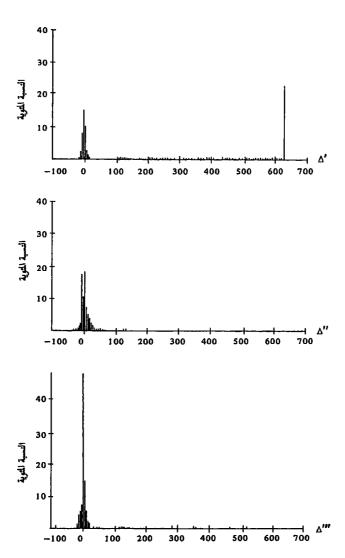
الشكل 28.6 هيستوغرامات الفرق للشكل 28.6) •



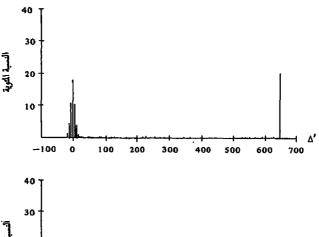


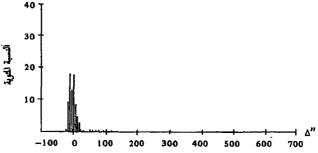


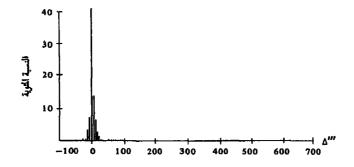
الشكل 29.6 هيستوغرامات الفرق للشكل 24.6(d).



الشكل 30.6 هيستوغرامات الفرق للشكل 25.6(d).







الشكل 31.6 هيستوغرامات الفرق للشكل 25.6(d).

## 4.6 ترميز الصورة بالنسبة لمعيار أمانة

#### image encoding relative to a fidelity criteria

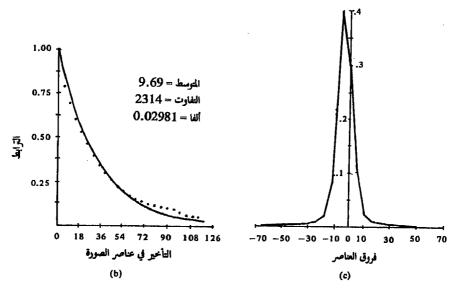
في كثير من التطبيقات، يمكن التسامح ببعض الخطأ في الصور التي أعيد بناؤها reconstructed. نعرض في هذا القسم بعض الأمثلة على هذه الحالة.

## 1.4.6 مثال 1. التشكيل النبضي التفاضلي المرمز (DPCM)

#### differential pulse code modulation

ان قيم العناصر المتجاورة عالية الترابط في معظم الصور. ان دالة الترابط الذاتي لصورة المصور cameraman في الشكل 32.6 (a) مبينة في الشكل 32.6 (b) أذا كان العنصر  $x_{i-1}$  سوية رمادية معينة، يكون من المحتمل عندئذ أن يكون للعنصر  $x_i$  المجاور على طول خط المسح قيمة مشابهة. ان هذا الأمر موضح أيضا بهيستوغرام فروق العناصر  $x_{i-1}$  المبينة في الشكل 32.6 (c) في حين أن قيم العنصر تتغير في مدى العناصر رمادية في الصورة، فان معظم فروق العناصر المتجاورة موجودة في مدى حوالي 20 سوية رمادية. ان التشكيل النبضي التفاضلي المرمز (DPCM) يستخدم هذه الخاصة بالطريقة التالية. نلاحظ عنصرا  $x_{i-1}$  وبناءاً على هذه القيمة الملاحظة نتنبأ بقيمة العنصر التالي  $x_{i-1}$  لتكن  $x_{i-1}$  القيمة المتنبأ بها له  $x_{i-1}$  و لنطرح هذه القيمة من القيمة المعلية  $x_{i-1}$  لنحصل على الفرق  $x_{i-1}$   $x_{i-1}$  بافتراض أن التقديرات دقيقة الى حد معقول، سيكون الفرق  $x_{i-1}$  ، في المتوسط، أصغر بكثير في المطال من مطال العنصر معقول، سيكون الفرق أمداء تكمية جزئية وبتات لترميز تتابع الفروق أقل مما سيلزم أمداء تكمية جزئية وبتات لترميز تتابع الفروق أقل مما سيلزم لترميز تتابع عناصر الصورة .





الشكل a)32.6) صورة أصلية. (b) دالة الترابط الذاتي. (c) هيستوغرام فروق العناصر.

linear ان المسلّلة هي تقدير  $x_i$  اذا كنا نعرف  $x_{i-1}$ . ان المقدّر الخطي  $E\{(x_i-\hat{x}_i)^2\}$  التقدير الصغرى  $E\{(x_i-\hat{x}_i)^2\}$  التقدير الصغرى (  $E\{(x_i-\hat{x}_i)^2\}$  العلاقة least — mean — square estimation errors

$$\hat{x}_i = \rho x_{i-1} + (1 - \rho)m \tag{1-4.6}$$

حيث ان m هي متوسط السويات الرمادية و م هي الترابط المقيس بين عناصر الصورة المتجاورة، أي

$$\rho = \frac{E\{x_i x_{i-1}\}}{E\{x_i^2\}}$$
 (2-4.6)

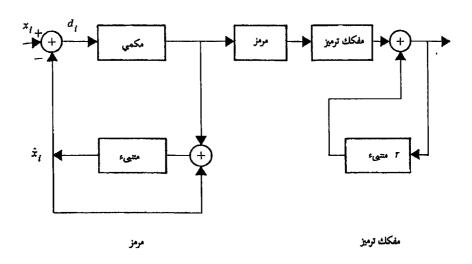
weighted يمكن أن يفسر التقدير  $\hat{x}$  في المعادلة (1-4.6) كمتوسط موزن average للعنصر السابق  $x_{l-1}$  و متوسط  $x_l$  تعتمد الأوزان على معامل الترابط  $x_l$  عندما تكون قيم العناصر عالية الترابط، ف  $x_l$  تقارب الـ 1 و ( $x_l$ ) تقارب الصفر، الحالة التي يبنى التقدير فيها بشكل أولي على القيمة  $x_l$  عندما لاتكون قيم العناصر مترابطة جدا، تسري الحالة المعاكسة ويبنى التقدير بشكل أساسي على القيمة المتوسطة. نموذجيا تقع  $x_l$  للصور المعتانة بشكل صحيح بين  $x_l$ 

من السهل أن نبين أن تفاوت الفرق variance of the difference

$$d_i=x_i-\hat{x}_i$$
 (3–4.6)  
يعطى بالعلاقة  $\sigma_{d_i}^2=(1-
ho^2)\sigma_{x_i}^2$  (4–4.6)

حيث  $\sigma_x^2$  هي تفاوت x. يمكن أن نبين أيضا أن الد  $d_{is}$  غير مترابطة، أي أن النقل من x الى x ينتج معاملات غير مترابطة. لاحظ أنه اذا كانت  $\alpha$ 0 يكون هذا النقل مائلا لنقل الفرق difference mapping المعرف بالتحويل المعطى بالمعادلة (2.6 - 3). وبعبارة أخرى نقول، ان نقل الفرق المعرف بالمعادلة (2.6 - 3) يطابق القول ان x هي نفس x0.

ان المسألتين الباقيتين هما تكمية الفروق  $d_i$  و ترميزها. يبين الشكل 33.6 مخطط كتلي لنظام مرمز – مفكك ترميز DPCM نموذجي. إن المتنبئان في المرمز ومفكك الترميز متأثلان. ويقوم كل منهما ببساطة بتأخير الدخل لفترة زمنية تساوي الزمن بين العينات (معكوس معدل الاعتيان) وتقييس هذا الدخل المؤخر بثابت  $\alpha$ . يسمى هذا العامل معامل التنبؤ prediction coefficient ويتم اختياره وفقا للمعادلة (4.6-2)، أي أن القيمة المثلى لمعامل التنبؤ  $\alpha$  هي معامل الترابط  $\alpha$ .



الشكل 33.6 مخطط كتلي لنظام DPCM

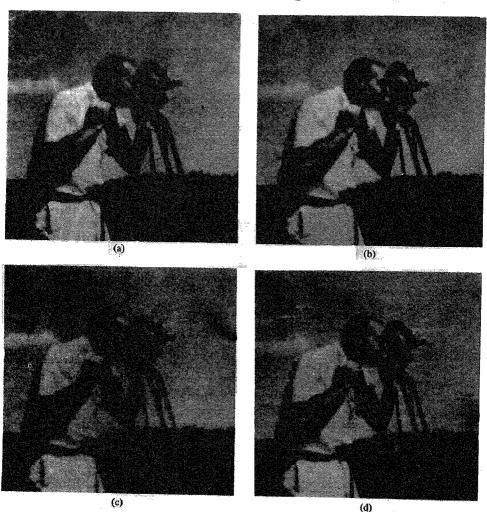
كا أشرنا أعلاه، يتكون النقل mapping في هذه الحالة من تكوين الفروق المعطاة بالمعادلة (3-4.6). بدون المكمي quantizer في الحلقة، ستكون التقديرات المعطاة بمتنىء المرمز مبنية على الفروق الدقيقة d, بالاضافة الى ذلك، ستكون عملية تفكيك الترميز، ببساطة، النقل العكسي inverse mapping. وبوجود المكمي في الحلقة، ستكون التقديرات مبنية على الفروق المكماة، ولن تكون عملية تفكيك الترميز دقيقة. افترض، على سبيل المثال، أنه يمكن أن يكون للمكمي ثمانية دخول فقط متباعدة بانتظام. سيجلب مفكك الترميز خطأ قليلا نسبيا في خطوط المسح المتغيرة متباعدة بانتظام. سيجلب مفكك الترميز خطأ قليلا نسبيا في خطوط المسح المتغيرة

ببطء (فروق صغيرة) ولكن في خطوط المسح المتغيرة بسرعة، سيصبح الفرق بين العناصر المتجاورة كبيرا ولن يكون مفكك الترميز قادرا على متابعة الدخل لأن أكبر فرق خارج من المكمي يقابل خطوة قدرها 4.4 أو -- 4 مرات عرض الأمداء الجزئية. يدعى عدم القدرة على تتبع تغيرات السويات الرمادية هذه "التحميل الزائد للميل" يدعى عدم القدرة على تتبع تغيرات السويات الرمادية هذه "التحميل الزائد للميل" بناؤها slope overload وتؤدي الى تلطيخ (تغبيش) الحواف الحادة في الصورة التي أعيد بناؤها reconstructed. يمكن أن يجعل المرمز قادرا على الاستجابة بسرعة أكبر لدخل يتغير بسرعة بزيادة عرض المدى الجزئي أفاه ولكن يحصل هذا الأمر على حساب تزياد الأخطاء عندما تكون الاشارة متغيرة ببطء. يدعى هذا الخطأ "الضجيح الحبيبي" granual noise لأن الأقسام الصغيرة من الصورة المستعادة تبدو "حبيبية" الخبيبي واختيار عرض أمداء المكمي الجزئية لتأمين أفضل حل وسط بين هذين المصدرين للخطأ. يمكن تخفيض كلا من ضجيج التحميل الزائد للميل و الضجيج الحبيبي بزيادة عدد سويات التكمية على حساب بتات أكثر لترميز عدد السويات المزادة.

ان بعض الأمثلة لصور مرمزة ومفككة الترميز باستخدام DPCM مبينة في الشكل 34.6 (a) حتى (c). لقد تم ضبط معامل التنبؤ ليساوي معامل الترابط في جميع الحالات الثلاثة. و تمت تكمية الفروق بمكم أسي يوائم احصائيات الفروق للصورة، وتم استعمال الترميز الطبيعي لترميز خرج المكمي. عند 3 بت للعنصر يمكن ملاحظة تشوه قليل جدا في الصورة. وعند 2 بت للعنصر نلاحظ أن حواف السوية الرمادية ملطخة smeared gray level edges ونلاحظ ضجيجاً حبيبياً في الخلفية (السماء). عند ابت للعنصر، تتضح التشوهات حادة في الصورة. يسمى DPCM بمكم بـ 1 بت شكيل الدلتا " DPCM بمكم بـ 1 بت delta modulation ...

في كثير من التطبيقات ترسل البتات الخارجة من المرمز عبر نظام ارسال معطيات (يسمى القناة) الى مفكك الترميز. هذه القنوات ليست مثالية عادة، بمعنى أن أخطاء تحدث، أي، يمكن أن يوضع بت في القناة كواحد "1" ولكن يأتي في الخرج

 $^{\prime\prime}$ 0  $^{\prime\prime}$ . إن أثر خطأ البت للقناة channel bit error على صورة الشكل 34.6 المرمزة بـ  $^{\prime\prime}$ 0  $^{\prime\prime}$ 0 مدة  $^{\prime\prime}$ 1 المعنصر موضح في الشكل 36.4 (d)36.4 يمكن اثبات أنه بمعامل تنبؤ  $^{\prime\prime}$ 2 تكون مدة  $^{\prime\prime}$ 4 المعنصر موضح في الشكل  $^{\prime\prime}$ 4 المرمزة مدة  $^{\prime\prime}$ 4 المرمزة الخطأ تتناسب مع  $^{\prime\prime}$ 4 من أجل  $^{\prime\prime}$ 4 من أجل  $^{\prime\prime}$ 4 يستمر الخطأ



الشكل 34.6 مثال لترميز DPCM للشكل 32.6 (a) وبعد ذلك فك ترميز النتيجة. (a) 3 -بت للعنصر. (b) 2 -بت للعنصر. (c) 1 -بت للعنصر. (c) 1 الشجيج تساوي العنصر. (d) 1 من للعنصر. (e) 1 من العنصر. (1) 13.7 منالك

حتى يتم اجراء تصحيح ما، كا هو موضح في الشكل 35.6 (a) حيث قمنا باعادة الضبط في بداية كل خط مسح، أي، تم ضبط خرج المتنبىء predictor ليساوي السوية الرمادية المتوسطة من اجل العنصر الأول لكل خط مسح بحيث أن الخطأ في السطر السابق لن يستمر بعد نهاية ذلك الخط. ان احدى الطرق لمقاومة هذا الأثر هي استبدال كل خط مسح يحتوي خطأ بخط المسح السابق. لقد تم الحصول على الصورة في الشكل 35.6 (d) بتطبيق طريقة استبدال الحط line replacement method على صورة الشكل 35.6 (a)





الشكل 35.6 توضيح لـ (a) اعادة ضبط الخط line initialization و (b) استبدال الخط. في كلتا الحالتين كانت α-1 و كانت نسبة الأشارة الى الضجيح 19.3 واستعملت 3- بثات للعنصر.

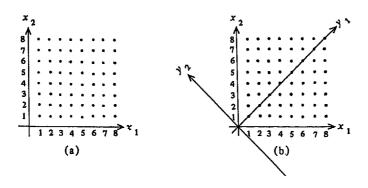
# 2.4.6 مثال 2. ترميز التحويل transform encoding

ان تحويلات الصورة كتلك التي نوقشت في الفصل 3 كثيرا ما تستعمل كدالة النقل mapping function في اجراء الترميز الذي وصف في الشكل 1.6. تدعى طريقة الترميز التي تستخدم هذا النوع من النقل "تقنية ترميز التحويل" transform .encoding technique

في ترميز التحويل، تقسم أولا صورة معينة بأبعاد N×N الى مصفوفات فرعية. من

أجل التحويل أحادي—البعد تكون المصفوفات الفرعية subimage بتياس  $1 \times n$  حيث n < N ويمكن أن تفسير كل صورة فرعية subimage بأنها متجه بـ n - 1 بعدا مصفوفات مربعة الترميز ثنيائي—الأبعياد تكون الصور الفرعية عادة مصفوفات مربعة من العناصر بقياس  $n \times n - 1$ . بعد تقسيم الصورة الى صور فرعية، ترمَّز كل صورة فرعية كوحدة unit ، بشكل مستقل عن الصور الفرعية الأخرى. في ترميز التحويل غير المتكيف nonadaptive transform encoding نستعمل نفس المرمز لجميع الصور الفرعية. أما في ترميز التحويل المتكيف adaptive transform فنستطيع اختيار المرمز الذي يعطي الأداء الأفضل بمفهوم ما من أجل محتوى الصورة الفرعية المعينة.

ان الغرض من نقل التحويل transform mapping هو تخفيض الترابط بين العناص. ان الدافع لاستعمال هذا الأسلوب هو تحسين فعالية الترميز بمعالجة المعاملات المحولة بشكل مستقل عن بعضها البعض. لتوضيح هذه النقطة نقدم مثالا مبسطا مستعملين صورة افتراضية بثان سويات رمادية ( 3 بت ). خذ مرمز تحويل أحادي-البعد بـ n=2 بحيث نقسم الصورة أولا الى مصفوفات فرعية أبعادها 1×2، وحيث يكون العنصران في كل مصفوفة أبعادها 2×1 متجاورين. و بعبارة أخرى، تتكون المصفوفة الأولى من العنصرين الأول والثاني على خط المسح الأول، وتتكون المصفوفة الثانية من العنصرين الثالث والرابع على خط المسح الأول، وهكذا. دع المتجه scattar plot يمثل عنصري صورة متجاورين، ودعنا نرسم رسما تبعثريا  $x=(x_1, x_2)$ لقيمة سوية  $x_1$  الرمادية مقابل قيمة سوية  $x_2$  الرمادية، كما هو موضح في الشكل a)36.6). نظرا لأن كل عنصر يمكن أن يأخذ أيا من السويات الرمادية الثمانية، يوجد 64 تركيبا ممكنا له x و x ولكن ليست جميع التركيبات متساوية الاحتال. من غير المحتمل أن تأخذ  $x_1$  قيمة عالية و  $x_2$  قيمة منخفضة والعكس بالعكس. و نظرا لأن أغلب الاحتمال أن تأخذ العناصر المتجاورة نفس القيمة تقريبا فان التركيبات الأغلب احتمالا هي تلك التي تكون في جوار ٢٠ = ٢٠ ، أي تلك الواقعة في المنطقة المظللة من الشكل 36.6(a).



الشكل a)36.6) عناصر مترابطة. (b) نظام احداثيات جديد (y1, y2) لحذف الترابط.

افترض الآن أننا ندور نظام الاحداثيات، كما هو موضح في الشكل 6).6(6). في نظام الاحداثيات الجديد، ليست القيم الأغلب احتمالا في جوار  $y_1 = y_2$  ولكنها تشكل صفا مع المحور الاحداثي  $y_1$ . هذا السبب فان المتحولين  $y_2$  و  $y_1$  "أكثر استقلالية" صفيا مع المحور الاحداثي  $y_2$  من المحتمل أن تكون  $y_2$  صغيرة بشكل مستقل عن قيمة  $y_2$ . لقد أعاد تدوير نظام الاحداثيات أيضا ترتيب التفاوتات مستقل عن قيمة  $y_1$ . لقد أعاد تدوير نظام الاحداثيات أيضا ترتيب التفاوتات المعتمدين الأولين كان لهما نفس التفاوت  $y_1 = x_2 = x_3 = x_4$ . فان معظم أن كلا المعتصرين الأولين كان لهما نفس التفاوت  $y_2 = x_3 = x_4$ . أخيرا، نشير المناوت الآن كائن في المركبة الأولى من الحيز المحول  $y_2$  ستطيع اجراء الدوران العكسي للحصول على المعتصرين  $y_2$  و  $y_3$ .

يمكن استعمال نفس الأجراء من أجل مصفوفة عناصر أبعادها  $n \times n$  كل عنصر منها مكمى الى واحد من  $n \times n$  سوية رمادية. في هذه الحالة، يلزم نظام احداثيات من  $n^2 - n^2$  dimensional coordinate system من  $n^2 - n^2$  نقطة الى واحدة من السلقيم  $n \times n \times n$  نقطة الى واحدة من السلقيم  $n \times n \times n$  صورة ممكنة بأبعاد  $n \times n \times n$ 

#### one - dimensional transformations التحويلات آحادية - البعد

ان تدوير نظام الاحداثيات ذي الـ -n بعدا للـ n عنصرا، يقابل ترتيب العناصر في المتجه  $x = (x_1, \, x_2, \, ..., \, x_n)'$  واجراء التحويل الخطى

$$y = Ax (5-4.6)$$

حيث ان A هي مصفوفة واحديّة أبعادها  $n \times n$  و عناصرها  $a_{ki}, k, i=1,2,...,n$  ، التي تحدد الدوران، و  $y=(y_1,y_2,...,y_n)$  هو n متجها. نظراً لأنه من أجل المصفوفة الواحدية يكون  $A^{-1}=A$  ، يمكن الحصول على الدوران العكسى بالتحويل العكسى

$$\mathbf{x} = \mathbf{A}'\mathbf{y} \tag{6-4.6}$$

حیث ان مُA هو منقول A.

وحسب المعادلة (4.6 – 5) فان كل معامل  $y_k$  هو تركيب خطى من جميع العناصر أي،

$$y_k = \sum_{i=1}^n a_{ki} x_i {(7-4.6)}$$

من أجل k=1,2,...,n.

بشكل مشابه، تعطي المعادلة (4.6-6) كل عنصر كتركيب خطي من جميع المعاملات:

$$x_i = \sum_{k=1}^{n} b_{ik} y_k \tag{8-4.6}$$

من أجل i=1,2,...,n.

بتغيير بسيط في الرموز، نرى أن المعادلة (4.6–7) و (4.6–8) مماثلتان في الشكل لعلاقات التحويل العام المعطى بالمعادلتين (5.3–1) و (5.3–2) مع كون  $a_{ki}$  نواتي التحويل المباشرة والعكسية، على التوالي.

من أجل غرضنا (ترميز الصورة) فان أفضل تحويل هو ذلك التحويل الذي يعطي متحولات y مستقلة احصائيا statistically independent. لايمكن تحديد هذا التحويل لسببين. أولا، انه يعتمد بشكل واضح على احصائيات مفصلة جدا (دالة

كثافة الاحتمال المشترك n عنصرا)، التي لم تستنبط بعد من القوانين الفيزيائية الأساسية والتي لايمكن قياسها. ثانيا، حتى اذا كانت دالة الكثافة المشتركة لله n عنصرا معروفة، فان مسألة تحديد تحويل قابل للعكس والذي يعطي معاملات مستقلة هي مسألة غير محلولة. ان أقرب تحويل الىالتحويل الذي يعطي معاملات مستقلة بواسطة تحويلات خطية هو التحويل الذي يعطي معاملات غير مترابطة uncorrelated coefficients. ان المعاملات الناتجة غير مترابطة ولكن ليست بالضرورة مستقلة احصائيا.

كا أشرنا في القسم 6.3 ، فإن مصفوفة التحويل A التي تعطي معاملات غير مترابطة هي تلك المصفوفة التي تشكل صفوفها بالمتجهات المميزة eigenvectors مترابطة هي تلك المصفوفة التي تشكل صفوفها بالمتجهات العناصر الأصلية. في هذه الحافة، ستكون العينات المستعملة للحصول على مصفوفة التفاوت المتبادل هي جميع المتجهات ذات الـ n بعدا التي تم فيها تفكيك صورة معطاة بأبعاد n n المعادلة (6.3 – 5) طريقة ملائمة لتقدير مصفوفة التفاوت المتبادل للعدد المحدود من عينات المتجهات.

## التحويلات ثنائية – الأبعاد two – dimensional transformations

 $n \times n$  من أجل التحويلات ثنائية – الأبعاد، ترتب مصفوفة العناصر ذات الأبعاد الله من أجل التحويلات ثنائية – الأبعاد،  $n \times n$  وعناصرها  $x_{i,j}$ , i,j=1,2,...,n وعناصرها  $x_{kl}$ ,  $x_{kl}$ ,  $x_{kl}$ ,  $x_{kl}$ ,  $x_{kl}$ 

تعطى الصيغة العامة للتحويل الذي ينقل عناصر X الى عناصر لـ Y بالعلاقة.

$$y_{kl} = \sum_{i=1}^{n} \sum_{j=1}^{n} x_{ij} a_{ijkl}$$
 (9-4.6)

من أجل k,l=1,2,...,n. بتغيير في الرموز، نرى أن المعادلة (4.6-9) مماثلة في الشكل للمعادلة (5.3-8) مع كون  $a_{ijkl}$  نواة التحويل الأمامية.

يعطي التحويل العكسي كل عنصر أصلى كتركيب خطى من المعاملات، أي،

$$x_{ij} = \sum_{k=1}^{n} \sum_{l=1}^{n} y_{kl} b_{ijkl}$$
 (10-4.6)

من أجل i,j=1,2,...,n ، حيث ان  $b_{ijkl}$  ، حيث ان أجل

كما أشرنا في القسم 5.3 ، يمكن التعبير عن أنواع متعددة من التحويلات بصيغة المعادلتين (4.6-9) و (4.6-10)، اعتمادا على اختيار النواة. ان تحويلات فورييه وهادامارد وهوتيللينغ هي التحويلات الأكثر شيوعا لتطبيقات ترميز التحويل. ان تحويلي فورييه و هادامارد قابلان للاستعمال مباشرة في المعادلتين (4.6-9) و (4.6-10). ولكن ، عند استعمال تحويل هوتيللينغ، يجب أن نتوخى الحذر في تفسير الرموز في هذه المعادلات. يمكن توضيح سبب ذلك بمثال بسيط. خذ مسألة تحويل مصفوفة صورة فرعية بأبعاد  $2\times2$ 

$$\mathbf{X} = \begin{bmatrix} x_{11} & x_{12} \\ \\ x_{21} & x_{22} \end{bmatrix}$$

يعطي نشر المعادلة (4.6–9) مايلي

$$y_{11} = x_{11}a_{1111} + x_{12}a_{1211} + x_{21}a_{2111} + x_{22}a_{2211}$$

$$y_{12} = x_{11}a_{1112} + x_{12}a_{1212} + x_{21}a_{2112} + x_{22}a_{2212}$$

$$y_{21} = x_{11}a_{1121} + x_{12}a_{1221} + x_{21}a_{2121} + x_{22}a_{2221}$$

$$y_{22} = x_{11}a_{1122} + x_{12}a_{1222} + x_{21}a_{2122} + x_{22}a_{2222}$$

ان حساب قيم النواة من أجل، لنَقُل، تحويل فورييه أو هادامارد هو حساب مباشر. نحن نعرف من القسم 5.3 ، على سبيل المثال، أن نواة فورييه تعطى بالعلاقة

$$a_{ijkl} = \frac{1}{N} \exp[-j2\pi(ik+jl)]$$

حيث ان N=2 في هذه الحالة.

ان تفسير قيم النواة من أجل تحويل هوتيللينغ هو أمر مختلف لأنه، كما أشرنا في الفصل 6.3 وأشرنا مرة ثانية في القسم 2.4.6 يعبر عن هذا التحويل بالصيغة الاتجاهية y-Ax vector form. من أجل المسألة ثنائية - الأبعاد، يمكن التعبير عن الصورة الفرعية X ذات الأبعاد 2×2 بالصيغة الاتجاهية، كما يلي:

$$\mathbf{x} = \begin{bmatrix} x_{11} \\ x_{12} \\ x_{21} \\ x_{22} \end{bmatrix}$$

تشكيل مصفوفة التحويل A من المتجهات المميزة لمصفوفة التفاوت المتبادل A محطاة. افترض أن لـ A المستخلصة من صورة معطاة. افترض أن لـ A الشكل التالي

$$\mathbf{A} = \begin{bmatrix} e_{11} & e_{12} & e_{13} & e_{14} \\ e_{21} & e_{22} & e_{23} & e_{24} \\ e_{31} & e_{32} & e_{33} & e_{34} \\ e_{41} & e_{42} & e_{43} & e_{44} \end{bmatrix}$$

حيث ان  $e_{ij}$  هي المركبة رقم i للمتجه المميز رقم i. اذا عبرنا عن الصورة المحولة  $\gamma$  بصيغة اتجاهية، تكون

$$\mathbf{y} = \begin{bmatrix} y_{11} \\ y_{12} \\ y_{21} \\ y_{22} \end{bmatrix}$$

#### نظرا لأن y-Ax ، لدينا

$$y_{11} = x_{11}e_{11} + x_{12}e_{12} + x_{21}e_{13} + x_{22}e_{14}$$

$$y_{12} = x_{11}e_{21} + x_{12}e_{22} + x_{21}e_{23} + x_{22}e_{24}$$

$$y_{21} = x_{11}e_{31} + x_{12}e_{32} + x_{21}e_{33} + x_{22}e_{34}$$

$$y_{22} = x_{11}e_{41} + x_{12}e_{42} + x_{21}e_{43} + x_{22}e_{44}$$

من هنا نرى أن شكل هذا النشر مماثل لصيغة النشر التي حصلنا عليها من المعادلة من هنا نرى أن شكل هذا النشر مماثل لصيغة النشر التي حصلنا عليها من أجل  $y_{kl}$  كر  $y_{kl}$  كر  $y_{kl}$  من أجل i,j=1,2,...,n. ولكن، لاحظ أن عناصر مصفوفة التحويل A لاتتبع نفس الزموز التي استعملت من أجل النوى kernels في المعادلة (4.6–9). بكلمات أخرى، يمكن أن يستعمل تحويل هوتيللينغ في تشكيل ثنائي—الأبعاد مادامت العناصر في التحويل تفسر شكل صحيح. و تسري تعليقات مشابهة على التحويل العكسي.

#### الصور الأساسية Basis images

من المكن تفسير المعادلة (4.6 –10) بطريقة أخرى. دعنا نكتب المعادلة بالشكل التالي

$$X = \sum_{k=1}^{n} \sum_{l=1}^{n} y_{kl} \mathbf{B}_{kl}$$
 (11 – 4.6)

nxn بأبعاد X الصورة الفرعية series expansion ونفسر هذا على أنه سلسلة نشر  $n \times n$  أبعاد  $n \times n$  أبعادها  $n \times n$ 

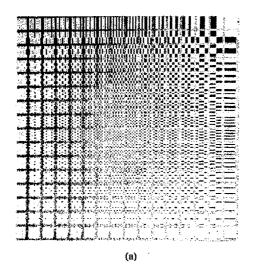
$$\mathbf{B}_{kl} = \begin{bmatrix} b_{kl11} & b_{kl12} & \cdots & b_{kl1n} \\ b_{kl21} & b_{kl22} & \cdots & b_{kl2n} \\ \vdots & \vdots & \ddots & \vdots \\ b_{kln1} & b_{kln2} & \cdots & b_{klnn} \end{bmatrix}$$
(12-4.6)

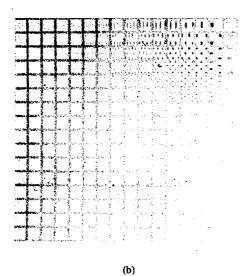
مع كون  $y_{kl}$  ، من أجل k,l=1,2,...,n ، معاملات (أوزان) النشر. من هنا، تعطى المعادلة (a... ) الصورة a... كمجموع موزن للصور الأساسية a... . تعطى معاملات النشر coefficients of the expansion بالمعادلة (a... )، التي يمكن أن تكتب بالشكل

 $\mathbf{y} = A_{kl}\mathbf{X} \tag{13-4.6}$ 

حيث تكوَّن  $A_k$  بنفس الطريقة التي تكون فيها  $B_k$  ، باستثناء أن النواة الأمامية تستعمل.

Hadamard basis يبين الشكل 37.6 (a) صور تحويل هادامارد الأساسية (a) تعتمد (a) (a)





الشكل 37.6 (a) صور هادامارد الأساسية. (b) صور هوتيللينغ الأساسية.

لقد أشرنا الى أنه اذا حولت مجموعة من صور فرعية بحيث تكون المعاملات  $x_{ij}$  أكثر استقلالية more independent من العناصر الأصلية  $x_{ij}$  ، تكون تفاوتات variances المعاملات عندئذ غير متساوية، على وجه العموم. ولذلك يمكن أن نعطي الصور الأساسية دليلا index بحيث ترتب الحدود في المعادلة (4.6–11) تبعا لتفاوتات المعاملات. بهذه الطريقة، فإن ما تقدمه المحدود المتتابعة في المتوسط للمجموع يتناقص مع تقدم تتابعها. في الواقع، تصبح المعاملات، من أجل بعض الحيارات للصور الأساسية، غير هامة بعد، لنقل،  $\eta$  حدا بحيث انه يمكن الحصول على الصورة الأصلية باهمال السلسلة بعد  $\eta$  حدا أي

$$\mathbf{X} = \sum_{k=1}^{n} \sum_{l=1}^{n} y_{kl} \mathbf{B}_{kl} \approx \sum_{k=1}^{\eta} \sum_{l=1}^{\eta} y_{kl} \mathbf{B}_{kl} = \hat{\mathbf{X}}$$
 (14-4.6)

يعطى متوسط – تربيع – أخطاء التقريب mean – square approximation error بين الصهرة الأصلية X و الصهرة التقريبية X بالعلاقة

$$e_{ms} = E \{ \|\mathbf{X} - \hat{\mathbf{X}}\|^{2} \}$$

$$= E \left\{ \left\| \sum_{k=1}^{n} \sum_{l=1}^{n} y_{kl} \mathbf{B}_{kl} - \sum_{k=1}^{\eta} \sum_{l=1}^{\eta} y_{kl} \mathbf{B}_{kl} \right\|^{2} \right\}$$

$$= E \left\{ \left\| \sum_{k=\eta+1}^{n} \sum_{l=\eta+1}^{n} y_{kl} \mathbf{B}_{kl} \right\|^{2} \right\}$$

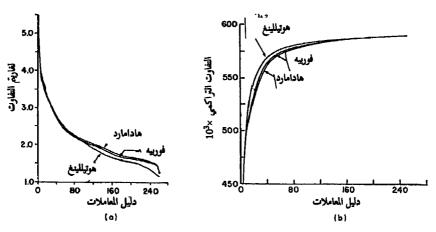
$$= \sum_{k=\eta+1}^{n} \sum_{l=\eta+1}^{\eta} \sigma_{y_{kl}}^{2}$$

$$(15-4.6)$$

norm of the matrix difference هو مقدار فرق المصفوفة  $\|\mathbf{X} - \hat{\mathbf{X}}\|$  هو مقدار فرق المصفوفة  $(\mathbf{X} - \hat{\mathbf{X}})$  ، وتتبع الخطوة الأخيرة لأن الصور الأساسية متعامدة. تنص المعادلة variances على أن متوسط تربيع أخطاء التقريب يعطى بمجموع تفاوتات المعاملات المعا

نطرح الآن المسألة التالية: ما هي مجموعة الصور الأساسية التي تخفض متوسط تربيع الأخطاء الى الحد الأدنى بتجميع معظم التفاوت في الـ  $\pi$  معاملات الأولى؟ ان الحل لهذه المسألة هو نفس الحل للمسألة التي لاتبدو متعلقة بها وهي تحديد مجموعة الصور الأساسية التي تعطي معاملات غير مترابطة. ان تحويل هوتيللينغ: (a) يعطي معاملات غير مترابطة و (b) يخفض متوسط تربيع أخطاء التقريب mean—square معاملات غير مترابطة و (c) يخفض متوسط تربيع أخطاء التقريب approximation error الحداثيات الأولى(لأية  $\pi$ ).

لقد قسمت صورة المصور cameraman الى صور فرعية أبعاد كل منها 16×16 وتم نشر كل صورة فرعية بسلسلة نشر هوتيللينغ وفورييه وهادامارد. ان تفاوتات العينات للمعاملات موضحة في الشكل 38.6(a). يلاحظ من الشكل 38.6(d) أن جميع التحويلات الثلاثة متساوية الفعالية تقريبا في تجميع التفاوتات في المعاملات ذات المرتبة الأخفض.

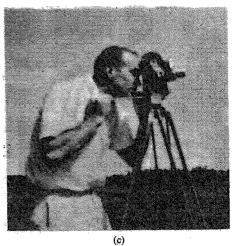


الشكل 38.6(a) تفاوتات المعاملات. (b) المجموع التراكمي للتفاوتات.

ان بعض التقريبات لصورة المصور باستعمال تحويلات هوتيللينغ و هادامارد وفورييه موضحة في الشكلين 39.6 و 40.6. لقد تم الحصول على هذه الصور بتقسيم الصورة الى صور فرعية بأبعاد 16 × 16 وغيل كل صورة فرعية مع نشرها بدلالة صور أساسية بأبعاد 16 × 16 واهمال النشر بعد  $\pi$  حدا. كا يظهر في الشكل 38.6 ، يمكن أساسية بأبعاد 16 × 16 واهمال النشر بعد  $\pi$  حدا. كا يظهر في الشكل 38.6 ، يمكن الممال نصف الحدود (128 =  $\pi$ ) بدون تدن ملحوظ في نوعية الصورة، على الرغم من أن ذلك قد أوجد بعض متوسطات تربيع الأخطاء. ان اهمال النشر بعد 64 حدا (الشكل 40.6) يعطي أثر تغبيش أو ترشيح ترددات منخفضة ملحوظ. يمكن شرح هذه الظاهرة بدراسة الصور الأساسية المبينة في الشكل 37.6. لاحظ في هذه الصور أن زيادة الدليل بدراسة الصور الأساسية كدالة للدليل المتعادة المورة عند المورة عند المورة عند المورة المنال جميع طاقة الصورة عند ترددات أعلى من تلك الترددات المقابلة لله  $\pi$  صور أساسية الأولى. يين الشكل 41.6 الخطأ بين صورة الشكل 69.0 (ال التي أعيد بناؤها (المستعادة) وصورة المصور الأصلية من الواضح أن الأخطاء الأكبر تحصل في أجزاء الصورة ذات التفاصيل العالية (التردد—العالي) وعند حواف الصور الأساسية.



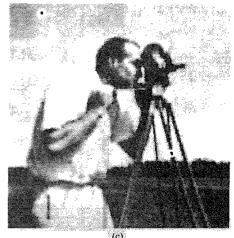




الشكل 39.6 صور أعيد بناؤها وقد تم الحصول عليها بالاحتفاظ بالـ 128 حدا الاولى من الـ  $n^2$ -258 حدا في المعادلة (4.6 – 15) لكل من الـ 256 صورة الفرعية ذات الأبعاد  $1 \times 10^{-4}$ ، لصورة المصور الأصلية ذات الأبعاد  $1 \times 10^{-4}$ .  $1 \times 10^{-4}$  في المدادلة (2.4  $1 \times 10^{-4}$ ) عويل هوتيللينغ:  $1 \times 10^{-4}$   $1 \times 10^$ 







الشكل 40.6 صور أعيد بناؤها وقد تم الحصول غليها بالاحتفاظ بالد 64 حداً الأولى من الد  $n^2=256$  حداً في المعادلة (4.6 – 15) لكل من الد 256 صورة فرعية ذات الأبعاد 16 ×16 ، لصورة المصور الأصلية. (a) تحويل موتبللينخ:  $e_{\rm ms}=0.49\%$  .  $e_{\rm ms}=0.45\%$  هوتبللينخ:  $e_{\rm ms}=0.49\%$  فرريه  $e_{\rm ms}=0.45\%$  هوتبللينخ:  $e_{\rm ms}=0.45\%$ 



الشكل 41.6 الخطأ بين الشكل 6,39.6 (b) وصورة المصور الأصلية.

#### تكمية المعاملات coefficient quantization

لقد افترضنا في مناقشتنا لمرمز الصورة، حتى الآن، أن المكمي يستطيع تخصيص قيمة فريدة لكل خرج من الناقل mapper. هذا الافتراض معقول من أجل الطرق التي نوقشت سابقا في هذا الفصل لأننا كنا نتعامل مع عدد من خروج الناقل المميزة التي يسهل التعامل معها. في "نقل الفرق " difference mapping ، على سبيل المثال، يكون عدد الفروق المميزة الخارجة من الناقل من نفس مرتبه عدد السويات في الصورة. في نقل التحويل transform mapping ، من جهة أخرى، يمكن أن يكون عدد قيم الخرج المميزة غير محدود. على سبيل المثال، ان كل مركبة  $y_{kl}$  خارجة من أن يكون مدد قيم من ان تركيب خطي من محموع العناصر في مصفوفة الدخل الفرعية. على الرغم من ان عناصر الدخل يمكن أن تتغير ضمن مدى السويات الرمادية z ، يشكل التركيب الخطي الذي ينتج z بتوزين weighting كل عنصر بمركبه متجه ثميز covariance matrix مصفوفة التفاوت المتبادل covariance matrix لمصفوفة

الدخل الفرعية، ليس من الصعب أن نرى أن كل  $y_{kl}$  يمكن، نظريا، أن يأخذ عددا غير محدود من القيم المختلفة. في الواقع العملي، يكون العدد محدوداً بسبب تقييدات الحاسوب computer limitations ، ولكن بالرغم من ذلك، فان مدى القيم التي يمكن الحصول عليها من حاسوب نموذجي كبيرة بالقدر الذي يصبح ضروريا عنده استعمال استراتيجية تكمية لخروج الناقل mapper.

كما وضحنا في الشكل 38.6 ، يتغير تفاوت معاملات الخرج ضمن مدى عريض. لذلك سيكون استعمال نفس المكمي لجميع المعاملات غير فعال. بعبارة أخرى، اذا تم ضبط سويات خرج المكمى لتمتد في مدى المعاملات ذات التفاوت الأكبر ، ستقع عندئذ المعاملات ذات التفاوتات الأصغر بكثير في مدى أصغر بكثير، وستكون النتيجـة أن معظـم سويات المكمى لن تستعمل. يمكن تخفيض هذا الأثر بتقييس standard deviation كل معامل بمعكوس انحرافه المعياري standard deviation لتشكيل المعاملات المقيسة  $y_{kl} = y_{kl}/\sigma_{kl}$  منها تفاوت  $y_{kl} = y_{kl}/\sigma_{kl}$ الوحدة unit variance أولاً وبعد ذلك يمكن أن تكمى بشكل فعال بنفس المكمى. natural واستعمال الترميز الطبيعي  $\nu_{kl}$  معامل مقيس  $\nu_{kl}$  واستعمال الترميز الطبيعي code أو ترميز غري gray code لتخصيص كلمات ترميز متساوية الطول لجميع سويات خرج المكمي يؤدي الى أن كل معامل يتطلب نفس عدد البتات. نظرا لأنّ المعاملات ذات التفاوتات الأكبر تشارك عادة في الصورة التي أعيد بناؤها reconstructed بشكل أكثر أهمية من المعاملات ذات التفاوتات الأصغر، يمكن أن يقلل التشوه الاجمالي الناتج عن تكمية المعاملات بتخصيص سويات تكمية أكثر و/أو بتات أكثر للمعاملات ذات التفاوتات الأكبر وسويات تكمية و/أو بتات أقل بشكل تناسبي للمعاملات ذات التفاوتات الصغيرة. وأيضا، نظرا لأن كل معامل يقابل نطاقا ترددیا معینا، و لأن حساسیة نظام الابصار لدی الانسان للتشوه تعتمد علی تردد التشوهات، يمكن الحصول على نوعية شخصية subjective quality أفضل في بعض الحالات بتخصيص سويات تكمية و/أو بتات أكثر للمعاملات المقابلة للترددات التي تكون العين أكثر حساسية لها في صورة معطاة (معينة).

ان احدى استراتيجيات التكمية الأخرى هي اختيار السويات بحيث تخفض متوسط تربيع أخطاء المكمي الاجمالية total quantizer mean square error الى الحد الأدنى. يعرف هذا الخطأ من أجل مصفوفة بأبعاد n×n بالعلاقة

$$e_{\mathbf{q}} = E\left\{\sum_{k=1}^{n} \sum_{l=1}^{n} (y_{kl} - \hat{y}_{kl})^{2}\right\}$$
 (16-4.6)

حيث ان  $\hat{y}_{kl}$  هي القيمة المكماة لـ  $y_{kl}$ . تعتمد المعادلة (4.6–16) على دالة كثافة الأحتال المشترك  $\hat{y}_{kl}$  و  $y_{kl}$  joint probability density function و بنظرا لأن كل معامل هو تركيب خطي من  $\mathbf{n}^2$  عنصرا فان نظرية الحد المركزي Gaussian density تشير الى أن توزيعات المعاملات  $y_{kl}$  تميل باتجاه الكثافة الغوصية  $y_{kl}$  تميا المعاملات لأن بعض العناصر مستقلة تقريبا. في الواقع، تمت اعادة بناء هيستوغرامات للمعاملات من أجل تحويلات مختلفة و وجد أن لها شكل حرس bell shaped تقريبا. يصبح هذا الأثر أكثر بروزا مع ازدياد أبعاد المصفوفة.

لقد بحث بانتر و دايت Panter and Dite عام 1951 وماكس Max عام 1960 استراتيجيات تكمية تخفض متوسط تربيع الأخطاء لمعامل منفرد، Panter and Dite الله الحد الأدنى. لقد وجدوا أنه اذا كانت دالة كثافة الاحتال لـ  $y_{kl}$  منتظمة يكون optimal المكسمي ذو سويات الخرج المتباعدة بانتظام مكميا أمشلا quantizer. من أجل توزيعات أخرى، يمكن انقاص متوسط تربيع الأخطاء باستعمال مكم غير منتظم بحيث يتم انقاص الفواصل spacings بين سويات الخرج في المناطق ذات السوية المنخفضة الاحتال. من أجل ذات السوية المنخفضة الاحتال. من أجل التوزيع الغوصي، يمكن أن يكون المكمي غير المنتظم أكثر فعالية من المكمي المنتظم بحداد 102 الى 30%.

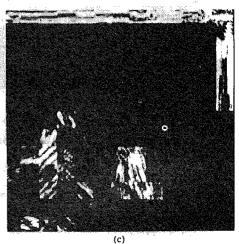
total mean لقد تم بحث استراتيجيات لتخفيض اجمالي متوسط تربيع الأخطاء لقد تم بحث استراتيجيات لتخفيض اجمالي متوسط تربيع الأخطاء square error من قبل هوانغ و شولسيس square error اللذان حددا التخصيص الأمثل لـ M- بت لـ  $m^2-$  معامل عند استعمال ترميز طبيعي اللذان حددا لكل معامل لها نفس الطول،

ولكن المعاملات المختلفة لها عدد عتلف من سويات التكمية ولذلك تتطلب ترميزا طبيعيا natural code بطول مختلف. لقد وجدوا أن عدد البتات  $m_{kl}$  المستعملة لترميز معامل  $y_{kl}$  يجب أن يكون متناسبا مع  $\log \sigma_{kl}^2$ . انهم يعطون خوارزمية لحساب معامل  $m_{kl}$   $m_{$ 

تعني تكمية الكتلة، ببساطة، استعمال مكم مختلف لكل معامل. يمكن أن يكون لكل مكم عدد مختلف من أمداء التكمية الجزئية وعرض مختلف للأمداء ذاتها. يكون لكل مكم عدد مختلف من أمداء التكمية الجزئية وعرض مختلف للأمداء ذاتها. لقد تم الحصول على الصورتين في الشكل مورة فرعية في مجموعة من صور فوربيه الأساسية وتم اهمال النشر عند 128 عامدا. الـ 128 معاملا  $y_{kl}$  المحتفظ بها تمت تكميتها باستعمال الأسلوبين الأساسيين اللذين نوقشا أعلاه. لقدتم الحصول على النتائج المبينة في الشكل الأسلوبين الأساسيين اللذين نوقشا أعلاه. لقدتم الحصول على النتائج المبينة في الشكل سوية. لقد تم تشكيل نشر فوربيه بعدئذ بالمعاملات الناتجة لاعطاء الصورة التي أعيد بناؤها reconstructed القي أعيد بناؤها باستثناء أن عدد السويات التي استعمال تلكمية الـ 128 معاملا جعلت متناسبة مع الكمية (120 - 120) القد كانت النتيجتان بنوعية شخصية متساوية تقريبا، على الرغم من أن الخطأ [محسوباً بتوسيط (120 - 120) ضمن جميع الصور الفرعية] أكبر بكثير من أ جل الصورة (120 - 120). ان الخطأ الحيزي بين الصورة الأصلية والشكل أكبر بكثير من أ بل الصورة (120 - 120).







يبين الشكل 43.6(a) نتائج تجربة مماثلة باستثناء أن أربع سويات تكمية قد استعملت لكل من المعاملات المقيسة. يبين الشكل 643.6(d) نتيجة استعمال نفس العدد الاجمالي من البتات ولكن بخوارزمية تكمية الكتلة block quantization. تستخدم التقنية الأخيرة البتات بفعالية أكبر بكثير وهذا ما يعطي صورة ذات نوعية شخصية sbjective quality أفضل بكثير وبها متوسط تربيع أخطاء أقل بكثير.





الشكل 43.6 صور أعيد يناؤها تم الحصول عليها بتكمية معاملات الشكل 6,930) الـ 128 باستعمال 1 بت المعامل المحتفظ به). (a) تمت تكمية جميع الـ 128 معاملاً في 4 سويات؛ الخطأ= 8.86%. (d) تمت تكمية كتلة المعاملات: الخطأ= 2.21%.

### اعتبارات الترميز coding considerations

يعتمد أداء الترميز لمرمز تحويل ما بشكل أولي على (1) التحويل و (2) استراتيجية التكمية و (3) قياس الصورة الفرعية و (4) شكل الصورة الفرعية.

#### التحويل transformation

ان أفضل تحويل من وجهة نظر متوسط - تربيع - الأخطاء والنوعية الذاتية هو تحويل هوتيللينغ، ولكن يليه بشكل قريب تحويلي فورييه وهادامارد. يفصل كل منهما

عن تحويل هوتيللينغ 0.1 أو 0.2 بت للعنصر من أجل n=8 أو n=1. من أجل n=4 يكون الأداء نفسه أساسا لجميع التحويلات.

## quantization strategy استراتيجية التكمية

کل من متوسط تربیع الأخطاء mean-square error والنوعیة الشخصیة علی من متوسط تربیع الأخطاء mean-square error والنوعیة الشخصیة subjective quality  $y_{kl} = y_{kl}/\sigma_{kl}$  المعاملات المقیسة  $y_{kl}/\sigma_{kl} = y_{kl}/\sigma_{kl}$  المعاملات المقیسة  $y_{kl}/\sigma_{kl} = y_{kl}/\sigma_{kl}$  واستعمال نفس المکمي (عدد البتات) لکل معامل. اذا تم الاحتفاظ به معاملا واستعمل m بتا لترمیز کل معامل، یکون مطلوبا عندئذ ما مجموعه  $y_{kl}/\sigma_{kl}$  بتا للعنصر. لاعادة بناء reconstruction جید النوعیة، یجب الاحتفاظ بنصف المعاملات تقریبا، الحالة التي یجب أن یستعمل فیها 7 بت للمعامل. لذلك فان العناصر المقیسة  $y_{kl}/\sigma_{kl} \approx y_{kl}/\sigma_{kl}$  العناصر المقیسة  $y_{kl}/\sigma_{kl}/\sigma_{kl} \approx y_{kl}/\sigma_{kl}$  العناصر المقیسة normalized بنفس مکمي الـ 7 أو 8 بت، ولکن تم الاحتفاظ بالد المحسول علی صور بنفس النوعیة ولکن بتوفیر "بت واحد" للعنصر. یکن في بعض الحصول علی صور بنفس النوعیة ولکن بتوفیر "بت واحد" للعنصر. یکن في بعض الأحیان توفیر بتا اضافیا للعنصر باختیار تخصیص البتات bit assignments لیعطی أفضل نوعیة شخصیة. و یکن الحصول أیضا علی توفیر 0.2 الی 0.3 الی دمیز غیر المحمی واستعمال ترمیز هافمان لتخصیص کلمات ترمیز غیر متساویة الطول لسویات خرج المکمی واستعمال ترمیز هافمان لتخصیص کلمات ترمیز غیر متساویة الطول لسویات خرج المکمی.

## قياس الصورة الفرعية subpicture size

يجب أن يتحسن أداء متوسط-تربيع- الأخطاء بزيادة n لأن عدد الترابطات المأخوذ بالحسبان يزداد بزيادة n. ولكن، معظم الصور تحتوي ترابطات هامة بين العناصر لحوالي 20 عنصرا متجاورا فقط، على الرغم من أن هذا الرقم يعتمد بشكل كبير على كمية التفاصيل في الصورة. لذلك، فقد تم الوصول الى نقطة عائدات

التلاشي diminishing returns و 16 مغير مكفولة. حتى n أصغر، لنَقُل n=8، لاتزيد الحطأ بشكل هام.

لاتبدو هذه المناقشة قاباة للتطبيق عندما تكون النوعية الشخصية هي معيار الجودة. تبدو النوعية الشخصية مستقلة عن n من أجل  $p \geq n$  ونظراً لأن عدد العمليات الحسابية لكل عنصر يتناسب مع  $p \geq n$  فإن  $p \geq n$  هو خيار معقول لقياس الصورة الفرعية.

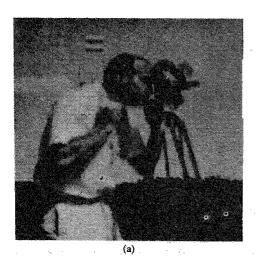
#### شكل الصورة الفرعية subpicture shape

يعطي تحويل مصفوفة عناصر ثنائية الأبعاد أبعادها  $n \times n$  أداءا أفضل من أداء مصفوفات العناصر أحادية—البعد، ولكن الربح صغير بشكل مدهش حوالي 0.2 بت لكل عنصر. ولكن يلزم n أكبر من أجل المصفوفات أحادية— البعد. فعلى سبيل المثال، اذا كانت مصفوفات ثنائية الأبعاد  $4 \times 4$  معقولة، فان مصفوفات أحادية البعد بأبعاد  $1 \times 6$  عنصرا تلزم للحصول على نتائج متشابهة من حيث الجودة.

## أثر أخطاء البت في المعاملات effects of bit error in the coefficients

نظراً لأن مفكك الترميز يعيد بناء عناصر pixels من تركيبات خطية remail من المعاملات، فان خطأ ما في المعامل يؤدي الى أخطاء في جميع العناصر التي أعيد بناؤها منه. إذا تم تحويل الصورة بكاملها كوحدة، (أي n=N) فإن خطأ واحداً أو أكثر في المعاملات يعطي عندئذ بعض الأخطاء في جميع العناصر التي أعيد بناؤها. إذا تم أولاً تقسيم الصور ذات الأبعاد N×N الى صور فرعية بأبعاد n×n أعيد بناؤها. إذا تم أولاً تقسيم الصور ذات الأبعاد الم×لا الى صور فرعية الحاوية على الخطأ ورمزت كل صورة فرعية بشكل مستقل، ستتأثر الصور الفرعية الحاوية على الخطأ فقط. لقد تم الحصول على الصور المبينة في الشكل 44.6 بالبدء بصورة الشكل 6)42.6 وادخال أخطاء بت عشوائية في المعاملات بمعدلات قدرها خطأ واحد لكل 1000 بت و لكل 1000 بت، على التوالي. يمكن أن توضح بنية الكتل الحاوية على أخطاء بتذكر

أن كل صورة فرعية ناتجة هي مجموع موزن weighted من صور أساسية basis. لذا، فان تغيير قيمة المعامل يؤدي الى أن تستقبل الصورة الفرعية المقابلة الوزن الخاطىء في عملية اعادة البناء reconstruction process.





الشكل 44.6 صور أعيد بناؤها و قد تم الحصول عليها بعد تقسيم الصورة إلى صور فرعية بأبعاد 16  $\times$  16 ونشر كل صورة فرعية بسلسلة نشر فورييه Fourier series expansion والاحتفاظ بال 128 حدا الأولى وتكمية العناصر بطريقة تكمية الكتلة block quantization باستعمال 2 بت للعنصر وجعل: (a) معدل أخطاء البتات  $^{-3}$  (b) معدل أخطاء البتات  $^{-2}$ .

## ترميز التحويل المتكيف adaptive transform encoding

يكن أن تجعل مرمزات التحويل تتكيف مع بنية الصورة الموضعية بالسماح بعدد من أنماط التشغيل لكل صورة فرعية، و احتيار النمط الأكثر فعالية لتلك الصورة الفرعية. ان معلومات حفظ السجلات bookkeeping التي تدل على النمط المستخدم يجب أن ترمَّز بالتوازي مع عناصر الصورة الفرعية. على العموم، ان زيادة عدد الأنماط ينقص عدد البتات اللازمة لترميز عناصر الصورة الفرعية ولكنه يزيد عدد البتات اللازمة لترميز عناصر الصورة الفرعية ولكنه يزيد عدد البتات اللازمة لترميز عناصر الصورة الفرعية ولكنه يزيد عدد البتات

نظراً لأن تحويل هوتيللينغ مواءم مع احصاءات الصور الفرعية، ربما أغرى هذا الأمر البعض على استخدام تحويلات مختلفة من أجل صور فرعية ذات احصاءات مختلفة. ولكن، اذا عزلنا الصور الفرعية للمصور ذات الاحصاءات المختلفة الى مجموعات مختلفة وحسبنا مصفوفة تحويل هوتيللينغ لكل مجموعة، سنجد أنها متشابهة بشكل ملفت للنظر. لذلك، فان استعمال تحويلات مختلفة لصور فرعية مختلفة ليس مضمونا عموما. من جهة أخرى، بعد أن يتم اختيار التحويل(سواء كان هوتيللينغ أو فوريه أو هادامارد أو الخ.) يمكن الحصول على فعالية ترميز هامة بالتكيف مع المعاملات المولدة لكل صورة فرعية. يوجد عدد من الخطط لبلوغ ذلك، ولكن جميعها أشكال مختلفة للطرق الثلاثة التالية:

الطريقة 1 احسب جميع الـ  $n^2$  معاملا (مرتبة تبعا لتفاوتاتها variances) وحدد أصغر التي من أجلها تتجاوز الكمية التالية

$$\sum_{k=1}^{\eta} \sum_{l=1}^{\eta} |y_{kl}|^2 / \sum_{k=1}^{n} \sum_{l=1}^{n} |y_{kl}|^2$$

عتبة محددة سلفا (مثل 0.99). رمِّز الـ  $\eta$  معاملا الأولى ورمز الرقم  $\eta$ . ان جعل العتبة معتمدة على متوسط لمعان الصورة الفرعية يحسن النوعية الشخصية للصورة بسبب خصائص نظام الابصار لدى الانسان التي نوقشت في القسم 3.1.2.

الطريقة 2 احسب جميع الـ  $n^2$  معاملا و احتفظ بجميع المعاملات التي تتجاوز عتبة محددة سلفاً. رمّز المعاملات المحتفظ بها ورمز ما هي المعاملات التي تم الاحتفاظ بها، مثلا، باستعمال ترميز طول—الاستمرار - الاستمرار - العتبة على متوسط اللمعان.

الطريقة 3 تستعمل أولا خوارزمية تعرف على الأنماط Tou and Gonzalez 1974 (انظر 1974) لتصنيف كل صورة فرعية في واحد من ثلاثة أنواع، تبعا للسوية الرمادية وكمية التفاصيل في الصورة الفرعية. ان الأنواع الثلاثة للصور الفرعية هي (1) عالية التفاصيل، و (2) منخفضة التفاصيل وأعتم من المتوسط و (3) عالية التفاصيل وأفتح من المتوسط. يستعمل تحويل هوتيللينغ لنقل map مصفوفة

الصورة الفرعية الى مجموعة من المعاملات. يستعمل مكمي كتلة مختلف block و نظام ترميز هافمان لاكال ترميز كل من أنواع الصور الثلاثة. من أجل الصور الفرعية عالية التفاصيل يتم الاحتفاظ بضعف ما يحتفظ به من المعاملات لنوعي الصور منخفضي التفاصيل فيستعمل مكم الصور منخفضي التفاصيل فيستعمل مكم أدق finer quantizer للصور العاتمة dark لأن نظام الابصار لدى الانسان أكثر حساسية للأخطاء في المناطق العاتمة.

لقد تم الحصول على النتائج المبينة في الشكل 45.6 بترميز التحويل المتكيف da)45.6 و (d) و (d)45.6 باستعمال الطريقة 3. لقد تم ترميز الشكلين 45.6 و (d) و و 1.3 باستعمال و 0.59 بالمتعمال و 1.3 بت للعنصر في المتوسط، على التوالي. أما من أجل صورة المرمزة الشكل 65.4 (c)45.6 الأصلية ذات الـ 64 سوية رمادية، فقد تم الحصول على الصورة المرمزة المبينة في الشكل 45.6 (d) باستعمال 68.6 بت للعنصر. تدل هذه النتائج على أن ترميز التحيف يمكن أن يعطي صورا ذات نوعية شخصية جيدة بشكل معقول بمعدلات أقل من 1 بت للعنصر.





الشكل 45.6 توضيح أداء ترميز التحويل المتكيف. (a) صورة أصلية. (b) صورة فكك ترميزها الذي تطلب 0.89 بت للعنصر. بت للعنصر. (c) صورة أصلية. (d) صورة فكك ترميزها الذي تنطلب 0.86 بت للعنصر.

# عن بعد المُوجَهة عن بعد المُركَبَات الموجهة عن بعد يرميز هجين من اجل المُركَبَات الموجهة عن بعد hybrid encoding for remotely piloted vehicles (RPVs)

ان المركبات الموجهة عن بعد RPVs هي طائرات صغيرة تعمل بدون طيار. في بعض التطبيقات العسكرية، تكون اله RPVs أكثر فعالية من الطائرات التي يقودها طيارون لأنها أصغر وبالتالي تؤمن مقطعا عرضيا راداريا أصغر وتبدو أصغر حجما من الهدف الاعتيادي. وهي أقل كلفة لأنها لاتحتاج الى أجهزة مساعدة للطيار. تقوم كاميرا تلفزيونية داخل اله RPV بالنظر الى الأمام وترسل صورة مستمرة الى الشخص الموجه pilot الذي يراقب شاشة المراقبة التلفزيونية في مكان يبعد مسافة ما عن الطائرة. يقوم الشخص بتوجيه اله RPV باشارات تحكم عن بعد. يتطلب سرب من 20 طائرة موجهة عن بعد 20 ارسالا تلفزيونيا آنياً. ويلزم ضغط معطيات هام لارسال هذا العدد من القنوات التلفزيونية بشكل موثوق reliably على مدى مسافات بعيدة بمرسلات من القنوات التلفزيونية بشكل موثوق transmistor على مدى مسافات بعيدة بمرسلات معدل ارسال للبتات عمل في بيئة معادية. تستدعي المواصفات النموذجية معدل ارسال للبتات transmistion bit rate قدره 0.5 ميغا بت في الثانية. يقابل هذا المعدل ضغط معلومات بنسبة 60 الى 1 تقريبا.

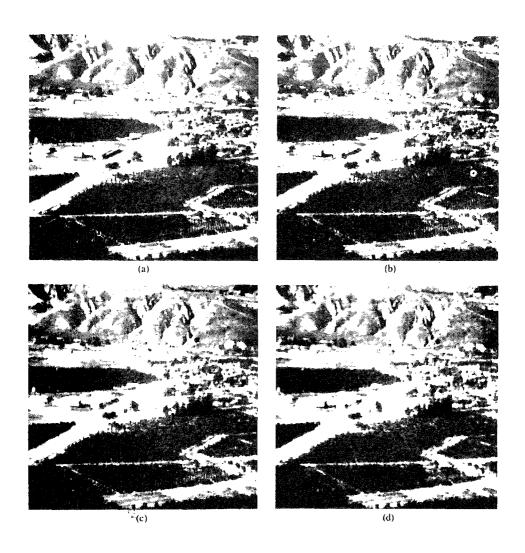
ان احدى الامكانيات هي ارسال كل عشر اطار فقط، أي، ارسال 3 أطر frames في الثانية بدلا من 30 اطارا في الثانية المولدة بالكاميرا التلفزيونية. وهذا الرقم هو حوالي العدد الأدنى من الأطر في الثانية اللازم للطيار للحفاظ على تحكم كاف بالطائرة RPV بسبب ارتجاف (jumming) الصورة بسبب تأرجح الوضع fluctuations. اذا أرسلت معلومات وضع اله RPV أيضا واستعملت للحفاظ على الصورة في مركز شاشة المراقبة، يمكن عندئذ التسامح بتخفيض معدل الاطار من 30 اطار في الثانية الى 30 أطر في الثانية مما يعطى نسبة ضغط قدرها 10 الى 1.

المشكلة الباقية هي تأمين ضغط 6 الى 1 بترميز كل اطار مرسل. مما يسمح لنا بد 1 بت للعنصر، بافتراض أن الصورة التلفزيونية الأصلية قد رقمنت باستعمال 6 بتات. يجب أن يحقق مفكك الترميز decoder ، بالطبع، شروطا حادة نوعا ما في الوزن والحجم ومتطلبات الطاقة مع كلفة معقولة، لنقل، 2 ليبرة و 25 انش مكعب و 10

واط. يمكن أن تحقق هذه المواصفات باستخدام تقنيات الترميز الهجين hybrid . واط. يمكن أن تحقق هذه المواصفات باستخدام

يضم الترميز الهجين، حسب [حبيب 1974]، مفاهيم ترميز التحويل و لكنه أسهل تنفيذا. في نظام يحقق أساسا نفس أداء ترميز التحويل ثنائي—الأبعاد، ولكنه أسهل تنفيذا. يستعمل الترميز المهجين ترميز التحويل أحادي—البعد في الاتجاه الأفقي و الـ DPCM في الاتجاه العمودي. يقسم أولا كل خط مسح الى كتل فرعية subblocks تحتوي كل منها 1×n عنصرا، يعالج كل من الأصفة الناتجة ذات الأبعاد 1×n باستعمال تحويل مثل هوتيللينغ أو هادامارد أو التجيب المتقطع، على سبيل المثال. إن الغرض من التحويل هو تخفيض الترابط رأي الحسو (redundancy) في الاتجاه الأفقي. ان خطوط المست المتنابعة عالية الترابط أبضا في معظم الصور. وهكذا، فلأن العناصر في المصفوفة الفرعية ذات الأبعاد 1×n مترابطة مع المصفوفة الفرعية المقابلة في السطر التالي، نتوقع أيضا أن تكون المعاملات الناتجة عن التحويل مترابطة. يمكن أن يتلاشي هذا الترابط بين المعاملات في الاتجاه العمودي بمفاضلة المعاملات باستعمال DPCM. نظرا لأن للمعاملات تفاوتات مختلفة أيضا. ولكي نرمز فروق المعاملات بشكل فعال، نستطيع استعمال طريقة تكمية الكتلة المذكورة في القسم السابق.

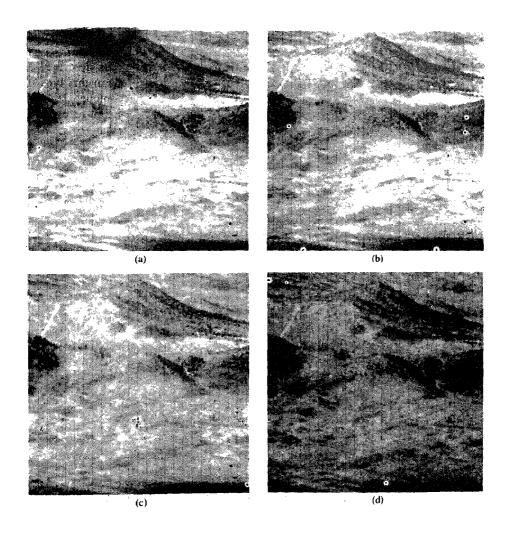
كتوضيح للترميز الهجين، تأمل الصورة المبينة في الشكن 46.6(a). لقد رمزت هذه الصورة باستعمال تحويل التجبب المتقطع (بـ n=32) في الاتجاه الأفقي و DPCM في الاتجاه العمودي. لقد عولجت الفروق باستعمال تخصيص البتات بتكمية الكتلة block quantization bit assignments المبينة في الجدول 6.6. ان الصور المفككة الترميز من أجل 2 و 1 و 0.5 بت للعنصر مبينة في الشكل 6)46.6 حتى (b). ان صورة الـ 2 بت متدنية بشكل قليل جدا بالنسبة للصورة الأصلية و صورة الـ 1 - بت أكثر تدنيا. ان صورة الـ 0.5 -بت ليست متدنية بشكل ملحوظ جدا فحسب ولكن حواف الكتلة ذات الأبعاد  $1 \times 32$ 



الشكل a)46.6) صورة أصلية. (b) حتى (d) صور فكك ترميزها باستعمال 2 و 1 و 0.5 بت للعنصر، على التوالي.

الجدول 6.6 توزيع البتات من أجل فروق المعاملات.

فروق المعاملات	2 bits	l bit	1/2 bit	
1	4	3		
2	4	3	2	
3	3	2	2	
4	3	2	1	
5	3	2 2	1	
6	3	2	1	
7	3 3 3	2	1	
8	3	2	1	
9		2	1	
10	3	2	1	
11	3	2	1	
12	2	1	1	
13	2	1	0	
14	2	1	0	
15	2	1	0	
16	2	1	0	
17	2	1	0	
18	2	1	0	
19	2	1	0	
20	1	0	0	
21	1	0	0	
22	1	0	0	
23	1	0	0	
24	1	0	0	
25	1	0	0	
26	1	0	0	
27	ī .	0	0	
28	1	0	0	
29	1	0	0	
30	î	Ō	0	
31	1	0	0	
32	î	Ō	0	



الشكل a)47.6) صورة أصلية. (b) حتى (d) صور فك ترميزها الذي تطلب 2 و 1 و 0.5 بث للعنصر، على التوالي

لقد تم اجراء نفس التجربة على الصورة المبينة في الشكل 47.6(a). الصورة التي فك ترميزها مبينة في الأشكال 47.6(b) حتى (d) من أجل 2 و 1 و 0.5 بت للعنصر، على التوالي. ان ملاحظة هذه الصور بعناية تقودنا الى نفس الاستنتاج الذي وصلنا اليه من أجل الصور المبينة في الشكل 46.6.

# use of the mapper outputs as features استعمال خروج الناقل كخصائص

ان مسألة الترميز التي ناقشناها في الأقسام السابقة تتعامل مع تكثيف المعطيات data compaction بشرط أن تكون الصورة التي أعيد بناؤها reconstructed اما نفس الصورة الأصلية أو نسخة معقولة عنها. في بعض التطبيقات مثل التعرف على الأنماط بواسطة الآلة، يحظى تكثيف المعطيات بالاهتام أيضا، ولكن القيد هنا هو فقط الحفاظ على معلومات كافية تمكن من تصنيف صورة ما، أو أجزاء منها، في واحدة من عدة فئات أو أصناف من الأنماط pattern classes. مع عدم وجود العامل البشري في الحلقة، لم تعد اعادة انتاج الصورة الأصلية مطلب أساسي. ان مسألة تخفيض تمثيل صورة ما الى عدد صغير من المركبّات components التي تحمل معلومات تمييزية وهودت ما الى عدد صغير من المركبّات components التي تحمل معلومات تمييزية وهودت العمائص الخصائص (extraction) extraction

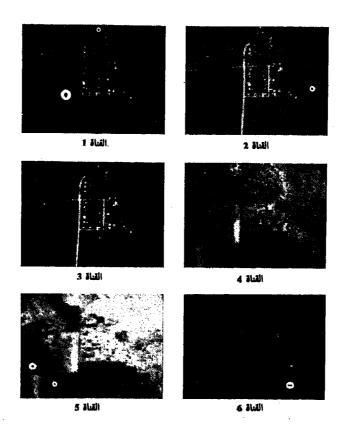
ان الكثير من تقنيات النقل mapping techniques المستعملة في ترميز الصورة والموصوفة في الشكل 1.6 غالبا ما تستعمل أيضا من أجل استخلاص الخصائص. بعبارة أخرى، في هذا النوع من التطبيق، لسنا مهتمين بشكل عام بتقنيات التكمية أو الترميز. بدلا من ذلك، تستعمل خارج الناقل mapper كخصائص يتم ادخالها مباشرة الى جهاز التعرف على الأنماط. من بين الطرائق المصاحبة عادة لعملية نقل المرمز الى جهاز التعرف على الأنماط. من بين الطرائق المصاحبة عادة لعملية نقل المرمز أجل حشف الخصائص. نوضح في هذا الفصل استعمالات هذا التحويل من أجل كشف الخصائص من الصور متعددة النطاقات الطيفية multispectral imagery المحمولة وأمن السواتل و المحاسيس متعددة النطاقات الطيفية multispectral sensors المحمولة

جوا معطيات بشكل صور لنفس المنطقة من سطح الأرض ولكنها مأخوذة من خلال نوافذ أو نطاقات طيفية. يتنوع عدد النطاقات الطيفية spectral bands ولكنها تمتد نموذجيا في المدى من 4 كما في NASA LANDSAT ، الى 20 أو أكثر بكثير من أجل المحاسيس المحمولة على طائرات (أو سفن فضائية). تبدي النطاقات الطيفية، نموذجيا، ترابطات عالية بين النطاقات sinterband correlations بين النطاقات الكبيرة المحشو redundancy بين الصور الطيفية. هذه الترابطات مقترنة مع الكميات الكبيرة من المعطيات تقود الى التفكير في طرائق فعالة لاستخلاص الخصائص من أجل أغراض التحليل من قبل المستثمر user – analysis purposes.

يبين الشكل 48.6 مثالا من بعض الصور الجوية متعددة النطاقات الطيفية. لقد أخذت هذه المعطيات بماسح متعدد النطاقات الطيفية ذي ستة نطاقات طُيِّر فوق مقاطعة Tippecanoe بولاية انديانا Indiana الأمريكية على ارتفاع متوسط قدره 3000 مقاطعة على التبع الصور الست المبينة في الشكل 48.6 لستة نطاقات في الماسح. هذه الصور التي أبعادها 48.0 عنصرا وتمثل منطقة مساحتها التقريبية 0.090 ميلا مربعا هي صور نموذجية للمعطيات متعددة النطاقات الطيفية multispectral data المأخوذة فوق مناطق زراعية. ان نطاقات الماسح التي استعملت مدونة في الجدول 7.6. بمقارنة الشكل 48.6 مع النطاقات الماسح التي استعملت الخياة النباتية التي تبدو عاتمة في الشكل 48.6 مع النطاقات في هذا الجدول نرى أن الحياة النباتية التي تبدو عاتمة في النطاقات المرئية (3,2,1) تبدو لامعة في نطاقات الأشعة تحت الحمراء (4,5). خلافا لذلك، تبدو قمم الأسطحة والطرقات فاتحة في النطاقات المرئية وعاتمة في نطاقات الأشعة تحت الحمراء.

الجدول 7.6 رقم القناة و أطوال الموجات

القباة	طول موجة النطاق (µm)		
1	0.40-0.44		
2	0.62-0.66		
3	0.66-0.72		
4	0.80-1.00		
5	1.00-1.40		
6	2.00-2.60		

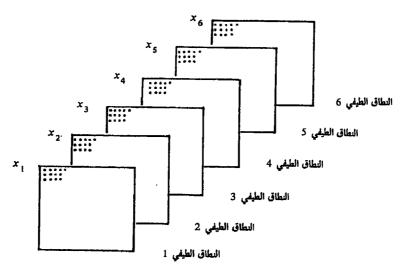


الشكل 48.6 ست صور طيفية من ماسح محمول جوا (باذن من غير تطبيقات الاستشعار عن بعد في جامعة بوردو).

افترض أن الصور الرقمية الست المبينة في الشكل 48.6 قد كدست stacked الواحدة وراء الأخرى كما هو موضح في الشكل 49.6. نستطيع عندئذ تشكيل متجه عمود واحد بستة عناصر  $x_1, x_2, ..., x_6$  كلمات عمود واحد بستة عناصر هذا المتجه لنفس النقطة على الأرض ولكنها تعطي السوية الرمادية في كل من النطاقات الستة المختلفة. اذا كان علينا أن نحسب القيمة المتوسطة لكل  $x_1$ 

والترابط بين كل زوج من العناصر  $x_i$  و  $x_i$  ضمن كامل مجال الصورة، سنجد بشكل عام أن للعناصر قيا متوسطة مختلفة و هي عناصر عالية الترابط. كما أشرنا في القسم 6.3 ، يمكن أن تقيس المركبات حول قيمها المتوسطة ويحذف ترابطها باستعمال تحويل هوتيللينغ  $y = A(x - m_x)$ 

A وصفوف mean vector population هي تجمع المتجهات المتوسطة  $m_x$  إن  $m_x$  إن  $m_x$  من المتجهات الميزة المقيسة لمصفوفة التفاوت المتبادل



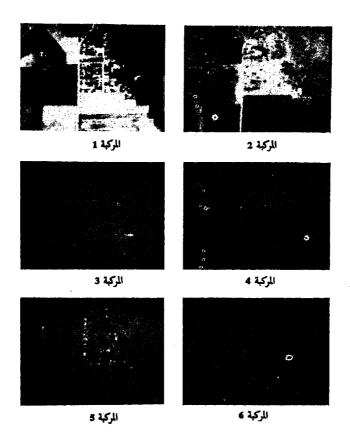
الشكل 49.6 الحصول على ستة عناصر موافقة لنفس العنصر لتشكيل متجه العنصر.

في التطبيق الحاضر كان يوجد 348 ×239 متجها x متوفراً لحساب المتجه المتوسط ومصفوفة التفاوت المتبادل. إن القيم المميزة eigenvalues مدونة في

الجدول 8.6 القيم المميزة لمصفوفة التفاوت المتبادل للصور المبينة في الشكل 48.6

λ <sub>1</sub>	$\lambda_2$	$\lambda_3$	λ <sub>4</sub>	λ <sub>5</sub>	λ <sub>6</sub>
3210	931.4	118.5	83.88	64.00	13.40

تم تطبيق التحويل المعطى بالمعادلة (5.6-1) على الصور المبينة في الشكل 48.6 ، النتائج مبينة في الشكل 56.6. تدعى هذه الصور صور المركبات الرئيسة principal لأنه، كما ناقشنا في القسم 6.3. يلتقط تحويل هوتيللينغ المركبات المتعامدة ذات التفاوت الأكبر.



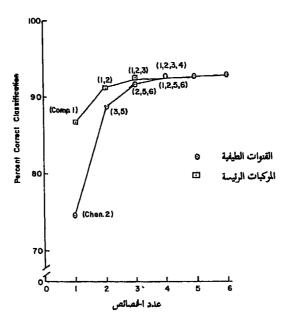
الشكل 50.6 ست صور مركبات رئيسة حسبت من المعطيات المبينة في الشكل 48.6 (باذن من غبر تطبيقات الاستشعار عن بعد، جامعة بوردو Purdue University).

ان خاصة تجميع (تحزيم) packing الطاقة لتحويل المركبة الرئيسة هذا تظهر نفسها كازدياد هام في التباين(التفاوت variance) في الصور الأولى مع تباين يتناقص على وتيرة واحدة monotonically مع تناقص تفاوتها. في الحقيقة، ان %0.97 من التفاوت محتوى في الصور الثلاث الأولى كما تشير القيم المدونة في الجدول 8.6.

ان المسألة في بعض تطبيقات التعرف على الأنماط هي تصنيف كل عنصر ميز resolution element للأرض في واحد من عدة أصناف، بناءا على تمثيله المتعدد النطاقات الطيفية X. إن الحافز للاهتام بتقنيات التعرف الآلي على الأشكال النطاقات الطيفية automatic pattern recognition هو الكميات الكبيرة من المعلومات المولدة بالماسح مع تحركه على طول مسار الرحلة الجوية. نظرا لأن كمية الحساب تعتمد على أبعاد المتجه X ، فان الاجراء المعتاد هو اختيار مجموعة فرعية من عناصر هذا المتجه للمعالجة بواسطة الآلة التعرف على الأشكال. ان مسألة اختيار أفضل مجموعة جزئية مسبقا هي بشكل عام مسألة صعبة، وهي مبنية في العادة على تركيب من (1) قياسات المسافات الاحصائية بين الأصناف statistical interclass distance measures (ناتجة عن بحث استنفاذي لجميع التركيبات المكنة من النطاقات الطيفية) لتشكيل مجموعة فرعية بأبعاد معطاة، و (2) اختيار حدسي intuitive مبني على خواص معروفة للمناطق موضع البحث.

إن نتائج تصنيف الحاسوب باستعمال أفضل مجموعة فرعية من متجه القناة principal الطيفية الأصلية X وباستعمال مجموعة فرعية من متجه المركبات الرئيسة y components vector مبينة في الشكل 51.6. لقد استعمل قانون قرار الاحتمال الأعظمي الغوصي

Gaussian maximum — likelihood decision rule [Tou and Gonzalez 1974] لتصنيف مناطق من مجموعة المعطيات في واحد من ستة أصناف (أنواع مختلفة من المزروعات والطرق والخ.). الصنف السادس كان صنف الصفر null class الذي وضعت فيه جميع النقاط التي لها احتمال تصنيف خاطىء أكبر من عتبة محددة. لقد اعتبرت جميع النقاط في هذا الصنف أخطاء واستعملت في حساب دقة التصنيف.



الشكل 51.6 دقة التصنيف مقابل عدد الخصائص باستعمال النطاقات الطيفية والمركبات الرئيسة.

ان المحور الأفقي في الشكل 51.6 هو عدد الخصائص (القنوات الطيفية أو المركبات الرئيسة) التي استعملت في التصنيف. من أجل كل عدد من الخصائص m، تم اجراء بحث استنفاذي لتحديد مجموعة الخصائص ذات الـ m عضوا التي تعطي أعلى نسبة مئوية من نتائج التصنيف الصحيح. ان الخصائص التي استعملت مدونة في المحدول 9.6. يدل هذا الجدول والشكل 51.6 على مزايا انتقاء الخصائص المتلازمة مع المركبات الرئيسة. ان الـ m مركبة الأولى هي الانتقاء الأفضل من أجل كل قيمة لـ m. بالاضافة الى ذلك، من أجل قيم m الصغيرة، تحتوي المركبات الرئيسة معلومات تمكن من فصل الأصناف class – separability informations أكثر من أية مجموعة من m قنوات طيفية أصلية.

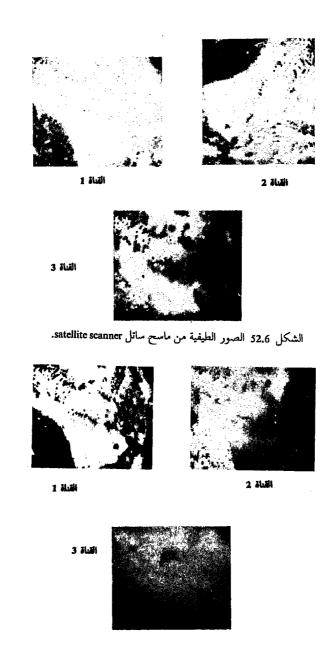
الجدول 9.6 المركبات الرئيسة والقنوات الطيفية المقابلة

n	المركبات الرئيسة	القنوات الطيفية	
1	I	2	
2	1,2	3,5	
3	1,2,3	2,5,6	
4	1,2,3,4	1,2,5,6	
5	1,2,3,4,5	1,2,3,5,6	
6	1,2,3,4,5,6	1,2,3,4,5,6	

لقد تم الحصول أيضا على نتائج مشابهة لتلك التي عرضت أعلاه مع معطيات ساتل متعددة النطاقات الطيفية satellite multispectral data. ان القنوات وعينات الصور التابعة لها من تجربة أبولو SO65 - Apollo 9 فوق الوادي الملكي Imperial vally فوق الوادي الملكي Apollo 9 - 8065 بكاليفورنيا مبينة في الجدول 10.6 والشكل 52.6 ، على التوالي. لهذه المجموعة الحاصة من المعطيات، كان x متجها ثلاثي الأبعاد . لقد تم التحويل الى المركبات الرئيسة كا في المثال السابق. ان القيم المميزة مدونة في الجدول 11.6 وصور المركبات الرئيسة مبينة في المشكل 53.6 في هذه الحالة، مثلت القيمتان المميزتان الأوليتان \$93% تقريبا من التفاوت الاجمالي.

الجدول 10.6 أرقام القنوات وأطوال الموجات المقابلة.

القناة	طول موجة النطاق (µm)
1	0.470.61
2	0.680.89
3	0.590.71



الشكل 53.6 ثلاث صور مركبات رئيسة تابعة للمعطيات المبينة في الشكل 52.6.

الجدول 11.6 القيم المميزة للصور المبينة في الشكل 52.6.

$\lambda_1$	$\lambda_2$	λ <sub>3</sub>
1689	512.5	158.0

#### 6.6 ملاحظات ختامية

ان نجاح أية تقنية ترميز يعتمد في النهاية على درجة ملاءمتها للبنية (أي، الابتعاد عن العشوائية) في صورة معينة. ان الطريقة المثالية في تصميم مرمز فعال هي تحديد بنية المعطيات أولا وبعد ذلك اختيار طريقة تلائم تلك البنية. ولكن، نظرا لأن الخصائص البنيوية غير مفهومة تماما، فان البنيوية عير مفهومة تماما، فان تصميم وتنفيذ مرمز صورة غالبا ما يتضمن قدرا من التجريب. ان المفاهيم التي عرضت في هذا الفصل هي مفاهيم تمثيلية representative للتقنيات المتوفرة التي وجد أنها ذات قيمة عملية في تطبيقات معالجة الصورة.

في بعض التطبيقات مثل ترميز الصور التي تبدي انتظاما (أنهار، أشياء من صنع الانسان، الح..)، كشيرا ماتظهر الخصائص البنيوية نفسها بشكل حدود. ان استراتيجيات الترميز التي تأخذ هذا النوع من البنية بالحسبان تتضمن طريقة ترميز الكفافات contour encoding المطورة في القسم 2.3.6. في تطبيقات أخرى مثل ترميز صور السواتل، لاتكون البنية واضحة وأجدى الطرق النموذجية هي جعل المعلومات الاحصائية في الصورة تملى اختيار تقنية الترميز.

عندما يراد استعمال الصور المرمزة في النهاية للنظر اليها وتفسيرها من قبل الانسان، يجب أن نأخذ بالحسبان الآثار التي تنتجها طريقة الترميز على نظام الابصار. ان حساسية نظام الابصار لدى الانسان للأخطاء في الصور التي أعيد بناؤها تحدمد على عوامل مثل طيف تردد الخطأ و محتوى السويات الرمادية وكمية التفاصيل في الصورة. لذلك، من الممكن زيادة فعالية مرمز ما بالسهاح

بالتشوهات التي تخفض التدني في النوعية الشخصية الى حد أدنى. ان ترميز التحويل هو مثال يتم فيه أخذ بعض مفاهيم كل من الخصائص الاحصائية statistical والنفسية البصرية psychovisual بالحسبان. تقوم مرمزات التحويل بانجاز عمليتين متتابعتين، الأولى مبنية على الاعتبارات الاحصائية والثانية على الاعتبارات النفسية البصرية. العملية الأولى هي تحويل خطي الهدف منه هو تخفيض الاعتباد الاحصائي statistical العملية الثانية هي تكمية وترميز كل من المعاملات الناتجة بشكل افرادي. يعتمد عدد البتات اللازم لترميز المعاملات على عدد سويات المكمي، التي تفرضها حساسية نظام الابصار للأثر الشخصي لخطأ المكمي.

## مراجع

يحتوي كتباب Abramson 1963 مدخلا ممتبازا لنظرية التحويل وترميز المصدر يوجد عددان خاصان من مجلة [1967,1972] Proceedings of the IEEE مما موضع اهتمام كمرجعين عامين.

تبحث مقالة Frendendal and Behrend 1960 في اجراءات لتقويم نوعية الصورة الشخصية مقالة Subjective quality (القسم 1.6). وتوجد قراءات اضافية للقسم Meyer, Rosdolsky و Wintz 1972 و Schreiber 1967 و Panter 1951 و 1977 Abramson 1973 و 1977 Greiber 1967

القسم 1.3.6 مبني على تقرير لـ Duan and Wintz 1974. المراجع لخوارزمية ترميز الكفافات المطورة في القسم 2.3.6 هي Graham 1967 و Wilkins and Wintz . 1970.من أجل مراجع اضافية للقسم 3.3.6 أنظر 3,306 من أجل مراجع اضافية للقسم 3.3.6

يمكن ايجاد قراءة اضافية للمادة المتضمنة في القسم 1.4.6 في Huang 1965 و المحكن ايجاد قراءة اضافية للمادة المتضمنة في القسم 1.4.6 في مقالة الحبيب 1974. ان (Wintz.1971) يمكن ايجاد قراءة اضافية من أجل القسم 3.4.6 في مقالة الحبيب 1974. ان كتابا لـ Clarke 1985 يبحث في ترميز التحويل هو قراءة اضافية ممتازة للمادة في القسم كتابا لـ 1985 مراجع في تحويل هوتيللينغ (القسم 5.6) انظر قسم المراجع في نهاية الفصل

## مسائل

ون y الدخل إلى المرمز بحيث تكون y الدخل إلى المرمز بحيث تكون y الدخل عشوائيا بدالة كثافة احتمال منتظمة p(y) معرفة في مدى القيم متحولا عشوائيا بدالة كثافة احتمال منتظمة y معرفة في مدى القيم متحولا عشوائيا بدالة كثافة احتمال منتظمة ويدة لكل خرج مكم .

ممكن بحيث يكون عدد الأمداء الجزئية  $2^m$ . ارمز لجدران الأمداء الجزئية الـ  $2^{m+1}$  بناءا  $B_1$ ,  $B_2$ ,..., $B_{2m}$  بـ  $B_1$ ,  $B_2$ ,..., $B_{2m}$  بناءا على معطيات هذه المسألة إعمل ما يلى:

- a) احسب متوسط تربيع أخطاء التكمية eq كدالة لـ A و m.
  - b) احسب تربيع أخطاء التكمية العظمى.
- حدد عدد البتات اللازمة لضهان أن متوسط تربيع الأخطاء كنسبة مثوية  $(c^2)$  لمتوسط طاقة الاشارة  $(c^2)$  أقل من  $(c^2)$ 
  - d) أعد (c) باستعمال تربيع الأخطاء الأعظمي.

- 2.6 افترض أن لدينا ثمانية مداخل مرمز 1,2,...,8 باحتالات 0.6 و 0.0 و 0.00 و 0.0
- رد) باستعمال المداخل المدونة في المسألة 2.6 ، ابن أنظمة الترميز التالية واحسب متوسط طول الكلمة في الحالات: (a) ترميز  $B_2 = B_1$  و (b) ترميز  $B_2 = B_1$  و  $B_1 = B_1$  و  $B_2 = B_1$  و  $B_2 = B_1$  ترميز  $B_2 = B_1$
- 4.6 افترض أن لدينا 16 مدخل مرمز ممكن  $w_k$ , k=1,2,..., 16 بالاحتمالات المعطاة بالمشلت في الشكل 12.6. اقرأ الاحتمالات من هذا الشكل متأكدا من أن مجموعها يساوي الواحد. بعدئذ، احصل على أنظمة الترميز التالية مع متوسط أطوال الكلمات التابعة لها: (a) نظام الترميز الطبيعي و (b) نظام ترميز  $B_2 = B_2$  و (c) نظام ترميز  $B_2 = B_2$ .
- 5.6 يمكن ترميز الصورة المبينة في الشكل 14.6 باستعمال الترميز الطبيعي لكل عنصر. كم هو عدد البتات اللازم من أجل الترميز الطبيعي؟ ارجع للشكل 21.6 واحسب عدد البتات اللازمة بترميز الكفافات لهذه الصورة.
- 6.6 ارجع الى الصورة في الشكل 19.6. كم هو عدد البتات اللازمة لترميز هذه الصورة باستعمال الترميز الطبيعي لكل عنصر؟ ابن مجموعة أنظمة ترميز لهذه الصورة كما في الشكل 21.6(a). دوّن خروج المرمز للاتجاهيات القليلة الأولى، كما في الشكل 21.6(d). واحسب العدد الاجمالي للبتات اللازمة.
- 7.6 افترض أننا نراقب تتابع متحولات عشوائية  $x_1, x_2, \dots$  غن نرغب في التنبؤ بقيمة المتحول العشوائي التالي  $x_i$  (لنقل أنه غير معروف حتى الآن)، بحيث تعطى لنا معرفة بقيم المتحولات العشوائية السابقة  $x_1, x_2, \dots, x_{i-1}$ . يعطى المتنبىء الخطي من الدرجة الأولى  $x_i$  ل  $x_i$  بالعلاقة  $x_i$  ما ثابتان يجب تحديدهما. افترض أن لجميع المتحولات العشوائية  $x_i$  ان مو  $x_i$  هما ثابتان يجب تحديدهما. افترض أن الحميع المتحولات العشوائية  $x_i$

نفس المتوسط  $\sigma^2 - \mathbb{E}\{(\mathbf{x}_i - \mathbf{m})^2\}$  وأن الازواج ،  $\mathbf{m} = \mathbb{E}\{\mathbf{x}_i\}$  وأن الازواج المتسابعة من المتحولات العشوائية  $\mathbf{x}_i, \mathbf{x}_{i-1}$  لها نفس معامل الترابط  $\rho = E(\mathbf{x}_i, \mathbf{x}_{i-1}) / E(\mathbf{x}_i^2)$ 

ان ايجاد المتنبىء الخطي الأمثل يكافىء ايجاد  $\alpha$  بحيث يكون متوسط تربيع أخطاء التنبؤ  $\mathbb{E}[(\hat{x}_i - x_i)^2]$  مخفضا إلى الحد الأدنى.

- a) بين أن المتنبىء الخطى الأمثل يعطى بالمعادلة (4.6-1).
- b) بين أن هذا المقدّر estimator غير منحاز، بمعنى أن (ki)=E(xi)
- c) بين أن متوسط تربيعات الخطأ الأدنى الناتج يعطى بالمعادلة (4.6-4).
- ه.6 ان خطأي الناقل mapper و المكمي quantizer متعامدان ولذلك فهما جمعيان additive . ارجع إلى المرمز المعرف في الشكل 1.6 وأهمل كتلة المرمز التي لا تعطي خطياً. افسترض أن الدخيل متجه عشيوائي  $\mathbf{x}$  بطساقة  $\mathbf{x}$   $\mathbf$

س بعد الناقل قد أهمل بعد  $E\{\|y\|^2\} = \sum_{i=1}^{n} y_i^2 = \sum_{i=1}^{n} x_i^2$  . افرض أن خرج الناقل قد أهمل بعد m < n المحمى. تهمل الحدود ذات المرتبة الأعلى.

عرف متوسط تربيع أخطاء الناقل بـ  $\|\mathbf{x}\|^2 = E\{\|\mathbf{y} - \mathbf{x}\|^2\}$  ومتوسط تربيع أخطاء المكمي واجمالي متوسط—تربيع  $\mathbf{v}$  مو خرج المكمي، واجمالي متوسط—تربيع الأخطاء  $\mathbf{e}_{7}^{2} = E\{\|\mathbf{v} - \mathbf{x}\|^2\}$  .

ه) بين أن  $\sum_{i=m+1}^{n} y_i^2$  ، أي أن خطأ الناقل يساوي الطاقة المهملة.

ه بين أنه ، نظرا لأن خطأي الناقل والمكمي غير مترابطان، فان اجمالي مربع الخطأ هو  $e_r^2 = e_m^2 + e_q^2$  .

الفصل السابع

## تجزيء الصورة

الكل يساوي مجموع أجزائه.

أوكليد Euclid

الكل أكبر من مجموع أجزائه.

ماكس ويرثيمر Max Wertheimer

التجزيء segmentation هو العملية التي تقسم صورة ما إلى الأجزاء parts أو التجزيء مو أحد أكثر العناصر أهمية في التحليل الآلي objects المكونة لها. ان التجزيء هو أحد أكثر العناصر أهمية في التحليل الآلي للصورة automated image analysis لأن الأشياء أو المكونات الأخرى التي هي موضع اهتمام تستخلص من الصورة في هذه الخطوة من أجل المعالجات اللاحقة، مثل الوصف description و التعرف recognition.

تبنى خوارزميات تجزيء الصورة عادة على احدى خاصتين أساسيتين لقيم السويات الرمادية: الانقطاع discontinuity و التشابه similarity. في الفئة الأولى من هذه الخوارزميات، نجزىء صورة ما بناءاً على تغيرات حادة في السوية الرمادية. ان المجالات الرئيسة التي هي موضع اهتام ضمن هذه الفئة هي كشف النقاط المعزولة isolated points و كشف الخطوط edges و الحواف edges في صورة ما. ان الطرق الرئيسة في الفئة الثانية من هذه الخوارزميات مبنية على التعتيب thresholding وتوسيع region splitting and و دمج المناطق region splitting and الممادية المادية المادية الصورة بناء على الانقطاع في قيم السويات الرمادية

لعناصرها أو بناءاً على تشابه هذه القيم هو مفهوم قابل للتطبيق على كل من الصور الساكنة static images و الصور الديناميكية dynamic images (المتغيرة مع الزمن). ولكن في الحالة الأخيرة كثيرا ما يمكن استعمال الحركة motion كمشعر cue قوي لتحسين أداء خوارزميات التجزيء.

#### 1.7 كشف الانقطاعات 1.7

نعرض في هذا القسم عددا من تقنيات كشف النقاط points والخطوط والخطوط والحواف edges في صورة ما. ان الطرائق التي تستعمل عادة لكشف هذه الخصائص تبنى على نوافذ حيزية صغيرة، كما ناقشنا في القسم 1.1.4. فيايلي، سنعبر عن الجانب الأيمن من المعادلة ( 1.4-3) بصيغة اتجاهية vector form. و على الرغم من أن هذا التعبير الرياضي مكافى عله في المعنى تماما، فهو أكثر ملاءمة من أجل أغراض المناقشة الحالية.

WI	w <sub>2</sub>	₩3
w <sub>4</sub>	w <sub>5</sub>	₩ <sub>6</sub>
w <sub>7</sub>	wg	Wg

الشكل 1.7 افذة عامة بقياس 3×3.

دع  $w_1$ ,  $w_2$ ,...,  $w_3$  تشل معاملات النافذة ذات الأبعاد  $x_1$ ,  $x_2$ , المبينة في الشكل 1.7 ، و  $x_1$ ,  $x_2$ , . . ,  $x_3$  تشل السويات الرمادية للعناصر الواقعة تحت النافذة في موضع اختياري في الصورة (انظر الشكل 1.4). يمكن التعبير عن المعاملات والسويات الرمادية المقابلة لها بمتجهى عمود، أي،

$$\mathbf{w} = \begin{bmatrix} w_1 \\ w_2 \\ \vdots \\ w_n \end{bmatrix} \tag{1-1.7}$$

$$\mathbf{x} = \begin{bmatrix} x_1 \\ x_2 \\ \vdots \\ x_0 \end{bmatrix} \tag{2-1.7}$$

بعدئذ، يمكن التعبير عن الحانب الأيمن من المعادلة ( 1.4 – 3) بالجداء الداخلي x و x :

$$\mathbf{w}'\mathbf{x} = w_1x_1 + w_2x_2 + \cdots + w_9x_9, \qquad (3-1.7)$$

حيث يدل الرمز ( $^{\prime}$ ) على منقول المتجه vector transposition. من الواضح أن المعادلتين ( $^{\prime}$ 1.7) و ( $^{\prime}$ 1.4) متاثلتان. لاحظ أيضا أن التعبير الرياضي  $^{\prime}$ 4 هو تعبير عام تماما وينطبق على نوافذ ذات قياسات اختيارية. فعلى سبيل المثال، من أجل نافذة بعديها  $^{\prime}$ 8 م سنعمل مع متجه به  $^{\prime}$ 9 – بعدا. ان التعبير الرياضي المعطى بالمعادلة ( $^{\prime}$ 1.7) سيستعمل خلال كامل هذا القسم.

## 1.1.7 كشف النقاط point detection

ان مسألة كشف النقاط المعزولة isolated points تطبق عمليا في ازالة الضجيج وتحليل الجزئيات. على الرغم من أننا تعرضنا لكشف النقطة باختصار في القسم 1.1.4 كتوضيح للمعالجة بالنوافذ الحيزية، فإننا ندرس هذه المسألة هنا من وجهة نظر اصطلاحية مختلفة قليلا في التعابير الرياضية و كجزء من اطار عمل أكثر عمومية في كشف انقطاعات السويات الرمادية.

-1	-1	-1
-1	8	-1
-1	-1	-1

الشكل 2.7 نافذة تستعمل لكشف نقاط معزولة مختلفة عن خلفية ثابتة.

يبين الشكل 2.7 النافذة الأساسية التي تستعمل لكشف النقاط المعزولة في صورة ما. بالرجوع إلى المناقشة التي وردت في القسم 1.1.4 ، يحرك مركز هذه النافذة

من عنصر لعنصر في الصورة. وفي كل موضع نافذة نحسب مجموع الجداءات المعطاة بالمعادلة ( 1.7 - 3)، مستعملين معاملات الشكل 2.7 ، أي، نحسب الجداء الاتجاهي vector product

$$\mathbf{w}'\mathbf{x} = -x_1 - x_2 - x_3 - x_4 + 8x_5 - x_6 - x_7 - x_8 - x_9. \tag{4-1.7}$$

في منطقة ذات سوية رمادية ثابتة ستكون نتيجة هذه العملية صفرا 0". و من جهة أخرى، إذا وقع مركز هذه النافذة على نقطة معزولة  $(x_5)$  ، ذات شدة أكبر من الخلفية background ، ستكون النتيجة عندئذ أكبر من الصفر. في التطبيق العملي، إذا كنا نهتم بالاستجابات القوية فقط، نقول ان نقطة معزولة كثافتها مختلفة بشكل مميز عن الخلفية قد كشفت إذا كان

$$|\mathbf{w}'\mathbf{x}| > T, \tag{5-1.7}$$

حيث ان T هي عتبة غير سالبة. T سالبة. T السوية الرمادية النسبية لما نرغب في تسميته نقطة أو جزئية هامة في الصورة.

#### 2.1.7 كشف الخطوط 2.1.7

ان كشف النقطة هو اجراء مباشر نوعا ما. و السوية التالية من التعقيد تشتمل على كشف الخطوط في صورة ما. تأمل النوافذ المبينة في الشكل 3.7. إذا حركت النافذة الأولى ضمن صورة ما فستكون استجابتها أكبر للخطوط (بشخانة نقطة واحدة) الموجهة أفقيا. و في حالة خلفية ثابتة، ستنتج الاستجابة العظمى عندما يمر الخط خلال الصف الأوسط في النافذة. يمكن أن يتحقق القارىء بسهولة من ذلك برسم مصفوفة واحدات بسيطة تحتوي خطا ذا سوية رمادية مختلفة (لنقل 5) يمر أفقيا عبر المصفوفة. ان اجراء تجربة مشابهة سيظهر أن النافذة الثانية ستعطي أفضل استجابة للخطوط المائلة بزاوية معلى أفضل استجابة للخطوط المائلة بزاوية معلى أفضل استجابة للخطوط المائلة بزاوية معلى أفضل استجابة للخطوط المعمودية، والنافذة الرابعة ستعطي أفضل استجابة للخطوط المائلة بزاوية معمدي أفضل استجابة المفضل لكل نافذة قد وزّن العمودية، والنافذة الرابعة ستعطي أفضل استجابة المفضل لكل نافذة قد وزّن يعامل أكبر (أي 2) من معاملات الاتجاهات الأخرى المكنة.

,				 						_	_
l	-1	-1	-1	-1	-1	2	-1	2	~1		
	2	2	2	-1	2	-1	~·I	2	-1		
	-1	-1	-1	2	1	-1		2	-1		

الشكل 3.7 نوافذ خطوط.

لتكن  $w_1, w_2, w_3, w_4$  متجهات تساعية – الأبعاد مكونة من مداخل النوافذ الأربعة المبينة في الشكل 3.7. وكما ناقشنا أعلاه في حالة نافذة النقطة، تعطى الاستجابات الافرادية لنوافذ الخطوط في أية نقطة في الصورة بالجداء  $w_i'x$  من أجل مناصر الصورة التسعة داخل منطقة النافذة. من أجل متجه معطى x ، افترض أننا نرغب في تحديد التطابق الأقرب بين المنطقة التي ندرسها واحدى نوافذ الخطوط الأربعة. نقول ان x هو الأقرب إلى النافذة رقم x إذا كانت استجابة هذه النافذة هي الأكبر. بعبارة أخرى، إذا كان

$$\mathbf{w}_i'\mathbf{x} > \mathbf{w}_j'\mathbf{x} \tag{6-1.7}$$

لجميع قيم j ، باستثناء القيمة j=1 فعلى سبيل المثال، إذا كانت  $w_i$  أكبر من  $w_j$  ، من أجل j=2,3,4 سنستنتج أن المنطقة المثلة بـ x مميزة بخط أفقي لأن النافذة الأولى هي الأكثر استجابة لهذه الخاصة.

## 3.1.7 كشف الحواف 3.1.7

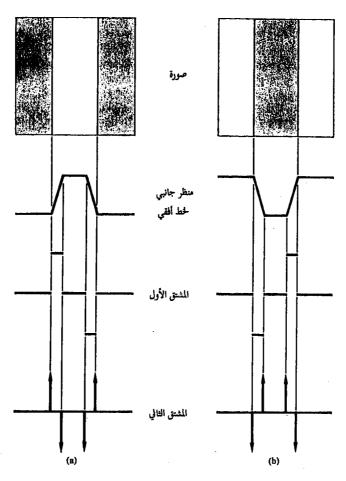
على الرغم من أن كشف النقاط و الخطوط هما بالتأكيد عنصران في أية مناقشة في التجزيء، فان كشف الحواف هو حتى الآن الطريقة الأكثر شيوعا لكشف انقطاعات ذات معنى في السويات الرمادية. ان سبب ذلك هو أن النقاط المعزولة والخطوط الدقيقة الرفيعة ليست متكررة الحدوث في أغلب التطبيقات ذات الأهمية العملية.

## التشكيل الأساسي basic formulation

نعرف الحافة بأنها الحد بين منطقتين لهما خصائص سويات رمادية متميزة نسبيا. في المناقشة التالية، يفترض أن المناطق موضع البحث متجانسة بما فيه الكفاية بحيث يمكن تحديد الانتقال بين منطقتين على أساس الانقطاعات في السويات الرمادية وحدها. عندما لايكون هذا الافتراض صحيحا، تكون تقنيات التجزيء المناقشة في القسمين 3.7 و 4.7 عادة أكثر قابلية للتطبيق من كشف الحواف.

ان الفكرة التي تتضمنها أغلب تقنيات كشف-الحواف أساساً هي حساب عامل مؤثر مشتق موضعي. يمكن توضيح هذا المفهوم بسهولة بمساعدة الشكل 4.7. يين الجزء (a) من هذا الشكل صورة تحتوي جسما بسيطا فاتحا على خلفية عاممة، ومنظرا جانبيا على طول خط مسح أفقي للصورة، و المشتقان الأول والثاني للمنظر الجانبي. لاحظ من المنظر الجانبي أن الحافة (الانتقال من العاتم إلى الفاتح) قد نمذجت بانحدار مستعدلا من تغير حاد (فجائي) في السوية الرمادية. ان هذا النموذج تمثيلي representative لحقيقة أن الحواف في الصورة الرقمية تنبش عادة بنتيجة الاعتيان.

ان المشتق الأول لحافة نمذجت بهذه الطريقة هو صفر في جميع المناطق ذات السوية الرمادية الثابتة، ويأخذ قيمة ثابتة خلال انتقال السوية الرمادية الثانية، ويأخذ قيمة ثابتة خلال انتقال السوي الصفر في جميع المناطق، باستثناء بداية ونهاية انتقال السوية الرمادية. بناءا على هذه الملاحظات وعلى المفاهيم الموضحة في الشكل 4.7، يتضح أنه يمكن استخدام مقدار المشتق الأول لكشف وجود حافة ما، في حين أن اشارة المشتق الثاني يمكن أن تستخدم لتحديد ما إذا كان عنصر حافة ما يقع في جهة عاتمة المشكل (الخلفية) أو في جهة فاتحة من أجل للحافة. ان اشارة المشتق الثاني في الشكل 4.7 (a)، على سبيل المثال ، موجبة من أجل العناصر الواقعة على الجانب العاتم من الحافتين الأمامية (المتقدمة) و (الخلفية) للجسم، في حين أن الاشارة سالبة من أجل العناصر الواقعة على الجانب الفاتح من هاتين أبل الإشارة تعليقات مشابهة على حالة جسم عاتم على خلفية فاتحة ، كما هو مبين الخافتين. وتنطبق تعليقات مشابهة على حالة جسم عاتم على خلفية فاتحة ، كما هو مبين الخافتين. وتنطبق تعليقات مشابهة على حالة جسم عاتم على خلفية فاتحة ، كما هو مبين الخافتين.



الشكل 4.7 عناصر كشف الحواف بواسطة العوامل المؤثرة المشتقة.
(a) جسم فاتح على خلفية عاتمة. (b) جسم عاتم على خلفية فاتحة (عن Fu, Gonzalez and Lee 1987).

في الشكل 4.7(b). من المهم أن نشير إلى أن تفسيرات مماثلة تصح بخصوص اشارة . المشتق الثاني في هذه الحالة. على الرغم من أن المناقشة قد اقتصرت حتى الآن على منظر جانبي أفقي أحادي-البعد، فان مناقشة مشابهة تنطبق على حافة بأي اتجاه في صورة

ما، اذ نعرّف ببساطة منظرا جانبيا متعامدا مع اتجاه الحافة في أية نقطة معطاة ونفسر النتائج كما في المناقشة السابقة. كما سنبين في القسمين التاليين، يمكن الحصول على المشتق الأول في أية نقطة من الصورة باستعمال مقدار التدرج في تلك النقطة، في حين أن المشتق الثاني يعطى بمعامل لابلاس Laplacian.

## عوامل التدرج المؤثرة gradient operators

لقد قدمنا باختصار مفهوم استعمال التدرج لمفاضلة الصورة في القسم 1.4.4. في المناقشة الحالية، نوسع الأفكار المقدمة في ذلك القسم ونطور تمثيلا اتجاهيا vector في المناقشة الحالية، نوسع الأفكار المقدمة في هذا القسم. كما أشرنا في representation منسجما مع التعايير الرياضية المستخدمة في هذا القسم. كما أشرنا في القسم 1.4.4، يعرف تدرج صورة ما (x, y) في الموضع (x, y) بالمتجه ثنائي الأبعاد

$$\mathbf{G}[f(x, y)] = \begin{bmatrix} G_x \\ G_y \end{bmatrix} = \begin{bmatrix} \frac{\partial f}{\partial x} \\ \frac{\partial f}{\partial y} \end{bmatrix}$$
 (7-1.7)

من المعروف جيدا من التحليل الاتجاهي vector analysis أن المتجه G يشير باتجاه المعدل الأعظمي لتغير f في الموضع (x, y). من أجل كشف الحواف، نحن نهتم بمقدار هذا المتجه، الذي يشار اليه عادة بالتدرج gradient ويرمز له بـ G[f(x, y)] حيث

$$G[f(x, y)] = [G_x^2 + G_y^2]^{1/2}$$
 (8-1.7)

ان هذه الكمية تساوي المعدل الأعظمي لتزايد f(x, y) بوحدة المسافة في اتجاه G. من الشائع عمليا تقريب التدرج باستخدام القيم المطلقة:

$$G[f(x, y)] \approx |G_x| + |G_y|.$$
 (9-1.7)

ان هذا التقريب أسهل كثيرا في التنفيذ، خصيصا عندما يستخدم كيان صلب مكرس لهذا الغرض.

G ان اتجاه متجه التدرج هو أيضا كمية مهمة. بجعل  $\alpha(x, y)$  تمثل زاوية اتجاه  $\alpha(x, y)$  أن vector analysis في الموضع  $\alpha(x, y)$  ، ينتج من التحليل الاتجاهي

$$\alpha(x, y) = \tan^{-1}(G_y/G_x),$$
 (10-1.7)

حيث تقاس الزاوية بالنسبة للمحور الاحداثي x. و كما ناقشنا في القسم 1.2.7، فان المعادلة (1.7-10) هي أداة مفيدة لربط نقاط الحافة التي قد كشفت باستعمال التدرج.

لاحظ من المعادلة (7.1-7) أن حساب التدرج مبني على الحصول على المشتقين الجزئين و  $\partial f \partial x$  و  $\partial f \partial x$  في موضع كل عنصر. توجد عدة طرق المشتقين الجزئين و  $\partial f \partial x$  و العمل ذلك. ان احدى الطرق هي استعمال فروق الدرجة—الأولى differences في منطقة مساحتها  $2 \times 2$  ، كما فعلنا في المعادلات (4.4-3) حتى النقطة مساحتها  $2 \times 2$  ، كما فعلنا في المعادلات (3.4-4) حتى النقطة أكثر تعقيدا بقليل وتشمل جوارا مساحته  $3 \times 3$  حول النقطة ( $3 \times 3$ ) و ذلك كما يلي: خد منطقة الصورة الفرعية المبينة في الشكل  $3 \times 3$  السويات الموضع ( $3 \times 3$ ). و خلك كما يلي: عرف مركبة متجه التدرج في الاتجاه  $3 \times 3$  يلي الرمادية لجيران ( $3 \times 3$ ) الثمانية. نعرف مركبة متجه التدرج في الاتجاه  $3 \times 3$ 

$$G_x = (x_7 + 2x_8 + x_9) - (x_1 + 2x_2 + x_3)$$
 (11-1.7)  
 $(x_1 + 2x_2 + x_3)$  (21-1.7)

$$G_v = (x_1 + 2x_6 + x_9) - (x_1 + 2x_4 + x_7).$$
 (12-1.7)

ان لاستعمال المنطقة ذات الأبعاد 3×3 في حساب التدرج مزية هي زيادة التنعيم مقارنة بالعوامل المؤثرة ذات الأبعاد 2×2 ، مما يميل إلى جعل عمليات التدرج أقل حساسية للضجيج. ان توزين weighting العناصر الأقرب إلى المركز بـ 2 ينتج تنعيا اضافيا أيضا (انظر المسألة 2.7). من الممكن تأسيس حسابات التدرج ضمن جوارات أكبر (Kirsch 1971). ولكن الجوارات ذات الأبعاد 3×3 هي حتى الآن الأكثر شيوعا (استخداما) بسبب مزايا السرعة في الحساب ومتطلبات الكيان الصلب المتواضعة.

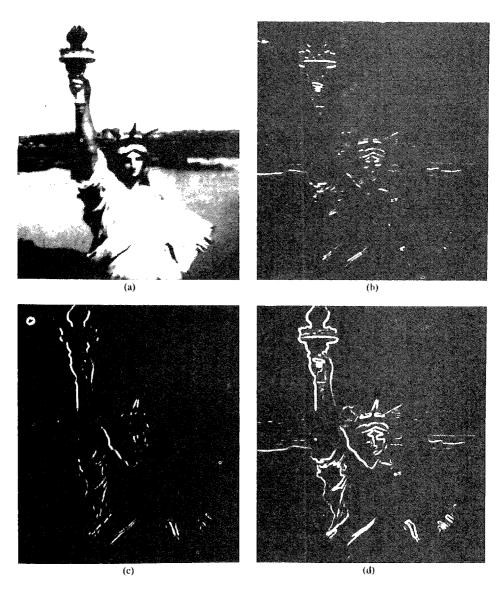
ينتج من المناقشة التي أجريت في القسمين السابقين أن  $G_x$  ، كما أعطى بالمعادلة (b)5.7 من المناقشة التي أجريت في القسمين السافذة المبينة في الشكل (b)5.7 و بشكل مشابه، يمكن حساب  $G_y$  باستخدام النافذة المبينة في الشكل (c)5.7 يشار إلى هاتين النافذة ين عموما بعاملي صوبل المؤثرين Sobel operators. يتم دمج استجابتي هذين

العاملين المؤثرين في أية نقطة (x, y) باستخدام المعادلة (1.7 -8) أو المعادلة (1.7 -9) للحصول على التدرج في تلك النقطة. ان طي هاتين النافذتين مع صورة ما (x, y) يعطي التدرج في جميع نقاط الصورة، و يشار إلى النتيجة عادة بصورة التدرج gradient image. توجد طرق عديدة لتوليد صورة التدرج مبنية على استخدام عتبات، كما نوقش في القسم 1.4.4.

		X <sub>1</sub>	X2	×ι		
		X4	<i>x</i> 5	<i>x</i> <sub>6</sub>		
		x7	<i>x</i> 8	<i>X</i> 9		
	•		(a)		•	
-1	-2	-1		-1	0	1
0	0	0		-2	0	2
ı	2	1		-1	0	-
(b)					(c)	

الشكل 3.5.7 (a) منطقة صورة ذات أبعاد (b)  $3 \times 3$ . نافذة تستعمل لحساب  $G_x$  في نقطة المركز للمنطقة ذات الأبعاد  $G_y$  نافذة لحساب  $G_y$  في تلك النقطة. كثيراً مايشار إلى هاتين النافذتين بعاملي صوبل المؤثرين .Sobel operators

مثال: يبين الشكل  $G_x$  صورة أصلية والشكل  $G_x$  نتيجة حساب  $G_x$  بالنافذة المبينة في الشكل  $G_x$ . لاحظ قوة الاستجابة للحواف الأفقية مثل ضفة النهر في الخلفية، وضعف الاستجابة للحواف العمودية مثل تلك الحواف في الذراع الممدودة. لقد بين الشكل  $G_x$ 0 النتيجة المعاكسة عندما حسب  $G_y$  باستعمال النافذة المبينة في الشكل  $G_x$ 0. ان صورة التدرج التي حصل عليها بدمج النتيجتين بالمعادلة في الشكل  $G_x$ 0. ان صورة التدرج التي حصل عليها بدمج النتيجتين بالمعادلة  $G_x$ 0.



الشكل (a)6.7 صورة أصلية. (b) نتيجة تطبيق النافذة المبينة في الشكل (b)5.7 للحصول على (c) .  $G_x$  استعمال النافذة المبينة في الشكل (c)5.7 للحصول على  $G_y$  . (c) صورة التدرج الكاملة التي حصل عليها باستعمال المعادلة (1.7 – 8).

من المهم أن نشير إلى أن المعادلتين (1.7 – 11) و (1.7 – 12) هما حالتان خاصتان من التشكيل العام المعطى بالمعادلة (1.7 – 3). وهكذا، فإذا كان  $_{\rm X}$  متجها يحتوى قيم العناصر المبينة في الشكل 5.7( $_{\rm X}$ ) يكون لدينا

$$G_{\mathbf{x}} = \mathbf{w}_{1}'\mathbf{x} \tag{13-1.7}$$

•

$$G_{y} = \mathbf{w}_{2}^{\prime}\mathbf{x}, \qquad (14-1.7)$$

حيث ان  $w_1$  و  $w_2$  هما المتجهان اللذان يحتويان على معاملات النافذتين المبينتين في الشكلين  $w_1$  و (b) 3.7 على التوالي. يصبح التشكيلان اللذان أعطيا بالمعادلتين  $w_2$  على التوالي.  $w_3$  على التوالي.  $w_4$  التشكيلان اللذان أعطيا بالمعادلتين  $w_4$  (1.7) و  $w_4$  عندئذ

$$G[f(x, y)] = [(\mathbf{w}_1'\mathbf{x})^2 + (\mathbf{w}_2'\mathbf{x})^2]^{1/2}$$
 (15-1.7)

•

$$G[f(x, y)] \approx |\mathbf{w}_1'\mathbf{x}| + |\mathbf{w}_2'\mathbf{x}|,$$
 (16-1.7)

اللذان هما، بالطبع، مكافئان تماما لهاتين المعادلتين.

## عامل لابلاس المؤثر Laplacian operator

ان عامل لابلاس هو عامل مؤثر مشتق من الدرجة الثانية ويعرف كما يلي

$$L[f(x, y)] = \frac{\partial^2 f}{\partial x^2} + \frac{\partial^2 f}{\partial y^2}.$$
 (17 – 1.7)

بالرجوع إلى الشكل 3.7.(a) ، نعرف عامل لابلاس الرقمي Laplacian digital في نقطة ما (x, y) ذات سوية رمادية  $x_5$  كما يلى

$$L[f(x, y)] = x_2 + x_4 + x_6 + x_8 - 4x_5.$$
 (18-1.7)

يمكن تنفيذ هذه العملية بطي النافذة المبينة في الشكل 7.7 مع صورة ما (بر برره. إذا تم تشكيل متجه w من معاملات هذه النافذة، نستطيع التعبير عن معامل لابلاس بشكل اتجاهي vector form:

$$L[f(x, y)] = \mathbf{w}'\mathbf{x},$$
 (19-1.7)

حيث للمتجه x نفس المعنى الذي أخذه في الأقسام السابقة. لاحظ أن عامل

لابلاس يساوي الصفر في المناطق الثابتة وفي قسم الانحدار ramp tection للحافة، كما هو متوقع من مشتق الدرجة الثانية.

0	1	0
ı	-4	l
0	l	Q

الشكل 7.7 نافذة تستعمل لحساب معامل لابلاس.

على الرغم من أن معامل لابلاس، وكما أشرنا في القسم 3.1.7 ، يستجيب للانتقالات في الشدة intensity فانه نادرا مايستخدم وحده لكشف الحافة. ان السبب هو أنه نتيجة كون معامل لابلاس عاملا مؤثرا من الدرجة الثانية، فانه نموذجيا حساس بشكل غير مقبول للضجيج. وهكذا فان هذا العامل المؤثر يستعمل للدور الثانوي الذي يخدم فيه ككاشف لتأسيس ما إذا كان عنصر معين يقع في الجانب العاتم أو في الجانب الفاتح للحافة. ان فائدة هذه الخاصة موضحة في القسم 3.5.7.

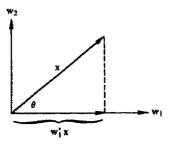
## 4.1.7 الكشف المركب 4.1.7

ان للتشكيل الاتجاهي vector formulation لكشف النقاط والخطوط والحواف مزية هامة هي أنه يمكن أن يستعمل لكشف تركيبات combinations من هذه الحواف مزية هامة هي أنه يمكن أن يستعمل لكشف تركيبات (Frei and Chen 1977). هذه الحصائص باستعمال تقنية طورها فري وتشين عام 1977 (مركبات فقط. في لكي نرى كيف يمكن انجاز ذلك، لنأخذ نافذتين افتراضيتين بثلاث مركبات فقط. في هذه الحالة، سيكون لدينا متجهان  $w_1$   $w_2$   $w_3$  ثلاثيا—الأبعاد. بافتراض أن  $w_4$   $w_5$  معامدان ومقيسان بحيث يكون مطالهما مقدار الوحدة unity magnitude ، يكون لدينا أن الحدين  $w_1$   $w_2$   $w_3$  يساويان مسقطي  $w_3$  على المتجهين  $w_4$   $w_5$   $w_5$   $w_6$  التوالي. ينتج ذلك من حقيقة أنه، من أجل  $w_4$ 

$$\mathbf{w}_{1}^{\prime}\mathbf{x} = \|\mathbf{w}_{1}\| \|\mathbf{x}\| \cos \theta,$$
 (20-1.7) حيث ان  $\theta$  هي الزاوية بين المتجهين. ولأن  $\|\mathbf{w}_{1}\| = \|\mathbf{w}\|$  يكون،

$$\|\mathbf{x}\|\cos\boldsymbol{\theta} = \mathbf{w}_1'\mathbf{x}, \qquad (21-1.7)$$

الذي هو مسقط x على  $w_1$  (انظر الشكل 8.7). هذا وتسري تعليقات مشابهة على  $w_2$ .



الشكل 8.7 مسقط x على متجه الوحدة w<sub>1</sub>.

افترض الآن أن لدينا ثلاثة متجهات متعامدة مطالها يساوي مطال الوحدة،  $w_1'x$ ,  $w_2'x$ ,  $w_1$  تقابل ثلاث نوافذ كل منها ذات ثلاث نقاط. ان الجداءات,  $w_1$ ,  $w_2$ ,  $w_3$  ثلا  $w_1$ ,  $w_2$ ,  $w_3$  تقابل ثلاث نوافذ كل منها ذات ثلاث نقاط. ان الجداءات  $w_1$ ,  $w_2$ ,  $w_3$  ثمثل مساقط  $w_3$  على المتجهات  $w_3$ ,  $w_4$ ,  $w_5$ ,  $w_5$ ,  $w_6$  أن النافذتين 1 و 2 هما من أجل الخطوط وأن النافذة  $w_3$  هي من أجل النقاط. من المعقول أن نسأل: هل المنطقة الممثلة بـ  $w_3$  أكثر شبها بخط أم أكثر شبها بنقطة? نظرا لأنه يوجد متجهان يمثلان خطوطا ونحن مهتمون فقط بخصائص الخطوط لـ  $w_3$ , وليس بنوع الخط الموجود، نستطيع أن نجيب على هذا السؤال باسقاط  $w_3$  على الحيز الفرعي لـ  $w_4$  (الذي نستطيع أن نجيب على هذا السؤال باسقاط  $w_3$  على الحيز الفرعي لـ  $w_4$  واحد من هذين المسقطين ستدلنا على ما إذا كان  $w_3$  أقرب إلى حيز الخط أم إلى حيز النقطة الفرعيين . يمكن أن نرى ذلك من الترتيب الهندسي المبين في الشكل 9.7 ان مقدار مسقط  $w_3$  المستوي المحدد بـ  $w_4$  و  $w_5$  يعطى بالكمية التالية

$$[(w_1'x)^2 + (w_2'x)^2]^{1/2}$$

في حين أن مقدار x (أي القيمة اللااتجاهية norm) يكون  $\|\mathbf{x}\| = \{(\mathbf{w_1'x})^2 + (\mathbf{w_2'x})^2 + (\mathbf{w_3'x})^2\}^{1/2}.$  (22-1.7) ان الزاوية بين x ومسقطه هي

$$\theta = \cos^{-1} \left\{ \frac{\left[ (\mathbf{w}_{1}'\mathbf{x})^{2} + (\mathbf{w}_{2}'\mathbf{x})^{2} \right]^{1/2}}{\left[ (\mathbf{w}_{1}'\mathbf{x})^{2} + (\mathbf{w}_{2}'\mathbf{x})^{2} + (\mathbf{w}_{3}'\mathbf{x})^{2} \right]^{1/2}} \right\}$$

$$= \cos^{-1} \left\{ \frac{\left[ \sum_{i=1}^{2} (\mathbf{w}_{i}'\mathbf{x})^{2} \right]^{1/2}}{\left[ \sum_{j=1}^{3} (\mathbf{w}_{j}'\mathbf{x})^{2} \right]^{1/2}} \right\}$$

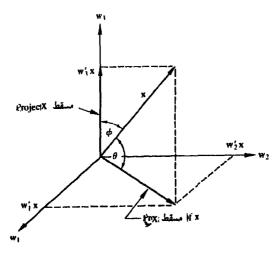
$$= \cos^{-1} \left\{ \frac{1}{\|\mathbf{x}\|} \left[ \sum_{i=1}^{2} (\mathbf{w}_{i}'\mathbf{x})^{2} \right]^{1/2} \right\},$$
(23-1.7)

حيث أتت الخطوة الأخيرة من المعادلة (1.7 – 22). إن تطويراً مشابهاً سيؤدي إلى زاوية المسقط على حيز  $w_3$  الفرعى:

$$\phi = \cos^{-1} \left\{ \frac{1}{\|\mathbf{x}\|} \left[ \sum_{i=3}^{3} (\mathbf{w}_{i}'\mathbf{x})^{2} \right]^{1/2} \right\}$$

$$= \cos^{-1} \left\{ \frac{1}{\|\mathbf{x}\|} |\mathbf{w}_{i}'\mathbf{x}| \right\}.$$
(24-1.7)

وهكذا، إذا كانت ه< 0، نقول ان المنطقة الممثلة بـ x أقرب إلى خواص الحط منها إلى خواص الخط منها إلى خواص النقطة.



الشكل 9.7 مساقط x على حيز فرعي (مستو) محلد بـ w و ي ، وعلى الحيز الفرعي w.

إذا أخذنا الآن نافذة أبعادها 3×3 ، تصبح المسألة تساعية – الأبعاد ما dimensional ولكن المفاهيم المذكورة أعلاه ماتزال سارية المفعول. ولكننا نحتاج إلى متجهات متعامدة تساعية –الأبعاد لنكوّن أساساً كاملاً. ان المتجهات المبينة في الشكل 10.7 (اقترحت من قبل فري وتشين 1977) تحقق هذا الشرط. النوافذ الأربعة الأولى ملائمة لكشف الحواف، والمجموعة الثانية من أربع نوافذ تمثل نوافذ ملائمة لكشف الخطوط، والنافذة الأخيرة (أضيفت لتكميل الأساس) تتناسب مع متوسط العناصر في منطقة الصورة التي تقع النافذة فيها.

فإذا أعطينا منطقة أبعادها  $3\times3$  ممثلة بـ x ، وبافتراض أن المتجهات  $w_i$  ، من i=1,2,...,9 أجل i=1,2,...,9

$$p_e = \left[\sum_{i=1}^4 (\mathbf{w}_i' \mathbf{x})^2\right]^{1/2} \tag{25-1.7}$$

$$p_{i} = \left[\sum_{i=5}^{8} (\mathbf{w}_{i}'\mathbf{x})^{2}\right]^{1/2}$$
 (26-1.7)

,

$$p_a = |\mathbf{w}_9'\mathbf{x}|, \tag{27-1.7}$$

حيث ان  $p_e, p_l, p_a$  هي مقادير مساقط x على كل من حيز الحافة والخط والحيز الفرعى المتوسط، على التوالى.

بشكل مشابه، لدينا

$$\theta_e = \cos^{-1} \left\{ \frac{1}{\|\mathbf{x}\|} \left[ \sum_{i=1}^4 (\mathbf{w}_i' \mathbf{x})^2 \right]^{1/2} \right\}$$
 (28 – 1.7)

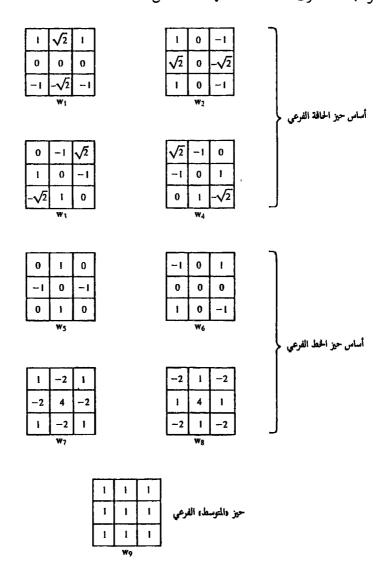
$$\theta_i = \cos^{-1} \left\{ \frac{1}{\|\mathbf{x}\|} \left[ \sum_{i=1}^{8} (\mathbf{w}_i' \mathbf{x})^2 \right]^{1/2} \right\}$$
 (29-1.7)

•

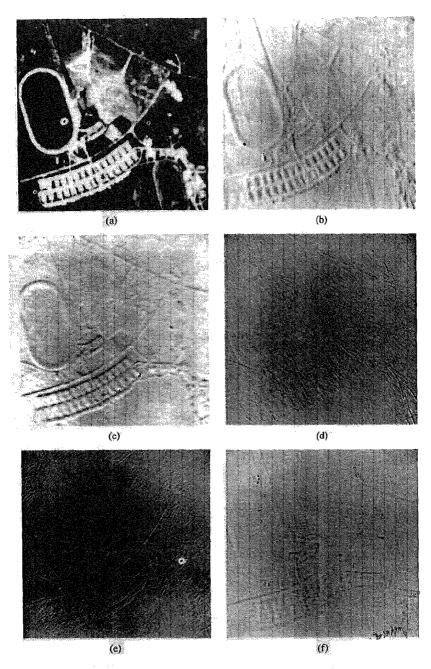
$$\theta_a = \cos^{-1} \left\{ \frac{1}{\|\mathbf{x}\|} |\mathbf{w}_0'\mathbf{x}| \right\}, \tag{30-1.7}$$

حيث ان  $\theta_{\rm e}, \theta_{\rm l}, \theta_{\rm s}$  هي الزوايا بين x ومساقطه على كل من حيز الحافة والخط والمتوسط

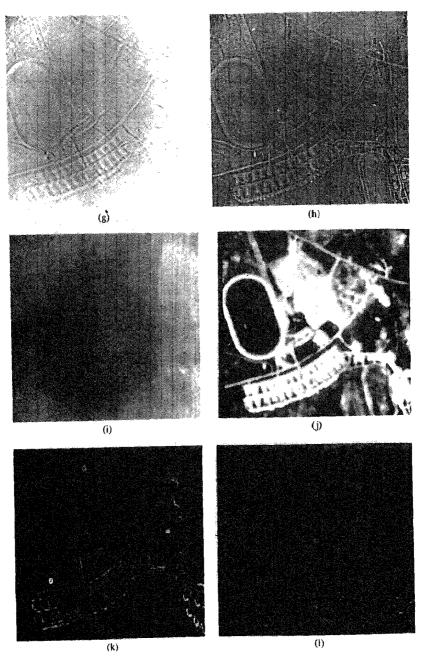
الفرعي، على التوالي. ان هذه المفاهيم قابلة بالطبع للتمديد مباشرة لتشمل الأسس والأبعاد الأخرى، مادامت متجهات الأساس base vectors متعامدة.



الشكل 10.7 نوافذ متعامدة (عن فري وتشين 1977).



الشكل 11.7 (a) صورة أصلية. (b) حتى (f) المساقط على الحيز الفرعي لكل من  $w_1, w_2, w_3, w_4, w_5$  التوالي. (عن هال وفري 1977).



الشكل 11.7 (تتمة) . (ع) حتى (j) هي المساقط على كل من حيز وw<sub>6</sub>, w<sub>7</sub>, w<sub>8</sub>, w<sub>9</sub> ، الفرعي. (k) هو مقدار المسقط على حيز الخط الفرعي (عن هال وفري 1976).

مثال: ان الصورة المبينة في الشكل 11.7 هي صورة جوية لموقع ملعب (ستاد) كرة قدم، أبعاده 256×256 . ان الأشكال 11.7(d) حتى 11.7(j) هي مقادير المساقط على متجهات الأساس الافرادية التي تم الحصول عليها باستعمال كل من النوافذ المبينة في الشكل 10.7 ، حيث يحسب لكل موضع للنافذة رقم i قيمة عنصر تساوي |w|/w|. يبين الشكل 11.7(k) مقادير المساقط على حيز الحافة الفرعي [المعادلة (1.7–25)]، وقد تم تكوين الشكل 11.7(l) من مقادير المساقط على حيز الحط الفرعي [المعادلة (1.7–26)] . في هذا المثال، تم الحصول على أفضل النتائج من مساقط حيز الحافة، مما! يشير إلى محتوى عال من الحواف في الصورة.

## 2.7 ربط الحواف و كشف الحدود edge linking and boundary detection

ان التقنيات التي نوقشت في القسم السابق تكشف انقطاعات الشدة intensity discontinuities. مثالباً، ستعطي هذه التقنيات العناصر الواقعة على الحدود بين الأجسام والخلفية فقط. عمليا ، يندر أن تميز هذه العناصر حافة ما بشكل كامل بسبب الضجيج والانقطاعات في الحدود بسبب الانارة غير المنتظمة وآثار أحرى تقدم انقطاعات زائفة في الشدة. ولذلك فان خوارزميات كشف الحواف تتبع نموذجيا بربط الحواف وباجراءات كشف حواف أخرى تصمم خصيصا لتجميع نقاط الحافة في محموعة مفيدة من حدود الحسم. سندرس في الأقسام التالية عدة تقنيات ملائمة لهذا الغرض.

## 1.2.7 التحليل الموضعي 1.2.7

إن إحدى أبسط الطرق لربط linking نقاط الحافة هي تحليل خواص العناصر في جوار صغير (3×3 أو 5×5 على سبيل المثال) حول كل نقطة (x, y) من الصورة خضعت لعملية كشف الحافة. فتربط جميع النقاط المتشابهة (كما هو معرف أدناه) ، لتكوين حافة من عناصر تشترك في بعض الخصائص العامة. ان الحاصتين الرئيستين

اللتين تستعملان لتأسيس تشابه عناصر الحافة في هذا النوع من التحليل هما (1) قوة استجابة عامل التدرج المؤثر المستعمل لانتاج عنصر الحافة، و (2) اتجاه التدرج. تعطى الخاصة الأولى بقيمة G[f(x, y)] كما هي معرفة بالمعادلة (1.7) أو المعادلة (7.7). لذلك، نقول ان عنصر حافة احداثييه ((x, y)) ويقع في جوار ((x, y)) المحدد مسبقاً، مشابه في المقدار للعنصر الواقع في ((x, y)) إذا كان

 $|G|f(x, y)| - G[f(x', y')]| \le T,$  (1-2.7)

حيث ان T هي عتبة.

يعطى اتجاه متجه التدرج بالمعادلة (1.7-10). نقول عندئذ ان عنصر حافة ما يقع في جوار (x', y') المحدد مسبقا، له زاوية شبيهة بزاوية العنصر الواقع في (x', y') إذا كان

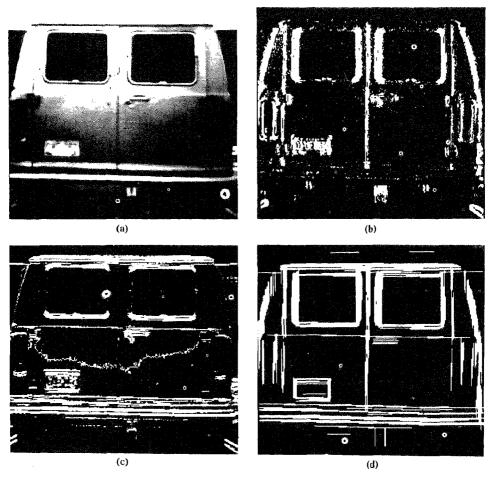
$$|\alpha(x, y) - \alpha(x', y')| < \Lambda. \tag{2-2.7}$$

حيث ان A هي عتبة زاوية. لاحظ أن اتجاه الحافة في (x, y) هو، في حقيقة الأمر، عموديا على اتجاه متجه التدرج في تلك النقطة. ولكن، لغرض مقارنة الاتجاهات، تعطى المعادلة (2.7-2) نتائج مكافئة.

بناءاً على المفاهيم السابقة، نربط نقطة ما في جوار (x, y) محدد مسبقا مع العنصر الواقع في (x, y) إذا كان معيارا المقدار والاتجاه محققين. تكرر هذه العملية من أجل كل موضع في الصورة محتفظين بسجل للنقاط المربوطة مع تحرك مركز الجوار من عنصر لآخر. ان أحد اجراءات حفظ السجلات البسيطة هو أن نخصص سوية رمادية محتلفة لكل مجموعة من عناصر الحافة المربوطة.

مثال: كتوضيح للاجراء السابق، تأمل الشكل 12.7 (a)، الذي يبين صورة لمؤخرة عربة. ان الهدف هو ايجاد مستطيلات بأبعاد تجعلها مرشحات candidates ملائمة للوحات الرخصة licence plates. يمكن تكوين هذه المستطيلات بكشف الحواف الأفقية والعمودية القوية. يبين الشكلان 12.7 (d) و (c) المركبات الأفقية والعمودية لعاملي صوبل المؤثرين المناقشين في القسم السابق. أخيرا، يبين الشكل 12.7 (d) نتائج

ربط جميع النقاط التي كانت قيمة تدرجها أكبر من 25 وفي نفس الوقت لم تختلف قيم تدرجها بأكثر من 15. لقد تم تكوين الخطوط الأفقية بتطبيق هذين المعيارين بشكل تتابعي على كل صف من الشكل من الشكل عين أن مسحا تتابعيا لأعمدة الشكل من التحل الخطوط العمودية. وتألفت المعالجة الاضافية من ربط أقسام الحواف المفصولة بانقطاعات صغيرة وحذف الأقسام القصيرة المعزولة.

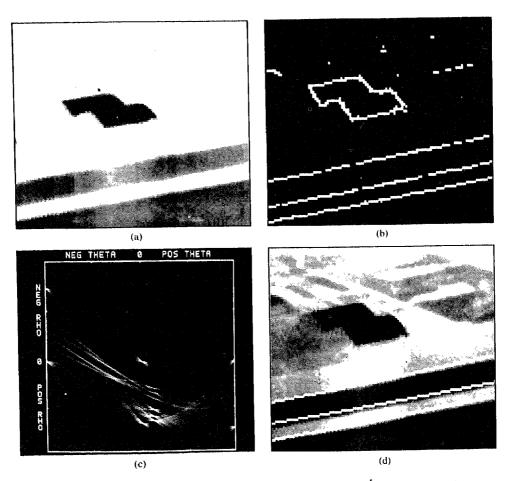


الشكل 12.7 (a) صورة دخل. (b) المركبة الأنقية للتدرج. (c) المركبة العمودية للتدرج. (d) نتيجة ربط الحواف. (باذن من مؤسسة Perceptics).

## 2.2.7 تحليل اجمالي بوساطة تحويل هاف global analysis via the Hough transform

سندرس في هذا القسم ربط النقاط بتحديد ما إذا كانت تقع على منحن ذي شكل محدد أم لا. خلافا لطريقة التحليل الموضعي التي نوقشت في القسم السابق، سندرس الآن العلاقة بين العناصر على أساس اجمالي باستعمال تحويل هاف الذي قدمناه في القسم 3.7. تتكون الطريقة من (1) حساب تدرج الصورة، (2) تحديد الأقسام الفرعية في المستوي (الشكل 32.3)، (3) تفحص الأعداد counts الموجودة في خلايا المراكم من أجل تركيزات العناصر العالية، و (4) تفحص العلاقة (مبدئيا من أجل الاستمرارية) بين العناصر في خلية مختارة. ان مفهوم الاستمرارية في هذه الحالة يبني عادة على حساب المسافة بين العناصر التي يوجد أنها منفصلة عندما نم raverse بمجموعة العناصر التابعة لخلية مراكم معطاة. يقال عن الفجوة في أية نقطة أنها هامة إذا بمحموعة العناصر التابعة لخلية مراكم معطاة. يقال عن الفجوة في أية نقطة أنها هامة إذا وادت المسافة بين النقطة و جاراتها الأقرب على عتبة معينة (انظر القسم 4.2 من اجل مناقشة الاتصالية connectivity و الجوارات neighborhoods وقياسات المسافات

مثال: كتوضيح للمفاهيم التي ناقشناها للتو تأمل الشكل 13.7(a) الذي يبين صورة جوية بالأشعة تحت الحمراء تحتوي على حظيرتين (ملجأين) ومدرج للطائرات. الشكل مو صورة التدرج المعتبة thresholded التي تم الحصول عليها باستعمال عاملي صوبل المؤثرين Sobel operators اللذين قدما في القسم 13.7 (لاحظ الفجوات الصغيرة في المدرج). الشكل 13.7(c) هو تحويل هاف الخطي لصورة التدرج، والشكل 13.7(d) يبين (بالأبيض) مجموعة العناصر التي تم ربطها تبعا للمعيارين التاليين الماها تتبع لاحدى خلايا المراكم الثلاثة ذات العدد الأعلى highest count و (2) لم توجد فجوات أكبر من خمسة عناصر. (لاحظ اختفاء الفجوات نتيجة الربط).



الشكل 13.7(a) صورة بالأشعة تحت الحمراء. (b) صورة التدرج. (c) تحويل هاف. (d) العناصر التي تم ربطها على أن تحقق معيارين محددين (انظر النص). (باذن من D.R. Cate, Texas Instruments, Inc.).

# 3.2.7 التحليل الاجمالي بواسطة تقنيات الرسم البياني النظري global analysis via Graph - Theoretic techniques

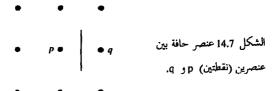
ان الطريقة التي نوقشت في القسم السابق مبنية على توفر مجموعة نقاط حافة تم الحصول عليها نموذجيا عبر عملية تدرج gradient operation. ونظرا لأن التدرج مشتق، يندر أن يكون ملائما كخطوة معالجة أولية في الحالات المميزة بمحتوى عال من

الضجيج. نناقش في هذا القسم طريقة اجمالية graph structure مبنية على تمثيل أجزاء الحافة edge segments في صيغة بنية رسم بياني graph structure واستقصاء الرسم البياني graph structure من أجل المرات المنخفضة الكلفة التي تتبع لحواف هامة. كما سبرى، يؤمن هذا التمثيل طريقة متينة حسنة الأداء في وجود الضجيج. كما يمكن أن نتوقع، فان الاجراء أكثر تعقيدا بكثير ويتطلب زمن معالجة أكبر من الطرق التي نوقشت حتى الآن.

نبدأ التطوير ببعض التعاريف الأساسية. ان الرسم البياني G(N,A) هو مجموعة N من العقد nodes محددة وغير خالية، مع مجموعة N من أزواج غير مرتبة من العناصر المميزة من N. يسمى كل زوج  $(n_i,n_j)$  من N قوسا arc. ان الرسم البياني الغناصر المميزة من N. يسمى كل زوج  $(n_i,n_j)$  من N قوسا directed graph. إذا كان الذي تكون فيه الأقواس موجهة يسمى "رسما بيانيا موجها"  $n_i$  هي خلف successor القوس موجها من العقدة  $n_i$  إلى الغقدة  $n_i$  يقال عندئذ ان  $n_i$  هي خلف عديد العقدة الوالدة  $n_i$ . ان عملية تعيين هوية (تحديد) العقد الخليفة لعقدة ما تسمى تمديد العقدة الوالدة  $n_i$  من عملية على رسم بياني، سنحدد سويات معينة بحيث ان السوية  $n_i$  العقدة واحدة، تسمى عقدة البداية، و تسمى العقد في السوية الأخيرة عقد المدن goal nodes. يمكن أن تتم مصاحبة كل قوس  $n_i$  بكلفة  $n_i$  بكلفة  $n_i$   $n_i$  يسمى العقدة  $n_i$   $n_i$  العقدة  $n_i$   $n_i$  العقدة  $n_i$  و بعطى كلفة المر بالمعادلة التالية

$$c = \sum_{i=2}^{k} c(n_{i-1}, n_i)$$
 (3-2.7)

أخيرا، نعرف عنصر الحافة edge element بأنه الحد بين عنصرين p و q بحيث تكون p و q و p بحيث تكون p و q و q من الجيران الأربعة 4-neighbors ، كما هو موضح في الشكل 14.7. وفي هذا السياق تكون الحافة تتابعا من عناصم الحافة.



لتوضيح كيفية تطبيق المفاهيم السابقة على كشف الحواف، خذ الصورة ذات الأبعاد 3x3 و المبينة في الشكل 15.7 ، حيث ان الأرقام الخارجية هي احداثيات العناصر والأرقام داخل الأقواس تمثل الشدة intensity. نصاحب كل عنصر حافة محددة بعنصرين q و q مع الكلفة

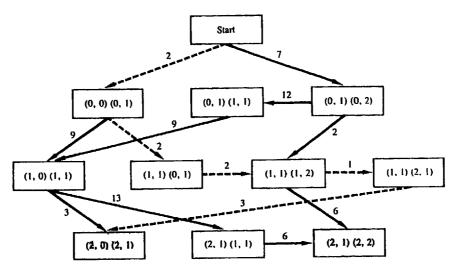
$$c(p, q) = H - [f(p) - f(q)],$$
 (4-2.7)

حيث ان H هي أعلى قيمة شدة في الصورة (7) في هذا المثال)، و (p) هي قيمة شدة (q) و (p) هي قيمة (p)

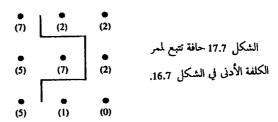
0	1	2	
0 • (7)	• (2)	<b>(2)</b>	
( · · · · · · · · · · · · · · · · · · ·	• (7)	• (2)	الشكل 15.7 صورة قياسها 3×3 .
2 • (5)	• (1)	• (0)	

ان الرسم البياني لهذه المسألة مبين في الشكل 16.7. تتبع كل عقدة في هذا الرسم لعنصر حافة، ويكون القوس موجودا بين عقدتين إذا كان عنصر الحافة المقابلان المأخوذان بالتتابع يمكن أن يكونا جزءا من حافة. تبين كلفة كل عنصر حافة، محسوبة بالمعادلة (2.7-4)، بالقوس المؤدي اليها، وعقد الهدف مبينة بمستطيلات مظللة. ان كل ممر بين عقدة البداية و عقدة الهدف يمكن أن يكون حافة. من أجل التبسيط، فقد ثم افتراض أن الحافة تبدأ في السطر الأعلى وتنتهي في السطر الأخير، بحيث يمكن أن يكون العنصر الأول من الحافة [(0,0),(0,0)] أو [(0,0),(1,0)] فقط، و يمكن أن يكون العنصر الأخير [(2,0),(2,1)] أو [(2,0),(2,1)] فقط، و ممكن أن يكون

cost path، محسوبا بالمعادلة (2.7-3) مبين بخط مقطع، والحافة المقابلة مبينة في الشكل 17.7.



الشكل 16.7 رسم بياني استعمل لايجاد حافة في صورة الشكل 17.7. يعود الزوج (a,b),(c,d) في كل صندوق إلى النقطتين p على التوالي. لاحظ أن p يفترض أن تكون إلى يمين الممر مع استقصاء الصورة من الأعلى إلى الأسفل . الخطوط المتقطعة تدل على ممرات الكلفة الأدنى. [اقتبست عن 1972].



بشكل عام، إن إيجاد ممر ذي كلفة-أدنى ليس أمراً بسيطاً من وجهة نظر حسابية. نموذجياً، الطريقة هي أن نضحي بالحالة المثلى من أجل السرعة، والخوارزمية المناقشة أدناه هي خوارزمية ممثلة representative لصنف من الاجراءات التي تستعمل الاستكشافات search بغرض تخفيض جهد الاستقصاء search. لتكن (r(n) تقدير لكلفة ممر الكلفة-الأدنى من عقدة البداية إلى عقدة الهدف، حيث يجبر الممر

على اجتياز n. يمكن التعبير عن هذه الكلفة كتقدير كلفة ممر الكلفة الأدنى من n إلى n مضافا اليه تقدير لكلفة ذلك الممر من n إلى عقدة الهدف، أي أن،

r(n) = g(n) + h(n). (5-2.7)

هنا، يمكن اختيار (g(n) على أنها المر ذو الكلفة الأدنى من s إلى n الذي وجد حتى الآن، و يتم الحصول على (h(n) باستعمال أية معلومات استكشافية متوفرة (مثلا، تمديد عقد معينة فقط بناءا على كلف سابقة مؤدية إلى تلك العقدة). ان احدى الخوارزميات التي تستعمل (r(n) كأساس لانجاز تقصي رسم بياني هي الخوارزمية التالية: الخطوة الأولى: علم عقدة البداية بـ OPEN واجعل g(s).

الحطوة الثانية: إذا لم تكن أية عقدة OPEN اخرج مع الاخفاق failure ، و الأتابع. الحطوة الثانية: علم بـ CLOSED العقدة n المعلمة بـ OPEN والتي تقديرها r(n) محسوبا بالمعادلة (r(n)) هو الأصغر. ( تقرر الروابط من أجل قيم r الأدنى بشكل اختياري ولكن دامًا في صالح عقدة الهدف).

الحطوة الرابعة: إذا كانت n عقدة الهدف، اخرج مع الحصول على ممر الحل بالتتبع إلى الوراء عبر المؤشرات، والا تابع.

اخطوة الخامسة: مدد العقدة n ، مولدا جميع العقد الخليفة لها. (ان لم يكن هناك عقد خليفة، عد للخطوة 2).

الحطوة السادسة: إذا وجدت عقدة خليفة  $n_i$  غير معلمة، اجعل

 $r(n_i) = g(n) + c(n, n_i),$ 

وعلمها بـ OPEN و وجه المؤشرات منها رجوعا إلى n.

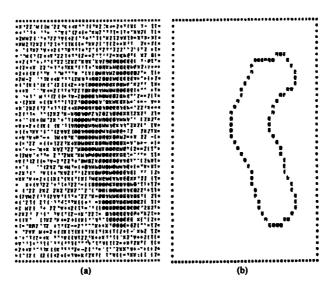
الحطوة السابعة: إذا وجدت عقدة خليفة  $n_i$  معلمة بـ CLOSED أو بـ OPEN حدِّث update تيمتها بجعل .

 $g'(n_i) = \min[g(n_i), g(n) + c(n, n_i)].$ 

علَّم بـ OPEN تلك العقد الخليفة المعلمة بـ CLOSED و التي كانت قيمها و قد خفضت، و أعد توجيه المؤشرات من جميع العقد التي قد خفضت قيمها. اذهب إلى الخطوة 2.

بشكل عام، من غير المؤكد أن هذه الخوارزمية توجد الممر ذا الكلفة—الأدنى، بل ان مزيتها هي السرعة عن طريق استخدام الاستكشافات. ولكن يمكن أن يبين أنه إذا كانت h(n) حدا أدنى lower bound لكلفة ممر الكلفة—الدنيا optimal cost من n إلى عقدة الهدف ، فان الاجراء سيوجد بدون شك ممرا أمثلا optimal إلى الهدف (Hart, Nilson and Raphael 1968). إذا لم توجد أية معلومات استكشافية، (أي h=0) فان الاجراء يبسط إلى خوارزمية الكلفة المنتظمة (Dijkestra)

مثال: يبين الشكل 18.7 نتيجة نموذجية يمكن الحصول عليها بهذا الاجراء. يبين الشكل 18.7(a) هو نتيجة تجزيء الشكل 18.7(b) هو نتيجة تجزيء الحواف بتقصي الرسم البياني التابع لها، من أجل المرات منخفضة الكلفة. لقد أجريت الاستكشافات بعدم تمديد تلك العقد التي تزيد كلفتها على عتبة معينة.



الشكل 18.7 صورة مشوبة بالضجيج. (b) نتيجة كشف الحواف باستعمال تقصي الرسم البياني الاستكشافي .heuristic graph search

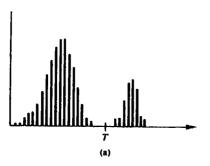
#### 3.7 التعتيب 3.7

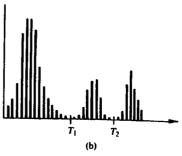
إن التعتيب هو أحد أهم طرائق تجزيء الصورة. نطور في هذا القسم عددا من تقنيات التعتيب ونناقش جدارة ومحدودية هذه الطرق.

### 1.3.7 أساسيات 1.3.7

افترض أن هيستوغرام السبويات الرمادية المبين في الشكل 19.7(a) هو هيستوغرام صورة معينة، f(x, y)، مؤلفة من أجسام فاتحة light objects على خلفية عاممة dark background بحيث تكون عناصر الأجسام والخلفية ذات سويات رمادية مجمعة في نمطين modes مهيمنين. ان احدى الطرق الواضحة لاستخلاص الأجسام من الخلفية هي اختيار عتبة T تفصل بين هذين النمطين. بعدئذ، تسمى أية نقطة (x. y) ، والتي تكون من أجلها T > (r(x, y) > T) ، "نقطة جسم " object point ، وخلاف ذلك تسمى النقطة "نقطة خلفية" background point. و يبين الشكل 19.7 (b) حالة أكثر عمومية لهذه الطريقة. في هذه الحالة، يتميز الهيستوغرام بثلاثة أنماط مهيمنة (مثلا، نوعان من الأجسام الفاتحة على خلفية عاتمة). هنا، نستطيع استخدام نفس الطريقة الأساسية وتصنيف نقطة ما (x, y) بأنها تتبع لصنف أحد الجسمين إذا كانت، وإلى الخلفية إذا كانت  $T_{r} < f(x,y) > T_{0}$  وإلى الخلفية إذا كانت  $T_{r} < f(x,y) < T_{0}$ multilevel thresholding ان هذا النوع من التعتيب متعدد السويات  $f(x, v) \leq T_1$ أقل وثوقية من مثيله وحيد- العتبة single thrshold بسبب صعوبة تأسيس عتبات متعددة تفصل بشكل فعال بين المناطق موضع الاهتام، خصيصا عندما يكون عدد أغاط الهيستوغرام histogram modes كبيرا. غوذجيا، إذا تم التعامل مع مسائل من هذا النوع بالتعتيب فان أفضل طريقة للتعامل معها هي استخدام عتبة وحيدة متغيرة، كما هو مناقش لاحقا في هذا القسم.

بناءا على المفاهيم السابقة، يمكن أن ننظر إلى التعتيب كعملية تتضمن اختبارات مقابل (against) دالة ما T من الشكل التالي T = T[x, y, p(x, y), f(x, y)], (1-3.7)





الشكل 19.7 هيستوغرامي سويات رمادية يمكن أن يجزءا بـ (a) عتبة وحيدة، و (b) عتبات متعددة.

حيث ان p(x, y) هي السوية الرمادية للنقطة p(x, y)، و p(x, y) تشير إلى خاصة موضعية ما للنقطة p(x, y). نكون نكون p(x, y). نكون في p(x, y). نكون ما يلي

$$g(x, y) = \begin{cases} 1 & \text{if } f(x, y) > T \\ 0 & \text{if } f(x, y) \le T \end{cases}$$
 (2-3.7)

وهكذا، فبتفحص (g(x, y) ، نجد أن جميع العناصر ذات القيمة 1 (أو أية سوية شدة أخرى ملائمة) تابعة للأجسام، في حين أن جميع العناصر ذات القيمة "0" تتبع للخلفية.

عندما تغتمد T على f(x, y) فقط، تسمى العتبة عتبة اجمالية D ويبين الشكل D مثالاً لهذا النوع من العتبات). إذا كانت D تعتمد على كل من D تسمى العتبة عندئذ عتبة موضعية local threshold. أما إذا كانت العتبة تعتمد بالاضافة إلى ذلك على الاحداثيين الحيزيين D و D فتسمى عندئذ عتبة ديناميكية dynamic threshold.

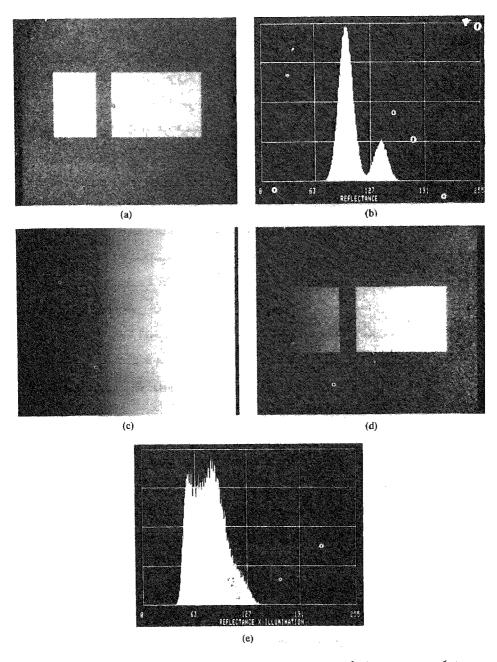
#### 2.3.7 دور الانارة 2.3.7

بالرجوع إلى المناقشة الواردة في القسم 2.2 ، يمكن أن ننظر إلى تشكل صورة ما بأنه جداء مركبة انعكاسية r(x, y) ومركبة انارة i(x, y). ان الغرض من هذا القسم هو

مناقشة تأثير الانارة على تجزيء الصورة بايجاز. كمقدمة لهذه المسألة، تأمل دالة الانعكاسية المولدة بواسطة الحاسوب في الشكل (20.7). ان هيستوغرام هذه الدالة المبين في الشكل 20.7(d) هو هيستوغرام ثنائي النمط bimodal و يمكن أن يجزأ بسهولة بوضع عتبة واحدة في وادي الهيستوغرام. افرض أننا نضرب دالة الانعكاسية المبينة في الشكل 20.7(a) لتعطي الصورة ((x, y)) المبينة في الشكل 20.7(c) لتعطي الصورة ((x, y)) المبينة في الشكل 20.7(d). ان هيستوغرام هذه الصورة مبين في الشكل 20.7(e). لاحظ أن الوادي الأصلي قد حذف ظاهريا مما يجعل التجزيء بعتبة وحيدة مهمة مستحيلة. على الرغم من أن دالة الانعكاسية ذاتها ليست متوفرة لدينا لنتعامل معها، فان هذا المثال البسيط يوضح أن طبيعة الأجسام والخلفية يمكن أن تكون بحيث تجعلهما قابلين النصل بسهولة، في حين أن الصورة الناتجة عن انارة رديعة (غير منتظمة في هذه الحالة) يمكن أن تكون صعبة التجزيء للغاية. ان سبب افساد الهيستوغرام المبين في الشكل يمكن أن تكون صعبة التجزيء للغاية. ان سبب افساد الهيستوغرام المبين في الشكل المؤارية الطبيعي لد (x, y) و ينتج المجموع.

$$z(x, y) = \ln f(x, y) = \ln i(x, y) + \ln r(x, y) = i'(x, y) + r'(x, y).$$

غن نعلم من نظرية الاحتالات (Papolis 1965) أنه إذا كانت i'(x, y) و i'(x, y) متحولين عشوائيين مستقلين، فان هيستوغرام z(x, y) يعطى بطي هيستوغرامي (x, y) و المناس و x(x, y) المستوغرام النبخة أيضا، وسيكون هيستوغرامها نتوءا بسيطا spike (مثل نبضة). ان طي هذه الدالة الشبيهة بالنبضة مع هيستوغرام انتوءا بسيطا spike الأساسي لهذا الهيستوغرام عمليا بدون تغيير (انظر هيستوغرام (x, y) سيترك الشكل الأساسي لهذا الهيستوغرام عمليا بدون تغيير (انظر الشكل 15.3). ومن جهة أخرى، إذا كانت x(x, y) ذات هيستوغرام أعرض (ناتج عن الشكل x(x, y)) منتجا هيستوغرام الدون غير منتظمة) فان الطي سيلطخ smear هيستوغرام (x, y) منتجا هيستوغرام الدوره يعتمد على عدم انتظام دالة التشوه تعتمد على عدم انتظام دالة الانارة.



الشكل 20.7 (a) دالة الانعكاسيّة مولدة بالحاسوب. (b) هيستوغرام دالة الانعكاسية. (c) صورة أنتجت بجداء دالتي الانارة والانعكاسية. (d) هيستوغرام الصورة.

لقد تعاملنا في المناقشة السابقة مع لوغاريتم (f(x, y) بدلا من التعامل مع دالة الصورة مباشرة. ولكن جوهر المسألة قد شرح بوضوح باستعمال اللوغاريتم لفصل مركبتي الانارة والانعكاسية. وهذا ماساعدنا على النظر إلى تكوين الهيستوغرام كعملية طي شارحين بذلك كيف يمكن أن يحذف واد واضح في هيستوغرام دالة الانعكاسية بواسطة انارة غير صحيحة. عندما يكون الوصول إلى منبع الانارة متوفرا، فان أحد الحلول الذي يستعمل غالبا في التطبيق العملي هو اسقاط نمط الانارة على سطح عاكس أبيض ثابت. وهذا ما يعطي صورة (x, y) = ki(x, y) هو ثابت يعتمد على السطح و (x, y) = ki(x, y) هي غط الانارة. بعدئذ، من أجل أية صورة يعتمد على السطح و f(x, y) = ki(x, y) هي غلم الانارة، نقسم، ببساطة، f(x, y) = f(x, y) على المنتج دالة مقيسة f(x, y) = f(x, y)

وهكذا فإذا كان بالامكان تجزيء r(x, y) باستعمال عتبة واحدة T ، يمكن عندئذ تجزيء h(x, y) أيضا باستعمال عتبة واحدة قيمتها T/k.

لاحظ أن هذه الطريقة تعمل بشكل جيد فقط إذا كان نمط الانارة المنتج بواسطة f(x, y) لا يتغير من صورة لأخرى. نموذجيا، يتم تقييس f(x, y) باستعمال معالج f(x, y) كا ناقشنا في القسم f(x, y).

# a global thresholding technique تقنية تعتيب اجمالي 3.3.7

تتكون احدى الطرق البسيطة التي تستعمل عادة لتجزيء الصورة، من تقسيم السلم الرمادي إلى نطاقات باستعمال عتبات لتحديد المناطق أو للحصول على نقاط الحدود. كمدخل لهذه التقنية، افرض أن للسويات الرمادية في صورة معينة (x, y) الهيستوغرام المبين في الشكل 21.7(a). بناءا على المناقشة التي وردت في القسم 2.4 نستنتج من الهيستوغرام أن عددا كبيرا من العناصر في (x, y) هي عناصر عائمة، وبقية العناصر متوزعة بشكل متساو تقريبا في الجزء الباقي من السلم الرمادي. ان سلوك هذا الهيستوغرام هو سلوك مميز للصور المؤلفة من أجسام رمادية متراكبة على خلفية عائمة. لكي نعين الحدود بين الأجسام والخلفية، نقسم الهيستوغرام إلى نطاقين مفصولين بعتبة

T، كما هو مبين في الشكل 21.7(d). ان الهدف هو اختيار T بحيث يحتوي النطاق  $B_2$  بأكبر قدر ممكن من التقريب، السويات المصاحبة للخلفية، في حين يحتوي  $B_3$  سويات الأجسام. ومع مسح الصورة يدل التغير في السوية الرمادية من نطاق  $\mathbb{X}$  على وجود حد. ولكي نكشف الحدود في كل من الاتجاهين الأفقي والعمودي، يلزم مسحين عبر f(x, y), بعد أن يتم اختيار  $B_1$  و  $B_2$ ، يصبح الاجراء كما يلي: المسح الأول: أنشىء لكا صف، في f(x, y) أي f(x, y) من ما مقامة الملاحة في المسح الأول:

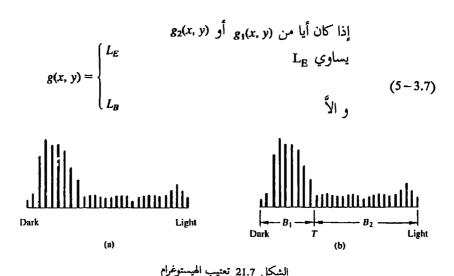
المسح الأول: أنشىء لكل صف في f(x, y)، أي (x=0,1,2,...,N-1)، صفا مقابلا في صورة متوسطة  $g_1(x, y)$  مستعملا العلاقة التالية من أجل y=1,2,...,N-1:

$$g_1(x,y)=\left\{egin{aligned} &f(x,y-1)&g(x,y$$

حيث ان  $L_{
m B}$  و  $L_{
m B}$  هما سويتا حافة و خلفية محددتان، على التوالي.

المسح الثاني: من أجل كل عمود في f(x, y) أي (y=0,1,2,...,N-1) أنشىء عمودا مقابلا في صورة متوسطة  $g_2(x,y)$  باستعمال العسلاقة التالية من أجل x=0,1,2,...,N-1:

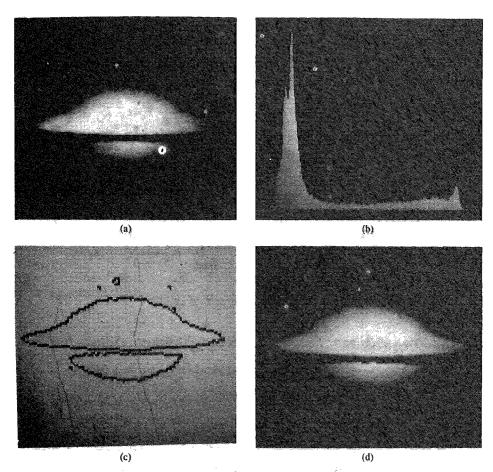
$$g_2(x,y) = \begin{cases} L_E & f(x-1,y) \ g_2(x,y) = \begin{cases} L_E & \text{if } (x,y) \ & \text{if } (x,y) \end{cases}$$
 و الآ



مثال: إن تقنية تعتيب السويات الرمادية التي شرحت للتو موضحة في الشكل 22.7. ان الصورة الأصلية، الشكل 22.7. ان الصورة الأصلية، الشكل 22.7 ، هي صورة ذات 256 -- سوية رمادية للكوكب سومبريرو (كلمة أسبانية تعني قبعة) نبلا Sombrero Nebula. ان هيستوغرام هذه الصورة المبين في المشكل 22.7 (b) يحتوي على قمتين بارزتين، احداهما في الجزء العاتم والأخرى في الجزء الفاتح من السلم الرمادي. تتبع القمة الأولى للخلفية بينا تتبع الثانية للنغمات الفاتحة في الصورة نفسها. لقد تم الحصول على الشكل 22.7 (c) باستعمال المعادلات  $L_{\rm B}$  و  $L_{\rm E}$  و  $L_{\rm B}$  و  $L_{\rm B}$  و  $L_{\rm B}$  و  $L_{\rm B}$  و  $L_{\rm B}$ 

يعمم الاجراء المذكور أعلاه بسهولة على نطاقات سويات رمادية أكثر. في الحقيقة، نظرا لأن العلاقات في المعادلتين (3.7-3) و (3.7-4) مبنية على تغير في نطاق السويات الرمادية من عنصر للعنصر التالي فقط، فإن التقنية الأساسية لتأسيس نقاط الحواف ستكون نفسها إذا تم أخذ أكثر من نطاقين بالحسبان. إن أحد التمديدات المكنة سيكون ترميز نقاط الحافة بسويات رمادية مختلفة، اعتادا على النطاق الذي حدث التغير فيه.

لقد تم تكوين الشكل 22.7(d) بتوضيع (مراكبة) الحواف على الشكل 22.7(a).



الشكل 22.7 استخلاص الحواف بتعتيب السويات الرمادية. (a) صورة سومبريرو نبلا Sombrero Nebula. (d). هيستوغرام. (e) صورة الحواف حصل عليها باستعمال كالعام. (b) الحواف متراكبة على الصورة الأصلية.

بتعتيب نطاقات سويات رمادية أكثر، من الممكن زيادة قدرة تقنية استخلاص الحواف. ان المشكلة هنا، بالطبع، هي أين سنضع العتبات. ان احدى الطرق الممكنة هي تحديد عدد ومواقع العتبات بالتجربة والخطأ. ان هذه الطريقة مرضية إذا كان عدد الصور المختلفة المراد معالجتها صغيرا، أما في الحالات التي يلزم فيها تحديد العتبات آليا (كا في تطبيقات ادراك الآلة (machine perception)، فان المسألة تصبح مسألة توصيف characterizing هيستوغرام معين بطريقة غير متغيرة invariant. هذه المسألة مناقشة في القسم التالي.

# optimal thresholding التعتيب الأمثل 4.3.7

افترض أنه معروف مسبقا أن صورة ما تحتوي على منطقتي لمعان رئيستين. يمكن أن يعتبر هيستوغرام صورة كهذه كتقدير لدالة كثافة احتمال اللمعان .(p(x). ان دالة الكثافة الاجمالية هذه ستكون مجموع مزيج من كثافتين أحاديتي النمط umimodal احداهما للمناطق الفاتحة light regions والاخرى للمناطق العاتمة في الصورة. وأكثر من ذلك، فان معلمات المزيج ستكون متناسبة مع مساحات الصورة لكل لمعان ذلك، فان شكل الكثافتين معروفا أو مفروضا، يمكن عندئذ تحديد عتبة مثلي (بدلالة الخطأ الأدنى minimum error) لتجزيء الصورة إلى مناطق سويتي اللمعان. افترض أن الصورة تحتوي على قيمتين مدموجتين مع ضجيج جمعي additive noise.

$$p(x) = P_1 p_1(x) + P_2 p_2(x),$$
 (6-3.7)  
Ilis. تكون من أجل الحالة الغوصية

$$p(x) = \frac{P_1}{\sqrt{2\pi}\sigma_1} \exp\left[-\frac{(x-\mu_1)^2}{2\sigma_1^2}\right] + \frac{P_2}{\sqrt{2\pi}\sigma_2} \exp\left[-\frac{(x-\mu_2)^2}{2\sigma_2^2}\right], \quad (7-3.7)$$

حيث ان  $\mu_{1}$  و  $\mu_{2}$  هما القيمتان الوسطيتان mean values لسويتي اللمعان، و  $\sigma_{1}$  و  $\sigma_{2}$  هما الاحتمالان المعروفان المعاريان حول القيمتين الوسطيتين، و  $\sigma_{1}$  و  $\sigma_{2}$  هما الاحتمالان المعروفان مسبقا للسويتين. ولأن الشرط

$$P_1 + P_2 = 1 (8 - 3.7)$$

يجب أن يكون محققا، فان لكثافة المزيج خمس معلمات مجهولة. فإذا كانت جميع المعلمات معروفة يمكن بسهولة تحديد العتبة.

افرض أن المنطقة العاتمة تتبع للخلفية وأن المناطق اللامعة تتبع للأجسام. في هذه الحالة،  $_{\mu_1 < \mu_2}$  ويمكن أن نحدد عتبة T بحيث تعتبر جميع العناصر ذات السويات الرمادية الواقعة تحت العتبة T نقاط خلفية و جميع النقاط ذات سويات رمادية فوق T تعتبر نقاط أجسام. ان احتمال تصنيف نقطة جسم بشكل خاطىء كنقطة خلفية يكون

$$E_1(T) = \int_{-\infty}^{T} p_2(x) dx. \qquad (9-3.7)$$

بشكل مشابه، فان احتمال تصنيف نقطة خلفية كنقطة جسم يكون

$$E_2(T) = \int_T^\infty p_1(x) \, dx. \tag{10-3.7}$$

ولذلك فان الاحتمال الاجمالي للخطأ يعطى بالمعادلة

$$E(T) = P_2 E_1(T) + P_1 E_2(T). (11 - 3.7)$$

لايجاد قيمة العتبة التي يكون الخطأ من أجلها أصغريا، يمكن أن نفاضل (E(T) بالنسبة له T (باستعمال قانون ليبنيتز Liebnitz) ونساوي النتيجة بالصفر فتكون النتيجة

$$P_1 p_1(T) = P_2 p_2(T).$$
 (12-3.7)

ان تطبيق هذه النتيجة على الحالة الغوصية يعطي بعد أخذ اللوغاريتات والتبسيط معادلة من الدرجة الثانية

$$AT^2 + BT + C = 0, (13 - 3.7)$$

حيث

$$A = \sigma_1^2 - \sigma_2^2$$

$$B = 2(\mu_1 \sigma_2^2 - \mu_2 \sigma_1^2)$$

$$C = \sigma_1^2 \mu_2^2 - \sigma_2^2 \mu_1^2 + 2\sigma_1^2 \sigma_2^2 \ln(\sigma_2 P_1/\sigma_1 P_2).$$
(14-3.7)

ان امكانية وجود حلين يشير إلى أنه يمكن أن يلزم قيمتا عتبتين للحصول على الحل الأمثا.

إذا كانت التفاوتات variances متساوية  $\sigma^2=\sigma_1^2=\sigma_2^2$  فان عتبة واحدة تكفي:

$$T = \frac{\mu_1 + \mu_2}{2} + \frac{\sigma^2}{\mu_1 - \mu_2} \ln\left(\frac{P_2}{P_1}\right). \tag{15-3.7}$$

شكل معروف، مثل كثافتي Raleigh و lognormal. لتقدير المعلمات من هيستوغرام صورة مايمكن أن نستعمل طريقة الاحتمال الأعظمي maximum likelihood أو طريقة متوسط تربيع الأخطاء المتعمل متوسط تربيع الأخطاء بين كثافة المزيج p(x)، والهيستوغرام التجريبي  $h(x_i)$  هو

$$M = \frac{1}{N} \sum_{i=1}^{N} \left[ p(x_i) - h(x_i) \right]^2, \qquad (16-3.7)$$

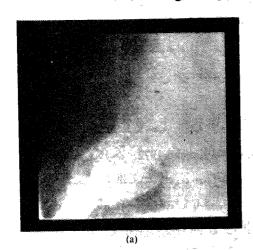
حيث يفترض وجود هيستوغرام من N نقطة.

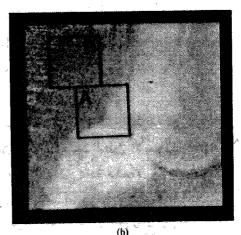
بشكل عام، ان تحديد المعلمات التي تخفض متوسط تربيع الأخطاء هذا إلى حد أدنى تحليليا ليس مسألة بسيطة. حتى في الحالة الغوصية، يؤدي الحساب المباشر لمساواة المشتقات الجزئية بالصفر إلى مجموعة من المعادلات الآنية الغامضة المستخدام الأجراءات العددية numerical procedure. ولأن التدرج يمكن أن تحل عادة باستخدام الأجراءات العددية تدرج المترافق conjugate التدرج يمكن أن يحسب بسهولة، يمكن استعمال طريقة تدرج المترافق gradient M المعادلات الآنية غير الخطية لتصغير المعادلات الأدنى. عند استخدام أي من هاتين الطريقتين التكراريتين، يجب تحديد قيم الملداية. ان افتراض أن الاحتالين المعروفين مسبقا متساويين يمكن أن يكون كافيا. يمكن أن تحدد قيمتا البداية للوسطي و التفاوت بكشف النمطين modes في الهيستوغرام أو ببساطة بتقسيم الهيستوغرام إلى جزأين حول قيمته المتوسطة modes ، وحساب المتوسط والتفاوت لكل من الجزأين ليستعملا كقيم بداية.

مثال: كتوضيح لاختيار العتبة الأمثل، سندرس في المناقشة التالية الطريقة التي طورها تشاو وكانيكو 1972 Chow and Kaneko لتحديد حدود البطين الأيسر في الصور الاشعاعية القلبية (أي ، صور أشعة X لقلب حقن بمادة مشعة). قبل التعتيب، عولجت الصور معالجة أولية بالخطوات التالية (1) أخذ لغاريتم كل عنصر pixel لعكس الآثار الأسية exponential الناتجة عن الامتصاص الاشعاعي و (2) طرح صورتين من بعضهما التقطت الأخرى بعد تطبيقه الموسيط المشع و التقطت الأخرى بعد تطبيقه

وذلك لازالة العمود الفقري الموجود في كلتا الصورتين، و (3) توسيط عدة صورة اشعاعية (أنغيوغرامات) لازالة الضجيج (انظر القسم 4.3.4). يبين الشكل 23.7 صورة اشعاعية قلبية قبل وبعد المعالحة الأولية (المنطقتان المعلمتان A و B مشروحتان أدناه).

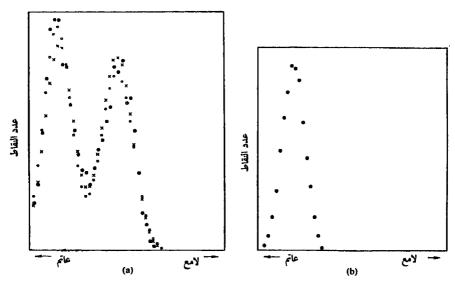
لحساب العتبات المثلى، قسمت كل صورة عولجت معالجة أولية إلى 7×7 منطقة فرعية (لقد كانت الصور الأصلية ذات قياس 256 × 256) بتراكب قدره 50%. لقد احتوت كل منطقة من المناطق الـ 49 الناتجة 64 × 64 عنصرا. الشكلان 24.7 (۵) و (۵) احتوت كل منطقة من المناطق الـ 49 الناتجة 64 × 64 عنصرا. الشكلان 24.7 (۵) و (۵) هما هيستوغرامي المنطقتين المعلمتين A و في الشكل 23.7 (۵). لاحظ أن هيستوغرام المنطقة A هو هيستوغرام ثنائي النمط bimodal بشكل واضح جدا مشيرا بذلك إلى وجود حد. ولكن هيستوغرام المنطقة B، من جهة أخرى، هو هيستوغرام أحادي النمط المستوغرام أحادي النمط المستوغراما تم اجراء اختبار ثنائية النمط bimodality لوفض الهيستوغرامات أحادية النمط. بعدئذ تحت ملاءمة وانظر المعادلة 7.3 - 7) باستعمال طريقة تسلق هضبة تدرج المترافق غوصية ثنائية النمط (انظر المعادلة 7.3 - 7) باستعمال طريقة تسلق هضبة تدرج المترافق غوصية ثنائية النمط (انظر المعادلة و 24.7) باستعمال طريقة تسلق هضبة المعطاة بالمعادلة وقوصية ثنائية الخطأ المعطاة بالمعادلة وقوصية ثنائية الخط (المزين × و و في الشكل 24.7) إلى الحد الأدنى. ان الرمزين × و و في الشكل 24.7) إلى الحد الأدنى. ان الرمزين × و و في الشكل 24.7) إلى الحد الأدنى. ان الرمزين × و و في الشكل 24.7) إلى الحد الأدنى. ان الرمزين × و و في الشكل 24.7) إلى الحد الأدنى. ان الرمزين × و و في الشكل 24.7) إلى الحد الأدنى. ان الرمزين × و و في الشكل 24.7)





الشكل 23.7 صورة اشعاعية قلبية قبل وبعد المعالجة (عن تشاو و كانيكو 1972).

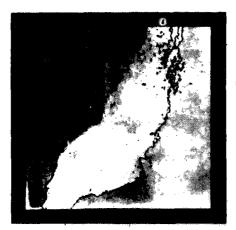
للهيستوغرام المبين بنقاط سوداء. لقد تم الحصول على العتبات المثلى بعدئذ باستعمال المعادلتين (-3.7-1) و (-3.7-1).



الشكل 24.7 هيستوغرامين (النقاط السوداء) للمنطقتين A و B في الشكل 23.7 (عن تشاو و كانيكو 1972). في هذه المرحلة من العملية يكون قد تم تخصيص عتبات للمناطق ثنائية النمط فقط. لقد تم الحصول على عتبات للمناطق الباقية باستكمال interpolating هذه العتبات. بعد القيام بذلك تم اجراء استكمال آخر بطريقة نقطة فقطة فاستعمال قيم العتبات المتجاورة بحيث تم تخصيص عتبة لكل نقطة من الصورة في نهاية هذا الاجراء. أخيرا، تم تطبيق قرار ثنائي binary decision على كل عنصر باستعمال القانون التالي

$$f(x, y) = \begin{cases} 1 & \text{if } f(x, y) \ge T_{xy} \\ 0 & \text{otherwise,} \end{cases}$$

حيث ان  $T_{xy}$  كانت العتبة التي حسبت في الموضع (x, y) في الصورة. لقد تم الحصول على الحدود بعدئذ بأخذ تدرج الصورة الثنائية. هذه النتائج مبينة في الشكل 25.7 الذي تمت فيه مراكبة الحدود على الصورة الأصلية. لاحظ أن هذه العتبات هي عتبات ديناميكية (x, y) في dynamic thresholds لأنها تعتمد على الاحداثيين الحيزيين (x, y).



الشكل 25.7 صورة اشعاعية قلبية تبين الحواف الموضعية. (عن تشاو وكانيكو 1972)

#### 5.3.7 اختيار العتبة بناءا على خواص الحدود

#### threshold selection based on boundary characteristics

ان احدى أكثر السمات أهمية في اختيار العتبة هي امكانية تحديد ذرى الأنماط mode peaks في معين. ان هذا الأمر مهم خصيصا من أجل الاختيار الآلي للعتبة في حالات يمكن أن تتغير فيها خواص الصورة ضمن مدى عريض من توزيعات الشدة intensity distributions. بناء على المناقشة التي و ردت في الأقسام الثلاثة الأخيرة، من الواضح بدهيا أن تتحسن فرص اختيار عتبة "جيدة" بشكل هام إذا كانت ذرى (قمم) الهيستوغرام مرتفعة وضيقة ومتناظرة ومفصولة بوديان عميقة.

ان احدى الطرق لتحسين شكل الهيستوغرام هي الأخذ بالحسبان العناصر pixels التحمينات المباشرة والواضحة لهذه الطريقة هو جعل الهيستوغرامات أقل اعتادا على القياس (الحجم) والواضحة لهذه الطريقة هو جعل الهيستوغرامات أقل اعتادا على القياس (الحجم) النسبي بين الأجسام والخلفية. فمثلا، ان هيستوغرام شدة اللمعان لصورة تتألف من منطقة خلفية كبيرة وثابتة تقريبا، وجسم صغير ستغلب عليه ذروة كبيرة بسبب تركيز عناصر الخلفية، ولكن إذا استعملت العناصر الواقعة على وقرب الحدود بين الجسم والخلفية فقط، سيكون للهيستوغرام الناتج ذروتان بنفس الارتفاع تقريبا. بالاضافة إلى ذلك، فان احتال وقوع عنصر معين على الحسم يساوي عادة احتال وقوعه على الخلفية

محسنا بذلك تناظر ذروتي الهيستوغرام. أخيرا، و كما سنرى أدناه، فان استعمال عناصر تحقق بعض القياسات البسيطة المبنية على معاملي التدرج و لابلاس المؤثرين يميل لتعميق الوادي بين ذروتي الهيستوغرام.

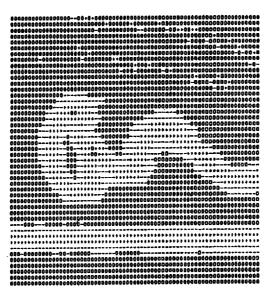
ان المشكلة الرئيسة في التعليقات السابقة هي أنها تفترض ضمنا أن الحدود بين الأجسام والخلفية معروفة. من الواضح أن هذه المعلومات غير متوفرة خلال التجزيء لأن ايجاد تقسيم بين الأجسام والخلفية هو الهدف النهائي من الاجزاءات المناقشة في هذا القسم. ولكن، نحن نعرف من المادة الموجودة في القسم 3.1.7 أنه يمكن الحصول على الدلالة على ما إذا كان عنصر ما يقع على حافة بحساب تدرجه. بالاضافة إلى ذلك، فان استعمال معامل لابلاس يمكن أن يعطي معلومات بخصوص ما إذا كان عنصر معين يقع على الحائب العاتم (الخلفية، مثلا) أو على الجانب الفاتح (جسم) للحافة. نظرا لأن معامل لابلاس، وكما ناقشنا أعلاه، يساوي الصفر في الجزء الداخلي من حافة انحدار مثالي، يمكن أن تتوقع في التطبيق العملي أن تكون وديان الهيستوغرامات المشكلة من عناصر مختارة بواسطة معيار التدرج أو معيار معامل لابلاس، مشغولة بشكل من عناصر مختارة بواسطة معيار التدرج أو معيار معامل لابلاس، مشغولة بشكل متفرق sparsely populated (تكون النقاط التي تمثل كثافة الاحتمال في هذه الوديان متباعدة). تنتج هذه الخويان العميقة المذكورة أعلاه والمرغوبة إلى درجة عالية.

يعطى التدرج G[f(x, y)] في أية نقطة من صورة ما بالمعادلة (G[f(x, y)]] بالمعادلة (1.7–9). بشكل مشابه، يعطى معامل لابلاس L[f(x, y)] بالمعادلة (1.7–17). يمكن أن نستعمل هاتين الكميتين لنكوّن صورة ذات ثلاث سويات رمادية، كا يلى:

$$s(x, y) = \begin{cases} 0 & \text{if } G[f(x, y)] < T, \\ + & \text{if } G[f(x, y)] \ge T \text{ and } L[f(x, y)] \ge 0, \\ - & \text{if } G[f(x, y)] \ge T \text{ and } L[f(x, y)] < 0, \end{cases}$$
 (17-3.7)

حيث تمثل الرموز 0 و + و – أية ثلاث سويات رمادية مميزة، و T هي عتبة. بافتراض وجود جسم عاتم على خلفية فاتحة، وبالرجوع إلى الشكل (b)4.7 فان استعمال المعادلة ((x, y)3.7 والتي تكون فيها جميع العناصر التي ليست على حافة

(كا حددت بـ G[f(x, y)] أقل من T) معلمة بـ 0 ، وجميع العناصر الواقعة على الجانب العاتم من الحافة معلمة بـ - . و تعكس الرموز + و - في المعادلة (3.7-17) من أجل جسم فاتح على خلفية عاتمة. يبين الشكل 26.7 التعليم labelling الناتج بواسطة المعادلة (3.7-17) لصورة شوط كتابة عاتم تحته خط مكتوب على خلفية فاتحة.



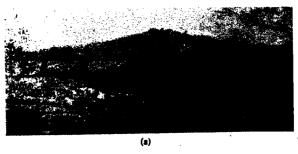
الشكل 26.7 صورة شوط مكتوب باستعمال المعادلة (2.7-24) (عن وايت و روهرير 1983).

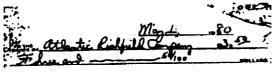
ان المعلومات التي يحصل عليها باستعمال الاجراء الذي نوقش للتو يمكن أن يستعمل لتوليد صورة ثنائية بجزأة تتبع فيها الواحدات "1" للأجسام موضع الاهتمام والأصفار "0" للخلفية. نلاحظ أولا أن الانتقال (على طول خط مسح أفقي أو عمودي) من خلفية فاتحة إلى جسم عاتم يجب أن يميز بحدوث اشارة – متبوعة باشارة + في (x, x). يتركب الجزء الداخلي من الجسم من عناصر اما أن تكون معلمة بـ 0 أو + . أخيرا، يميز الانتقال من الجسم إلى الخلفية بحدوث اشارة + متبوعة باشارة – . ولذلك يكون لدينا أن خط المسح الأفقي أو العمودي يحتوي على قسم من الجسم له البنية التالية

 $(\cdots)(-,+)(0 \text{ or } +)(+,-)(\cdots),$ 

حيث يمثل الرمز (...) أي تركيب من + و - و 0. القوسان في أقصى الداخل يحتويان نقاط جسم وهي معلمة بـ 1 وجميع العناصر الأخرى على طول نفس خط المسح معلمة بـ 0 باستثناء أن أي تتابع آخر من (0 أو +) محاط bounded بـ (-,+).

مثال: كتوضيح للمفاهيم التي نوقشت في هذا القسم، تأمل الشكل 27.7(a) الذي يبين صورة لشيك بنك تصويري عادي. يبين الشكل 28.7 الهيستوغرام كدالة لقيم تدرج العناصر التي يزيد تدرجها على 5. لاحظ أن لهذا الهيستوغرام الخصائص التي نوقشت سابقا. أي أن له نمطين مهيمنين متناظرين، من الواضح أنهما بنفس الارتفاع تقريبا ومفصولان بواد مميز. أخيرا، يبين الشكل 27.7 (d) الصورة المجزأة والتي حصل عليها باستعمال المعادلة (3.7 - 17) بعتبة تقع على أو قرب نقطة الوادي المتوسطة. لقد جعلت النتيجة ثنائية باستعمال تحليل التتابع المناقش أعلاه. لاحظ أنه على الرغم من أن T عتبة ثابتة، فقد تم تطبيق قيمتها موضعيا لأن الصورة المجزأة قد ولدت بواسطة المعادلة (3.7 - 13) التي تتضمن حساب تدرج موضعي وحساب معامل لابلاس.





(b) الشكل 27.7 (a) صورة أصلية. (b) صورة مجزأة(عن وايت وروهرير 1983).

#### 6.3.7 عتبات مبنية على عدة متحولات

لقد كنا مهتمين حتى الآن بتعتيب متحول شدة وحيد. في بعض الحالات يمكن أن يؤمن المحساس أكثر من متحول يميز كل عنصر في الصورة. ان التصوير الملون هو مثال يجدر ملاحظته حيث تستعمل مركبات الأحمر (R) و الأخضر (G) والأزرق (B) لتشكيل صورة اللون المركب (انظر القسم 7.4). في هذه الحالة يميز كل عنصر بثلاث قيم ويصبح بالامكان بناء هيستوغرام ثلاثي—الأبعاد. ان الاجراء الأساسي هو نفس ذلك الذي استعمل من أجل متحول واحد. فمثلا، إذا أعطينا ثلاث صور ذات نفس ذلك الذي استعمل من أجل متحول واحد. فمثلا، إذا أعطينا ثلاث صور ذات 16—سوية رمادية تتبع للمركبات RGB ، نشكل شبكة (مكعبا) أبعادها 16×16×16 وندخل في كل خلية من المكعب عدد العناصر التي لمركباتها RGB شدات تتبع للاحداثيات التي تعرف تلك الخلية المعينة. يمكن بعدئذ تقسيم كل مدخل entry على العدد الاجمالي للعناصر في الصورة لتكوين هيستوغرام مقيس normalized histogram.

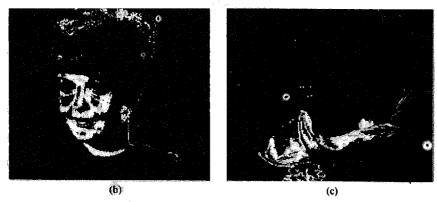
ان مفهوم التعتيب الآن يصبح ايجاد تجمعات نقاط في حيز ثلاثي— الأبعاد. افرض على سبيل المثال أننا نجد K تجمع نقاط هام في الهيستوغرام. يمكن أن تجزأ الصورة بتخصيص شدة معينة للعناصر التي تكون مركباتها RGB أقرب إلى تجمع ما وشدة أخرى للعناصر الأخرى في الصورة. ان هذا المفهوم قابل للتمديد بسهولة إلى مركبات أكثر وبالتأكيد إلى تجمعات أكثر. ان الصعوبة الرئيسة هي أن البحث عن التجمعات يصبح مهمة متزايدة التعقيد مع زيادة عدد المتحولات. يستطيع القارىء المهتم بمتابعة تقنيات للبحث عن التجمعات أن يعود إلى كتاب تو و وغونزيلز 1974 ، على سبيل المثال.

الشكل 28.7 هيستوغرام العناصر التي تدرجها أكبر من 5 (عن وايت وروهرير 1983).

مثال: كتوضيح لطريقة الهيستوغرام متعدد المتحولات، تأمل الشكل 29.7. الشكل 29.7 الشكل 29.7 هو صورة أحادية اللون لصورة فوتوغرافية ملونة. لقد كانت الصورة الأصلية الملونة مكونة من ثلاث صور ذات 16 مسوية RGB. ولغرضنا في هذا القسم، يكفي أن نشير إلى أن الوشاح كان أخرا زاهيا وأن ألوان الشعر وملاح الوجه كانت فاتحة وختلفة في الخواص الطيفية عن النافذة وخصائص الخلفية الأخرى.

لقيد تم الحصول على الشكول 29.7 (b) بالتعتيب حول أحد تجمعات الهيستوغرام. من المهيم أن نلاحظ أن النافذة التي هي قريبة في شدتها إلى الشعر في الصورة أحادية اللون لاتظهر في الصورة المجزأة بسبب استعمالنا لخواص النطاقات





الشكل 29.7 التجزيء بطريقة الهيستوغرام متعدد المتحولات.

الطيفية المتعددة multispectral characteristics لفصل هاتين المنطقتين. الشكل وروي تجمع قريب من المحور الاحداثي اللوني الأحمر. في هذه الحالة، ظهر الوشاح وجزء من الزهرة (التي كانت حمراء أيضا) فقط في النتيجة المجزأة. ان العتبة التي استخدمت للحصول على كلتا النتيجتين كانت مسافة خلية واحدة. ولذلك، فان كل عنصر كانت مركباته خارج الخلية التي تحتوي مركز التجمع المعني قد صنف كعنصر خلفية (أسود). أما العناصر التي وضعتها مركباتها داخل الخلية فقد رمزت بيضاء.

# region oriented segmentation التجزيء الموجه بالمناطق

ان الهدف من التجزيء هو تجزيء صورة ما إلى مناطق. في القسمين 1.7 و عرصلنا إلى حل هذه المسألة بايجاد الحدود بين المناطق بناءا على الانقطاعات في شدة اللمعان، بينا أنجزنا التجزيء في القسم 3.7 باستخدام عتبات مبنية على توزيع خصائص العنصر، مثل الكثافة أو اللون. في هذا القسم، نناقش تقنيات تجزيء مبنية على ايجاد المناطق مباشرة.

# 1.4.7 تشكيل أساسي 1.4.7

دع R تمثل منطقة الصورة بأكملها. يمكن أن ننظر إلى التجزيء كعملية تجزء R إلى R منطقة فرعية  $R_1, R_2, \dots, R_n$  بحيث أن

 $i \bigcup_{j=1}^{n} R_{i} = R(\tilde{i})$ 

(i=1,2,...,n) هي منطقة متصلة،  $R_i$ 

(i=j من أجل جميع قيم i و i باستثناء  $R_i \cap R_j = \phi$ 

(د) P(R<sub>i</sub>)=TRUE من أجل r

(هـ) P(R<sub>i</sub>∪R<sub>i</sub>)=FALSE من أجل i≠j ،

حيث ان  $P(R_i)$  هو خبر منطقي logocal predicate معرف ضمن مجال النقاط في المجموعة  $R_i$  و  $\phi$  هي مجموعة الأصفار (المجموعة الحالية).

يدل الشرط (آ) على أن التجزيء يجب أن يكون كاملا، أي أن كل عنصر يجب أن يكون في منطقة ما متصلة (انظر يكون في منطقة ما. ويتطلب الشرط الثاني أن تكون النقاط في منطقة ما متصلة (انظر القسم 2.4.2 بخصوص الاتصالية). الشرط (ج) يدل على أن المناطق يجب أن تكون منطقة منفصلة. ويتعامل الشرط (د) مع الخصائص التي يجب أن تحققها العناصر في منطقة مجزأة. ان أحد الأمثلة البسيطة هو  $P(R_i)$  TRUE إذا كان لجميع العناصر في  $P(R_i)$  الشدة. أخيرا، يدل الشرط (هـ) على أن المنطقتين  $P(R_i)$  و  $P(R_i)$  مختلفتان بمفهوم الخبر  $P(R_i)$  المتعمال هذه الشروط في خوارزميات التجزيء مناقش في الأقسام التالية.

# 2.4.7 توسيع المناطق بتجميع العناصر region growing by pixel aggregation

منطقة من هاتين المنطقتين كانت ستعطى نفس النتيجة. من جهة أخرى، لو اخترنا  $_{T=8}$  كانت ستنتج منطقة واحدة كما هو مبين في الشكل 30.7 (c).

	l	2	3	4	5				
ı	0	0	5	6	7				
2	ı		5	8	7				
3	0	1	6	1	7				
4	2	0	7	6	6				
5	0	1	5	6	5				
(a)									
	ä	a	b	b	b				
	a	a	ь	ь	ь				
	a	a	ь	ь	ь				
	ā	a	b	b	ь				
	a	а	ь	b	ь				
(b)									
	a	a	a	а	a				
	a	a	a	a	a				
	a	a	a	1	a				
	a	а	а	а	a				
	a	a	a	а	a				
	(c)								

الشكل 30.7 مثال لتوسيع المناطق باستعمال نقاط بداية معروفة. (a) مصفوفة صورة أصلية. (b) نتيجة التجزيء باستعمال فرق مطلق أقل من 3.

ان المثال السابق، على الرغم من أنه بسيط في طبيعته، يظهر مشاكل هامة في توسيع المناطق. تظهر مشكلتان مباشرتان هما اختيار نقاط الأصل seeds التي تمثل بشكل صحيح المناطق موضع الاهتام، واختيار خصائص ملائمة لتضمين النقاط في المناطق المتنوعة خلال عملية التوسيع. ان اختيار بجموعة من نقطة بداية واحدة أو أكثر يمكن أن يعتمد في كثير من الأحيان على طبيعة المسألة. فمثلا، في تطبيقات التصوير بالأشعة تحت-الحمراء العسكرية، تكون الأهداف موضع الاهتام أسخن (ولذلك تظهر أكثر لمعانا) من الحلفية. ان اختيار العناصر الأكثر لمعانا تكون عندئذ نقطة بداية طبيعية لخوارزمية توسيع المناطق. عندما لاتتوفر معلومات مسبقة يمكن أن نتابع، بحساب عند كل عنصر، نفس مجموعة الحصائص التي ستستعمل في النهاية لتخصيص بحساب عند كل عنصر، نفس مجموعة الحصائص التي ستستعمل في النهاية لتخصيص العناصر لمناطق معينة خلال عملية التوسيع. إذا أظهرت نتيجة هذه العملية تجمعات قيم قرب مراكز هذه التجمعات كنقاط أصل seeds. فمثلا، في المثال الذي أعطي أعلاه، قرب مراكز هذه التجمعات كنقاط أصل seeds. فمثلا، في المثال الذي أعطي أعلاه، سيبين هيستوغرام السويات-الرمادية أن النقاط التي شداتها 1 و 7 هي الأكثر هيمنة.

ان اختيار معايير التشابه لايعتمد على المسألة موضع الدراسة فحسب ولكن يعتمد أيضا على نوع معطيات الصور المتوفرة. فعلى سبيل المثال، ان استعمال صور سواتل استعمال (استثمار)—الأرض Iand—use satellite imagery يعتمد كثيرا على استعمال الألوان. ان التعامل مع هذه المسألة باستعمال صور وحيدة اللون لوحدها سيكون أكثر صعوبة بكثير. ولسوء الحظ، فان توفر معطيات صور متعددة النطاقات الطيفية ومعطيات أخرى مساعدة هو الاستثناء بدلا من أن يكون القاعدة في معالجة الصور. نموذجيا، يجب أن يجرى تحليل المناطق باستعمال مجموعة واصفات والتركيب الصور. نموذجيا، يجب أن يجرى تحليل المناطق باستعمال مجموعة واصفات والتركيب للشدة والخصائص الحيزية (مثل العزوم moments والتركيب (texture في توصيف المناطق region characterization في القسم 3.8.

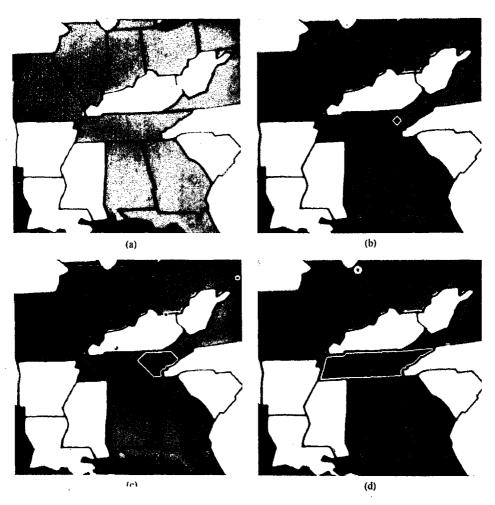
من المهم أن نشير إلى أن الواصفات لوحدها يمكن أن تعطي نتائج مضللة إذا لم تستعمل معلومات الاتصالية أو التجاور في عملية توسيع المناطق. يمكن بسهولة تصور توضيح لذلك بالأخذ بالاعتبار ترتيبا عشوائيا من عناصر ذات ثلاث سويات شدة مميزة فقط. ان تجميع العناصر ذات نفس الشدة لتشكيل "منطقة" دون اعطاء عناية للاتصالية سيعطى نتيجة تجزيء لامعنى لها في سياق هذه المناقشة.

ان تشكيل قانون توقف هو مسألة هامة أخرى في توسيع المناطق. نحن نوقف توسيع منطقة ما أساسا عندما لايبقى عناصر تحقق معايير التضمين في تلك المنطقة. لقد ذكرنا أعلاه معايير مثل الشدة intensity و الركيب texture و اللون التي هي موضعية بطبيعتها ولاتأخذ بالحسبان تاريخ توسيع المنطقة. ان بعض المعايير الأخرى التي تزيد طاقة خوارزميات توسيع—المناطق تشتمل على مفهوم القياس (الحجم) size و الشبه بين عنصر مرشح candidate والعناصر التي استخدمت في التوسيع حتى الآن (مثل مقارنة شدة العنصر المرشح مع الشدة المتوسطة للمنطقة)، وشكل منطقة معطاة يتم توسيعها. ان استعمال هذه الأنواع من الواصفات يبني على افتراض أن نموذجا للتائج المتوقعة متوفر جزئيا على الأقل.

مثال: الشكل 31.7 (a) هو صورة قسم من خريطة تحتوي نقطة أصل وحيدة (مبينة كنقطة بيضاء). ان المعيارين اللذين استخدما لتوسيع المناطق كانا (1) الفرق المطلق في السوية الرمادية بين نقطة الأصل والنقطة المرشحة لايتجاوز 10% من الفرق بين السويات العظمى والصغرى لمجمل الصورة ( 255 في هذه الحالة)، و (2) كل عنصر يضاف إلى المنطقة يجب أن يحقق اتصالية ثمانية مع عنصر واحد على الأقل من العناصر التي ضمنت سابقا في المنطقة.

يبين الشكل 31.7 (d) منطقة في المراحل الأولى من التوسع. ان الترتيب الذي تم فيه التعامل مع العناصر هو أن تؤخذ بالحسبان العناصر ذات نفس المسافة الرباعية DA من نقطة الأصل أولا. ان زيادة قيمة هذه المسافة لتمديد التوسع أنتج منطقة بشكل معين (انظر القسم 34.2). يبين الشكل 31.7 (c) المنطقة في مرحلة متوسطة من التوسع. لاحظ كيف تشوه شكل المعين نتيجة الاصطدام بحدود أسست بعناصر فشلت في تحقيق معيار السوية الرمادية. أخيرا، يبين الشكل 31.7 (d) توسع المنطقة

الكامل بهذه التقنية. من الجدير بالملاحظة أنه على الرغم من أن العناصر الأخرى في المناطق المجاورة قد حققت معيار السوية الرمادية، فقد توقف التوسع عندها لأن هذه العناصر لم تحقق معيار الاتصالية بسبب الفصل الناتج عن الحدود العاتمة حول المنطقة الموسعة (النامية).

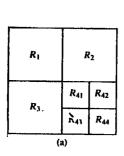


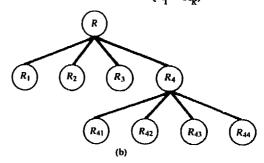
الشكل 31.7 (a) صورة أصلية تبين نقطة أصل. (b) مرحلة مبكرة من توسع المناطق (c) مرحلة متوسطة من التوسع. (d) المنطقة النهائية.

#### 3.4.7 شطر و دمج المناطق 3.4.7

يقوم الاجراء المناقش في القسم السابق بتوسيع المناطق بدءا من مجموعة معطاة من نقاط الأصل seed points. يوجد اجراء بديل يقوم على شطر الصورة في البداية إلى مجموعة مناطق فرعية اختيارية منفصلة، وبعدئذ دمجها أو شطرها في محاولة لتحقيق الشروط الواردة في القسم 1.4.7. يمكن شرح خوارزمية شطر و دمج split and merge تعمل بشكل تكراري لتحقيق هذه الشروط، كما يلي:

دع R تمثل كامل منطقة الصورة وانتق خبرا P كما ناقشنا في القسم R . بافتراض أن لدينا صورة مربعة، فان احدى الطرق لتجزيء R هو شطرها بشكل تتابعي إلى مناطق ربعية أصغر فأصغر بحيث يكون  $P(R_i)=TRUE$  من أجل أية منطقة  $R_i$  و إذا كانت P(R)=FALSE ، نقسم الصورة إلى أرباع . وإذا كانت P(R)=FALSE من أجل أي ربع، نقسم ذلك الربع إلى أرباع فرعية، وهكذا. ان لتقنية الشطر الخاصة هذه تمثيل ملائم يسمى الشجرة الرباعية  $R_i$  و معالما لذلك . لاحظ أن جذر الشجرة يقابل بالضبط) يبين الشكل  $R_i$  توضيحا بسيطا لذلك . لاحظ أن جذر الشجرة يقابل كامل الصورة وأن كل عقدة تقابل قسما فرعيا. في هذه الحالة تم شطر  $R_i$  فقط شطرا لاحقا . إذا استعملنا الشطر فقط، من المحتمل أن يحتوي الجزء الأخير على مناطق متجاورة ذات خصائص متاثلة . يمكن أن يعالج (يصلح) ذلك بالسماح بالدمج بالاضافة إلى الشطر . ولكي تحقق شروط القسم  $R_i$  ، ندمج منطقتين متجاورتين  $R_i$  فقط إذا كانت عناصرها المدموجة الخبر  $R_i$  ، أي، ندمج منطقتين متجاورتين  $R_i$  فقط إذا كانت  $P(R_i \cup R_k) = TRUE$ 





الشكل 32.7 صورة مجزأة. (b) الشجرة الرباعية المقابلة.

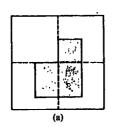
يمكن تلخيص المناقشة السابقة بالاجراء التالي الذي نقوم فيه في كل خطوة به: (1) نقسم أية منطقة R<sub>i</sub> حيث P(R<sub>i</sub>)=FALSE ، إلى أربعة أرباع منفصلة.

(2) ندمج أية منطقتين متجاورتين  $R_i$  و  $R_k$  يكون فيهما  $P(R_i \cup R_k) = TRUE$ 

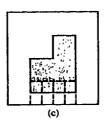
(3) نتوقف عندما لايصبح بالامكان اجراء أي شطر أو دمج.

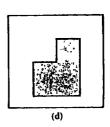
من الممكن وجود أشكال مختلفة لهذه الفكرة الأساسية Horwitz and Pavlidis). فعلى سبيل المثال، إن إحدى الامكانيات هي شطر الصورة في البداية إلى مجموعة من الكتل المربعة square blocks. أما الشطر اللاحق فيتم كما ذكرنا أعلاه، ولكن الدمج يقتصر في البداية على مجموعات groups من أربع كتل هي نوازل descendants في تمثيل الشجرة الرباعية quadtree و تحقق الخبر P. وعندما لايصبح بالامكان اجراء أية عمليات دمج أخرى، ينهى الاجراء بدمج أخير للمناطق التي تحقق الخطوة 2 أعلاه. وعند هذه النقطة، يمكن أن تكون المناطق التي دمجت ذات قياسات (أحجام) مختلفة. ان مزية هذا الاجراء هي أنه يستعمل نفس الشجرة الرباعية من أجل الشطر والدمج حتى خطوة الدمج النهائية.

split – and – merge جام والحيد الموارزمية قسم – والمجام وحيد وخلفية. وللتبسيط، المناقشة أعلاه. تتكون الصورة موضع الدراسة من جسم وحيد وخلفية. وللتبسيط، نفترض أن كلا من الجسم والحلفية ذا سوية رمادية ثابتة وأن  $P(R_i)$ =TRUE إذا كانت جميع العناصر في  $R_i$  ذات نفس الشدة. ينتج بعد ذلك من أجل كامل منطقة الصورة  $R_i$  أن المناصل أكامل منطقة التالية تكون المنطقة اليسرى العلوية فقط محققة للخبر ولذلك لا تغير، في حين أن مناطق الأرباع الثلاثة الأخرى تقسم إلى أرباع فرعية كما هو مبين في الشكل 33.7 (d). في هذه المرحلة يمكن دمج عدة مناطق، باستثناء الربعين الفرعيين اللذين يحتويان الجزء الأدنى من الجسم لأنهما لا يحققان الخبر و يجب أن يقسما ثانية. ان نتائج عملية قسم – و – أدمج مبينة في الشكل 33.7 (c). في هذه المرحلة ، هميع المناطق تحقق الخبر  $R_i$  ، ودمج المناطق الملائمة في الشكل 33.7 (b).









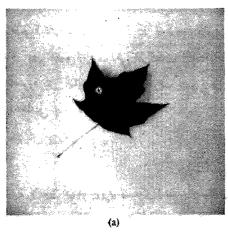
الشكل 33.7 مثال لخوارزمية قسم-و- أدمج

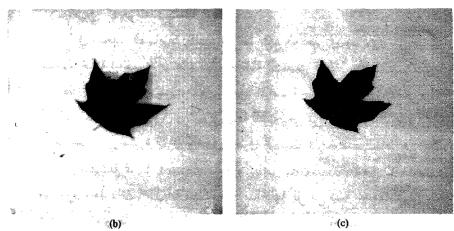
(Fu, Gonzalez and Lee 1987 عن).

يبين الشكل 34.7 مثالاً عملياً أكثر. في هذه الحالة  $P(R_i)$ -TRUE إذا كان لو  $P(R_i)$ -TRUE إ $z_i - m_i = 2\sigma_i$  مناصر في  $R_i$  الحاصة  $E_i - m_i = 2\sigma_i$  من العناصر في  $E_i - m_i = 2\sigma_i$  المادية للعنصر رقم زفي  $E_i - m_i = 2\sigma_i$  هو وسطي السويات الرمادية في تلك المنطقة، و الرمادية للعنصر رقم زفي للسويات الرمادية في  $E_i - m_i = 2\sigma_i$  هو الانحراف المعياري للسويات الرمادية في  $E_i - m_i = 2\sigma_i$  هذا الشرط، تجعل قيم جميع العناصر في  $E_i - m_i = 2\sigma_i$  الشرط، تبعل قيم جميع العناصر في  $E_i - m_i = 2\sigma_i$  الشرط، تبعل قيم جميع العناصر في  $E_i - m_i = 2\sigma_i$  الشرط، تبعل قيم جميع العناصر في  $E_i - m_i = 2\sigma_i$  الشرط، تبعل قيم جميع العناصر في المشكل 34.7 (a) مبينة في الشكل (b) (b) الحظ أثر التقنية على المناصورة المبينة في المناصورة وقرب الورقة نتيجة التظليل. لقد تم المنافة بين المناصورة بين المناصورة وقرب المناصورة وزجد عن المناصورة وزين الرئيستين للهيستوغرام. لقد تم حذف كتل الظل الفاتحة و (جذع المناصورة وزود) بالتعتيب.

## 5.7 استعمال الحركة في التجزيء the use of motion in segmentation

ان الحركة دليل فعال ديستعمل من قبل الانسان والحيوانات الأخرى لاستخلاص الأجسام موضع الاهتهام من خلفية ذات تفاصيل عديمة الصلة بالأجسام. في تطبيقات التصوير، تنشأ الحركة من ازاحة نسبية بين نظام التحسس والمشهد المنظور اليه كما في تطبيقات الانسان الآلي (الروبوتيك) و الملاحة التلقائية (الذاتية) والتحليل الديناميكي للمشاهد. ندرس في الأقسام التالية استعمال الحركة في التجزيء من وجهتي نظر المجال الترددي و المجال الحيزي.





الشكل 34.7 (a) صورة اصليه. (b) نتيجة اجراء قسم و الذج. (c) لتيجة تعتيب الشكل 34.7 (b).

# 1.5.7 التقنيات الحيزية spatial techniques طريقة أساسية basic approach

إن إحدى أبسط الطرق لكشف التغيرات بين اطاري صورتين  $f(x, y, t_i)$  و ملتقطين في زمنين  $\mathbf{t}_i$  و  $\mathbf{t}_i$  على التوالي، هي مقارنة الصورتين على أساس عنصر فعنصر. ان أحد الاجراءات لعمل ذلك هو تشكيل "صورة فرق" difference image. افرض أن لدينا صورة مرجعية تحتوي مركبات ثابتة فقط. إذا قارنا

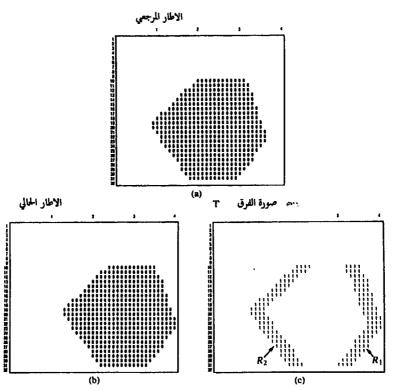
هذه الصورة مع صورة تالية ذات نفس البيئة environment ولكنها تحتوي على جسم متحرك، فان الفرق بين الصورتين سيلغي المركبات الثابتة تاركا المداخل غير الصفرية التابعة لمركبات الصورة غير الثابتة. يمكن أن تعرف صورة فرق بين صورتين ملتقطتين في زمنين  $t_i$  و  $t_i$  بما يلي

$$d_{ij}(x, y) = \begin{cases} 1 & \text{if } |f(x, y, t_i) - f(x, y, t_j)| > \theta, \\ 0 & \text{otherwise,} \end{cases}$$
 (1-5.7)

حيث ان  $\theta$  هي عتبة. لاحظ أن  $d_{ij}(x, y)$  تساوي 1 عند احداثيين حيزيين (x, y) فقط إذا كان فرق السوية الرمادية بين الصورتين مختلفا بشكل محسوس (معتبر) عند هذين الاحداثيين، كما هو محدد بالعتبة  $\theta$ .

في التحليل الديناميكي للصورة، تعد جميع العناصر في  $d_{ij}(x, y)$  التي قيمتها 1 نتيجة لحركة الجسم. ان هذه الطريقة قابلة للتتطبيق فقط إذا كانت الصورتان , مسجلتين والانارة ثابتة تقريبا ضمن الحدود المؤسسة بـ  $\theta$ . في التطبيق العملي، كثيرا ماتظهر مداخل قيمتها 1 في  $d_{ij}(x, y)$  نتيجة للضجيج. غوذجيا، ستكون هذه المداخل نقاطا معزولة في صورة الفرق واحدى الطرق البسيطة لازالة هذه النقاط هي تكوين مناطق متصلة ثمانيا  $\theta$ -connected أو رباعيا  $\theta$ -connected من الواحدات في مناطق متحد ذلك اهمال أية منطقة عدد مداخلها أقل من قيمة محددة مسبقا. ولكن يمكن أن يؤدي ذلك إلى اهمال أجسام صغيرة و/أو أجسام متحركة ببطء، ولكنها تحسن فرص كون المداخل الباقية في صورة الفرق مداخل ناتجة حقيقة عن الحركة.

ان المفاهيم السابقة موضحة في الشكل 35.7. يبين الشكل 35.7) اطار صورة مرجعية التقطت في زمن  $t_i$  و تحتوي على جسم وحيد ذي شدة ثابتة، يتحرك بسرعة منتظمة على سطح الحلفية التي شدتها ثابتة أيضاً. ويبين الشكل 35.7(d) إطاراً حالياً التقط في زمن  $t_i$  ويبين الشكل 36.7(c) صورة الفرق محسوبة باستعمال المعادلة (5.7-1). لاحظ أنه قد تم توليد منطقتين منفصلتين بواسطة عملية الفرق: احداهما تولدت نتيجة الحافة الأمامية والمنطقة الأخرى هي نتيجة الحافة الخلفية للجسم المتحرك.



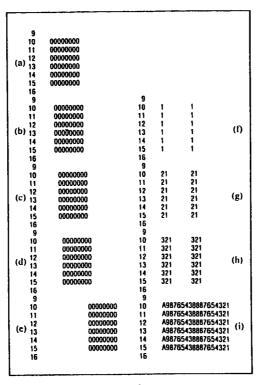
الشكل 35.7 (a) صورة ملتقطة في زمن t، (b) صورة ملتقطة في زمن t، (c). صورة الفرق. (عن 1981 Jain 1981).

# الفروق التراكمية accomulative differences

كا أشرنا في القسم السابق، كثيرا ما تحتوي صورة الفرق مداخل معزولة ناتجة عن الضجيج. على الرغم من أن عدد هذه المداخل يمكن أن يخفض أو يحذف بشكل كامل بتحليل اتصالية معتب thressholded connectivity analysis ، فان طريقة الترشيح هذه يمكن أن تزيل الأجسبام الصغيرة أو المتحركة ببطء. إن الطريقة المناقشة في هذا القسم تتعامل مع المسألة بدراسة التغيرات في موضع العنصر في عدة اطارات، مقدمة بذلك "ذاكرة" إلى العملية. ان الفكرة الأساسية هي أن نهمل التغيرات التي تحدث بشكل متفرق sporadic ضمن تتابع اطارات والتي يمكن أن تعزى بالتالي إلى ضجيج عشوائي.

خذ تتابع اطارات الصورة فرق تراكمي  $f(x, y, t_1), f(x, y, t_2), ..., f(x, y, t_n)$  ولتكن والصورة المرجعية. تشكل صورة فرق تراكمي التتابع. تتم زيادة عداد لكل موضع عنصر الصورة المرجعية هذه مع كل صورة تالية في التتابع. تتم زيادة عداد لكل موضع عنصر في الصورة التراكمية في كل مرة يكون فيها فرق في موضع ذلك العنصر بين المرجع والصورة في التتابع. وهكذا فعندما يقارن الأطار رقم x بالمرجع يعطي العنصر في مدخل معين من الصورة التراكمية عدد المرات التي كانت فيها السوية الرمادية في ذلك الموضع مختلفة عن قيمة العنصر المقابل في الصورة المرجعية. تؤسس الفروق باستعمال المعادلة (5.7 – 1)، على سبيل المثال.

ان المفاهيم السابقة موضحة في الشكل 36.7. تبين الأجزاء (a) حتى (b) من هذا الشكل جسما مستطيلا (مشارا اليه بأصفار) يتحرك إلى اليمين بسرعة ثابتة قدرها عنصر الشكل جسما مستطيلا (مشارا اليه بأصفار) يتحرك إلى اليمين بسرعة ثابتة قدرها عنصر واحد لكل اطار. عثل الصور المبينة لحظات من الزمن تقابل ازاحات بمقدار عنصر واحد للاطار (one pixel per frame). الشكل 36.7 (a) هو اطار الصورة المرجعية، والأشكال 36.7 (b) هي الاطارات 2 و 3 و 4 في التتابع، والشكل المرجعية، والأشكال رقم 11 والأشكال 36.7 (l) حتى (e) هي الصور التراكمية المقابلة التي يمكن شرحها كايلي. في الشكل 36.7 (l) العمود الأيسر من الواحدات هو بسبب الفروق بين الجسم في الشكل 36.7 (a) والجلفية في الشكل 36.7 (b) العمود الأيمن من الواحدات ناتج عن الفروق بين الخلفية في الصورة المرجعية والحافة الأمامية في الجسم المنوق المنافرة المنافر



الشكل 36.7 (a) اطار صورة مرجعية. (b) - (e) هي الأطر 2,3,4,11 (i) - (f) هي صور الفرق التراكمي للأطر 2,3,4,11 (الأرقام 9-16 على الحدود هي أرقام مرجعية للخطوط ولاتتعلق بهذه المناقشة، عن Jain 1981).

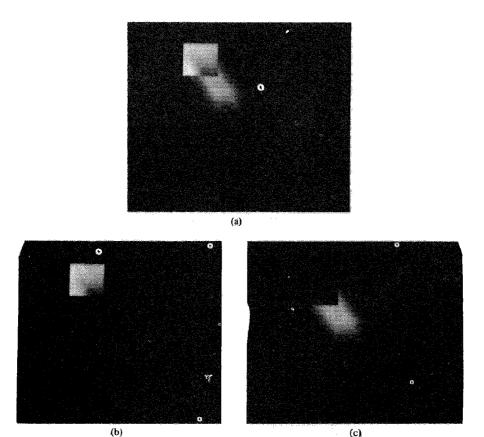
يكون من المناسب في كثير من الأحيان أخذ ثلاثة أنواع من صور الفرق التراكمي: مطلق (AADI) وموجب (PADI) وسالب (NADI). يتم الحصول على الكميتين الاخيرتين باستعمال المعادلة (5.7-1)بدون القيمة المطلقة، و باستعمال الاطار المرجعي بدلا من f(x, y, t), بافتراض أن السويات الرمادية للجسم أكبر عدديا من الخلفية، إذا كان الفرق موجبا، فانه يقارن مع عتبة موجبة، وإذا كان سالبا، يقارن مع عتبة سالبة. ويعكس هذا التعريف إذا كانت سويات الجسم أقل من الخلفية.

مثال: تبين الأشكال 37.7 (a) الصور AADI, PADI, NADI الحسم مكون من 20 × 20 عنصراً، سويته الرمادية أعلى من الخلفية ويتحرك بسرعة ثابتة في اتجاه جنوب شرق. من المهم أن نلاحظ أن التوسع الحيزي له PADI يتوقف عندما يزاح الجسم من موضعه الأصلي. بعبارة أخرى، عند ما يزاح جسم سوياته الرمادية أعلى من الخلفية بشكل كامل من موضعه في الصورة المرجعية، لن يكون هناك مداخل جديدة مولدة في صورة الفرق التراكمي الموجب. ولذلك، عندما يتوقف توسعه، تعطي صورة المستعمال الموضع الأولي للجسم في الاطار المرجعي. كما سنرى في القسم التالي، يمكن استعمال هذه الخاصة للاستفادة في انشاء مرجع من تتابع صور ديناميكية. ويلاحظ أيضا في الشكل 37.7 أن صورة اله الصور تعطي دلالة على سرعة واتجاه حركة الجسم. ان الصور في الشكل 37.7 مبينة بشكل شدة مرمزة في الشكل 38.7 الشكل 38.7 أليسة بشكل شدة مرمزة في الشكل 38.7.

# تأسيس صورة مرجعية establishing a reference image

ان مفتاح نجاح التقنيات التي نوقشت في القسمين السابقين هو توفر صورتين مرجعية يمكن أن تتم المقارنات اللاحقة معها. كما أشرنا أعلاه، يميل الفرق بين صورتين في مسألة تصوير ديناميكي إلى الغاء جميع المركبات الثابتة، تاركا عناصر الصورة التي تتبع للضجيج وللأجسام المتحركة فقط. يمكن التعامل مع مشكلة الضجيج بطريقة الترشيح التي ذكرت سابقا، أو بتكوين صورة فرق تراكمي كما ناقشنا في القسم السابق. في التطبيق العملي، ليس من الممكن دائما الحصول على صورة مرجعية بعناصر ثابتة فقط، ويصبح ضروريا بناء مرجع من مجموعة صور تحتوي على جسم متحرك أو أكثر. ان هذا الأمر حقيقة خصيصا في الحالات التي تصف مشاهد مزد حمة busy أكثر. ان هذا الأمر حقيقة خصيصا في الحالات التي تصف مشاهد مزد حمة لتوليد مورة مرجعية هو التالي: افرض أننا نعتبر الصورة الأولى في تتابع صور معين هي صورة مرجعية. عندما تتحرك مركبة غير ثابتة، كليا إلى خارج موضعها في الاطار المرجعي، محدث أن تنسخ duplicated الحلفية المقابلة لها في الاطار الحالي في الموضع الذي كان

```
000000000000000000000
99999999999999999
7977777777777777777777
978888888888888888
99888688888888888811
2288888888888888888811
99887777777777777772211
                                                    الشكل 37.7 صور - فروق تراكمية (a) مطلقة
9988777777777777777772211
9988777777777777777772211
998877766666666666666332211
                                                   و (b) موجبة و (c) سالبة لحسم مكون من 20×20
99887766666666666666332211
                                                    عنصرا، شدته أكبر من الخلفية ويتحرك باتجاه
99887766666666666666332211
9988776655555555555544332211
99887766555555555544332211
                                                            جنوب شرق (عن Jain 1983).
798877665555555555544332211
798877665544444444445544332211
79887766554444444445544332211
97887766554444444445544332211
99887766554433333333665544332211
9988.766554433333333665544332211
  11223344556666666665544332211
  11223344556677777777665544332211
11223344556677777777665544332211
    112233445566666666665544332211
    1122334455667777777665544332211
1122334455667777777665544332211
       112233445566666666665544332211
       1122334455667777777665544332211
1122334455667777777665544332211
         11223344556666666665544332211
                                                                       7211
2211
         112233445566666666665544332211
         112233445566666666665544332211
           1122334455555555555544332211
                                                                       332211
           1122334455555555555544332211
                                                                       332211
                                                                       332211
             11223344444444444444332211
              11223344444444444444332211
                                                                       14332211
             1433221L
                                                                       5544332211
                112233333333333333332211
                                                                       5544332211
                1122333333333333333332211
                                                                       5544332211
                  1122222222222222222211
                                                                       665544332211
                  110000000000000000000011
                  11222222222222222211
                                                  112233445566666666665544332211
                    11111111111111111111111
                                                   11223344556677777777665544332211
                                                   11223344556677777777665544332211
                     111111111111111111111111
                                                     112233445566666666665544332211
                                                     11223344556677777777665544332211
11223344556677777777665544332211
                                                       112233445566666666665544332211
                                                       11223344556677777777665544332211
          112233445566666666665544332211
                                                          11223344556666666665544332211
           778888888888888888888
                                                          112233445566666666665544332211
           7788888888888888888
                                                            112233445555555555544332211
           9988888888888888888
                                                            1122334455555555555544332211
1122334455555555555544332211
           998877777777777777777777
           9988777777777777777777777
           998877777777777777777
                                                              112233444444444444444332211
                                                               1122334444444444444332211
           9988776666666666666666
           99887766666666666666
                                                               11223344444444444444332211
                                                                 112233333333333333332211
           99887766666666666666
                                                                 112233333333333333332211
           99887766555555555555
                                                                 1122333333333333333332211
           9988774655555555555
                                                                   1122222222222222222211
           9988774655555555555
                                                                    112222222222222222211
           99887766554444444444
                                                                   112222222222222222211
           9988776655444444444
                                                                      11111111111111111111111111
           99887766554444444444
           998877665544333333333
                                                                      11111111111111111111111111
           798877665544333333333
                                                                       (c)
```

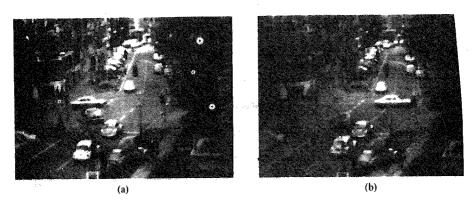


الشكل 38.7 صور فروق تراكمية مرمزة الشدة للشكل AADI (a)37.7 و PADI (c) و NADI (c) ، (عن 1983 Jain ).

مشغولا أصلا بالحسم في الصورة المرجعية. وعندما تتحرك جميع الأجسام المتحركة خارج مواضعها الأصلية بشكل كامل، ستكون الصورة المرجعية المحتوية على مركبات ثابتة فقط قد أنشئت يمكن تأسيس ازاحة الحسم بمراقبة تغير الـ PADI ، كما ناقشنا في القسم السابق.

مثال: يبين الشكلان 39.7 و 40.7 توضيحا للطريقة التي نوقشت أعلاه. يبين الشكل 39.7 اطاري صورة لتقاطع مرور. يعد الاطار الأول مرجعا و يبين الثاني نفس المشهد بعد بعض الوقت. ان الخصائص الرئيسة المتحركة هي سيارات تتحرك من اليسار

إلى اليمين و ماش pedestrian يجتاز الشارع في الجانب الأيسر الأدنى من الصورة. اد إزالة السيارة المتحركة مبينة في الشكل 40.7 والماشي قد أزيل في الشكل 40.7 (b)40.7.



الشكل 39.7 اطاري صورة حركة مرور. يوجد جسان متحركان رئيسان في الصورة: سيارة بيضاء في وسط الصورة وماش في اليسار الأدنى (عن Jain 1981).



الشكل 40 (a) صورة أزيلت منها السيارة واستعيد ت فيها الخلفية. (b) أزيل منها الماشي واستعيدت فيها الخلفية. يمكن استعمال الصورة الأخررة كمرجع. (عن 1981 Jain).

#### 2.5.7 تقنيات المجال - الترددي

تتعامل التقنيات التي نوقشت في الفصل السابق مع حركة الصورة باستعمال الطرائق الحيزية. ندرس في هذا القسم مسألة تحديد تقديرات estimates الحركة بواسطة للمحارث formulation لتحويل فورييه. خذ تتابعا ( من أجل T-1,2,...,T-1 من أجل المحريل فورييه.

افرض أن الجسم قد تحرك في الاطار الثاني (t=1) إلى الاحداثيين (x´+1,y) ، أي أنه قد تحرك بمقدار عنصر واحد بشكل مواز للمحور الاحداثي x. بعدئذ ستعطي اعادة الاجراء المذكور أعلاه المجموع الآتي  $\exp[j2\pi k_1(x´+1)\Delta t]$ . إذا تابع الجسم التحرك بمقدار عنصر واحد لكل اطار ، يكون لدينا في أية لحظة صحيحة integer من الزمن النتيجة  $\exp[j2\pi k_1(x´+t)\Delta t]$  ، التي يمكن التعبير عنها باستعمال صيغة أولر كا يلى

 $\exp[j2\pi k_1(x'+t)\Delta t] = \cos[2\pi k_1(x'+t)\Delta t] + j\sin[2\pi k_1(x'+t)\Delta t]$   $t = 0, 1, \dots, T-1.$ (2-5.7)

بعبارة أخرى، يعطي الاجراء الملخص أعلاه اشارة جيبية عقدية بتردد  $k_1$ . إذا كان المجسم يتحرك بمقدار  $v_1$  عنصرا (باتجاه x) بين الأطر فسيكون للاشارة الجيبية التردد  $v_1$  بين  $v_1$  ولأن  $v_1$  تتغير بين  $v_2$  و  $v_1$  بتزايدات صحيحة، فإذا جعلنا  $v_2$  يقتصر على القيم الصحيحة فسيكون لتحويل فورييه المتقطع للاشارة الجيبية قمتان تقع احداهما عند التردد  $v_1$  والثانية عند التردد  $v_1$  ان الذروة الأخيرة ناتجة عن تناظر الطي التردد  $v_1$  ناقشنا في القسم  $v_2$  3.3.3 ويكن أن تهمل. ولذلك فان استقصاء الذرى في طيف فورييه سيعطي  $v_1$  ان تقسيم هذه الكمية على  $v_2$  يعطي

 $v_1$  التي هي مركبة السرعة في الاتجاه x. لأن معدل الاطار يفترض أن يكون معروفا. ان مناقشة مشابهة باستعمال المساقط على المحور الاحداثي  $v_2$  ستعطي  $v_2$  التي هي مركبة السرعة في الاتجاه  $v_2$  من المهم أن نلاحظ أن التتابع الذي لاتحصل فيه حركة سينتج حدودا أسية متاثلة يتألف تحويل فوربيه التابع لها من ذروة وحيدة عند التردد صفر 0" (أي حدا مستمرا وحيدا 0). ولذلك، نظرا لأن العمليات التي نوقشت حتى الآن هي عمليات خطية، فان الحالة العامة التي تتضمن جسما متحركا واحدا أو أكثر في خلفية ساكنة اختيارية ستكون ذات ذروة عند 00 مقابلة لمركبات الصورة الساكنة، وذرى في مواضع متناسبة مع سرع الأجسام. يمكن أن تلخص المفاهيم السابقة باستعمال العلاقات التالية. من أجل تتابع مكون من v1 من الصور الرقمية ذات القياس v2 معطى مجموع المساقط الموزنة على المحور الاحداثي v3 أية لحظة صحيحة integer من الزمن بالمعادلة:

$$g_x(t, k_1) = \sum_{x=0}^{M-1} \sum_{y=0}^{N-1} f(x, y, t) e^{j2\pi k_1 x \Delta t} \quad t = 0, 1, \dots, T-1 \quad (3-5.7)$$

بشكل مشابه، يعطى مجموع المساقط على المحور الاحداثي y بالمعادلة

$$g_{y}(t, k_{2}) = \sum_{y=0}^{N-1} \sum_{x=0}^{M-1} f(x, y, t) e^{j2\pi k_{2}y\Delta t} \qquad t = 0, 1, \dots, T-1, \qquad (4-5.7)$$

حيث ان  $k_2$  و  $k_2$  هما عددان صحيحان موجبان.

يعطى تحويلا فورييه أحاديا-البعد للمعادلتين (5.7-3) و (5.7-4)، على التوالى بالمعادلتين

$$G_x(u_1, k_1) = \frac{1}{T} \sum_{t=0}^{T-1} g_x(t, k_1) e^{-j2\pi u_1 t/T} \quad u_1 = 0, 1, \dots, T-1$$
 (5-5.7)

$$G_{y}(u_{2}, k_{2}) = \frac{1}{T} \sum_{t=0}^{T-1} g_{y}(t, k_{2})e^{-j2\pi u_{2}t/T}$$
  $u_{2} = 0, 1, \dots, T-1.$  (6-5.7)

في التطبيق العملي، يتم حساب هذين التحويلين باستعمال خوارزمية تحويل فورييه السريع، كما ناقشنا في القسم 4.3.

بناءا على المناقشة المذكورة أعلاه، تعطى علاقة التردد-السرعة بالمعادلتين التاليتين

$$u_1 = k_1 v_1 \tag{7-5.7}$$

,

$$u_2 = k_2 v_2. (8-5.7)$$

من المهم أن نلاحظ أيضا أن وحدة السرعة في هذا التشكيل هي "عنصر في زمن الاطار الاجمالي" pixel per total frame time. فمثلا،  $v_1$ =10 تفسر بأنها حركة 10 عناصر في T اطار. بافتراض أن الأطر مأخوذة بانتظام، فان السرعة الفيزيائية الفعلية ستعتمد على معدل الاطار وعلى المسافة بين العناصر. ولذلك، إذا كانت  $v_1$ =10 و  $v_1$ =10 و معدل الاطار هو صورتان في الثانية، والمسافة بين العناصر هي  $v_1$ =10 السرعة الفيزيائية الفعلية في الاتجاه  $v_1$ =10 مستكون

 $v_1 = (10 \text{ pixels})(0.5 \text{ m/pixel})(2 \text{ frames/sec})/(30 \text{ frames})$ = 1/3 m/sec.

يتم الحصول على اشارة المركبة x للسرعة بحساب

$$S_{1x} = \frac{d^2 \text{Re}[g_x(t, k_1)]}{dt^2} \bigg|_{t=n}$$
 (9-5.7)

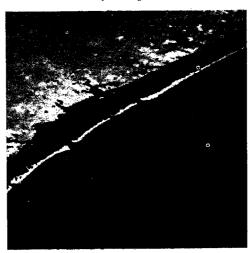
•

$$S_{2x} = \frac{d^2 \text{Im}[g_x(t, k_2)]}{dt^2} \bigg|_{t=n}$$
 (10-5.7)

نظرا لأن  $g_x(t, k_l)$  جيبية، يمكن أن نبين أن  $S_{1x}$  و  $S_{2x}$  سيكون لهما نفس الاشارة في نقطة ما  $s_{1x}$  الوقت إذا كانت مركبة السرعة  $s_{1x}$  موجبة. وبشكل معاكس، ستدل الاشارتان المتعاكستان في  $s_{1x}$  و  $s_{2x}$  على مركبة سالبة. إذا كانت  $s_{1x}$  أو  $s_{2x}$  صفرا، نأخذ النقطة التالية الأقرب في الوقت،  $s_{1x}$  وتسري تعليقات مشابهة على حساب  $s_{2x}$ .

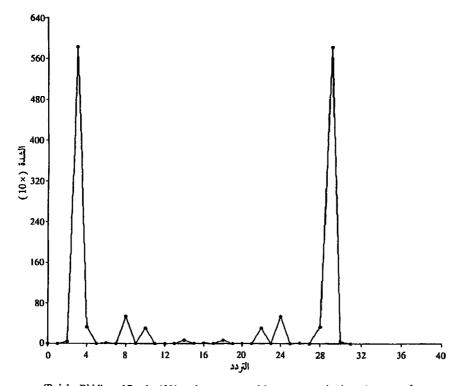
مثال: ان فعالية الطريقة التي اشتقت للتو موضحة في الأشكال 41.7 حتى 44.7 يبين

الشكل 141.7 المولدة المستورة المرجعية. يحتوي التنابع هدفا متراكبا يتحرك بسرعة باضافة ضجيج أبيض إلى الصورة المرجعية. يحتوي التنابع هدفا متراكبا يتحرك بسرعة 0.5 معنصرا للاطار في الاتجاه x وعنصرا واحدا للاطار في الاتجاه y. ان الهدف، مبينا ضمن دائرة في الشكل 42.7 له توزيع شدة غوصية منتشرة ضمن منطقة صغيرة (9 عناصر) و ليس من السهل تمييزه بالعين المجردة. ان نتائج حساب المعانلتين (5.7 – 5) و عناصر) و ليس من السهل تمييزه بالعين المجردة. ان نتائج حساب المعانلتين (6.5 – 5) و عناصر) و ليس من السهل تمييزه  $x_1 = 0.5$  مبينة في الأشكال 43.7 و 44.7 على التوالي. ان القمة عند  $x_1 = 0.5$  الشكل  $x_2 = 0.5$  من المعادلة (5.7 – 7). بشكل مشابه، فان القمة عند  $x_2 = 0.5$  الشكل 44.7 تعطي  $x_3 = 0.5$  من المعادلة (5.5 – 8).

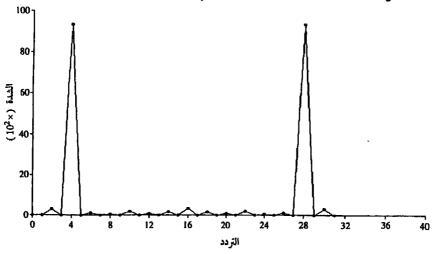


الشكل 41.7 اطار لاندسات LANDSAT (عن Cowart, Snyder and Ruedger 1983).

يمكن شرح الخطوط العريضة guidlines لانتقاء  $k_2$  به بمساعدة الشكلين  $k_2$ 4.  $k_3$ 4.  $k_4$ 6.  $k_2$ 6.  $k_2$ 6.  $k_3$ 6.  $k_4$ 6.

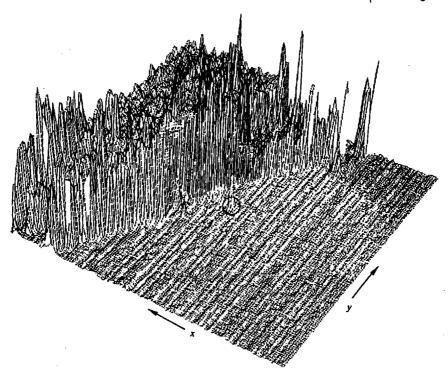


الشكل 43.7 طيف المعادلة (5.7 - 5) مبينا ذروة عند 3-1<sub>1</sub> (عن Rajala, Riddle and Snyder 1983).



الشكل 7- 44 طيف المعادلة (5.7-6) مبينا ذروة عند 4<sub>-2</sub>. (عن Rajala, Riddle and Snyder 1983).

الامكانيات هي اختيار  $k=u_{max}/v_{max}$  العدد الصحيح الأقرب إلى  $k=u_{max}/v_{max}$  ان  $u_{max}$  ان  $u_{max}$  هي أقصى سرعة  $u_{max}$  هي أقصى سرعة متوقعة للجسم.



الشكل 42.7 رسم شدة اضاءة للشكل 41.7 والهدف محاط بدائرة (عن Rajala, Riddle and Snyder 1983).

# 6.7 ملاحظات ختامية

ان تجزيء الصورة هو خطوة أولية في معظم مسائل التعرف على الأنماط pattern recognition وتحليل المشاهد scene analysis الآليين. كما يدل مدى الأمثلة التي عرضت في الأقسام السابقة، فان تفضيل تقنية تجزيء على تقنية أخرى تمليه إلى حد كبير الخواص المميزة للمسألة موضع الدراسة. ان الطرائق التي نوقشت في هذا الفصل هي تقنيات تمثيلية representative تستعمل بشكل شائع في التطبيق العملي،

على الرغم من أنها لا تشتمل على جميع الطرق المعروفة. يمكن أن تستعمل المراجع المدونة أدناه كأساس لدراسة أبعد لهذا الموضوع.

## مراجع

لقد لقي البحث الذي يتعامل مع استعمال النوافذ لكشف الانقطاعات في السويات الرمادية عناية كبيرة في المنشورات. يمكن ايجاد بني النوافذ التي تكمل تلك التي نوقشت في القسم 1.7 في مقالات Roberts 1965 و Robenson 1976 و Robenson 1976 و Robenson 1976 عدة التي نوقشت في القسم 1.7 في مقالة مراجعة (مسح) لـ Robenson 1975 على النعمل نوافذ مع تقويم أداءها. ان التشكيل الاتجاهي vector formulation الذي استعمل للكشف الآني للانقطاعات مبني على مقالة لـ Frei and Chen 1977. يمكن ايجاد قراءة عامة اضافية في أساسيات الكشف بالنافذة (القناع) و استعمالاتها في معالجة الصورة في كتب Marr 1982 و Rosenfeld and Kack 1982 و P.2.2. و 2.2.7 في كتب 1.2.7 و 1.2.7 و 2.2.7 على مقالتين لـ [1972,1976] Martelli يعطى يؤمن الكتابان الأخيران تفاصيل اضافية عن المادة الواردة في القسمين 1.2.7 و 2.2.7 لقد بنيت المادة الواردة في القسم 2.3.7 على مقالتين لـ [1972,1976] Martelli يعطى المحافية حول تقنيات استقصاء الرسم البياني graph searching في graph searching في وجهة نظر البرمجة الديناميكية أيضاً. من أجل تفاصيل أكثر في هذا الموضوع انظر 1982 Ballard and Brown 1982.

ان التعتيب هو أحد أقدم التقنيات التي طورت لتجزيء الصور الرقمية. ان Poyle 1962 و بعض المراجع النموذجية القديمة في هذا الموضوع هي مقالات Rosenfeld et al. 1965 و Narasimhan and Fornago 1963. ان تقنية التعتيب الأمثل التي طورت في القسم 4.3.7 تابعة لـ Chow and Kaneko 1972. ان الطريقة المعروضة في القسم 5.3.7 مبنية على مقالة Weska 1978. ومقالة المسح 5.3.7 مبنية على مقالة والقديمة في التجزيء المعتمد على المناطق هي أيضا موضع اهتمام. ان المراجع المبكرة (القديمة) في التجزيء المعتمد على المناطق

هي Muerle and Alen 1968 و Muerle and Alen 1968. ان مقالتي المراجعة (المسح) لـ Zucker 1976 و Fu and Mui 1981 تؤسسان بعض المفاهيم الموحدة وتناقشان جدارة تقنيات تجزيء متنوعة. ان مفهوم الشجرة الرباعية التي نوقشت في القسم 3.4.7 قد قدم من قبل [1972,1976] Klinger الذي سمى هذه الطريقة التحليل النظامي regular decomposition. تمثل مناقشات Ballard and Brown 1982 والنتائج كتلك التي قدمت من قبل Grosky and Jain 1983 و كثر حداثة في هذا الجال.

ان المادة الواردة في القسم 1.5.7 مبنية على مقالتين لـ [1981,1983] Rajala, Riddle and Snyder والمناقشة الواردة في القسم 2.5.7 مبنية على تقنية طورها بالمساميكي للصورة هي 1983. وهناك مراجع أخرى موضع اهتمام في التحليل الديناميكي للصورة هي Webb and و Thompson and Barnard 1981 و Aggarwal 1983. Adi 1985.

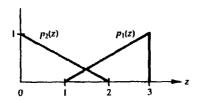
#### مسائل

- 1.7 من المعروف أن الصورة الثنائية تحتوي على خطوط مستقيمة موجهة أفقيا وعموديا وبزاوية  $45^\circ$  و  $-64^\circ$ . أعطِ مجموعة نوافذ أبعادها  $3^\circ$  كن أن تستعمل لكشف انقطاعات بطول عنصر واحد one-pixel-long-break في هذه الخطوط. افترض أن السوية الرمادية لهذه الخطوط هي 1 ، وأن السوية الرمادية للخلفية هي 0.
- 2.7 ان النتائج التي يمكن الحصول عليها بمرور وحيد عبر صورة باستخدام نوافذ ثنائية الأبعاد يمكن الحصول عليها أيضا بمرورين باستعمال نوافذ أحادية البعد. فعلى سبيل المثال، ان نتيجة استخدام نافذة تنعيم 3 × 3 بمعاملات 1/9 يمكن الحصول عليها أيضا بتمرير النافذة [111] عبر الصورة. بعدئذ نتبع نتيجة هذاالمرور

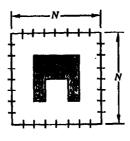
- بامرار النافذة [] . بعد ذلك نقيس النتيجة بـ 1/9. بين أنه يمكن تنفيذ
- نافذتي صوبل Sobel windows (الشكل 5.7) بمرور لنافذة اشتقاق من الشكل [ 101 - ] أو نظيرتها العمودية متبوعة بنافذة تنعيم من الشكل [ 121] (أو نظيرتها العمودية).
- حدد اتجاه الخطوط التي تسبب أقوى استجابة في كل من نوافذ الخطوط المبينة في الشكل 10.7 . افترض أن جميع الخطبوط ذات سماكة عنصر واحد .one - pixel - thick
- بين أن عامل لابلاس الرقمي المعطى بالمعادلة (1.7-18) يتناسب (بعامل -الأربعة من f(x, y) و تسمى عملية طرح f(x, y) مع طرح متوسط جيران (x. y) الأربعة من نسخة مغبشة لـ (x, y) منها نفسها التقنيع غير الحاد insharp masking).
- اقترح تقنية لكشف فجوات يتراوح طولها بين 1 و L عنصرا في أجزاء خطوط في صورة التدرج. افترض أن الخلفية ثابتة، وأن جميع الخطوط قد رمزت بنفس سوية الشدة وأن الخطوط ذات سماكة عنصر واحد. ابن تقنيتك على تحليل اتصالية الجيران- الثمانية 8-neighbor connectivity (انظر القسم 4.2) بدلا من محاولة بناء نوافذ لكشف الفجوات.
- (a) راكب على الشكل 15.7 جميع الحواف الممكنة المعطاة بالرسم البياني في الشكل 16.7.
  - (b) احسب كلفة المر ذي الكلفة الأدني minimum cost path.
- أوجد الحافة التابعة لممر الكلفة الأدنى في الصورة الفرعية المبينة أدناه، حيث تدل الأرقام في الأقواس على الشدة. افترض أن الحافة تبدأ في العمود الأول وتنتهي في العمود الأخير.

  - 0 . . . . . (2) (1) (0)

- 8.7 افرض أن صورة ما تتألف من نقاط بشكل فقاعات blobs عير متراكبة ذات سوية رمادية وسطية  $m_1$ =150 منتشرة على خلفية ذات وسطي 250  $m_2$ =625 من المعروف أن جميع الفقاعات تشكل 20% تقريبا من مساحة الصورة. اقترح تقنية مبينة على التعتيب لتجزيء الفقاعات من الصورة.
- 9.7 افرض أن صورة ما لها توزيعات الشدة التالية، حيث تتبع  $p_1(z)$  لشدة الأجسام و  $p_1(z)$  لشدة الخلفية. بافتراض أن  $p_1-p_2$  أوجد العتبة المثلى بين عناصر الأجسام والخلفية.



- 10.7 ابدأ بالمعادلة (3.7-12) واشتق المعادلتين (3.7-13) و (3.7-14).
- 11.7 اشتق المعادلة (3.7 15) مبتدءا من المعادلتين (3.7 13) و (3.7 14).
- 12.7 أعتبر أن لديك الصورة الموصوفة في المسألة 8.7 واقترح مخطط تجزيء مبني على توسيع–المناطق .
- 13.7 جزء الصورة المبينة أدناه باستعمال اجراء قسم-و-أدمج المناقش في القسم 3.4.7 دع  $R_i$  ذات نفس الشدة. بين الشجرة الرباعية التابعة لتجزيئك.



- 14.7 يرغب في تحديد سرعة رصاصة منطلقة بتقنيات تصوير السرعة العالية. تتضمن الطريقة المختارة استعمال فلاش flash يعرض سطح التصوير لكاميرا للفزيونية لـ T ثانية. طول الرصاصة 2.5 cm وعرضها 1cm ويعرف أن مدى سرعتها يقع بين 750 m/s. تنتج بصريات الكاميرا صورة تشغل الرصاصة فيها 10% من الميز الأفقى لصورة رقمية أبعادها 256 × 256
- a) حدد القيمة الدنيا لـ T التي تضمن أن التغبيش الناتج عن الحركة لايزيد عن عنصر واحد.
- b) حدد العدد الأدنى من الأطر بالثانية الذي يجب أن يؤخذ لكي نضمن أنه قد تم الحصول على صورتين كاملتين على الأقل للرصاصة خلال المرور عبر مجال الرؤية للكاميرا.
  - c ) اقترح تقنية تجزيء لاستخلاص الرصاصة من تتابع الأطر بشكل آلي.
    - d ) اقترح طريقة لتحديد سرعة الرصاصة بشكل آلي.

الفصل الثامن

# التمثيل و الوصف

حسناً، ولكن فكر ملياً، أولم نعترف عدة مرات أن الأسماء المعطاة بشكل صحيح هي التشبيهات وصور الأشياء التي نسميها ؟ سقراط Socrates.

بعد أن تجزأ الصورة إلى مناطق بواسطة طرائق كتلك التي نوقشت في الفصل 7 ، يهمنا عادة تمثيل و وصف مجمل العناصر المجزأة الناتجة في شكل ملائم لمعالجة لاحقة بالحاسوب.

أساسا، لدينا خيارين لتمثيل منطقة ما: (1) يمكن أن غثل المنطقة بناءا على خواصها الخارجية (أي، حدودها) و (2) يمكن أن غثلها بدلالة خواصها الداخلية (أي العناصر المؤلفة لها). ولكن اختيار أسلوب تمثيل معين، هو جزء فقط من مهمة جعل المعطيات مفيدة للحاسوب. ان المهمة الثانية هي وصف المنطقة بناءا على التمثيل المختار. فعلى سبيل المثال، يمكن أن غمثل منطقة ما بحدودها، وأن نصنف الحدود بخصائص مثل الطول و توجيه الخط المستقيم الواصل بين نقاط النهايات (الأطراف) extreme points (الأطراف) في الحدود.

بشكل عام، يختار التمثيل الخارجي external representation عندما يكون التركيز الرئيس على خصائص المشكل (و تسمى أيضا الخصائص المورفولوجية internal representation)، في حين يختار التمثيل الداخلي morphological features)، مثل اللون عندما يتركز الاهتام على خصائص الانعكاسية reflectivity properties، مثل اللون والتركيب color and texture. وفي أي تمثيل يختار، من المهم أن تكون الخصائص

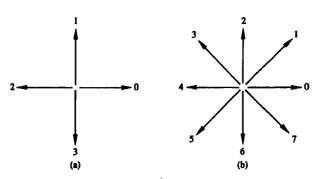
المختارة كواصفات غير حساسة، بقدر الامكان، للتغيرات مثل التغيرات في القياس size والنقل translation والدوران rotation. وللجزء الأكبر من هذا الفصل، تحقق الواصفات المناقشة خاصة أو أكثر من هذه الخصائص.

#### representation schemes التمثيل 1.8

ان تقنيات التقسيم المناقشة في الفصل السابع تعطي معطيات خام raw data على شكل عناصر على e pixels على طول الحدود، أو عناصر من ضمن منطقة معينة. على الرغم من أن هذه المعطيات تستعمل أحيانا مباشرة للحصول على الواصفات، (مثلا، في تحديد تركيب منطقة ما) ، فان استعمال خطط schemes تضغط المعطيات في تمثيلات أكثر فائدة بكثير في حساب الواصفات، هو ممارسة معيارية standard practice.

## 1.1.8 سلاسل الرموز chain codes

تستعمل سلاسل الرموز لتمثيل حدود صورة ما بخطوط مستقيمة متتابعة و متصلة (أجزاء) ذوات أطوال واتجاهات محددة. نموذجيا، يبنى هذا التمثيل على الاتصالية الرباعية أو الثمانية بين الأجزاء، حيث يرمَّز اتجاه كل جزء باستعمال خطة ترقيم كالمبينة في الشكل 1.8.

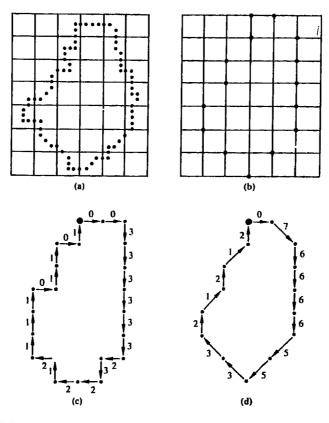


الشكل 1.8 الاتجاهات من أجل (a) سلسلة رموز ذات أربع اتجاهيات، و (b) سلسلة رموز ذات ثمان اتجاهيات.

نظراً لأن الصور الرقمية يتم الحصول عليها ومعالجتها في صيغة شبكة بفواصل متساوية في الاتجاهين x و y ، x يمكن أن نولد سلسلة رموز بتتبع الحدود، لتقُل، باتجاه عقارب الساعة وتخصيص اتجاهات للأجزاء الواصلة بين كل زوج من العناصر. ان هذه انظريقة غير مقبولة عادة لسببين رئيسين. الأول، هو أن سلسلة الرموز الناتجة تكون عادة طويلة جدا، و الثاني هو ان أية اضطرابات على الحدود ناتجة عن الضجيج أو عن تجزيء غير تام ستؤدي إلى تغيرات في الرموز والتي يمكن ألا تكون بالضرورة متعلقة بشكل الحدود.

ان احدى الطرق التي كثيرا ما تستخدم للمناورة حول هاتين المشكلتين هي اعادة اعتيان الحدود باختيار شبكة ذات فواصل أكبر (عينات أعرض) كما هو موضح في الشكل 2.8(a) بعدئذ، مع استعراض traversing الحدود، تخصص نقاط حدود لكل عقدة في الشبكة الكبيرة، اعتماداً على قرب الحدود الأصلية من تلك العقدة، كما هو مبين في الشكل 2.8(d). يمكن تمثيل الحدود المعاد اعتيانها والتي حصلنا عليها بهذه الطريقة بنظام الترميز الرباعي أو الثماني 40 40 8 مو مبين في الشكلين 2.8(c) و أو الشاكلين 40 8 مين في الشكلين 3.8(d) ، على التوالي، حيث تقع نقطة البداية عند النقطة (0) و تم الحصول على الحدود في الشكل 2.8(c) باتباع أقصر ممر رباعي خارجي shortest 4 - path مسموح به في شبكة الشكل 2.8(d). ان تمثيل الحدود في الشكل 2.8(c) هو سلسلة الرموز شبكة الشكل 3.8(d). ان تمثيل الحدود في الشكل 3.8(c) هو سلسلة الرموز الترميز الناتج على فواصل شبكة الاعتيان.

و من المهم أن نلاحظ أن سلسلة الرموز التابعة لحدود معينة تعتمد على نقطة البداية. ولكن يمكن تقييس الترميز باجراء مباشر: إذا كان لدينا سلسلة رموز مولدة بدءاً من موضع اختياري، نعاملها كتتابع دوار من أرقام اتجاهات و نعيد تعريف نقطة البداية بحيث يكون تتابع الأرقام الناتج عدداً صحيحاً integer بمقدار أصغري البداية بحيث يكون تنابع الأرقام الناتج عدداً صحيحاً للدوران أيضا باستعمال الفرق الأول لسلسلة الرموز، بدلاً من الترميز نفسه. يحسب الفرق ببساطة بعدً



الشكل a)2.8 حدود رقمية مع شبكة اعادة اعتيان متراكبة. (b) نتيجة اعادة الاعتيان. (c) سلسلة رموز ذات أربع اتجاهيات. (d) سلسلة رموز ذات ثمان اتجاهيات.

(بعكس اتجاه عقارب الساعة) عدد الاتجاهات التي تفصل عنصرين متجاورين من الترميز. فمثلاً، الفرق الأول لسلسلة الرموز ذات الاتجاهات الأربعة 1010332 هو 3133030. إذا عاملنا الترميز كتتابع دوار، يحسب الفرق عندئذ باستعمال الانتقال بين المركبتين الأخيرة والأولى من السلسلة. و تكون النتيجة في هذا المثال 33133030. و يمكن تقييس (الحجم) القياس size بتغيير قياس شبكة الاعتيان.

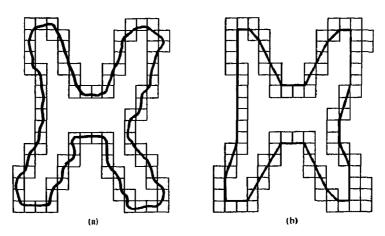
ان التقييسات السابقة دقيقة فقط إذا كانت الحدود نفسها غير متغيرة invariant بالنسبة لتغير الدوران والمقياس. في الواقع العملي، نادرا ماتكون الحال كذلك. فعلى سبيل المثال، سيكون للجسم نفسه المعتان بتوجيهين مختلفين، شكلي حواف مختلفين بشكل عام، مع كون درجة عدم التشابه متناسبة مع ميز الصورة image resolution. يمكن تخفيض هذا الأثر باختيار عناصر السلسلة كبيرة بشكل يتناسب مع المسافة بين العناصر في الصورة المرقمنة، أو بتوجيه شبكة اعادة الاعتيان باتجاه المحاور الرئيسة للجسم المراد اعتيانه كا هو مناقش في القسم 2.2.8.

## 2.1.8 التقريب بالتضليع 2.1.8

يمكن أن تقرب الحدود الرقمية بدقة مختارة، بمضلع polygon. فمن أجل منحن مغلق، يكون التقريب دقيقا عندما يكون عدد أضلاع segments المضلع مساويا لعدد النقاط في الحدود بحيث يحدد كل زوج من نقطتين متجاورتين ضلعا في المضلع. في الموقع العملي، يكون الهدف من التقريب بالتضليع هو الحصول على جوهر "essence" شكل الحدود بأقل عدد ممكن من الأضلاع polygonal segments. على الرغم من أن شكل الحدود بأقل عدد ممكن من الأضلاع polygonal segments. على الرغم من أن هذه المسألة ليست تافهة بشكل عام، ويمكن أن تتحول بسرعة كبيرة إلى استقصاء تكراري iterative search مبدد للوقت، فان هناك عدد من تقنيات التقريب بالتضليع التي يجعلها تعقيدها البسيط ومتطلبات معالجة الملائمة تماما لمتطلبات تطبيقات معالجة الصورة. نعرض في هذا القسم العديد من هذه التقنيات.

نبدأ هذه المناقشة بطريقة طرحت من قبل minimum perimeter polygons. ان أفضل المسلمات المحيط الأدنى minimum perimeter polygons. ان أفضل طريقة لشرح الاجراء هي شرحه باستخدام مثال. افرض أننا نطوق حدودا معينة بمجموعة من الخلايا المتسلسلة، كما هو مبين في الشكل (a)3.8. يمكن أن نتصور هذا الطوق على أنه مؤلف من جدارين يتبعان للحدود الداخلية والخارجية لشريط الخلايا، ويمكن أن نعتبر حدود الجسم كشريط مطاطي محتوى ضمن الجدارين. فإذا سمحنا الآن للشريط المطاطى بالتقلص فسيأخذ الشكل المبين في الشكل (b)3.8) منتجين بذلك

مضلعاً ذا محيط أصغري يلائم الشكل الهندسي الذي يكونه شريط الخلايا. إذا اختيرت الحلايا بحيث تطوق كل خلية نقطة واحدة فقط على الحدود فسيكون الحطأ في كل خلية بين الحدود الأصلية والتقريب بالحزام المطاطي مساويا لـ  $\sqrt{2}a$  ، على الأكثر حيث ان a هي المسافة بين العناصر . و يمكن تخفيض هذا الحطأ إلى النصف باجبار كل خلية على التمركز على العنصر التابع لها.

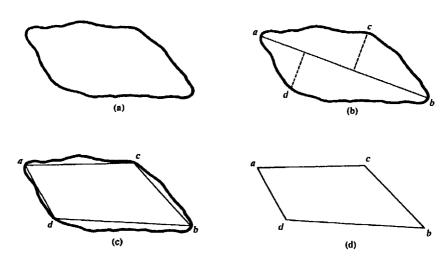


الشكل a)3.8) حدود جسم محاطة بخلايا. (b) المضلع ذو المحيط الأصغري.

لقد تم تطبيق تقنيات دمج merging مبنية على معيار الخطأ أو معايير أخرى، على مسألة التقريب بالتضليع. ان احدى الطرق هي دمج النقاط على طول الحدود حتى يتجاوز تربيع الأخطاء الأصغري least – square – error للخط الذي يواءم النقاط التي سبق دمجها حتى تلك اللحظة عتبة حددت مسبقا. عندما يحدث هذا، تخزن معلمات الحط، ويعطى الخطأ قيمة الصفر، ويعاد الاجراء لدمج نقاط جديدة على طول الحدود إلى أن يتجاوز الخطأ العتبة ثانية. و في نهاية الاجراء، تشكل تقاطعات أجزاء الخطوط المتجاورة رؤوس المضلع. ان احدى الصعوبات الرئيسة في هذه الطريقة هي أن الرؤوس لاتقابل عادة الانعطافات inflecions (كالزوايا) في الحدود لأن الخط الحديد لايبدأ حتى يتم تجاوز عتبة الخطأ. فإذا كان يتم تتبع خط مستقيم طويل، على سبيل المثال، و

دار زاوية ما، فسيتم امتصاص عا من النقاط (يعتمد على العتبة) بعد الزاوية قبل تجاوز العتبة. ولكن من المكن استعمال الشطر splitting بالتوازي مع الدمج merging لحل هذه الصعوبة، كما هو مذكور في نهاية هذا القسم.

ان احدى الطرق لشطر أجزاء الحدود هو أن نقسم جزءاً ما تتابعياً إلى جزئين فرعيين حتى يتم تحقيق معيار معين. فمثلاً، يمكن أن نطلب ألا تتجاوز المسافة العمودية القصوى من جزء حدود إلى الخط الواصل بين نهايتيه عتبة محددة مسبقا. فإذا زادت على ذلك، تصبح النقطة الأبعد رأسا للمضلع vertex ، و تقسم بذلك الجزء الأولي إلى جزئين فرعيين. ان ميزة هذه الطريقة هي أنها تبحث seek عن نقاط الانعطاف البارزة. ومن أجل حدود مغلقة، فان أفضل نقطتي بداية هما عادة النقطتان الأبعد في الجدود. وكمثال، يبين الشكل (a)4.8) حدود جسم معين، ويبين الشكل (b)4.8) تقسياً فرعياً لهذه الحدود (خط ثخين) حول نقطتيه الأبعد. إن النقطة المرقومة بـ C لها المسافة فرعياً لهذه الجزء الأعلى إلى الخط هه. و بشكل مشابه فان للنقطة ما المسافة splitting الشطر (c)4.8) تتيجة استعمال اجراء الشطر splitting



الشكل a)4.8) حدود أصلية. (b) حدود مقسمة إلى أجزاء بناءاً على حسابات مسافة. (c) وصل الرؤوس. (d) المضلع الناتج.

مع عتبة تساوي ربع " 0.25 " من طول الخط ab. و نظراً لأنه ليس لأية نقطة في أجزاء الحدود boundary segments الحديدة مسافة عمودية (إلى جزء الخط المستقيم المقابل لها) تتجاوز هذه العتبة فان الاجراء ينتهي إلى المضلع المبين في الشكل 4.8(d).

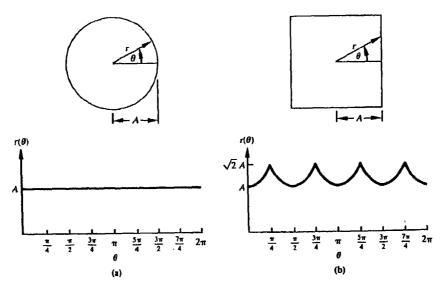
قبل مغادرة هذا القسم، نشير إلى أنه قد تم اجراء قدر هام من العمل (البحث) في تطوير تقنيات تضم الدمج والشطر. ويعطي Pavlidis 1975 مناقشة شاملة لهذه الطرائق.

## 3.1.8 التواقيع 3.1.8

التوقيع هو تمثيل دالي (تابعي) أحادي – البعد لحدود معينة. و يوجد عدد من الطرق لتوليد التواقيع. ان احدى أبسط هذه الطرق هي رسم المسافة من المركز المتوسط إلى الحدود كدالة للزاوية، كما هو موضح في الشكل 5.8. و لكن بغض النظر عن كيفية توليد التوقيع فان الفكرة الأساسية هي اختصار تمثيل الحدود إلى دالة أحادية – الأبعاد. ان البعد، والذي من المسلم به أنه أسهل للوصف من الحدود الأصلية ثنائية – الأبعاد. ان التواقيع المولدة بالطريقة التي وصفت للتو تعتمد بشكل واضح على القياس (الحجم) size وتقطه البداية. و يمكن الحصول على تقييس (الحجم) القياس size الوحدة. ويمكن حل مشكلة نقطة البداية بالحصول أولاً على سلسلة رموز الحدود ويمكن حل مشكلة نقطة البداية بالحصول أولاً على سلسلة رموز الحدود وبعدئذ استعمال الطريقة التي نوقشت في القسم 11.8.

إن المسافة مقابل الزاوية هي بالطبع ليست الطريقة الوحيدة لتوليد التوقيع. اذ أننا نستطيع، على سبيل المثال، أن نستعرض traverse الحدود ونرسم الزاوية بين خط مماس للحدود وخط مرجعي كدالة للموضع على طول الحدود وخط مرجعي كدالة للموضع على طول الحدود  $\mathbf{r}(\theta)$ ، إلا أنه يحمل معلومات التوقيع الناتج، مع أنه مختلف إلى حد بعيد عن منحني  $\mathbf{r}(\theta)$ ، إلا أنه يحمل معلومات حول خواص الشكل الأساسية. فمثلا، ستتبع الأجزاء الأفقية في المنحني للخطوط المستقيمة على طول الحواف لأن زاوية المماس ستكون ثابتة هناك. ويوجد شكل

مختلف لهذه الطريقة وهو استعمال ما يسمى دالة شدة الميل Nahin 1974. و نظراً كتوقيع Nahin 1974. إن هذه الدالة هي ببساطة، هيستوغرام لقيم زاوية الميل. و نظراً لأن الهيستوغرام هو قياس لتركيز القيم، فستستجيب دالة شدة الميل بقوة لأقسام الحدود ذات زوايا الميل الثابتة (الأجزاء المستقيمة أو المستقيمة تقريباً) وسيكون لها وديان عميقة في الأقسام التي تنتج زوايا متغيرة بسرعة (زوايا وانعطافات حادة).

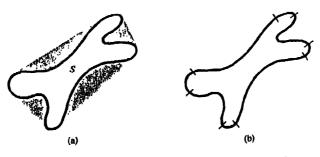


الشكل 5.8 شكلي حدود بسيطين مع توقيعي المسافة – مقابل  $\sim$  الزاوية التابعين لهما. في  $r(\theta)$  (a) ثابت في حين في حين (Fu, Gonzalez and Lee 1987 وعن  $r(\theta)$  - Asec $\theta$  (b)

# 4.1.8 أجزاء الحدود 4.1.8

كشيراً مايكون مفيداً تفكيك الحدود إلى أجزاء لتخفيض تعقيدها وتبسيط عملية وصفها. إن هذه الطريقة جذابة خصيصاً عندما تحتوي الحدود تقعراً هاماً أو أكثر تحمل معلومات عن الشكل. إن هذا ما يسمح باستعمال الغلاف المحدب convex hull للمنطقة المطوقة بالحدود كأداة لتفكيك قوي (موثوق) tobust للحدود.

ان الغلاف المحدب المساعد convex hull بحموعة اختيارية S هو أصغر مجموعة محدبة معتوية على S. ان فرق المجموعة S بسمى النقص المحدب (D) بسموعة S. الكي نرى كيف يمكن أن تستعمل هذه المفاهيم لتجزيء حدود معينة إلى أجزاء ذات معنى، تأمل الشكل 3.6(a) الذي يبين جسما (مجموعة S) و نقص التحدب التابع له (المنطقة المظللة). يمكن تجزيء الحدود بتتبع كفاف S و تعليم النقاط التي يحصل عندها انتقال إلى أو من مركبة لنقص التحدب. ان النتيجة مبينة في هذه الحالة في الشكل 3.6(d). لاحظ أن هذه الطريقة مستقلة من حيث المبدأ عن قياس (حجم) وتوجيه المنطقة.



الشكل a)6.8) المنطقة (S) و النقص المحدب التابع لها (مظلل). (d) الحدود المجزأة.

في الواقع العملي، تميل الحدود الرقمية لأن تكون غير منتظمة نتيجة للرقمنة والضجيج والتغيرات في التجزيء. وتنتج هذه الآثار عادة نقصاً محدباً محدباً معاولة deficiency ذا مركبات صغيرة لامعنى لها متناثرة عشوائياً على الحدود. وبدلاً من محاولة فرز هذه المركبات الشاذة وإزالتها بالمعالجة اللاحقة postprocessing فإن الممارسة العملية الشائعة في هذا المجال هي تنعيم الحدود قبل التجزيء. وتوجد عدة طرق لعمل ذلك. ان احدى الطرق هي أن نستعرض traverse الحدود ونستبدل احداثي كل عنصر pixel بمتوسط الاحداثيات له عنصرا من جيرانه على طول الحدود. ان هذه الطريقة تؤدي إلى نتيجة في حالة مركبات شاذة صغيرة، ولكنها مضيعة للوقت ويصعب التحكم بها، بمعنى أن القيم الكبيرة له سيكن أن تنتج تنعياً زائداً، في حين أن

قيم m الصغيرة يمكن ألا تكون كافية في بعض أجزاء الحدود. ان احدى الطرق الأكثر صلابة (وثوقية) هي استعمال تقريب بالتضليع، كما ناقشنا في القسم 2.1.8، قبل ايجاد النقص المحدب لمنطقة معينة. و بغض النظر عن الطريقة المستخدمة في التنعيم، فان معظم الحدود الرقمية التي تكون موضع اهتام هي مضلعات بسيطة (أي، مضلعات بدون تقاطع ذاتي). ان إحدى الخوارزميات لايجاد الغلاف المحدب لهذا النوع من المضلعات قد أعطى من قبل 1983 Graham and Yao.

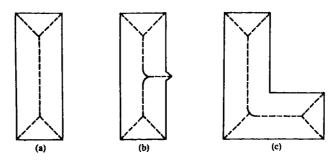
قبل مغادرة هذا القسم، نشير إلى أن مفهومي الغلاف المحدب ونقصه متساويا الفائدة من أجل وصف منطقة كاملة، بالاضافة إلى حدودها. فمثلا، يمكن أن نصف منطقة ما بناءا على مساحتها ومساحة النقص المحدب التابع لها، وعدد المركبات في النقص المحدب، والموضع النسبي لهذه المركبات، وهكذا...

## the skeleton of a region هيكل منطقة ما 5.1.8

إن إحدى الطرق لتمثيل الشكل البنيوي لمنطقة مستوية هي اختصارها برسم يباني graph. و يتم ذلك في كثير من الأحيان بالحصول على هيكل skeleton المنطقة بواسطة خوارزمية تنحيف thinning algorithm (وتسمى أحياناً هيكلة skeletonization). تلعب إجراءات التنحيف دوراً مركزياً في مدى عريض من مسائل معالجة الصورة، تمتد من التفتيش الآلي لألواح الدارات المطبوعة إلى عد ألياف الأسبستوس (الحرير الصخري) في مصافي الهواء.

medial ، (MAT) يمكن تعريف هيكل منطقة ما بواسطة تحويل المحور المتوسط (MAT) ، R بحدود axis transformation الذي طرح من قبل Blum 1967. ان MAT منطقة ما R بحدود R هو كما يلي. من أجل أية نقطة R في R نوجد جارتها الأقرب في R فإذا كان لـ R أكثر من جارة من هذا النوع، يقال عندئذ أنها تتبع لمحور (هيكل) R المتوسط.

من المهم أن نلاحظ أن مفهوم "الأقرب" closest يعتمد على تعريف مسافة ما (انظر القسم 3.4.2) وبالتالي فان نتائج عملية الـ MAT ستتأثر باختيار قياس مسافة معين. إن بعض أمثلة استخدام المسافة الأكليدية Euclidean distance مبينة في الشكل 7.8.



الشكل 7.8 المحور المتوسط لثلاث مناطق بسيطة.

على الرغم من أن تقنية المحور المتوسط MAT لمنطقة ما تعطي بدهياً هيكلاً مرضياً، فان التنفيذ المباشر للتعريف المذكور أعلاه غير ممكن نموذجياً من وجهة نظر حسابية لأنه يتضمن حساب المسافة من كل نقطة داخلية إلى كل نقطة على حدود المنطقة المراد تنحيفها. لقد تم طرح عدد من الخوارزميات لتحسين الفعالية الحسابية مع محاولة انتاج تمثيل محور متوسط لمنطقة معينة في نفس الوقت. نموذجياً، هذه الخوارزميات هي خوارزميات تنحيف تحذف نقاط حواف المنطقة المعينة بشكل تكراري مع مراعاة الشروط التالية: ان حذف هذه النقاط (1) لايزيل نقاط النهاية و من أن بعض المحاولات قد بذلت لاستعمال الهياكل في صور السلم الرمادي من أن بعض المحاولات قد بذلت لاستعمال الهياكل في صور السلم الرمادي من أن بعض المحاولات من قبل و1979 عادة بمعطيات ثنائية Dyer and Rosenfeld 1979 و التشاطقة.

نعرض في هذا القسم خوارزمية طورها Philipand Suen 1984 التنحيف المناطق المناطق وقيمة نقاط الخلفية 0. الثنائية. يفترض في المناقشة التالية أن تكون قيمة نقاط المنطقة 1 وقيمة نقاط الخلفية على نقاط تتكون الطريقة من مرورات passes متتابعة لخطوتين أساسيتين تطبقان على نقاط كفاف منطقة معطاة، حيث ان نقطة الكفاف هي أية نقطة قيمتها 1 وأحد جيرانها الثمانية على الأقل قيمته 0. بالاشارة إلى تعريف الجوار الثماني هي الأقل قيمته 0. بالاشارة إلى تعريف الجوار الثماني هي المبين في

الشكل 8.8 ، فإن الخطوة الأولى تعلم نقطة كفاف ما للحذف إذا تحققت الشروط التالية

(a) 
$$2 \le N(p_1) \le 6$$
,  
(b)  $S(p_1) = 1$ ,  
(c)  $p_2 \cdot p_4 \cdot p_6 = 0$ ,  
(d)  $p_4 \cdot p_6 \cdot p_8 = 0$ ,

حيث ان (N(p1) هي عدد الجيران التي لاتساوي الصفر، أي،

$$N(p_1) = p_2 + p_3 + \cdots + p_8 + p_9$$
 (2-1.8)

و  $S(p_1)$  هي عدد الانتقالات من صفر إلى 1 في التتابع المرتب  $p_2, p_3, \dots p_8, p_9$ . فعلى سبيل المثال،  $N(p_1)=4$  في الشكل  $S(p_1)=4$ 

<i>p</i> 9	p <sub>2</sub>	P3
P8	p <sub>1</sub>	<i>p</i> <sub>4</sub>
P7	<i>p</i> <sub>6</sub>	<i>p</i> <sub>5</sub>

الشكل 8.8 ترتيب الجوار المستعمل في خوارزمية التنحيف.

في الحطوة التالية، يبقى الشرطان (a) و (b) دون تغيير و يتغير الشرطان (c) و (d) إلى

(c') 
$$p_2 \cdot p_4 \cdot p_8 = 0$$
,  
(d')  $p_2 \cdot p_6 \cdot p_8 = 0$ . (3-1.8)

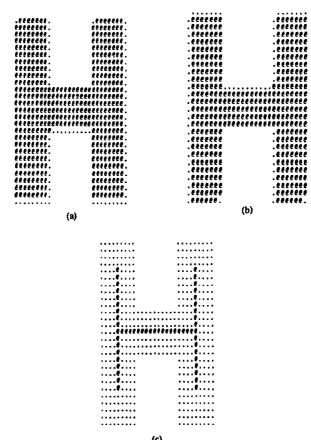
تطبق الخطوة الأولى على كل عنصر (نقطة) حدود في المنطقة الثنائية قيد الدراسة. إذا لم يتحقق شرط واحد أو أكثر من الشروط (a) حتى (d) ، لاتتغير قيمة النقطة التي طبقنا عليها هذه الخطوة. أما إذا تحققت جميع الشروط فتعلم النقطة للحذف. ولكن

من المهم أن نلاحظ أن النقطة لاتحذف قبل أن تتم معالجة جميع نقاط الحدود. وهذا مايمنع تغيير بنية المعطيات خلال تنفيذ الخوارزمية. بعد تطبيق الخطوة الأولى على جميع نقاط الحدود، يتم طرح النقاط التي علمت للحذف (تغير إلى الصفر "0"). بعد ذلك، تطبق الخطوة الثانية على المعطيات الناتجة بنفس الطريقة التي طبقت فيها الخطوة الأولى عماً.

بناءاً على التعليقات السابقة. لاحظ أن تكراراً واحداً لخوارزمية التنحيف يتكون من (1) تطبيق الخطوة الأولى لتعليم نقاط الحدود من أجل الحذف، (2) حذف النقاط المعلمة، (3) تطبيق الخطوة الثانية لتعليم نقاط الحدود الباقية من أجل الحذف و (4) حذف النقاط المعلمة. تطبق هذه الخوارزمية بشكل متكرر حتى لا تبقى فيها نقاط قابلة للحذف، و عندئذ تنتهى الخوارزمية (تتوقف) معطية هيكل المنطقة.

تتم مخالفة (انتهاك) الشرط (a) إذا كان لنقطة الكفاف  $p_1$  جار واحد أو سبعة جيران فقط من الجيران الثمانية قيمها 1. إذا لم يكن لها الا جار واحد من هذا النوع فهذا يعني أن  $p_1$  هي نقطة النهاية لهيكل شوط stroke ، ومن الواضح أنها يجب ألا تحذف. إذا كان لـ  $p_1$  سبعة من هذه الجيران وكانت قد حذفت فان هذا الأمر يؤدي إلى تآكل في المنطقة. وتتم مخالفة الشرط (b) عندما يطبق على أشواط سماكتها عنصر واحد. ولذلك فان هذا الشرط يمنع فصل أجزاء الهيكل خلال عملية التنحيف. يتحقق الشرطان (c) و (d) بآن واحد بمجموعة القيم الدنيا التالية:  $p_4$  أو  $p_6$  أو  $p_6$ 0. الشروط بالاضافة إلى الشرطين (a) و (b) هي نقطة حدود شرقية أو جنوبية، أو زاوية شمالية شرقية في الحدود. و في أية حالة، لاتكون النقطة  $p_1$  جزءا من الهيكل ويجب الشروط بالاضافة إلى الشرطين (c) و (d) بآن واحد بمجموعة القيم الدنيا التالية:  $p_2$  أو  $p_6$ 0 و  $p_6$ 0. تقابل هذه الشروط نقاط الحدود الشمالية أو الغربية، أو نقطة الزاوية الجنوبية الشرقية. لاحظ أن للزاوية الشمالية الشرقية و  $p_2$ 0 و  $p_6$ 0 و (b) بالاضافة إلى (c) و (b) ان هذا صحيح الغربية، أو نقطة الزاوية الجنوبية الغربية، التي له  $p_6$ 0 و (d) و (e) بالاضافة إلى (c) و (b) ان هذا صحيح أيضا من أجل نقاط الزاوية الجنوبية الغربية، التي لها  $p_6$ 0 و  $p_6$ 0.

مثال: يبين الشكل 10.8 (a) نتيجة تطبيق الخطوة الأولى لخوارزمية التنحيف على حدود منطقة بسيطة. تشير النقاط إلى العناصر المعلمة والتي ستحذف بالتالي في نهاية الخطوة الأولى. يبين الشكل (b)10.8 النتائج التي تم الحصول عليها بالخطوة الثانية والشكل (c)10.8 هو الهيكل الذي تم الحصول عليه بعد تطبيق هاتين الخطوتين بشكل متكرر. يبين الشكل 11.8 هيكل منطقة بخصائص أقل انتظاماً.



الشَّكُل (a)10.8 نتيجة الخطوة الأولى لخوارزمية التنحيف خلال التكرار الأول خلال المنطقة. (b) نتيجة الخطوة الثانية. (c) النتيجة النهائية. (عن Zhang and Suen 1984).



الشكل 11.8 مثال آخر للتنحيف. (عن Zhang and Suen 1984).

#### 2.8 واصفات الحدود 2.8

# 1.2.8 بعض الواصفات البسيطة

إن طول الكفاف هو أحد أبسط واصفاته. يمكن الحصول ببساطة على تقريب أولي للطول و ذلك بعد العناصر على طول الكفاف. و من أجل منحن مرمز بسلسلة رموز، و فواصل في كلا الاتجاهين تساوي الوحدة unit يعطى الطول بدقة بعدد المركبات العمودية والأفقية مضافا اليها جداء  $\sqrt{2}$  بعدد المركبات القطرية.

يعرف قطر حدود B بما يلي

Diam (B) = 
$$\max_{i,i} [D(p_i, p_j)],$$
 (1-2.8)

حيث ان  $p_{i}$  هي قياس مسافة (انظر القسم 3.4.2) و  $p_{i}$  و  $p_{i}$  هما نقطتان على الحدود. ان قيمة القطر وتوجيه خط يصل بين نقطتي النهاية (النقطتان الأبعد) اللتين تؤلفان القطر (يسمى هذا الخط "المحور الرئيس للحدود") هما واصفا حدود مفيدان. و يمكن

ایجاد خوارزمیات لحساب القطر فی Shamos 1978 و Fisher 1980 و Toussaint و Toussaint

يعرف التقوس curvature بمعدل تغير الميل. و بشكل عام، من الصعب الحصول على قياسات موثوقة للتقوس عند نقطة ما في حدود رقمية لأن هذه الحدود تميل لأن تكون مسننة (خشنة) موضعياً. ولكن، من المفيد أحياناً استعمال الفروق بين ميول أجزاء الحدود المتجاورة (التي تم تمثيلها بخطوط مستقيمة) كواصف للتقوس عند نقطة تقاطع الأجزاء segments. فمثلا، ان رؤوس الحدود كتلك المبينة في الشكل

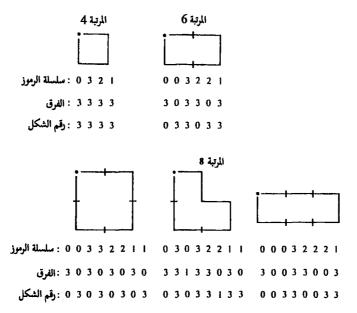
8.8(d) و 4.8 (d) ملائمة كثيرا لوصف التقوسات. ومع استعراض الحدود باتجاه عقارب الساعة، نقول ان نقطة الذروة p هي جزء من قسم محدب إذا كان التغير في الميل عند النقطة غير سالب، وخلاف ذلك، نقول ان النقطة تتبع لجزء مقعر concave. يمكن أن نقح refine وصف التقوس أكثر عند نقطة ما باستعمال أمداء ranges في تغير الميل. فعلى سبيل المثال، نستطيع القول ان p هي جزء من جزء مستقيم تقريبا إذا كان التغير أقل من 10 عشر درجات، أو ان p هي نقطة زاوية إذا تجاوزت الزاوية 90. ولكن لاحظ أن هذه الواصفات يجب أن تستخدم بعناية لأن تفسيرها يعتمد إلى حد كبير على طول الأجزاء افراديا بالنسبة لطول الحدود الاجمالي.

# shape numbers أرقام الأشكال 2.2.8

بالرجوع إلى القسم 1.1.8 ، فان للحدود المرمزة بسلسلة الرموز العديد من الفروق الأوليه first differences ، وذلك اعتمادا على نقطة البداية. ان رقم الشكل

shape number لهذا النوع من الحدود بناءا على الترميز رباعي الاتجاهات المبين في الشكل (a)1.8 )، يعرَّف بأنه الفرق الأول للمقدار الأصغر. و تعرف مرتبة رقم الشكل n بعدد الخانات digits في تمثيله. ويشار إلى أن n زوجية من أجل الحدود المغلقة وأن قيمتها تحدد عدد الأشكال المختلفة الممكنة. يبين الشكل 12.8 جميع الأشكال من المرتبة في و 6 و 8 مع تمثيلات سلسلة الرموز والفروق الأوليه و أرقام الشكل التابعة لها.

لاحظ أن الفروق الأوليه قد حسبت بمعاملة سلسلة الرموز كتتابع دوار بالطريقة التي نوقشت في القسم 1.1.8.



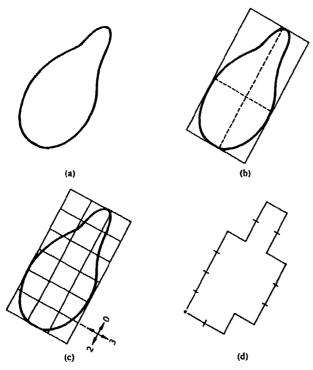
الشكل 12.8 جميع الأشكال من المرتبة 4 و 6 و 8. الاتجاهات مأخوذة من الشكل 1.8(a) ، والنقاط تشير إلى نقطة البداية في كل شكل.

كما أشرنا في نهاية القسم 1.1.8 ، على الرغم من أن الفرق الأول لسلسلة الرموز مستقل عن الدوران، فان الحدود المرمزة ستعتمد على توجيه الشبكة بشكل عام. ونورد فما يلي طريقة لتقييس اتجاه الشبكة.

كما أشرنا في القسم السابق، فان المحور الرئيس لحدود معينة هو جزء الخط المستقيم الواصل بين النقطتين الأبعد عن بعض في تلك الحدود. أما المحور الثانوي minor axis فهو عمودي على المحور الرئيس ويكون طوله بحيث يمكن تشكيل مستطيل يكفي فقط للاحاطة بالحدود. و تسمى نسبة المحور الرئيس إلى المحور الثانوي لا مركزية basic الحدود، ويسمى المستطيل الذي وصفناه للتو المستطيل الأساسي basic

rectangle. في معظم الحالات، سيتم الحصول على رقم شكل فريد برصف شبكة سلسلة الرموز مع جوانب المستطيل الأساسي. يعطي فريمان وشابيرا Shapera 1975 اجراءاً لا يجاد المستطيل الأساسي مباشرة من محن مغلق مرمز بسلسلة رموز.

مثال: افرض أننا نحدد 18-10 للحدود المبينة في الشكل 13.8(a). لكي نحصل على رقم شكل من هذه المرتبة نتبع الخطوات المناقشة أعلاه. نوجد أولا المستطيل الأساسي، كا هو مبين في الشكل 13.8(d). ان أقرب مستطيل من المرتبة 18 هو المستطيل 3×3 ، ولذلك نقسم المستطيل الأساسي إلى مستطيلات فرعية كما هو مبين في الشكل ولذلك نقسم المستطيل الأساسي إلى مستطيلات فرعية كما هو مبين في الشكل مصل على سلسلة الرموز ونستعمل فرقها الأول لحساب رقم الشكل كما هو مبين في الشكل كما هو مبين في الشكل الشكل كما هو مبين في الشكل على سلسلة الرموز ونستعمل فرقها الأول لحساب رقم الشكل كما هو مبين في الشكل الشكل كما هو مبين في الشكل الشكل كما هو مبين في الشكل الشكل المراوز ونستعمل فرقها الأول لحساب رقم الشكل كما هو مبين في الشكل 13.8 في الشكل المراوز ونستعمل فرقها الأول الحساب رقم الشكل المراوز ونستعمل فرقها الأول المسلم المراوز ونستعمل فرقها الأول الحساب رقم الشكل المراوز ونستعمل فرقها الأول الحساب رقم الشكل المراوز ونستعمل فرقها الأول المراوز ونستعمل فرقها الأول المراوز ونستعمل فرقها الأول المراوز ونستعمل فرقها الأول المسلم المراوز ونستعمل فرقها الأول المراوز ونستعمل فرقها الأول المسلم المراوز ونستعمل فرقها الأول المراوز ونساب المراوز ونستعمل فرقها الأول المراوز ونستعمل المراوز ونستعمل فرقها الأول المراوز ونستعمل فرقها الأول المراوز ونستعمل فرقها الأول المراوز ونستعمل المراوز ونستعمل فرقها المراوز ونستعمل المراوز ونستعمل فرقها الأول المراوز ونستعمل المراوز ونستعمل المراوز ونستعمل المراوز ونستعمل المراوز ونستعمل المراوز ونستعمل المراوز ونستع



ىسلسلة الرموز: 0 0 0 0 0 3 0 0 3 2 2 3 2 2 2 1 2 1 1

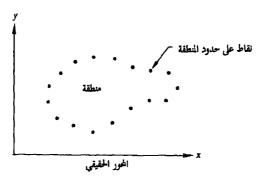
1 3 0 0 0 1 3 0 0 3 1 0 3 3 0 1 3 0 0 3 1 3 0 3 3 0 3 1 3 0 3 3 0 3 1 3 0 3 3

الشكل 13.8 خطوات في توليد رقم شكل معين .

## 3.2.8 واصفات فورييه 3.2.8

نبين في هذا القسم أن تحويل فوربيه المتقطع DFT بمكن أن يستعمل كأساس لوصف شكل الحدود على أساس كمي quantitative. افرض أنه يوجد M نقطة على حدود منطقة ما. يمكن أن ننظر إلى المنطقة على أنها موجودة في المستوي العقدي حيث يكون الاحداثي الشاقولي ordinate هو المحور الاحداثي التخيلي imaginary والاحداثي الأفقي abscissa هو المحور الاحداثي الحقيقي real ، كما هو مبين في الشكل 14.8

ويصبح الاحداثيان x-y لكل نقطة في الكفاف المراد تحليله عددان عقديان complex. البدء في نقطة اختيارية على الكفاف والتتبع مرة واحدة حوله يعطي تتابع أعداد عقدية. و تحويل فورييه المتقطع DFT لهذا التتابع سيشار اليه في المناقشة التالية بواصفات فورييه Fourier descriptors للكفاف.



الشكل 14.8 تمثيل حدود منطقة في المستوي العقدي.

نظراً لأن تحويل فوربيه المتقطع DFT هو تحويل خطي قابل للعكس (عكيس) فلن يكون هناك ريج أو خسارة في المعلومات في هذه العملية. ولكن بعض المعالجات البسيطة لهذا التمثيل في المجال الترددي للشكل يمكن أن تحذف الاعتادية على الموضع position و القياس (الحجم) size و التوجيه orientation. فإذا كان لدينا واصف فوربيه DF اختياري، فان عدة خطوات متتابعة يمكن أن تقيسه بحيث يمكن مطابقته مع مجموعة اختبار من واصفات فوربيه بغض النظر عن قياسه (حجمه) وموضعه وتوجيه.

## التقييس normalization

ان عمليات المجال الترددي التي تؤثر على القياس (الحجم) و التوجيه و نقطة البداية للكفاف تأتي مباشرة من خصائص تحويل فورييه المتقطع DFT (انظر القسم 3.3). لتغيير قياس الكفاف، نضرب بكل بساطة مركبات واصفات فورييه بثابت.

وبسبب الخطية، ستضرب احداثيات التحويل العكسي بنفس الثابت. ولتدوير الكفاف في المجال الحيزي نضرب كل احداثي بد  $\exp(j\theta)$ ، حيث ان  $\theta$  هي زاوية الدوران. مرة ثانية، بالخطية، فان للثابت  $\exp(j\theta)$  نفس الأثر عندما تضرب به معاملات المجال الترددي.

لكي نرى كيف يمكن تحريك نقطة البداية في المجال الترددي، تذكر خاصة الدورية لتحويل فورييه المتقطع. ان تتابع الأرقام المحدد في المجال الحيزي يمثل في الواقع دوراً واحداً لدالة دورية. إن معاملات تحويل فورييه المتقطع هي معاملات تمثيل سلسلة فورييه لمذه الدالة الدورية. بتذكر هذه الحقائق، من السهل أن نرى أن ازاحة نقطة بداية الكفاف في المجال الحيزي يقابل ضرب معامل التردد رقم k به exp(jkT) حيث ان exp(jkT) هي جزء الدور الذي تزاح خلاله نقطة البداية. (ومع تغير exp(jkT) من exp(jkT) الكفاف بأكمله مرة واحدة).

فإذا كان لدينا واصف فورييه FD لكفاف اختياري، فان اجراء التقييس يتطلب اجراء عمليات التقييس بحيث يصبح للكفاف قياس (حجم) size وتوجيه معياريان ونقطة بداية معيارية. يعرف القياس ( الحجم) المعياري بأنه يتطلب أن يكون لمركبة فورييه (F(1) مقدار الوحدة unity magnitude. فإذا كان الكفاف شكلا مغلقا بسيطا وتم تتبعه بعكس اتجاه عقارب الساعة سيكون هذا المعامل هو الأكبر.

تؤثر عمليتا التوجيه ونقطة البداية على أطوار معاملات واصف فورييه FD فقط. ونظراً لأنه توجد عمليتان مسموح بهما، فإن تعريف الموضع والتوجيه المعياريين يجب أن يشمل طوري معاملين على الأقل. دعنا نشير إلى مصفوفة واصفات فورييه FD ذات الطول FD به F(M/2+1),...,F(M/2). إذا بدأنا نات الطول FD به F(M/2+1),...,F(M/2). إذا بدأنا بطلب أن يكون لطور FD قيمه ما، لنقل صفرا FD FD ، يمكن أن يبرهن أنه إذا كان مطلوباً أن يكون للمعامل رقم FD طور ذو القيمة صفر، فان هناك FD تركيبا ممكنا من نقطة بداية و توجيه ابتدائي يحقق هذه التقييدات.

ان الاجراء الواضح هو أن نطلب أن يكون لـ (f(1) و (F(2) طوران بقيمة محددة، لنحقق بذلك تقييساً معيارياً فريداً. يبدو ذلك كحل للمشكلة، ولكن في حين أنه من

المؤكد أن يكون لـ (F(1) مقدار الوحدة بعد تقييس FD من أجل القياس (الحجم)، فإن هذا الأمر ليس مؤكدا بالنسبة لـ (F(2). يمكن الحصول على حل منسجم consistent لمشكلة باختيار معامل غير الصفر لاستعماله من أجل التقييس، وبعدئذ استعمال معامل ثالث لازالة الغموض الذي يمكن أن ينتج عن تأثير التقييس المتعدد.

### اعتبارات عملية practical considerations

إن التنفيذ العملي لهذا الاجراء يتطلب الانتباه لتفاصيل قليلة لم تذكر أعلاه. 
uniform منظرياً، يتضمن الاجراء تمثيلاً دقيقاً لكفاف اعتين بفواصل منتظمة spacings. في حين أن الفواصل المنتظمة يمكن أن تعطي تمثيل مجال ترددي يميل إلى التقارب converge بشكل أسرع، فإن هناك بعض الصعوبات الجدية التي تتضمنها محاولة تحديد استراجية اعتيان معيارية باستعمال الفواصل غير المنتظمة spacings.

بتذكر أن خوارزمية تحويل فورييه السريع تتطلب توفر صفيف دخل ذي طول يساوي حاصل رفع الأساس 2 لقوة تساوي عدداً صحيحاً، فإنه من الواضح أن الطول الاختياري لسلسلة تمثيل يجب ضبطه قبل استعمال تحويل فورييه السريع. ان أحد الاجراءات لعمل ذلك هو حساب عيط الكفاف وتقسيمه على الطول المطلوب (القوة المرغوبة لـ 2) والبدء في نقطة ما والطواف حول الكفاف مع الحفاظ على احداثيات النقاط المفصولة (المتباعدة) بشكل ملائم. يمكن أن تكون القوة المرغوبة لـ 2 هي أصغر قوة لـ 2 أكبر من طول السلسلة.

عملياً، سيكون الدخل لخوارزمية تحليل الشكل كفافاً مأخوذاً من صورة معتانة. وسيكون محيط هذا الكفاف تقريبا للمحيط الحقيقي للكفاف.في حين أنه يمكن الادعاء من أجل كثافة اعتيان عالية بشكل كاف في الصورة الأصلية، ان السلسلة هي تقريب جيد بشكل اختياري للكفاف، ينهار هذا الادعاء إذا أخذنا بالحسبان كثافة النقاط حول الكفاف التقريبي مقابل الكفاف الدقيق.

خذ مثلثاً قائم الزاوية و متساوي الساقين isoceles موجهاً بحيث ينطبق ساقاه على المحورين الاحداثيين x و y والوتر بزاوية °4. ان "طول" الكفاف إذا استعملت سلسلة ذات أربعة الجاهات عادية، سيكون x مرات طول الساق، وسيكون الوتر بطول الساقين مجتمعين. . من الواضح أن كثافة النقاط على الوتر ستبتعد عن القيمة الصحيحة بعامل x و سيؤدي هذا الحطأ إلى اختلاف واصفات فورييه المقيسة (NFDs) لأشكال بسيطة مثل المثلثات اختلافاً جوهرياً، ويجعل الخوارزمية عديمة الفائدة فعلياً. إن أحد الحلول لهذه المشكلة هو استعمال سلسلة الرموز ذات الحيران الأمانية التي يمكن أن يكون فيها الحيران الأربعة القطرية لنقطة ما هي أيضا النقاط التالية في المثال الذي ذكرناه للتو، يحذف هذا الحل خطأ كثافة النقاط.

تشمل اعتبارات عملية أخرى عملية التقييس. ففي حين أنه بمكن، نظريا، استعمال أي معامل غير الصفر مع (F(1) لتحديد توجيه ونقطة بداية معيارين، كا لحصنا أعلاه، فان الكفافات contours العملية تظهر آثار ضجيج وخطأ تكمية. ان هذا الضجيج يشوش أطوار معاملات واصفات فورييه بحيث أن المعاملات ذات المطالات الأخفض يمكن أن تتأثر بشكل جوهري. و يمكن اثبات أن متوسط تربيع الأخطاء الأخطاء mean-square-error في المجال الترددي يتبع متوسط تربيع الأخطاء نقطة البداية يمكن أن يكون لها آثارا جذرية على تصنيف أشكال مبني على هذا المعيار. ان احدى الطرق لاضعاف هذا الأثر إلى الحد الأدنى هو اختيار المعاملات ذات المقدار الأعلى كمعاملات تقييس. ان (1) هي بطبيعة الحال الأكبر، وبذلك تحتار المركبة الثانية في الكبر لتصاحب (F(1) عموما، سيكون معامل ثالث مطلوبا لتقرير أي من التقييسات المسموح بها هو الأمثل، كا شرحنا أعلاه. يمكن اختيار هذا المعامل من التقييسات المسموح بها هو الأمثل، كا شرحنا أعلاه. يمكن اختيار هذا المعامل ليكون المعامل الأكبر الباقي الملائم لازالة المغموض.

يمسل التقييس إلى تخفيض نسبة المعملومات المحتواة في الطور، إذا ما قورن بالمعلومات المحتواة في المقدار. ويمكن أن يبين أيضا أنه إذا كان الكفاف موضع التحليل ذا تناظر ثنائي (في اتجاهين) فسيكون لواصف فورييه المقيَّس NFD أطوار تساوي اما

زاوية التقييس (الطور الذي تقيد به معاملات التقييم)، أو تلك القيمة مضافا اليها °180. في ضوء هذه النتائج، فإن التصنيف باستعمال مقادير واصفات فورييه المقيسة فقط يبدو اجراءا معقولاً. في هذه الحالة، يتألف إجراء التقييس ببساطة من تقسيم كل معامل على مقدار (F(1).

مثال: كتوضيح للطريقة المشروحة أعلاه لوصف الأشكال، تأمل الطائرات المبينة في الشكل 15.8. لقد تم الحصول على هذه الأشكال بالخطوات التالية (1) حساب NFDs الشكل 15.8. لقد تم الحصول على هذه الأشكال بالخطوات التالية (1) حساب 15.8 للحدود (استعملت 512 نقطة) ، و (2) الاحتفاظ بالد 32 مركبة ذات التردد الأخفض في حين أعطيت بقية المركبات قيمة الصفر و (3) أخذ تحويل فورييه العكسي للمصفوفة المعدلة ذات الد 512 عنصراً للحصول على تقريب للمعطيات الأصلية. كا يظهر في الشكل 15.8 ، فان النتائج، و على الرغم من أنها متشوهة قليلا، قد احتفظت بالخصائص الأساسية للطائرات المختلفة. ولذلك فان المعلومات الموجودة في الد 32 مركبة الأخفض كانت كافية للتفريق بين أشكال هذه الطائرات.

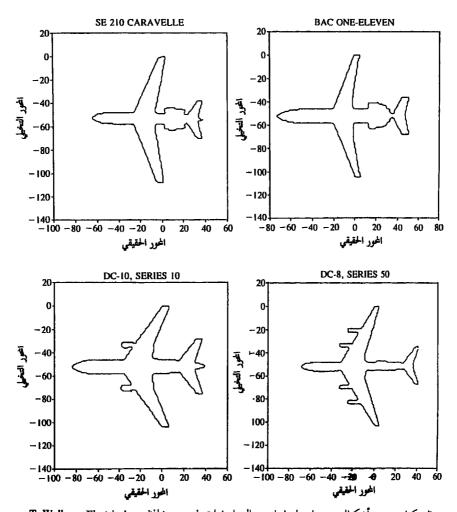
# 4.2.8 العزوم 4.2.8

يمكن وصف أشكال أجزاء الحدود (والتواقيع) كميا باستخدام العزوم. لكي نرى كيف يمكن اجراء ذلك، تأمل الشكل 6.8:(a) الذي يبين جزء حدود، والشكل 10.8: b) الذي يبين نفس الجزء ممثلا بدالة أحادية البعد 10.8: وذات متحول الحتياري 10.8: وزكون هيستوغرام مطالات 10.8: وزكون هيستوغرام مطالات 10.8: 10.8: وغرض أننا نعامل مطال 10.8: كمتحول عشوائي 10.8: ونكون عيد 10.8: العزم رقم 10.8: وحول متوسطه 10.8: العزم رقم 10.8: وحول متوسطه 10.8: العزم رقم 10.8: وحول متوسطه 10.8: العزم رقم وحول متوسطه 10.8: العزم رقم المؤان المتقطعة والمتوسطة 10.8: العزم رقم المؤان المتقطعة والمتوسطة 10.8: العزم رقم المؤان المتوسطة 10.8: المؤان المتوسطة 10.8: المؤان المتوسطة 10.8: المؤان المؤان المتوسطة 10.8: المؤان المؤا

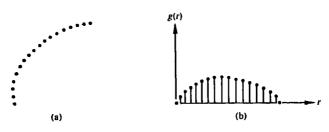
$$\mu_n(a) = \sum_{i=1}^K (a_i - m)^n p(a_i), \qquad (2-2.8)$$

حيث

$$m = \sum_{i=1}^{K} a_i p(a_i). \tag{3-2.8}$$



الشكل 15.8 أشكال حصل عليها باستعمال واصفات فوريه. (باذن من Engineering Dept. Purdue University).



الشكل a)16.8) جزء حدود. (b) تمثيل بدالة أحادية البعد.

تعرف الكمية m بأنها القيمة المتوسطة لـ a، و  $\mu_2$  بتفاوتها. عموما، تلزمنا العزوم القليلة الأولى فقط للتفريق بين تواقيع ذات أشكال مميزة بوضوح.

إن احدى الطرق البديلة هي تقييس (g(r) إلى وحدة المساحة ومعاملتها كهيستوغرام. في هذه الحالة، يصبح r هو المتحول العشوائي وتعطى العزوم بما يلي

$$\mu_n(r) = \sum_{i=1}^{L} (r_i - m)^n g(r_i), \qquad (4-2.8)$$

$$m = \sum_{i=1}^{L} r_i g(r_i). \tag{5-2.8}$$

في هذه التعابير الرياضية، L هي عدد النقاط على الحدود و  $\mu_n(r)$  متعلق مباشرة بشكل g(r). فمثلا، سيقيس العزم الثاني  $\mu_2(r)$  انتشار المنحني حول القيمة المتوسطة ل r و سيقيس العزم الثالث  $\mu_3(r)$  تناظره بالنسبة للمتوسط mean. طبعا، يمكن استخدام تمثيلي العزمين بآن واحد لوصف جزء حدود أو توقيع معينين.

قبل مغادرة هذا القسم، نشير إلى أن ماحصلنا عليه هنا هو أساسا تخفيض مهمة الوصف إلى مسألة وصف دوال أحادية— البعد. وعلى الرغم من أن العزوم هي حتى الآن الطريقة الأكثر شعبية فهي، ليست الواصفات الوحيدة التي تستعمل لهذا الغرض. فعلى سبيل المثال، نستطيع أن نحسب أيضا تحويل فورييه المتقطع أحادي البعد بالمعادلة فعلى سبيل المثال، ونحصل على طيفه ونستعمل اله K مركبة الأولى من الطيف لوصف K.

ان مزية العزوم على التقنيات الأخرى التي يمكن أن نستعملها هي أن العزوم يمكن تنفيذها مباشرة وتحمل أيضاً تفسيراً فيزيائياً لشكل الحدود. إن عدم حساسية هذه الطريقة لملدوران واضحة من الشكل 16.8. وإذا كان تقييس (الحجم) القياس size مرغوباً فيمكن الحصول عليه بتغيير مقياس مدى r.

### 3.8 واصفات المناطق regional descriptors

### 1.3.8 بعض الواصفات البسيطة

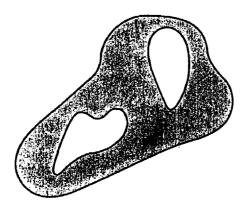
تعرف مساحة منطقة ما بأنها عدد العناصر pixels المحتواة ضمن حدودها. أما محيط منطقة معينة فهو طول حدودها. وعلى الرغم من أن المساحة والمحيط يستعملان أحيانا كواصفات، فإنهما قابلان للتطبيق في الأصل في الحالات التي يكون فيها قياس (حجم) الأشياء موضع الاهتام ثابتاً invariant. إن أحد الاستعمالات المألوفة كثيراً لهذين الواصفين هو في تأسيس قياس تكثيفية compactness منطقة ما، معرفاً بمربع المحيط/المساحة. وتجدر الاشارة إلى أن التكثيفية هي كمية بلا أبعاد dimensinaless وللذا فهي غير حساسة لتغيرات المقياس) وإلى أنها أصغرية لمنطقة بشكل قرص دائري. و باستثناء الأخطاء الناتجة عن دوران المنطقة الرقمية، فإن التكثيفية دوران المنطقة الرقمية، فإن التكثيفية دوران.

إن المحاور الرئيسة لمنطقة ما هي المتجهات المميزة igenvectors لمصفوفة التفاوت المتبادل الذي يحصل عليها باستعمال العناصر داخل المنطقة كمتحولات عشوائية. لقد تمت مناقشة حساب هذه المصفوفة في القسم 1.6.3. ان متجهي مصفوفة التفاوت المتبادل المميزين يشيران باتجاه انتشار المنطقة الأعظمي spread بشرط أن يكونا متعامدين. وتعطي القيمتان المميزتان التابعتان لهما قياس لدرجة الانتشار. ولذلك فان الانتشار الرئيس واتجاه المنطقة يمكن أن يوصفا بأكبر قيمة محيزة وبالمتجه المميز التابع لها. ان هذا النوع من الوصف غير حساس للدوران ولكنه يعتمد على تغيرات المقياس للانتشار.

ان احدى الطرق التي كثيرا ماتستعمل للتغلب على هذه الصعوبة هي استعمال نسبة القيمة المميزة الكبيرة إلى القيمة المميزة الصغيرة كواصف descriptor. وتوجد قياسات أخرى بسيطة تستعمل كواصفات مناطق تشمل المتوسط median و الأوسط للسويات الرمادية، والقيم العظمي و الدنيا لقيم السويات الرمادية وعدد العناصر التي قيمها فوق وتحت المتوسط.

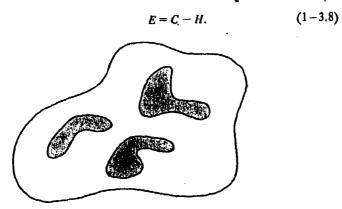
## 2.3.8 واصفات التركيب البنيوي (الطوبولوجية) topological descriptors

إن خصائص التركيب البنيوي مفيدة في الوصف الاجمالي topology بساطة بأنها دراسة للمناطق في مستوي الصورة. نعرف الطوبولوجيا topology ببساطة بأنها دراسة خصائص الشكل التي لاتتأثر بأي نوع من أنواع التشوه مادام لايوجد تمزيق أو وصل للشكل (تسمى هذه التشوهات أحيانا تشوهات الصفيحة المطاطية rubber sheet للشكل (تسمى هذه التشوهات أحيانا تشوهات الصفيحة المطاطية distortions). خذ على سبيل المثال، الشكل 17.8. إذا عرفنا عدد الثقوب في المنطقة كواصف تركيب بنيوي، فمن الواضح أن هذه الخاصة لن تتأثر بالتمديد المنطقة. لاحظ بتحويل الدوران. ولكن، عموما، سيتغير عدد الثقوب إذا مزقنا أو طوينا المنطقة. لاحظ أنه نظراً لأن التمديد يؤثر على المسافة، فإن خصائص التركيب البنيوي لا تعتمد على أي شكل من أشكال المسافة أو على أية خصائص مبنية ضمناً على مفهوم قياس المسافة.



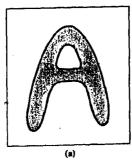
الشكل 17.8 منطقة بثقبين.

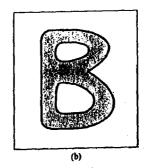
وهناك خاصة تركيب بنيوي أخرى مفيدة في وصف المناطق هي عدد المركبات المتصلة connected components. ان المركبة المتصلة لمجموعة ما هي مجموعة فرعية ذات الحجم الأكبر الذي يسمح بأن توصل أية نقطتين من نقاطها بمنحن متصل يقع كليا ضمن المجموعة الفرعية. يبين الشكل 18.8 منطقة بثلاث مركبات متصلة. يمكن أن يستعمل عدد الثقوب number of holes وعدد المركبات المتصلة في شكل ما لتعريف رقم أولر Euler كا يلي:



الشكل 18.8 منطقة بثلاث مركبات متصلة.

ان رقم أولر هو أيضا خاصة تركيب بنيوي topological. المنطقتان المبينتان في الشكل 19.8 على سبيل المثال، لهما رقم أولر يساوي  $0 \, e^{-1}$  على التوالي، لأن الـ " A " لها مركبة متصلة واحدة وثقب واحد، بينما للـ " A " مركبة متصلة واحدة وثقبان.

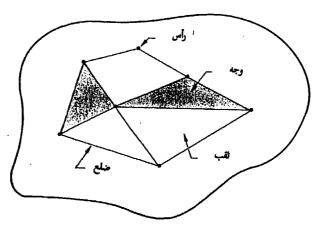




الشكل 19.8 منطقتان رقم أولر لهما هو 0 و 1-1، على التوالي.

ان للمناطق الممثلة بأجزاء خطوط مستقيمة (يشار اليها بالشبكات المضلعية (polygonal networks) تفسير بسيط بدلالة رقم أولر. يبين الشكل 20.8 شبكة مضلعية. كثيراً ما يكون مهما تصنيف المناطق الداخلية لهذا النوع من الشبكات إلى وجوه وثقوب. إذا رمزنا إلى عدد الرؤوس vertices بـ W و لعدد الأضلاع بـ Q و لعدد الوجوه بـ F ، يكون لدينا العلاقة التالية والتي تدعى صيغة أولر Euler formula:

$$W-Q+F=C-H,$$
 (2-3.8) و التي، في ضوء المعادلة (1-3.8) تتعلق برقم أولر كما يلي  $W-Q+F=C-H=E.$  (4-3.8)



الشكل 20.8 منطقة تحتوى شبكة مضلعية.

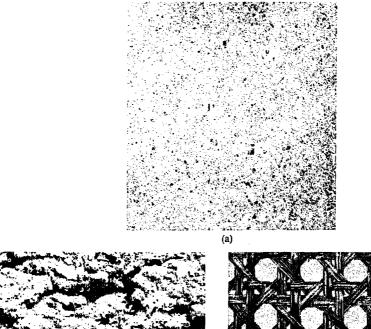
ان للشبكة المبينة في الشكل 20.8 سبعة رؤوس واحدى عشر ضلعا و وجهان ومنطقة متصلة واحدة وثلاثة ثقوب، لذا

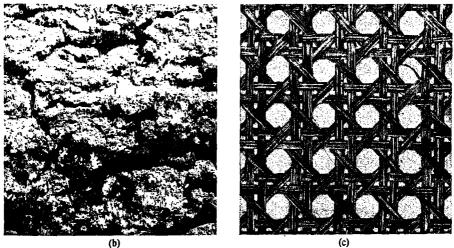
$$7 - 11 + 2 = 1 - 3 = -2$$

على الرغم من أن مفاهيم التركيب البنيوي عامة نوعا ما، فهي تؤمن خاصة اضافية كثيرا ماتكون مفيدة في توصيف characterizing المناطق في مشهد معين.

## 3.3.8 التركيب 3.3.8

ان احدى الطرق الهامة لوصف المناطق هي قياس محتوى تركيبها. و على الرغم من أنه لايوجد تعريف رسمي formal للتركيب، فاننا ننظر بدهيا إلى هذا الواصف على أنه يؤمن قياسا لخصائص مثل النعومة smoothness و الخشونة coarsness و الانتظام regularity (بعض الأمثلة مبينة في الشكل 21.8).





الشكل 21.8 أمثلة لتركيبات (a) ناعمة. (b) خشنة (c) منتظمة. (عن 477 Fu, Gonzalez and Lee

ان الطرائق الرئيسة الثلاثة المستعملة في معالجة الصورة لوصف تركيب منطقة ما هي الاحصائية spectral و البنيوية structural والطيفية spectral. تنتج الطرائق الاحصائية توصيفات للتراكيب مثل ناعم وخشن ومحبحب وهكذا. أما التقنيات التركيبية فإنها تتعامل مع بدائيات الصورة mage primitives مثل وصف الصورة بناءاً على الخطوط المتوازية المتباعدة بانتظام. و تبنى التقنيات الطيفية على خصائص تحويل فورييه وتستعمل بشكل أولي لكشف الدورية الاجمالية في صورة ما بتحديد الذرى الضيقة ذات القدرة العالية في الطيف (انظر القسم 7.5 و 8.5).

## الطرائق الاحصائية statistical approaches

إن إحدى أبسط الطرق لوصف التركيب هي استعمال عزوم هيستوغرام السويات الرمادية لصورة أو منطقة ما. لتكن z متحولا عشوائيا يشير إلى شدة الصورة المتقطعة، ولتكن  $p(z_i)$ , i=1,2,...,L المقابل، حيث ان z هي عدد سويات الشدة الميزة. و كما أشرنا في القسم 4.2.8 ، فان عزم z رقم z حول المتوسط يعرف بالمعادلة التالية

$$\mu_n(z) = \sum_{i=1}^L (z_i - m)^n p(z_i), \qquad (5-3.8)$$

حيث ان m هي قيمة z المتوسطة (أي متوسط شدة الصورة):

$$m = \sum_{i=1}^{L} z_i p(z_i). \tag{6-3.8}$$

لاحظ من المعادلة (3.8 – 5) أن  $\mu_0 = 0$  و  $\mu_0 = 0$  . ان العزم الثاني (يدعى أيضا التفاوت variance ويرمز له ( $\sigma^2(z)$ ) ذو أهمية خاصة في وصف التركيب. انه قياس لتباين السويات الرمادية والذي يمكن أن يستعمل لتأسيس واصفات للنعومة النسبية. فعلى سبيل المثال، يكون القياس التالي:

$$R = 1 - \frac{1}{1 + \sigma^2(z)} \tag{7-3.8}$$

صفرا من أجل المناطق ذات الشدة الثابتة  $(0=(z)^2)$  إذا كان لجميع  $z_{18}$  نفس القيمة) ويقارب الواحد 1 من أجل قيم كبيرة لـ  $(0^2)$ . ان العزم الثالث هو قياس ليلان skewness الهيستوغرام في حين أن العزم الرابع هو قياس لدرجة تسطحه النسبية. أما العزوم من الخامس فما فوق فهي لاتتعلق بسهولة بشكل الهيستوغرام، ولكنها تؤمن تمييزا كميا اضافيا لمحتوى التركيب. ان قياسات التركيب المحسوبة باستعمال الهيستوغرامات تعاني من محدودية كونها لاتحمل معلومات تتعلق بموضع العناصر بالنسبة لبعضها البعض. ان احدى الطرق لادخال هذا النوع من المعلومات إلى عملية تمليل التركيب قطيات الشدات فقط بل مواضع العناصر ذات سويات الشدة المتساوية أو المتساوية تقريبا.

لتكن P عامل موضع و A مصفوفة أبعادها  $k \times k$  وعنصرها  $a_{ij}$  هو عدد مرات حدوث نقاط ذات سوية رمادية  $z_i$  (في الموضع المحدد بـ P) بالنسبة للنقاط ذات السوية الرمادية  $z_i$  ، حيث ال $z_i$   $z_i$   $z_i$  المغلى سبيل المثال، خذ صورة ذات ثلاث سويات رمادية،  $z_i$  و  $z_i$  و  $z_i$   $z_i$   $z_i$   $z_i$   $z_i$ 

فإذا عرفنا عامل الموضع كما يلي "عنصر واحد إلى اليمين وعنصر واحد إلى الأسفل" سنحصل عندئذ على المصفوفة A ذات الأبعاد 3×3 التالية:

$$\mathbf{A} = \begin{bmatrix} 4 & 2 & 1 \\ 2 & 3 & 2 \\ 0 & 2 & 0 \end{bmatrix}$$

حيث ، وعلى سبيل المثال،  $a_{11}$  (أعلى اليسار) هو عدد مرات ظهور نقطة ذات سوية  $z_1$ 0 موضع عنصر واحد إلى الأسفل وإلى يمين عنصر له نفس السوية الرمادية، في حين أن  $a_{13}$  (أعلى اليمين) هو عدد مرات ظهور نقطة ذات سوية  $a_{13}$  موضع عنصر

واحد إلى الأسفل وإلى يمين نقطة ذات سوية رمادية  $z_3=2$ . من المهم أن نلاحظ أن قياس A يتحدد بدقة بعدد السويات الرمادية المميزة في صورة الدخل. ولذا فان تطبيق المفاهيم التي نوقشت في هذا القسم يتطلب عادة اعادة تكمية الشدات في نطاقات سويات رمادية قليلة للحفاظ على قياس (خجم) A صغيرا بقدر يجعله قابلا للتعامل معه.

لتكن n العدد الاجمالي لأزواج النقاط point pairs في الصورة التي تحقق P (في المثال الأعلى p (p المثال الأعلى p (p المثال الأعلى p (p المثال الأعلى p عند p المثال المثال المثال المثال المثال إلاحتال المثال المثال المثال إلى يظهر فيه زوج من المنقاط يحقق p وتكون قيمتيه p وتكون قيمتيه p وتكون قيمتيه (p (p المنقاط يحقق p وتكون قيمتيه (p (p المنقاط يحقى p وتكون قيمتيه (p المنقاط يحقى p وتكون قيمتيه المنقال المناق p وتكون قيمتيه وجود أنماط تركيب معينة باختيار عامل موضع مؤثر ملائم. فعلى سبيل المثال المؤثر الذي استعمل في المثال المذكور أعلاه حساس لنطاقات ذات المناق المؤثر الذي استعمل في المثال المذكور أعلاه حساس لنطاقات ذات شدة ثابتة تمتد باتجاه p (المنقاط قيمتها p وتمتد بزاوية p (المناق أعم، تكون المسألة هي تحليل مصفوفة p معينة لتصنيف المنطقة التي حسبت فيها p . ان مجموعة من الواصفات اقترحها Haralick تشتمل على ما يلى:

(1) الاحتال الأعظمي

$$\max_{i,j}(c_{ij})$$

$$\sum_{i}\sum_{j}(i-j)^{k}c_{ij}$$

$$\sum_{i} \sum_{j} c_{ij} / (i - j)^{k} \quad i \neq j$$

(4) الانتروبيا

$$-\sum_{i}\sum_{i}c_{ij}\log c_{ij}$$

## uniformity الانتظام

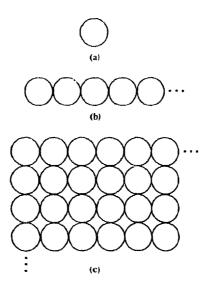
# $\sum_{i}\sum_{i}c_{ij}^{2}$

و ذلك لوصف "محتوى" C بواسطة هذه الواصفات. فمثلا، تعطي الانتروبيا دلالة عن الاستجابة الأقوى لـ P (كما في المثال المذكور أعلاه). إن للواصف الثاني قيمة منخفضة نسبياً عندما تكون القيم العالية في P موجودة قرب القطر الرئيس لأن الفروق (P عندما تكون القيم العالية في P مناصر (P مناك. أما الواصف الثالث فله الأثر المعاكس. ان الواصف الرابع هو قياس للعشوائية و يبلغ قيمته العظمى عندما تكون جميع عناصر P متساوية. و على العكس من ذلك فان الواصف الخامس يصل قيمته الدنيا عندما تكون جميع عناصر عناصر المصفوفة P ، أي P متساوية.

## الطرائق البنيوية structural approaches

كما أشرنا في بداية هذا الفصل، يبنى صنف ثان من طرائق وصف التركيب على المفاهيم البنيوية structural. افرض أن لدينا قاعدة من الشكل  $as \rightarrow as$  التي تدل على أن الرمز  $as \rightarrow as$  أن الرمز  $as \rightarrow as$  أن الرمز  $as \rightarrow as$  أن تعاد كتابته كما يلي  $as \rightarrow as$  (مثلا، ستعطي ثلاثة تطبيقات لهذه القاعدة الصف التالي aaas). فاذا جعلنا  $as \rightarrow as$  ثال دائرة (الشكل  $aaas \rightarrow as$ ) وخصصنا المعنى "دوائر الى اليين" لصف من الشكل  $aaas \rightarrow as$ ، فستسمح لنا القاعدة بتوليد "خط تركيب" لليين "لصف من الشكل  $aaas \rightarrow as$  الشكل  $aaas \rightarrow as$ 

افرض بعد ذلك أننا نضيف قواعد جديدة للقاعدة السابقة مثل: S=bA و A=cA و A=cA عني وجود A=cA و A=cA و A=cA و A=cA بحيث يعني وجود A=cA السكل aaabccbaa الذي يقابل مصفوفة دوائر أبعادها B=cA و يمكن توليد أنماط تركيب أكبر مثل ذلك النمط المبين في الشكل B=cA بنه الطريقة. (ولكن لاحظ أن هذه القواعد تستطيع توليد بنى غير مستطيلة).



الشكل a)22.8) تركيب بدأي . (b) غط تم توليده بالقاعدة aS --- -as, (c) غط تركيبي ثنائي الأبعاد تم توليده بهذه القاعدة بالاضافة لقواعد أخرى.

ان الفكرة الأساسية من المناقشة السابقة هي أنه يمكن استعمال "تركيب بدائي " primitive texture لتكوين أنماط تركيب أكثر تعتيدا بواسطة بعض القواعد التي تحد عدد الترتيبات الممكنة للتركيب أو التراكيب البدائية. تقع هذه المفاهيم في قلب أساليب الوصف الارتباطي relational descriptions و هو موضوع سنبحث فيه بقدر أكبر من التفصيل في القسم 4.8.

## spectral approaches الطرائق الطيفية

كما أشرنا في القسمين 7.5 و 8.5 فان تحويل فرريبه ملائم بشكل مثالي لوصف اتجاهية أنماط ثنائية الأبعاد دورية أو دورية على الأغلب في صورة ما. في حين أن أنماط التركيب هذه سهلة التمييز كتركيزات لرشقات bursts طاقة عالية في الطيف، فانها عموما صعبة الكشف الى حد بعيد باستعمال العارائق الحيزية بسمت الطبيعة الموضعية

لهذه التقنيات. في المناقشة الحالية، ندرس ثلاث خصائص لتحويل فوربيه مفيدة في وصف التركيب: (1) القمم البارزة في الطيف تعطي الاتجاه الرئيس لأنماط التركيب، (2) موقع القمم في المستوي الترددي يعطي أدوار الأنماط الحيزية الأساسية، (3) بحذف أية مركبات دورية بواسطة الترشيح يبقى لدينا صورة ذات عناصر غير دورية والتي يمكن أن توصف عندئذ بالتقنيات الاحصائية. نذكر القارىء بأن طيف الصورة الحقيقية متناظر حول المبدأ بحيث نحتاج أن نأخذ بالحسبان نصف مستوي التردد فقط فقط. ولذا، فمن أجل غرض التحليل فان كل نمط دوري يصاحب بقمة واحدة فقط في الطيف بدلا من اثنتين. ان كشف وتفسير خصائص الطيف التي ذكرت للتو كثيرا ما تبسط بالتعبير عن الطيف بالاحداثيات القطبية لاعطاء دالة  $(\mathbf{r}, \mathbf{0})$  ، حيث ان كام مي دالة الطيف و r و هم المتحولان في نظام الاحداثيات هذا. بعدئذ، في كل اتجاه هي دالة الطيف  $(\mathbf{r}, \mathbf{0})$  دالة أحادية—البعد  $(\mathbf{r}, \mathbf{0})$  من أجل مشابه  $(\mathbf{0}, \mathbf{r})$  هي دالة أحادية—البعد من أجل كل تردد r. ان تحليل  $(\mathbf{r}, \mathbf{0})$  من أجل قيمة ثابتة لـ  $(\mathbf{r}, \mathbf{0})$  من المبدأ، في حين أن سلوك الطيف (مثلا، وجود القمم) على طول اتجاه نصف قطري من المبدأ، في حين أن تحليل  $(\mathbf{0}, \mathbf{0}, \mathbf{0})$  من أجل قيمة ثابتة لـ  $(\mathbf{r}, \mathbf{0})$  على طول الجاه نصف قطري من المبدأ، في حين أن تحليل  $(\mathbf{0}, \mathbf{0}, \mathbf{0})$  من أجل قيمة ثابتة لـ  $(\mathbf{r}, \mathbf{0})$  على طول الجاه نصف قطري من المبدأ، في حين أن

يتم الحصول على وصف أكثر اجمالية بمكاملة (جمع من أجل متحولات متقطعة) هذه الدوال، كما يلي:

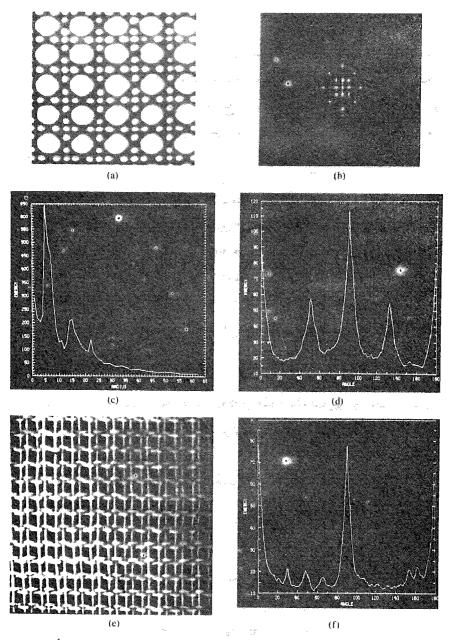
$$S(r) = \sum_{\theta=0}^{\pi} S_{\theta}(r)$$
 (8 - 3.8)

$$S(\theta) = \sum_{r=1}^{R} S_r(\theta), \qquad (9-3.8)$$

حيث ان R هي نصف قطر دائرة مركزها في المبدأ. من أجل طيف أبعاده  $N \times N$  فختار R نموذجيا N/2. تكون نتائج المعادلتين (3.8–8) و (3.8–9) زوجاً من القيم أختار S(r). كل زوج احداثيات S(r). بتغيير هذين الاحداثيين، نستطيع توليد دالتين أحاديتي S(r) البعد، S(r) و S(r) ، تكونان وصفا لقدرة التركيب الطيفية لكامل الصورة

أو للمنطقة موضع البحث. رأكار من ذلك، نستطيع حساب واصفات هذه الدوال نفسها لوصف characterize سلوكها بطريقة كمية. ان الواصفات النموذجية التي يمكن أن يستخدمها المرء لهذا الغرض هي موضع أعلى قيمة و المتوسط و الانحراف المعياري لكل من التغيرات المطالية والمحورية (أنظر القسم 4.2.8)، والمسافة بين المتوسط و أعلى قيمة للدالة.

كتوضيح لكيفية امكان استخدام رسم  $(\theta)$  في هذه الحالة للتفريق بين نمطي تركيب، يين الشكل  $(\theta)$  عبورة أخرى نمط تركيبها سائد في الاتجاهين الأفقى والشاقولي. ان رسم  $(\theta)$  لهذا الطيف مبين في الشكل  $(\theta)$ 23.8 كما توقعنا، يظهر هذا الرسم قمما عالية على فترات قدرها 90 درجة. وسيكون التمييز بين نمطي التركيب بتحليل موجات  $(\theta)$ 8 التابعة لهما مسألة بسيطة.



الشكل 23.8(a) صورة تظهر تركيبا دوريا, (b) طيفها . (c) رسم (c) .(d) .S(r) صورة أخرى ذات تركيب دوري من نوع مختلف. (f) رسم (S() .(باذن من D Brzakovic, University of Tenesse).

### 4.3.8 العزوم 4.3.8

(p+q) نعرف العزم من المرتبة (f(x, y) اذا كان لدينا دالة مستمرة ثنائية الأبعاد الأبعادة

$$m_{pq} = \int_{-\infty}^{\infty} \int_{-\infty}^{\infty} v^p y^q f(x, y) dx dy$$
 (10-3.8)

من أجل p,q-1,2,...n.

تنص نظرية الوحدانية uniqueness لـ Papoulis 1965 على أنه اذا كانت f(x,y) مستمرة كقطع piecewise contineous و لها قيم غير الصفر فقط في جزء محدد من المستوي x-y ، تكون العزوم من جميع الدرجات موجودة عندئذ ويتحدد تتابع العزوم f(x,y) بشكل فريد. بشكل معاكس، يحدد f(x,y) الله الة f(x,y) بشكل فريد. و يمكن أن يعبر عن العزوم المركزية كما يلي

$$\mu_{pq} = \int_{-\pi/2}^{\pi/2} \int_{-\pi/2}^{\pi/2} (x - \overline{x})^p (y - \overline{y})^q f(x, y) \, dx dy, \qquad (11 - 3.8)$$

حيث

$$\bar{x} = \frac{m_{10}}{m_{00}}, \qquad \bar{y} = \frac{m_{01}}{m_{00}}.$$

و من أجل صورة رقمية تصبح المعادلة (3.8-11) كما يلي

$$\mu_{pq} = \sum_{x} \sum_{y} (x - \bar{x})^{p} (y - \bar{y})^{q} f(x, y).$$
 (12-3.8)

ان العزوم المركزية من المرتبة 3 هي كما يلي:

$$\mu_{10} = \sum_{x} \sum_{x} (x - \overline{x})^{1} (y - \overline{y})^{0} f(x, y)$$

$$= m_{10} - \frac{m_{10}}{m_{00}} (m_{00})$$

$$= 0$$

$$\mu_{11} = \sum_{x} \sum_{y} (x - \overline{x})^{1} (y - \overline{y})^{1} f(x, y)$$

$$= m_{11} - \frac{m_{10} m_{01}}{m_{00}}$$

$$\mu_{20} = \sum_{x} \sum_{y} (x - \bar{x})^{2} (y - \bar{y})^{0} f(x, y)$$

$$= m_{20} - \frac{2m_{10}^{2}}{m_{00}} + \frac{m_{10}^{2}}{m_{00}} = m_{20} - \frac{m_{10}^{2}}{m_{00}}$$

$$\mu_{02} = \sum_{x} \sum_{y} (x - \bar{x})^{0} (y - \bar{y})^{2} f(x, y)$$

$$= m_{02} - \frac{m_{01}^{2}}{m_{00}}$$

$$\mu_{30} = \sum_{x} \sum_{y} (x - \bar{x})^{13} (y - \bar{y})^{0} f(x, y)$$

$$= m_{30} - 3\bar{x}m_{20} + 2m_{10}\bar{x}^{2}$$

$$\mu_{12} = \sum_{x} \sum_{y} (x - \bar{x})^{1} (y - \bar{y})^{2} f(x, y)$$

$$= m_{12} - 2\bar{y}m_{11} - \bar{x}m_{02} + 2\bar{y}^{2}m_{10}$$

$$\mu_{21} = \sum_{x} \sum_{y} (x - \bar{x})^{2} (y - \bar{y})^{1} f(x, y)$$

$$= m_{21} - 2\bar{x}m_{11} - \bar{y}m_{20} + 2\bar{x}^{2}m_{01}$$

$$\mu_{03} = \sum_{x} \sum_{y} (x - \bar{x})^{0} (y - \bar{y})^{3} f(x, y)$$

$$= m_{03} - 3\bar{y}m_{02} + 2\bar{y}^{2}m_{01}$$

بايجاز،

يمكن اشتقاق سبعة عزوم غير متغيرة invariant من العزمين الثاني والثالث\* ،

تعطی بما یلی

$$\phi_1 = \eta_{20} + \eta_{02} \tag{15-3.8}$$

$$\phi_2 = (\eta_{20} - \eta_{02})^2 + 4\eta_{11}^2 \tag{16-3.8}$$

$$\phi_3 = (\eta_{30} - 3\eta_{12})^2 + (3\eta_{21} - \eta_{03})^2 \tag{17-3.8}$$

$$\phi_4 = (\eta_{30} + \eta_{12})^2 + (\eta_{21} + \eta_{03})^2 \tag{18-3.8}$$

$$\phi_5 = (\eta_{30} - 3\eta_{12})(\eta_{30} + \eta_{12})[(\eta_{30} + \eta_{12})^2 - 3(\eta_{21} + \eta_{03})^2] + (3\eta_{21} - \eta_{03})(\eta_{21} + \eta_{03})[3(\eta_{30} + \eta_{12})^2 - (\eta_{21} + \eta_{03})^2]$$
(19 – 3.8)

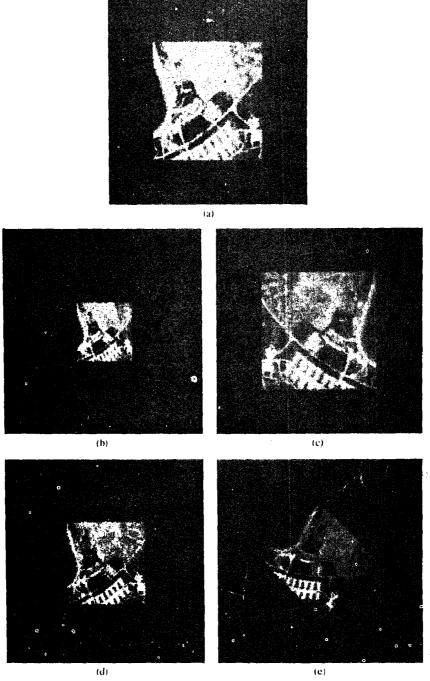
$$\phi_6 = (\eta_{20} - \eta_{02})[(\eta_{30} + \eta_{12})^2 - (\eta_{21} + \eta_{03})^2] + 4\eta_{11}(\eta_{30} + \eta_{12})(\eta_{21} + \eta_{03})$$
(20-3.8)

$$\phi_7 = (3\eta_{21} - \eta_{30})(\eta_{30} + \eta_{12})[(\eta_{30} + \eta_{12})^2 - 3(\eta_{21} + \eta_{03})^2] 
+ (3\eta_{12} - \eta_{30})(\eta_{21} + \eta_{03})[3(\eta_{30} + \eta_{12})^2 - (\eta_{21} + \eta_{03})^2]$$
(21 - 3.8)

لقد تم إبانة أن هذه العزوم غير متغيرة بالنسبة للنقل translation والدوران rotation وتغيير المقياس scaling ، عن (Hu 1962).

مثال: لقد تم تصغير الشكل 24.8(a) الى نصف قياسه في الشكل 24.8(b) وصور كما يظهر في المرآة في الشكل 24.8(c) و دور بدرجتين 2 وبخمس وأربعين درجة 45، كما هو مبين في الشكلين 24.8(b) و (e). بعد ذلك حسبت العزوم السبعة غير المتغيرة مبين في الشكلين 24.8(b) و (e). بعد ذلك حسبت العزوم السبعة غير المتغيرة المعطاة بالمعادلات (3.8-15) حتى (3.8-21) لكل صورة من هذه الصور، وأخذ لو غاريتم النتائج لتخفيض المدى الديناميكي. كما هو مبين في الجدول 1.8، فإن نتائج الأشكال 24.8 (e) حتى (e) هي في توافق معقول مع العزوم غير المتغيرة نتائج الأشكال الصورة الأصلية. ان السبب الرئيس للخطأ يمكن أن يعزى إلى الطبيعة المقمية للمعطبات.

<sup>\*</sup> يتضمن اشتقاق هذه النتائج مفاهيم تقع خارج نطاق المناقشة الحالية. يمكن أن يعود القارىء المهتم بهذه المفاهيم إلى كتاب Bell 1965 ومقالة Hu 1962 من أجل مناقشة مفصلة.



الشكل 24.8 صور استعملت لشرح (اظهار) خصائص لا متغيرات العزوم moments invariants.

الجدول 1.8 لامتغيرات العزوم من أجل الصور المبينة في الأشكال 24.7 (a) حتى (e)

Invariant (Log)	Original	Half Size	Mirrored	Rotated 2°	Rotated 45°
$\phi_1$	6.249	6,226	6.919	6.253	6.318
$\phi_2$	17.180	16.954	19.955	17.270	16.803
$\phi_3$	22.655	23.531	26.689	22.836	19.724
$\phi_4$	22.919	24,236	26.901	23,130	20.437
$\phi_5$	45,749	48.349	53.724	46.136	40.525
$\phi_6$	31.830	32.916	37.134	32.068	29.315
$\phi_7$	45.589	48.343	53.590	46.017	40.470

### 4.8 وصف التشابه descriptions of similarity

يمكن أن تؤسس قياسات التشابه عند سويات مختلفة من التعقيد في الصورة، متدرجة من الحالة البسيطة trivial التي يقارن فيها عنصرا صورة، الى المسألة المعقدة جدا وهي تحديد مدى تشابه منظرين أو أكثر بطريقة ما ذات معنى meaningful way.

### distance measures المسافات 1.4.8 قباسات المسافات

يمكن استعمال بعض التقنيات التي نوقشت سابقا كأساس للمقارنة بين منطقتي صورة. خذ، على سبيل المثال، واصفات العزوم moment descriptors التي قدمت في القسم 4.3.8. وافترض أن عزوم منطقتين قد رتبت على متجهين  $\mathbf{x}_1$  و  $\mathbf{x}_2$ . ان المسافة بين  $\mathbf{x}_1$  و  $\mathbf{x}_2$  معطاة بالمعادلة التالية

$$D(\mathbf{x}_1, \mathbf{x}_2) = \|\mathbf{x}_1 - \mathbf{x}_2\| = \sqrt{(\mathbf{x}_1 - \mathbf{x}_2)'(\mathbf{x}_1 - \mathbf{x}_2)},$$
 (1-4.8)

حيث يشير الرمز ( ) إلى منقول المتجه vector transpose ، الذي يمكن أن يستخدم كقياس للتشابه بين الواصفين. وتصبح هذه الطريقة جذابة خصيصا اذا كنا مهتمين بمقارنة واصف معين من أصل معروف مع واحد أو أكثر من الواصفات التي قد أسست خواصها سابقا. اذا أشرنا الى الواصفات المعروفة ب $\mathbf{x}_1, \mathbf{x}_2, \dots, \mathbf{x}_L$  ، والى الواصف غير

 $x_i$  المعروف بـ x ، نقول عندئذ ان x أكثر شبها بالواصف رقم i اذا كان x أقرب الى x منه الى أي متجه آخر ، أي، اذا كان

$$D(\mathbf{x}, \mathbf{x}_i) < D(\mathbf{x}, \mathbf{x}_j) \tag{2-4.8}$$

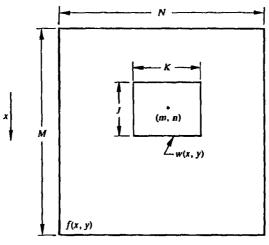
من أجل إنه و 1,2,...,L. إن هذه الطريقة يمكن أن تستعمل مع واصفات متنوعة مادام بالامكان التعبير عنها بشكل ذي معنى بالصيغة الاتجاهية.

## 2.4.8 الترابط 2.4.8

لدينا صورة رقمية f(x, y) ذات قياس  $M \times N$  ، افترض أننا نرغب في تحديد ما اذا كانت هذه الصورة تحتوي على منطقة مشابهة لمنطقة ما w(x, y) ذات قياس  $M \times K$  خيث  $M \times K$  إن إحدى الطرائق التي تستعمل في أغلب الأحيان لحل هذه المسالة هي إقامة ترابط بين w(x, y) و w(x, y) ، يعطى الترابط بين هاتين الدالتين الحقيقيتين، بأبسط أشكاله، بالمعادلة التالية

$$R(m, n) = \sum_{x} \sum_{y} f(x, y) w(x - m, y - n), \qquad (3-4.8)$$

حيث m=0,1,2,...,M-1 و m=0,1,2,...,M-1 حيث m=0,1,2,...,M-1 و m=0,1,2,...,M-1 حيث تكون m(x,y) معرفة. ان الأجراء موضح في الشكل 25.8. فمن أجل أية قيمة لحرث m(x,y) نطبق المعادلة (4.8) للحصول على قيمة واحدة لـ m(x,y) تغيير m=0 ، تتحرك m(x,y) في أرجاء منطقة الصورة ونحصل بالتالي على الدالة m(x,y). بعدئذ تدل القيمة العظمى لـ m(m,n) على الموضع الذي طابقت فيه m(x,y) الصورة m(x,y) على أفضل وجه. لاحظ أن الدقة ستكون مفقودة من أجل قيم m=0 و m=0 قرب حواف m(x,y) و تكون كمية الخطأ متناسبة مع قياس (حجم) m(x,y).



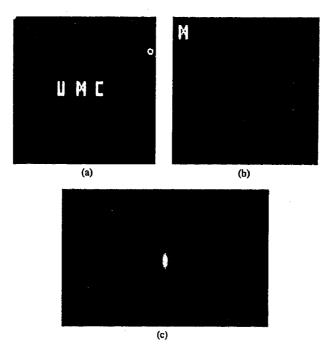
الشكل 25.8 ترتيب للحصول على ترابط f(x,y) و w(x,y) في نقطة معينة (m,n).

مثال: يوضح الشكل 26.8 المفاهيم التي نوقشت للتو. ان الشكل 26.8 هو (x,y) هو (a) يوضح الشكل 26.8 الشكل w(x,y) هو w(x,y) هو (b) 26.8 والشكل 26.8 w(x,y) هو (b) 26.8 والشكل 26.8 هو الشكل عبث w(x,y) و w(x,y) الشدة الأعلى له التطابق الأفضل بين w(x,y) و w(x,y) و w(x,y)

على الرغم من ان دالة الترابط المعطاة بالمعادلة (4.8–3) سهلة في طبيعتها فإن لها مايعيق استخدامها و هو حساسيتها لتغيرات المقياس في مطال w(x, y) و w(x, y) الطرائق التي كثيراً ماتستخدم للتغلب على هذه الصعوبة هي إجراء المطابقة بواسطة معامل الترابط المعرف كما يلي

$$r(m, n) = \frac{\sum_{x} \sum_{y} [f(x, y) - \overline{f}(x, y)][w(x - m, y - n) - \overline{w}]}{\left[\sum_{x} \sum_{y} [f(x, y) - \overline{f}(x, y)]^{2} \sum_{x} \sum_{y} [w(x - m, y - n) - \overline{w}]^{2}\right]^{1/2}}$$
(4-4.8)

حيث n=0,1,2,...,N−1 و m=0,1,2,...,M−1 و w هو متـوسـط الشـدة للنـافذة



الشكل 26.8 مثال للترابط. لاحظ لمعان (R(m,n) في الموضع الذي يتطابق فيه الحرفان. (عن 1971 .Hall et al. 1971).

(تحسب هذه القيمة مرة واحدة)، و f(x, y) هي متوسط القيمة لـ f(x, y) في المنطقة المتطابقة مع w(x, y) وتؤخذ المجاميع summations ضمن الاحداثيات المشتركة بين كل من f(x, y) وسنتقلة عن تغيرات المقياس في مطال f(x, y) و f(x, y) و مستقلة عن تغيرات المقياس في مطال f(x, y) و f(x, y).

كما ذكرنا في القسم 8.3.3 ، يمكن أن يجرى الترابط أيضا في المجال الترددي بواسطة خوارزمية تحويل فورييه السريع. اذا كانت الدوال بنفس القياس، فان هذه الطريقة تكون فعالة أكثر من التنفيذ المباشر للترابط في المجال الحيزي. ولكن في تنفيذ المعادلة (4.8 – 3) من المهم أن نشير الى أن w(x, y) هي عادة ذات أبعاد أصغر بكثير من y. لقد أجرى Campell 1969 مقارنة بينت أنه اذا كان عدد الحدود غير الصفر في y0 أقل من 132 ، يكون التنفيذ المباشر للمعادلة (4.8 – 3) أكار فعالية من استعمال طريقة تحويل فورييه السريع FFT. بالطبع يعتمد هذا الرقم على نوع

الحاسوب والخوارزميات المستخدمة، و لكنه يعطي دلالة على قياس الصورة التقريبي الذي يجب أن نبدأ عنده بالتفكير في المجال الترددي كبديل. ان المعادلة (4.8-4) أكثر صعوبة بكثير للتنفيذ باستخدام تحويل فورييه السريع و تحسب عادة في المجال الحيزي.

### 3.4.8 مطابقة الحدود 3.4.8

افرض أن كفافي جسم قد رمزا في صفي أحرف  $a_1,a_2,...a_n$  و  $a_1,b_2,...,b_n$  و  $a_1,a_2,...a_n$  على التوالي. دع A تمثل عدد المطابقات matches بين الصفين، حيث نقول إن مطابقة قد حصلت في الموضع ز إذا كان  $a_i=b_j$ . يعطى عدد الرموز التي لاتتطابق بما يلي

$$B = \max(|C_1|, |C_2|) - A, \qquad (5-4.8)$$

حيث إن |C| هي طول (عدد رموز) الصف C. يمكن أن يبين أن B-0 اذا وفقط اذا كان  $C_1$  و  $C_2$  متماثلين.

يعرف قياس تشابه بسيط بين الصفين  $C_1$  و  $C_2$  بالنسبة التالية

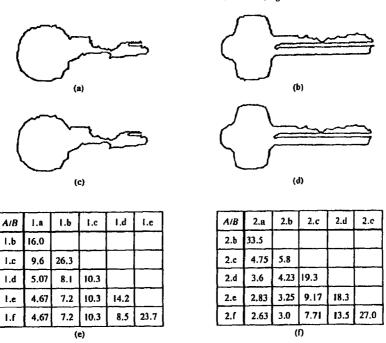
$$R = A/B$$
=  $A/[\max(|C_1|, |C_2|) - A].$  (6-4.8)

بناءاً على الملاحظة المتعلقة بـ B و المذكورة أعلاه، فان R تكون لانهائية عند المطابقة التامة وصفراً عندما لا يتطابق أي رمز من الرموز في  $C_1$  و  $C_2$  (أي،  $C_2$  في هذه الحالة). و نظراً لأن المطابقة تجرى على أساس عنصر – فعنصر، فان نقطة البداية على كل حدود مهمة عند انشاء تمثيل صف الرموز string representation. و بشكل بديل، نستطيع أن نبدأ عند نقاط اختيارية على كل من الحدود، ونزيج أحد الصفين (بالتغليف) ونحسب المعادلة ((4.8-6)) من أجل كل ازاحة. ان عدد الازاحات اللازمة لاجراء المقارنات الضرورية هو ((2.6-6)).

مثال: يبين الشكلان 27.8(a) و (b) عينة حدود لكل صنف من صنفين من الأجسام. لقد تم تقريب الحدود بمواءمة بالتضليع polygonal fit (الشكلان 27.8 و d) وبعد ذلك شكل الصفان بحساب الزاوية الداخلية بين كل ضلعين من أضلاع المضلع و

ذلك بالطواف على أضلاعه باتجاه عقارب الساعة. لقد تم ترميز الزوايا في واحد من ثمانية رموز ممكنة موافقة لزيادات بمقدار °45،

 $s_1:0 < \theta \le 45^{\circ}, s_2:45^{\circ} < \theta \le 90^{\circ}, \ldots, s_8:315^{\circ} \le \theta \le 0^{\circ}$ 



A/B	1.a	1.6	1.c	1.d	1.e	1.f
2.a	1.24	1.50	1.32	1.47	1.55	1.48
2.b	1.18	1.43	1.32	1.47	1,55	1.48
2.c	1.02	1.18	1.19	1.32	1.39	1.48
2.d	1.02	1.18	1.19	1.32	1.39	1.40
2.e	0.93	1.07	1.08	1.19	1.24	1.25
2.f	0.89	1.02	1.02	1.14	1.11	1.18
			(g)			

الشكل 27.8(a)و (b) هما عينتا حذود لصنفين مختلفين من الأجسام. و (c) و (d) هما تقريبان بالتضليع للمينتين، و (e) حتى (g) هي جدولة لـ R-A/B. (اقتبست عن Sze and Yang 1981). ان نتائج حساب القياس R من أجل خمس عينات للجسم الأول مقابل بعضها البعض مبينة في الشكل 28.7 (e) ، حيث تتبع المداخل لقيم R=A/B ، و على سبيل المثال، فان الرمز 1.c يعود الى الصف الثالث third string لحسم الصنف الأول. ويبين الشكل 1.6) النتائج من أجل صفوف صنف الجسم الثاني. أخيراً، فإن الشكل 1.27.8 (و) هو جدولة لقيم R التي تم الحصول عليها بمقارنة أحد الصنفين مع الصنف الآخر. ان الشيء المهم الملاحظ هو أن جميع قيم R في الجدول الأخير أصغر بكثير من قيمة أي مدخل في الجدولين السابقين مما يشير الى أن القياس R قد حقق درجة عا لية من التمييز بين هذين الصنفين من الأجسام. فعلى سبيل المثال، اذا كان الصف 1.a غير معروف، فان أصغر قيمة في مقارنته مع الصنفوف strings الأخرى للصنف الأول ستكون 1.4.6 خلافا لذلك، ان أكبر قيمة في مقارنته مع الصنف الثاني هي 1.24 سبكون 4.76 خلافا لذلك، ان أكبر قيمة في مقارنته مع الصنف الثاني هي 1.24 مسألة بسيطة وجلية (غير غامضة).

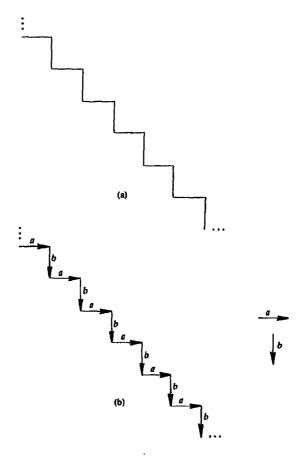
# relational description الوصف الارتباطي 5.8

ان طرائق الوصف التي نوقشت في الأقسام الثلاثة السابقة تنطبق على الحدود الافرادية والمناطق موضع الاهتام في صورة ما. ان السوية الثانية من التعقيد في عملية الوصف هي تنظيم هذه المركبات بطريقة تستغل أية ارتباطات بنيوية يمكن أن تكون موجودة بينها. و على الرغم من وجوب تطوير نظام نظري موحد يبحث في تقنيات لربط مركبات الصورة، فان فكرة استعمال تقنيات مبنية على مفاهيم قواعدية وتعديد وتعسل تتبثق الآن كطريقة واعدة لمسألة الوصف البنيوي structural في مفاهيم فواعدة لمسألة الوصف البنيوي description.

كمدخل لهذا المفهوم، تأمل بنية السلم البسيطة المبينة في الشكل 28.8(a)، و بافتراض أن هذه البنية قد حصل عليها من تجزيء صورة ما، دعنا نفترض أننا نرغب في وصفها بطريقة رسمية. بتعريف العنصرين البدائيين primitive elements المبينين a و b ، يمكن أن نرمز الشكل 28.8(a) بالطريقة المبينة في الشكل 28.8(d). ان أكثر

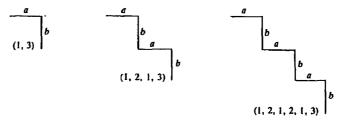
الخصائص وضوحا للبنية المرمزة هي تكرارية العنصرين a و b. لذلك فان احدى طرق الوصف البسيطة ستكون تكوين علاقة تكرارية تشمل هذين العنصرين البدائيين. ان احدى الامكانيات هي استعمال قواعد اعادة الكتابة rewriting rules التالية:

- (1)  $S \rightarrow aA$ ,
- (2)  $A \rightarrow bS$ ,
- (3)  $A \rightarrow b$ ,



الشكل a)28.8) بنية سلم بسيطة. (b) بنية مرمزة.

حيث ان S و A متحولان و a و و و البتان تابعان للعنصرين البدائيين الموفين أعلاه. تدل القاعدة الأولى على آن S يمكن أن تستبدل بالعنصر الأول a و المتحول a. و هذا المتحول بدوره يمكن أن يستبدل a و a أو a أو a وحده. إذا استبدلنا a به a فإن هذا يرجعنا إلى القاعدة الأولى ويمكن اعادة الاجراء. أما إذا استبدل a به و فإن الاجراء ينتهي لأنه لم تبق متحولات في الصيغة. يوضح الشكل a 29.8 بعض عينات الاشتقاقات لهذه القواعد، حيث تمثل الأرقام الموجودة تحت البنى structures ترتيب تطبيق القواعد 1 و a و a دائما. في المناقشة التالية يفترض أن جميع الاشتقاقات تبدأ برمز خاص a (يدعى رمز البداية). و بناءا على هذا الاصطلاح، فان العنصر الأول في البنى المولدة بالقواعد المنصوصة أعلاه هو a دائما والعنصر الأخير هو a دائما. ويمكن تغيير عنصري البداية والنهاية ببساطة بإضافة قواعد أكثر. ولكن النقطة المركزية ويمكن تغيير عنصري البداية والنهاية ببساطة بإضافة قواعد أكثر. ولكن النقطة المركزية المذا التوضيح هي أن ثلاث قواعد إعادة كتابة يمكن أن تستعمل لتوليد (أو وصف) عدد غير محدد من البنى "المتشابهة". كا سنبين في الأقسام التالية، فان هذه الطريقة تمتمتع بمزية استنادها إلى أساس نظري متين.



 $A \rightarrow b$  و  $S \rightarrow aA$  و  $A \rightarrow bS$  الشكل 29.8 عينات من الاشتقاقات باستعمال القواعد

## 1.5.8 قواعد صفوف الرموز واللغات 1.5.8 قواعد صفوف

تتألف البنية المرمزة الموضحة في الشكل 28.8 من صفوف رموز متصلة connected strings. نقدم في هذا الفصل بعض المفاهيم من نظرية اللغات الرسمية

دراسة نماذج رياضية تستعمل لتوليد وترجمة أو إجراء عمليات أخرى تتضمن صفوف دراسة نماذج رياضية تستعمل لتوليد وترجمة أو إجراء عمليات أخرى تتضمن صفوف رموز من لغة صنعية artificial language يمكن أن يُرَد أصل نظرية اللغات الرسمية إلى منتصف الخمسينات مع تطوير Noam chomsky لنماذج رياضية للقواعد متعلقة بعمله في اللغات الطبيعية معطوير natural languages. ان أحد الأهداف الأصلية لباحثي اللسانيات العاملين في هذا المجال كان تطوير قواعد حسابية computational grammars قادرة على وصف اللغات الطبيعية مثل الانكليزية. لقد كان الأمل أنه إذا كان بالامكان انجاز ذلك فسيكون تعليم الحواسيب كيفية تفسير اللغات العادية لأغراض الترجمة وحل المسائل، مسألة بسيطة نسبياً. و على الرغم من أنه متفق عليه عموما أن هذه التوقعات لم تتحقق حتى الآن، فان بعض انجازات البحوث في هذا المجال كان لها أثر هام على عالات أخرى مثل تصميم المترجم compiler design ، ولغات الحاسوب pattern recognition و معالحة الصور image processing و معالحة الصور image processing.

سنبدأ التطوير ببعض التعاريف الأساسية

الأبجدية V, alphabet هي أية مجموعة محددة من الرموز.

الجملة sentence أو صفّ الرموز string أو الكلمة word ضمن الأبجدية V هي أي صف من الرموز ذي طول محدد يتألف من رموز من الأبجدية. وعلى سبيل المثال، إذا كان لدينا الأبجدية التالية V0,1) فان الجمل التالية هي جمل صحيحة V1...[0,1,00,10,11,000,001].

إن الجملة التي لاتحتوي رموزا تسمى الجملة الفارغة empty sentence ، والتي سنشير اليها بـ  $\Lambda$ . من أجل أية أبجدية، سنستعمل V للاشارة إلى مجموعة جميع الجمل المركبة برموز من V ، بما في ذلك الجملة الفارغة. سيشير الرمز V إلى مجموعة الجمل V .

فعلى سبيل المثال، إذا كان لدينا الأبجدية (V={a,b} يكبون لدينا الأبجدية (V={a,b} يكبون لدينا الأبجدية (A, a,b,aa,...) و (V\*-{\lambda}, a,b,aa,...}

(ليست محدودة بالضرورة) الجمل من ضمن أبجدية ما. نعرف "قواعد صفوف الرموز الرسمي" formal string grammar ، (أو ببساطة "قواعد" G-(N, $\Sigma$ ,P,S)

حيث ان N هي مجموعة من الرموز غير الانتهائية nonterminals (متحولات)، و  $\Sigma$  هي مجموعة من الرموز الانتهائية terminals (ثوابت)، و  $\Sigma$  هي مجموعة من قواعد الانتاج أو قواعد اعادة الكتابة rewriting rules و  $\Sigma$  هي رمز البداية start symbol أو المنتاج أو قواعد اعادة الكتابة  $\Sigma$  . root symbol و  $\Sigma$  منفصلتان. ان الأبجدية  $\Sigma$  هي اجتماع  $\Sigma$  و  $\Sigma$  .

إن اللغة المولدة بواسطة G ، مشار إليها بـ (L(G) ، هي مجموعة صفوف الرموز ، strings التي تحقق الشروط التالية: (1) كل صف رموز مكون من رموز انتهاء (أي أن كل صف رموز هو جملة إنهاء (terminal sentence) و (2) كل صف رموز يمكن اشتقاقه من S بتطبيقات ملائمة لقواعد اعادة كتابة من المجموعة P.

سيستعمل الاصطلاح التالي عبر هذا القسم: سنشير إلى الرموز غير الانتهائية سيستعمل الاصطلاح التالي عبر هذا القسم: سنشير إلى الرموز غير الانتهائية nonterminals الأبجدية مثل a, b, c مستستعمل للاشارة إلى رموز الانتهاء terminals. أما صفوف الرموز من الحدود الانتهائية فسيشار إليها بالأحرف الصغيرة الواقعة في نهاية الأبجدية مثل v, w, x أما الحدود المكونة من خليط من رموز الانتهاء والرموز غير الانتهائية فستمثل بالأحرف اليونانية الصغيرة a(ab)

تتكون المجموعة  $\rho$  من قواعد الانتساج من عبارات من الشكل  $\rho$  .  $\rho$  حيث ان  $\rho$  هي صف رموز في  $\rho$  ،  $\rho$  بعبارة أخرى، يدل الرمز  $\rho$  على استبدال صف الرموز  $\rho$  بصف الرموز  $\rho$  و الرمز  $\rho$  سيستعمل للاشارة إلى العمليات من الشكل  $\rho$   $\rho$   $\rho$  في القواعد  $\rho$  . أي،  $\rho$  تشير إلى استبدال  $\rho$  بواسطة قاعدة الانتاج  $\rho$   $\rho$   $\rho$   $\rho$  و  $\rho$  و مقيتا بدون تغيير من المعتاد اسقاط الرمز  $\rho$  و بساطة استعمال الرمز  $\rho$  عندما يكون نوع القواعد المستخدم واضحاً.

مثال: لنأخذ القواعد G-(N, $\Sigma$ , P, S) حيث ان S-[a,b] و  $\Sigma$ -[a,b] و G-(N, $\Sigma$ , P, S) مرة نحصل S-(ab) مرة نحصل S-(b) مرة نحصل على

 $S \Rightarrow aSb \Rightarrow aaSbb \Rightarrow a^3Sb^3 \Rightarrow \cdots a^{m-1}Sb^{m-1}$ .

ان تطبیق قاعدة الانتاج الثانیة الآن یعطی  $a^{m-1}Sb^{m-1} \Rightarrow a^{m}b^{m}$ .

يبدو أن اللغة المولدة بواسطة هذه القواعد تتألف كلية من صفوف رموز من هذا النوع، حيث يعتمد طول صف الرموز المعين على m. و يمكن أن نعبر عن L(G) بالشكل التالي  $\{a^mb^m|m\geq 1\}$ . لاحظ أن قواعد هذا المثال البسيطة قادرة على انتاج لغة ذات عدد لامتناه من صفوف الرموز.

# أنواع قواعد بني العبارات types of phrase structure grammars

ان القواعد من الشكل الموصوف أعلاه والتي لقواعد الانتاج فيها الشكل عدي المعارات phrase structure grammars. و من الشائع عمليا تصنيف هذه الأنواع من القواعد بناءا على نوع التقييدات الموضوعة على قواعد الانتاج.

القواعد الحساسة للسياق context – sensitive grammars هي قواعد ذات  $V^*$  هي قواعد ذات  $\alpha_1 A \alpha_2 \dots \alpha_1 A \alpha_2$  و  $\alpha_1 A \alpha_2 \dots \alpha_1 A \alpha_2$  موجودة في  $\alpha_1 A \alpha_2 \dots \alpha_1 A \alpha_2 \dots \alpha_1 A \alpha_2$  الانتهائي  $\alpha_1 A \alpha_2 \dots \alpha_1 A \alpha_2 \dots \alpha_1 A \alpha_2 \dots \alpha_2 \dots \alpha_1 A \alpha_2 \dots \alpha_1 \dots \alpha_2 \dots$ 

القواعد غير – المتأثرة – بالسياق context – free grammars هي قواعد ذات قواعد انتاج من الشكل  $A_{-----}$  حيث توجد A في N و توجد A في  $V^+$  و يأتي الاسم غير – متأثر – بالسياق context – free من حقيقة أن المتحول A يمكن أن يستبدل بصف رموز A بغض النظر عن السياق الذي يظهر فيه A.

وأخيراً، القواعد النظامية regular grammar هي قواعد ذات قواعد انتاج من الشكل A = A و A متحولان في A و A هو رمز الشكل A = A و A متحولان في A و A و لكن بمجرد انتهاء في A. ولكن بمجرد أن تم اختيار أحد النوعين، يجب استبعاد المجموعة الأخرى.

هذه الأنواع من القواعد تدعى أحيانا القواعد نوع 0 و 1 و 2 و 3 ، على التوالي. ومن المهم أن نلاحظ أن جميع أنواع القواعد النظامية هي قواعد غير متأثرة بالسياق هي قواعد بالسياق هي قواعد حساسة للسياق هي قواعد غير حساسة للسياق هي قواعد غير مساسة للسياق هي قواعد غير مساسة للسياق هي قواعد غير مقيدة unrestricted.

على الرغم من أن القواعد غير المقيدة أكثر قدرة بكثير من الأنواع الشلاثة الأخرى، فان عموميتها تسبب صعوبات خطيرة من كل من وجهتي النظر النظرية والعملية. وان هذا الأمر حقيقة أيضاً إلى حد كبير بالنسبة للقواعد الحساسة للسياق. و لهذه الأسباب فان معظم العمل الذي يبحث في استعمال المفاهيم القواعدية لوصف الصور والتعرف على الأنماط بقي مقتصرا على استخدام القواعد غير المتأثرة بالسياق والقواعد النظامية.

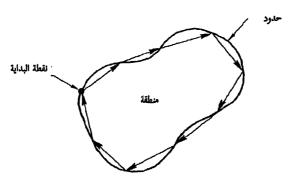
مثال: ان نوع القواعد الذي أعطي في المثال السابق هو غير متأثر بالسياق لأن قواعد الانتاج التابعة له هي من الشكل  $\beta_1$   $\beta_2$   $\beta_2$   $\beta_3$  مع كون  $\beta_1$  رمزاً غير انتهائي فريد، وكون  $\beta_1$ -aSb و  $\beta_1$ -aBb من المهم أن نلاحظ أن اللغة المولدة بهذا النوع من القواعد غير المتأثرة بالسياق  $\{a^mb^m\}_m > 1\}$  لا يمكن أن تولد بقواعد نظامية. بكلمات أخرى، ان أنواع قواعد الانتاج المسموح بها ضمن

تعریف القواعد النظامیة غیر قادرة علی تولید صفوف رموز من الشکل  $a^mb^m$  فقط .  $S = \{a,b\}$  و  $N = \{S\}$  مع  $S = \{a,b\}$  و  $S = \{a,b\}$  و  $S = \{a,b\}$  مع  $S = \{a,b\}$  و  $S = \{a,b\}$  النظامية  $S = \{a,b\}$  مع  $S = \{a,b\}$  و  $S = \{a,b\}$  النظامية  $S = \{a,b\}$  و  $S = \{a,b\}$  النظامية والكنها قادرة أيضا على توليد أنواع أخرى من صفوف الرموز مثل  $S = \{a,b\}$  و  $S = \{a,b\}$ 

# use of positional operators المؤثرة الموضعية

نظرا لأن صفوف الرموز هي بنى أحادية البعد، فمن الضروري عند تطبيقها على وصف الصورة بناء طريقة ملائمة لاختصار العلاقات الموضعية ثنائية - الأبعاد إلى شكل أحادي البعد.

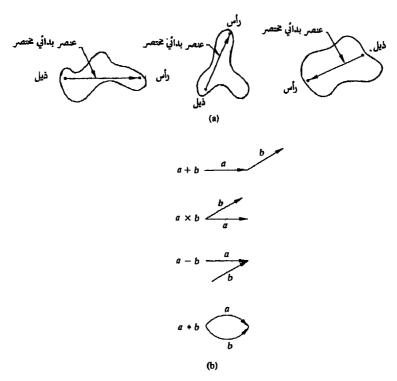
ان معظم تطبيقات قواعد صفوف الرموز على وصف الصور مبنية على فكرة استخلاص أجزاء خطوط متصلة من الأجسام موضع الاهتمام. ان احدى الطرق هي تتبع كفاف شكل ما لترميز النتيجة بأجزاء ذات اتجاهات و/أو أطوال محددة. ان هذا الاجراء موضح في الشكل 30.8.



الشكل 30.8 ترميز حدود منطقة بقطع من خطوط موجهة.

ان احدى الطرائق الأخرى، الأكثر عمومية نوعا ما، هي وصف أقسام من صورة ما (مثل مناطق صغيرة متجانسة) بأجزاء من خطوط موجهة والتي يمكن أن توصل بطرق أخرى تختلف عن وصل الرأس إلى الذيل head-to-tail connection.

ان هذه الطريقة موضحة في الشكل 31.8(a). ويبين الشكل 31.8(b) بعض العمليات النموذجية التي يمكن أن تعرَّف باستخدام أجزاء الخطوط المستخلصة.



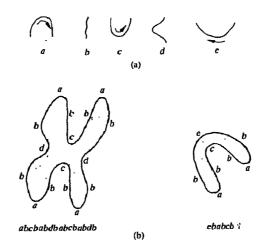
الشكل a)31.8) اختصار مناطق بأجزاء خطوط موجهة. (b) بعض العمليات التي تتضمن العناصر البدائية المختصرة.

ان الطريقتين اللتين وصفت للتو، وعلى الرغم من أنهم ليستا استنفاذيتان، (تستنفذان جميع الطرائق) فانهما اجراءان نموذجيان يستعملان لاختصار المعلومات ثنائية – الأبعاد إلى شكل صف رموز. ان الأمثلة التالية يجب أن توضح هذه المفاهيم أكثر. مثال: ان أحد التوضيحات الهامة لوصف الصور بتتبع الحدود هو القواعد التي اقترحها مثال: ان أحد التوضيحات الهامة لوصف الصور بتتبع الحدود هو القواعد التي Ladley [1964,1965] الكروموسومات (جسيات خيطية تظهر في النواة عند انقسام الخلية). ان هذا النوع من القواعد يستخدم العناصر البدائية المبينة في 32.8 (a) التي كشفت بتتبع حدود الكروموسومات باتجاه عقارب الساعة. ان بعض أشكال الكروموسومات اله telecentric و اله submedian مبينة في الشكل بعض أشكال الكروموسومات الهموز الذي تم الحصول عليها بتتبع حدود كل كروموسوم. يعطى نوع القواعد كاملا به  $\Sigma$ -(a, b, c, d, e) ، حيث  $\Sigma$ -(a, b, c, d, e) ، حيث  $\Sigma$ -(a, b, c, d, e) ، و

P: 1) 
$$S \rightarrow C \cdot C$$
 7)  $E \rightarrow F \cdot c$  13)  $B \rightarrow B \cdot b$   
2)  $T \rightarrow A \cdot C$  8)  $D \rightarrow c \cdot F$  14)  $B \rightarrow b$   
3)  $C \rightarrow B \cdot C$  9)  $A \rightarrow b \cdot A$  15)  $B \rightarrow d$   
4)  $C \rightarrow C \cdot B$  10)  $A \rightarrow A \cdot b$  16)  $F \rightarrow b \cdot F$   
5)  $C \rightarrow F \cdot D$  11)  $A \rightarrow e$  17)  $F \rightarrow F \cdot b$   
6)  $C \rightarrow E \cdot F$  12)  $B \rightarrow b \cdot B$  18)  $F \rightarrow a$ 

ان العامل المؤثر "." يستعمل لوصف اتصالية بسيطة للحدود the terms في قاعدة انتاج معينة مع تتبع الحدود باتجاه عقارب الساعة.

ان نوع القواعد المذكور أعلاه هو في الواقع خليط من نوعي قواعد لهما رمزا البداية S و T ، على التوالي. ولذا فان البدء بـ S يسمح بتوليد البنى التي تعود للـ submedian كروموسوم. و بشكل مشابه ينتج البدء بـ T البنى التي تعود إلى الـ telocentrice كروموسوم.



الشكل 32.8 (a) العناصر البدائية primitives لقواعد الكروموسوم. (b) الـ submedian و الـ Telocentric كروموسوم (عن Ladely 1964).

مشال: كتوضيح ثان، دعنا نناقش ببعض التفصيل لغة وصف الصورة picture مشال: كتوضيح ثان، دعنا نناقش ببعض التفصيل Show 1970 لوصف الأجسام مستعملا عوامل مؤثرة من الشكل المبين في الشكل 31.8 (b).

لنأخذ قواعد لغة وصف الصورة البسيطة التالية

$$G=(N,\Sigma,P,S)$$

مع

$$N = \{S, A_1, A_2, A_3, A_4, A_5\}$$

$$\Sigma = \{a\nearrow, b\searrow, c\rightarrow, d\downarrow\}$$

$$P: S\rightarrow d+A_1$$

$$A_1\rightarrow c+A_2$$

$$A_2\rightarrow \sim d*A_3$$

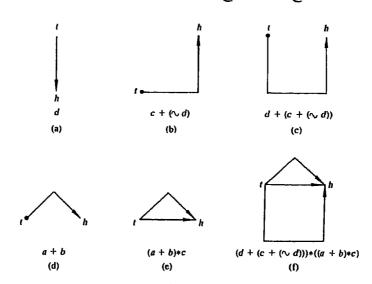
$$A_3\rightarrow a+A_4$$

$$A_4\rightarrow b*A_5$$

$$A_5\rightarrow c,$$

وحيث يشير الرمز (-d) إلى العنصر البدائي d مع عكس اتجاهه، و d هي عناصر ذات اتجاهات مبينة في المجموعة d.

ان تطبيق قاعدة الانتاج الأولى يعطي العنصر الأولى  $A_1$  متبوعا بمتحول  $A_1$  يحدد بعد. و كل مانعرفه عند هذه النقطة هو أن ذيل البنية الممثلة بـ  $A_1$  ستوصل إلى رأس  $A_1$  لأن هذا العنصر البدائي متبوع بالعامل المؤثر +. يتفكك المتحول  $A_1$  إلى  $C+A_2$  ، حيث لم يحدد  $A_2$  بعد، وكذلك وبشكل مشابه يتفكك  $A_2$  إلى  $A_3$ -  $C+A_2$  ان نتائج تطبيق قواعد الانتاج الثلاثة الأولى مبينة في الأشكال  $A_3$ (3). و (d) و (c) نعرف من تعريف العامل المؤثر \* أنه عندما يتفكك  $A_3$  فانه سيوصل إلى البنية المركبة المبينة في الشكل  $A_3$ (3)، بطريقة رأس إلى رأس وذيل إلى ذيل. و النتيجة النهائية لتطبيق جميع قواعد الانتاج مبينة في الشكل  $A_3$ (3).



الشكل 33.8 خطوات في بناء بنية PDL. لاحظ أن الرؤوس والذيول موجودة ببني مركبة.

ان قواعد لغة وصف الصورة PDL الموصوفة أعلاه يمكن أن تولد بنية واحدة فقط. ولكن مدى البني المولدة بهذه القواعد يمكن أن يمدد بادخال التكرارية

recursiveness(مقدرة متحول ما على استبدال نفسه) إلى قواعد الانتاج. فعلى سبيل المثال، افترض أننا نعرّف قواعد الانتاج التالية:

 $S \rightarrow d + A_1$   $A_1 \rightarrow c + A_1$   $A_1 \rightarrow \sim d * A_2$   $A_2 \rightarrow a + A_2$   $A_2 \rightarrow b * A_2$   $A_2 \rightarrow c$ 

إذا ما تم تطبيق قواعد الانتاج هذه بالترتيب المبين، فستعطي الشكل 33.8(f) ولكن هذه المجموعة الجديدة من قواعد الانتاج تسمح، على سبيل المثال، بتطبيق قاعدة الانتاج الأولى متبوعة بالثالثة مهملة تماما قاعدة الانتاج الثانية. فإذا تم تطبيق قواعد الانتاج الباقية بالترتيب، سنحصل على بنية مثلث. وأكثر من ذلك، فان قواعد الانتاج هذه تسمح بتوليد عدد لامتناه من البنى و ذلك بتكرار تعويض المتحول بنفسه. ويمكن زيادة تنوع البنى المولدة بالقواعد المذكور أعلاه بجعل  $A_1$  و  $A_2$  تساوي  $A_3$ . ان هذا التعويض شيعطى المقدرة القصوى لهذه القواعد.

## 2.5.8 قواعد ذات أبعاد أعلى hiegher dimensional grammars

ان أنواع قواعد صفوف الرموز التي نوقشت في القسم السابق ملائمة أفضل ما يمكن من أجل التطبيقات التي يمكن التعبير فيها عن الاتصالية بطريقة رأس – إلى – ذيل، أو أية طريقة مستمرة أخرى.

ندرس في هذا القسم طريقة أعم لمسألة الوصف القواعدي بالساح لامكانية وصف تستخدم عناصر بدائية ذات سوية أعلى. ان أنواع القواعد اللازمة للتعامل مع هذه الامكانية المضافة، وكما يمكن أن نتوقع، أكثر تعقيدا وأكثر صعوبة للتحليل على أساس رسمي formal basis. وكتوضيح لهذه المفاهيم ندرس فيا يلي تعميمين نموذجيين لقواعد صفوف الرموز.

## قواعد الشجرة tree grammars

ان الشجرة T هي مجموعة محدودة من عقدة أو أكثر بحيث:

(1) توجد عقدة node فريدة تسمى الجذر root ، و

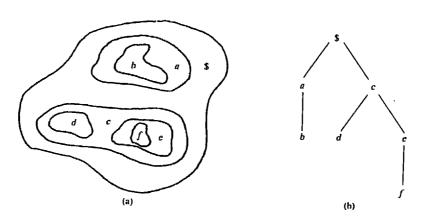
(2) تقسم العقد الباقية إلى m مجموعة منفصلة  $T_1, T_2, ..., T_m$  تصبح كل عقدة منها بدورها شجرة فرعية L subtree بدورها شجرة فرعية

ان جبهة الشجرة tree frontiers هي مجموعة العقد في قاعدة الشجرة (الأوراق (leaves)مأخوذة بالترتيب من اليسار إلى اليمين. فعلى سبيل المثال، للشجرة المبينة أدناه الجذر \$ والجبهة xy.



عموما، يوجد نوعان مهمان من المعلومات في الشجرة هما بالتحديد (1) معلومات حول العقدة و (2) معلومات تصف العقدة و (2) معلومات تربط عقدة ما إلى جيرانها المخزنة كمجموعة من المؤشرات pointers إلى هؤلاء الجيران، وكما استعملنا في وصف الصورة، فان النوع الأول من المعلومات يحدد عنصر نمط بدائي pattern primitive ، في حين أن النوع الثاني يعرف العلاقة الفيزيائية للعنصر البدائي ببقية البنى الفرعية.

مثال: يمكن أن تمثل البنية المبينة في الشكل (a) (a) بشجرة و ذلك باستعمال العلاقة "ضمن" أن تمثل البنية المبينة في الشكل جذر الشجرة بد (a) ، (a)

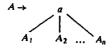


الشكل 34.8(a) منطقة مركبة بسيطة. (b) التمثيل الشجري الذي تم الحصول عليه باستعمال العلاقة "ضمن" inside of.

تعرف قواعد الشجرة tree grammar بالعناصر الخمسة

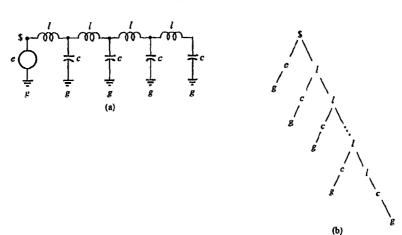
روز غير  $G=(N,\Sigma,P,r,S)$  حيث ان N و  $\Sigma$  هما، كما في السابق، مجموعتان من الرموز غير  $G=(N,\Sigma,P,r,S)$  الانتهائية nonterminals و الرموز الانتهائية، على التوالي.  $\Sigma$  هي رمز البداية الذي يمكن أن يكون، بشكل عام، شجرة. و  $\Sigma$  هي مجموعة من قواعد الانتاج من الشكل ranking أن يكون، بشكل عام، شجرة. و  $\Sigma$  هما شجرتان و  $\Sigma$  هي دالة ترتيب  $\Sigma$  و  $\Sigma$  هما شجرتان و  $\Sigma$  هي دالة ترتيب Labeled تشير إلى عدد النوازل descendants المباشرة لعقدة تكون مرقومة terminal في القواعد.

ان شكل قاعدة الانتاج  $\Psi_{\longleftarrow}$   $\Omega$  مماثل لتلك التي أعطيت من أجل قواعد صفوف الرموز غير المقيدة unconstrained string grammar و بهذا الشكل تكون عادة عامة جداً بحيث لاتصلح لاستعمال عملي كبير. إن أحد أنواع قواعد الانتاج الذي لاقى قبولاً واسعاً في دراسة نظم الشجرة tree systems هو نوع تمددي يأخذ الشكل التالى:



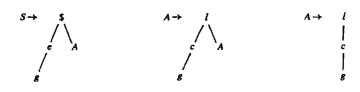
حيث ان  $A, A_1, A_2, ...., A_n$  هي رموز غير انتهائية و a هو رمز انتهاء. إن نوع قواعد الشجرة الأدي له قواعد انتاج من هذا الشكل فقط يدعى قواعد الشجرة التمددي expansive tree grammar.

مثال: كتوضيح لقواعد الشجرة، تأمل بنية الدارة المبينة في الشكل (a)35.8). لقد تم الحصول على تمثيل الشجرة المبين في الشكل (b)35.8) بتعريف الجذر في العقدة الموجودة في أقصى اليسار واستعمال العلاقة، "موصول إلى" connected to.



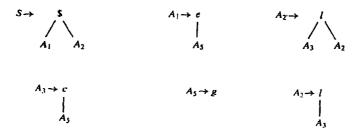
الشكل 35.8 تمثيل شجري لشكل متصل.

إن نوع قواعد الشجرة الذي يولد شجرات من هذا النوع فقط يعطى بـ  $\Sigma = \{e, g, l, c, \$\}$  و  $N=\{S,A\}$  هي قواعد الانتاج التالية:



r(A) و r(g)=0 و r(e)=1 هذه الحالة هي r(g)=0 و r(g)=0 و

ان نوع قواعد الشجرة التمددي الذي يولد نفس البنى يعطى بما يلي  $\Sigma = \{e, g, l, c, \$\}$  و  $N = \{S, A_1, A_2, A_3, A_4, A_5\}$  حيث  $G = (N, \Sigma, P, r, S)$  المجموعة P تتكون من قواعد الانتاج التالية:

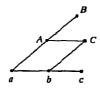


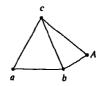
.r(\$)=2 و r(c)=1 و  $r(l)=\{2,1\}$  و r(g)=0 و r(e)=1 و r(c)=1 ان دوال الترتيب هي r(e)=1

## قواعد "ويب" Webb grammars

كما هو موضح في الشكل 36.8 ، فان أشكال ويب هي بنى رسوم بيانية غير موجهة وعقدها مرقومة labeled. فعندما تستعمل من أجل وصف الصور، تسمح أشكال ويب بتمثيلات بسوية أكثر اختصارا من تلك المقدمة بصيغ صفوف الرموز أو الشجرة.







الشكل 36.8 بعض أشكال ويب البسيطة .

في قواعد صفوف الرموز التقليدية ذات بنى العبارات، تستعمل قواعد اعادة كتابة من الشكل  $\beta_{,,..., \alpha}$  لاستبدال صف رموز بصف آخر. ان قاعدة من هذا النوع تتحدد بتحديد صفي الرموز  $\alpha$  و  $\beta$  . إن أي صف رموز  $\gamma$  كصف رموز فرعي يمكن أن تعاد كتابته حالا كما يلي  $\delta$   $\delta$   $\gamma$  . و بشكل مشابه، فان قواعد الانتاج لقواعد الشجرة التمددي expansive tree grammar تفسر بدون صعوبة ولكن تعريف قواعد إعادة الكتابة التي تتضمن أشكال ويب هي أكثر تعقيداً بكثير. ولذا، فإذا أردنا استبدال شكل ويب فرعي  $\delta$  ، فإنه فإذا أردنا استبدال شكل ويب فرعي SubWebb من الويب  $\delta$  به يه من الضروري أن نحدد كيف سندم  $\delta$  في  $\delta$  في مكان  $\delta$  . كما سيظهر أدناه، يمكن أن من الضروري أن نحدد كيف سندم  $\delta$  في من في مكان  $\delta$  . كما سيظهر أدناه، يمكن أن تعريف قاعدة إدخال ما يجب ألا يعتمد على الويب الأساسي "host Web" لأننا نريد أن نكون قادرين على استبدال  $\delta$  به  $\delta$  في أي ويب يحتوي على  $\delta$  كويب فرعي.

لتكن V مجموعة ترقيات labels و  $N_{\alpha}$  و  $N_{\beta}$  موعتي عقد لشكلي ويب  $\alpha$  و  $\beta$ , على التوالي. بناءا على المفاهيم المذكورة أعلاه نعرف قواعد اعادة كتابة Webb بالثلاثي ( $\alpha$ ,  $\beta$ ,  $\alpha$ ) حيث ان  $\alpha$  هي الدالة  $N_{\alpha} \times N_{\alpha}$  في  $N_{\beta} \times N_{\alpha}$  في  $N_{\beta} \times N_{\alpha}$  في مكان  $N_{\beta}$  أيها تحدد كيفية وصل عقد من الترقيات). تحدد هذه الدالة ادخال  $N_{\beta}$  في مكان  $N_{\beta}$  أي أنها تحدد كيفية وصل عقد  $N_{\beta}$  إلى جيران كل عقدة من الويب الفرعي المزال  $N_{\alpha}$ . ونظراً لأن  $N_{\alpha}$  هي دالة من أزواج مرتبة  $N_{\alpha} \times N_{\alpha}$  ، فإن متغيرها argument هو من الشكل (m, n) من أجل n في n ، n أي n في n أي توصيلات n المسموح بها إلى جيران n. فمثلا، n أي أي جيران n في صل العقدة n ( في n) إلى جيران n (في n) والمرقومة اما ب n أو n سنهمل توصيف الادخال embedding specification وبدلا من ذلك نستعمل المصطلح " normal " للاشارة إلى الحالات التي لايوجد فيها غموض في قواعد اعادة الكتابة.

يعرف نوع قواعد ويب Webb بالعناصر الأربعة (G=(N,  $\Sigma$ , P, S) عيث ان N هي المفردات غير الانتهائية و  $\Sigma$  هي مفردات الانتهاء و  $\Sigma$  هي مجموعة قواعد ويب المنز  $\Sigma$  في هذا السياق للإشارة إلى الجداء الديكارتي لـ  $\Sigma$  و  $\Sigma$  (أي، مجموعة الأزواج المرتبة ( $\Sigma$  الميث تكون  $\Sigma$  عنصراً من  $\Sigma$   $\Sigma$  و  $\Sigma$   $\Sigma$   $\Sigma$  المناه المناه

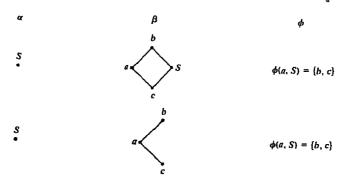
المنتاج و S هو رمز البداية. و كالمعتاد، S موجودة في N و المفردات هي اجتماع N و  $\Sigma$ . S مثال : لنأخذ قواعد ويب التالية G=(N,  $\Sigma$ , P, S) مثال : لنأخذ قواعد ويب التالية

N = {S}

 $\Sigma$ = {a, b, c}

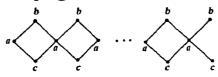
و P هي مجموعة الثلاثيات التالية:

و



ان الادخال embedding المحدد به يشير إلى أن  $\alpha = S$  في هذه الحالة) يمكن اعادة كتابتها ك  $\alpha$  بوصل عقدة  $\alpha$  ،  $\alpha$  إلى جاري  $\alpha$  المرقومين  $\alpha$  و  $\alpha$  . لاحظ أن القاعدة لاتطبق في هذه الحالة على التنفيذ الأول لقاعدة انتاج لأن التوليد يبدأ بنقطة ويب مفردة ليس لها جيران. في حالات كهذه، سيكون مفهوما ضمنا أن  $\alpha$  تساوي الصفر Null من أجل التطبيق الأول لقاعدة الانتاج، وأن قاعدة الادخال تصف الاستبدالات خلال مجرى الاشتقاق الذي يدخل فيه ويب فرعي ستعاد كتابته في ويب أكبر Webb

يمكن التأكد بسهولة أن قواعد ويب من هذا النوع تنتج بني من الشكل التالي:



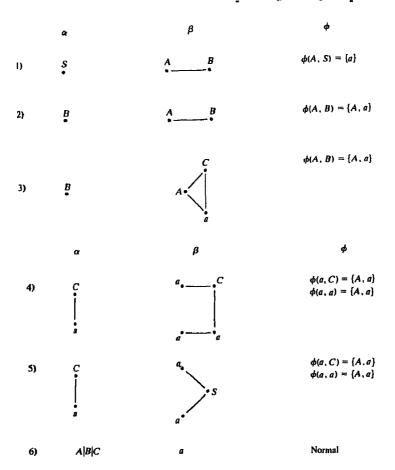
ان التعريف المذكور أعلاه لقواعد ويب مماثل لذاك التابع لنوع قواعد صفوف الرموز غير المقيد، و يعتبر حقا، عريضا أكثر من اللازم ليكون موضع استعمالات عملية كثيرة. لكن وكما هي الحال في قواعد صفوف الرموز، من الممكن تعريف أنواع مقيدة من قواعد ويب بالحد من عمومية قواعد الانتاج.

context سنسمي قاعدة اعادة كتابة ويب  $(\alpha, \beta, \phi)$  حساسة للسياق sensitive sensitive إذا كان يوجد نقطة غير انتهائية A له  $\alpha$  جيث أن (A - A) هي ويب فرعي  $\beta$ . هي هذه الحالة، تعيد القاعدة كتابة نقطة واحدة من  $\alpha$ ، بغض النظر عن مدى تعقيد  $\alpha$ . إذا كانت  $\alpha$  تحتوي نقطة وحيدة سنسمي  $(\alpha, \beta, \phi)$  قاعدة غير متأثرة بالسياق  $\alpha$ . إذا كانت  $\alpha$  تحتوي نقطة وحيدة سنسمي القاعدة الحساسة للسياق لأن context free rule. لاحظ أن هذه هي حالة خاصة من القاعدة الحساسة للسياق لأن  $(\alpha - A)$  تكون فارغة عندما تحتوي  $\alpha$  نقطة وحيدة. بتمثيل صفوف الرموز على شكل ويبات (مثل صف الرموز  $\alpha$  على المحل ويبات (مثل صف الرموز  $\alpha$ ) يمكن أن يبين ببساطة أن قواعد اعادة الكتابة المذكورة أعلاه مماثلة لقواعد الانتاج الحساسة للسياق و تلك غير المتأثرة بالسياق، كا تعريفها في القسم 1.5.8.

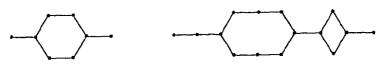
إذا تكونت مفردات قواعد ويب ما من رمز وحيد فسيكون لكل نقطة من كل ويب مولدة بهذا النوع من القواعد نفس الترقيم labeling. في هذه الحالة، نستطيع اغفال الترقيات ونحدد أشكال ويب بالرسوم البيانية التابعة لها. يشار عادة إلى هذا النوع الخاص من قواعد ويب بقواعد الرسم البياني graph grammar.

مثال: لنأخذ قواعد الرسم البياني التالي الحساس للسياق 
$$G = (N, \Sigma, P, S)$$
  $N = \{A, B, C, S\}$  حيث  $\Sigma = \{a\}$ 

### و P هي مجموعة الثلاثيات التالية



يولد هذا النوع من القواعد بنى رسوم بيانية مؤلفة من عدد اختياري من المقاطع التسلسلية والتفرعية. وتكون الأجزاء التفرعية parallel مفصولة بعنصر تسلسلي واحد على الأقل. و تبدأ وتنتهي جميع البنى بعنصر واحد من هذا النوع على الأقل. فيا يلي ندرج اشتقاقين بسيطين ممكنين:



و كما في المثال السابق، فان حد النهاية الوحيد a قد أغفل من الأنماط النهائية.

مشال: ان نوع قواعد ويب التالي (N, E, P, S) الحساس للسياق يولد بعض الأشكال الهندسية البسيطة

حيث

 $N = \{S,A,B\}$ 

 $\Sigma = \{a, b, c\}$ 

و P هي مجموعة الثلاثيات التالية.

 $\beta \qquad \beta \qquad \phi$ Normal

1) S  $\vdots \qquad \vdots \qquad \vdots \qquad \vdots$   $a \qquad \beta \qquad \phi$   $b \qquad \vdots \qquad \vdots \qquad \phi(b, A) = \{b, a\}$   $\phi(a, a) = \text{Normal}$ 3)  $b \qquad A \qquad b \qquad \phi(b, b) = \text{Normal}$ 





 $\phi(b, A) = \{b, a\}$  $\phi(a, a) = \text{Normal}$ 

 $\phi(b, B) = \{b, a\}$  $\phi(a, a) = \text{Normal}$ 



 $\phi(a, B) = \{b, a\}$  $\phi(b, b) = \text{Normal}$ 

Normal

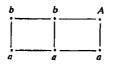
Normal

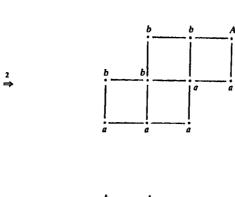
وكمثال، ادرس الاشتقاق التالي:

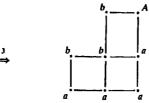


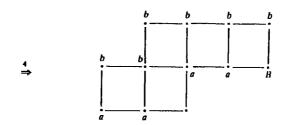


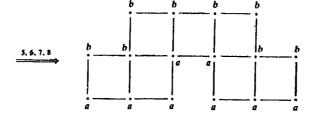












لاحظ أن الحافة العليا للبنية مرقومة بـ bs والحافة السفلى بـ as. ان جميع البنى المولدة بهذا النوع من القواعد تتشارك في هذه الخاصة: تتألف من مجموعة البنى الهندسية التي يمكن أن ترسم بتصفيف مربعات إلى اليمين أو إلى الأعلى أو إلى الأسفل من المربع المرسوم مسبقا. ولاحظ أيضا أن الانتقال إلى الأعلى أو إلى الأسفل يمكن أن يتم من المربع المرسوم إلى اليمين فقط.

#### 6.8 ملاحظات ختامية

ان تمثيل و وصف الأجسام أوالمناطق التي قد جزئت من صورة ما هما خطوتان أوليتان (مبكرتان) في عملية تحليل – الصور الآلية automated picture analysis في الصور الآلية عطيت في هذا الفصل، فان معظم النظم. و كما أشرنا في مدى تقنيات الوصف التي غطيت في هذا الفصل، فان اختيار طريقة وصف بدلاً من طريقة أخرى تمليه المسألة موضع البحث. ان الهدف هو اختيار الواصفات التي تحمل فروق أساسية بين الأجسام، أو أصناف الأجسام، في حين تحتفظ قدر الامكان بالاستقلالية عن التغيرات في عوامل مثل الموضع والقياس والتوجيه. و على الرغم من أننا اختتمنا معالجتنا لموضوع معالجة الصورة الرقمية بالتمثيل والوصف، يجب ألا يغيب عن ذهن القارىء، وكم أشرنا أعلاه، أن هذه العمليات هي عمليات أولية في تحليل المناظر الآلي. ان طرائق القيام بهذا النوع من التحليل تقع خارج نطاق هذا الكتاب اذ أن هناك كتب كرست لمواد هذا الموضوع. وكمقدمة لهذا المجال، نوجه القارىء إلى الكتب التمثيلية Puda and Hart 1973 و Gonzalez and Thomason 1978 و Gonzalez and Feu 1987 و Fu 1982 و Fu 1982 و Fu 1982 و Fu 1983 و Fu 1982

# المراجع

ان تمثيل سلسلة الرموز التي تمت مناقشته في القسم 1.1.8 كان قد اقترح لأول مرة من قبل سلسلة الرموز التي تمت مناقشته في القسم 1.1.8 كان قد اقترح لأول التقريب بالتضليع في مقالة 1972 Sklansky et al. 1972 و في كتاب Pavlidis 1977. ان مراجع مناقشتنا للتواقيع هي Ambler et al. 1975 و بي كتاب Nahim 1974 و Ballard and Brown و Nahim 1974 و كتاب 2 Sklans and Suen مناقشتنا للتواقيع هي 1985. التي نوقشت في القسم 5.1.8 هي من 1980 عند هذه التحليفات الاضافية المفيدة حول خصائص تنفيذ هذه الخوارزمية في مقالة لـ Lu and Wang 1986.

و من أجل قراءة اضافية حول المادة الواردة في القسم 1.2.8 انظر Bribiesca and من أجل عمل and Kack 1982. ان المناقشة حول أرقام الأشكال مبنية على عمل and Kack 1982. Bribiesca 1986 و Guzman 1980. لقد تمت المشاركة بالمادة الواردة في القسم من قبل

(T. Wallace Electrical Engineering Department, Purdue University). انظر أيضا مقالات Brill 1968 و Zhan and Roskies 1972 و Persoon and Fu 1977. ان المادة الواردة في القسم 4.2.8 مبنية على نظرية الاحتمالات الأولية.

يمكن ايجاد تفاصيل اضافية حول المادة الواردة في القسمين 1.3.8 و 2.3.8 و Duda and Hart 1973. لقد لقيت واصفات التركيب عناية كبيرة في السنوات القليلة الأخيرة. حول التركيب البنيوي، انظر Haralick et و Bajcsy and Lieberman 1976 و 1973 و 1973. انظر 1975 لا 1975 لا 1975. انظر 1976 لا 1975 لا 1975. ان Tomita et al. 1982 و لا لتركيب البنيوي انظر 1978 لا 1978. و حول التركيب البنيوي انظر 1978 لتحليل التركيبي مبنية على المقالة القديمة لـ مناقشتنا للتقنيات الطيفية من أجل التحليل التركيبي مبنية على المقالة القديمة لـ 1962. المنافية حول هذا الموضوع في 1968 و 1968 و 1968 و Wong and Hall 1978 و 1968 المنافية حول هذا الموضوع في 1968 و 1968 المنافية حول هذا الموضوع في 1968 المنافية حول هذا الموضوع في 1968 و 1968 و 1978 المنافية حول هذا الموضوع في 1968 و 1978 و 19

ان المادة الواردة في القسم 1.4.8 مبنية على مناقشة مشابهة لـ Tou and و Horowitz 1957. و من أجل تفاصيل اضافية حول الترابط انظر 1957. Gonzalez و 1974

Harris 1964 و Anuta 1969 و Pratt 1974 و Rosenfeld and Kack 1982 و ال طريقة الحدود الواردة في القسم 4.3.8 هي من Sze and Yang 1981. و يمكن ايجاد تفاصيل اضافية حول مواد القسم 5.8 في كتب Gonzalez and Thomason 1978 و Fu 1982.

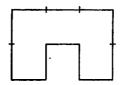
#### مسائل

- 1.8 a) بين أن اعادة تعريف نقطة البداية لسلسلة الرموز بحيث يكون تتابع الأرقام الناتجة عدداً صحيحاً بمقدار أصغري يجعل الترميز مستقلاً عن الموضع الذي يبدأ فيه على الحدود.
  - b) أوجد نقطة البداية المقيَّسة للترميز 11076765543322.
- a 2.8 بين أن الفرق الأول لسلسلة الرموز يقيسها بالنسبة للدوران كما هو مشروح في القسم 1.1.8.
  - b) احسب الفرق الأول للترميز 01010303323232212111.
- a 3.8) بين أن طريقة التقريب بالحزام المطاطي rubber-band المناقش في القسم 2.8.
- d) بين أنه إذا كانت كل خلية تتبع لعنصر صورة واحد على الحدود، فإن الخطأ الأعظمي الممكن في تلك الخلية يكون a حيث ان a هي مسافة الشبكة بين العناصر.
- a 4.8 ناقش الأثر على المضلع الناتج إذا جعلت عتبة الخطأ صفراً في طريقة الدمج (a 4.8 merging الواردة في القسم 2.1.8.
  - b) ماذا سيكون الأثر على طريقة الشطر spletting?
- a 5.8) ارسم توقيع حدود مربعة مستعملة طريقة زاوية المماس المناقشة في القسم 3.1.8.
- ل أعد الطلب من أجل دالة كنافة الميل. افترض أن المربع متطابق مع المحورين
   الاحداثيين x و ر واجعل المحور x الخط المرجعي. ابدأ عند الزاوية الأقرب إلى المبدأ.

- 6.8 أوجد المحور المتو سط لـ (a) دائرة و (b) مربع و (c) مثلث متساوي الساقين.
- a 7.8 ه) من أجل كل شكل من الأشكال المبنية أدناه، ناقش العمل الذي تجريه خوارزمية التنحيف الواردة في القسم 5.1.8 في الخطوة الأولى عند النقطة p. (d) أعد نفس الشيء من أجل الخطوة الثانية. افترض أن p=1 في جميع الحالات.

1	1	0	0	0	0		0	ı	0	1	1	0
ı	р	0	1	P	0	]	1	р	1	0	р	ı
	ı	0	0	0	0		0	1	0	0	0	0

a 8.8 هو ترتيب رقم الشكل للشكل المبين أدناه ؟ وجد رقم الشكل.



- 9.8 ان الاجراء المناقش في القسم 3.2.8 لاستعمال واصفات فورييه يتكون من التعبير عن احداثيات الكفاف بأرقام عقدية وأخذ DFT لهذه الأرقام والابقاء على مركبات قليلة فقط من الـ DFT كواصفات لشكل الحدود. بعدئذ، يكون تحويل فورييه المتقطع DFT العكسي تقريبا للكفاف الأصلي. ماهو صنف أشكال الكفافات الذي سيكون له DFT يتألف من أرقام حقيقية، وكيف يجب أشكال الكفافات الذي سيكون له DFT يتألف من أرقام حقيقية، وكيف يجب أن يضبط نظام الاحداثيات في الشكل 14.8 للحصول على هذه الأرقام الحقيقية.
- 10.8 أعط أقل عدد من واصفات العزوم اللازمة للتفريق بين تواقيع الأشكال المبنية في الشكل 5.8.
  - 11.8 أوجد رقم أولر للمحارف 0,1,8,9 و X.

- 12.8 يرغب في تصميم نظام معالجة صورة لكشف العيوب imperfections في داخل شرائح بلاستيكية صلبة معينة. يتم فحص الشرائح بواسطة جهاز تصوير بأشعة كلا ذي قدرة ضعيفة ويعطي صورا ذات ميز قدره 512 × 512 وبثانية بتات للعنصر byte. في حال غياب العيوب، تظهر الصور رقيقة bland ذات سوية رمادية وسطية قدرها 100 بتفاوت ضجيج قدره 400. تظهر العيوب بشكل مناطق تشبه الفقاعات يكون فيها للعناصر انحراف في الشدة قدره 50 سوية رمادية أو أكثر حول وسطي قدره 100. تعتبر الشريحة معابة defective إذا كانت هذه المناطق تشغل مساحة تتجاوز 20 × 20 عنصراً. اقترح طريقة لحل هذه المسألة باستخدام تحليل التركيب .
- 13.8 أوجد السوية الرمادية لمصفوفة الحدوث المتزامن (في آن واحد) 13.8 محونة من رقع شطرنج مؤلفة من co-occurrence matrix محونة من رقع شطرنج مؤلفة من 0 و 1 متناوبة. إذا كان (a) عامل الموضع المؤثر P معرف بـ "عنصر واحد إلى اليمين"، و (b) بعنصرين إلى اليمين. افترض أن قيمة العنصر الأعلى الأيسر صفر.
- 14.8 لیکن لدینا صورة رقع شطرنج مکونة من مربعات بیضاء و سوداء متناوبة قیاس کل منها  $m \times m$  . أعط عامل موضع ینتج مصفوفة حدوث متزامن قطریة.
- 15.8 ان استعمال دالة من الشكل  $x_i = x'x_k \frac{1}{2}x_k'x_k$  هو بديل للمعادلة (2.4.8). بعبدئذ، نقبول ان x أكثر شهبها ب $x_i = x_i$  إذا كان  $x_i \neq x_i$  المعادلة ( $x_i = x_i \neq x_i$ ). بين أن اتخاذ القرارات بهذه الطريقة مكافىء لتنفيذ المعادلة ( $x_i = x_i \neq x_i$ ).
- 16.8 بين أن معامل الترابط المعطى بالمعادلة (4.8-4) ذو قيم في المدى [-1,1] (تلميح: عبر عن (r(m,n) بصيغة اتجاهية).
- وإذا وإذا مغرا إذا وإذا  $B = \max(|C_1|, |C_2|) A$  يكون صفرا إذا وإذا  $B = \max(|C_1|, |C_2|) A$  نقط كان  $C_2$  صفى رموز متاثلين.
- 18.8 أعطِ قواعد شجرة تمددي لتوليد صور تتكون من واحدات 1 و أصفار 0 متناوبة في كل من الحيز و الاتجاهات. (أي، نمط رقعة الشطرنج). افترض أن العنصر الأيسر الأعلى 1 ، وأن جميع الصور تنتهي بـ "1" العنصر الأيسر الأسفل.

# الملحق A \_\_\_\_\_\_ برامج فرعية لاظهار الصورة

يحتوي هذا الملحق برناجي فورتران فرعيين لاظهار معطيات صورة بقياس المهده 40×64 على ورقة واحدة من ورق طابعة خط عادية. وكما هو مناقش في الملحق B ، فان الصور المضمنة في ذلك الملحق مرمزة بالمحارف 0 حتى 9 و A حتى V لتمثيل 32 سوية رمادية. وبمجرد أن قرئت هذه الأحرف في مصفوفة مشاراً إليها به AR ، يجب أن تحول إلى مصفوفة صحيحة integer array مسهاة AI والتي تتراوح قيمها من 0 إلى 31. يتم الحصول على هذا التحويل بواسطة برنامج فرعي subroutine مدون أدناه. لاحظ أن المعلمة الوحيدة الممررة إلى هذا البرنامج الفرعي هي مصفوفة الأحرف AR ، التي تصرح كـ CHARACTER في البرنامج المستدعي. ان خوج هذا البرنامج الفرعي هو مصفوفة صحيحة IA التي توجد كـ 2 \* COMMON IA 64×64 INTEGER و في جميع البرامج.

#### SUBROUTINE CONVRI(AR)

```
C
C
           THIS SUBROUTINE CONVERTS CHARACTER DATA RANGING FROM O
    TO 9 AND A TO V STORED IN ARRAY "AR" TO INTEGER DATA RANGING
C
    FROM O TO 31, REPRESENTING THE SHADES OF GRAY THE INTEGER
Č
    DATA IS STORED IN ARRAY "IA"
C
C
        MAJOR VARIABLES.
С
C
                     INTEGER ARRAY CONTAINING VALUES RANGING FROM
C
                     O TO 31 REPRESENTING THE SHADES OF GRAY
           AR
                     CHARACTER ARRAY CONTAINING VALUES RANGING
C
                     FROM O THROUGH 9 AND A THROUGH V WHICH
C
                     CORRESPOND TO THE THIRTY-TWO GRAY LEVELS.
00000
        SUBPROGRAMS CALLED:
                                 NONE
        WRITTEN BY:
                            NABEEL W. H. SUFI
C
                       ELECTRICAL ENGINEERING DEPT. ,
С
                     UNIVERSITY OF TENNESSEE, KNOXVILLE
C
        COMMON IA(64,64)
        INTEGER*2 IA
        INTEGER I,J
        CHARACTER*1 AR(64,64)
C
C
     LOOP THROUGH EACH ELEMENT OF 64*64 ARRAY
C
        DO 20 I=1.64
          DO 40 J= 1.64
C
С
     CHECK IF THE CHARACTER IS BETWEEN O AND 9
C
             IF ((AR(I, J) GE. '0'), AND (AR(I, J), LE. '9')) THEN
               IA(I,J)=ICHAR(AR(I,J)(AR(I,J))-ICHAR('0')
C
C
     IF CHARACTER IS NOT BETWEEN O AND 9 THEN
C
     IT MUST BE BETWEEN A AND V BY DEFAULT
C
            ELSE
               IA(I, J)=ICHAR(AR(I, J))-ICHAR('A')+10
            ENDIF
 40
          CONTINUE
 20
        CONTINUE
C
        RETURN
```

END

ان البرنامج الفرعي الذي استعمل فعليا لاظهار الصور على طابعة خط هو البرنامج DSP ، الذي يحول القيم الصحيحة في المصفوفة IA الى سويات رمادي بطباعة المحارف بشكل متكرر overstrike على طابعة خط كما هو مناقش أدناه. يستدعي البرنامج DSP كما يلي:

CALL DSP (NX, NY, LAW, IL, IH, NEG, LG)

ان المتغيرات arguments هي

NX ـ عدد صفوف IA التي يراد طباعتها.

NY \_ عدد أعمدة IA التي يراد طباعتها. ان قيمة NY العظمى هي 64.

إذا كانت NX = NY = 64 فان صفحة كاملة ستطبع.

LAW - متحول نقل translation سلم سويات رمادية.

LAW=1 : سلم خطی

LAW=2 : سلم جذر تربيعي

LAW=3 : سلم لوغاريتمي

LAW=4 : سلم امتصاص

IL\_ أدنى سوية رمادية في IA ، تحسب بالبرنامج المستدعي.

IH ــ أعلى سوية رمادية في IA ، تحسب بالبرنامج المستدعي.

NEG \_ إذا كانت قيمتها 1 تعطي صورة عادية، وإذا كانت قيمها صفر تعطي صورة سالبة.

LG \_\_ رقم وحدة منطقية لطابعة الخط.

ان المحارف المستعملة في البرنامج للحصول على 32 سوية رمادية مبينة في الشكل A.1. عندما تطبع المحارف في العمود بشكل متكرر (فوق بعض) تعطي السوية الرمادية المشار اليها.

```
####00+-
          000
          車車車車回回車車前直班张HXOSWMNOS=I*++=:-,- Gray levels
     الشكل A.1 المحارف التي تطبع فوق بعضها والمستعملة للحصول على 32 سوية.
       SUBROUTINE DSP(NX, NY, LAW, IL, IH, NEG, LG)
C
       **LINE PRINTER IMAGE OUTPUT SUBROUTINE**
C
       ADAPTED BY B. A. FITTES, ELECTRICAL ENG.
       DEPT., UNIVERSITY OF TENNESSEE, FROM
       A PROGRAM WRITTEN BY J. L. BLANKENSHIP,
C
       INSTRUMENTATION AND CONTROLS DIV., OAK
C
       RIDGE NATIONAL LABORATORY, OAK RIDGE,
C
            THE OVERPRINT METHOD USED IS FROM
Ç
       "CONSIDERATIONS FOR EFFICIENT PICTURE
       OUTPUT VIA LINE PRINTER, " BY P. HENDERSON
C
       AND S. TANIMOTO, REPORT NO. 153, 1974, COMPUTER SCIENCE LAB., ELEC. ENG. DEPT.,
C
       PRINCETON UNIVERSITY.
       COMMON 1A(64,64)
       INTEGER*2 IA
       INTEGER*2 18(64,64), LEV(32), BLANK(5)
       LOGICAL*1 LINE(128,5), GRAY(32,5)
C
       SPECIFY GRAY-LEVEL CHARACTERS
      DATA GRAY /6**M*,5**H*,*X*,*H*,*X*,*O*,
1 *Z*,*W*,*M*,*N*,*O*,*S*,*=*,*I*,***,***,
      4 3** *, *-*, 3** *, 4****, *0*, *0*, *+*, *-*,
      5 24** (, '0', '0', '0', 29** (, '+', 31** '/
       GN=32. 0
       FL=IL
       FH=1H
       IF ((FH-FL), GT, O, O) GO TO 100
       T=FL
       FL=FH
       FH=T
  100 RANGE=(FH-FL+1)/GN
       AA=(SQRT(FH)-SQRT(FL))/GN
       EE=(FH-FL)/ALOG(GN+1.0)
       T=AMAX1 (FL, 1. 0)
       SS=-(1, O/GN) #ALOG(FH/T)
C
C
       A VECTOR LEV 1S COMPUTED NEXT.
      VECTOR 1S A SET OF BREAK POINTS USED TO
DETERMINE THE SCALED VALUE OF 1A(1, J).
С
C
       THE MATRIX IB IS THE RESULT OF SCALING
C
```

MMMMMHHHHHXHXOZWMNOS=I\*++=:-.-

WWWWW###\*++----

IB(1, J)=K IF lA(1, J) IS LESS THAN C LEV(K+1) BUT GREATER THAN OR EQUAL TO С C LEV(K). C DO 160 1=1.32 GO TO (110, 120, 130, 140), LAW 110 FLEV=FL+(1-1)\*RANGE+0. 5 60 TO 150 120 FLEV=(SQRT(FL)+(I-1)\*AA)\*\*2+0.5 GO TO 150 130 FLEV=FL+EE\*ALOG(FLOAT(1))+0.5 GO TO 150 140 FLEV≈FH\*EXP(SS\*(GN-1))+0.5 150 LEV(I)=FLEV 160 CONTINUE IF (NX. GT. &4) NX=64 IF (NY. GT. 64) NY=64 DO 180 1=1,NX DO 180 J=1.NY KLT=1 DO 170 K=1.32 IF (1A(1, J), GE, LEV(K)) KLT=K 170 CONTINUE 1B(1,J)=KL7 180 CONTINUE C C C ONCE IB HAS BEEN COMPUTED, THE PICTURE CAN BE PRINTED. EACH POINT IN THE PICTURE CAN C C CONSIST OF UP TO FIVE CHARACTERS OVERPRINTED ¢ ON ONE ANOTHER. SINCE THERE ARE 32 POSSIBLE C GRAY LEVELS, THERE 18 A 32X5 MATRIX, GRAY, C THAT CONTAINS ALL OF THE COMBINATIONS, SINCE C EACH ELEMENT OF IB 15 AN INTEGER BETWEEN C 1 AND 32, 1T CAN BE USED AS AN INDEX ON GRAY TO OBTAIN THE CORRECT COMBINATION. Ċ THE OUTPUT BUFFER, LINE, 18 A 128X5 MATRIX. EACH POINT 1S OUTPUT TWICE HORIZONTALLY AND C ONCE VERTICALLY TO ATTEMPT TO COMPENSATE FOR THE SPACING OF THE PRINTER. HENCE, THE FULL OUTPUT BUFFER REPRESENTS ONE ROW OF IB. C C C AS THE ROW IS GENERATED THERE IS A VECTOR, BLANK, THAT INDICATES WHETHER OR NOT ANY Č NON-BLANK CHARACTERS ARE PRESENT IN THE BUFFER. IF THERE ARE NOT ANY, THAT ROW IS C NOT PRINTED. THIS SPEEDS UP THE PRINTING C PROCESS. WRITE(LG, 1) IX≔NX IY=2\*NY DO 210 I=1.IX DO 190 J=1.5

BLANK(J)≈0

الملحق B

صور مرمزة

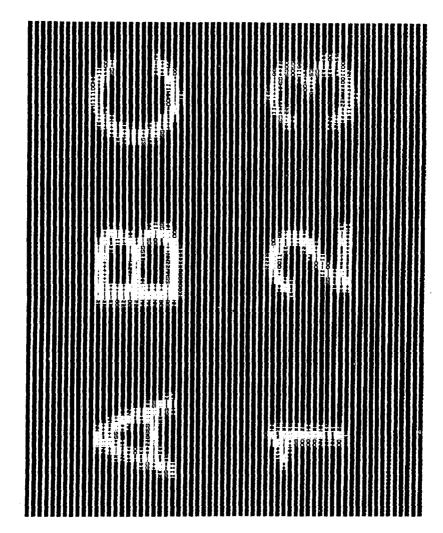
ان الصور ذات الـ 64 سوية رمادية وأبعادها 64 × 64 التالية يمكن أن تستعمل كمعطيات اختبار لكثير من مفاهيم معالجة الصورة المطورة في هذا الكتاب. نبين مع كل صورة مصفوفة مرمزة تحتوي محرفاً alphanumeric لكل عنصر صورة. ان مدى هذه الأحرف هو من 0 إلى 9 و من A حتى ٧ مما ينتج 32 سوية رمادية. ان أول خطوة بعد قراءة الصورة المرمزة في الحاسوب هي استعمال البرنامج moutine المعطى في الملحق A و يمكن استعمال المصفوفة العددية الناتجة في شكلها الأصلي، أو يمكن افسادها باضافة ضجيج، على سبيل المثال، لكل عنصر. ان هذه المرونة تسمح بتوليد معطيات دخل متنوعة والتي يمكن أن تستخدم لتوضيح آثار خوارزميات معالجة الصورة. ويمكن اظهار النتائج قبل وبعد المعالجة على طابعة خط معيارية باستخدام البرنامج الفرعي PSP المعطى في الملحق A. وعند استعمال هذا البرنامج، فان صور النعمات الرمادية gray tones يمكن أن تبدو مختلفة قليلا عن تلك المبينة في الصفحات النعمات الرمادية الخط المستعملة.

ANAMAL HEREET FOOGETER FEOTOFICE HEREET FOOGETER FOOTOFICE HEREET FOOTOFIC	###ZZZÄWWWWWWWWJZZZÄWWWOOCOCOCOCOCOCOCOCOCOCOCOCOCOCOCOCOCO
	######################################
	THOUSE THE PROPERTY STATES OF THE PROPERTY ST
	**************************************
	######################################
THE KARE BOWN THE POWER THE PARTY OF THE PAR	+6911410000551111111112000011111111111
	+007774400
	KKEENAAOOSSSONKEENAA
Tennes	KKZ ZWAROOOCHIDA WATER THE
SSBOXXXXIX	**************************************
A THE PROPERTY AND A THE PROPE	Maras++++++ I ISSI ##POO++*********************************
	##800000000000000000000000000000000000
	+ 1 1 1 1 1 1 1 1 1 1 1 1 1 1 1 1 1 1 1
	#44555447747577777777777777777777777777
	######################################
<b>《日本教》中,1967年</b> 1967年 1	######################################
のでは、これには、これには、これには、これには、これには、これには、これには、これに	
I I Z Z Z Z Z Z Z Z Z Z Z Z Z Z Z Z Z Z	**************************************
SSULGORIVERSERVERSE	+007***
	***************************************
TINDESCONDENS TO THE TRANSPORT	1100W11000022
	K H DO THE STOCK OCCUPANT A HARMAN A STOCK O
LUDGATE TEACHER TO THE TRANSPORT AND THE TRANSPO	XXXXXXXXXXXXXXXXXXXXXXXXXXXXXXXXXXXXXX
XX	NEW WAR THAT THE COOL COMMENTS
GOSTANATO CONCENTRATA NO COLORO DE MANTE EN ENTRE E	MH-109M-THTCOCOCOCCOCH-100M-100M-100M-100M-100M-100M-100M-100
	1984-1987-1987-1989-1989-1989-1989-1989-1989
**************************************	MAT HORMATTARA COCOCOCOCOCOCATA MATERIAL MATERIA
	MARKET MEGANING TO THE PROPERTY OF THE PROPERT
X-X-ZTTLE Z-ZTETOCOCIO Z-ZGLE X-ZTTLE X-ZTTLE X-ZTTLE Z-ZTTLE Z-ZTTLE Z-ZTTLE Z-ZTTLE Z-ZTTLE Z-ZTTLE Z-ZTTLE Z HAMMER IL LIMITOS GOOG Z-ZTTLE Z-ZTTLE X-ZTTLE Z-ZTTLE Z-ZTTLE Z-ZTTLE Z-ZTTLE Z-ZTTLE Z-ZTTLE Z-ZTTLE Z-ZTTLE	THE THE PROPERTY OF THE PROPER
FORWARD THE REPORT OF THE PROPERTY OF THE PROP	######################################
PRODUCT TRAFFOLD AND AND AND AND AND AND AND AND AND AN	MANANES METAL MODEL STANDOODOON METAL META
	######################################
	COSSESS IT TERRELLES SOMESPORTER STORES

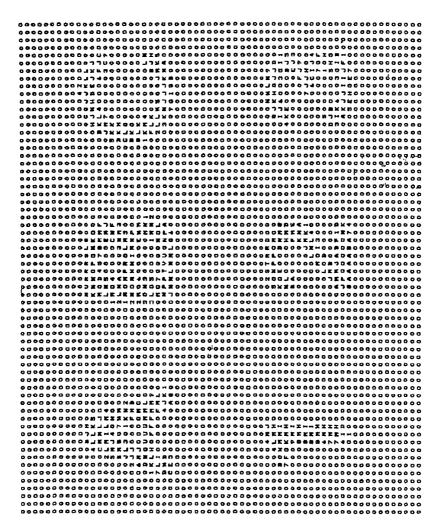
الشكل B.1 موناليزا.

```
C<</p>
C
C
C
C
C
C
C
C
C
C
C
C
C
C
C
C
C
C
C
C
C
C
C
C
C
C
C
C
C
C
C
C
C
C
C
C
C
C
C
C
C
C
C
C
C
C
C
C
C
C
C
C
C
C
C
C
C
C
C
C
C
C
C
C
C
C
C
C
C
C
C
C
C
C
C
C
C
C
C
C
C
C
C
C
C
C
C
C
C
C
C
C
C
C
C
C
C
C
C
C
C
C
C
C
C
C
C
C
C
C
C
C
C
C
C
C
C
C
C
C
C
C
C
C
C
C
C
C
C
C
C
C
C
C
C
C
C
C
C
C
C
C
C
C
C
C
C
C
C
C
C
C
C
C
C
C
C
C
C
C
C
C
C
C
C
C
C
C
C
C
C
C
C
C
C
C
C
C
C
C
C
C
C
C
C
C
C
C
C
C
C
C
C
C
C
C
C
C
C
C
C
C
C
C
C
C
C
C
C
C
C
C
C
C
C
C
C
C
C
C
C
C
C
C
C
C
<
 くべん くりょうちゅうりゅうりょうりゅう マック・ストース メース・ストース アン・スティー マック・スティー マック・スティー マック・スティー マック・スティー マック・スティー マック・スティー マック・スティー マック・スティー マック・スティー アン・スティー アン・スティ
CCCCNVonumenterappamunationにはなるとしてあるようないできることでは、そのできないないできない。
>>>> プラントのほど とこう くりょう ちゅう ちゅうこう こうこう こうしゅう しゅうしょうしゅう カライン・シント
>>>>>#BELLEGEW44445N94445N94NP470LEGEMENT404444449NA46NA46A46A46A46A
ってくくき ひかきゃじ アストングライン はっちゅう しゅうしゅう アイ・スティン マック・スティー アイ・スト くくくく
くべんだった (人) かんしゅう かんしゅう (人) かんしゅう (人) かんしょく (人) かんしん (人) かんしょく (人)
>>>>>awkezkkwokkooogiii~~ntthnaanntii~~aitot*oooo~~io>>>>
```

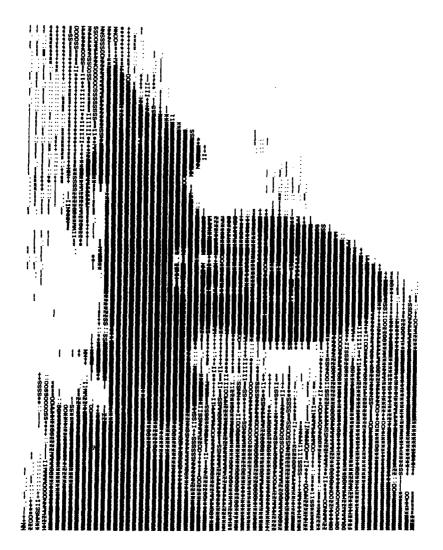
الشكل B.2 موناليزا مرمزة.



الشكل B.3 محارف.



الشكل B.4 محارف مرمزة.



الشكل B.5 طائرة نفاثة.

```
こういい アース 出りませる しゃっちゅう かっしゅう いっぱり チャック いっぱん カース・コント しゅうしょうしょうしょう
くちょうしょう ようしょうしゅう しょうしゅう しょうしゅう しょうしょうしょう とうしょうしょう とうしょうしょう とうしょうしょう というしょう とうしょうしょう というしょう というしょう というしょう というしょう というしょう というしょく ストーン・スティン ジェンター しゅうしゅう しゅうしゅう という ストーン・スティー アン・スティー アン・
```

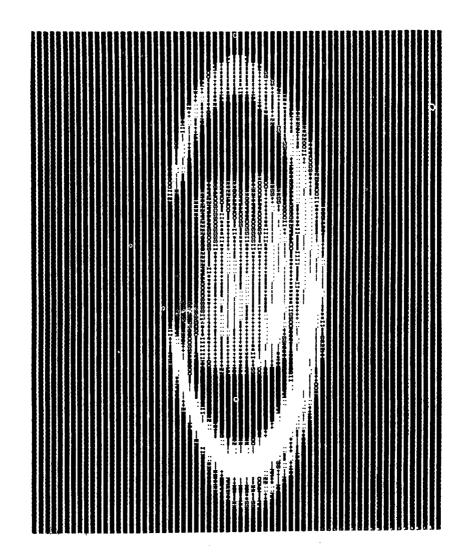
الشكل B.6 طائرة نفاثة مرمزة.



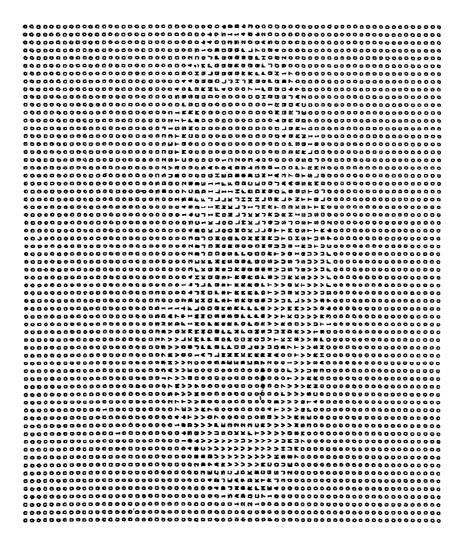
الشكل B.7 لينكولن.

>>>> KKEEEGGKENEGEEGGGGGGGGGKEBY70ZZ4GEGGGGGGGGGCLLL10000ZZZJ >>>> はただめ かめ かめ からら 自体 中 だ ただ ならり こりかい りゅうゅう のトト くだし ならに だいしん たんし ロステンビ メンメン ドドドルージングの内ではいます はっちょうしょう ちゅうしゃ マット・カー・フィック にゅうしょうけいしゅうしょうしょうしょうしょう パーングング 大変 あまる マーター・ファッション マース・アーン しゅうしょう ファック・マック うちゅう こうちん はいけん アン・スティー・ソーン >>>コアの日の日の日とものなどのとれないののまととトトトトルのトトトトルののかめをとびこのしてみらしてフェンエンエンコン DESCRIPTION OF THE PROPERTY OF A PROPERTY OF THE PROPERTY OF T OCCITITION WOUND PORPATION NAMED AND ANALYMENT OF THE PROPERTY ひんだいのかもうとうとうになるとなっているというというというないのかがなかないないないには、 こうしょうしょうしょうしょ しゅうしょうしょ しゅうしょうしょ しゅうしょう しゅうしょう しゅうしょう しゅうしゅう しゅうしゅう 

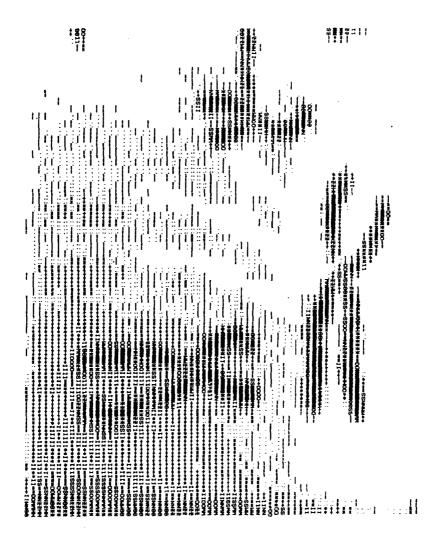
الشكل B.8 لينكولن مرمز.



الشكل B.9 زحل.



الشكل B.10 زحل مرمز.



الشكل B.11 كروموسومات.

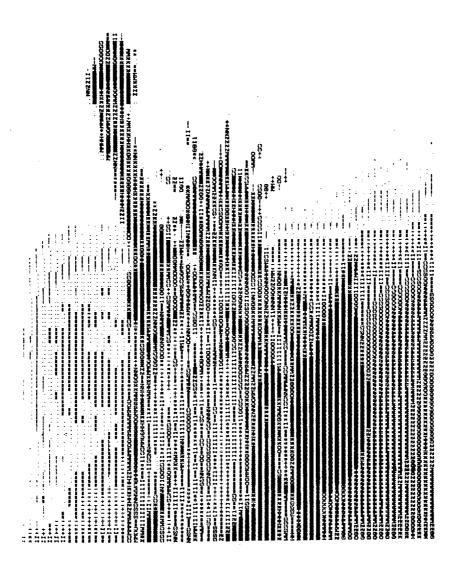
```
LT. | TTTZZQZTTZTZCZQQQQQ&&Q&Q&Q&&Q&&Q&&&&
出る国ににたられれたらののエエトエエエエスエペーフフェフフフスメンスによるススをもらならなどののつつつつつつつ
```

الشكل B.12 كروموسومات مرمزة.

الشكل B.13 بصمة اصبع.

ひょうかんりょうじ 2.2 ものだっしょ 1.1 しょうな サードドロック 1.2 とうしゅう 1.2 とうしゅん 2.2 とうしゅん 2.2 とうしゅん 2.2 とうしゅう 2.2 とうしゃ 2.2 とうしゃ 2.2 とうしゅう 2.2 とうしゅう 2.2 とうしゅう 2.2 とうしゅう 2.2 とうしゃ 2.2 とうしゅう 2.2 とうしゅう 2.2 とうしゅう 2.2 とうしゃ 2.2 とうしゃ 2.2 とうしゅう 2.2 とうしゃ 2.2 とうしゅう 2.2 とうしゃ 2.2 ジョイパリクライフ・トレーション・フェーター・フェーター・ファーター 

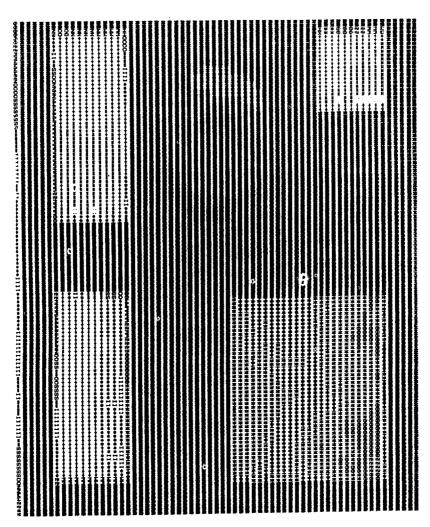
الشكل B.14 بصمة إصبع مرمزة.



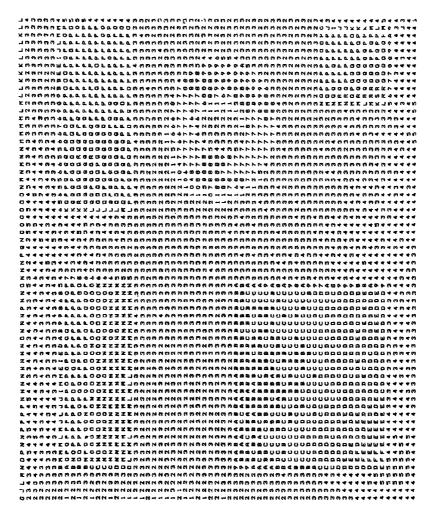
الشكل B.15 تمثال الحرية.

・ シップン アンコンウン コファイトの 自然の りゅうじゅい こうしゅん こうしゃい めいりゅうりゅう いいけん はんにんにん ロック 下谷氏氏氏のたらのもものでものなったアロウのは対対はつひに対対としているもっちゃっちゃっちょうまままだけいしょう COLDOCE EXTRACTOR TEXT OF THE PERIOD ACCOUNTS TO THE CONTRACT OF THE CONTRACT LOUINDEDETENHHHMANNHHNOOMILLOLPOUPKLEARINTHLEONEOEEDEDEDENUNG. 口の本ならかいからにつれているのロロエストロイルでは、「アンススコギニとのこれとのはないとこれには、「カーススコンスカー」 

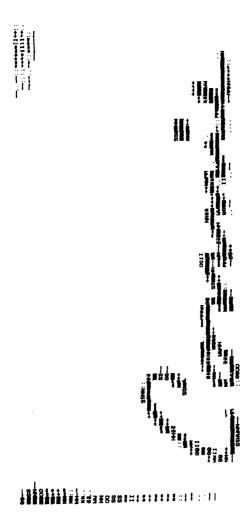
الشكل B.16 تمثال الحرية مرمز.



الشكل B.17 أشكال هندسية.



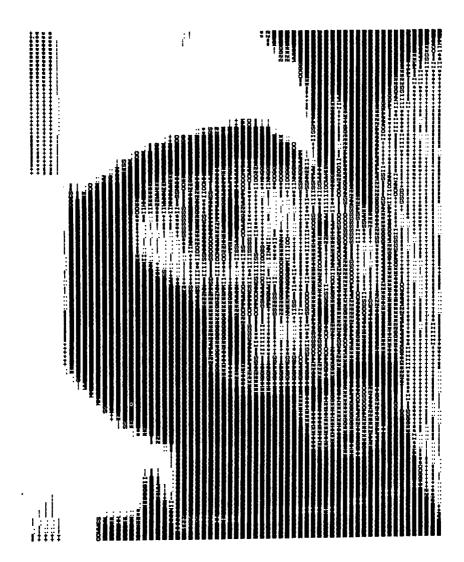
الشكل B.18 أشكال هندسية مرمزة.



الشكل 8.19 كلسة.

```
ロのコーロの中のこのできな日本作作の上の大大人と大力をあるとのとこうこうこうこうこうこうこうこうこうこうこうこうこうこう
```

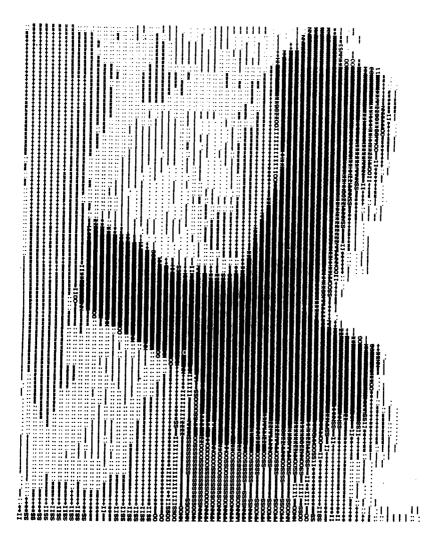
الشكل B.20 كلمة مرمزة.



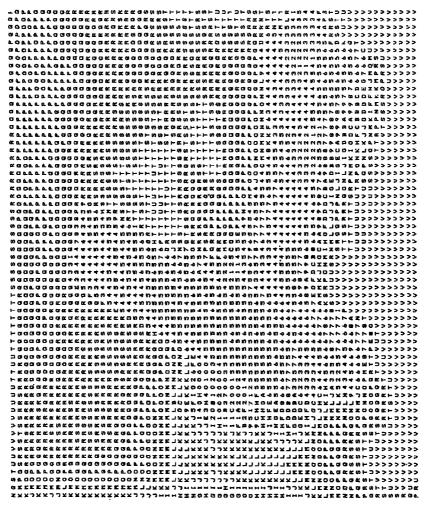
الشكل B.21 ولـد.

```
#FFF8>>>>>>>>>>>>>>>>>>>>>>>>>>>>>
日日レルストラントラントラの日本ののようなイイトマれいののの一口のれのいのいもにとればればののはなっての日本となってのとして
KE ロボン>>>> フンタトマのかののトモル せんぐん ロリム ローベ ロロレ ロココヒ L L L L M A D E 0 0 0 0 € E 7 至 E L D E 0 G 0
>>>>> かのものべんののかはもとコントトキロコンフラギーコニスフスにつられることと、これにはなからしてはためるまでた
>>>>>のののような、これにはなって、日本ののでは、日本ののでは、日本ののでは、日本のでは、日本のでは、日本のでは、日本のでは、日本のでは、日本のでは、日本のでは、日本のでは、日本のでは、日本のでは、日本のでは、日本のでは、日本のでは、日本のでは、日本のでは、日本のでは、日本のでは、日本のでは、日本のでは、日本のでは、日本のでは、日本のでは、日本のでは、日本のでは、日本のでは、日本のでは、日本のでは、日本のでは、日本のでは、日本のでは、日本のでは、日本のでは、日本のでは、日本のでは、日本のでは、日本のでは、日本のでは、日本のでは、日本のでは、日本のでは、日本のでは、日本のでは、日本のでは、日本のでは、日本のでは、日本のでは、日本のでは、日本のでは、日本のでは、日本のでは、日本のでは、日本のでは、日本のでは、日本のでは、日本のでは、日本のでは、日本のでは、日本のでは、日本のでは、日本のでは、日本のでは、日本のでは、日本のでは、日本のでは、日本のでは、日本のでは、日本のでは、日本のでは、日本のでは、日本のでは、日本のでは、日本のでは、日本のでは、日本のでは、日本のでは、日本のでは、日本のでは、日本のでは、日本のでは、日本のでは、日本のでは、日本のでは、日本のでは、日本のでは、日本のでは、日本のでは、日本のでは、日本のでは、日本のでは、日本のでは、日本のでは、日本のでは、日本のでは、日本のでは、日本のでは、日本のでは、日本のでは、日本のでは、日本のでは、日本のでは、日本のでは、日本のでは、日本のでは、日本のでは、日本のでは、日本のでは、日本のでは、日本のでは、日本のでは、日本のでは、日本のでは、日本のでは、日本のでは、日本のでは、日本のでは、日本のでは、日本のでは、日本のでは、日本のでは、日本のでは、日本のでは、日本のでは、日本のでは、日本のでは、日本のでは、日本のでは、日本のでは、日本のでは、日本のでは、日本のでは、日本のでは、日本のでは、日本のでは、日本のでは、日本のでは、日本のでは、日本のでは、日本のでは、日本のでは、日本のでは、日本のでは、日本のでは、日本のでは、日本のでは、日本のでは、日本のでは、日本のでは、日本のでは、日本のでは、日本のでは、日本のでは、日本のでは、日本のでは、日本のでは、日本のでは、日本のでは、日本のでは、日本のでは、日本のでは、日本のでは、日本のでは、日本のでは、日本のでは、日本のでは、日本のでは、日本のでは、日本のでは、日本のでは、日本のでは、日本のでは、日本のでは、日本のでは、日本のでは、日本のでは、日本のでは、日本のでは、日本のでは、日本のでは、日本のでは、日本のでは、日本のでは、日本のでは、日本のでは、日本のでは、日本のでは、日本のでは、日本のでは、日本のでは、日本のでは、日本のでは、日本のでは、日本のでは、日本のでは、日本のでは、日本のでは、日本のでは、日本のでは、日本のでは、日本のでは、日本のでは、日本のでは、日本のでは、日本のでは、日本のでは、日本のでは、日本のでは、日本のでは、日本のでは、日本のでは、日本のでは、日本のでは、日本のでは、日本のでは、日本のでは、日本のでは、日本のでは、日本のでは、日本のでは、日本のでは、日本のでは、日本のでは、日本のでは、日本のでは、日本のでは、日本のでは、日本のでは、日本のでは、日本のでは、日本のでは、日本のでは、日本のでは、日本のでは、日本のでは、日本のでは、日本のでは、日本のでは、日本のでは、日本のでは、日本のでは、日本のでは、日本のでは、日本のでは、日本のでは、日本のでは、日本のでは、日本のでは、日本のでは、日本のでは、日本のでは、日本のでは、日本のでは、日本のでは、日本のでは、日本のでは、日本のでは、日本のでは、日本のでは、日本のでは、日本のでは、日本のでは、日本のでは、日本のでは、日本のでは、日本のでは、日本のでは、日本のでは、日本のでは、日本のでは、日本のでは、日本のでは、日本のでは、日本のでは、日本のでは、日本のでは、日本のでは、日本のでは、日本のでは、日本のでは、日本のでは、日本のでは、日本のでは、日本のでは、日本のでは、日本のでは、日本のでは、日本のでは、日本のでは、日本のでは、日本のでは、日本のでは、日本のでは、日本のでは、日本のでは、日本のでは、日本のでは、日本のでは、日本のでは、日本のでは、日本のでは、日本のでは、日本のでは、日本のでは、日本のでは、日本のでは、日本のでは、日本のでは、日本のでは、日本のでは、日本のでは、日本のでは、日本のでは、日本のでは、日本のでは、日本のでは、日本のでは、日本のでは、日本のでは、日本のでは、日本のでは、日本のでは、日本のでは、日本のでは、日本のでは、日本のでは、日本のでは、日本のでは、日本のでは、日本のでは、日本のでは、日本のでは、日本のでは、日本のでは、日本のでは、日本のでは、
アービスには必要を発生を見ったことを定せるとなっています。そのできるともなりはあれると、人へへくへくくくくしくしょっとしゃともできるからなっていましょう。
ummmondannnnnndodaeaabbaaaaabbaaacacccccccc
```

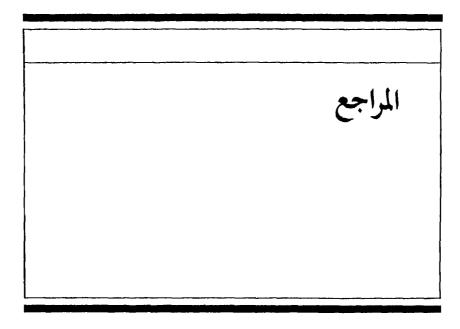
الشكل B.22 ولد مرمز.



الشكل B.23 طائرة ذات جناحين أحدهما فوق الآخر.



الشكل B.24 طائرة ذات جناحين أحدهما فوق الآخر، مرمزة.



Abramson, A. [1963]. Information Theory and Coding, McGraw-Hill, New York.

Adiv, G. [1985]. "Determining Three-Dimensional Motion and Structure from Optical Flow Generated by Several Moving Objects." IEEE Trans. Pattern Anal. Mach. Intell., vol. PAMI-7, no. 4, pp. 384-401.

Aggarwal, J.K. and Badler, N.I., eds. [1980]. "Motion and Time-Varying Imagery." IEEE Trans. Pattern Anal. Mach. Intell., Special Issue, vol. PAMI-2, no. 6, pp. 493-588.

Ahmed, N., Natarajan, T., and Rao, K.R. [1974]. "Discrete Cosine Transforms." *IEEE Trans. Comp.*, vol. C-23, pp. 90-93.

Ahmed, N. and Rao, K.R. [1975]. Orthogonal Transforms for Digital Signal Processing, Springer-Verlag, New York.

Ambler, A.P., et al. [1975]. "A Versatile System for Computer Controlled Assembly." Artificial Intell., vol. 6, no. 2, pp. 129-156.

Anderson, G.L., and Netravaly, A.N. [1976]. "Image Restoration Based on a Subjective Criterion." *IEEE Trans. Syst. Man. Cyb.*, vol. SMC-6, no. 12, pp. 845-853.

Andrews, H.C. [1970]. Computer Techniques in Image Processing, Academic Press, New York. Andrews, H.C., Tescher, A.G., and Kruger, R.P. [1972]. "Image Processing by Digital Computer." IEEE Spectrum, vol. 9, no. 7, pp. 20-32.

Andrews, H.C. [1974]. "Digital Image Restoration: A Survey." Computer J., vol. 7, no. 5, pp. 36-45.

Andrews, H.C. and Hunt B.R. [1977]. Digital Image Restoration, Prentice-Hall, Englewood Cliffs, N.J.

Anuta, P.F. [1969]. "Digital Registration of Multispectral Video Imagery." Soc. Photo-Optical Instrum. Engs., vol. 7, pp. 168-175.

Bajcsy, R. [1973]. "Computer Description of Textured Surfaces." Proc. 1973 Int. Conf. Artificial Intell., Stanford, Calif. pp. 572-579.

Bajcsy, R. and Lieberman, L. [1976]. "Texture Gradient as a Depth Cue." Comput. Graph. Image Proc., vol. 5, no. 1, pp. 52-67.

- Ballard, D.H. [1981]. "Generalizing the Hough Transform to Detect Arbitrary Shapes." Pattern Recognition, vol. 13, no. 2, pp. 111-122.
- Ballard, D.H. and Brown, C.M. [1982]. Computer Vision, Prentice-Hall, Englewood Cliffs, N.J. Baumert, L.D., Golomb, S.W., and Hall, M., Jr. [1962]. "Discovery of a Hadamard Matrix of Order 92." Bull. Am. Math. Soc., vol. 68, pp. 237-238
- Bell, E.T. [1965]. Men of Mathematics, Simon and Schuster, New York.
- Bellman; R. [1970]. Introduction to Matrix Analysis, 2nd ed., McGraw-Hill, New York.
- Bernstein, R. [1976]. "Digital Image Processing of Earth Observation Sensor Data." IBM J. Res. Dev., vol. 20, no. 1, pp. 40-56.
- Biberman, L.M. [1973]. "Image Quality." in Perception of Displayed Information, Biberman, L.M. ed., Plenum Press, New York.
- Billingsley, F.C., Goetz, A.F.H., and Lindsley, J.N. [1970]. "Color Differentiation by Computer Image Processing." Photo. Sci. Eng., vol. 14, no. 1, pp. 28-35.
- Blackman, E.S. [1968]. "Effects of Noise on the Determination of Photographic System Modulation Transfer Function." Photogr. Sci. Eng., vol. 12, pp. 244-250.
- Blackman, R.B. and Tukey, J.W. [1958]. The Measurement of Power Spectra, Dover Publications,
- Blum, H. [1967]. "A Transformation for Extracting New Descriptors of Shape." in Models for the Perception of Speech and Visual Form, Wathen-Dunn, W., ed., MIT Press, Cambridge,
- Brice, C.R. and Fennema, C.L. [1970]. "Scene Analysis Using Regions." Artificial Intelligence, vol. 1, pp. 205-226.
- Bribiesca, E. [1981]. "Arithmetic Operations Among Shapes Using Shape Numbers." Pattern Recog., vol. 13, no. 2, pp. 123-138.
- Bribiesca, E. and Guzman, A. [1980]. "How to Describe Pure Form and How to Measure Differences in Shape Using Shape Numbers." Pattern Recog., vol. 12, no. 2, pp. 101-112.
- Brigham, E.O. [1974]. The Fast Fourier Transform, Prentice-Hall, Englewood Cliffs, N.J.
- Brill, E.L. [1968]. "Character Recognition Via Fourier Descriptors." WESCON, Paper 25/3, Los Angeles, Calif.
- Brown, J.L., Jr. [1960]. "Mean-Square Truncation Error in Series Expansions of Random Functions." J. SIAM, vol. 8, pp. 18-32.
- Budak, A. [1974]. Passive and Active Network Analysis and Synthesis, Houghton Mifflin, Boston. Campbell, J.D. [1969]. "Edge Structure and the Representation of Pictures." Ph.D. dissertation. Dept. of Elec. Eng., University of Missouri, Columbia.

  Cannon, T.M. [1974]. "Digital Image Deblurring by Non-Linear Homomorphic Filtering." Ph.D.
- Thesis, University of Utah.
- Carlson, A.B. [1968]. Communication Systems, McGraw-Hill, New York.
- Castleman, K.R. [1979]. Digital Image Processing, Prentice-Hall, Englewood Cliffs, N.J.
- Chaudhuri, B.B. [1983]. "A Note on Fast Algorithms for Spatial Domain Techniques in Image Processing." IEEE Trans. Syst. Man Cyb., vol. SMC-13, no. 6, pp. 1166--1169.
- Chen. P.H. and Wintz, P.A. [1976]. "Data Compression for Satellite Images." TR-EE-76-9, School of Electrical Engineering, Purdue University, West Lafayette, Ind.
- Chow, C.K. and Kaneko, T. [1972]. "Automatic Boundary Detection of the Left Ventricle from Cineangiograms." Comp. and Biomed. Res., vol. 5, pp. 388-410.
- Clark, R.J. [1985]. Transform Coding of Images, Academic Press, New York. Cochran, W.T., Cooley, J.W., et al. [1967]. "What is the Fast Fourier Transform?" IEEE Trans. Audio and Electroacoustics, vol. AU-15, no. 2, pp. 45-55.
- Cooley, J.W. and Tukey, J.W. [1965]. "An Algorithm for the Machine Calculation of Complex Fourier Series." Math. of Comput., vol. 19, pp. 297-301.
- Cooley, J.W., Lewis, P.A.W., and Welch, P.D. [1967a]. "Historical Notes on the Fast Fourier Transform." IEEE Trans. Audio and Electroacoustics, vol. AU-15, no. 2, pp. 76-79.
- Cooley, J.W., Lewis, P.A.W., and Welch, P.D. [1967b]. "Application of the Fast Fourier Trans-

- form to Computation of Fourier Integrals," *IEEE Trans. Audio and Electroacoustics*, vol. AU-15, no. 2, pp. 79-84.
- Cooley, J.W., Lewis, P.A.W., and Welch, P.D. [1969]. "The Fast Fourier Transform and its Applications." *IEEE Trans. Educ.*, vol. E-12, no. 1, pp. 27-34.
- Cornsweet, T.N. [1970]. Visual Perception, Academic Press, New York.
- Cowart, A.E., Snyder, W.E., and Ruedger, W.H. [1983]. "The Detection of Unresolved Targets Using the Hough Transform." Comput. Vision Graph Image Proc., vol. 21, pp. 222-238.
- Cross, G.R. and Jain, A.K. [1983]. "Markov Random Field Texture Models." IEEE Trans. Pattern Anal. Mach. Intell., vol. PAMI-5, no. 1, pp. 25-39.
- Cutrona, L.J., Leith, E.N., and Palermo, C.J. [1960]. "Optical Data Processing and Filtering Systems." IRE Trans. Info. Theory, vol. IT-6, no. 3, pp. 386-400.
- Cutrona, L.J. and Hall, W.D. [1968]. "Some Considerations in Post-Facto Blur Removal." In Evaluation of Motion-Degraded Images, NASA Publ. SP-193, pp. 139-148.
- Danielson, G.C. and Lanczos, C. [1942]. "Some Improvements in Practical Fourier Analysis and Their Application to X-Ray Scattering from Liquids." J. Franklin Institute, vol. 233, pp. 365-380 and 435-452.
- Davenport, W.B. and Root, W.L. [1958]. An Introduction to the Theory of Random Signals and Noise, McGraw-Hill, New York.
- Davis, L.S. [1975]. "A Survey of Edge Detection Techniques." Comput. Graphics Image Proc., vol. 4, pp. 248-270.
- Davis, L.S. [1982]. "Hierarchical Generalized Hough Transforms and Line-Segment Based Generalized Hough Transforms." Pattern Recog., vol. 15, no. 4, pp. 277-285.
- Davis, P.J. [1979]. Circulant Matrices, Wiley, New York.
- Deutsch, R. [1965]. Estimation Theory, Prentice-Hall, Englewood Cliffs, N.J.
- Digital Image Processing [1974]. Special issue of Computer, vol. 7, no. 5.
- Digital Picture Processing [1972]. Special issue of the Proceedings of the IEEE, vol. 60, no. 7. Dijkstra, E. [1959]. "Note on Two Problems in Connection with Graphs." Numerische Mathematik, vol. 1, pp. 269-271.
- Doyle W. [1962]. "Operations Useful for Similarity-Invariant Pattern Recognition." J. ACM. vol. 9, pp. 259-267.
- Duan, J.R. and Wintz, P.A. [1974]. "Information Preserving Coding for Multispectral Scanner Data." TR-EE-74-15, School of Electrical Engineering, Purdue University, W. Lafayette, Ind. Duda, R.O. and Hart, P.E. [1972]. "Use of the Hough Transformation to Detect Lines and Curves in Pictures." Comm. ACM, vol. 15, no. 1, pp. 11-15.
- Duda, R.O. and Hart, P.E. [1973]. Pattern Classification and Scene Analysis, Wiley, New York.
  Dudani, S.A. and Luk, A. [1977]. "Locating Straight-Edge Segments on Outdoor Scenes,"
  Proc. Conf. Pattern Recog. Image Proc. vol. 2, pp. 367-380.
- Dyer, C.R. [1983]. "Gauge Inspection Using Hough Transforms." IEEE Trans. Pattern Anal. Machine Intell., vol. PAMI-5, no. 6, pp. 621-623.
- Dyer, C.R. and Rosenfeld, A. [1979]. "Thinning Algorithms for Grayscale Pictures." *IEEE Trans. Pattern Anal. Machine Intell.*, vol. PAMI-1, no. 1, pp. 88-89.
- Elias, P. [1952]. "Fourier Treatment of Optical Processes." J. Opt. Soc. Am., vol. 42, no. 2, pp. 127-134.
- Elsgolc, L.E. [1962]. Calculus of Variations, Addison-Wesley, Reading, Mass.
- Essman, J and Wintz, P.A. [1973]. "The Effects of Channel Errors in DPCM Systems and Comparison with PCM Systems." *IEEE Trans. on Comm.*, vol. 21, no. 8, pp. 867-877. Evans, R.M. [1959]. An Introduction to Color, Wiley, New York.
- Falconer, D.G. [1970]. "Image Enhancement and Film Grain Noise." Opt. Acta, vol. 17, pp. 693-705.
- Falconer, D.G. [1977]. "Target Tracking with the Hough Transform." Proc. Asilomar Conf. Circ. Syst. Comput., vol. 11, pp. 249-252.
- Fine, N.J. [1949]. "On the Walsh Functions." Trans. Am. Math. Soc., vol. 65, pp. 373-414.

- Fine, N.J. [1950]. "The Generalized Walsh Functions." Trans. Am. Math. Soc., vol. 69, pp.
- Fischler, M.A. [1980]. "Fast Algorithms for Two Maximal Distance Problems with Applications
- to Image Analysis." *Pattern Recog.*, vol. 12, pp. 35-40.
  Fram, J.R. and Deutsch, E.S. [1975]. "On the Quantitative Evaluation of Edge Detection Schemes and Their Comparison with Human Performance." IEEE Trans. Computers, vol. C-24, no. 6, pp. 616-628.
- Frendendall, G.L. and Behrend, W.L. [1960]. "Picture Quality-Procedures for Evaluating Subjective Effects of Interference." Proc. IRE, vol. 48, pp. 1030-1034.
- Freeman, H. [1961]. "On the Encoding of Arbitrary Geometric Configurations." IEEE Trans. Elec. Computers, vol. EC-10, pp. 260-268.
- Freeman, H. [1974]. "Computer Processing of Line Drawings." Comput. Surveys, vol. 6, pp. 57-97.
- Freeman, H. and Shapira, R. [1975]. "Determining the Minimum-Area Encasing Rectangle for an Arbitrary Closed Curve." Comm. ACM, vol. 18, no. 7, pp. 409-413.
- Frei, W. and Chen, C.C. [1977]. "Fast Boundary Detection: A Generalization and a New Algorithm." IEEE Trans. Computers, vol. C-26, no. 10, pp. 988-998.
- Frieden, B.R. [1972]. "Restoring with Maximum Likelihood and Maximum Entropy." J. Opt. Soc. Am., vol. 62, pp. 511-518.
- Frieden, B.R. [1974]. "Image Restoration by Discrete Deconvolution of Minimal Length." J. Opt. Soc. Am., vol. 64, pp. 682-686.
- Fu, K.S. [1974]. Syntactic Methods in Pattern Recognition, Academic Press, New York.
- Fu, K.S. and Rosenfeld A. [1976]. "Pattern Recognition and Image Processing." IEEE Trans. Computers, vol. C-25, no. 12, pp. 1336-1346.
- Fu, K.S. [1982]. Syntactic Pattern Recognition and Applications, Prentice-Hall, Englewood Cliffs, N.J.
- Fu, K.S., Gonzalez, R.C., and Lee, C.S.G. [1987]. Robotics: Control, Sensing, Vision, and Intelligence, McGraw-Hill, New York.
- Fu, K.S. and Mui, J.K. [1981]. "A Survey of Image Segmentation." Pattern Recog., vol. 13, no. 1, pp. 3-16.
- Gattis, J. and Wintz, P.A. [1971]. "Automated Techniques for Data Analysis and Transmission." TR-EE-71-37, School of Electrical Engineering, Purdue University, West Lafayette, Ind.
- Gaven, J.V., Jr., Tavitian, J., and Harabedian, A. [1970]. "The Informative Value of Sampled Images as a Function of the Number of Gray Levels Used in Encoding the Images." Phot. Sci. Eng., vol. 14, no. 1, pp. 16-20.
- Gentleman, W.M. and Sande, G. [1966]. "Fast Fourier Transform for Fun and Profit." Fall Joint Computer Conf., vol. 29, pp. 563-578, Spartan, Washington, D.C.
- Gentleman, W.M. [1968]. "Matrix Multiplication and Fast Fourier Transformations." Bell System Tech. J., vol. 47, pp. 1099-1103.
- Gish, H. and Pierce, J.N. [1968]. "Asymptotically Efficient Quantizer." IEEE Trans. Info. Theory. vol. IT-14, pp. 676-683.
- Goldmark, P.C. and Hollywood, J.M. [1951]. "A New Technique for Improving the Sharpness of Television Pictures," Proc. IRE, vol. 39, pp. 1314-1322.
- Golomb, S.W. and Baumert, L.D. [1963]. "The Search for Hadamard Matrices." Am. Math. Monthly, vol. 70, pp. 27-31.
- Gonzalez, R.C. [1972]. "Syntactic Pattern Recognition-Introduction and Survey." Proc. Natl. Elec. Conf., vol. 27, pp. 27-31.
- Gonzalez, R.C. [1985]. "Computer Vision." Yearbook of Science and Technology, McGraw-Hill, New York, pp. 128-132.
- Gonzalez, R.C. [1985]. "Industrial Computer Vision." In Advances in Information Systems Science, Tou, J.T., ed., Plenum, New York, pp. 345-385.
- Gonzalez, R.C. [1986]. "Image Enhancement and Restoration." In Handbook of Pattern Recogni-

- tion and Image Processing, Young, T.Y. and Fu, K.S., eds., Academic Press, New York, pp. 191-213.
- Gonzalez, R.C. and Fittes, B.A. [1975]. "Gray-Level Transformations for Interactive Image Enhancement." Proc. Second Conf. Remotely Manned Spin., pp. 17-19.
  Gonzalez, R.C., Edwards, J.J., and Thomason, M.G. [1976]. "An Algorithm for the Inference
- of Tree Grammars." Int. J. Comput. Info. Sci., vol. 5, no. 2, pp. 145-163.
- Gonzalez, R.C. and Fittes, B.A. [1977]. "Gray-Level Transformations for Interactive Image Enhancement." Mechanism and Machine Theory, vol. 12, pp. 111-122.
- Gonzalez, R.C. and Thomason, M.G. [1978]. Syntactic Pattern Recognition: An Introduction. Addison-Wesley, Reading, Mass.
- Gonzalez. R.C., Barrero, A., and Thomason, M.G. [1978]. "A Measure of Scene Content." Proc. Pattern Recog. Image Proc. Conf., vol. 1, pp. 385-389.
  Gonzalez, R.C. and Safabakhsh, R. [1982]. "Computer Vision Techniques for Industrial Applica-
- tions." Computer, vol. 15, no. 12, pp. 17-32.
- Gonzalez, R.C., Woods, R.E., and Swain, W.T. [1986]. "Digital Image Processing: An Introduction." Digital Design, vol. 16, no. 4, pp. 15-20.
- Good, I.J. [1958]. "The Interaction Algorithm and Practical Fourier Analysis." J. R. Stat. Soc. (Lond.), vol. B20, pp. 361-367; Addendum, vol. 22, 1960, pp. 372-375.
- Goodman, J.W. [1968]. Introduction to Fourier Optics, McGraw-Hill, New York,
- Graham, C.H., ed. [1965], Vision and Visual Perception, Wiley, New York.
- Graham, D.N. [1967]. "Image Transmission by Two-Dimensional Contour Coding." Proc. IEEE, vol. 55, pp. 336-346.
- Graham, R.L. and Yao, F.F. [1983]. "Finding the Convex Hull of a Simple Polygon." J. Algorithms, vol. 4, pp. 324-331.
- Green, W.B. [1983]. Digital Image Processing-A Systems Approach, Van Nostrand Reinhold, New York.
- Grosky, W.I. and Jain, R. [1983], "Optimal Quadtrees for Image Segments." IEEE Trans. Pattern Anal. Machine Intell., vol. PAMI-5, no. 1, pp. 77-83.
- Habibi, A. [1971]. "Comparison of Nth Order DPCM Encoder with Linear Transformations and Block Quantization Techniques." IEEE Trans. Commun. Tech., vol. COM-19, no. 6.
- Habibi, A. [1972]. "Two-Dimensional Bayesian Estimate of Images." Proc. IEEE, vol. 60, pp.
- Habibi, A. and Wintz, P.A. [1971]. "Image Coding by Linear Transformations and Block Quantization." IEEE Trans. Comm. Tech., vol. COM-19, pp. 50-62.
- Habibi, A. and Wintz. P.A. [1974]. "Hybrid Coding of Pictorial Data." IEEE Trans. Comm. Tech., vol. COM-22, no. 5, pp. 614-624.
- Hadamard, J. [1893]. "Resolution d'une Question Relative aux Determinants." Bull. Sci. Math., Ser. 2, vol. 17, Part I, pp. 240-246.
- Hall, E.L. [1972]. "Automated Computer Diagnosis Applied to Lung Cancer." Proc. 1972 Int. Conf. on Cybernetics Soc., New Orleans, La.
- Hall, E.L. [1974]. "Almost Uniform Distributions for Computer Image Enhancement." IEEE Trans. Computers, vol. C-23, no. 2, pp. 207-208.
- Hall, E.L. [1979]. Computer Image Processing and Recognition, Academic Press, New York.
- Hall, E.L. et al. [1971]. "A Survey of Preprocessing and Feature Extraction Techniques for Radiographic Images." IEEE Trans. Comput., vol. C-20, no. 9, pp. 1032-1044.
- Hall, E.L. and Frei, W. [1976]. "Invariant Features for Quantitative Scene Analysis." Final Report, Contract F 08606-72-C-0008, Image Processing Institute, University of Southern Califor-
- Hammond, J.L. and Johnson, R.S. [1962]. "Orthogonal Square-Wave Functions." J. Franklin Inst., vol. 273, pp. 211-225.
- Harmuth, H.F. [1968]. "A Generalized Concept of Frequency and Some Applications." IEEE Trans. Info. Theory, vol. IT-14, no. 3, pp. 375-382.

- Haralick, R.M. [1979]. "Statistical and Structural Approaches to Texture." Proc. 4th Int. Joint Conf. Pattern Recog., pp. 45-60.
- Haralick, R.M., Shanmugan, R., and Dinstein, I. [1973]. "Textural Features for Image Classification." IEEE Trans Syst. Man Cyb., vol. SMC-3, no. 6, pp. 610-621.
- Harris, J.L. [1964]. "Resolving Power and Decision Theory." J. Opt. Soc. Am., vol. 54, pp. 606-611.
- Harris, J.L. [1966]. "Image Evaluation and Restoration." J. Opt. Soc. Am., vol. 56, pp. 569-574
- Harris, J.L. [1968]. "Potential and Limitations of Techniques for Processing Linear Motion-Degraded Images." In Eval. Motion Degraded Images, NASA Publ. SP-193, pp. 131-138.
- Hart, P.E., Nilsson, N.J., and Raphael, B. [1968]. "A Formal Basis for the Heuristic Determination of Minimum-Cost Paths." IEEE Trans. Syst. Man Cyb, vol. SMC-4, pp. 100-107.
- Hecht, E. and Zajac, A. [1975]. Optics, Addison-Wesley, Reading, Mass.
- Helstrom, C.W. [1967]. "Image Restoration by the Method of Least Squares." J. Opt. Soc. Am., vol. 57, no. 3, pp. 297-303.
- Henderson, K.W. [1964]. "Some Notes on the Walsh Functions." *IEEE Trans. Electronic Computers*, vol. EC-13, no. 1, pp. 50-52.
- Horn, B.K.P. [1986]. Robot Vision, McGraw-Hill, New York.
- Horner, J.L. [1969]. "Optical Spatial Filtering with the Least-Mean-Square-Error Filter." J. Opt. Soc. Am., vol. 59, pp. 553-558.
- Horowitz, M. [1957]. "Efficient Use of a Picture Correlator." J. Opt. Soc. Am., vol. 47, p. 327.
- Horowitz, S.L. and Pavlidis, T. [1974]. "Picture Segmentation by a Directed Split-and-Merge Procedure." Proc. 2nd Int. Joint Conf. Pattern Recog., pp. 424-433.
- Hotelling, H. [1933]. "Analysis of a Complex of Statistical Variables into Principal Components." J. Educ. Psychol., vol. 24, pp. 417-441 and 498-520.
- Hough, P.V.C. [1962]. "Methods and Means for Recognizing Complex Patterns." U.S. Patent 3,069,654.
- Hu, M.K. [1962]. "Visual Pattern Recognition by Moment Invariants." IRE Trans. Info. Theory, vol. IT-8, pp. 179-187.
- Huang, T.S. [1965]. "PCM Picture Transmission." IEEE Spectrum, vol. 2, no. 12, pp. 57-63.
- Huang, T.S. [1966]. "Digital Picture Coding." Proc. Natl. Electron. Conf., pp. 793-797.
- Huang, T.S. [1968]. "Digital Computer Analysis of Linear Shift-Variant Systems." in Evaluation of Motion-Degraded Images, NASA Publ. SP-193, pp. 83-87.
- Huang, T.S., ed. [1975]. Picture Processing and Digital Filtering, Springer, New York.
- Huang, T.S., Yang, G.T., and Tang, G. Y. [1979]. "A Fast Two-Dimensional Median Filtering Algorithm." IEEE Trans. Acoust., Speech, Sig. Proc., vol. ASSP-27, pp. 13-18.
- Huang, Y. and Schultheiss, P.M. [1963]. "Block Quantization of Correlated Gaussian Random Variables." IEEE Trans. Commun. Syst., vol. CS-11, pp. 289-296.
- Huffman, D.A. [1952]. "A Method for the Construction of Minimum Redundancy Codes." *Proc. IRE*, vol. 40, no. 10, pp. 1098-1101.
- Hummel, R.A. [1974]. "Histogram Modification Techniques." Technical Report TR-329, F-44620-72C-0062, Computer Science Center, University of Maryland, College Park, Md.
- Hunt, B.R. [1971]. "A Matrix Theory Proof of the Discrete Convolution Theorem." IEEE Trans. Audio and Electroacoust., vol. AU-19, no. 4, pp. 285-288.
- Hunt, B.R. [1973]. "The Application of Constrained Least Squares Estimation to Image Restoration by Digital Computer." IEEE Trans. Comput., vol. C-22, no. 9, pp. 805-812.
- IEEE Trans. Circuits and Syst. [1975]. Special issue on digital filtering and image processing, vol. CAS-2, pp. 161-304.
- IEEE Trans. Computers [1972]. Special issue on two-dimensional signal processing, vol. C-21, no. 7.

- IEEE Trans. Commun. [1981]. Special issue on picture communication systems, vol. COM-29, no. 12.
- IES Lighting Handbook [1972]. Illuminating Engineering Society Press, New York.
- Jain, A.K. [1975]. "A Fast Karhunen-Loève Transform for a Class of Random Processes." IEEE Trans. Commun., vol. COM-24, pp. 1023-1029.
- Jain, A.K. [1981]. "Image Data Compression: A Review." Proc. IEEE, vol. 69, pp. 349-389.
  Jain, A.K. and Angel, E. [1974]. "Image Restoration, Modeling, and Reduction of Dimensionality." IEEE Trans. Computers, vol. C-23, pp. 470-476.
- Jain, R. [1981]. "Dynamic Scene Analysis Using Pixel-Based Processes." Computer, vol. 14, no. 8, pp. 12-18.
- Jain, R. [1983]. "Segmentation of Frame Sequences Obtained by a Moving Observer." Report GMR-4247, General Motors Research Laboratories, Warren, Mich.
- Kahaner, D.K. [1970]. "Matrix Description of the Fast Fourier Transform." *IEEE Trans. Audio Electroacoustics*, vol. AU-18, no. 4, pp. 442-450.
- Karhunen, K. [1947]. "Über Lineare Methoden in der Wahrscheinlichkeitsrechnung." Ann. Acad. Sci. Fennicae, Ser. A137. (Translated by I. Selin in "On Linear Methods in Probability Theory." T-131, 1960, The RAND Corp., Santa Monica, Calif.)
- Ketcham, D.J. [1976]. "Real-Time Image Enhancement Techniques." Proc. Soc. Photo-Optical Instrum. Eng. vol. 74, pp. 120-125.
- Kimme, C., Ballard, D.H., and Sklansky, J. [1975]. "Finding Circles by an Array of Accumulators." Comm. ACM, vol. 18, no. 2, pp. 120-122.
- Kirsch, R. [1971]. "Computer Determination of the Constituent Structure of Biological Images." Comput. Biomed. Res., vol. 4, pp. 315-328.
- Kiver, M.S. [1955]. Color Television Fundamentals, McGraw-Hill, New York.
- Klinger, A. [1972]. "Patterns and Search Statistics." In Optimizing Methods in Statistics, Rustagi, J.S., ed., Academic Press, New York, pp. 303-339.
- Klinger, A. [1976]. "Experiments in Picture Representation Using Regular Decomposition." Comput. Graphics Image Proc., vol. 5, pp. 68-105.
- Kodak Plates and Films for Scientific Photography [1973]. Publication no. P-315, Eastman Kodak Co., Rochester, N.Y.
- Kohler, R.J. and Howell, H.K. [1963]. "Photographic Image Enhancement by Superposition of Multiple Images." Photogr. Sci. Eng., vol. 7, no. 4, pp. 241-245.
- Koschman, A. [1954]. "On the Filtering of Nonstationary Time Series." Proc. 1954 Natl. Electron. Conf., p. 126.
- Kramer, H.P. and Mathews, M.V. [1956]. "A Linear Coding for Transmitting a Set of Correlated Variables." *IRE Trans. Info. Theory*, vol. IT-2, pp. 41-46.
- Kovasznay, L.S.G. and Joseph, H.M. [1953]. "Processing of Two-Dimensional Patterns by Scanning Techniques." Science, vol. 118, pp. 475–477.
- Kovasznay, L.S.G. and Joseph, H.M. [1955]. "Image Processing." Proc. IRE, vol. 43, pp. 560-570.
- Kushnir, M., Abe, K., and Matsumoto, K. [1985]. "Recognition of Handprinted Hebrew Characters Using Features Selected in the Hough Transform Space." Pattern Recog., vol. 18, no. 2, pp. 103-114.
- Lawley, D.N. and Maxwell, A.E. [1963]. Factor Analysis as a Statistical Method, Butterworth, London.
- Ledley, R.S. [1964]. "High-Speed Automatic Analysis of Biomedical Pictures." Science, vol. 146, no. 3461, pp. 216-223.
- Ledley, R.S., et al. [1965]. "FIDAC: Film Input to Digital Automatic Computer and Associated Syntax-Directed Pattern Recognition Programming System." In Optical and Electro-Optical Information Processing Systems, Tippet, J., Beckowitz, D., Clapp, L., Koester, C., and Vander-burgh, A., Jr., eds., MIT Press, Cambridge, Mass., Chapter 33.

- Lee, C.C. [1983]. "Elimination of Redundant Operations for a Fast Sobel Operator." IEEE Trans. Syst. Man Cybern., vol. SMC-13, no. 3, pp. 242-245.
- Legault, R.R. [1973]. "The Aliasing Problems in Two-Dimensional Sampled Imagery." In Perception of Displayed Information, Biberman, L.M., ed., Plenum Press, New York.
- Lipkin, B.S. and Rosenfeld, A., eds. [1970]. Picture Processing and Psychopictorics, Academic Press, New York.
- Loève, M. [1948]. "Fonctions Aléatoires de Second Ordre." in P. Lévy, Processus Stochastiques et Mouvement Brownien, Hermann, Paris, France.
- Lohman, A.W. and Paris, D.P. [1965]. "Space-Variant Image Formation." J. Opt. Soc. Am., vol. 55, pp. 1007-1013.
- Lu, H.E. and Wang, P.S.P. [1986]. "A Comment on 'A Fast Parallel Algorithm for Thinning Digital Patterns." Comm. ACM, vol. 29, no. 3, pp. 239-242.
- Lu, S.Y. and Fu, K.S. [1978]. "A Syntactic Approach to Texture Analysis." Comput. Graph. Image Proc., vol. 7, no. 3, pp. 303-330.
- MacAdam, D.P. [1970]. "Digital Image Restoration by Constrained Deconvolution." J. Opt. Soc. Am., vol. 60, pp. 1617-1627.
- Mark, D.M. and Abel, D.J. [1985]. "Linear Quadtrees from Vector Representations of Polygons." IEEE Trans. Pattern Anal. Machine Intell., vol. PAMI-7, no. 3, pp. 344-349.
- Marr, D. [1982]. Vision, Freeman, San Francisco, Calif.
- Martelli, A. [1972]. "Edge Detection Using Heuristic Search Methods." Comput. Graphics Image Proc., vol. 1, pp. 169-182.
- Martelli, A. [1976]. "An Application of Heuristic Search Methods to Edge and Contour Detection." Comm. ACM, vol. 19, no. 2, pp. 73-83.
- Max, J. [1960]. "Quantizing for Minimum Distortion." IRE Trans. Info. Theory, vol. 1T-6, pp. 7-12.
- McFarlane, M.D. [1972]. "Digital Pictures Fifty Years Ago." Proc. IEEE, vol. 60, no. 7, pp. 768-770.
- McGlamery, B.L. [1967]. "Restoration of Turbulence-Degraded Images." J. Opt. Soc. Am., vol. 57, no. 3, pp. 293-297.
- Mees, C.E.K. and James, T.H. [1966]. The Theory of the Photographic Process, Macmillan, New York.
- Merlin, P.M. and Farber, D.J. [1975]. "A Parallel Mechanism for Detecting Curves in Pictures." *IEEE Trans. Comput.*, vol. C-24, no. 1, pp. 96-98.
- Meyer, E.R. and Gonzalez, R.C. [1983]. "Spatial Techniques for Digital Image Enhancement and Restoration." Proc. First South Afr. Symp. Digital Image Proc., Univ. of Natal, Durban, South Africa, pp. 137-182.
- Meyer, H., Rosdolsky, H.G., and Huang, T.S. [1973]. "Optimum Run Length Codes." *IEEE Trans. Comm.*, vol. COM-22, no. 6, pp. 826-835.
- Moon, P. [1961]. The Scientific Basis of Illuminating Engineering, Dover, New York.
- Mueller, P.F. and Reynolds, G.O. [1967]. "Image Restoration by Removal of Random Media Degradations." J. Opt. Soc. Am., vol. 57, pp. 1338-1344.
- Muerle, J.L. and Allen, D.C. [1968]. "Experimental Evaluation of Techniques for Automatic Segmentation of Objects in a Complex Scene," In Pictorial Pattern Recognition, (G.C. Cheng et al., eds.), Thompson Book Co., Washington, D.C.
- Nahim, P.J. [1974]. "The Theory of Measurement of a Silhouette Description for Image Processing and Recognition." Pattern Recog., vol. 6, no. 2, pp. 85–95.
- Narasimhan, R. and Fornango, J.P. [1963]. "Some Further Experiments in the Parallel Processing of Pictures." IEEE Trans. Elec. Computers, vol. EC-12, pp. 748-750.
- Narendra, P.M. and Fitch, R.C. [1981]. "Real-Time Adaptive Contrast Enhancement." IEEE Trans. Pattern Anal. Mach. Intell., vol. PAMI-3, no. 6, pp. 655-661.
- Nelson, C.N. [1971]. "Prediction of Densities in Fine Detail in Photographic Images." Photogr. Sci. Eng., vol. 15, pp. 82-97.

- Netravali, A.N. and Limb, J.O. [1980]. "Picture Coding: A Review." Proc. IEEE, vol. 68, no. 7, pp. 366-406.
- Nilsson, N.J. [1971]. Problem Solving Methods in Artificial Intelligence, McGraw-Hill, New York.
- Nilsson, N.J. [1980]. Principles of Artificial Intelligence, Tioga Pub., Palo Alto, Calif.
- Noble, B. [1969]. Applied Linear Algebra, Prentice-Hall, Englewood Cliffs, N.J.
- O'Gorman, F. and Clowes, M.B. [1976]. "Finding Picture Edges Through Collinearity of Feature Points." *IEEE Trans. Comput.*, vol. C-25, no. 4, pp. 449-454.
- O'Handley, D.A. and Green, W.B. [1972]. "Recent Developments in Digital Image Processing at the Image Processing Laboratory of the Jet Propulsion Laboratory." *Proc. IEEE*, vol. 60, no. 7, pp. 821–828.
- Ohlander, R.B. [1975]. "Analysis of Natural Scenes." Ph.D. dissertation, Dept. of Computer Science, Carnegie-Mellon Univ., Pittsburgh, Penn.
- O'Neill, E.L. [1956]. "Spatial Filtering in Optics." IRE Trans. Info. Theory, vol. 1T-2, no. 2, pp. 56-65.
- Oppenheim, A.V., Schafer, R.W., and Stockham, T.G., Jr. [1968]. "Nonlinear Filtering of Multiplied and Convolved Signals." *Proc. IEEE*, vol. 56, no. 8, pp. 1264–1291.
- Oppenheim, A.V. and Schafer, R.W. [1975]. Digital Signal Processing, Prentice-Hall, Englewood Cliffs, N.J.
- Panter, P.F. and Dite, W. [1951]. "Quantization Distortion in Pulse Code Modulation with Nonuniform Spacing of Levels." Proc. IRE, vol. 39, pp. 44–48.
- Papoulis, A. [1962]. The Fourier Integral and Its Applications, McGraw-Hill, New York.
- Papoulis, A. [1965]. Probability, Random Variables, and Stochastic Processes, McGraw-Hill, New York.
- Papoulis, A. [1968]. Systems and Transforms with Applications in Optics, McGraw-Hill, New York.
- Pattern Recognition [1970]. Special issue on pattern recognition in photogrammetry, vol. 2, no. 4.
- Pavlidis, T. [1972]. "Segmentation of Pictures and Maps Through Functional Approximation." Comp. Graph. Image Proc., vol. 1, pp. 360-372.
- Pavlidis, T. [1977]. Structural Pattern Recognition, Springer-Verlag, New York.
- Pearson, D.E. [1975]. Transmission and Display of Pictorial Information, Wiley (Halsted Press), New York
- Perrin, F.H. [1960]. "Methods of Appraising Photographic Systems." J. SMPTE, vol. 49, pp. 151-156 and 239-249.
- Persoon, E. and Fu, K.S. [1977]. "Shape Discrimination Using Fourier Descriptors." *IEEE Trans. Systems Man Cyb.*, vol. SMC-7, no. 2, pp. 170-179.
- Phillips, D.L. [1962]. "A Technique for the Numerical Solution of Certain Integral Equations of the First Kind." J. Assoc. Comp. Mach., vol. 9, pp. 84-97.
- Pratt, W.K. [1971]. "Spatial Transform Coding of Color Images." *IEEE Trans. Comm. Tech.*, vol. COM-19, no. 6, pp. 980-991.
- Pratt, W.K. [1974]. "Correlation Techniques of Image Registration." IEEE Trans. Aerospace and Elec. Syst., vol. AES-10, no. 3, pp. 353-358.
- Pratt, W.K. [1978]. Digital Image Processing, Wiley, New York.
- Prewitt, J.M.S. [1970]. "Object Enhancement and Extraction." in *Picture Processing and Psychopictorics*, Lipkin, B.S. and Rosenfeld, A., eds., Academic Press, New York.
- Price, K.E. [1976]. "Change Detection and Analysis in Multispectral Images." Dept. of Computer Science, Carnegie-Mellon Univ., Pittsburgh, Penn.
- Proc. IEEE [1967]. Special issue on redundancy reduction, vol. 55, no. 3.
- Proc. IEEE [1972]. Special issue on digital picture processing, vol. 60, no. 7.
- Proc. IEEE [1980]. Special issue on the encoding of graphics, vol. 68, no. 7.
- Proc. IEEE [1985]. Special issue on visual communication systems, vol. 73, no. 2.

- Proctor, C.W. and Wintz, P.A. [1971]. "Picture Bandwidth Reduction for Noisy Channels," TR-EE 71-30, School of Electrical Engineering, Purdue University, West Lafayette, Ind.
- Rajala, S.A., Riddle, A.N., and Snyder, W.E. [1983]. "Application of the One-Dimensional Fourier Transform for Tracking Moving Objects in Noisy Environments." Comput. Vis. Graph. Image Proc., vol. 21, pp. 280-293.
- Ramer, U. [1975]. "Extraction of Line Structures from Photographs of Curved Objects." Comput. Graphics Image Proc., vol. 4, pp. 81-103.
- Ready, P.J. and Wintz, P.A. [1973]. "Information Extraction, SNR Improvement, and Data Compression in Multispectral Imagery." *IEEE Trans. Comm.*, vol. COM-21, no. 10, pp. 1123–1131.
- Rino, C.L. [1969]. "Bandlimited Image Restoration by Linear Mean-Square Estimation." J. Opt. Soc. Am., vol. 59, pp. 547-553.
- Riseman, E.A. and Arbib, M.A. [1977]. "Computational Techniques in Visual Systems. Part II: Segmenting Static Scenes." IEEE Computer Society Repository, R77-87.
- Robbins, G.M. and Huang, T.S. [1972]. "Inverse Filtering for Linear Shift-Variant Imaging Systems." Proc. IEEE, vol. 60, pp. 862-872.
- Roberts, L.G. [1965], "Machine Perception of Three-Dimensional Solids." In Optical and Electro-Optical Information Processing, Tippet, J.T., ed., MIT Press, Cambridge, Mass.
- Robinson, G.S. [1976]. "Detection and Coding of Edges Using Directional Masks." University of Southern Cal., Image Processing Institute, Report no. 660.
- Rosenfeld, A. [1969]. Picture Processing by Computer, Academic Press, New York.
- Rosenfeld, A. [1972]. "Picture Processing." Comput. Graph. Image Proc., vol. 1, pp. 394-416.
- Rosenfeld, A. [1973]. "Progress in Picture Processing: 1969-71," Comput. Surv., vol. 5, pp. 81-108
- Rosenfeld, A. [1974]. "Picture Processing: 1973," Comput. Graph. Image Proc., vol. 3, pp. 178-194.
- Rosenfeld, A. et al. [1965]. "Automatic Cloud Interpretation," Photogrammetr. Eng., vol. 31, pp. 991-1002.
- Rosenfeld, A. and Kai:, A.C. [1982]. Digital Picture Processing, 2nd ed., Academic Press, New York.
- Roth, W. [1968]. "Full Color and Three-Dimensional Effects in Radiographic Displays." Investigative Radiol., vol. 3, pp. 56-60.
- Rudnick, P. [1966]. "Note on the Calculation of Fourier Series." Math. Comput., vol. 20, pp. 429-430.
- Runge, C. [1903]. Zeit. für Math. and Physik, vol. 48, p. 433.
- Runge, C. [1905]. Zeit. für Math. and Physik, vol. 53, p. 117.
- Runge, C. and König, H. [1924]. "Die Grundlehren der Mathematischen Wissenschaften." Vorlesungen tiber Numerisches Rechnen, vol. 11, Julius Springer, Berlin, Germany.
- Rushforth, C.K. and Harris, R.W. [1968]. "Restoration, Resolution, and Noise." J. Opt. Soc. Am., vol. 58, pp. 539-545.
- Sakrison, D.J. and Algazi, V.R. [1971]. "Comparison of Line-by-Line and Two-Dimensional Encoding of Random Images." *IEEE Trans. Info. Theory*, vol. IT-17, no. 4, pp. 386-398.
- Salari, E. and Siy, P. [1984]. "The Ridge-Seeking Method for Obtaining the Skeleton of Digital Images." IEEE Trans. Syst. Man Cyb., vol. SMC-14, no. 3, pp. 524-528.
- Sawchuk, A.A. [1972]. "Space-Variant Image Motion Degradation and Restoration." Proc. IEEE, vol. 60, pp. 854–861.
- Schreiber, W.F. [1956]. "The Measurement of Third Order Probability Distributions of Television Signals." IRE Trans. Info. Theory, vol. IT-2, pp. 94-105.
- Schreiber, W.F. [1967]. "Picture Coding." Proc. IEEE, (Special issue on Redundancy Reduction), vol. 55, pp. 320-330.
- Schutten, R.W. and Vermeij, G.F. [1980]. "The Approximation of Image Blur Restoration Filters

- by Finite Impulse Responses." IEEE Trans. Pattern Anal. Mach. Intell., vol. PAMI-2, no. 2, pp. 176-180.
- Schwartz, J. W. and Barker, R.C. [1966], "Bit-Plane Encoding: A Technique for Source Encoding." IEEE Trans. Aerosp. Elec. Systems, vol. AES-2, no. 4, pp. 385-392.
- Schwarz, R.E. and Friedland, B. [1965]. Linear Systems, McGraw-Hill, New York.
- Scoville, F.W. [1965]. "The Subjective Effect of Brightness and Spatial Quantization." Q. Rep., no. 78, MIT Research Laboratory of Electronics.
- Seidman, J. [1972]. "Some Practical Applications of Digital Filtering in Image Processing." Proc. Conf. Comput. Image Proc. Recog., University of Missouri, Columbia, vol. 2, pp. 9-1-1 through 9-1-16.
- Selin, I. [1965]. Detection Theory. Princeton University Press, Princeton, N.J.
- Shack, R.V. [1964]. "The Influence of Image Motion and Shutter Operation on the Photographic Transfer Function." Appl. Opt., vol. 3, pp. 1171-1181.
  Shamos, M.I. [1978]. "Computational Geometry." Ph.D. Thesis, Yale University, New Haven,
- Shanks, J.L. [1969]. "Computation of the Fast Walsh-Fourier Transform." IEEE Trans. Comput., vol. C-18, no. 5, pp. 457-459.
- Shaw, A.C. [1970]. "Parsing of Graph-Representable Pictures." J. ACM, vol. 17, no. 3, pp.
- Sheppard, J.J., Jr. [1968]. Human Color Perception, Elsevier. New York.
- Sheppard, J.J., Jr., Stratton, R.H., and Gazley, C., Jr. [1969]. "Pseudocolor as a Means of Image Enhancement." Am. J. Optom. Arch. Am. Acad. Optom., vol. 46, pp. 735-754.
- Sklansky, J., Chazin, R.L., and Hansen, B.J. [1972]. "Minimum-Perimeter Polygons of Digitized Silhouettes." IEEE Trans. Comput., vol. C-21, no. 3, pp. 260-268.
- Slepian, D. [1967a]. "Linear Least-Squares Filtering of Distorted Images." J. Opt. Soc. Am., vol. 57, pp. 918-922.
- Slepian, D. [1967b]. "Restoration of Photographs Blurred by Image Motion." BSTJ, vol. 46, pp. 2353-2362.
- Slepian, D. and Pollak, H.O. [1961], "Prolate Spheroidal Wave Functions, Fourier Analysis,
- and Uncertainty-I." Bell Sys. Tech. J., vol. 40, pp. 43-64.
  Smith, S.L. [1963]. "Color Coding and Visual Separability in Information Displays." J. Appl. Psychol., vol. 47, pp. 358-364.
- Snider, H.L. [1973]. "Image Quality and Observer Performance." In Perception of Displayed Information, Biberman, L.M., ed., Plenum Press, New York.
- Som, S.C. [1971]. "Analysis of the Effect of Linear Smear." J. Opt. Soc. Am., vol. 61, pp. 859~864.
- Sondhi, M.M. [1972]. "Image Restoration: The Removal of Spatially Invariant Degradations." Proc. IEEE, vol. 60, no. 7, pp. 842-853.
- Stevens, S.S. [1951]. Handbook of Experimental Psychology, Wiley, New York.
- Stockham, T.G., Jr. [1972]. "Image Processing in the Context of a Visual Model." Proc. IEEE, vol. 60, no. 7, pp. 828-842.
- Stumpff, K. [1939]. Tafeln und Aufgaben zur Harmonischen Analyse und Periodogrammrechnung, Julius Springer, Berlin, Germany.
- Szc, T.W. and Yang, Y.H. [1981]. "A Simple Contour Matching Algorithm." IEEE Trans. Pattern Anal. Mach. Intell., vol. PAMI-3, no. 6, pp. 676-678.
- Tusto, M. and Wintz, P.A. [1971]. "Image Coding by Adaptive Block Quantization." IEEE Trans. Comm. Tech., vol. COM-19, pp. 957-972.
- Tasto, M. and Wintz, P.A. [1972]. "A Bound on the Rate-Distortion Function and Application to Images." IEEE Trans. Info. Theory, vol. IT-18, pp. 150-159.
- Thomas, J.B. [1969]. Statistical Communication Theory, Wiley, New York.
- Thomas, L.H. [1963]. "Using a Computer to Solve Problems in Physics." Application of Digital Computers, Ginn, Boston, Mass.

- Thomason, M.G. and Gonzalez, R.C. [1975]. "Syntactic Recognition of Imperfectly Specified Patterns." *IEEE Trans. Comput.*, vol. C-24, no. 1, pp. 93-96.
- Thompson, W.B. and Barnard, S.T. [1981]. "Lower-Level Estimation and Interpretation of Visual Motion." Computer, vol. 14, no. 8, pp. 20-28.
- Titchmarsh, E.C. [1948]. Introduction to the Theory of Fourier Integrals, Oxford Univ. Press, New York.
- Tomita, F., Shirai, Y., and Tsuji, S. [1982]. "Description of Texture by a Structural Analysis." *IEEE Trans. Pattern Anal. Mach. Intell.*, vol. PAMI-4, no. 2, pp. 183-191.
- Toriwaki, J.I., Kato, N., and Fukumura, T. [1979]. "Parallel Local Operations for a New Distance Transformation of a Line Pattern and Their Applications." *IEEE Trans. System, Man, Cyb.*, vol. SMC-9, no. 10, pp. 628-643.
- Tou, J.T. and Gonzalez, R.C. [1974]. Pattern Recognition Principles, Addison-Wesley, Reading, Mass.
- Toussaint, G.T. [1982]. "Computational Geometric Problems in Pattern Recognition." In *Pattern Recognition Theory and Applications*, Kittler, J., Fu, K.S., and Pau, L.F., eds., Reidel, New York, pp. 73-91.
- Twomey, S. [1963], "On the Numerical Solution of Fredholm Integral Equations of the First Kind by the Inversion of the Linear System Produced by Quadrature." J. Assoc. Comput. Mach., vol. 10, pp. 97-101.
- VanderBrug, G.J. and Rosenfeld, A. [1977]. "Two-Stage Template Matchings." IEEE Trans. Comput., vol. C-26, no. 4, pp. 384-394.
- Van Valkenburg, M.E. [1955]. Network Analysis, Prentice-Hall, Englewood Cliffs, N.J.
- Walsh, J.W.T. [1958]. Photometry, Dover, New York.
- Walsh, J.L. [1923]. "A Closed Set of Normal Orthogonal Functions." Am. J. Math., vol. 45, no. 1, pp. 5-24,
- Webb, J.A. and Aggarwal, J.K. [1981]. "Visually Interpreting the Motion of Objects in Space." Computer, vol. 14, no. 8, pp. 40-49.
- Wechsler, W, and Sklansky, J. [1977]. "Automatic Detection of Ribs in Chest Radiographs." Pattern Recog., vol. 9, no. 1, pp. 21-28.
- Weinberg, L. [1962]. Network Analysis and Synthesis, McGraw-Hill, New York.
- Weska, J.S. [1978]. "A Survey of Theshold Selection Techniques." Comput. Graphics Image Proc., vol. 7, pp. 259-265.
- Whelchel, J.E., Jr. and Guinn, D.F. [1968]. "The Fast Fourier-Hadamard Transform and its Use in Signal Representation and Classification." Eastern 1968 Convention Record, pp. 561-573.
- White, J.M. and Rohrer, G.D. [1983]. "Image Thresholding for Optical Character Recognition and Other Applications Requiring Character Image Extraction." IBM J. Res. Devel., vol. 27, no. 4, pp. 400-411.
- Wilkins, L.C. and Wintz, P.A. [1970]. "Studies on Data Compression, Part I: Picture Coding by Contours, Part II: Error Analysis of Run-Length Codes." TR-EE 70-17, School of Electrical Engineering, Purdue University, Lafayette, Ind.
- Williamson, J. [1944]. "Hadamard's Determinant Theorem and the Sum of Four Squares." Duke Math. J., vol. 11, pp. 65-81.
- Wintz, P.A. [1972]. "Transform Picture Coding." Proc. IEEE, vol. 60, no. 7, pp. 809-820.
- Wolfe, G.J. and Mannos, J.L. [1979]. "Fast Median Filter Implementation." Proc. Soc. Photo-Optical Inst. Eng., vol. 207, pp. 154-160.
- Wong, R.Y. and Hall, E.L. [1978]. "Scene Matching with Invariant Moments." Comput. Graph. Image Proc., vol. 8, pp. 16-24.
- Wood, R.C. [1969]. "On Optimum Quantization." IEEE Trans. Info. Theory, vol. IT-15, pp. 248-252.
- Woods, R.E. and Gonzalez, R.C. [1981]. "Real-Time Digital Image Enhancement." Proc. IEEE, vol. 69, no. 5, pp. 643-654.

- Yachida, M. [1983]. "Determining Velocity Maps by Spatio-Temporal Neighborhoods from Image
- Sequences." Comput. Vis. Graph. Image Proc., vol. 21, no. 2, pp. 262-279.
  Yates, F. [1937]. "The Design and Analysis of Factorial Experiments." Commonwealth Agricultural Bureaux, Farnam Royal, Burks, England.
- Zahn, C.T. and Roskies, R.Z. [1972]. "Fourier Descriptors for Plane Closed Curves." IEEE
- Trans. Comput., vol. C-21, no. 3, pp. 269-281.

  Zhang, T.Y. and Suen, C.Y. [1984]. "A Fast Parallel Algorithm for Thinning Digital Patterns."

  Comm. ACM, vol. 27, no. 3, pp. 236-239.

  Zucker, S.W. [1976]. "Region Growing: Childhood and Adolescence." Comput. Graphics Image
- Proc., vol. 5, pp. 382-399.

# المصطلحات باللغة العربية

# مرتبة أبجدياً بعد حذف « الـ » التعريف

- Ī -

Direction	اتجاه
Connectivity	اتصالية
Boundary segments	أجزاء حدود
Global	إجمالي
Display divices	أجهزة اظهار
Monochrome	أحادي اللون
One dimensional	أحاديالبعد
Probability	احتمال
Probability of error	احتمال الخطأ
Coordinates	إحداثيات
World coordinates	إحداثيات العالم
Statistical	إحصائي
Perception	إدراك، فهم
Minimum	أدنى
Relational	إرتباطي
Fnumbers	أرقام
Pan	إزاحة أفقية
Blur removal	إزالة التغبيش
Color fundamentals	أساسيات الألوان

استبانة Resolving استخلاص الخواص Feature extraction استعادة Restoration إستعادة بالتربيعات الصغرى المقيدة Constrained least squares restoration إستعادة مقيدة Constrained restoration استكمال Interpolation استكمال ثنائي الخطية Bilinear interpolation استكمال ذو طي مكعبي Cubic convolution interpolation استكمال من المرتبة صفر Zero order interpolation إسقاط صور متحركة Cartographic projection اصطلاح المحاور Axis convention Frame إظهار Display اعتيان Sampling آلة، حاسوب Machine ألوان أولية Color primaries ألوان ثانوية Color secondaries ألوان ثانوية Secondary colors ألياسينغ (تزييف) Aliasing Tilt أمثل **Optimal** إنارة Illumination إنتاج **Production** إنتروبيا Entropy إنحراف معياري

Standard deviation

ReflectanceإنعكاسيةDiscontinuityإنقطاعRingingإهتزاز متخامد/رنينMedianأوسطEuclideanأوكليديPrimaryأولي

## -- ب

 Byte
 بایت (ثانیة بتات)

 Bit
 بت، بتة

 Primitive
 بدائي

 Optical
 بسري، ضوئي

 Structure
 بنیوي

 Structural
 بیوی

 Interval
 بیون

#### – ټ –

Emphasisعاً کید، تشدیدContrastتباینSequencyعتابعExtended sequenceتتابع ممددHomogeneityبجانسAdjacencyمجاور

Segmentation Cosine Graininess distribution Enhancement تحسين بالألوان Color enhancement تحميل زائد للميل Slope overload Transform تحويل التجيب المتقطع Discrete cosine transform تحويل فورييه السريع Fast Fourier transform تحويل هادامارد Hadamard transform تحويل هادامارد-والش Walsh - Hadamard transform تحويل هاف Hugh transform تحويل هوتيللينغ Hotelling transform تحويل والش Walsh transform تحويل، نقل Transfer تحويلات الألوان Color transformation تحويلات هندسية Geometric transformations Storage تداخل Interference Gradient تدرج روبرت Robert's Gradients تدني (في النوعية) Degredation Correlation ترا بط متبادل

Cross correlation

Superposition تربيعاتصغرى Least squares Ranking Frequency تردد القطع Cutt - off frequency ترشيح أوسطي Median filtering Texture ترکیب بنیوي ، طوبولوجی **Topological** Coding Encoding ترميز ترميز آني Instantaneous code ترميز الازاحة Shift code ترميز الكفافات Contour encoding ترميز المصدر Source encoding ترميز تفاضلي Differential encoding ترميز تنبؤي Predictive code ترميز ثنائي منعكس Reflective binary code ترميز خال من الخطأ Error free encoding ترميز غري Gray code ترميز قابل للعكس Reversible encoding ترميز قابل للكشف بشكل فريد Uniquely decodable code ترميز متساوي الطول Equal length code ترميز مكثف Compact code Differential pulse code ترميز نبضى تفاضلي Huffman code ترميز هافمان

Hybrid encoding ترميز هجين ترمیز، نظام ترمیز Code Zooming تسجيل Recording تسجيل Registration Equalization Similarity تشبع تشبع الألوان تشكل تشكيل Saturation Color saturation **Formation** Formulation تشكيل Modulation تشكيل نبضي تفاضلي مرمز Differential pulse code modulation تشوه الاظهار Display distortion Stereo imaging Photographic Thresholding Modification تعرف على الأنماط Pattern recognition تعريض الفيلم Film exposure تغليف Wrapping Wraparound تغيير المقياس ، تقييس Scaling تفاضلي تفاعلي Differential Interactive

نفاوت Variance تفاوت-متبادل Covariance تقريب بالتضليع Polygonal approximation Curvature تقييس سلسلة الرموز Chain code normallization Integral تكامل فريدهولم Fredholm integral Compactness تكمية Quantization تكيف مع اللمعان Brightness adaptation تلفزيون Television تلفزيون ملون Color television تمثيل Representation تمديد Stretching غرير منخفض Lowpass تمييز اللمعان Brightness discrimination تناظر المترافق Conjugate symmetry Prediction تنحيف **Thinning Smoothing** تنعيم الحدود Boundary smoothing Distributivity Averaging توسيع، تنمية Growing Siganture

Minor	ثانوي
Secondary	ثان <i>وي</i>
Hole	ثقب
Trichromatic	ثلاثي الألوان

- ج -

Neighbor	جار
Algabraic	جبري
Device	جهاز
Neighborhood	جوار
Sinusoidal	جيبي

– ح –

ComputerحاسوبEdgeحافة، ضلعTristimulusحافظ للمعلوماتInformation preservingحافظ للمعلوماتGranularحبيبيSizeمحجمPupilحدقةCooccurrenceحدوث-متزامن

 Boundary
 حدود

 Motion
 حرکة

 Scroll
 عدرکة شاقولية

 Sensitivity
 حساسية

 Fovea
 عيزي افراغي

 Spatial
 Spatial

- خ -

Property خاصة

Feature خاصة

Line خط خط خط البت Bit – error

خطأ البت خطأ التغليف خطأ التغليف Linear

خطر علي خطر خوارزمية

- د -

الله التوزيع التراكمي Comulative distribution function
الله التوزيع التراكمي التراكمي التراكمي Transfer function
الله تحويل Slope density function
الله شدة الميل Probability density function
الله كثافة الاحتال Band limited function

Distance function دالة مسافة دالة معتانة Sampled function دالة منشور النقطة Point spread function دلتا Delta Merging دج دمج الحدود Boundary merging دور Role دوران Rotation Periodic Periodicity ديناميكي/دينامي/تحريكي **Dynamic** 

- J -

رؤية الفوتوبيك (الليلية) Photopic vision Major Principal ربط الحواف Edge linking رسم بياني Graph رقم أولر Euler number رقم الايقاف Stop number رقم الشكل Shape number Digitization **Digital** رمادي Gray

Angle	زاوية
Sharpening	زيادة حدة التفاصيل

#### -- س --

Speed	سرعة
Concatination	سَلْسَلَةٌ
Chain code	سلسلة رموز
ASA Scale	سلم ASA
DIN scale	سلم الـ DIN
Gray scale	سلم رمادي
Brightness level	سوية اللمعان

## - ش -

Reseau	شبكة
Grid	شبكة
Retina	شبكية
Tree	شجرة
Quadtree	شجرة رباعية
Spletting	شطر
Boundary spletting	شطر الحدود
Shape	شکل

#### - ص -

String	صف رموز
Sclera	صلبة
Image	صورة
Picture	صورة
Difference image	صورة الفرق
Dynamic image	صورة ديناميكية (حركية)
Digital image	صورة رقمية
Cardioangiogram	صورة شعاعية قلبية
Euler formula	صيغة أولر

#### – ض –

Setting	ضبط
Noie	ضجيج
Coherent noise	ضجيج متماسك
White light	ضوء أبيض

### **- ط** -

Approach	طريقة
Phase	طور
Runlength	طول الاستمرار
Contour length	طول الكفاف

 Focal length
 طول محرقي (بؤري)

 Convolution
 طيف

 Spectrum
 طيف الألوان

 Color spectrum
 طيف الألوان

 Spectral
 طيف الألوان

– ع –

عامل لابلاس المؤثر Laplacian عامل مؤثر Operator عامل مؤثر ثابت بالنسبة للموضع Position invariant operator عامٰل مؤثر خطي عامل مؤثر موضعي Linear operator Positional operator عاملي صوبل المؤثرين Sobel operators Lens عديم انزياح الطور Zero phase shift Moment عصيات Rods عكس البت Bit reversal عكسي Inverse علاقة Relationship علامات الشبكة Reseau marks Depth عمق عمليات حسابية Arithmetic operations عنصر حافة Edge pixel

Pel عنصر صورة عنصر صورة Pixel عنصر صورة عنصر صورة Picture element عنصر صورة Resolution element عنصر ميز Eye ين بشرية عين بشرية عن بشرية بشرية عن بشرية بشرية عن بشرية بشري

# - غ -

 Gamma
 غاما

 Diaphram
 غشاء

 Gausian
 غوصي

 Uncorrelated
 غير متزابط

 Invariant
 غير متغر، ثابت

 Unconstrained
 غير مقيد

 Nonuniform
 غير منتظم

## - ف -

Differenceفرقفرق تراكميAccomulative differenceDifferencesفروقChain code differenceفروق سلسلة الرموزVidiconفيديكونFilmفيلم

Separable	قابل للفصل
Separability	قابلية الفصل
Rule	قاعدة
Rewriting rule	قاعدة إعادة كتابة
Power	قوة/طاقة
Disk	قرص
Cornea	قرنية
Hull	قشرة ، غلاف
Polar	قطبي
Diameter	قطر
Grammar	قواعد
Tree grammar	قواعد الشجرة
Chromosome grammar	قواعد الكروموسوم
Webb Grammar	قواعد ويب
Size	قياس
Distance measure	قياس مسافة
Value	قيمة
Eigenvalue	قيمة مميزة
Average value	قيمة وسطى
	- <u>4</u>
Camera	كاميرا
Density	كثافة

Discontinuity detection	كشف الانقطاع
Boundary detection	كشف الحدود
Edge detection	كشف الحواف
Combined detection	کشف مرکب
Contour	كفاف
Norm	كمية لااتجاهية

# - J -

Eccentricity	لامركزية
Picture description language	لغة وصف الصورة
Brightness	لمعان
Rubber sheet	لوحة مطاطية
Logarithm	لوغاريتم
Color	لون
Pseudo colo	لون زائف
Hue	لون صاف(النقبة)
False Color	لون مزیف
Chromaticity	لونية

## - م -

Flying spot scanner	ماسح النقطة الطائرة
Homogeneous	متجانس
Eigenvector	متجه مميز

ەتىجە وسطى متري Mean vector **Metric** متعدد السويات Multilevel متعدد المتحولات Multivariable متقطع Discrete متوسط Mean متوسط Medial متوسط اللمعان Average brightness Domain مجال ترددي Frequency domain مجموعة Set محاور قطبية Polar coordinates محدب Convex محرقي، بؤري Focal محساس المساحة Area sensor محساس مسح الخط Line scan sensor محور رئيس Principal axis محور متوسط Medial axis محيط Perimeter · مخاريط Cones مخطط اللونية Chromaticity diagram مدی دینامیکي مرئي مرئي مرجع Dynamic range Visible Visual

Reference

Filter مرشاح عديم انزياح الطور Zero phase sheft filter مرشاح فينز Wiener filter مرشاح الفجوة الضيقة Notch filter مرشاح بتروورث Betterworth filter مرشاح بتروورث Betterworth filter مرشاح تمرير مرتفع Highpass filter مرشاح تمرير منخفض Lowpass filter مرشاح تمرير نطاق Bandpass filter مرشاح حيزي Spatial filter مرشاح رفض نطاق Bandreject filter مرشاح عكسي Inverse filter

مرشاح مثالي Ideal filter مرشاح هومومورفي Homomorphic filter مرقمن Digitizer Combined مركبة رئيسة Principal component مركبة متصلة Connected component مرکزی Central Decoder مرمز False مسافة أوكليدية Euclidean distance مسافة رقعة الشطرنج Chess board distance مسافة ساحة المدينة City block distance

مستطيل أساسي Basic rectangle Scene Choroid مصفوفة/صفيف Matrix Array مصفوفة التفاوت-المتبادل Covariance matrix مصفوفة الحدوث المتزامن Cooccurrence matrix مصفوفة الكتل الدوارة Block circulant matrix مصفوفة دوارة Circulant matrix مطابقة Matching مطابقة الحدود **Boundary matching** مطابقة النافذة Template matching مطاط Rubber مطال/اتساع معامل Amplitude Coefficient معايرة الكاميرا Camera calibration معدل الإطار Framerate مَا أَهُ أَهُ Parameter معلومات العمق Depth information معيار أمانة Fidelity criteria مغلاق Shutter مفاضلة Differentiation مقدار Magnitude Concave

Microdensitometer

مقياس الكثافة الدقيق

Constrained مكمي Quantizer ممدد Extended ممر/مسلك Path مر الكلفة - الدنيا Minimum cost pass منطقة Region منطقة، مساحة Area منطقي Logical منظوري Perspective مواصفات، توصيف Specification Oriented موجه عن بعد Remotely piloted مورفولوجي Morphological رورو پ موضع موضعي موقع ضوئي **Position** Local **Photosite** Resolution Slope

- ن -

 Window
 نافذة (قناع)

 Mask
 الفذة (قناع)

 Template
 الفذة (قناع)

 Mask
 الفذة (قناع)

نبضة Signal to noise ratio الشارة الى الضجيج

نسبة ويبر Weber ratio نطاق – ماخ Mach band نظام إحداثيات الكاميرا Camera coordinate system نظام ترميز B B Code نظام خطى Linear system نظرية Theorm نقاط ربط Tie points نقبة Hue نقص Deficiency نقطة **Point** نقطة كفاف Contour point نقطة نهاية End point نقل Mapping نقل Translation نقل – تحويل Transfer نقل الفرق Difference mapping نقل، رسم Mapping

نموذج ترميز

نواة

نموذج كاميرا

Pattern

Kernel

Encoding model

Camera model

Geometric	هندسي
Homomorphic	هندسي هومومور <b>ف</b>
Histogram	هيستوغرام هيستوغرام ثنائي النمط
Bimodal histogram	
Skeleton	هيكل هيكلة
Skeletonization	هيكلة
	<i>- و -</i>
Descriptor	واصف
Boundary descriptors	واصف واصفات الحدود وصف
Description	وصف
	– ي –
	•
Blur	یغبش ینقل
Мар	ينقل

# المصطلحات باللغة الانكليزية مرتبة أبجدياً

# - A -

Accomulative difference	فرق تراكمي
Adjacency	تجاور
Algabraic	جبري
Algorithm	خوارزمية
Aliasing	ألياسينغ (تزييف)
Amplitude	مطال/اتساع
Angle	زاوية
Approach	طريقة
Area	منطقة / مساحة
Area sensor	محساس المساحة
Arithmetic operations	عمليات حسابية
Array	مصفوفة  صفيف
ASA Scale	سلم ASA
Average brightness	متوسط اللمعان
Average value	قيمة وسطى/متوسطة
Averaging	توسيط
Axis convention	اصطلاح المحاور

نظام ترميز B **B** Code دالة محدودة النطاق Band limite function مرشاح تمرير نطاق Bandpass filter مرشاح رفض نطاق Bandreject filter مستطيل أساسي Basic rectangle مرشاح بتروورث Betterworth filter استكمال ثنائي الخطية Bilinear interpolation هيستوغرام ثنائي النمط Bimodal histogram بت، بتة Bit عكس البت Bit reversal خطأ الىت Bit - error مصفوفة الكتل الدوارة Block circulant matrix يغبش Blur ازالة التغبيش Blur removal **Boundary** واصفات الحدود Boundary descriptors كشف الحدود Boundary detection مواءمة الحدود **Boundary matching** دمج الحدود Boundary merging أجزاء حدود **Boundary segments** تنعيم الحدود **Boundary** smoothing شطر الحدود **Boundary** spletting

Brightness علمان تكيف مع اللمعان تكيف مع اللمعان Brightness discrimination
Brightness level عبير اللمعان Buffer عدارىء Byte

#### - C -

Camera معايرة الكاميرا Camera calibration نظام احداثيات الكاميرا Camera coordinate system نموذج كاميرا Camera model صورة شعاعية قلبية Cardioangiogram اسقاط صور متحركة Cartographic projection مرکزی Central سلسلة رموز Chain code فروق سلسلة الرموز Chain code difference تقييس سلسلة الرموز Chain code normallization مسافة/بعد رقعة الشطرنج Chess board distance Choroid Chromaticity مخطط اللونية Chromaticity diagram قواعد الكروموسوم Chromosome grammar مصفوفة دوارة Circulant matrix

مسافة/بعد ساحة المدينة City block distance ترميز / نظام ترميز Code ترميز Coding معامل Coefficient ضجيج متاسك Coherent noise لون تحسين بالألوان Color Color enhancement أساسيات الألوان Color fundamentals ألوان أولية Color primaries تشبع الألوان Color saturation ألوان ثانوية Color secondaries طيف الألوان Color spectrum تلفزيون ملون Color television تحويلات الألوان Color transformation کشف مرکب Combined detection Combined ترميز مكثف Compact code Compactness Computer دالة التوزيع التراكمي Comulative distribution function Concatination Concave مخاريط Cones تناظر المترافق Conjugate symmetry

Connected component

مركبة متصلة

Connectivity اتصالية

Constrained مقيد

Constrained least استعادة بالتربيعات الصغرى المقيدة

squares restoration

Constrained restoration استعادة مقيدة

كفاف Contour

ترميز الكفافات Contour encoding

طول الكفاف Contour length

نقطة كفاف Contour point

Contrast تباين

Convex چحدب

Convolution

حدوث-متزامن Cooccurrence

مصفوفة الحدوث المتزامن Cooccurrence matrix

احداثيات Coordinates

قرنية Cornea

Correlation

Cosine

تفاوت-متبادل Covariance

مصفوفة التفاوت-المتبادل Covariance matrix

ترابط متبادل Cross correlation

استكمال ذو طي مكعبي Cubic convolution interpolation

تقوس تردد القطع Curvature

Cutt - off frequency

Decoder مرمز نقص Deficiency تدني (في النوعية) Degredation دلتا Delta كثافة Density Depth معلومات العمق Depth information Description واصف Descriptor جهاز Device قطر Diameter غشاء Diaphram فرق Difference صورة الفرق Difference image نقل الفرق Difference mapping فروق Differences تفاضلي Differential ترميز تفاضلي Differential encoding ترميز نبضي تفاضلي Differential pulse code تشكيل نبضي تفاضلي مرمز Differential pulse code modulation Differentiation Digital Digital image

Digitization مرقمن Digitizer سلم الـ DIN DIN scale Direction انقطاع/لا استمرارية Discontinuity كشف الانقطاع Discontinuity detection Discrete تحويل التجيب المتقطع Discrete cosine transform Disk اظهار Display تشوه الاظهار Display distortion أجهزة اظهار Display divices دالة مسافة Distance function قياس مسافة Distance measure توزيعية Distributivity مجحال Domain ديناميكي/دينم*ي/تحر*يكي Dynamic صورة ديناميكية /(حركية)/دينمية/تحريكية Dynamic image مدی دینامیکی Dynamic range

- E -

EccentricityلامركزيةEdgeحافة، ضلعEdge detectionكشف الحواف

ربط الحواف Edge linking عنصر حافة Edge pixel قيمة مميزة Eigenvalue متجه مميز Eigenvector تأكيد/ تشديد **Emphasis** ترميز **Encoding** نموذج ترميز **Encoding** model نقطة نهاية End point تحسين Enhancement انتروبيا Entropy ترميز متساوي الطول Equal length code تسوية ترميز خال من الخطأ Equalization Error free encoding أوكليدي Euclidean مسافة أوكليدية Euclidean distance صيغة أولر Euler formula رقم أولر Euler number مدد Extended تتابع ممدد Extended sequence Eye عين

- F -

F numbers F أرقام F مزيف False Color لون مزیف تحويل فورييه السريع خاصة Fast Fourier transform **Feature** استخلاص الخواص Feature extraction معيار الأمانة Fidelity criteria Film تعريض الفيلم Film exposure مرشاح Filter ماسح النقطة الطائرة Flying spot scanner بۇر*ي|مح*رقى **Focal** الطول المحرق (البؤري) Focal length تشكل **Formation** تشكيل **Formulation** حفيرة Fovea اطار/رتل Frame معدل الاطار/الرتل Framerate تكامل فريدهو لم تردد مجال ترددي Fredholm integral Frequency Frequency domain

- G -

Samma غاما غاما Gausian غوصي غوصي خوصي خوصي خوصي خوصي المعتدر المعتدر

Geometric transformations	تحويلات هندسية
Global	اجمالي
Gradient	تدرج
Graininess	تحبحب
Grammar	قواعد
Granular	حبيبي
Graph	رسم بياني
Gray	<i>ر</i> ماد <i>ي</i>
Gray code	ترميز غري
Gray scale	سلم رماد <i>ي</i>
Grid	شبكة
Growing	توسيع/تنمية

# – H –

Hadamard transform	تحويل هادامارد
Highpass filter	مرشاح تمرير مرتفع
. Histogram	هيستوغرام
Hole	ثقب
Homogeneity	تجانس
Homogeneous	متجانس
Homomorphic	هومومورفي
Homomorphic filter	مرشاح هومومورفي
Hotelling transform	تحويل هوتيللينغ
Hue	لون (نقبة)

#### - I -

مرشاح مثالي Ideal filter انارة Illumination صورة Image نبضة Impulse حافظ للمعلومات Information preserving ترميز آني Instatantaneous code Integral تفاعلي Interactive تداخل Interference استكمال Interpolation بون/مدة/فترة Interval غير متغير/ ثابت Invariant عكسي مرشاح عكسي Inverse Inverse filter

- K -

نواة Kernel

Laplacian	عامل لابلاس المؤثر/مؤثر لابلاس
Least squares	تربیعات صغری
Lens	عدسة
Line	<u>स्</u> वेत
Line scan sensor	محساس مسح الخط
Linear	خطي
Linear operator	عامل مؤثر خطي
Linear system	نظام خطي
Local	موضعي
Logarithm	لوغاريتم
Logical	منطقي
Lowpass	تمرير منخفض
Lowpass filter	مرشاح تمرير منخفض

# - M -

Mach band	نطاق–ماخ
Machine	آلة/حاسوب
Magnitude	مقدار
Major	رئيس
Мар	ينقل
Mapping	نقل ارسم
Mask	نافذة/قناع

مطابقة/مواءمة Matching Matrix Mean متجه متوسط Mean vector Medial محور متوسط Medial axis Median ترشيح أوسطي Median filtering Merging Metric مقياس الكثافة الدقيق Microdensitometer Minimum ممر الكلفة - الدنيا Minimum cost pass Minor ثانوي Modification تعديل تشكيل Modulation Moment عزم أحادي اللون Monochrome مورفولوجي Morphological Motion متعددالسويات Multilevel متعدد المتحولات Multivariable

- N -

Neighbor

 Neighborhood
 جوار

 Noise
 خضجيج

 Nonuniform
 غير منتظم

 Norm
 كمية لا اتجاهية

 Notch filter
 Author of the peak of the

**- 0** -

 One dimensional
 أحادي – البعد

 Operator
 عامل مؤثر

 Optical
 بصري/ ضوئي

 Optimal
 أمثل

 Oriented
 موجّه

- P -

ازاحة أفقية Pan معلمة Parameter مر/مسار Path Pattern تعرف على الأنماط Pattern recognition Pel عنصر صورة إدراك/ فهم Perception محيط **Perimeter** Periodic دوري

Periodicity Phase تصويري/ ضوئي **Photographic** رؤية الفوتوبيك (الليلية) Photopic vision موقع ضوئي **Photosite** صورة **Picture** لغة وصف الصورة Picture description language عنصر صورة Picture element عنصر صورة **Pixel Point** دالة منشور/نشر النقطة Point spread function Polar محاور إحداثية قطبية Polar coordinates تقريب بالتضليع Polygonal approximation عامل مؤثر ثابت بالنسبة للموضع Position invariant operator **Position** عامل مؤثر موضعي Positional operator Power Prediction ترميز تنبؤي Predictive code **Primary Primitive Principal** محور رئيس Principal axis مركبة رئيسة Principal component

Probability	إحتمال
Probability density function	دالة كثافة الاحتمال
Probability of error	إحتمال الخطأ
Production	إنتاج
Property	خاصة
Prspective	منظوري
Pseudo color	لون زائف
Pupil	حدقة

- Q -

Quadtree	شجرة رباعية
Quantization	تكمية
Quantizer	مكمي

– R –

Ranking	ترتيب
Recording	تسجيل
Reference	مرجع
Reflectance	إنعكاسية
Reflective binary code	ترميز ثنائي منعكس
Region	منطقة
Registration	تسجيل
Relational	إرتباطي

علاقة Relationship موجَّه عن بعد Remotely piloted Representation Reseau (فرنسية) علامات الشبكة Reseau marks Resolution عنصر ميز Resolution element إستبانة Resolving إستعادة Restoration الشبكية Retina ترميز قابل للعكس Reversible encoding قاعدة إعادة كتابة Rewriting rule إهتزاز متخامد/رنين Ringing تدرج روبرت Robert 's Gradients عصيات Rods دور Role دوران Rotation مطاط Rubber لوحة مطاطية Rubber sheet قاعدة Rule طول الاستمرار Runlength -S-

Sampled function

Sampling

دالة معتانة

اعتيان

Saturation تغيير المقياس / تقييس Scaling مشهد / منظر Scene الصلبة Sclera حركة شاقولية Scroll ثانوي Secondary ألوان ثانوية Secondary colors تجزيء Segmentation حساسية Sensitivity قابلية الفصل Separability قابل للفصل Separable تتابع Sequency مجموعة Set ضبط/جعل Setting شکل Shape رقم الشكل Shape number زيادة حدة التفاصيل Sharpening ترميز الإزاحة Shift code مغلاق Shutter / Siganture نسبة الإشارة إلى الضجيج Signal to noise ratio Similarity Sinusoidal قیاس / حجم هیکل Size Skeleton

هيكلة Skeltonization Slope دالة شدة الميل Slope density function تحميل زائد للميل Slope overload **Smoothing** تنعيم عاملي صوبل المؤثرين Sobel operators ترميز المصدر Source encoding حيزي/فضائي/فراغي **Spatial** مرشاح حيزي Spatial filter مواصفات/ توصيف Specification Spectral طیف Spectrum سرعة Speed شطر Spletting إنحراف معياري Standard deviation إحصائي Statistical تصوير مجسم Stereo imaging رقم الإيقاف Stop number تخزين Storage تمديد Stretching صف رموز String بنيوي Structural Structure بنية Superposition

Television	نلفزيون
Template	نافذة/طبعة
Template matching	مطابقة النافذة
Texture	تركيب
Theorm	نظرية
Thinning	تنحيف
Thresholding	تعتيب
Tie points	نقاط ربط
Tilt	إمالة
Topological	تركيب بنيوي/ طوبولوجي
Transfer	تحويل/ نقل
Transfer function	دالة تحويل
Transform	تحويل
Translation	نقل
Tree	شجرة
Tree grammar	قواعد الشجرة
Trichromatic	ثلاثي الألوان
Tristimulus	حافز ثلاثي

**–** U –

Unconstrainedغير مقيدUncorrelatedغير مترابطUniquely decodable codeترميز قابل للكشف بشكل فريد

Value	قيمة
Variance	تفاوت
Vidicon	كاميرا فيديكون
Visible	مرئي
Visual	مرئي

**- W** -

Walsh transform	تحويل والش
$Walsh-Hadamard\ transform$	تحويل هادامارد—والش
Webb grammar	قواعد ويب
Weber ratio	نسبة ويبر
White light	ضوء أبيض
Wiener filter	مرشاح فينر
Window	نافذة
World coordinates	إحداثيات العالم
World coordinates system	نظام إحداثيات العالم
Wraparound	تغليف
Wraparound error	خطأ التغليف

**- Z** -

Zero order interpolationاستكمال من المرتبة صفرZero phase sheft filterعديم انزياح الطورZero phase shiftعديم انزياح الطورZoomingتزويم (تقريب و تبعيد)

## المحتويات

	مقدمة	الفصل الأول
	خلفية	1.1
ورة الرقمية	تمثيل الص	2.1
للما معالجة الصورة الرقمية	عناصر نغ	3.1
معالجات الصورة	1.3.1	
المرقمنات	2.3.1	
الحواسيب الرقمية	3.3.1	
أجهزة التخزين	4.3.1	
أجهزة الاظهار والتسجيل	5.3.1	
ا <i>ب</i>	تنظيم الكت	4.1
	مراجع	
الصورة الرقمية	أساسيات	الفصل الثاني
دراك المرئي	عناصر الا	1.2
بنية العين البشرية	1.1.2	
تشكل الصورة في العين	2.1.2	
التكيف السطوعي وتميزه	3.1.2	
رة	نموذج صو	2.2
لتكمية	الاعتيان وا	3.2

الاعتيان والتكمية المنتظمين	1.3.2	
الاعتيان والتكمية غير المنتظمين	2.3.2	
ت الأساسية بين عناصر الصورة	بعض العلاقا	4.2
جيران العنصر	1.4.2	
الاتصالية	2.4.2	
قياسات المسافة	3.4.2	
العمليات الحسابية/ المنطقية	4.4.2	
وير	هندسة التص	5.2
بعض التحويلات الأساسية	1.5.2	
التحو يلات المنظورية	2.5.2	
نموذج كاميرا	3.5.2	
معايرة الكاميرا	4.5.2	
التصوير المجسم	5.5.2	
•		
يري (الضوئي)	الفيلم التصو	6.2
بنية الفيلم والتعرض للضوء	1.6.2	
خواص الفيلم		
ضبط الغشاء الحاجز والمغلاق	3.6.2	
حتامية	ملاحظات خ	7.2
	مراجع	
	مسائل مسائل	

## الفصل الثالث تحويلات الصورة مدخل إلى تحويل فورييه 1.3 تحويل فورييه المتقطع 2.3 بعض خصائص تحويل فورييه ثنائي-الأبعاد 3.3 1.3.3 قابلية الفصل 2.3.3 النقل 3.3.3 الدوران وتماثل المترافق 4.3.3 الدوران 5.3.3 التوزيعية وتغيير المقياس 6.3.3 القيمة المتوسطة 7.3.3 معامل لابلاس 8.3.3 الطي والترابط 9.3.3 الاعتيان تحويل فورييه السريع 4.3 1.4.3 خوارزمية تحويل فورييه السريع FFT 2.4.3 عدد العمليات 3.4.3 تحويل فورييه السريع العكسي 4.4.3 التنفيذ تحويلات صورة أخرى قابلة للفصل 5.3 1.5.3 تحويل والش 2.5.3 تحويل هادامارد 3.5.3 تحويل التجيب المتقطع

تحويل هوتيللينغ 6.3 1.6.3 التشكيل 2.6.3 التطبيق على تدوير الصورة تحويل هاف 7.3 ملاحظات ختامية 8.3 مراجع مسائل الفصل الرابع تحسين الصورة خلفية 1.4 1.1.4 طرائق المجال – الحيزي 2.1.4 طرائق المجال - الترددي تحسين الصورة بتقنيات تعديل الهيستوغرام 2.4 1.2.4 أساسيات 2.2.4 تسوية الهيستوغرام 3.2.4 التوصيف المباشر للهيستوغرام 4.2.4 التحسين الموضعي تنعيم الصورة 3.4 1.3.4 توسيط الجوار 2.3.4 الترشيح الأوسطي 3.3.4 ترشيح التردد المنخفض 4.3.4 توسيط صور متعددة

زيادة حدة الصورة 4.4 1.4.4 زيادة حدة الصورة بالتفاضل 2.4.4 ترشيح التردد العالي التحسين بناءا على نموذج صورة 5.4 توليد نوافذ حيزية من مواصفات المجال الترددي 6.4 معالجة الصورة بالتلوين 7.4 1.7.4 أساسيات الألوان 2.7.4 تقطيع الكثافة 3.7.4 تحويلات السويات الرمادية إلى ألوان 4.7.4 طريقة للترشيح ملاحظات ختامية 8.4 مراجع مسائل استعادة الصورة الفصل الخامس نموذج تدن 1.5 1.1.5 بعض التعريفات 2.1.5 غوذج تدن للدوال المستمرة 3.1.5 التشكيل المتقطع جَعْلُ المصفوفات الدوارة ومصفوفات الكتل الدوارة قطرية 2.5 1.2.5 المصفوفات الدوارة

مصفوفات الكتل الدوارة 2.2.5 آثار جعل المصفوفات قطرية على نموذج التدني 3.2.5 طريقة جبرية لاستعادة الصورة 3.5 1.3.5 الاستعادة غير المقيدة 2.3.5 الاستعادة المقيدة الترشيح العكسي 4.5 1.4.5 التشكيل 2.4.5 ازالة التغبيش الناتج عن حركة خطية منتظمة مرشح (فينز) متوسط - تربيع - الأخطاء الصغرى 5.5 الاستعادة ذات تربيع الأحطآء الصغرى المقيدة 6.5 الاستعادة التفاعلية 7.5 الاستعادة في الجمال الترددي 8.5 التحويلات الهندسية 9.5 1.9.5 التحويلات الحيزية 2.9.5 استكمال السويات-الرمادية ملاحظات ختامية 10.5 مراجع مسائل الفصل السادس ترميز الصورة

معيار الأمانة

1.6

1.1.6 معيار الأمانة الموضوعي 2.1.6 معيار الأمانة الشخصي عملية الترميز 2.6 1.2.6 النقل 2.2.6 المكمى 3.2.6 المرمز الترميز الخالي من الخطأ 3.6 1.3.6 مشال 1 . الترميز التفاضلي لتخزين صور لاندسات مثال 2 . ترميز الكفافات 2.3.6 3.3.6 ترميز طول الاستمرار لخرائط الفيضان ترميز الصورة بالنسبة لمعيار الأمانة 4.6 1.4.6 مثال 1 . التشكيل النبضي التفاضلي المرمز **DPCM** 2.4.6 مثال 2 . ترميز التحويل الترميز الهجين من أجل الطائرات الموجهة عن 3.4.6 بعد استخدام خروج الناقل كخصائص 5.6 ملاحظات ختامية 6.6 مراجع

مسائل

## كشف الانقطاعات 1.7 1.1.7 كشف النقاط 2.1.7 كشف الخطوط 3.1.7 كشف الحواف 4.1.7 الكشف المركب ربط الحواف وكشف الحدود 2.7 1.2.7 التحليل الموضعي 2.2.7 التحليل الاجمالي بواسطة تحويل هاف . 3.2.7 التحليل الاجمالي بواسطة تقنيات الرسم البياني النظري التعتيب 1.3.7 أساسيات 3.7 2.3.7 دور الأنارة 3.3.7 تقنية تعتيب اجمالية التعتيب الأمثل 4.3.7 انتقاء العتبة مبنية على خواص الحدود 5.3.7 العتبات المبنية على عدة متحولات 6.3.7

الفصل السابع تجزيء الصورة

التجزيء الموجه بالمناطق

1.4.7 تشكيل أساسي

3.4.7 شطر ودمج المناطق

2.4.7 توسيع المناطق بتجميع العناصر

4.7

5.7 استعمال الحركة في التجزيء 1.5.7 التقنيات الحيزية 2.5.7 تقنيات المجال الترددي

> 6.7 ملاحظات ختامية مراجع مسائل

الفصل الثامن التمثيل والوصف

1.8 خطط التمثيل

1.1.8 سلاسل الرموز

2.1.8 التقريبات المضلعية

3.1.8 التواقيع

4.1.8 أجزاء الحدود

5.1.8 هيكل المنطقة

2.8 واصفات الحدود

1.2.8 بعض الواصفات البسيطة

2.2.8 أرقام الأشكال

3.2.8 واصفات فورييه

4.2.8 العزوم

3.8 واصفات المناطق

1.3.8 بعض الواصفات البسيطة

2.3.8 واصفات التركيب البنيوي (الطوبولوجية)

3.3.8 التركيب4.3.8 العزوم

4.8 طرق وصف التشابه 1.4.8 فياسات المسافات 2.4.8 الترابط 3.4.8 مطابقة الحدود

5.8 الوصف الارتباطي 1.5.8 قواعد صفوف الرموز واللفات 2.5.8 القواعد ذات الأبعاد الأعلى

> 6.8 ملاحظات ختامية مراجع مسائل

الملحق A برامج فراعية لاظهار الصورة الملحق B صور مرمزة المراجع المراجع المصطلحات

